



для
высшей
школы

Ю.Г. Фролов

Курс КОЛЛОИДНОЙ ХИМИИ

Поверхностные явления и дисперсные системы



Ю.Г. Фролов

Курс КОЛЛОИДНОЙ ХИМИИ

Поверхностные явления и дисперсные системы

*ИЗДАНИЕ 2-е
ПЕРЕРАБОТАННОЕ И ДОПОЛНЕННОЕ*

*Допущено Государственным комитетом СССР
по народному образованию в качестве
учебника для студентов химико-технологических
специальностей высших учебных заведений*



**МОСКВА
«ХИМИЯ»
1989**

ББК 541
Ф 91
УДК 541.18(075.8)

Рецензент:
докт. хим. наук, проф. И. А. Титорский

Фролов Ю. Г.

Ф 91 Курс коллоидной химии. Поверхностные явления и дисперсные системы. Учебник для вузов. — 2-е изд., перераб. и доп. — М.: Химия, 1988. — 464 с.: ил.
ISBN 5-7245-0244-5

Изложены физико-химические основы науки о поверхностных явлениях и дисперсных системах. Главное внимание уделено учению о поверхностных явлениях как основе коллоидной химии. Дисперсные системы рассматриваются в соответствии с классификациями по агрегатному состоянию и степени дисперсности.

Во 2-ом издании расширены разделы, посвященные практическим приложениям коллоидной химии: флотации, мембранным методам разделения и очистки веществ, получению материалов с заданными структурно-механическими свойствами и др.

Предназначен для студентов химико-технологических специальностей вузов. Может быть полезен для научных и инженерно-технических работников различных отраслей промышленности.

1708000000-081
Ф 050(01)-89 81-89

ББК 541

ISBN 5-7245-0244-5

© Издательство «Химия». 1989

СОДЕРЖАНИЕ

Предисловие	8
I. Введение	10
1. Определение предмета коллоидной химии	10
2. Признаки объектов коллоидной химии	11
3. Классификация поверхностных явлений	14
4. Классификация дисперсных систем	15
5. Значение коллоидной химии	17
6. Основные пути развития коллоидной химии	19
II. Термодинамика и строение поверхностного слоя	21
A. Основные термодинамические параметры поверхностного слоя	21
1. Геометрические параметры поверхности	21
2. Поверхностное натяжение	25
3. Когезионные и поверхностные силы	29
4. Внутренняя (полная) удельная поверхностная энергия. Зависимость энергетических параметров поверхности от температуры	32
5. Самопроизвольное уменьшение поверхностной энергии и формирование поверхностного слоя	37
B. Адсорбция и поверхностное натяжение	39
1. Виды адсорбции, ее количественные характеристики и их связь с параметрами системы	39
2. Фундаментальное адсорбционное уравнение Гиббса и примеры его применения	45
3. Поверхностная активность. Поверхностно-активные и инертные вещества	50
4. Энергетические параметры адсорбции	52
B. Образование и строение двойного электрического слоя	56
1. Механизм образования двойного электрического слоя	56
2. Термодинамические соотношения между поверхностным натяжением и электрическим потенциалом двойного электрического слоя	60
3. Уравнение электрокапиллярной кривой и его экспериментальное исследование	61
4. Строение двойного электрического слоя	67
5. Уравнение Пуассона — Больцмана и его решение	68
6. Толщина и емкость двойного электрического слоя. Соотношение между поверхностной и объемной плотностями зарядов	71
7. Учет специфической адсорбции ионов в теории двойного электрического слоя	73
8. Примеры образования двойного электрического слоя. Строение мицеллы. Суспензионный эффект	76
Г. Адгезия, смачивание и растекание жидкостей	78
1. Адгезия и работа адгезии	78
2. Механизм процессов адгезии	81
3. Смачивание и краевой угол	82

4. Связь работы адгезии с краевым углом	85
5. Смачивание реальных твердых тел	87
6. Теплота смачивания	89
7. Растекание жидкости. Эффект Марангони	92
8. Межфазное натяжение на границах между взаимно насыщенными жидкостями	95
9. Флотация	97
Д. Дисперсность и термодинамические свойства тел	100
1. Правило фаз Гиббса для дисперсных систем	100
2. Влияние дисперсности на внутреннее давление тел	101
3. Поверхностная энергия и равновесные формы тел	104
4. Капиллярные явления	106
5. Зависимость термодинамической реакционной способности от дисперсности	111
6. Влияние дисперсности на температуру фазового перехода	114
Е. Энергетика диспергирования и конденсации	115
1. Два общих метода получения дисперсных систем. Диспергирование	115
2. Термодинамика конденсационного образования дисперсных систем	118
3. Две стадии образования новой фазы	124
4. Примеры получения свобододисперсных систем	127
III. Адсорбционные равновесия	129
А. Адсорбция газов и паров на однородной поверхности	129
1. Адсорбционные взаимодействия при физической адсорбции	129
2. Закон Генри	133
3. Мономолекулярная адсорбция. Изотерма адсорбции Ленгмюра	136
4. Теория полимолекулярной адсорбции БЭТ	141
5. Стандартные энергетические параметры адсорбции на однородной поверхности	145
6. Влияние на адсорбцию природы адсорбента и адсорбата. Хемосорбция	148
7. Кинетика мономолекулярной адсорбции Ленгмюра. Активированная и неактивированная адсорбция	150
Б. Адсорбция газов и паров на пористых телах	153
1. Общие сведения о пористых телах и методы их получения. Классификация пористой структуры	153
2. Количественные характеристики пористых тел и порошков	157
3. Потенциальная теория Поляни	160
4. Теория капиллярной конденсации. Распределение пор по размерам	162
5. Теория объемного заполнения микропор	168
6. Влияние структуры пористого тела на адсорбцию. Практическое использование адсорбции газов и паров	171
В. Обменная молекулярная адсорбция из растворов	174
1. Гиббсовская адсорбция из бинарных растворов	174
2. Уравнение изотермы адсорбции из растворов с константой обмена	177
3. Селективность адсорбции из растворов	180
Г. Адсорбция поверхностно-активных веществ и полимеров. Состояние поверхностных (адсорбционных) пленок	184
1. Изотермы адсорбции и поверхностного натяжения растворов ПАВ	184
2. Уравнения состояния поверхностных пленок	188

3. Типы поверхностных пленок и определение их характеристик	191
4. Адсорбция полимеров	195
Д. Ионнообменная адсорбция	198
1. Классификация ионитов и методы их получения	198
2. Основные физико-химические характеристики ионитов	201
3. Равновесие ионного обмена	205
4. Адсорбция сильных электролитов. Мембранная разность потенциалов	208
Е. Хроматография	211
1. Сущность и классификация методов хроматографии	211
2. Получение хроматограммы. Основное уравнение равновесной хроматографии	214
3. Основные характеристики хроматографического разделения	217
IV. Кинетические свойства и методы исследования дисперсных систем	220
А. Седиментация и седиментационный анализ дисперсности	220
1. Свободнодисперсные системы	220
2. Закономерности седиментации в гравитационном и центробежном полях	224
3. Условия соблюдения закона Стокса при седиментации дисперсных систем	228
4. Седиментационный анализ дисперсности	231
5. Некоторые методы и приемы в седиментационном анализе	237
Б. Молекулярно-кинетические свойства свободнодисперсных систем	239
1. Броуновское движение и его молекулярно-кинетическая природа	239
2. Связь между средним сдвигом частиц и коэффициентом диффузии	241
3. Экспериментальные доказательства закона Эйнштейна — Смолуховского. Следствия из теории броуновского движения	245
4. Осмотические свойства дисперсных систем и мембранное равновесие	248
5. Диффузионно-седиментационное равновесие. Седиментационная устойчивость	252
В. Электрокинетические явления	256
1. Открытие электрокинетических явлений	256
2. Электрокинетический потенциал	257
3. Электроосмос	259
4. Электрофорез	263
5. Потенциалы течения и седиментации	266
6. Особенности электрических свойств аэрозолей	267
7. Практическое использование электрокинетических явлений	270
Г. Явления переноса в пористых телах. Мембранные методы разделения смесей	271
1. Основные законы течения жидкостей в пористых телах. Определение размеров пор методом фильтрации. Капиллярная пропитка	271
2. Механизм переноса газов и компонентов растворов в пористых телах	276
3. Мембранные методы разделения смесей	280

V. Оптические свойства и методы исследования дисперсных систем	288
A. Особенности оптических свойств дисперсных систем и оптические методы анализа поверхностных слоев и дисперсности	288
1. Оптическая неоднородность дисперсных систем. Определение состава и структуры поверхностных слоев	288
2. Световая и электронная микроскопия	290
Б. Рассеяние света ультрамикрорегетерогенными системами и методы исследования, основанные на рассеянии света	295
1. Явление рассеяния света	295
2. Ультрамикроскопия	299
3. Турбидиметрия	301
4. Нефелометрия	304
5. Методы, основанные на дифракции рентгеновских лучей и электронов	307
В. Окраска и оптическая анизотропия дисперсных систем	309
1. Поглощение света и окраска золей	309
2. Форма частиц и двойное лучепреломление в потоке	310
VI. Агрегативная устойчивость и коагуляция дисперсных систем	314
A. Механизм и кинетика самопроизвольного уменьшения дисперсности. Условия термодинамической устойчивости дисперсных систем	314
1. Процессы в дисперсных системах, обусловленные агрегативной неустойчивостью. Факторы агрегативной устойчивости	314
2. Изотермическая перегонка в дисперсных системах	318
3. Кинетика коагуляции	321
4. Элементы термодинамической теории агрегативной устойчивости дисперсных систем	326
Б. Растворы коллоидных поверхностно-активных веществ (ассоциативные коллоиды)	333
1. Классификация и общая характеристика поверхностно-активных веществ	333
2. Термодинамика и механизм мицеллообразования	338
3. Строение мицелл ПАВ. Солюбилизация	343
4. Основные факторы, влияющие на критическую концентрацию мицеллообразования. Методы определения ККМ	346
5. Применение поверхностно-активных веществ	350
В. Растворы высокомолекулярных соединений (молекулярные коллоиды)	351
1. Общая характеристика высокомолекулярных соединений	351
2. Растворы полимеров как коллоидные системы	356
3. Набухание и растворение высокомолекулярных соединений	359
4. Уравнение состояния растворов полимеров	367
Г. Устойчивость, стабилизация и коагуляция лиофобных дисперсных систем	372
1. Расклинивающее давление	372
2. Электростатическая составляющая расклинивающего давления в теории ДЛФО	375
3. Энергия притяжения между частицами и общие уравнения теории ДЛФО	379

4. Закономерности коагуляции гидрофобных дисперсных систем электролитами	384
5. Адсорбционно-солеватный, структурно-механический и энтропийный факторы устойчивости	389
Д. Стабилизация и коагуляция дисперсных систем с различным агрегатным состоянием фаз	393
1. Особенности стабилизации и коагуляции дисперсных систем с различным агрегатным состоянием дисперсионных сред	393
2. Особенности коагуляции суспензий и лиозолей	394
3. Стабилизация и разрушение эмульсий	398
4. Стабилизация и разрушение пен	401
5. Устойчивость и разрушение аэрозолей	404
VII. Структурно-механические свойства и реологический метод исследования дисперсных систем	406
А. Реология как метод исследования структуры дисперсных систем	406
1. Основные понятия и идеальные законы реологии	406
2. Моделирование реологических свойств тел	412
3. Классификация дисперсных систем по структурно-механическим свойствам	417
Б. Реологические свойства дисперсных систем	423
1. Вязкость жидких агрегативно устойчивых дисперсных систем	423
2. Реологические свойства структурированных жидкообразных систем	428
3. Реологические свойства твердообразных систем	433
В. Элементы управления структурно-механическими свойствами материалов	437
1. Факторы, определяющие прочность структур. Механизм структурообразования	437
2. Образование структур в некоторых твердых телах	442
3. Композиционные материалы	448
<i>Список рекомендательной литературы</i>	452
<i>Приложение. Основные физико-химические величины, используемые в коллоидной химии</i>	453
<i>Предметный указатель</i>	454

ПРЕДИСЛОВИЕ

За последние десятилетия бурное развитие получили многие разделы коллоидной химии. Однако современные достижения не нашли достаточного отражения в учебных курсах. В то же время традиционное преподавание коллоидной химии перестало удовлетворять требованиям науки и промышленности. В связи с этим в 1973 г. была изменена программа курса, читаемого в Московском химико-технологическом институте им. Д. И. Менделеева, которая была приведена в соответствие с наиболее общим определением коллоидной химии как науки о поверхностных явлениях и дисперсных системах. С учетом этой программы были разработаны и изданы отдельные внутривузовские пособия, которые положены в основу данного учебника.

Предлагаемое издание учебника соответствует программе курса коллоидной химии для химико-технологических специальностей высших учебных заведений, утвержденной в 1984 г. Учебно-методическим управлением по высшему образованию Министерства высшего и среднего специального образования СССР.

В настоящем учебнике большое внимание уделено поверхностным явлениям (адсорбции, электрическим явлениям на поверхности, адгезии и смачиванию, зарождению новых фаз и др.), так как именно эти явления вызывают повышенный интерес научных и инженерно-технических работников. Впервые в курс коллоидной химии включены разделы, посвященные пористым телам (дисперсным системам с твердой дисперсионной средой), к которым относятся в частности широко используемые в промышленности адсорбенты и катализаторы. Значительное внимание обращено на структурообразование в твердых телах, обуславливающему механические и другие свойства различных материалов.

Во втором издании учебника увеличен материал по адсорбции ионогенных ПАВ, теории термодинамической устойчивости дисперсных систем, пропитке пористых тел и др.

Не является традиционной и структура учебника. Первая половина курса посвящена поверхностным явлениям: вторая — свойствам дисперсных систем. Такая последовательность изложения материала обусловлена тем, что поверхностные явления определяют большинство специфических свойств дисперсных систем. Представление материала по свойствам дисперсных систем, а не по отдельным конкретным системам позволило изложить учебный курс более компактно.

Важнейшие фундаментальные закономерности представлены в виде количественных соотношений; приведены выводы основных уравнений (для упрощения изложения не всегда, может быть, строгие), что позволяет глубже раскрыть физический смысл явлений и определить границы применимости получаемых соотношений.

Автор заранее искренне благодарит читателей за критические замечания и пожелания. Автор не может не вспомнить с благодарностью рецензентов первого издания книги — профессора МГУ Н. В. Перцова и коллектив кафедры коллоидной химии и физикохимии полимеров Казанского химико-технологического института во главе с профессором В. П. Барабановым. Автор благодарит рецензента второго издания книги — заведующего кафедрой коллоидной химии МИТХТ профессора И. А. Титорского, ценные замечания которого учтены в данном издании.

Автор глубоко признателен преподавателям кафедры коллоидной химии МХТИ им. Д. И. Менделеева за помощь в разработке программ и обсуждении содержания курса, а также кандидату химических наук Г. И. Насоновой за помощь в подготовке рукописи учебника.

1. ВВЕДЕНИЕ

1. Определение предмета коллоидной химии

Под коллоидной химией понимают *науку о поверхностных явлениях и дисперсных системах**. К поверхностным явлениям относятся процессы, происходящие на границе раздела фаз, в межфазном поверхностном слое и возникающие в результате взаимодействия сопряженных фаз. Поверхностные явления обусловлены тем, что в поверхностных слоях на межфазных границах вследствие разного состава и строения соприкасающихся фаз и соответственно из-за различия в связях поверхностных атомов и молекул со стороны одной и другой фазы существует ненасыщенное поле межатомных, межмолекулярных сил. По этой причине атомы и молекулы в поверхностных слоях образуют особую структуру, а вещество принимает особое состояние, отличающееся по свойствам от его состояния в объемах фаз: температурой плавления, кипения, реакционной способностью и другими свойствами. Состояние вещества в поверхностных слоях, характеризующееся особыми свойствами, — наиболее общее определение коллоидного состояния. Представление о коллоидном состоянии вещества в таком широком смысле позволяет определить коллоидную химию также как *науку о коллоидном состоянии вещества*.

Каждое тело ограничено поверхностью, на которой могут развиваться поверхностные явления, и поэтому объектами коллоидной химии могут быть тела любого размера. Однако поверхностные явления сильнее всего проявляются в телах с высокоразвитой поверхностью (раздробленных телах, ибо при дроблении объем тела уменьшается пропорционально кубу размеров, а поверхность — пропорционально только квадрату этих размеров), которая придает им новые важные свойства. В таких телах большая доля вещества находится в коллоидном состоянии. К телам с высокоразвитой поверхностью относятся пленки, нити, капилляры, мелкие частицы. Совокупность этих дисперсий вместе со средой, в которой они распределены, представляет собой *дисперсную систему*.

Дисперсные системы — наиболее типичные и вместе с тем сложные объекты коллоидной химии, потому что в них прояв-

* Коллоидная химия — одна из немногих наук, название которой не соответствует содержанию (греч. *kolla* — клей). Это название было принято раньше, чем коллоидная химия сформировалась в самостоятельную науку. В некоторых странах она переименована в «Поверхностные явления», «Поверхностные явления и коллоиды», «Физическую химию поверхностей» и др.

ляется все многообразие поверхностных явлений, формирующих особые объемные свойства этих систем.

Дисперсными системами является большинство окружающих нас реальных тел, поэтому есть основания называть науку о поверхностных явлениях и дисперсных системах физикой и химией реальных тел. Все тела, как правило, — это поликристаллические, волокнистые, слоистые, пористые, сыпучие вещества, состоящие из наполнителя и связующего и находящиеся в состоянии суспензий, паст, эмульсий, пен, пыли и т. д. Почва, тела растительного и животного мира, облака и туманы, многие продукты промышленных производств, в том числе строительные материалы, металлы, полимеры, бумага, кожа, ткани, продукты питания, — все это дисперсные системы, свойства которых изучает коллоидная химия.

Таким образом, коллоидная химия изучает наиболее распространенное в природе состояние тел — дисперсное состояние и его превращения. Универсальность дисперсного состояния, наличие внешней и внутренней поверхности у большинства реальных тел определяют фундаментальный и общенаучный характер коллоидной химии.

Имея в качестве объектов исследования в основном реальные вещества и материалы, коллоидная химия завершает общее химическое образование. В то же время она является пограничной областью знания, которая объединяет физическую химию и физику поверхностных явлений и дисперсных систем и рассматривает многие специфические проявления природы, которым раньше не уделяли должного внимания.

2. Признаки объектов коллоидной химии

Для объектов коллоидной химии характерны два общих признака: гетерогенность и дисперсность. Все особые свойства, характерные для объектов коллоидной химии, являются функциями или следствием гетерогенности и дисперсности. Эти признаки, выделенные одним из основоположников отечественной коллоидной химии Н. П. Песковым еще в начале тридцатых годов, полностью соответствуют современному представлению об объектах коллоидной химии.

Гетерогенность или многофазность, выступает в коллоидной химии как признак, указывающий на наличие межфазной поверхности, т. е. поверхностного слоя — основного объекта этой науки. Коллоидная наука концентрирует внимание в первую очередь на процессах и явлениях, происходящих на межфазных границах, в пограничных слоях, которые не просто определяют граничную область между фазами, но и представляют коллоидное состояние вещества. Гетерогенность — важнейший признак объектов коллоидной химии. Именно этот признак, определяю-

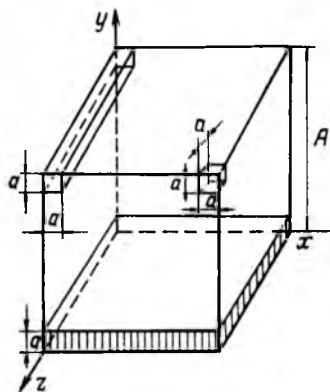


Рис. 1.1. Форма элементов тела в зависимости от их размеров по трем координатным осям

щий наличие поверхностей раздела, обуславливает характерные свойства этих объектов.

Дисперсность (раздробленность) — второй признак объектов коллоидной науки. Она определяется размерами и геометрией тела. Частицы веществ могут иметь самую различную форму: сферическую, цилиндрическую, прямоугольную, а чаще — неправильную.

Рис. 1.1 иллюстрирует образование различных дисперсий при уменьшении размеров куба по трем его осям. При значительном уменьшении размера в одном его измерении (по оси y) получается пленка или поверхностный слой, при уменьшении размеров куба в двух измерениях (по осям x и y) образуются нити или капилляры, а уменьшение его размеров по всем трем измерениям (по осям x , y и z) приводит к образованию мелких частиц. При этом раздробленность определяется размером тела по той оси, уменьшением которого она достигнута, т. е. наименьшим размером a . Раздробленность часто характеризуют величиной, обратной размеру a , т. е. $1/a$. Эта величина носит название дисперсности D . Широко применяется и третья характеристика раздробленности — удельная поверхность $s_{уд}$, определяемая отношением площади межфазной поверхности к объему тела s/V . Все три характеристики раздробленности связаны между собой: с уменьшением размера a увеличиваются дисперсность D и удельная поверхность $s_{уд}$.

Дисперсность — важнейший признак объектов коллоидной химии. Она придает новые свойства не только отдельным элементам дисперсной системы, но и всей дисперсной системе. С ростом дисперсности повышается роль поверхностных явлений в системе, так как увеличивается доля поверхностных молекул и соответственно доля вещества в коллоидном состоянии (увеличивается удельная поверхность), т. е. более сильно проявляется специфика гетерогенных дисперсных систем. Однако если гетерогенность является универсальным признаком, так как объектом коллоидной химии в принципе может быть любая многофазная система (например, ее межфазная поверхность), то одна только дисперсность без гетерогенности не может определить принадлежность конкретного объекта к коллоидной химии. Например, истинные растворы представляют дисперсию молекулярно растворенного вещества в растворителе, но они

не обладают свойством многофазности, внутренней гетерогенности. Поверхность является макроскопическим свойством, и поэтому ею не могут обладать отдельные молекулы или ионы небольшой молекулярной массы. Соответственно они не имеют и агрегатного состояния в отличие от частиц коллоидной (дисперсной) системы. Отсюда следует, что истинные растворы не являются гетерогенно-дисперсными системами. Однако истинный раствор определенного объема имеет внешнюю поверхность, например поверхность на границе с воздухом или твердым телом (стенками сосуда), и если рассматриваются свойства межфазного поверхностного слоя, система в совокупности представляет объект коллоидной химии.

Сопоставляя два основных признака объектов коллоидной химии, необходимо отметить, что дисперсность является чисто количественным параметром, характеризующим степень раздробленности, размер межфазной поверхности; гетерогенность же в первую очередь указывает на качественную характеристику объектов, что более важно при установлении отличительных особенностей объектов той или иной науки. Безусловно, изменение дисперсности — количественной характеристики — может приводить к изменению многих других качественных характеристик, о которых будет идти речь в последующих разделах курса.

Однако объекты коллоидной химии качественно отличаются от объектов других наук именно гетерогенностью, т. е. наличием межфазной поверхности. Дисперсность определяет количество этой поверхности. Если существует гетерогенность, то существует и дисперсность, которая может быть большой или малой, но в любом случае объект принадлежит коллоидной химии. Все тела имеют поверхность, происходящие процессы на которой изучаются в коллоидной химии. В этом, как уже было сказано, состоит фундаментальный и общенаучный характер коллоидной химии.

Объекты коллоидной химии можно охарактеризовать и определенным видом энергии, которым они обладают, исходя из тех же основных признаков. Гетерогенность количественно определяется поверхностным натяжением — величиной, характеризующей энергию единицы поверхности и являющейся фактором интенсивности. Поверхностное натяжение определяет как бы степень гетерогенности, резкость перехода от одной фазы к другой, различие между соприкасающимися фазами. Чем сильнее выражена гетерогенность и чем более резко различаются по природе сопряженные фазы, тем больше поверхностное натяжение. Отсутствие гетерогенности равнозначно отсутствию поверхностного натяжения. Второй признак — дисперсность, как уже упоминалось, определяется площадью поверхности (фактор емкости). Произведение поверхностного натяжения σ на пло-

щадь поверхности s дает поверхностную энергию:

$$G^s = \sigma s \quad (I.1)$$

Таким образом, объекты коллоидной химии обладают поверхностной энергией.

Рассмотрение превращения поверхностной энергии в другие виды энергии составляет содержание первой половины курса коллоидной химии — учения о поверхностных явлениях. Основное внимание в этом учении уделяется поверхностному слою, его строению и свойствам. Вторую половину курса составляет учение о дисперсных системах, в котором рассматриваются их синтез и свойства, связанные, главным образом, с дисперсным состоянием, когда поверхностная энергия во многом определяет объемные свойства тел. Две составные части курса также соответствуют двум признакам объектов коллоидной химии. Поверхностные явления — результат проявления гетерогенности, дисперсность же в значительной степени определяет вклад поверхностных явлений в объемные свойства дисперсных систем.

Курс коллоидной химии начинается с учения о поверхностных явлениях, так как они могут рассматриваться независимо от величины дисперсности, в то время как изучение дисперсных систем нельзя представить без необходимых знаний о поверхностных явлениях. Такая последовательность изложения курса логична и вполне оправдана благодаря переходу от общих соотношений и закономерностей к конкретным, от простых явлений к более сложным.

3. Классификация поверхностных явлений

Поверхностные явления удобно классифицировать в соответствии с объединенным уравнением первого и второго начал термодинамики, в которое входят основные виды энергии. Для любой гетерогенной системы его можно записать в следующей форме:

$$dG = -SdT + Vdp + (\sigma ds) + \sum \mu_i dn_i + \varphi dq \quad (I.2)$$

где G — энергия Гиббса; S — энтропия; T — температура; V — объем; p — давление; σ — поверхностное натяжение; s — площадь поверхности; μ_i — химический потенциал компонента i ; n_i — число молей компонента i ; φ — электрический потенциал; q — количество электричества.

Уравнение (I.2) выражает приращение энергии Гиббса системы через алгебраическую сумму приращений других видов энергии. Стрелки указывают на пять возможных процессов превращения поверхностной энергии: а) в энергию Гиббса; б) в теплоту; в) в химическую энергию; г) в механическую

Таблица 1.1. Классификация дисперсных систем по агрегатному состоянию фаз

Дисперсионная среда	Дисперсная фаза	Условное обозначение системы	Название системы и примеры
Твердая	Твердая	Т/Т	Твердые гетерогенные системы: минералы, сплавы, ситаллы, бетон, композиционные материалы
	Жидкая	Ж/Т	Капиллярные системы: жидкость в пористых телах, в адсорбентах; почвы, грунты
Жидкая	Газообразная	Г/Т	Пористые тела: адсорбенты и катализаторы в газах
	Твердая	Т/Ж	Суспензии и золи: промышленные суспензии, пульпы, взвеси, пасты, илы
	Жидкая	Ж/Ж	Эмульсии: природная нефть, кремы, молоко
Газообразная	Газообразная	Г/Ж	Газовые эмульсии и пены: флотационные, противопожарные, мыльные пены
	Твердая	Т/Г	Аэрозоли (пыли, дымы), порошки
	Жидкая	Ж/Г	Аэрозоли: туманы в том числе промышленные, облака
	Газообразная	Г/Г	Коллоидная система не образуется

энергию, д) в электрическую энергию. Превращение поверхностной энергии в один из представленных видов энергии отвечает определенным поверхностным явлениям, таким как изменение реакционной способности с изменением дисперсности, адгезия и смачивание, капиллярность, адсорбция, электрические явления.

4. Классификация дисперсных систем

Дисперсные системы, рассматриваемые в коллоидной химии, гетерогенны, поэтому состоят как минимум из двух фаз. Одна из них является сплошной и называется *дисперсионной средой*. Другая фаза раздроблена и распределена в первой; ее называют *дисперсной фазой*. Наиболее общая классификация дисперсных систем основана на различии в агрегатном состоянии дисперсной фазы и дисперсионной среды. Сочетания трех агрегатных состояний (твердое, жидкое и газообразное) позволяют выделить девять типов дисперсных систем (табл. 1.1). Для краткости их условно обозначают дробью, числитель которой указывает на агрегатное состояние дисперсной фазы, а знаменатель — дисперсионной среды, например обозначение Т/Ж показывает, что система состоит из твердой дисперсной фазы и жидкой дисперсионной среды (твердое в жидкости).

Одно из девяти сочетаний Г/Г не может соответствовать коллоидной системе, так как газы в обычных условиях при любых концентрациях дают истинные растворы (при очень высоких давлениях некоторые газовые системы образуют гетерогенные системы). Однако газовые смеси могут проявлять отдельные свойства гетерогенно-дисперсных систем благодаря непрерывным флуктуациям плотности и концентрации, вызывающим неоднородности в системе. Рассматривая жидкие растворы с молекулярной степенью дисперсности, к гетерогенно-дисперсным системам можно отнести растворы сильно ассоциирующих веществ и полимеров, которые при определенных условиях могут образовывать ассоциативные и макромолекулярные гетерогенные дисперсные системы. Размеры макромолекул или ассоциатов могут превышать размеры обычных коллоидных частиц. Эти системы обладают многими свойствами, характерными для типичных гетерогенно-дисперсных систем. Они как бы связывают в единое целое все дисперсные системы и указывают на непрерывность перехода от истинных молекулярных растворов к гетерогенным дисперсным системам.

Из представленной классификации следует, что все дисперсные системы по кинетическим свойствам дисперсной фазы можно разделить на два класса: свободнодисперсные системы, в которых дисперсная фаза подвижна, и связнодисперсные системы — системы с твердой дисперсионной средой, в которой частицы дисперсной фазы связаны между собой и не могут свободно перемещаться.

В свою очередь, эти системы классифицируют по степени дисперсности. Для свободнодисперсных и связнодисперсных систем классификации по дисперсности имеют существенные различия.

Свободнодисперсные системы подразделяют на *ультрамикрогетерогенные*, размер частиц которых лежит в пределах от 10^{-7} до 10^{-5} см (от 1 до 100 нм), *микрогетерогенные* с размером частиц от 10^{-5} до 10^{-3} см (от 0,1 до 10 мкм) и *грубодисперсные* с частицами, размер которых превышает 10^{-3} см.

Ультрамикрогетерогенные системы часто называют истинно коллоидными или просто *коллоидными*, так как раньше только такие системы считались объектом коллоидной химии. Частицы в них настолько малы, что вещество, из которого они состоят, почти целиком находится в коллоидном состоянии, т. е. практически содержит только поверхностные атомы и молекулы. Такие частицы по сравнению с отдельной молекулой обладают определенным агрегатным состоянием, которого не имеет молекула. С ростом числа молекул в частице последняя постепенно приобретает все свойства фазы. В современной литературе ультрамикрогетерогенные системы чаще называют «золями» (нем. *Sole* от лат. *solutio* — раствор). Среди них различают

твердые золи — системы Т/Т, ими является большинство твердых тел, аэрозоли — золи с газообразной дисперсионной средой; лиозоли — золи с жидкой дисперсионной средой (греч. *lios* — жидкость). В зависимости от природы среды лиозоли называют гидрозолями (вода), органозолями (органическая среда) или, более конкретно, алкозолями (спирты), этерозолями (эфир) и т. д.

К микрогетерогенным системам относят суспензии (Т/Ж), эмульсии (Ж/Ж), пены (Г/Ж), порошки (Т/Г). Эти системы имеют большое значение в промышленности и, в частности, в химической технологии. Из грубодисперсных систем наиболее распространены системы Т/Г (песок, щебень и др.).

Связнодисперсные системы, точнее, пористые тела, классифицируют согласно М. М. Дубинину на *микропористые* с размерами пор до 2 нм, *переходнопористые* — от 2 до 200 нм и *макропористые* — выше 200 нм. Системы Т/Т часто удобнее подразделять по дисперсности так же, как и свободнодисперсные системы. Очевидно, что указанные пределы являются в какой-то степени приближенными и зависят от методов определения и природы объектов исследования. Как правило, все твердые частицы, какие бы размеры они не имели, состоят из частиц коллоидных размеров, сросшихся между собой. В этом также состоит универсальность дисперсного состояния.

5. Значение коллоидной химии

Общенаучный характер коллоидной химии определяется прежде всего чрезвычайно большой распространенностью объектов и явлений, которые изучает эта наука. Она охватывает все области знания, которым приходится иметь дело с материалами и веществами, служит основанием для более углубленного представления о сущности многих явлений, для дальнейшего развития и совершенствования науки и различных производственных процессов. Практически все вещества и материалы, с которыми приходится встречаться в повседневной жизни, представляют собой объекты коллоидной химии. Поэтому есть все основания говорить об универсальности гетерогенно-дисперсного состояния. Такое состояние можно рассматривать как необходимую ступень в строении материалов, следующую за атомами и молекулами. Последние группируются первоначально в ассоциаты или агрегаты, образуя дисперсные фазы, которые, в свою очередь, создают структуру тела; свойства тела во многом зависят от характера взаимодействия частиц между собой и со средой, в которой они находятся.

Широкое проявление коллоидно-химических свойств реальных тел обуславливает разнообразие теоретических и практических проблем, которые решает коллоидная химия. Представ-

ления коллоидной химии используются в астрономии, метеорологии, почвоведении, биологии, агрохимии, материаловедении и других научных областях. Коллоидно-химические методы применяются в большинстве отраслей промышленности, особенно в таких как пищевая, кожевенная, текстильная, резиновая, фармацевтическая, анилино-красочная, нефтедобывающая, нефтеперегонная, металлургическая, коксохимическая, производства искусственного волокна, пластических масс, взрывчатых веществ, строительных материалов, мыловарение.

Коллоидные явления широко распространены в химической технологии. Практически нет такого химического производства, которое бы не осуществлялось с участием поверхностных явлений и дисперсных систем. Измельчение сырья и промежуточных продуктов, обогащение, в том числе флотация, сгущение, отстаивание и фильтрация, конденсация, кристаллизация и вообще процессы образования новых фаз, брикетирование, спекание, гранулирование — все эти процессы протекают в дисперсных системах, и в них большую роль играют такие коллоидно-химические явления, как смачивание, капиллярность, адсорбция, седиментация, коагуляция.

Большое распространение в химической технологии получили адсорбенты и катализаторы, которые представляют собой дисперсные системы с твердой дисперсионной средой. Адсорбция имеет самостоятельное значение для очистки и разделения веществ, извлечения ценных компонентов, хроматографии и др.

Как правило, все гетерогенные процессы в химической технологии для увеличения их скорости проводят при максимальной поверхности контакта фаз. Это значит, что системы в реакционных аппаратах находятся в состоянии суспензий, паст, пульп, эмульсий, пен, порошков, туманов, пылей. Несмотря на то что толщина поверхностных слоев не превышает несколько молекул, их роль не менее важна, чем объемных фаз, например, в процессах массопередачи (адсорбция, экстракция, сушка, испарение и др.), термоэлектронной эмиссии, смазочном действии, адгезии.

Закономерности протекания поверхностных явлений, в частности структурообразования, служат теоретической основой получения материалов с заданными свойствами: керамики, цементов, ситаллов, сплавов, сорбентов и катализаторов, смазочных и лакокрасочных материалов, полимеров, порохов, моющих средств, топливных материалов, пищевых продуктов, лекарственных веществ и др. Функциональные свойства этих материалов зависят от их дисперсности, природы поверхности и межфазных взаимодействий.

6. Основные пути развития коллоидной химии

Понятие «коллоид» зародилось в шестидесятых годах прошлого столетия. К этому времени в органической и неорганической химии уже были сформулированы фундаментальные законы, составляющие основу этих наук: теория строения А. М. Бутлерова и Периодический закон Д. И. Менделеева. Только в начале нашего столетия Во. Оствальд обратил внимание на решающую роль поверхности и поверхностных эффектов в коллоидных системах. В физике и физической химии к этому времени была окончательно сформирована молекулярно-кинетическая теория, подтверждение которой дала коллоидная химия, экспериментально доказавшая наличие теплового движения молекул через броуновское движение частиц ультрамикрорегетерогенных систем.

Коллоидная химия как наука имеет небольшую историю, однако свойства коллоидных систем, коллоидно-химические принципы и процессы человек использовал с древнейших времен. Самые первые ремесла имеют прямое отношение к типичным объектам и процессам коллоидной химии: получение керамики, красок, глазури, прядение льна, хлопка, шерсти, выделывание кож. Все эти производства, разумеется, основывались на опыте. Только начиная с XVIII в., появляются описания отдельных исследований, которые в дальнейшем вошли в соответствующие разделы коллоидной химии. К ним относятся работы М. В. Ломоносова по изучению процессов кристаллизации, получению цветных стекол с применением дисперсий металлов (1745—1755 гг.). В 1777 г. К. Шееле и Ф. Фонтана независимо друг от друга открыли явление адсорбции газов углем. Т. Е. Ловиц (1785 г.) обнаружил явление адсорбции из растворов. П. Лаплас в 1806 г. получил первые количественные соотношения для капиллярного давления. В 1808 г. Ф. Ф. Рейсс, проводя опыты с только что появившимся элементом Вольта, открыл явления электрофореза и электроосмоса.

В 30-х годах XIX в. И. Я. Берцелиус обратил внимание на особые свойства коллоидных растворов: их неустойчивость и опалесценцию. К периоду 1845—1847 гг. относятся работы Ф. Сельми по изучению свойств «псевдорастворов» (гидрозолей неорганических веществ — серы, сульфида, мышьяка и др.). В этот же период М. Фарадей получил золи некоторых металлов (золота, серебра) и установил, что частицы золь остаются металлическими. Он впервые (1857 г.) наблюдал опалесценцию с помощью светящегося конуса, названного впоследствии конусом Тиндалля.

Систематическое изучение коллоидных систем было начато английским ученым Т. Грэмом в 1861 г. Этот год принято считать годом рождения коллоидной химии. Грэм обобщил выполненные до него исследования и сформулировал основные представления о коллоидных системах. Ему принадлежит и введение термина «коллоид». Изучая диффузию веществ в растворах, Грэм отметил медленное протекание диффузии частиц коллоидных растворов и их неспособность проникать через мембраны в отличие от молекул обычных растворов. Он разработал методы получения коллоидных растворов и показал, что нерастворимые вещества при определенных условиях могут быть переведены в состояние раствора (золя), по внешним признакам почти не отличающегося от истинных растворов. Сопоставляя обычные растворы с золями, Грэм пришел к выводу о необходимости разделения веществ на «кристаллоиды» и «коллоиды». Однако он принял «коллоиды» за особый класс веществ, хотя и выражал сомнения, предполагая, что частица коллоида построена из более мелких кристалликов и именно такая сложная структура может быть причиной коллоидальности.

Независимо от Грэма в 1869 г. профессор Киевского университета И. Г. Боршков и Д. И. Менделеев высказали предположение о возможном кристаллическом строении частиц коллоидных систем.

В начале XX в. профессор Санкт-Петербургского горного института П. П. Веймарн показал, что не существует «особого вида коллоидов» и что

одно и то же вещество в зависимости от условий, растворителя может быть как «кристаллоидом», так и «коллоидом». Таким образом, установилось представление о коллоидном состоянии вещества, которое П. П. Веймарн считал всеобщим состоянием материи. Во. Оствальд несколько позднее, давая определение предмету коллоидной химии, пишет: «Коллоидная химия не является учением о свойствах специальной группы веществ, напротив, она изучает физико-химическое состояние, присущее всем веществам» (Мир обобщенных величин, 1914 г.).

Следующим этапом в развитии представлений об объектах коллоидной химии является период интенсивного исследования зависимости свойств систем от размера частиц дисперсной фазы. Эти исследования были положены в основу нового направления в коллоидной химии, которое получило название дисперсоидологии. Его основателями были Во. Оствальд в Германии и П. П. Веймарн в России. Дисперсоидология предлагает рассматривать с общей точки зрения и гетерогенные системы, и истинные растворы. Качественные признаки системы она связывает с изменением степени дисперсности. Например, частицы суспензий оседают под действием силы тяжести, частицы золей не оседают, а включаются в тепловое движение среды (молекулярно-кинетическая теория броуновского движения была разработана А. Эйнштейном и М. Смолуховским в 1905—1906 гг. и экспериментально подтверждена в 1908—1910 гг. Т. Сведбергом, Ж. Перреном, де Бройлем и др.), при еще большей степени дисперсности (молекулярной) существуют истинные растворы. Некоторые свойства, как оказалось, максимально проявляются при коллоидной степени дисперсности (от 1 до 100 нм): светорассеяние, окраска, кроющая способность пигментов, действие наполнителей в композиционных материалах. Интересно, что даже твердость сплавов, представляющих поликристаллические структуры, максимальна при коллоидных размерах кристалликов, составляющих структуру. Эти факты и закономерности способствовали распространению дисперсоидологии. Положительное значение этого направления состояло в том, что оно обратило внимание ученых на зависимость свойств веществ от дисперсности и увеличение роли поверхностных явлений с ростом дисперсности.

Для вскрытия сущности этих зависимостей были привлечены ранее выполненные работы К. Шееле, Ф. Фонтаны, Т. Е. Ловица по адсорбции, Дж. Гиббса (1880 г.) по термодинамике поверхностных явлений, П. Лапласа (1806 г.), Т. Юнга (1855 г.), В. Кельвина-Томсона (1871 г.) по капиллярным явлениям, Ф. Ф. Рейсса (1808 г.), Г. Квинке (1859 г.), Г. Гельмгольца, Г. Липпмана (1870—1880 гг.) по электроповерхностным явлениям и др.

В период распространения дисперсоидологического направления развивается учение об адсорбции в работах М. С. Цвета (1903 г.), Б. А. Шишковского (1908 г.), И. Ленгмюра (1917 г.), Г. Фрейндлиха (1926 г.), Н. А. Шилова (1915—1930 гг.), а также закладываются основы теории двойного электрического слоя Г. Гуи, Д. Чепмена, О. Штерна (1910—1924 гг.). Учение о поверхностных явлениях постепенно становится основой коллоидной химии, ее теоретическим фундаментом. Третье десятилетие XX в. явилось периодом окончательного формирования коллоидной химии как самостоятельной науки со своими объектами и методами исследования. В этот же период и проявились отрицательные стороны дисперсоидологии, ее механистическая сущность. Взяв на основу одну только дисперсность и объединив гетерогенные системы с истинными растворами, она тем самым завуалировала основной качественный признак объектов коллоидной химии — гетерогенность.

Огромная заслуга в формировании современных представлений об объектах коллоидной химии принадлежит советскому физикохимику Н. П. Пескову. С философских позиций он вскрыл сущность развития качественных признаков системы с изменением дисперсности. Изменение дисперсности приводит к непрерывному количественному изменению одного и того же качества, хотя и возможны максимумы и минимумы. Качественно новое свойство возникает только в результате борьбы противоположностей, которая приводит к скачкам, разрыву постепенности. Этим качественно

новым свойством, характерным для объектов коллоидной химии, является гетерогенность, наличие межфазной поверхности. Н. П. Песков (1932 г.) приходит к выводу, что признаки объектов коллоидной химии — это гетерогенность (многофазность) и дисперсность. О поверхности он пишет: «Поверхность раздела — необычайно интересная вещь. Это и есть единство противоположностей. Молекулы, лежащие на поверхности, принадлежат обоим фазам. В этом смысле они сосредоточивают в себе все те противоположные свойства, которые имеются в этих фазах...». Например, растворение и конденсацию. «Здесь мы имеем не только скачок свойств, но и особенное качественное единство — единство противоположностей. Такое единство стремится снять себя... Это совершается в процессе адсорбции, когда поверхность благодаря существованию на ней новой формы энергии (поверхностной энергии) концентрирует на себе молекулы из окружающей среды... С фактом существования у коллоидных систем поверхности раздела связаны все самые существенные и самые характерные свойства коллоидов». (Н. П. Песков. Коллоидная химия. Изд. МХТИ, М., 1932).

С момента утверждения представлений Н. П. Пескова о признаках объектов коллоидной химии начинает формироваться современная коллоидная химия как наука о поверхностных явлениях и дисперсных системах. Она постепенно объединила в себе все достижения в области поверхностных явлений, дисперсных систем и их превращений.

Большой вклад в развитие коллоидной химии внесли такие советские ученые, как А. В. Думанский (учение о лиофильных системах), А. Н. Фрумкин (свойства поверхностных слоев), П. А. Ребиндер (устойчивость и разрушение дисперсных систем, физикохимия поверхностно-активных веществ, закономерности структурообразования), С. М. Липатов (растворы полимеров), В. А. Каргин (коллоидно химические свойства лиофобных зелей и полимерных систем) и многие другие.

II. ТЕРМОДИНАМИКА И СТРОЕНИЕ ПОВЕРХНОСТНОГО СЛОЯ

A. ОСНОВНЫЕ ТЕРМОДИНАМИЧЕСКИЕ ПАРАМЕТРЫ ПОВЕРХНОСТНОГО СЛОЯ

1. Геометрические параметры поверхности

Межфазные поверхности могут существовать только при наличии в системе жидкой или твердой фазы. Именно эти фазы определяют форму и строение поверхностного слоя — переходной области от одной фазы к другой. Свойства поверхностного слоя непосредственно связаны с объемной структурой жидких и твердых фаз. К этому факту мы будем обращаться и в дальнейшем, а здесь отметим существенное влияние на свойства поверхностей жидких и твердых тел большой подвижности молекул жидкости и практической неподвижности молекул и атомов твердого тела.

Поверхностный слой жидкости вследствие подвижности молекул в объеме, а также в результате постоянно протекающих

процессов испарения и конденсации находится в состоянии непрерывного обновления. Так, среднее время жизни молекулы воды на поверхности составляет около 10^{-7} с. Плотность граничного слоя между водной фазой и ее насыщенным паром изменяется непрерывно от плотности жидкой воды до плотности ее пара. Обычно толщина поверхностного слоя жидкости существенно зависит от температуры. В то же время межмолекулярные силы обеспечивают наличие поверхностного слоя жидкости определенной толщины. Чем больше межмолекулярные силы, тем на меньшее расстояние молекулы могут диффундировать с поверхности, т. е. тем меньше толщина поверхностного слоя. Внутренняя граница слоя соответствует началу изменения структуры жидкости в объеме. Вследствие подвижности жидкости имеют гладкие и сплошные, или эквипотенциальные, поверхности, т. е. с термодинамических позиций (макросостояния) все точки поверхности жидкости энергетически эквивалентны.

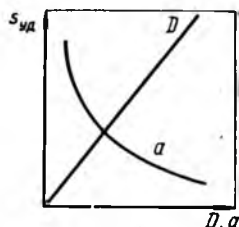
Поверхность твердого тела в отличие от поверхности жидкости в течение долгого времени может оставаться такой же, какой она была в момент образования. Вместе с тем многие твердые тела обладают пластическими свойствами и при определенных условиях могут течь. Таким образом, они могут характеризоваться так же, как и жидкости, объемной и поверхностной подвижностью. Времена жизни молекул и атомов на поверхности твердых тел очень сильно различаются для легкоплавких и тугоплавких веществ. Для тугоплавкого вольфрама при комнатной температуре время жизни атомов на поверхности составляет $\approx 10^{32}$ с. Практическая неподвижность атомов и молекул в тугоплавких телах, хотя они и колеблются около положения равновесия, обуславливает неизменность формы их поверхности во времени. Поверхность твердого тела редко бывает эквипотенциальной. Очевидно, что межфазную поверхность твердое тело — жидкость определяет профиль поверхности твердого тела. Поверхностный слой на межфазных границах имеет одну часть в первой фазе, другую — во второй.

Уравнением (I.1) поверхностная энергия была представлена в виде произведения поверхностного натяжения на площадь поверхности, т. е. соответственно фактора интенсивности на фактор емкости. Рассмотрим несколько подробнее геометрические параметры поверхности. Удельная поверхность тела определяется отношением площади его поверхности $s_{1,2}$ между фазами 1 и 2 к объему тела V :

$$s_{уд} = s_{1,2}/V \quad (II.1)$$

Это соотношение будет определять и удельную поверхность дисперсной системы. Общая поверхность между фазами может быть отнесена к дисперсной фазе или к дисперсионной среде.

Рис. II.1. Зависимость удельной поверхности $s_{уд}$ дисперсных систем от размера частиц a и дисперсности D



Обычно при определении удельной поверхности дисперсной системы ее относят к объему дисперсной фазы. Формула (II.1) справедлива для систем с частицами разных и одинаковых размеров.

Дисперсные системы с одинаковыми по размеру частицами дисперсной фазы называются *монодисперсными*, а с неодинаковыми по размеру частицами — *полидисперсными*. Реальные системы, как правило, полидисперсны.

Если общие поверхность и объем дисперсной фазы монодисперсной системы выразить через поверхность и объем отдельных частиц (средние значения), то число частиц будет входить и в числитель, и знаменатель уравнения (II.1). Поэтому удельную поверхность монодисперсной системы можно определить, зная только размер отдельной частицы.

Например, для систем кубических частиц с размером ребра l и сферических диаметром d имеем:

$$s_{уд} = s_{1,2}/V = 6l^2/l^3 = 6/l, \quad s_{уд} = s_{1,2}/V = \pi d^2/(1/6\pi d^3) = 6/d \quad (II.2)$$

или в общем виде можно записать

$$s_{уд} = k/a = kD \quad (II.3)$$

где k — коэффициент формы частиц.

Из уравнения (II.3) следует, что удельная поверхность дисперсной системы обратно пропорциональна размеру частиц a и прямо пропорциональна дисперсности D (рис. II.1). Часто удельную поверхность относят к массе m дисперсной фазы (или дисперсионной среды), и тогда необходимо учитывать плотность вещества ρ :

$$s_{уд} = s_{1,2}/m = s_{1,2}/(V\rho) \quad (II.4)$$

Для сферических частиц $s_{уд} = 6/(d\rho)$.

Изменение удельной поверхности с изменением дисперсности (размера) существенно зависит от формы частиц. Из примеров, приведенных на рис. II.1, при $A \gg a$ следует:

$$\begin{aligned} \text{для пленки } s_{уд} &= s_{1,2}/V = 2A^2/(A^2a) = 2/a \\ \text{для бруска } s_{уд} &= s_{1,2}/V = 4Aa/(Aa^2) = 4/a \\ \text{для куба } s_{уд} &= s_{1,2}/V = 6a^2/a^3 = 6/a \end{aligned} \quad (II.5)$$

В этом ряду указанная зависимость увеличивается: возрастает коэффициент формы.

Более конкретной характеристикой дисперсности является кривизна поверхности, определяемая производной площади поверхности по объему;

$$H = 1/2 ds/dV \quad (II.6)$$

Эту величину удобно применять для характеристики поверхностей неправильной формы. Найдем эту производную для сферической частицы радиусом r :

$$s = 4\pi r^2; \quad ds = 8\pi r dr; \quad V = 4/3\pi r^3; \quad dV = 4\pi r^2 dr \quad (II.7)$$

$$\frac{ds}{dV} = \frac{8\pi r dr}{4\pi r^2 dr} = \frac{2}{r}; \quad H = \frac{1}{r}$$

Для нити цилиндрической формы длиной l имеем:

$$s = 2\pi r l; \quad ds = 2\pi l dr; \quad V = \pi r^2 l; \quad dV = 2\pi l r dr \quad (II.8)$$

$$\frac{ds}{dV} = \frac{2\pi l dr}{2\pi l r dr} = \frac{1}{r}; \quad H = \frac{1}{2r}$$

Если частица имеет неправильную форму, то для определения кривизны ее поверхности в данной точке пользуются уравнением:

$$H = 1/2(1/r_1 + 1/r_2) \quad (II.9)$$

где r_1 и r_2 — радиусы окружностей, полученных при прохождении через поверхность и нормаль к ней в данной точке двух перпендикулярных плоскостей.

Кривизна может быть положительной и отрицательной. Если центр окружности находится внутри тела, кривизна поверхности которого определяется, то она положительна, если центр окружности вне этого тела, то кривизна отрицательна.

При дроблении и измельчении тел увеличивается их удельная поверхность, которая может достигать значительных величин. Расчетные данные табл. II.1 иллюстрируют резкое возрастание удельной поверхности тела объемом 1 см^3 при его измельчении на равновеликие кубики.

Размеры молекул обычно составляют доли нанометра; размеры частиц гетерогенных дисперсных систем могут достигать

Таблица II.1. Удельная поверхность кубических тел в зависимости от степени измельчения

Размер ребра кубика, см	Число частиц	Удельная поверхность, $\text{см}^2/\text{см}^3$
1	1	6
10^{-1} (1 мм)	10^3	6 · 10
10^{-4} (1 мкм)	10^{12}	$6 \cdot 10^4$ (6 $\text{м}^2/\text{см}^3$)
10^{-7} (1 нм)	10^{21}	$6 \cdot 10^7$ (6000 $\text{м}^2/\text{см}^3$)

единиц нанометра. Таким образом, удельная поверхность может иметь значения, достигающие тысячи квадратных метров на кубический сантиметр (или грамм) дисперсной фазы.

2. Поверхностное натяжение

Фактором интенсивности поверхностной энергии является поверхностное натяжение, обусловленное нескомпенсированным полем межмолекулярных сил на межфазной поверхности. Термодинамическое определение поверхностного натяжения вытекает из объединенного уравнения первого и второго начал термодинамики. Запишем его для гетерогенной системы относительно изменения внутренней энергии U :

$$dU = TdS - pdV + \sigma ds + \sum_i \mu_i dn_i + \varphi dq$$

При постоянных S , V , n_i и q имеем:

$$\sigma = \left(\frac{\partial U}{\partial s} \right)_{S, V, n_i, q} \quad (11.10)$$

т. е. поверхностное натяжение есть частная производная от внутренней энергии по площади поверхности раздела фаз при постоянных энтропии, объеме, числе молей компонентов и заряде.

Так как объединенное уравнение первого и второго начал термодинамики может быть записано и относительно других термодинамических потенциалов, а именно энергии Гиббса G (1.2), энергии Гельмгольца F и энтальпии H , то при соответствующих постоянных параметрах получим:

$$\sigma = \left(\frac{\partial U}{\partial s} \right)_{S, V, n_i} = \left(\frac{\partial H}{\partial s} \right)_{S, p, n_i} = \left(\frac{\partial F}{\partial s} \right)_{T, V, n_i} = \left(\frac{\partial G}{\partial s} \right)_{T, p, n_i} \quad (11.11)$$

Таким образом, поверхностное натяжение есть частная производная от любого термодинамического потенциала по площади межфазной поверхности при постоянных соответствующих параметрах.

Наиболее часто поверхностное натяжение выражают через производную от энергии Гиббса, ибо условия p и $T = \text{const}$ легко осуществимы экспериментально. Так как поверхностное натяжение относится к характеристикам конденсированных систем, то без больших погрешностей можно пользоваться и производной от энергии Гельмгольца (изменение объема от давления в конденсированных системах мало).

Обращает на себя внимание тот факт, что термодинамическое определение поверхностного натяжения аналогично определению химического потенциала, только поверхностное натяжение характеризует межфазную поверхность, а химический

потенциал — растворенное вещество. Обе величины — это частные производные от любого термодинамического потенциала, но в одном случае — по площади поверхности, в другом — по числу молей вещества.

Изменение энергии Гиббса поверхности можно представить через энергию Гиббса, приходящуюся на единицу площади поверхности G_s , т. е.

$$G = G_s s \text{ или } dG = d(G_s s)$$

тогда

$$\sigma = \partial G / \partial s = G_s + s (\partial G_s / \partial s) \quad (\text{II.12})$$

Термодинамические потенциалы единицы поверхности не изменяются с изменением площади поверхности для индивидуальных веществ ($\partial G_s / \partial s = 0$). Это значит, что поверхностное натяжение индивидуальных веществ является в то же время удельной энергией Гиббса поверхности (энергией Гиббса, приходящейся на единицу площади поверхности), и поэтому для них общая энергия Гиббса поверхности линейно связана с площадью поверхности вплоть до очень больших удельных поверхностей. У растворов удельная энергия Гиббса поверхности зависит от удельной поверхности ($\partial G_s / \partial s \neq 0$), в зависимости от последней изменяется состав поверхностного слоя, и поэтому в соответствии с уравнением (II.12) она не может быть равной поверхностному натяжению.

Поскольку поверхностное натяжение определяется энергией, приходящейся на единицу площади, единицами его являются:

$$\text{в СИ Дж/м}^2 = \text{Н} \cdot \text{м/м}^2 = \text{Н/м}$$

$$\text{в системе СГС эрг/см}^2 = \text{дин} \cdot \text{см/см}^2 = \text{дин/см}$$

Соотношение между единицами поверхностного натяжения в разных системах:

$$1 \text{ Дж/м}^2 = 1000 \text{ эрг/см}^2 = 1 \text{ Н/м} = 1000 \text{ дин/см} = 1000 \text{ мДж/м}^2$$

Поверхностное натяжение, например, на границе жидкости с газовой фазой можно представить как работу, расходуемую на обратимый разрыв столбика этой жидкости с поперечным сечением в $1/2$ единицы площади, так как при разрыве образуется новая поверхность, равная единице площади. Его можно рассматривать как работу переноса молекул из объема тела на поверхность. Так как поверхностное натяжение связано с работой, расходуемой на разрыв межмолекулярных связей, то оно ими и обусловлено. Чем сильнее межмолекулярные связи в данном теле, тем больше его поверхностное натяжение на границе с газовой фазой. (На границе с газовой фазой можно пренебречь межфазовым взаимодействием.) Отсюда следует, что поверхностное натяжение меньше у неполярных жидкостей, имеющих слабые межмолекулярные связи, и больше у поляр-

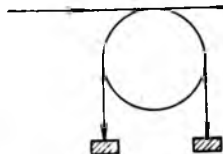
Таблица II.2. Поверхностное натяжение (удельная поверхностная энергия) некоторых веществ на границе с воздухом

Вещество	T, K	$\sigma, \text{мДж/м}^2$	Вещество	T, K	$\sigma, \text{мДж/м}^2$
Гелий (ж)	3	0,22	V_2O_5 (ж)	1173	80
Азот (ж)	80	8,27	Al_2O_3 (ж)	2353	700
Аммиак (ж)	283	24,25	Al_2O_3 (тв)	2123	905
Гексан	298	17,9	Кварцевое стекло (тв)	298	740
Этанол	298	22,1	MgO (тв)	298	1000
Тетрахлорид углерода	298	25,02	NaCl (ж)	1074	114
Бензол	298	28,2	Na_2SO_4 (ж)	1157	196
Сероуглерод	298	31,5	Свинец (ж)	623	442
Муравьиная кислота	298	36,6	Серебро (ж)	1273	920
Анилин	298	43,2	Серебро (тв)	1023	1140
Вода	298	71,95	Медь (ж)	1393	1270
Лед	270	120,0	Медь (тв)	1373	1430
Ртуть	298	473,5	Алюминий (тв)	298	1909
			Железо (тв)	298	3959
			Вольфрам (тв)	298	6814
			Алмаз	298	11 400
			(грань 111)		

ных жидкостей. Большим поверхностным натяжением обладают вещества, имеющие межмолекулярные водородные связи, например вода. В табл. II.2 приведены значения поверхностного натяжения некоторых веществ на границе с воздухом, из которой видно, что из жидкостей наибольшим поверхностным натяжением обладает ртуть, $\sigma = 473,5 \text{ мДж/м}^2$.

Следует обратить внимание и на другой физический смысл поверхностного натяжения. Поверхностное натяжение можно выразить силой, направленной тангенциально (параллельно) к поверхности и приходящейся на единицу длины периметра, ограничивающего эту поверхность. Физическая сущность поверхностного натяжения в этом случае проявляется в том, что поверхностные молекулы, обладая избыточной (нескомпенсированной) энергией, стремятся уйти в глубь конденсированной фазы и тем самым сжимают поверхность. Некоторой аналогией поверхностного натяжения может служить действие устройства типа блока, показанного на рис. II.2, которое силу тяжести преобразует в силу горизонтального натяжения (сжатия). Однако такое представление о поверхностном натяжении применимо только к жидкостям, так как одновременно с образова-

Рис. II.2. Механический аналог сжатия поверхности под действием поверхностного натяжения



нием поверхности молекулы и атомы жидкости ориентируются на нем, уплотняются, переходя в равновесное состояние и вызывая тем самым тангенциальное натяжение поверхности.

В твердых телах переход поверхностных атомов и молекул в равновесное состояние вследствие их малой подвижности может продолжаться очень долго, чем и объясняется наличие у твердых тел поверхностного напряжения. В связи с этим для твердых тел правильнее говорить об удельной поверхностной энергии. В то же время если предположить возможность достижения равновесия между поверхностным слоем и объемом, то и для твердых тел будет справедливо понятие поверхностного натяжения.

Наиболее общее и четкое по физическому смыслу представление о поверхностном натяжении как о работе образования единицы поверхности. У тел в твердом состоянии по сравнению с жидким силы межмолекулярного и межатомного взаимодействия больше на величину, определяемую энтальпией плавления (затвердевания). Соответственно они имеют и большее поверхностное натяжение или большую удельную поверхностную энергию (см. табл. II.2). В это превышение может вносить вклад составляющая, обусловленная указанной выше неравновесностью при определении удельной поверхностной энергии твердых тел. Обычно эта разница составляет 10—15% от поверхностного натяжения жидкости (расплава). Такой же величиной характеризуется межфазовое натяжение на границе твердого тела с его расплавом. Из данных табл. II.2 видно, что для более тугоплавких веществ значения удельной поверхностной энергии выше. Это также объясняется проявлением более прочных межатомных и межмолекулярных связей, преодолеваемых при образовании поверхности.

Измерение энергии и силы разрыва межмолекулярных связей лежит в основе многих методов определения поверхностного натяжения тел. К группе методов, предназначенных для определения поверхностного натяжения жидкостей, относятся методы взвешивания (отрыва) капель, отрыва кольца, отрыва пластинки Вильгельми. Все они предполагают разрыв жидкости по определенному сечению. При расчете σ используется соотношение

$$\Delta F = \sigma l \quad (\text{II.13})$$

где ΔF — вес капли, или сила отрыва кольца, пластины от поверхности жидкости; l — периметр поверхности разрыва.

Определение удельной поверхностной энергии Гиббса и поверхностного натяжения твердых тел представляет значительно более трудную задачу, и методы измерения, как правило, менее точны, чем для жидкостей. Прямые методы (например,

расщепление) дают очень приближенные значения поверхностной энергии. Возможен расчет σ на основе теории элементарной решетки, но он тоже не является точным.

3. Когезионные и поверхностные силы

Как следует из определения, поверхностное натяжение различных конденсированных тел на границе с газом непосредственно связано с межатомным и межмолекулярным взаимодействием в конденсированной фазе. Взаимодействие (сцепление) молекул, атомов, ионов внутри одной фазы (гомогенной части системы) называют *когезией*. Когезия обусловлена теми же силами притяжения различной природы и определяет существование веществ в конденсированном состоянии. Когезионные силы иногда называют силами аттракции (притяжения).

Рассмотрим количественные характеристики когезионного взаимодействия. Работа когезии определяется затратой энергии на обратимый изотермический разрыв тела по сечению, равному единице площади. Так как при разрыве образуется поверхность в две единицы площади, то работа когезии равна удвоенному значению поверхностного натяжения на границе с газом:

$$W_k = 2\sigma \quad (\text{II.14})$$

Применительно к идеальному твердому телу (отсутствие дефектов структуры) величину W_k часто называют прочностью на разрыв (обратимый), или когезионной прочностью. Реальные тела из-за наличия дефектов структуры имеют значительно меньшую (иногда в сто и тысячу раз) прочность.

Когезия отражает межмолекулярное взаимодействие внутри гомогенной фазы, поэтому ее могут характеризовать также такие параметры, как энергия кристаллической решетки, внутреннее давление, энергия парообразования, температура кипения, летучесть (определяемая равновесным давлением пара над телом) и др. Эти же параметры количественно характеризуют и поверхностное натяжение тел на границе с газом.

Внутреннее давление жидкостей можно оценить с помощью уравнения Ван-дер-Ваальса. Молекулы в жидкостях находятся значительно ближе друг к другу, чем в газах, и ван-дер-ваальсовы силы межмолекулярного взаимодействия в них являются преобладающими, что и определяет жидкое агрегатное состояние.

В уравнение Ван-дер-Ваальса для реальных газов

$$(p + a/V^2)(V - b) = RT \quad (\text{II.15})$$

где p — внешнее давление; V — мольный объем газа; a — постоянная, характеризующая межмолекулярное взаимодействие, b — постоянная, отражающая собственный объем моля молекул, входит внутреннее давление, определяемое соотношением:

$$p_{\text{вн}} = a/V^2 \quad (\text{II.16})$$

Так как мольный объем жидкостей при нормальных условиях в тысячи раз меньше мольного объема газов, то соотношение a/V^2 для жидкостей в миллион раз больше, чем для газов. Это значит, что внутреннее давление

$p_{вн}$ в жидкостях очень велико, и поэтому можно пренебречь внешним давлением в уравнении Ван-дер-Ваальса. Тогда уравнение состояния для жидкостей примет вид:

$$a(V - b)/V^2 = RT \text{ или } p_{вн} = RT/(V - b) \quad (\text{II.17})$$

Сравнительные оценки внутреннего давления и соответственно поверхностного натяжения жидкостей могут быть получены по соотношению (II.17). Например, расчет внутреннего давления для воды дает значение около 1100 МПа ($\sigma = 72,0$ мДж/м²). Такое давление нельзя измерить непосредственно.

Точную информацию о когезии и поверхностном натяжении можно получить из термодинамических характеристик тел, связанных с энергией парообразования. В процессе испарения вещества происходит полный разрыв межмолекулярных связей, поэтому работа когезии определяется энтальпией парообразования:

$$\Delta H_{п} = \Delta G_{п} + T\Delta S_{п} \quad (\text{II.18})$$

где $\Delta G_{п}$ — изменение энергии Гиббса при парообразовании; $\Delta S_{п}$ — изменение энтропии при парообразовании.

Энтальпия парообразования твердых тел равна энергии кристаллической решетки.

В условиях равновесия между конденсированной и паровой фазами при $p = \text{const}$ и $T = \text{const}$ $\Delta G_{п} = 0$ и тогда

$$\Delta H_{п} = T\Delta S_{п} \quad (\text{II.19})$$

Отсюда следует, что чем больше энтальпия парообразования, т. е. больше работа когезии, а значит и поверхностное натяжение, тем больше его энтропия. Так как

$$\Delta S_{п} = \Delta S_0 - R \ln(p/p_{атм}) \quad (\text{II.20})$$

где ΔS_0 — изменение энтропии парообразования при температуре кипения; $p_{атм}$ — давление пара, равное атмосферному давлению

то чем больше работа когезии (больше поверхностное натяжение), тем меньше давление насыщенного пара над веществом при данной температуре (меньше летучесть). При кипении $p/p_{атм} = 1$, тогда уравнение (II.19) принимает вид

$$L = T_{кип}\Delta S_0 \text{ или } L/T_{кип} = \Delta S_0 \quad (\text{II.21})$$

где L — энтальпия парообразования при температуре кипения $T_{кип}$.

Величина ΔS_0 , отнесенная к 1 моль вещества, имеет приблизительно одинаковое значение для многих неассоциированных жидкостей (правило Трутона), равное 85—90 кДж/(моль·К). Таким образом, когезию таких жидкостей (и поверхностное натяжение) можно оценивать и сравнивать по температуре кипения и энтальпии (теплоте) парообразования при температуре кипения.

Когда мы говорим об избыточной, поверхностной энергии на границе раздела фаз, о нескомпенсированных силах поверх-

ностных молекул и атомов и другом их физическом состоянии (поверхностное натяжение) по сравнению с состоянием молекул и атомов в объеме фаз (когезия), то в первую очередь подчеркиваем особенность термодинамического состояния вещества в поверхностных слоях. Эта особенность в каждом отдельном случае проявляется в ненасыщенности определенных физических сил и химических связей, характерных для конденсированных фаз, а для твердых тел поверхностные свойства зависят также и от типа кристаллических решеток. Естественно, свойства поверхности непосредственно отражают природу ионов, атомов и молекул, находящихся на ней.

Для жидкостей и большинства твердых тел когезионные силы выражаются в межмолекулярном взаимодействии, обусловленном ван-дер-ваальсовыми и водородными связями. Оно отличается от химического взаимодействия отсутствием специфичности и насыщаемости, небольшими энергиями, проявлением на значительно больших расстояниях. Разрыв таких связей приводит к формированию поверхности, обладающей соответственно перечисленными особенностями, т. е. способностью образовывать ван-дер-ваальсовы и водородные связи с молекулами, попадающими на эту поверхность.

При разрушении твердых тел, имеющих атомную кристаллическую решетку (кристаллы углерода, германия, кремния и др.), разрываются ковалентные связи. Реакционная способность атомов на поверхности таких тел чрезвычайно велика. В условиях вакуума они способны образовывать между собой двойные связи, а на воздухе чаще всего реагируют с кислородом, образуя на поверхности оксидные пленки.

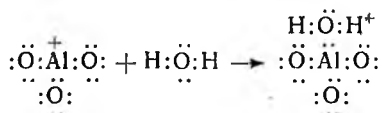
У ионных кристаллов распределение электрического заряда на поверхности значительно отличается от его распределения в объеме. В результате реакционная способность поверхности повышена к ионам противоположного заряда.

Из приведенных кратких сведений следует непосредственная взаимосвязь поверхностных свойств тел с их объемными свойствами. Разные кристаллические структуры резко отличаются по свойствам, в том числе и по энергии когезионных связей. Прослеживается уменьшение этой энергии в ряду кристаллов: ковалентные > ионные > металлические > молекулярные (ван-дер-ваальсовые). Кроме того, химическая и кристаллографическая структура различных граней одного и того же кристалла может существенно различаться. Более плотная упаковка атомов отвечает меньшей поверхностной энергии Гиббса данной грани и соответственно меньшей ее реакционной способности.

Для большинства твердых веществ химические связи оказываются смешанными. Например, оксиды металлов в зависимости от природы металла, его степени окисления могут иметь

различные доли ионной и ковалентной связей. Отсюда и неоднозначность реакционной способности поверхности.

Состав и структура твердых поверхностей зависят от условий их образования и последующей обработки. Например, поверхности оксидов в момент образования проявляют более высокую химическую активность, чем после выдерживания их на воздухе и тем более при высоких температурах. Значительное влияние на свойства поверхности оксидов оказывает предварительное взаимодействие с парами воды, например, на поверхности алюмосиликатов изменяется количественное соотношение между бренстедовскими и льюисовскими кислотными центрами. Переход кислоты Льюиса в кислоту Бренстеда можно представить следующим образом:



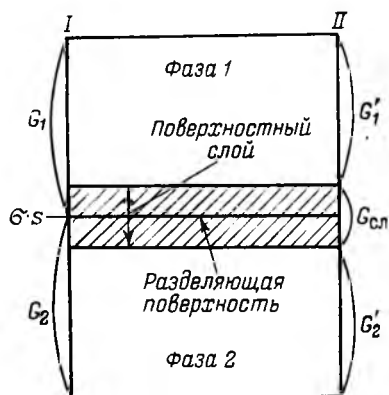
Таким образом, кислота, которая может принять электронную пару для образования ковалентной связи, в результате присоединения молекул воды переходит в кислоту, способную отдавать протон. Термообработка приводит к обратному процессу.

Гидроксильные группы на поверхности смешанных оксидов также проявляют разную реакционную способность. Например, —ОН-группы на поверхности алюмосиликата могут связываться с атомом кремния, с атомом алюминия и с катионом щелочного металла. Кроме того, на реакционной способности гидроксильных групп сказывается взаимное влияние смешанных оксидов.

4. Внутренняя (полная) удельная поверхностная энергия. Зависимость энергетических параметров поверхности от температуры

Для описания термодинамики поверхностных явлений применяют два метода: метод избыточных величин Гиббса и метод «слоя конечной толщины». За толщину поверхностного слоя принимают расстояние по обе стороны от границы раздела фаз, за пределами которого свойства слоя перестают отличаться от свойств объемных фаз. Практически вся поверхностная энергия сосредоточена в поверхностном слое толщиной в несколько молекул, поэтому все связанные с нею соотношения можно относить только к поверхностному слою. Как следует из определения толщины поверхностного слоя, установление его границ со стороны объемных фаз представляет довольно трудную задачу. Более того, из-за чрезвычайно малой толщины поверхностных слоев погрешности при ее экспериментальном измерении могут

Рис. II.3. Схема, иллюстрирующая принцип термодинамических методов избыточных величин Гиббса (I) и слоя конечной толщины (II)



быть значительными, что, в свою очередь, приводит к неточным определениям и термодинамических параметров слоев.

Чтобы не определять границы поверхностного слоя (поверхности разрыва по Гиббсу), Гиббс предложил относить все изменения термодинамических параметров в слое в сравнении с параметрами объемной фазы к разделяющей поверхности, не имеющей объема или толщины (метод избыточных величин Гиббса). При таком рассмотрении поверхность характеризуется избыточными термодинамическими параметрами, непосредственно отражающими проявление поверхностной энергии. Объемные фазы считаются однородными вплоть до разделяющей поверхности. В соответствии с методом избыточных величин (рис. II.3, I) энергия Гиббса системы равна сумме энергий Гиббса G_1 и G_2 объемных фаз 1, 2 и поверхностной энергии Гиббса σ_s , которая является избыточной:

$$G = G_1 + G_2 + \sigma_s \quad (\text{II.22})$$

В методе «слоя конечной толщины» рассматривается поверхностный слой, имеющий определенные размеры (рис. II.3, II). Его термодинамические параметры включают как поверхностную энергию σ_s , так и энергию объема слоя $G^{v_{сл}}$, имеющего те же свойства, что и объемные фазы ($G_{сл} = \sigma_s + G^{v_{сл}}$). Границы объемных фаз совпадают с границами поверхностного слоя, что отвечает фактическому началу появления неоднородности. Энергия Гиббса той же системы в методе «слой конечной толщины» выразится соотношением

$$G = G_1' + G_2' + G_{сл} = G_1' + G_2' + G^{v_{сл}} + \sigma_s \quad (\text{II.23})$$

где G_1' и G_2' — энергия Гиббса соответственно фазы 1 и фазы 2 до границы поверхностного слоя (поверхности разрыва).

В уравнении (II.23) все параметры отвечают реальному строению системы и имеют определенный физический смысл. Однако этот метод требует знания толщины поверхностного слоя и использует довольно сложные уравнения, так как термодинамические параметры изменяются нелинейно по толщине слоя. В то же время он дает возможность определить этот очень важный параметр поверхностного слоя. При использовании же метода избыточных величин нет необходимости опреде-

лять границы поверхностного слоя. Кроме того, этот метод оперирует поверхностными избытками, что упрощает математические выражения, хотя избыточные параметры зависят от положения разделяющей поверхности, которым надо задаваться. Далее используется в основном более простой и распространенный метод избыточных величин Гиббса.

В соответствии с известным термодинамическим соотношением энтальпия поверхности (ее избыток) выражается уравнением

$$H = G + TS \quad (II.24)$$

Аналогичным выражением характеризуется избыток внутренней энергии поверхности конденсированных систем:

$$U_s = G_s + TS_s \quad (II.25)$$

где индекс s означает отнесение потенциалов к единице поверхности.

В соответствии со вторым началом термодинамики избыточная энтропия равна

$$S_s = q_s / T \quad (II.26)$$

где q_s — теплота образования единицы поверхности (в обратимом процессе). Иногда q_s называют скрытой теплотой образования поверхности. Она равна количеству теплоты, которое необходимо сообщить телу, чтобы при постоянной температуре увеличить его поверхность на единицу площади.

Учитывая, что $G_s = \sigma$, из уравнений (II.25) и (II.26) получим следующее выражение:

$$U_s = \sigma + q_s \quad (II.27)$$

Из уравнения (II.27) следует, что внутренняя энергия поверхности складывается из энергии Гиббса и теплоты образования поверхности. Для индивидуальных веществ теплота q_s всегда положительна, так как при образовании поверхности теплота поглощается. В результате внутренняя удельная поверхностная энергия (единицы поверхности) больше поверхностной энергии Гиббса на теплоту образования единицы поверхности. Поэтому ее обычно называют полной поверхностной энергией.

Из уравнения (1.2) при постоянстве всех параметров, кроме температуры T , имеем:

$$dG_s = -S_s dT \quad \text{или} \quad (\partial G_s / \partial T)_p = -S_s = -q_s / T \quad (II.28)$$

Подставляя это выражение в уравнения (II.25) или (II.27), получим:

$$U_s = \sigma - T(\partial \sigma / \partial T)_p \quad (II.29)$$

Уравнение (II.29) называется уравнением Гиббса — Гельмгольца. Оно связывает полную поверхностную энергию с энергией Гиббса (поверхностным натяжением). Из этого уравнения

Таблица II.3. Температурные коэффициенты поверхностного натяжения некоторых жидкостей

Жидкость	$-\frac{\partial\sigma}{\partial T}$, мДж/(м ² ·К)	Жидкость	$-\frac{\partial\sigma}{\partial T}$, мДж/(м ² ·К)
Вода	0,1541	Бутанол	0,0822
Ртуть	0,2330	Уксусная кислота	0,0850
Бензол	0,1183	Глицерин	0,1282
Тетрахлорид углерода	0,1028	Анилин	0,1144

следует, что для определения полной поверхностной энергии необходимо знать зависимость поверхностного натяжения от температуры. Конкретную зависимость можно получить только экспериментально, однако качественные выводы можно сделать из уравнения (II.28). Как было уже указано, для индивидуальных веществ теплота q_s всегда положительна, а это значит, что температурный коэффициент поверхностного натяжения [см. уравнение (II.28)] отрицателен (табл. II.3):

$$(\partial G_s / \partial T)_p = (\partial \sigma / \partial T)_p < 0 \quad (\text{II.30})$$

Таким образом, поверхностное натяжение индивидуальных веществ на границе с газом (воздухом) снижается с повышением температуры. Для большинства неполярных жидкостей эта зависимость линейная и в первом приближении может быть аппроксимирована простым соотношением

$$\sigma_T = \sigma_0 - a\Delta T, \text{ откуда } a = -\partial\sigma/\partial T \quad (\text{II.31})$$

где σ_T и σ_0 — поверхностное натяжение соответственно при температуре T и при стандартной температуре; ΔT — разность между данной и стандартной температурами; a — постоянная, равная температурному коэффициенту поверхностного натяжения с обратным знаком.

Другие вещества менее строго следуют такой зависимости, но часто отклонениями можно пренебречь, так как температурные коэффициенты $\partial\sigma/\partial T$ слабо зависят от температуры.

Зная температурный коэффициент поверхностного натяжения, по уравнению (II.29) можно рассчитать внутреннюю энергию той или иной межфазной поверхности. Например, на границе с воздухом для воды при 298 К: $U_s = 72 - 298(-0,154) \approx \approx 118$ мДж/м²; для ртути при 298 К: $U_s = 473,5 - 298(-0,23) \approx \approx 542$ мДж/м².

В табл. II.4 приведены значения внутренней поверхностной энергии некоторых веществ, а также теплоты образования поверхности и поверхностные натяжения. При сравнении значений величин, представленных в таблице, видно, что значительный вклад в полную поверхностную энергию вносит энтропийная составляющая — теплота образования поверхности. Для многих органических веществ она составляет около половины полной

Таблица II.4. Энергетические параметры поверхностей некоторых жидкостей при 298 К

Вещество	U_s , мДж/м ²	σ , мДж/м ²	TS_s , мДж/м ²
Гексан	49,5	18,41	31,09
Октан	48,4	21,78	26,62
Этанол	46,4	22,03	24,37
Октанол	50,8	27,53	23,27
Уксусная кислота	55,9	27,79	28,11
Масляная кислота	54,5	26,74	27,74
Этиламин	48,1	20,4	27,7
Пропиламин	50,4	22,4	28,0
Вода	118,1	71,95	46,15
Ртуть	542,0	473,5	68,5

поверхности энергии. Это объясняется тем, что при переходе молекул и атомов из объема тела на поверхность связи разрываются и на поверхности вещество оказывается в состоянии более близком к паровой фазе с большей энтропией, чем для вещества в других агрегатных состояниях.

Предложены полуэмпирические соотношения более точно описывающие температурную зависимость поверхностного натяжения, чем соотношение (II.31). Так как при критической температуре $\sigma=0$ (это было показано Д. И. Менделеевым) и, как установил венгерский ученый Л. Этвеш, линейной зависимости от температуры более точно следует параметр $\sigma V_m^{2/3}$ (иногда называемый мольной поверхностной энергией), то можно записать:

$$\sigma V_m^{2/3} = K(T_{кр} - T) \quad (II.32)$$

где K — коэффициент пропорциональности.

Более точные наблюдения показали, что поверхностное натяжение имеет исчезающе малые значения уже при температурах, равных $T_{кр} - 6$, поэтому уравнение (II.32) можно записать в следующей форме:

$$\sigma V_m^{2/3} = K(T_{кр} - 6 - T) \quad (II.33)$$

Соотношения (II.32) и (II.33) называют законом Этвеша. Для неполярных жидкостей в СИ $K=2,1 \cdot 10^{-7}$, для полярных жидкостей $K < 2,1 \cdot 10^{-7}$, а для жидкостей с большой молекулярной массой $K > 2,1 \cdot 10^{-7}$.

Очень важным является полуэмпирическое соотношение, предложенное Сагденом:

$$P = M\sigma^{1/k} / (\Delta\rho) \quad \text{или} \quad \sigma = (P\Delta\rho/M)^k \quad (II.34)$$

где P — величина, названная автором парахором; M — молекулярная масса жидкости; $\Delta\rho$ — разность между плотностями жидкости и пара; k — показатель степени; в зависимости от природы жидкости может принимать значения от 3,5 до 4,5.

Из соотношения (II.34) следует: $\partial\sigma/\partial T \sim \rho^{k-1} \partial\rho/\partial T$, т. е. температурный коэффициент поверхностного натяжения определяется главным образом плотностью и ее температурным коэффициентом, что можно объяснить подобием зависимостей поверхностного натяжения и плотности жидкости от межмолекулярного взаимодействия.

Парахор P практически не зависит от температуры. Зависимость поверхностного натяжения от температуры компенсируется изменением плотности

вещества. Отсюда следует, что паракор можно рассматривать как мольный объем с поправкой на эффект сжатия, обусловленный межмолекулярными силами.

Для большинства жидкостей, особенно неполярных, полная поверхностная энергия также почти не зависит от температуры. Чтобы в этом убедиться, продифференцируем по температуре уравнение Гиббса — Гельмгольца (II.29):

$$\partial U_s / \partial T = \partial \sigma / \partial T - \partial \sigma / \partial T - T \partial^2 \sigma / \partial T^2$$

или
$$\partial U_s / \partial T = - T \partial^2 \sigma / \partial T^2 \quad (II.35)$$

Так как для неполярных жидкостей поверхностное натяжение линейно снижается с повышением температуры, то [см. уравнение (II.31)]:

$$\partial^2 \sigma / \partial T^2 = 0$$

Отсюда следует, что и производная полной поверхностной энергии по температуре тоже должна быть равна нулю [см. уравнение (II.35)], т. е. $\partial U_s / \partial T = 0$, а это означает независимость полной поверхностной энергии от температуры. Для примера укажем, что вторые производные поверхностного натяжения по температуре для воды и бензола равны соответственно $-0,00048$ и $+0,00012$. Так как поверхностное натяжение снижается с повышением температуры, а полная энергия от нее не зависит, то в соответствии с уравнением (II.27) теплота образования единицы поверхности увеличивается в этом же направлении. Энтропию, как производную поверхностного натяжения по температуре со знаком минус, в таких случаях можно приравнять к постоянной a [уравнение (II.31)], которая не зависит от температуры. Температурные зависимости основных термодинамических параметров показаны на рис. II.4. При критической температуре исчезает межфазная поверхность и соответственно снижаются до нуля ее энергетические характеристики.

От рассмотренных систем жидкость — газ существенно отличаются температурные зависимости энергетических параметров поверхностей между конденсированными фазами. Они будут рассмотрены в разделе, посвященном адгезии.

5. Самопроизвольное уменьшение поверхностной энергии и формирование поверхностного слоя

Равновесие в гетерогенных системах возможно только при условии положительной энергии Гиббса образования поверхности. Так как атомы или молекулы жидкости или твердого тела, находящиеся на поверхности, обладают большей энергией, чем внутри конденсированных фаз, поверхностную энергию, как уже отмечалось, рассматривают как избыток энергии, приходящийся на единицу поверхности. Атомы и молекулы поверхностного

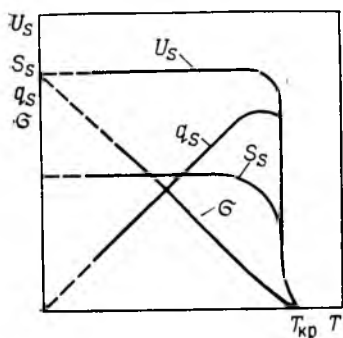


Рис. 11.4. Зависимость энергетических параметров U_s , S_s , q_s и G от температуры

слоя как бы находятся на полпути перехода в пар. Они появляются на поверхности в результате разрыва определенных связей, благодаря чему и обладают большей потенциальной энергией. Увеличение поверхности приводит к возрастанию числа поверхностных молекул или атомов в системе. Таким образом, увеличение поверхности сопро-

вождается затратой работы на разрыв межмолекулярных связей. Отсюда следует, что обратный процесс, т. е. уменьшение поверхности, должен проходить самопроизвольно, поскольку сопровождается уменьшением энергии Гиббса поверхностного слоя.

Так как поверхностная энергия равна произведению поверхностного натяжения на площадь поверхности, то она может уменьшаться как за счет сокращения поверхности, так и за счет снижения поверхностного натяжения. Поверхность может самопроизвольно уменьшаться при изменении формы тела, что характерно для жидкостей.

В этом отношении нагляден опыт Плато, демонстрирующий стремление жидкости в условиях невесомости принимать сферическую форму — наименьшую поверхность при данном объеме. Часто опыт Плато проводят, используя анилин, который по каплям вносят в теплую воду. Приблизительно одинаковая плотность этих жидкостей обеспечивает каплям анилина условие «невесомости». В этих условиях они испытывают только действие поверхностной энергии и поэтому принимают правильную сферическую форму. Точно так же будут вести себя жидкости в космосе. Сферическая форма планет — результат действия поверхностной энергии, обусловленной взаимным притяжением частиц, составляющих эти планеты.

Мелко раздробленные твердые и жидкие тела, обладающие большим избытком поверхностной энергии, стремясь уменьшить ее, самопроизвольно агрегируют или коалесцируют (сливаются).

Стремление поверхности уменьшить свою энергию обуславливает и стремление их к снижению поверхностного натяжения. У твердых тел, как правило, поверхностное натяжение снижается вследствие адсорбции других веществ. Адсорбционной способностью обладают и жидкости, на поверхности которых происходит, кроме того, определенное ориентирование молекул. Это особенно характерно для веществ, имеющих несимметричные молекулы. Находясь на поверхности, они ориентируются таким образом, чтобы в сторону, например, газовой фазы была обра-

щена та часть молекулы, которая обеспечивает меньшее поверхностное натяжение.

Обращает на себя внимание тот факт (см. табл. II.4), что поверхностная энергия жидкостей, молекулы которых состоят из углеводородных радикалов и различных функциональных групп, имеет близкие значения (порядка ≈ 50 мДж/м²). Это объясняется тем, что их поверхности имеют одинаковую природу, определяемую углеводородным радикалом. Для обеспечения минимальной поверхностной энергии молекулы на поверхности ориентируются таким образом, что радикалы находятся на поверхности, а функциональные группы — внутри жидкой фазы. Ориентирование поверхностных молекул, безусловно, снижает энтропийную составляющую внутренней энергии поверхностного слоя, так как достигается определенная упорядоченность молекул на поверхности. Таким образом, структура поверхностного слоя формируется в результате самопроизвольного уменьшения поверхностной энергии.

Б. АДсорбция и поВЕРХНОСТНОЕ НАТЯЖЕНИЕ

1. Виды адсорбции, ее количественные характеристики и их связь с параметрами системы

Как было показано выше, поверхностная энергия стремится самопроизвольно уменьшиться. Это выражается в уменьшении межфазной поверхности или поверхностного натяжения. К явлениям, происходящим вследствие стремления к самопроизвольному снижению поверхностного натяжения, относится адсорбция. *Адсорбция* представляет собой процесс самопроизвольного перераспределения компонентов системы между поверхностным слоем и объемной фазой. Из сказанного следует, что адсорбция может происходить в многокомпонентных системах и что при перераспределении компонентов в поверхностный слой предпочтительнее переходит тот компонент, который сильнее уменьшает поверхностное или межфазное натяжение. В однокомпонентной системе при формировании поверхностного слоя происходит изменение его структуры (сгущение, уплотнение), которое часто называют *автоадсорбцией*.

В общем случае адсорбция может происходить не только благодаря стремлению поверхностной энергии к уменьшению. Она может быть результатом химического взаимодействия компонента с поверхностью вещества (*хемосорбция*), и тогда поверхностная энергия может даже возрастать на фоне уменьшения энергии всей системы.

Несмотря на то что адсорбция происходит на границе раздела фаз, принято более плотную фазу (фазу, определяющую форму поверхности) называть *адсорбентом*. Адсорбент может

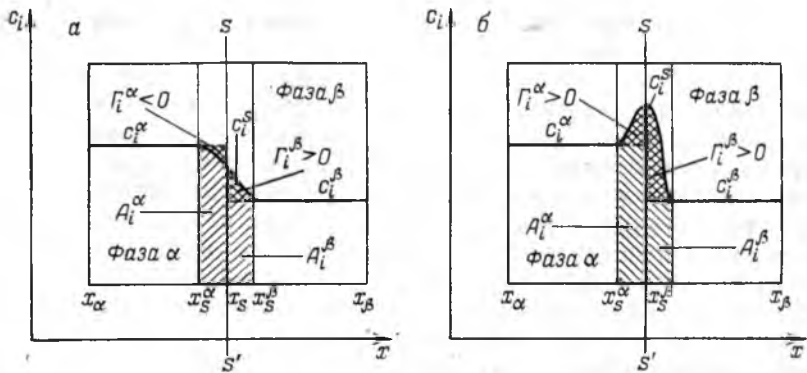


Рис. 11.5. Величины адсорбции A , Γ и связь между ними.

$S-S'$ — разделяющая поверхность; а — двухфазная система со слабоадсорбирующимся компонентом; б — двухфазная система с ПАВ

быть твердым и жидким. Вещество, которое перераспределяется и поэтому обычно находится в газообразной или жидкой фазе, называется *адсорбатом*. Таким образом, адсорбат адсорбируется на поверхности адсорбента. Обратный процесс перехода вещества из поверхностного слоя в объемную фазу называют *десорбцией*.

В зависимости от агрегатного состояния смежных фаз, которое придает определенную специфику явлению адсорбции, различают адсорбцию газов на твердых адсорбентах, адсорбцию растворенных веществ на границах твердое тело — жидкость и жидкость — жидкость, а также адсорбцию на границе жидкий раствор — газ.

Для количественного описания адсорбции применяют в основном две величины. Одна измеряется количеством или массой адсорбата, т. е. числом молей или граммов, приходящимся на единицу площади поверхности или на единицу массы адсорбента (для твердого в порошкообразном состоянии); эту величину принято обозначать буквой A (метод слоя конечной толщины). Другая характеристика величины адсорбции определяется избытком вещества в поверхностном слое определенной толщины по сравнению с его количеством в таком же объеме фазы, также отнесенным к единице площади поверхности или единице массы адсорбента. Эту величину называют *гиббсовской адсорбцией* и обозначают буквой Γ (метод избыточных величин Гиббса).

Рис. 11.5. иллюстрирует обе величины адсорбции и их различие. На нем представлена двухфазная (фаза α и β) равновесная система, в которой распределен компонент, адсорбирующийся на межфазной поверхности. Границы фаз в методе слоя конечной толщины обозначены x_α , x_β и x_s^α , x_s^β .

Поверхностный слой распространяется от x_s^α до x_s^β . Запишем общее число молей распределяемого компонента (адсорбата) i :

$$n_i = n_i^{\alpha'} + n_i^{\beta'} + n_i^{s'} \quad (II.36)$$

где $n_i^{\alpha'}$, $n_i^{\beta'}$ — число молей адсорбата в фазах без поверхностного слоя; $n_i^{s'}$ — число молей адсорбата в межфазном слое.

Выразим общее число молей адсорбата i через концентрации его в фазах c_i , толщину фаз и поверхностного слоя:

$$n_i = c_i^\alpha \underbrace{(x_s^\alpha - x_\alpha)}_{V_{\alpha'}} s + c_i^\beta \underbrace{(x_\beta - x_s^\beta)}_{V_{\beta'}} s + \underbrace{\int_{x_s^\alpha}^{x_s^\beta} c_i^s dx}_{n_i^{s'} = \Gamma_i s} \quad (II.37)$$

Если использовать метод избыточных величин, то имеем

$$n_i = n_i^\alpha + n_i^\beta + n_i^s \quad (II.38)$$

где n_i^α и n_i^β — число молей адсорбата в фазах, включая части поверхностного слоя с концентрациями, равными концентрациям в объеме; n_i^s — избыток числа молей адсорбата, приходящийся на разделяющую поверхность, абсцисса которой x_s

$$\begin{aligned} \text{или } n_i &= c_i^\alpha \underbrace{(x_s - x_\alpha)}_{V_\alpha} s + c_i^\beta \underbrace{(x_\beta - x_s)}_{V_\beta} s + \\ &+ \underbrace{\int_{x_s^\alpha}^{x_s} (c_i^s - c_i^\alpha) s dx + \int_{x_s}^{x_s^\beta} (c_i^s - c_i^\beta) s dx}_{n_i^s = \Gamma_i s} \quad (II.39) \end{aligned}$$

Избыточное число молей адсорбата n_i^s можно представить через среднюю концентрацию в поверхностном слое \bar{c}_i^s , которую можно считать постоянной на протяжении всей толщины поверхностного слоя. После интегрирования при этом условии сумма интегралов в уравнении (II.39) примет вид:

$$n_i^s = (\bar{c}_i^s - c_i^\alpha) s (x_s - x_\alpha) + (\bar{c}_i^s - c_i^\beta) s (x_s^\beta - x_s) \quad (II.40)$$

или

$$n_i^s = (\bar{c}_i^s - c_i^\alpha) V_{\alpha'}^s + (\bar{c}_i^s - c_i^\beta) V_{\beta'}^s \quad (II.41)$$

где $V_{\alpha'}^s$ и $V_{\beta'}^s$ — объемы частей поверхностного слоя со стороны фаз соответственно α и β . Для величины гиббсовской адсорбции из уравнения (II.41) получим:

$$\Gamma_i = n_i^s / s = (\bar{c}_i^s - c_i^\alpha) V_{\alpha'}^s / s + (\bar{c}_i^s - c_i^\beta) V_{\beta'}^s / s \quad (II.42)$$

В простейших случаях, когда адсорбат не переходит в объем одной из фаз (адсорбция на твердых адсорбентах, адсорбция нелетучего компонента на границе жидкость — газ) уравнение (II.42) приобретает вид

$$\Gamma_i = V^s (\bar{c}_i^s - c_i) / s \quad (II.43)$$

где V^s — объем поверхностного слоя; c_i — концентрация адсорбата в объеме.

В такое же соотношение переходит уравнение (II.42) и при проведении разделяющей поверхности по одной из границ поверхностного слоя (тогда $V_{\alpha'}^s = 0$ или $V_{\beta'}^s = 0$).

Для получения соотношения между A и Γ составим балансное уравнение относительно числа молей адсорбата в поверхностном слое:

$$As = n_i^s + c_i V^s = \Gamma_i s + c_i V^s \quad (II.44)$$

где $c_i V^s$ — число молей адсорбата в поверхностном слое без избытка (как в объемной фазе такого же объема).

Из уравнения (II.44) следует

$$A_i = \Gamma_i + c_i V^s / s = \Gamma_i + c_i h \quad (II.45)$$

где h — толщина поверхностного слоя.

Уравнения (II.43) и (II.45) отражают физический смысл величин адсорбции A и Γ и различия между ними. Однако эти уравнения нельзя использовать для определения величин адсорбции по экспериментальным данным, так как остаются неизвестными объем и толщина поверхностного слоя. Чтобы получить необходимое соотношение, составим балансное уравнение относительно числа молей адсорбата во всей системе до и после адсорбции:

$$Vc_0 = V^v c_i + V^s \bar{c}_i^s \quad (II.46)$$

где V и V^v — общий объем системы и объем фазы без поверхностного слоя; c_0 — исходная концентрация компонента i .

Подставим в уравнение (II.43) соотношение (II.46), исключив число молей адсорбата в поверхностном слое, т. е. $V^s \bar{c}_i^s$:

$$\begin{aligned} \Gamma_i &= V^s (\bar{c}_i^s - c_i) / s = (V^s \bar{c}_i^s - V^s c_i) / s = \\ &= (Vc_0 - V^v c_i - V^s c_i) / s \end{aligned} \quad (II.47)$$

Так как

$$V^v + V^s = V, \text{ то}$$

$$\Gamma_i = (Vc_0 - (V^v + V^s)c_i) / s = (Vc_0 - Vc_i) / s \quad (II.48)$$

или

$$\Gamma_i = V(c_0 - c_i) / s \quad (II.49)$$

Все величины, входящие в уравнение (II.49), могут быть установлены экспериментально. Это соотношение широко используется для расчета величины гиббсовской адсорбции. Значительно сложнее определить величину адсорбции A . (Расчет этой величины рассматривается в разделе, посвященном адсорбции из растворов.) Если концентрации адсорбата в поверхностном слое значительно больше, чем в объеме и $A \approx \Gamma$ (II.45), то для определения A также используют уравнение (II.49).

Из соотношения (II.49) также следует, что величина гиббсовской адсорбции может быть и меньше нуля, если $c_0 < c_i$, в противоположность величине A , которая никогда не может быть отрицательной.

На рис. II.5 величина A соответствует всей заштрихованной площади под кривой профиля концентрации в поверхностном слое, а величина Γ составляет площадь с двойной штриховкой

(площадь, ограниченная кривой концентрации в поверхностном слое и прямыми, отражающими концентрации адсорбата в объемных фазах.

При установлении адсорбционного равновесия в системе количество адсорбированного вещества в поверхностном слое находится в определенной зависимости от концентрации или парциального давления этого компонента в объеме и от температуры. Согласно правилу фаз Гиббса число параметров, определяющих состояние системы, равно

$$F = K - \Phi + 2 \quad (11.50)$$

где F — число степеней свободы; K — число компонентов в системе; Φ — число фаз; 2 — два параметра: давление и температура.

В простейшем варианте адсорбции из газовой фазы система состоит из адсорбента и газа-адсорбата. Для этой системы число компонентов равно 2, число фаз составляет 2 и в соответствии с правилом фаз Гиббса (11.50) число степеней свободы также равно 2. Это значит, что можно произвольно изменять два параметра: давление и температуру, при определенных значениях которых достигается равновесное состояние системы. Если система состоит из конденсированных фаз (твердой и жидкой), то адсорбируется растворенное вещество и число компонентов в ней будет равно 3. Обычно для конденсированной системы пренебрегают влиянием давления, и тогда в ней число степеней свободы также оказывается равным 2: концентрация и температура.

Таким образом, любой из параметров системы однозначно может быть определен как минимум через два других параметра. Из приведенных примеров следует, что этими параметрами могут быть концентрация (давление) адсорбата и температура. Относительно величины адсорбции A уравнение состояния адсорбционной системы имеет следующий общий вид:

$$A = f(c, T) = \varphi(p, T) \quad (11.51)$$

где c и p — соответственно равновесная концентрация и парциальное давление адсорбата; T — температура.

Из соотношения (11.51) следует, что возможны три вида зависимости величины адсорбции от параметров системы. Зависимость величины адсорбции от концентрации (или парциального давления) вещества при постоянной температуре называется *изотермой* адсорбции:

$$A = f_T(c) = \varphi_T(p) \quad (11.52)$$

Зависимость величины адсорбции от температуры при постоянной концентрации (или парциальном давлении) вещества называется *изопикной* (или *изобарой*) адсорбции:

$$A = f_c(T) = \varphi_p(T) \quad (11.53)$$

Зависимость концентрации (или парциального давления) вещества в объеме от температуры при постоянной величине адсорбции называется *изостерой* адсорбции:

$$c = f_A(T) \text{ или } p = \varphi_A(T) \quad (II.54)$$

Постоянство температуры обеспечивать, безусловно, проще, поэтому наиболее распространенной зависимостью, получаемой экспериментально, является изотерма. Другие две зависимости можно графически построить из серии изотерм, полученных при различных температурах. На рис. II.6 показано, что система точек пересечения изотерм прямой, параллельной оси ординат, соответствует изопикне, а при пересечении изотерм прямой, параллельной оси абсцисс, получаются точки изостеры. По полученным точкам строят зависимости величины адсорбции (изопикна) или концентрации (изостера) от температуры.

Покажем, что изотерма, изопикна, изостера связаны математически. Из уравнения (II.51) следует, что полный дифференциал от величины A , как функции состояния, может быть выражен через частные производные:

$$dA = \left(\frac{\partial A}{\partial c} \right)_T dc + \left(\frac{\partial A}{\partial T} \right)_c dT$$

Если принять постоянной величину A , то

$$\left(\frac{\partial A}{\partial c} \right)_T (dc)_A + \left(\frac{\partial A}{\partial T} \right)_c (dT)_A = 0 \text{ или } \left(\frac{\partial A}{\partial c} \right)_T \left(\frac{dc}{dT} \right)_A + \left(\frac{\partial A}{\partial T} \right)_c = 0$$

Умножив обе части последнего соотношения на $(dT/\partial A)$, получим:

$$\left(\frac{\partial A}{\partial c} \right)_T \left(\frac{dc}{dT} \right)_A \left(\frac{\partial T}{\partial A} \right)_c = -1 \quad (II.55)$$

Это хорошо известное математическое соотношение широко применяется в термодинамике. В данном случае частные производные представляют собой изотерму, изостеру и изопикну соответственно, а уравнение (II.55) выражает дифференциальное соотношение между ними. Оно позволяет найти любую из производных, если известны остальные. Можно определить знаки этих производных. Производная $(\partial A/\partial c)_T$ всегда положительна, это объясняется тем, что химический потенциал и соответственно активность адсор-

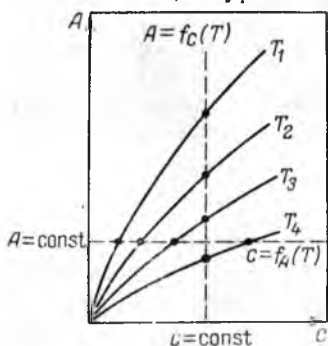


Рис. II.6. Построение изостер $c = f_A(T)$ и изопикн $A = f_c(T)$ по изотермам адсорбции $A = f_T(c)$.

бата с установлением равновесия выравниваются во всей системе. Отсюда с увеличением концентрации (давления) адсорбата в объеме растет его концентрация в поверхностном слое, т. е. величина адсорбции A . Таким образом, две другие производные имеют разные знаки. Необходимо отметить, что на аналогичных зависимостях гиббсовской адсорбции Γ , как избытка вещества на поверхности, могут наблюдаться максимумы и минимумы.

Уравнение состояния адсорбционной системы [см. уравнение (II.51)] можно записать и относительно поверхностного (межфазного) натяжения:

$$\sigma = f(c, T) = \varphi(p, T) \quad (\text{II.56})$$

Тогда дифференциальное соотношение будет иметь вид

$$\left(\frac{\partial \sigma}{\partial c}\right)_T \left(\frac{\partial c}{\partial T}\right)_\sigma \left(\frac{\partial T}{\partial \sigma}\right)_c = -1 \quad (\text{II.57})$$

Из сравнения (II.51), (II.55) с (II.56) и (II.57), видно, что существует четкая связь между величиной адсорбции и поверхностным натяжением.

2. Фундаментальное адсорбционное уравнение Гиббса и примеры его применения

Как было указано выше, в результате адсорбции происходит перераспределение компонентов между объемными фазами и поверхностным слоем, что влечет за собой изменение их химических потенциалов в системе, поэтому этот процесс можно рассматривать как превращение поверхностной энергии в химическую. Выведем соотношение между поверхностным натяжением и химическими потенциалами компонентов системы. Объединенное уравнение первого и второго начал термодинамики для внутренней энергии поверхности с учетом поверхностной и химической энергии имеет вид (объем поверхностного слоя равен нулю)

$$dU = TdS + \sigma ds + \sum_i \mu_i dn_i \quad (\text{II.58})$$

Так как внутренняя энергия поверхности пропорциональна экстенсивным величинам, то

$$U = TS + \sigma s + \sum_i \mu_i n_i \quad (\text{II.59})$$

и ее полный дифференциал от тех же переменных запишется следующим образом:

$$dU = TdS + SdT + \sigma ds + s d\sigma + \sum_i \mu_i dn_i + \sum_i n_i d\mu_i \quad (\text{II.60})$$

Подставляя значение dU из уравнения (II.58) в уравнение (II.60), получим:

$$SdT + sd\sigma + \sum_i n_i d\mu_i = 0 \quad (II.61)$$

Для условия постоянства температуры соотношение (II.61) принимает вид

$$sd\sigma + \sum_i n_i d\mu_i = 0 \quad (II.62)$$

Уравнения (II.61) и (II.62) называются уравнениями Гиббса для межфазной поверхности (поверхностного слоя). Они подобны уравнениям Гиббса — Дюгема для растворов, но записанным с учетом поверхностной энергии.

Все экстенсивные величины поверхности: внутренняя энергия, энтропия, число молей компонентов — зависят от площади поверхности s , поэтому удобнее относить эти параметры к единице площади поверхности. Разделив уравнение (II.62) на площадь поверхности, получим:

$$-d\sigma = \sum_i \Gamma_i d\mu_i \quad (II.63)$$

где $\Gamma_i = n_i/s$ — поверхностный избыток компонента i в поверхностном слое (по сравнению с его равновесной концентрацией в объемной фазе), т. е. величина гиббсовской адсорбции.

Уравнение (II.63) называют фундаментальным адсорбционным уравнением Гиббса. В уравнении (II.63) единицы величины гиббсовской адсорбции определяются единицами химического потенциала. Если потенциал отнесен к молю вещества, то величина адсорбции выражается в молях на единицу площади.

Ранее было дано определение поверхностного натяжения как частной производной от энергии Гиббса по площади поверхности при постоянных T , p и n_i . Если постоянство T и p достигается легко, то обеспечить равенство числа молей даже чистого вещества в единице объема поверхностного слоя и объемной фазы практически невозможно. Такое равенство недостижимо из-за того, что формирование поверхностного слоя происходит самопроизвольно, его свойства отличны от свойств объемной фазы, в том числе и плотность вещества.

Чтобы получить соотношение между поверхностной энергией Гиббса и уплотнением вещества (уплотнение может быть отрицательным, т. е. разуплотнение), запишем уравнение (II.59) через избыточные удельные (отнесенные к единице поверхности) параметры поверхностного слоя:

$$U_s = TS_s + \sigma + \sum_i \mu_i \Gamma_i \quad (II.64)$$

где U_s — разность внутренней энергии поверхностного слоя и внутренней энергии объемной фазы в том же объеме, отнесенная к единице поверхно-

сти, т. е. поверхностное уплотнение внутренней энергии; S_s — поверхностное уплотнение энтропии; Γ_i — поверхностное уплотнение вещества, или гиббсовская адсорбция.

Удельную поверхностную энергию σ в уравнении (II.64) можно рассматривать как избыточную механическую энергию (внутреннего давления). Из уравнения (II.64) можно выразить поверхностное уплотнение энергии Гиббса, или удельную поверхностную энергию Гиббса. В приближении равенства энергии Гиббса и энергии Гельмгольца для конденсированных систем имеем:

$$G_s = U_s - TS_s = \sigma + \sum_i \mu_i \Gamma_i \quad (\text{II.65})$$

В однокомпонентной системе происходит автоадсорбция (уплотнение вещества), поэтому можно записать:

$$G_s = \sigma + \mu \Gamma \quad (\text{II.66})$$

Таким образом, поверхностная энергия Гиббса, или работа создания единицы поверхности, включает в себя не только работу образования поверхности σ , но и уплотнение вещества в слое $\mu \Gamma$, так как молекулы на поверхности сильнее или слабее взаимодействуют между собой, чем молекулы, находящиеся внутри фазы.

Другим важным частным вариантом адсорбции является адсорбция газа или пара на твердой поверхности при условии отсутствия растворимости адсорбента в конденсате адсорбата. Если адсорбент и газ разделены перегородкой (нет адсорбции), то энергия Гиббса системы в расчете на единицу поверхности составит

$$G^{\circ}_s = \sigma_1 + \Gamma_1 \mu^{\circ}_1 + n_2 \mu^{\circ}_2 \quad (\text{II.67})$$

где Γ_1 и μ°_1 — величина автоадсорбции самого адсорбента и его химический потенциал в исходном состоянии системы; n_2 и μ°_2 — число молей и химический потенциал адсорбата в исходном состоянии.

После снятия перегородки произойдет адсорбция газа и равновесное состояние системы будет характеризоваться соотношением (считаем, что величина автоадсорбции адсорбента не изменилась):

$$G = \sigma + \Gamma_1 \mu^{\circ}_1 + \Gamma_2 \mu_2 + n'_2 \mu_2 \quad (\text{II.68})$$

где Γ_2 и μ_2 — гиббсовская адсорбция и химический потенциал газа в условиях равновесия; n'_2 — равновесное количество адсорбата в газовой фазе.

Обычно величина n'_2 очень мала по сравнению с величиной адсорбции газов (паров), особенно если происходит их конденсация на поверхности, поэтому изменение энергии Гиббса при адсорбции, полученное вычитанием (II.67) из (II.68), выразится уравнением, аналогичным уравнению (II.66):

$$\Delta G_s = \Delta \sigma + \Gamma_2 \Delta \mu_2 \quad (\text{II.69})$$

Таким образом, при адсорбции газа на твердой поверхности изменение энергии Гиббса обусловлено изменением поверхностного натяжения на границе раздела фаз и изменением химического потенциала газа-адсорбата. Процесс адсорбции идет самопроизвольно, и поэтому величина ΔG_s отрицательна, отрицательны и ее составляющие. Необходимо отметить, что при получении соотношения (II.69) равновесное количество адсорбата в газовой фазе принято пренебрежимо малым, т. е. фактически принято равенство $\Gamma = A$.

Адсорбционное уравнение Гиббса (II.63) записано для многокомпонентных систем и является термодинамически строгим соотношением. Однако практическое его использование не всегда удобно, например оно не раскрывает зависимости поверхностного натяжения от адсорбции одного конкретного вещества при постоянных химических потенциалах других веществ. Применительно к такому условию уравнение (II.63) можно записать относительно частной производной для данного компонента:

$$(\partial\sigma/\partial\mu_i)_J = -\Gamma_i$$

Принимая во внимание, что $\mu_i = \mu_i^\circ + RT \ln a_i$ (где μ_i и μ_i° — равновесное и стандартное значения химического потенциала адсорбата i ; a_i — термодинамическая активность адсорбата; R — универсальная газовая постоянная; $d\mu_i = RT d \ln a_i$), получим:

$$(\partial\sigma/\partial \ln a_i)_J = -\Gamma_i RT$$

Для гиббсовской адсорбции это выражение принимает вид

$$\Gamma_i = -\frac{1}{RT} \left(\frac{\partial\sigma}{\partial \ln a_i} \right)_J = -\frac{a_i}{RT} \left(\frac{\partial\sigma}{\partial a_i} \right)_J \quad (\text{II.70})$$

Уравнение (II.70) можно получить непосредственно из уравнения (II.63), записав его для системы из растворителя 1 и растворенного вещества 2:

$$-d\sigma = \Gamma_1 d\mu_1 + \Gamma_2 d\mu_2$$

В разбавленном растворе гиббсовская адсорбция растворителя очень мала, а его химический потенциал изменяется очень слабо при изменении концентрации растворенного вещества, т. е. $d\mu_1 = 0$. Поэтому для разбавленного раствора последнее выражение примет следующий вид:

$$-d\sigma = \Gamma_2 d\mu_2 = \Gamma_2 RT d \ln a_2 = \Gamma_2 RT da_2/a_2$$

Активность компонента можно выразить через концентрацию c и коэффициент активности γ . Для неэлектролита $a_i = c_i \gamma_i$, а для электролита $a_i = c_\pm^\nu \gamma_\pm^\nu$, где c_\pm — средняя ионная концентрация ($c_\pm^\nu = \nu_+^{\nu_+} \nu_-^{\nu_-} c^\nu$); c — молярность электролита; ν — стехиометрический коэффициент электролита ($\nu = \nu_+ + \nu_-$); ν_+ и ν_- — стехиометрические коэффициенты ионов электролита. Ча-

ше всего коэффициент активности неизвестен. Поэтому уравнение (II.70) применяют только тогда, когда можно использовать концентрации вместо активностей и пренебречь изменением концентраций других компонентов при изменении концентрации данного вещества. Этим условиям удовлетворяет разбавленный раствор относительно данного компонента, в котором $\gamma_i = 1$ или $\gamma_{\pm} = 1$. В таком растворе при изменении концентрации растворенного вещества практически не изменяется концентрация растворителя. Поэтому для растворенного вещества уравнение (II.70) переходит в широко используемые адсорбционные уравнения Гиббса для неэлектролитов

$$\Gamma = - \frac{c}{RT} \left(\frac{\partial \sigma}{\partial c} \right) \quad (\text{II.71})$$

и для электролитов при их диссоциации в полярной фазе и отсутствии ее в поверхностном слое (при неполярной второй фазе):

$$\Gamma = - \frac{c_{\pm}^{\nu}}{RT} \left(\frac{\partial \sigma}{\partial c_{\pm}^{\nu}} \right) \quad (\text{II.72})$$

При указанных условиях, если концентрация электролита стремится к нулю, то производная в скобках будет постоянной величиной, как и $\partial \sigma / \partial c$ для неэлектролита. Это следует из того, что, как будет показано в дальнейшем, величина адсорбции пропорциональна активности адсорбата при его малых концентрациях (закон Генри). Растворителем может быть не только индивидуальное вещество, но и смесь макрокомпонентов.

Если адсорбция происходит из газовой фазы, то, выразив концентрацию в соответствии с уравнением Клапейрона — Менделеева через давление

$$pV = nRT \quad \text{или} \quad p = cRT \quad (\text{II.73})$$

где n — число молей в объеме V

получим, например, из уравнения (II.71):

$$\Gamma = - \frac{p}{RT} \left(\frac{\partial \sigma}{\partial p} \right) \quad (\text{II.74})$$

Следовательно, зная зависимость поверхностного натяжения раствора от концентрации (давления пара) растворенного вещества, по уравнениям (II.71), (II.72) и (II.74) можно рассчитать изотерму адсорбции этого компонента. Схема графического расчета показана на рис. II.7. В нескольких точках кривой $\sigma = f(c)$ проводят касательные и определяют тангенсы угла наклона α их по отношению к оси абсцисс, которые соответствуют значениям производных $\partial \sigma / \partial c$ в данных точках. Зная эти про-

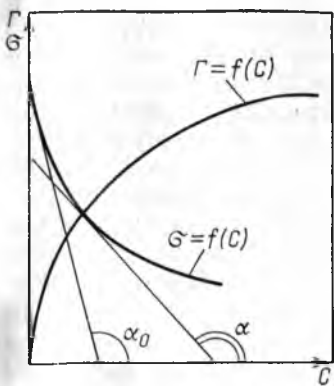


Рис. II.7. Схема графического расчета изотермы адсорбции $\Gamma = f(c)$ из известной зависимости $\sigma = f(c)$

изводные, по уравнению (II.71) можно рассчитать величины Γ , что позволяет построить изотерму адсорбции $\Gamma = f(c)$.

Уравнения (II.70) — (II.72) показывают, что единица гиббсовской адсорбции не зависит от единицы концентрации (давления) в объемной фазе, а зависит от того, в каких единицах выражена газовая

постоянная R . Так как последняя отнесена к молю вещества, а σ — к единице площади, то и гиббсовская адсорбция всегда выражается в молях на единицу площади. Если σ выражена в Дж/м², то необходимо принять $R = 8,3144$ Дж/(моль·К), чтобы все единицы измерения привести в соответствие.

3. Поверхностная активность. Поверхностно-активные и инактивные вещества

В адсорбционном уравнении Гиббса (II.70) влияние природы веществ на адсорбцию отражает производная $\partial\sigma/\partial a$. Эта производная определяет и знак гиббсовской адсорбции. Таким образом, величина $\partial\sigma/\partial a$ может служить характеристикой поведения веществ при адсорбции. Чтобы исключить влияние концентрации на производную и придать этой величине вид характеристической постоянной, берут ее предельное значение при $c \rightarrow 0$; эту величину П. А. Ребиндер (1924 г.) назвал *поверхностной активностью*. Ее общее определение дается соотношением (Ю. Г. Фролов, 1987 г.)

$$g = -(\partial\sigma/\partial a)_{a \rightarrow 0} \quad (II.75)$$

которое справедливо как для неэлектролитов, так и для электролитов. При положительной адсорбции величина $\partial\sigma/\partial a$ имеет отрицательный знак [см. уравнение (II.70)]. Чтобы знаки поверхностной активности и гиббсовской адсорбции совпадали, в уравнении (II.75) перед производной ставят знак минус.

Общее определение поверхностной активности при переходе к концентрациям (для разбавленных систем активность можно заменить на концентрацию) принимает соответствующие выражения:

$$\text{для неэлектролитов} \quad g = -(\partial\sigma/\partial c)_{c \rightarrow 0} \quad (II.76)$$

$$\text{для электролитов} \quad g_{\pm} = -(\partial\sigma/\partial c^{\nu_{\pm}})_{c_{\pm} \rightarrow 0} \quad (II.77)$$

Поверхностная активность является важнейшей адсорбционной характеристикой веществ, определяющей многие их свойства и области применения. Единицами поверхностной активности неэлектролитов и электролитов являются $\text{Дж}\cdot\text{м}^{3\nu-2}/\text{моль}^\nu$, или $\text{Н}\cdot\text{м}^{3\nu-1}/\text{моль}^\nu$, где ν — стехиометрический коэффициент; для неэлектролитов — $\text{Дж}\cdot\text{м}/\text{моль}$ ($\nu=1$) или $\text{Н}\cdot\text{м}^2/\text{моль}$. Естественно, сравнивать поверхностные активности веществ можно только, если они выражены в одних и тех же единицах.

Уравнения (II.76) и (II.77) показывают, что чем сильнее уменьшается поверхностное натяжение с увеличением концентрации адсорбируемого вещества, тем больше поверхностная активность этого вещества. Физический смысл поверхностной активности состоит в том, что она представляет силу, удерживающую вещество на поверхности и рассчитанную на единицу гиббсовской адсорбции.

Поверхностную активность можно определить графически как отрицательное значение тангенса угла наклона касательной, проведенной к кривой $\sigma=f(c)$ для неэлектролита или к кривой $\sigma=f(c^\pm)$ для электролита в точке пересечения с осью ординат (см., например, рис. II.7, $g=-\text{tg}\alpha_0$).

Поверхностная активность, как и гиббсовская адсорбция, может быть положительной и отрицательной. Абсолютное значение и ее знак зависят от природы как адсорбируемого вещества, так и среды (растворителя). Если с увеличением концентрации вещества поверхностное натяжение на границе раздела фаз понижается, то такое вещество называют поверхностно-активным. Для таких веществ

$$g > 0, \quad \partial\sigma/\partial c < 0 \text{ (или } \partial\sigma/\partial c^\pm < 0) \text{ и } \Gamma > 0$$

Вещества, повышающие поверхностное натяжение на границе раздела фаз с увеличением концентрации, называют поверхностно-инактивными. Для них

$$g < 0, \quad \partial\sigma/\partial c > 0 \text{ (или } \partial\sigma/\partial c^\pm > 0) \text{ и } \Gamma < 0$$

Отрицательная гиббсовская адсорбция $\Gamma < 0$ означает, что концентрация адсорбируемого вещества в объеме больше, чем в поверхностном слое. При увеличении концентрации поверхностно-инактивного вещества в объеме степень соответствующего роста его концентрации в поверхностном слое ниже. В результате с увеличением концентрации поверхностно-инактивного вещества в объеме растет отрицательная величина гиббсовской адсорбции. Эти зависимости наглядно иллюстрирует рис. II.8, из которого видны различия между поверхностно-активными (додециламином) и поверхностно-инактивными (сульфат натрия) веществами, растворенными в воде. Если же в качестве растворителя додециламина ($\sigma=22,5 \text{ мДж}/\text{м}^2$) взять гексан, поверхностное натяжение которого меньше ($\sigma=17,8 \text{ мДж}/\text{м}^2$), то амин будет выступать уже как поверхностно-инактивное веще-

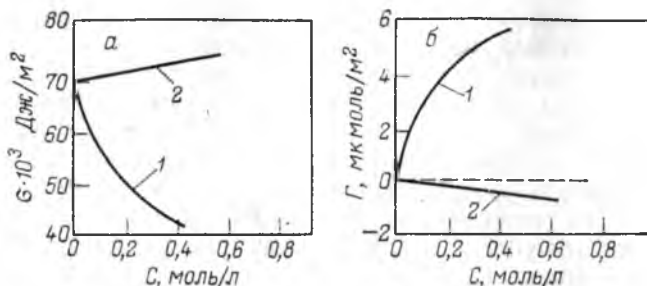


Рис. 11.8. Зависимость поверхностного натяжения (а) и гиббсовской адсорбции (б) от концентрации водного раствора поверхностно-активного и инактивного вещества:

1 — додециламин; 2 — сульфат натрия

ство. Так как большинство органических веществ имеет поверхностное натяжение меньше, чем вода, то они по отношению к воде поверхностно-активны.

Термин «поверхностно-активные вещества» (ПАВ) обычно применяют к специфическим веществам, обладающим очень большой поверхностной активностью по отношению к воде, что является следствием их особого строения. Молекулы ПАВ имеют неполярную (углеводородную) часть и полярную, представленную функциональными группами $-\text{COOH}$, $-\text{NH}_2$, $-\text{OH}$, $-\text{O}-$, $-\text{SO}_2\text{OH}$ и др. Углеводородные радикалы выталкиваются из воды на поверхность, и их величина адсорбции всегда положительна ($\Gamma > 0$). ПАВ типа обычных мыл (олеат натрия) в концентрации 10^{-3} моль/л понижают σ воды при 298 К с 72,5 до 30 мДж/м². Это значит, что в определенной толщине поверхностного слоя концентрация ПАВ в $3 \cdot 10^4$ раз (т. е. в десятки тысяч раз) превышает концентрацию ПАВ в объеме раствора.

Примером поверхностно-инактивных веществ по отношению к воде являются неорганические соли, которые сильно гидратируются. Они взаимодействуют с водой сильнее, чем молекулы воды между собой. Вследствие этого они имеют отрицательную величину адсорбции ($\Gamma < 0$). При добавлении неорганических солей к воде поверхностное натяжение повышается, но в связи с тем, что адсорбция соли отрицательна, т. е. на поверхность предпочтительнее переходит растворитель (вода), поверхностное натяжение раствора с увеличением концентрации поверхностно-инактивных веществ растет медленно (см. рис. 11.8).

4. Энергетические параметры адсорбции

Рассмотрим процесс адсорбции газов на твердой поверхности с использованием фундаментального адсорбционного уравнения Гиббса. При этом примем, что твердый адсорбент не растворя-

ется в конденсате пара, образующегося на его поверхности. При таком условии энергия Гиббса системы изменяется в соответствии с соотношением (II.69), для которого принято равенство $\Gamma = A$ (большая избыточная адсорбция). Фундаментальное уравнение Гиббса в этом случае принимает вид (учитываются только параметры адсорбируемого газа — фазы 2):

$$-d\Delta\sigma = \Gamma_2 d\Delta\mu_2, \quad -\Delta\sigma = \int \Gamma_2 d\Delta\mu_2 \quad (\text{II.78})$$

Подставляя уравнение (II.78) в уравнение (II.69), получим:

$$\Delta G_s = \Gamma_2 \Delta\mu_2 - \int \Gamma_2 d\Delta\mu_2$$

Сравнение этого уравнения с применяемой в математике формой интегрирования по частям* дает возможность записать:

$$\Delta G_s = \int_0^{\Gamma_2} \Delta\mu_2 d\Gamma_2 \quad (\text{II.79})$$

Таким образом, зная зависимость величины гиббсовской адсорбции от химического потенциала адсорбата, можно рассчитать интегральное изменение энергии Гиббса в системе при адсорбции. Эта величина, взятая с обратным знаком, называется *интегральной работой адсорбции*:

$$W_{\text{адс}} = -\Delta G_s \quad (\text{II.80})$$

Дифференциальное изменение энергии Гиббса при адсорбции можно получить дифференцированием уравнения (II.79) по величине гиббсовской адсорбции Γ_2 :

$$\Delta G_d = \partial \Delta G_s / \partial \Gamma_2 = \Delta\mu_2 \quad (\text{II.81})$$

Из этого уравнения следует, что дифференциальное изменение энергии Гиббса при адсорбции равно изменению химического потенциала адсорбата при переходе 1 моль его из стандартного состояния (жидкость, насыщенный пар) на поверхность адсорбента. Величина, равная дифференциальному изменению энергии Гиббса при адсорбции, взятая с обратным знаком, называется *дифференциальной работой адсорбции*, или *адсорбционным потенциалом*:

$$\epsilon = -\Delta\mu_2 = RT \ln(p_s/p) \quad (\text{II.82})$$

где p — давление пара (газа) адсорбата в адсорбционной системе; p_s — давление насыщенного пара над жидким адсорбатом. Очевидно, пары в этом случае принимаются за идеальные.

* Если $U=f(x)$ и $V=\varphi(x)$ — дифференцируемые функции, то из формулы $d(UV) = UdV + VdU$ следует $\int VdU = UV - \int UdV$. Последнее соотношение называется формулой интегрирования по частям.

Так как адсорбция увеличивается с ростом давления (концентрации) вещества, то из уравнения (II.82) следует, что дифференциальная работа адсорбции, уменьшаясь с увеличением давления (концентрации) адсорбата, уменьшается и с ростом величины адсорбции.

Дифференциальное изменение энтропии можно получить, дифференцируя ΔG_d по температуре с учетом (II.82):

$$\Delta S_d = -\frac{\partial \Delta G_d}{\partial T} = -\left(\frac{\partial \Delta \mu_2}{\partial T}\right)_{\Gamma_2} = -R \ln \frac{p}{p_s} - RT \left[\frac{\partial \ln (p/p_s)}{\partial T} \right]_{\Gamma_2}$$

или

$$\Delta S_d = -R \ln \frac{p}{p_s} - RT \left(\frac{\partial \ln p}{\partial T} \right)_{\Gamma_2} + RT \frac{d \ln p_s}{dT} \quad (\text{II.83})$$

В последнем слагаемом можно записать прямую производную, так как p_s не зависит от Γ_2 .

Дифференциальное изменение энthalпии легко получить, подставив в уравнение $\Delta H_d = \Delta G_d + T \Delta S_d$ соответствующие выражения из уравнений (II.82) и (II.83):

$$\Delta H_d = RT \ln \frac{p}{p_s} - RT \ln \frac{p}{p_s} - RT^2 \left[\frac{\partial \ln (p/p_s)}{\partial T} \right]_{\Gamma_2}$$

и

$$\Delta H_d = -RT^2 \left[\frac{\partial \ln (p/p_s)}{\partial T} \right]_{\Gamma_2}$$

или

$$\Delta H_d = -RT^2 \left(\frac{\partial \ln p}{\partial T} \right)_{\Gamma_2} + RT^2 \frac{d \ln p_s}{dT} \quad (\text{II.84})$$

Из уравнений (II.83) и (II.84) видно, что для расчета дифференциальных изменений энтропии и энthalпии необходимо знать зависимость давления пара от температуры при постоянной величине адсорбции Γ (определение изостер). По этим зависимостям можно получить необходимые значения температурных коэффициентов для давления пара при данных заполнениях поверхности адсорбента — величинах адсорбции. Первый член правой части уравнения (II.84) выражает *дифференциальную теплоту адсорбции*:

$$q_d = -RT^2 \left(\frac{\partial \ln p}{\partial T} \right)_{\Gamma_2} \quad (\text{II.85})$$

второй член отвечает теплоте объемной конденсации пара:

$$L = -RT^2 \frac{d \ln p_s}{dT} \quad (\text{II.86})$$

Изменение энthalпии адсорбции получило название *чистой дифференциальной теплоты адсорбции*:

$$\lambda_d = q_d - L \quad (\text{II.87})$$

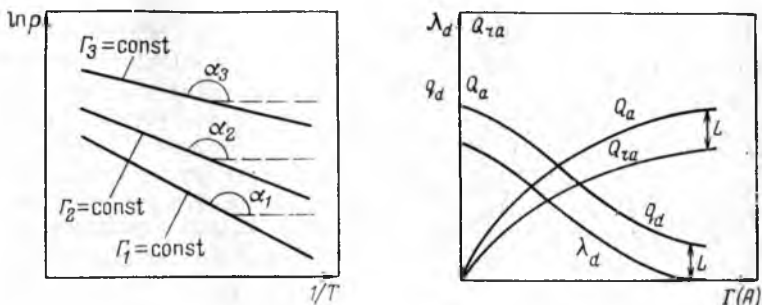


Рис. 11.9. Определение дифференциальной теплоты и энтропии адсорбции паров по изостерам.

Приведены изостеры для разных степеней заполнения поверхности адсорбента Γ_1 , Γ_2 и Γ_3

Рис. 11.10. Зависимости интегральной и дифференциальной теплот адсорбции от величины адсорбции

Для определения дифференциальной теплоты адсорбции строят график в координатах $\ln p - 1/T$ (рис. 11.9), что соответствует интегральной форме уравнения (11.85) для дифференциальной теплоты адсорбции при условии независимости q_d от T :

$$(\ln p)_{\Gamma_2} = \frac{q_d}{R} \frac{1}{T} + \text{const} \quad (11.88)$$

Дифференциальная теплота адсорбции определяется по тангенсу угла наклона прямой ($\text{tg } \alpha = q_d/R$). Построение изостер при разных заполнениях поверхности адсорбента позволяет проследить изменение дифференциальной теплоты адсорбции, которую часто называют изостерической. По мере заполнения поверхностного слоя абсолютное значение изостерической теплоты адсорбции уменьшается. Из рис. 11.9 видно ($\text{tg } \alpha < 0$), что теплота адсорбции паров и газов отрицательна (энтальпия уменьшается), т. е. теплота выделяется из системы. Как следует из соотношения (11.85), она измеряется в единицах теплоты, приходящейся на единицу количества адсорбата (Дж/моль).

Интегральную теплоту адсорбции можно получить интегрированием дифференциальной теплоты адсорбции и чистой дифференциальной теплоты адсорбции:

$$Q_a = \int_0^{\Gamma_2} q_d d\Gamma_2 \quad \text{и} \quad Q_{ra} = \int_0^{\Gamma_2} \lambda_d d\Gamma_2 \quad (11.89)$$

Эти величины определяют теплоту адсорбции до данного заполнения поверхности и в соответствии с уравнением (11.89) измеряются в единицах теплоты, приходящейся на единицу площади поверхности (или массы) адсорбента.

На рис. II.10 представлены зависимости интегральных и дифференциальных теплот адсорбции от величины адсорбции, которые показывают, что абсолютные значения дифференциальных теплот обычно уменьшаются по мере увеличения адсорбции (степени заполнения). Это уменьшение сильнее проявляется на энергетически неоднородных поверхностях, которые характерны для большинства реальных адсорбентов, и объясняется тем, что в первый момент молекулы адсорбата взаимодействуют с обладающими большим сродством центрами адсорбции и теплота адсорбции максимальна. По мере заполнения поверхности во взаимодействие вступают адсорбционные центры с меньшим сродством к данному адсорбату, и соответственно уменьшается теплота адсорбции. Она уменьшается и по мере увеличения толщины слоя адсорбата на адсорбенте.

Интегральные теплоты определяются площадью под кривыми, описывающими дифференциальную теплоту.

Форма кривых теплот адсорбции на реальных адсорбентах значительно сложнее. Усложнение обсуждаемых зависимостей часто связано с тем, что при малых степенях заполнения поверхности вклад теплоты конденсации небольшой и изменение энтальпии определяется в основном чистой теплотой адсорбции. По мере же заполнения вклад теплоты конденсации нарастает. Поэтому на кривой могут наблюдаться и минимумы; возможны и более сложные зависимости.

В. ОБРАЗОВАНИЕ И СТРОЕНИЕ ДВОЙНОГО ЭЛЕКТРИЧЕСКОГО СЛОЯ

1. Механизм образования двойного электрического слоя

В курсе коллоидной химии рассматривается общая теория двойного электрического слоя и электрических межфазных явлений, значение которых выходит за рамки данной науки. Кроме ионообменной адсорбции, электрокинетических явлений, стабилизации и коагуляции дисперсных систем и других процессов, изучаемых в курсе коллоидной химии, электрические межфазные явления в значительной мере определяют электродные процессы (электрохимия), процессы массопереноса через межфазную поверхность, каталитические, мембранные, биологические процессы, обуславливают свойства полупроводниковых и других материалов.

Возникновение двойного электрического слоя на межфазных поверхностях, как и адсорбция, является результатом взаимодействия соприкасающихся фаз благодаря избыточной поверхностной энергии. Стремление гетерогенной системы к уменьшению поверхностной энергии вызывает определенное ориентирование полярных молекул, ионов и электронов в поверхностном

слое, вследствие чего соприкасающиеся фазы приобретают заряды противоположного знака, но равной величины. В результате на поверхности возникает двойной электрический слой, обуславливающий различные электроповерхностные явления. Увеличение межфазного взаимодействия при возникновении двойного электрического слоя можно представить и как снижение поверхностного натяжения благодаря взаимному отталкиванию одноименных зарядов, концентрирующихся на поверхности со стороны каждой фазы, что уменьшает стягивающие силы в поверхностном слое.

Различают три возможных механизма образования двойного электрического слоя. Согласно одному из них двойной электрический слой образуется в результате перехода ионов или электронов из одной фазы в другую (поверхностная ионизация). Например, с поверхности металла в газовую фазу переходят электроны, создавая электронное облако со стороны газовой фазы. Количественной характеристикой такого перехода может служить работа выхода электрона. Интенсивность электронного потока увеличивается с повышением температуры (термоэлектронная эмиссия). В результате поверхность металла приобретает положительный заряд, а газовая фаза — отрицательный. Возникший электрический потенциал на границе раздела фаз препятствует дальнейшему переходу электронов — наступает равновесие, при котором положительный заряд поверхности металла скомпенсирован отрицательным зарядом, созданным электронами в газовой фазе, т. е. формируется двойной электрический слой.

Двойной электрический слой образуется, например, на межфазной поверхности между водой и малорастворимым иодидом серебра. При растворении иодида серебра в воду преимущественно переходят катионы серебра, так как они сильнее гидратируются, чем иодид-ионы. В результате поверхность иодида серебра будет иметь некоторый избыток отрицательных ионов иода (*потенциалопределяющих ионов*), который нейтрализуется избытком положительных ионов серебра в прилегающем водном слое (*противоионов*). Если же в воду добавить хорошо растворимый нитрат серебра, увеличивается электрохимический потенциал ионов серебра. Вследствие этого с поверхности иодида серебра в воду будет переходить преимущественно иодид-ионы и поверхность соли зарядится положительно (избыток катионов серебра), а иодид-ионы будут выступать в качестве противоионов. Иногда такой процесс перехода ионов одного знака из одной фазы в другую рассматривают как автоадсорбцию (адсорбция одноименных ионов). Для определения заряда поверхности используют правило Фаянса — Панета, согласно которому структуру кристаллической решетки могут составлять только те ионы, которые входят в ее состав.

Преимущественный переход тех или иных ионов с поверхности вещества в раствор количественно можно характеризовать изоэлектрической точкой (ИЭТ), т. е. отрицательным логарифмом концентрации потенциалопределяющего иона, при которой суммарный электрический заряд на поверхности равен нулю (в отсутствие посторонних ионов):

$$\text{ИЭТ}_+ = -\lg c_+ \quad \text{или} \quad \text{ИЭТ}_- = -\lg c_- \quad (\text{II.90})$$

где c_+ и c_- — концентрации потенциалопределяющих ионов в растворе, находящемся в равновесии с малорастворимым электролитом, когда числа положительных и отрицательных зарядов на поверхности одинаковы.

Изоэлектрическая точка непосредственно связана с произведением растворимости:

$$\text{ПР} = c^{v_+} c^{v_-} \quad \text{или} \quad \lg \text{ПР} = v_+ \lg c_+ + v_- \lg c_- \quad (\text{II.91})$$

где v_+ и v_- — стехиометрические коэффициенты ионов.

С учетом соотношения (II.90) получим:

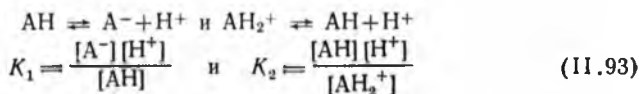
$$\rho \text{ПР} = -\lg \text{ПР} = v_+ \text{ИЭТ}_+ + v_- \text{ИЭТ}_- \quad (\text{II.92})$$

Электрический заряд поверхности иодида серебра в водном растворе равен нулю при концентрации ионов иода в растворе, равной $10^{-10,6}$ М. Зная произведение растворимости AgI , равное $\approx 10^{-16}$ (25°C), можно определить и концентрацию ионов серебра при нулевом потенциале поверхности, т. е.

$$[\text{Ag}^+] = 10^{-16}/10^{-10,6} = 10^{-5,4} \text{ М}$$

или записать в виде изоэлектрических точек по катиону или аниону: $\text{ИЭТ}_{\text{Ag}^+} = 5,4$ и $\text{ИЭТ}_{\text{I}^-} = 10,6$. Полученные значения характеризуют различие в стремлении ионов перейти в раствор. Оно выражено сильнее, как уже упоминалось, у ионов серебра. Чтобы поверхность зарядилась положительно, концентрация ионов серебра должна составлять $>10^{-5,4}$, а ионов иода $<10^{-10,6}$ моль/л.

Если потенциалопределяющими являются ионы H^+ и OH^- , то изоэлектрическая точка определяется значением pH , при котором электрический заряд поверхности равен нулю в отсутствие посторонних ионов (на поверхности соблюдается равенство $[\text{H}^+] = [\text{OH}^-]$). Очевидно, что $\text{pH}_{\text{ИЭТ}}$ зависит от кислотно-основных свойств вещества. Сродство к протону можно представить следующими константами диссоциации:



Произведение констант при условии электронейтральности поверхности $[\text{A}^-] = [\text{АН}_2^+]$ составит:

$$K_1 K_2 = (\text{H}^+_{\text{ИЭТ}})^2, \quad \text{или} \quad \text{pH}_{\text{ИЭТ}} = \frac{1}{2}(\text{p}K_1 + \text{p}K_2) \quad (\text{II.94})$$

Таким образом, чем менее кислыми свойствами обладает вещество (поверхностный слой), помещенное в какой-либо растворитель, тем большее значение имеет его изоэлектрическая точка в данном растворителе. Соотношения (II.90) — (II.94) справедливы для разбавленных растворов, когда активности можно приравнять концентрациям. Понятие изоэлектрической точки широко применяется также для характеристики растворенных веществ.

Согласно второму механизму образование двойного электрического слоя происходит в результате адсорбции. Двойной электрический слой может образоваться при избирательной адсорбции в межфазном слое ионов электролитов, не входящих в состав веществ, образующих фазы, т. е. в результате адсорбции примесей. Например, добавление в систему металл — вода раствора хлорида натрия приводит к избирательной адсорбции хлорид-анионов на поверхности металла. Появляется избыточный отрицательный заряд на поверхности металла и избыточный положительный заряд (ионы натрия) в близлежащем слое раствора, т. е. на межфазной поверхности образуется двойной электрический слой. При адсорбции в этой же системе ионогенных (диссоциирующих на ионы) ПАВ на поверхности металла преимущественно адсорбируются органические ионы, противоионы (неорганические ионы) формируют двойной слой со стороны водной фазы, так как сильнее с ней взаимодействуют. Адсорбция ионогенного ПАВ может происходить на границе двух несмешивающихся жидкостей, например воды и бензола. Полярная группа молекулы ПАВ, обращенная к воде, диссоциирует, сообщая поверхности фазы бензола заряд, соответствующий органической части молекулы ПАВ.

Если вещества, составляющие фазы системы, не способны обмениваться зарядами, то двойной электрический слой может образоваться благодаря ориентированию полярных молекул сопряженных фаз в результате их взаимодействия. В этом состоит третий механизм образования двойного электрического слоя. По такому же механизму образуется двойной электрический слой в результате адсорбции недиссоциирующих полярных молекул, находящихся в растворе. Двойной электрический слой могут образовать и неполярные молекулы и атомы, но которые могут поляризоваться ориентированно в силовом поле поверхности раздела. Если в формировании двойного электрического слоя не принимают участия электролиты, для определения знака заряда на поверхности можно воспользоваться правилом Кёна. Согласно этому правилу из двух соприкасающихся фаз положительно заряжается та, которая имеет большую диэлектрическую проницаемость. Именно поэтому многие вещества, находящиеся в контакте с водой, имеющей большую диэлектрическую проницаемость, заряжаются отрицательно.

2. Термодинамические соотношения между поверхностным натяжением и электрическим потенциалом двойного электрического слоя

Как уже было указано выше, образование двойного электрического слоя происходит самопроизвольно в результате стремления системы уменьшить энергию Гиббса поверхностного слоя. Снижение поверхностной энергии должно приводить к увеличению электрической энергии. Термодинамическое соотношение между поверхностной и электрической энергией гетерогенной системы можно получить таким же образом, как и адсорбционное уравнение Гиббса, связывающее поверхностную и химическую энергии.

Обозначим изменение электрической энергии через φdq (где φ — электрический потенциал двойного электрического слоя, q — заряд поверхности). Тогда в соответствии с обобщенным уравнением первого и второго начал термодинамики (без учета химической энергии) изменение энергии Гиббса на поверхности можно записать следующим образом:

$$dG = -SdT + \sigma ds + qdq \quad (II.95)$$

где S — энтропия системы; T — температура; σ — поверхностное натяжение; s — площадь межфазной поверхности.

В этом уравнении σds обозначает изменение поверхностной энергии. При постоянной температуре зависимость (II.95) принимает простой вид

$$dG = \sigma ds + qdq \quad (II.96)$$

Полный дифференциал энергии Гиббса равен

$$dG = \sigma ds + s d\sigma + q dq + q d\varphi$$

Вычитая это уравнение из (II.96), получим:

$$s d\sigma + q d\varphi = 0$$

Если разделить полученное соотношение на площадь поверхности и обозначить q/s через q_s (q_s — заряд единицы поверхности, т. е. плотность заряда), то получим:

$$d\sigma/d\varphi = -q_s \quad (II.97)$$

Соотношение (II.97) носит название *первого уравнения Липпмана*. Если знаки потенциала и заряда совпадают, то поверхностное натяжение снижается с ростом потенциала. Если же их знаки противоположны, то увеличение потенциала ведет к росту поверхностного натяжения. Эти зависимости тем сильнее, чем больше абсолютное значение плотности заряда. При минимальной плотности заряда поверхностное натяжение слабо зависит от потенциала. Если система стремится к равновесию вследствие самопроизвольного уменьшения поверхностной энер-

гии без подвода извне электрической энергии, то обычно знаки заряда и потенциала двойного электрического слоя совпадают и уменьшение поверхностного натяжения сопровождается увеличением абсолютного значения электрического потенциала.

Дифференциальная емкость двойного электрического слоя, как и любого конденсатора, определяется соотношением:

$$C = dq/d\varphi \quad (II.98)$$

После дифференцирования уравнения (II.97) по φ и подстановки в него соотношения (II.98) получим *второе уравнение Липпмана*:

$$d^2\sigma/d\varphi^2 = -dq/d\varphi = -C \quad (II.99)$$

Это уравнение показывает возможность определения емкости двойного электрического слоя, если известна зависимость σ от φ .

Если двойной электрический слой и соответственно электрический потенциал на межфазной границе возникают вследствие перераспределения ионов, то для описания адсорбции ионов можно воспользоваться адсорбционным уравнением Гиббса. При условии, что на поверхности из раствора адсорбируется только положительный катион, имеем:

$$-d\sigma = \Gamma_+ d\mu_+ \quad (II.100)$$

где Γ_+ — гиббсовская адсорбция потенциалопределяющих катионов.

Поверхностная плотность заряда равна

$$q_s = Fz\Gamma_+ \quad (II.101)$$

где F — число Фарадея; z — заряд катиона.

Подставляем это выражение в уравнение Липпмана:

$$-d\sigma = q_s d\varphi = Fz\Gamma_+ d\varphi \quad (II.102)$$

Сравнивая соотношения (II.100) и (II.102), можно видеть, что

$$\Delta\varphi = \frac{\Delta\mu_+}{Fz} = \frac{RT}{Fz} \ln \frac{a_0}{a_p} \quad (II.103)$$

где a_0 и a_p — активность иона на поверхности и в растворе соответственно.

Полученное уравнение называется уравнением электродного потенциала Нернста. Приведенный вывод указывает на непосредственную связь между уравнениями Гиббса и Липпмана и показывает, что потенциалопределяющие ионы, адсорбируясь, изменяют поверхностное натяжение. Это эквивалентно увеличению потенциала на межфазной границе.

3. Уравнение электрокапиллярной кривой и его экспериментальное исследование

Если двойной электрический слой представить как плоский конденсатор, тогда его интегральную емкость необходимо принять постоянной и равной

$$C = q_s/\varphi \quad (II.104)$$

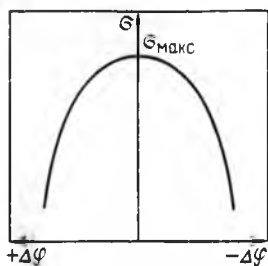


Рис. II.11. Теоретическая электрокапиллярная кривая

В уравнении (II.104) емкость относится к единице площади поверхности, так как берется плотность заряда q_s . Так как по предположению емкость двойного электрического слоя не зависит от потенциала, то, подставляя в уравнение Липпмана выражение q_s из (II.104), получим:

$$d\sigma/d\varphi = -C\varphi; \quad d\sigma = -C\varphi d\varphi$$

Интегрируя это уравнение в пределах от σ до $\sigma_{\text{макс}}$ (максимальное значение σ) и от φ до $\varphi(0)$ (заряд равен нулю — точка нулевого заряда), найдем:

$$\text{или} \quad \int_{\sigma}^{\sigma_{\text{макс}}} d\sigma = -C \int_{\varphi}^{\varphi(0)} \varphi d\varphi$$

$$\sigma_{\text{макс}} - \sigma = C[\varphi^2/2 - \varphi^2(0)/2] \quad (\text{II.105})$$

Если принять за начало отсчета потенциал в точке нулевого заряда, т. е. $\varphi(0)$, то

$$\sigma = \sigma_{\text{макс}} - C\Delta\varphi^2/2 \quad (\text{II.106})$$

Уравнения (II.105) и (II.106) называют *уравнениями электрокапиллярной кривой*. Из них следует, что поверхностное натяжение при условии постоянства емкости двойного электрического слоя изменяется в соответствии с уравнением параболы (рис. II.11). Вершина параболы отвечает максимальному поверхностному натяжению $\sigma_{\text{макс}}$. Парабола симметрична, что по физическому смыслу означает равное сродство катионов и анионов, выступающих в роли противоионов, к поверхности, имеющей соответственно отрицательный и положительный потенциал. Уменьшение положительного потенциала, как и отрицательного, ведет к увеличению поверхностного натяжения. Однако в реальных системах емкость двойного электрического слоя несколько изменяется с изменением потенциала, и поэтому экспериментальные электрокапиллярные кривые обычно не являются симметричными.

Вершина параболы соответствует точке нулевого заряда. В этой точке поверхностное натяжение не зависит от потенциала, так как производная $d\sigma/d\varphi$ равна нулю, т. е. поверхностный слой имеет нулевой заряд, что означает отсутствие двойного электрического слоя. Потенциал же поверхности в этой точке не равен нулю. Например, можно подобрать такой раствор, в котором химический потенциал иона металла будет равен химическому потенциалу этого иона на опу-

ценном в раствор электроде (металлической пластине) из того же металла. В этом случае перераспределение ионов между электродом и раствором не будет и двойной электрический слой не возникает. Такой раствор называется *нулевым раствором*, а электрический потенциал на электроде — *потенциалом нулевого заряда*. Разность потенциалов двух электродов в нулевом растворе равна внешней контактной разности потенциалов электродов, которая, в свою очередь, определяется разностью работ выхода электронов для этих металлов. Так, при контакте двух разных металлов электроны с поверхности одного из них переходят на поверхность другого до установления равновесия и постоянной разности потенциалов, равной разности между их потенциалами нулевых зарядов.

Уравнения электрокапиллярной кривой названо так потому, что выражаемые ими зависимости экспериментально проверялись Липпманом с помощью прибора, называемого капиллярным электрометром. При исследовании зависимости поверхностного натяжения от потенциала двойного электрического слоя в качестве одной из фаз наиболее удобно применять металлическую ртуть, поверхностное натяжение которой легко измерить, например, капиллярным методом, и в то же время удобно изменять электрический потенциал на межфазной границе ртуть — раствор с помощью внешнего источника тока. Кроме того, ртуть является почти идеально поляризуемым электродом, т. е. таким электродом, на котором не протекают электродные реакции при прохождении тока, и поэтому изменение заряда электрода вызывает только изменение его потенциала. Это обусловлено тем, что благородные металлы почти совсем не отдают своих ионов в раствор. Из-за малого содержания их в растворе невозможна и обратная реакция (восстановление).

Принцип действия капиллярного электрометра и его устройство иллюстрирует рис. II.12. Капиллярная трубка 1 с ртутью, соединенная с одним полюсом источника тока 7, опущена в сосуд с электролитом 4, который через каломельный электрод 5 соединен с другим полюсом источника тока. При контакте ртути с раствором электролита, добавляемого для увеличения электропроводности раствора,

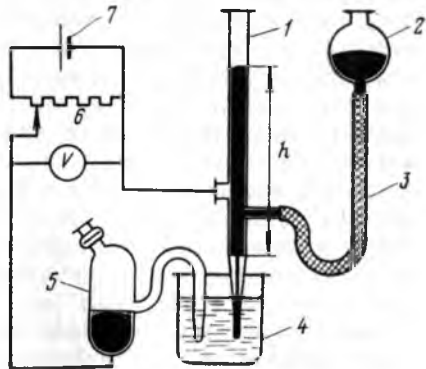


Рис. II.12. Схема капиллярного электрометра:

1 — капиллярная трубка с ртутью; 2 — сосуд с ртутью; 3 — резиновый шланг; 4 — стакан с раствором электролита; 5 — сосуд с каломельным электродом; 6 — реостат; 7 — источник тока (аккумулятор)

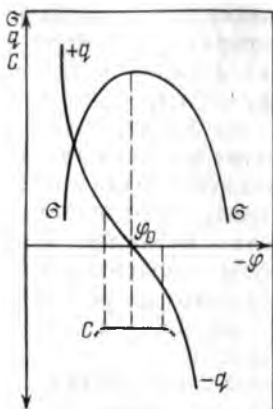


Рис. II.13. Зависимость поверхностного натяжения ртути, заряда и емкости двойного электрического слоя от электрического потенциала на границе с водным раствором сульфата натрия. Электрокапиллярная кривая экспериментальная, остальные зависимости — расчетные

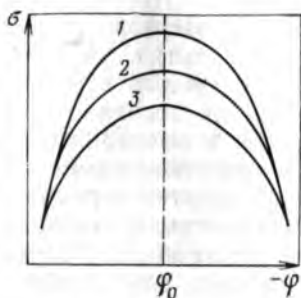


Рис. II.14. Влияние адсорбции неионных ПАВ на электрокапиллярную кривую:

1 — раствор Na_2SO_4 ; 2 — раствор Na_2SO_4 с добавкой пропионовой кислоты; 3 — раствор Na_2SO_4 , насыщенный масляной кислотой

возникает электрический потенциал на межфазной поверхности. С помощью внешнего источника тока изменяют электрический потенциал, что вызывает изменение поверхностного натяжения на границе ртуть — раствор и соответственно высоты столба ртути h в капилляре. Поднимая или опуская сосуд 2 со ртутью, совмещают нижний мениск ртути с риской на капилляре, отмечают верхний уровень ртути и по полученной высоте h определяют поверхностное натяжение. Регистрируя таким образом зависимость поверхностного натяжения от электрического потенциала, получают электрокапиллярную кривую.

На рис. II.13 показаны зависимости поверхностного натяжения σ , заряда q и емкости C двойного электрического слоя от электрического потенциала. По экспериментальной кривой $\sigma = f(\varphi)$, например, с помощью графического дифференцирования можно рассчитать зависимость плотности заряда q_s от потенциала φ (II.97). Второе дифференцирование экспериментальной электрокапиллярной кривой позволяет получить зависимость емкости двойного электрического слоя от потенциала (II.99).

Экспериментальные электрокапиллярные кривые почти полностью повторяют ход теоретической кривой. Таким образом было подтверждено уравнение Липпмана. Однако изменение емкости двойного электрического слоя с изменением потенциала в реальных системах нарушает симметричность ветвей параболы электрокапиллярной кривой. Основное влияние оказывает природа ионов, образующих двойной электрический слой.

При положительном потенциале электрода (левая ветвь кривой) слой противоионов в растворе образуют анионы, а при отрицательном потенциале электрода (правая ветвь кривой) слой противоионов составляют катионы.

Как правило, анионы в меньшей степени гидратируются, и сильнее поляризуются в электрическом поле, поэтому они будут ближе находиться к поверхности электрода и толщина двойного электрического слоя будет меньше, чем при наличии катионов. Так как емкость двойного электрического слоя больше при меньшей его толщине δ (расстояние между обкладками конденсатора)

$$C = q_s / \varphi_0 = \epsilon_a / \delta = \epsilon_0 \epsilon / \delta \quad (\text{II.107})$$

где φ_0 — электрический потенциал двойного электрического слоя; ϵ_a — абсолютная диэлектрическая проницаемость; ϵ — относительная диэлектрическая проницаемость; ϵ_0 — электрическая постоянная, равная $8,854 \cdot 10^{-12}$ Ф/м

то при увеличении положительного потенциала (левая ветвь кривой) поверхностное натяжение на границе ртуть — раствор будет более резко снижаться, чем при увеличении отрицательного потенциала. Именно поэтому на рис. II.13 правая ветвь параболы менее крутая, чем левая.

С увеличением потенциала поляризация анионов увеличивается, а δ уменьшается, что еще сильнее сказывается на асимметрии электрокапиллярной кривой. При больших потенциалах могут поляризоваться и катионы. В результате линейная зависимость q от φ , соответствующая теоретической электрокапиллярной кривой, в реальных системах наблюдается обычно в области, близкой к точке нулевого заряда, а вдали от нее линейность зависимости нарушается.

При наличии в растворе ПАВ форма электрокапиллярной кривой может существенно изменяться, так как адсорбция ПАВ вызывает дополнительное изменение поверхностного натяжения (кроме действия электрического потенциала). Влияние ПАВ на электрокапиллярную кривую зависит от природы этих веществ и их концентрации. Адсорбция на межфазной поверхности зависит также от электрического потенциала, который в соответствии с уравнением Липпмана определяет поверхностное натяжение.

Если ПАВ не проявляет заметные ионогенные свойства, то оно лучше адсорбируется на слабо заряженной поверхности, т. е. вблизи точки нулевого заряда, где больше поверхностное натяжение. Это связано с тем, что именно при этих условиях уменьшение энергии Гиббса поверхностного слоя в результате адсорбции наибольшее. Экспериментальные данные полностью подтверждают этот вывод (рис. II.14). Максимум электрокапиллярной кривой в присутствии ПАВ снижается, становится менее четким, но не сдвигается по оси потенциала. Такая зако-

номерность позволяет использовать метод, основанный на адсорбции неионогенных ПАВ, для нахождения точки нулевого заряда.

Ионогенные вещества, ионы которых значительно различаются по поверхностной активности, могут сдвигать точку нулевого заряда в ту или иную сторону по оси потенциала. Так, анионы OH^- , SO_4^{2-} , CO_3^{2-} , HPO_4^{2-} не являются поверхностно-активными в системе вода — ртуть (они сильно гидратированы и к ртути не проявляют специфического сродства) и поэтому слабо влияют на положение точки нулевого заряда. Ионы Cl^- , Br^- , CNS^- , I^- , S^{2-} являются в данной системе поверхностно-активными, причем их активность в этом ряду возрастает, и они сдвигают точку нулевого заряда ртутного электрода в область более отрицательных значений электрического потенциала (рис. II.15). Механизм такого действия состоит в следующем. В результате адсорбции отрицательных ионов на поверхности электрода даже тогда, когда он заряжен отрицательно, электрод становится более положительным относительно слоя адсорбированных ионов. Чем больше сродство анионов к электроду, тем этот эффект проявляется сильнее и тем больший отрицательный потенциал нужно подать на электрод, чтобы предотвратить адсорбцию (получить точку нулевого заряда).

Таким образом, поверхностно-активные анионы, адсорбируясь, не только снижают поверхностное межфазное натяжение, но и обуславливают более отрицательное значение потенциала точки нулевого заряда. Обратная зависимость наблюдается для

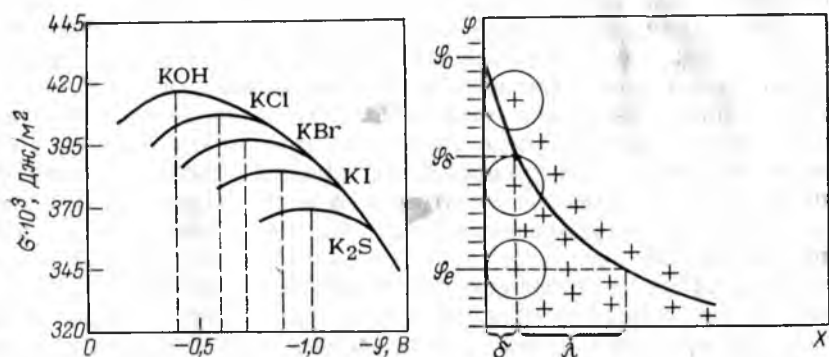


Рис. II.15. Смещение точки нулевого заряда электрокапиллярной кривой при адсорбции анионов OH^- , Cl^- , Br^- , I^- , S^{2-}

Рис. II.16. Двойной электрический слой и изменение в нем потенциала.

ϕ_0 , ϕ_δ , ϕ_λ — электрический потенциал соответственно двойного электрического слоя, диффузного слоя и диффузного слоя на расстоянии, равном λ , δ — толщина адсорбционного слоя, λ — толщина диффузного слоя

поверхностно-активных катионов (Th^{4+} , Al^{3+} и др.), т. е. поверхностно-активные катионы сдвигают точку нулевого заряда в сторону положительных значений электрического потенциала.

4. Строение двойного электрического слоя

Все электрические свойства межфазных поверхностей и явления, протекающие на них, обусловлены наличием двойного электрического слоя на границе раздела фаз. Количественные связи между параметрами двойного электрического слоя определяются его строением.

Первые предположения об образовании двойного электрического слоя были сделаны Квинке. Строение двойного электрического слоя впервые было представлено Гельмгольцем и Перреном по аналогии со строением плоского конденсатора. Согласно их представлениям, на границе соприкасающихся фаз заряды располагаются в виде двух рядов разноименных ионов: ряд *потенциалопределяющих ионов* на расстоянии, равном их радиусу в несольватированном состоянии, и прилегающий к нему ряд *противоионов*. Толщина электрического слоя близка к молекулярным размерам или размерам сольватированных ионов. Потенциал слоя снижается в пределах его толщины линейно до нуля. Поверхностный заряд q_s определяется в соответствии с теорией плоского конденсатора уравнением (II.107):

$$q_s = \frac{\epsilon_a}{\delta} \Phi_0 = \frac{\epsilon_0 \epsilon}{\delta} \Phi_0 \quad (\text{II.108})$$

Вполне естественно, что подобное строение двойного слоя возможно при отсутствии теплового движения ионов. В реальных же условиях распределение зарядов на границе раздела фаз в первом приближении определяется соотношением сил электростатического притяжения ионов, зависящего от электрического потенциала Φ_0 и теплового движения ионов, стремящихся равномерно распределиться во всем объеме жидкой или газообразной фазы. К такому выводу независимо друг от друга пришли Гуи и Чепмен. Они предположили, что двойной электрический слой имеет диффузное (размытое) строение и все противоионы находятся в диффузной его части — в диффузном слое. Поскольку протяженность диффузного слоя определяется кинетической энергией ионов, то в области температур, близких к абсолютному нулю, все противоионы будут находиться в непосредственной близости к потенциалопределяющим ионам.

Современная теория строения двойного электрического слоя основана на представлениях Штерна. Она объединяет две предыдущие теории. Согласно современной теории слой противоионов состоит из двух частей (рис. II.16). Одна часть примыкает непосредственно к межфазной поверхности и образует адсор-

бционный слой (слой Гельмгольца) толщиной δ , которая равна радиусу гидратированных ионов, его составляющих. Другая часть противоионов находится в диффузной части — диффузный слой (слой Гуи) с потенциалом φ_δ , толщина λ которой может быть значительной и зависит от свойств и состава системы. Потенциал в диффузной части двойного электрического слоя не может зависеть линейно от расстояния, так как ионы в нем распределены неравномерно. В соответствии с принятыми представлениями потенциал в слое Гельмгольца при увеличении расстояния от слоя потенциалопределяющих ионов снижается до потенциала диффузного слоя линейно, а затем, как будет показано, по экспоненте. Теория Штерна учитывает также специфическую (некулоновскую, химическую) составляющую адсорбции ионов на поверхности раздела фаз, которая существенным образом может влиять на изменение потенциала.

5. Уравнение Пуассона — Больцмана и его решение

Современная теория предполагает, что распределение ионов в диффузной части двойного электрического слоя определяется соотношением потенциальной энергии притяжения противоионов к заряженной поверхности и кинетической энергии их теплового движения в соответствии с законом Больцмана. Специфическим взаимодействием ионов с поверхностью можно пренебречь, так как оно проявляется только на очень близких расстояниях, т. е. в плотной части двойного электрического слоя. Исходя из этого, концентрация ионов в диффузном слое на расстоянии x от границы раздела фаз представляется пропорциональной фактору Больцмана:

$$c_{xi} = c_{0i} e^{-W_x / (RT)} \quad (\text{II.109})$$

где c_{0i} — концентрация иона в объеме раствора (за пределами диффузного слоя); $W_x = zF\varphi_x$ — отражает работу, необходимую для перемещения 1 моль ионов из объема раствора на расстояние x от границы раздела фаз; z — заряд иона; F — постоянная Фарадея (96 484 Кл/моль); φ_x — потенциал на расстоянии x , который в граничных условиях изменяется от $\varphi_x = \varphi_\delta$ (потенциал диффузного слоя) при $x = \delta$ до $\varphi_x = 0$ при $x = \infty$.

Объемная плотность заряда в диффузном слое выражается через концентрацию ионов на расстоянии x от границы раздела фаз в присутствии электролитов

$$\rho_x = \sum_i Fz_+ c_+ - \sum_i Fz_- c_- \quad (\text{II.110})$$

Если заряды ионов подставляются в уравнение со своими знаками ($z_+ > 0$ и $z_- < 0$), то в общем виде с учетом соотношения (II.109) получим:

$$\rho_x = \sum_i Fz_i c_{xi} = \sum_i Fz_i c_{0i} \exp\left(-\frac{\varphi_x z_i F}{RT}\right) \quad (\text{II.111})$$

Соотношение между потенциалом φ и объемной плотностью заряда ρ для сферического электрического поля определяется уравнением Пуассона:

$$\nabla^2\varphi = \partial^2\varphi/\partial x^2 + \partial^2\varphi/\partial y^2 + \partial^2\varphi/\partial z^2 = -\rho/\epsilon_a \quad (\text{II.112})$$

где ∇^2 — оператор Лапласа; x , y и z — пространственные координаты.

Для плоского двойного электрического слоя, радиус кривизны поверхности которого значительно больше толщины двойного электрического слоя, рассматривают изменение потенциала φ по одной координате, тогда уравнение (II.112) принимает вид:

$$\partial^2\varphi/\partial x^2 = -\rho/\epsilon_a \quad (\text{II.113})$$

Подставляя уравнение (II.111) в (II.113), получим уравнение Пуассона — Больцмана:

$$\frac{\partial^2\varphi}{\partial x^2} = -\frac{F}{\epsilon_a} \sum_i z_i c_{oi} \exp\left(-\frac{\varphi x z_i F}{RT}\right) \quad (\text{II.114})$$

Это уравнение после двойного интегрирования дает соотношение, выражающее закон изменения поверхностного потенциала от расстояния в диффузной части двойного электрического слоя и от свойств раствора. Чтобы в полной мере представлять возможности соотношения (II.114), лежащего в основе теории двойного электрического слоя, необходимо учитывать основные допущения и предположения, принятые Гуи и Чепменом при его выводе: двойной электрический слой является плоским, диэлектрическая проницаемость не зависит от расстояния x , ионы представляют собой точечные заряды (т. е. не имеют объема), при переводе противоионов из объема раствора в двойной электрический слой совершается работа только против электростатических сил.

Обычно уравнение Пуассона — Больцмана решают применительно к конкретным граничным условиям. Ниже приводится его решение при условии малости потенциала диффузного слоя ($\varphi_0 \ll 25$ мВ).

Обозначим экспоненциальный показатель y фактора Больцмана через y . При малых значениях φ и соответственно $y \ll 1$ фактор Больцмана можно разложить в ряд Маклорена:

$$e^y = 1 + y + y^2/2! + y^3/3! + \dots \quad (\text{II.115})$$

Если ограничиться двумя первыми членами ряда, то уравнение (II.111) для объемной плотности заряда после этих преобразований примет вид:

$$\rho_x = \sum_i F z_i c_{oi} \left(1 - \frac{\varphi x z_i F}{RT}\right) = \sum_i F z_i c_{oi} - \sum_i \frac{F^2 c_{oi} z_i^2 \varphi x}{RT} \quad (\text{II.116})$$

Первый член правой части этого уравнения равен нулю, так как он включает сумму зарядов в объеме раствора, которая по условиям электронейтральности равна нулю, и поэтому окончательно имеем:

$$\rho_x = -\frac{F^2}{RT} \left(\sum_i c_{0i} z_i^2 \right) \varphi_x = -\frac{2F^2 I}{RT} \varphi_x \quad (\text{II.117})$$

где $I = 1/2 \sum_i c_{0i} z_i^2$ — ионная сила раствора, выраженная по теории растворов электролитов Дебая — Гюккеля.

После такого преобразования уравнение Пуассона — Больцмана принимает следующую форму:

$$\frac{d^2 \varphi}{dx^2} = \frac{2F^2 I}{\varepsilon_a RT} \varphi_x = \kappa^2 \varphi_x \quad (\text{II.118})$$

Выражение κ^2 перед φ_x включает постоянные, характеризующие свойства раствора, поэтому можно считать, что они не изменяются с расстоянием от поверхности:

$$\kappa^2 = \frac{2F^2 I}{\varepsilon_a RT} \quad \text{или} \quad \kappa^2 = \frac{2F^2 I}{\varepsilon_0 \varepsilon RT} \quad (\text{II.119})$$

Для получения значений первой производной $d\varphi/dx$ проведем интегрирование от 0 до φ , для чего выражение (II.118) преобразуем следующим образом:

$$\frac{d(d\varphi/dx)}{dx} = \kappa^2 \varphi_x \quad \text{или} \quad d\left(\frac{d\varphi}{dx}\right) = \kappa^2 \varphi_x dx \frac{d\varphi}{d\varphi} = \kappa^2 \varphi_x \frac{dx}{d\varphi} d\varphi$$

или

$$\frac{d\varphi}{dx} d\left(\frac{d\varphi}{dx}\right) = \kappa^2 \varphi_x d\varphi \quad (\text{II.120})$$

При условии $\varphi \rightarrow 0$, $d\varphi/dx \rightarrow 0$ после интегрирования получим:

$$\frac{1}{2} \left(\frac{d\varphi}{dx}\right)^2 = \kappa^2 \int_0^\varphi \varphi_x d\varphi = \frac{\kappa^2 \varphi_x^2}{2} \quad (\text{II.121})$$

Поскольку при $x \rightarrow \infty$, $\varphi \rightarrow 0$ значение $d\varphi/dx < 0$, то после извлечения квадратного корня будем иметь:

$$d\varphi/dx = -\kappa \varphi_x \quad (\text{II.122})$$

Интегрируя уравнение (II.122) от δ до x и соответственно от потенциала диффузного слоя φ_δ до φ_x , получим:

$$\int_{\varphi_\delta}^{\varphi_x} \frac{d\varphi}{\varphi_x} = \kappa \int_\delta^x dx; \quad \ln \varphi_x - \ln \varphi_\delta = -\kappa(x - \delta); \quad \ln(\varphi_x/\varphi_\delta) = -\kappa(x - \delta)$$

Окончательно имеем:

$$\varphi_x = \varphi_0 e^{-\kappa(x-\delta)} \quad (\text{II.123})$$

Если расстояние x отсчитывать от начала диффузной части двойного электрического слоя, то

$$\varphi_x = \varphi_0 e^{-\kappa x} \quad (\text{II.124})$$

Для высоких потенциалов и больших расстояний от поверхности [$z\varphi_0 F/(RT) > 1$ и $z\varphi F/(RT) \ll 1$] решение уравнения Пуассона — Больцмана приводит к следующей зависимости потенциала двойного электрического слоя от расстояния:

$$\varphi_x = \frac{4RT}{zF} \gamma e^{-\kappa x} \quad (\text{II.125})$$

В уравнении (II.125) величина γ имеет следующее выражение:

$$\gamma = \frac{\exp[zF\varphi_0/(2RT)] - 1}{\exp[zF\varphi_0/(2RT)] + 1} \quad (\text{II.126})$$

При очень высоких потенциалах ($\varphi_0 > 100$ мВ) коэффициент $\gamma = 1$. В этом случае потенциал φ_x перестает зависеть от потенциала диффузного слоя φ_0 . Выражения (II.123), (II.124) и (II.125) называются уравнениями Гуи — Чепмена. Из них следует, что потенциал в области диффузного слоя в зависимости от расстояния уменьшается по экспоненте.

6. Толщина и емкость двойного электрического слоя. Соотношение между поверхностной и объемной плотностями зарядов

Поскольку показатель экспоненты в уравнении Гуи — Чепмена — безразмерная величина, а x и δ измеряются в единицах длины, то величина κ должна выражаться в единицах обратной длины. Величину $\lambda = 1/\kappa$ называют толщиной диффузной части двойного электрического слоя, или просто толщиной диффузного слоя (при малых φ). При $x = \delta = \lambda = 1/\kappa$ уравнение Гуи — Чепмена переходит в соотношение

$$\varphi = \varphi_0 e^{-1} \quad (\text{II.127})$$

Таким образом, за толщину диффузного слоя λ принято расстояние (см. рис. II.16), на котором потенциал диффузного слоя φ_0 снижается в e раз (т. е. в 2,718... раз).

Принимая во внимание выражение для κ (II.119), толщину диффузного слоя можно представить следующим уравнением, показывающим зависимость λ от свойств раствора:

$$\lambda = \frac{1}{\kappa} = \sqrt{\frac{\varepsilon_0 \varepsilon RT}{2F^2 I}} = k \sqrt{\frac{\varepsilon T}{\sum_i c_{0i} z_i^2}} \quad (\text{II.128})$$

где k — коэффициент пропорциональности, включающий константы ϵ_0 , R и F .

По аналогии с ионной атмосферой из теории Дебая и Гюккеля толщина диффузного слоя обратно пропорциональна корню квадратному из концентрации электролита в растворе. Значения λ для сильно разбавленных растворов электролитов составляют десятки нанометров, т. е. намного превосходят размеры молекул и ионов в растворе. Например, для симметричного одновалентного электролита концентрации $c=10^{-1}$, 10^{-3} и 10^{-5} моль/л, $\epsilon=81$, $T=293$ К, $R=8,314$ Дж/(моль·К), $F=9,648 \cdot 10^4$ Кл/моль, λ принимает значения соответственно 1, 10 и 100 нм.

Толщина диффузного слоя в соответствии с формулой (II.128) обратно пропорциональна заряду иона индифферентного электролита (для него характерно только кулоновское взаимодействие с поверхностью). Введение в раствор ионов с большим зарядом резко снижает толщину диффузного слоя. С повышением температуры увеличивается энергия теплового движения, что способствует размыванию диффузного слоя и увеличению его толщины. Рост диэлектрической проницаемости ведет к увеличению степени диссоциации электролитов и соответственно к возрастанию толщины диффузного слоя.

Исходя из электронейтральности двойного электрического слоя, можно установить связь между поверхностной плотностью заряда q и потенциалом поверхности φ . Поскольку поверхностный заряд по абсолютной величине равен всему объемному заряду в растворе и имеет обратный знак, то для диффузного слоя можно записать:

$$q_0 = - \int_0^{\infty} \rho_x dx \quad (\text{II.129})$$

Из сопоставления уравнений Пуассона (II.113) и Пуассона — Больцмана при малых φ (II.118) следует

$$\kappa^2 \varphi_x = - \rho_x / \epsilon_a \quad \text{или} \quad \rho_x = - \epsilon_a \kappa^2 \varphi_x \quad (\text{II.130})$$

Подставляя (II.130) в (II.129) и учитывая (II.124), получим:

$$q_0 = \int_0^{\infty} \epsilon_a \kappa^2 \varphi_x dx = \int_0^{\infty} \epsilon_a \kappa^2 \varphi_0 e^{-\kappa x} dx = \int_0^{\infty} \frac{\epsilon_a \kappa^2 \varphi_0}{(-\kappa)} e^{-\kappa x}$$

Так как при $x=0$ $e^{-\kappa x}=1$, а при $x=\infty$ $e^{-\kappa x}=0$, окончательно имеем:

$$q_0 = \epsilon_a \kappa \varphi_0 \quad \text{или} \quad q_0 = \epsilon_a \varphi_0 / \lambda \quad (\text{II.131})$$

Полученное выражение показывает пропорциональную зависимость между поверхностным зарядом диффузного слоя и

потенциалом поверхности, подобную зависимость поверхностного заряда плоского конденсатора от расстояния между обкладками, равного λ , т. е. (II.131) является аналогом уравнения (II.108).

Разделив (II.131) на (II.130), получим соотношение между поверхностной и объемной плотностями зарядов (для диффузного слоя):

$$q_0 = -\rho_0/\kappa = -\rho_0\lambda \quad (\text{II.132})$$

Таким образом, поверхностная плотность заряда на границе диффузного и адсорбционного слоев равна произведению объемной плотности заряда диффузного слоя на его толщину, взятому с обратным знаком.

Значения емкости слоя Гельмгольца C_Γ и диффузного слоя C_δ для слабозаряженных поверхностей выражаются аналогичными уравнениями:

$$C_\Gamma = \frac{q_\Gamma}{\varphi_0 - \varphi_\delta} = \frac{\epsilon_0 \epsilon}{\delta} \quad \text{и} \quad C_\delta = \frac{q_\delta}{\varphi_\delta} = \epsilon_a \kappa = \frac{\epsilon_0 \epsilon}{\lambda} \quad (\text{II.133})$$

где q_Γ — заряд слоя Гельмгольца.

Полная емкость двойного электрического слоя определяется как емкость двух последовательно соединенных конденсаторов. Для слабозаряженных поверхностей она определяется выражением

$$C = \frac{C_\Gamma C_\delta}{C_\Gamma + C_\delta} = \frac{(\epsilon_a/\delta)(\epsilon_a/\lambda)}{(\epsilon_a/\delta) + (\epsilon_a/\lambda)} = \frac{\epsilon_0 \epsilon}{\delta + \lambda} \quad (\text{II.134})$$

При значительной разнице между емкостями слоев полная емкость практически равна емкости слоя, имеющей меньшее значение C . Например, в разбавленных растворах $C_\Gamma \gg C_\delta$, и поэтому в знаменателе уравнения (II.134) можно пренебречь величинами C_δ или δ (так как $\delta \ll \lambda$). Это значит, что $C \approx C_\delta$.

7. Учет специфической адсорбции ионов в теории двойного электрического слоя

Современная теория двойного электрического слоя использует теорию Гуи — Чепмена для описания диффузной части этого слоя. В первоначальном варианте теория Гуи — Чепмена не учитывала наличия слоя Гельмгольца, и поэтому ее допущения не позволяли правильно описать электрические явления, на которые существенное влияние оказывает плотная, непосредственно прилегающая к межфазной поверхности часть слоя. Пренебрежение размерами ионов приводит к тому, что не принимается во внимание толщина адсорбционного слоя, и это, в свою очередь, вызывает большие погрешности при расчете параметров двойного электрического слоя. Кроме того, теория Гуи — Чепмена рассматривая только влияние концент-

рации и заряда ионов электролитов на изменение потенциала, не объясняет различного действия ионов разной природы, связанного со специфической адсорбцией их на межфазной поверхности.

Штерн предложил рассматривать слой противоионов состоящим из двух частей: внутренней (плотный слой Гельмгольца) и внешней (диффузный слой). Таким образом, теорию Гуи — Чепмена можно использовать для описания только строения внешней части слоя, где можно пренебречь адсорбционными силами и размерами ионов. Внутреннюю (плотную) часть Штерн представил как адсорбционный моноионный слой, в котором противоионы примыкают к поверхности благодаря электростатическим силам и специфическому взаимодействию (см. рис. II.16). Введенный Штерном потенциал ϕ_0 часто называют штерновским. В плотной части двойного электрического слоя потенциал уменьшается линейно от ϕ_0 до ϕ_0 в соответствии с соотношением (II.133). Принимая текущими переменными ϕ и x вместо ϕ_0 и δ в уравнении (II.133), получим:

$$\phi = \phi_0 - q_{\Gamma}x / (\epsilon_0 e) \quad (\text{II.135})$$

Штерн попытался учесть влияние специфической адсорбции ионов на электрический потенциал, обусловленный действием ковалентных сил дополнительно к электростатическим силам. Так как радиус действия сил такой адсорбции соизмерим с размером ионов, это дает основание учитывать ковалентные силы только для ионов, входящих в плотный слой Гельмгольца. Как видно из рис. II.16, плотность поверхностного заряда противоионов можно разделить на две части: плотность заряда q_{Γ} , обусловленного моноионным слоем, представляющим собой слой Гельмгольца, и плотность заряда q_0 диффузного слоя Гуи. Общая поверхностная плотность заряда двойного электрического слоя равна сумме поверхностных плотностей зарядов плотного и диффузного слоев с обратным знаком:

$$-q_s = q_{\Gamma} + q_0 \quad \text{или} \quad q_s + q_{\Gamma} + q_0 = 0 \quad (\text{II.136})$$

По Штерну, заряд слоя Гельмгольца складывается из заряда ионов, адсорбированных как за счет электростатического адсорбционного потенциала $Fz\phi$, так и за счет потенциала специфической адсорбции Φ . Было предположено, что поверхность имеет определенное число адсорбционных центров, каждый из которых взаимодействует с одним противоионом. Константа такой квазихимической реакции равна фактору Больцмана, в котором общий адсорбционный потенциал составляет сумму адсорбционных потенциалов электростатического и специфического взаимодействия:

$$K = \exp \left(- \frac{Fz\phi + \Phi}{RT} \right) \quad (\text{II.137})$$

Такой подход позволил Штерну получить уравнение для плотности поверхностного заряда в слое Гельмгольца

$$q_{\Gamma} = \frac{q_{\infty}}{1 + (1/x_0) \exp[-(Fz\Phi + \Phi)/(RT)]} \quad (\text{II.138})$$

где q_{∞} — предельно возможная плотность поверхностного заряда для данных противоионов в слое Гельмгольца; x_0 — мольная доля противоионов в растворе.

Уравнения (II.137) и (II.138) учитывают специфическую адсорбцию только противоионов. При невысоких концентрациях электролита можно пренебречь единицей в знаменателе уравнения (II.138). Таким образом, теория Штерна (II.138) и теория Гуи — Чепмена (II.132) позволяют рассчитать соответственно заряд в плотном и диффузном слоях. Рассчитанные с учетом этих уравнений значения емкости двойного электрического слоя для различных концентраций электролитов удовлетворительно совпадают с результатами, полученными по данным электрокапиллярных измерений.

Из уравнения (II.138) следует, что в области малых концентраций электролита плотность заряда q_{Γ} пропорциональна концентрации x_0 в первой степени, а согласно теории Гуи — Чепмена q_0 пропорциональна \sqrt{c} . Таким образом, в области малых концентраций q_{Γ} уменьшается быстрее, чем q_0 , т. е. в двойном электрическом слое преобладает диффузная часть. Для бесконечно разбавленного раствора теория Гуи — Чепмена приложима ко всему двойному электрическому слою, так как $q_0 \gg q_{\Gamma}$. При больших концентрациях электролитов q_0 значительно уменьшается; двойной слой становится похожим на слой Гельмгольца.

Поскольку теория Штерна учитывает наличие плотного адсорбционного слоя ионов, это позволяет установить влияние их гидратации на q_{Γ} , а учет специфической адсорбции ионов дает возможность объяснить резкое уменьшение потенциала поверхности в плотной части слоя при наличии в растворе противоиона, обладающего большим адсорбционным потенциалом. Лучше адсорбируются и ближе подходят к поверхности менее гидратированные ионы, которые по этой причине значительно компенсируют поверхностный потенциал, а соответственно их будет меньше в диффузном слое.

Специфическая адсорбция зависит от сродства адсорбируемых ионов к поверхности, их способности образовывать недиссоциирующие поверхностные соединения. Например, на кристаллах хорошо адсорбируются из раствора ионы, образующие с ионами кристалла нерастворимые соединения. Большими адсорбционными потенциалами обладают многозарядные ионы (Al^{3+} , Th^{4+} и др.), органические ионы. Сильно адсорбирующиеся ионы в плотном слое иногда способны не только полностью

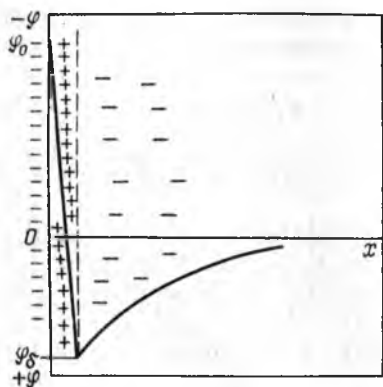


Рис. П.17. Изменение потенциала поверхности при ее перезарядке

скомпенсировать поверхностный потенциал, но и создать избыточный заряд со знаком заряда противоионов. Это явление называется *перезарядкой*. Перезарядка приводит к смене противоионов в диффузном слое на ионы с зарядом другого знака. Из рис. П.17 видно, что при перезарядке поверхностный потенциал ϕ_0 и потенциал диффузного

слоя ϕ_δ имеют разные знаки.

Общую поверхностную плотность заряда q_s можно представить в виде разности между величинами адсорбции потенциалопределяющих ионов разного знака

$$q_s = F(\Gamma_{+z_+} - \Gamma_{-z_-}) \quad (\text{П.139})$$

Если потенциалопределяющими ионами являются ионы H^+ или OH^- , то $q_s = F(\Gamma_{\text{H}^+} - \Gamma_{\text{OH}^-})$; величины адсорбции можно экспериментально определить методом потенциометрического титрования поверхности, например частиц суспензии.

8. Примеры образования двойного электрического слоя. Структура мицеллы. Суспензионный эффект

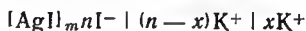
На формирование двойного электрического слоя существенное влияние оказывает природа поверхности конденсированной фазы, наличие определенных ионов в растворе, их концентрация.

Рассмотрим систему водный раствор — поверхность иодида серебра. При избытке в растворе ионов серебра, например при добавлении нитрата серебра, эти ионы являются потенциалопределяющими. В роли противоионов выступают нитрат-ионы, часть которых находится в плотном слое, а другая часть — в диффузном слое. Для такой системы формулу двойного электрического слоя можно записать следующим образом:



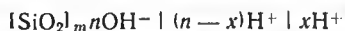
Буква n обозначает число потенциалопределяющих ионов, а x — число противоионов в диффузной части слоя.

Если же в систему с иодидом серебра добавить иодид калия, то потенциалопределяющими станут иодид-ионы, и формула двойного электрического слоя примет вид



Этот пример заряжения поверхности характерен для мало-растворимых соединений, не проявляющих кислых или основных свойств. В рассмотренной выше системе в соответствии с правилом Фаянса — Панета потенциалоопределяющими являются ионы, входящие в состав соединения.

Широкое распространение получило представление, что в двойном электрическом слое на поверхности оксидов, находящихся в растворе, в качестве потенциалоопределяющих ионов выступают ионы H^+ или OH^- в зависимости от кислотности среды. В результате преобладающей адсорбции одного из этих ионов поверхность оксида приобретает соответствующий заряд, причем знак заряда поверхности в той или иной области рН определяется кислотно-основными свойствами оксидов. Например, гидроксид кремния обладает ярко выраженными кислыми свойствами, и поэтому в широкой области значений рН (выше изоэлектрической точки, равной 2,0) его поверхность заряжена отрицательно:



Гидроксид железа имеет значительные основные свойства, что обуславливает положительный заряд его поверхности в растворе вплоть до нейтральной области рН. Особенно заметно сказывается влияние рН среды на знак и величину заряда поверхности амфотерных оксидов. Например, оксид алюминия в кислой среде имеет положительно заряженную поверхность, а в щелочной среде она заряжена отрицательно. Подобным образом возникает двойной электрический слой и на поверхности между водой и органическими электролитами, которые могут быть кислотами (органические кислоты), основаниями (амины, четвертичные аммониевые основания) или иметь те и другие функциональные группы (амфолиты).

Необходимо отметить, что противоионы двойного электрического слоя могут обмениваться на другие ионы того же знака, т. е. способны к ионному обмену. Особенно ярко эта способность проявляется у ионообменных материалов.

В дисперсных системах двойной электрический слой возникает на поверхности частиц. Частицу дисперсной фазы в гетерогенно-дисперсной системе вместе с двойным электрическим слоем называют *мицеллой*. Строение мицеллы можно показать той же формулой, что и строение двойного электрического слоя. Внутреннюю часть мицеллы составляет агрегат основного вещества. На поверхности агрегата расположены потенциалоопределяющие ионы. Агрегат вместе с потенциалоопределяющими ионами составляет ядро мицеллы. Ядро с противоионами плотной части двойного электрического слоя образуют гранулу. Гранулу окружают противоионы диффузного слоя. Мицелла в отличие от гранулы электронеутрально.

Частицы с двойным электрическим слоем (мицеллы) создают в дисперсной системе соответствующую противоионную среду — суспензионный эффект. Если противоионами являются H^+ - и OH^- -ионы, то среда приобретает соответственно кислый или щелочной характер. При удалении частиц, например с помощью фильтрации, противоионы уходят вместе с ними (в количествах, эквивалентных заряду частиц). Отсюда суспензионный эффект количественно можно определить как разность между концентрационными характеристиками противоионов в суспензии (дисперсной системе) и в фильтрате. Так, при определении кислотно-основных свойств дисперсной фазы суспензионный эффект рассчитывается по соотношению $\text{pH}_{\text{сз}} = \text{pH}_{\text{с}} - \text{pH}_{\text{ф}}$, т. е. по разности значений pH суспензии и фильтрата. Очевидно, суспензионный эффект возрастает с увеличением концентрации дисперсной фазы, а при постоянной массовой концентрации дисперсной фазы — с увеличением ее дисперсности (возрастает межфазная поверхность и соответственно концентрация противоионов). Суспензионный эффект уменьшается с повышением концентрации электролитов в системе, что связано с сжатием двойного электрического слоя.

1. АДГЕЗИЯ, СМАЧИВАНИЕ И РАСТЕКАНИЕ ЖИДКОСТЕЙ

1. Адгезия и работа адгезии

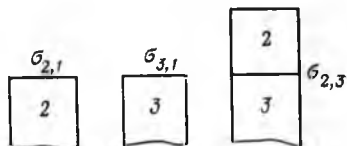
Адгезия, смачивание и растекание относятся к межфазным взаимодействиям, которые происходят между конденсированными фазами. Межфазное взаимодействие, или взаимодействие между приведенными в контакт поверхностями конденсированных тел разной природы, называют *адгезией* (прилипанием). Адгезия обеспечивает между двумя телами соединение определенной прочности, обусловленное межмолекулярными силами.

Различают адгезию между двумя жидкостями, между жидкостью и твердым телом и между двумя твердыми телами. Очевидно, что смачивание и растекание предполагают наличие хотя бы одной из фаз в жидком состоянии и обусловлены адгезионным взаимодействием. Адгезии между двумя твердыми телами почти всегда способствует предварительный перевод хотя бы одной из фаз в жидкое состояние для увеличения интенсивности молекулярно-кинетического движения и осуществления необходимого контакта. Поэтому, как правило, адгезия и смачивание сопровождают друг друга и соответствующим образом характеризуют межфазное взаимодействие.

Явления адгезии и смачивания широко распространены как в природе, так и в различных отраслях народного хозяйства. Склеивание материалов, нанесение лакокрасочных и неорганических покрытий, получение материалов на основе свя-

Рис. П.18. К выводу соотношения между работой адгезии и поверхностными натяжениями взаимодействующих компонентов (уравнения Дюпре):

1 — газ; 2 — жидкость; 3 — твердое тело



зующих и наполнителей (бетон, резина, стеклопластики и т. п.), сварка и паяние металлов, печатание, крашение — все эти процессы связаны с адгезией и смачиванием, которые в значительной степени определяют качество материалов и изделий.

Из-за сложности протекающих процессов рассматриваемые в данном разделе межфазные явления до сих пор недостаточно изучены. Поэтому основное внимание будет уделено системам, в которых имеется хотя бы одна жидкая фаза, что позволяет обеспечивать равновесные обратимые условия и соответственно использовать термодинамические соотношения.

Адгезия — результат стремления системы к уменьшению поверхностной энергии. Поэтому адгезия является самопроизвольным процессом. Работа адгезии W_a , характеризующая прочность адгезионной связи, определяется работой обратимого разрыва адгезионной связи, отнесенной к единице площади. Она измеряется в тех же единицах, что и поверхностное натяжение ($\text{Дж}/\text{м}^2$). Полная работа адгезии, приходящаяся на всю площадь контакта тел s , равна

$$W_s = W_a s$$

Чтобы получить соотношение между работой адгезии и поверхностными натяжениями взаимодействующих компонентов, представим себе две конденсированные фазы 2 и 3, имеющие поверхности на границе с воздухом 1, равные единице площади (рис. П.18). Это могут быть две жидкости или жидкость и твердое тело. Для упрощения вывода будем считать, что они взаимно нерастворимы. При совмещении этих поверхностей, т. е. при нанесении одного вещества на другое, происходит адгезия. Так как система останется двухфазной, то возникнет межфазное натяжение, равное $\sigma_{2,3}$. В результате первоначальная энергия Гиббса системы уменьшается на величину, равную работе адгезии, т. е.

$$\Delta G + W_a = 0 \text{ или } W_a = -\Delta G \quad (\text{П.140})$$

Для начального и конечного состояний системы имеем

$$G_{\text{нач}} = \sigma_{2,1} + \sigma_{3,1} \text{ и } G_{\text{кон}} = \sigma_{2,3}$$

где $\sigma_{2,1}$, $\sigma_{3,1}$ и $\sigma_{2,3}$ — соответственно поверхностное натяжение второго и третьего тела на границе с газом и межфазное натяжение на границе второго тела с третьим.

Изменение энергии Гиббса системы в процессе адгезии равно

$$\Delta G = G_{\text{кон}} - G_{\text{нач}} = \sigma_{2,3} - \sigma_{2,1} - \sigma_{3,1}$$

или с учетом (II.140)

$$W_a = \sigma_{2,1} + \sigma_{3,1} - \sigma_{2,3} \quad (\text{II.141})$$

Это уравнение Дюпре. Оно отражает закон сохранения энергии при адгезии. Из него следует, что работа адгезии тем больше, чем больше поверхностные натяжения исходных компонентов и чем меньше конечное межфазное натяжение. В то же время чем больше работа адгезии, т. е. межфазное взаимодействие, тем меньше межфазное натяжение. Межфазное натяжение станет равным нулю, когда исчезнет межфазная поверхность, что происходит при полном растворении фаз. Условие растворения следует из уравнения (II.141):

$$W_a \geq \sigma_{2,1} + \sigma_{3,1} \quad (\text{II.142})$$

Учитывая выражение (II.14), получим:

$$W_a \geq \frac{2\sigma_{2,1} + 2\sigma_{3,1}}{2} = \frac{W_{k2} + W_{k3}}{2} \quad (\text{II.143})$$

где W_{k2} и W_{k3} — работа когезии тел 2 и 3 соответственно.

Таким образом, условие растворения состоит в том, что работа адгезии между взаимодействующими телами должна быть равна или больше среднего значения суммы их работ когезии. Очевидно, что здесь не учитывается энтропия смешения, которая способствует растворению.

Соответствующим образом межфазное натяжение зависит и от температуры. Если с повышением температуры взаимная растворимость фаз повышается, то межфазное натяжение уменьшается. Если же взаимная растворимость фаз с повышением температуры уменьшается, то межфазное натяжение увеличивается. Такая зависимость наблюдается и для межфазной границы жидкость — твердое тело. Таким образом, производная $d\sigma/dT$ для границы раздела конденсированных фаз может быть меньше, больше и равна нулю.

Так как уменьшение межфазного натяжения сопряжено с тенденцией к выравниванию состава фаз, то оно может снизиться до нуля при достижении верхней или нижней критической температуры, т. е. при полном взаимном растворении фаз.

От работы адгезии необходимо отличать *адгезионную прочность* W_n — работу, затраченную на разрушение адгезионного соединения. Эта величина отличается тем, что в нее входит как работа разрыва межмолекулярных связей (работа W_a), так и работа, затраченная на деформацию компонентов адгезионного соединения (работа деформации $W_{деф}$):

$$W_n = W_a + W_{деф} \quad (\text{II.144})$$

Очевидно, чем прочнее адгезионное соединение, тем в большей степени подвергаются деформации компоненты системы

к моменту ее разрушения. Работа деформации иногда может превышать обратимую работу адгезии в несколько раз. С ростом скорости приложения нагрузки на систему роль деформации возрастает.

2. Механизм процессов адгезии

Процесс образования адгезионной связи обычно делят на две стадии. На первой, так называемой транспортной стадии, происходит перемещение молекул адгезива (клеящего вещества, связующего) к поверхности субстрата (тело, на которое наносится адгезив) и их определенное ориентирование в межфазном слое, в результате чего обеспечивается тесный контакт между молекулами и функциональными группами молекул адгезива и субстрата. Протеканию первой стадии процесса адгезии способствуют повышение температуры и давления, а также перевод одной из фаз (обычно адгезива) в жидкое состояние растворением или плавлением. Более тесный контакт между адгезивом и субстратом достигается после тщательной очистки взаимодействующих поверхностей.

Вторая стадия адгезии состоит в непосредственном взаимодействии адгезива и субстрата, которое может быть обусловлено различными силами — от ван-дер-ваальсовых до химических. Силы ковалентных связей начинают действовать на расстояниях между атомами и молекулами, не превышающих 0,5 нм. Действие ионных и ван-дер-ваальсовых сил проявляется на более дальних расстояниях — приблизительно от 1 до 100 нм. Отсюда четко видна необходимость первой стадии процесса адгезии. Межмолекулярным взаимодействием контактирующих фаз завершается процесс адгезии, что соответствует минимальной межфазной (поверхностной) энергии. При склеивании твердых тел на этой стадии происходит затвердевание адгезива. Затвердевание наиболее трудно поддается количественному описанию.

Постадийное рассмотрение процесса адгезии позволяет сделать заключение, что между двумя жидкостями или жидкостью и твердым телом может быть достигнута максимальная адгезия, так как между такими фазами обеспечивается полный контакт. Максимальная адгезия твердых тел практически недостижима из-за неровности их поверхностей, соприкосновение которых происходит только в отдельных точках.

Различают несколько механизмов (и соответственно теорий адгезии) в зависимости от природы взаимодействующих тел и условий, при которых происходит адгезия. Механическая адгезия осуществляется путем затекания в поры и трещины поверхности твердого тела жидкого адгезива, который затем затвердевает, обеспечивая механическое зацепление с твердым

телом. Согласно молекулярному (адсорбционному) механизму адгезия возникает под действием межмолекулярных ван-дер-ваальсовых сил и водородных связей. Для такой адгезии приложимо известное правило сходства веществ по полярности: чем ближе по полярности адгезив и субстрат, тем более прочен контакт между ними. Электрическая теория связывает адгезию с возникновением двойного электрического слоя на границе раздела между адгезивом и субстратом. Отслаивание, как и раздвижение обкладок конденсатора, вызывает увеличение разности электрических потенциалов, которое обуславливает прочность адгезионного контакта. Диффузионный механизм предусматривает взаимное проникновение молекул и атомов в поверхностные слои взаимодействующих фаз. Процесс диффузии приводит как бы к размыванию границы раздела фаз, взаимному их растворению в местах контакта. Отдельно выделяется механизм, обусловленный химическим взаимодействием при адгезии. В конкретных условиях один из механизмов может преобладать, чаще же механизм адгезии является смешанным.

Теоретическая оценка адгезии еще очень приближена, что объясняется не только несовершенством уравнений, по которым рассчитываются силы межмолекулярных связей, но и тем, что невозможно оценить реальное число связей, приходящееся на единицу площади (оно всегда меньше теоретического, что говорит о возможности увеличения прочности соединения). Кроме того, трудно оценить истинную площадь контакта фаз, которая может быть намного больше визуальной наблюдаемой благодаря наличию шероховатостей в поверхностном слое. Для обеспечения прочности соединения шероховатость часто увеличивают путем специальной обработки поверхностей материалов.

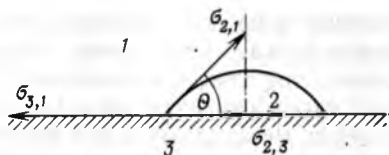
Работу адгезии и адгезионную прочность экспериментально определяют при непосредственном разрушении соединения. Работу адгезии можно определить и косвенными методами, которые особенно удобны, если хотя бы одной из взаимодействующих фаз является жидкость и можно измерить, например, краевой угол.

3. Смачивание и краевой угол

Смачивание — это поверхностное явление, заключающееся во взаимодействии жидкости с твердым или другим жидким телом при наличии одновременного контакта трех несмешивающихся фаз, одна из которых обычно является газом (воздухом). Степень смачивания количественно характеризуется косинусом краевого угла (угла смачивания), или просто краевым углом (углом смачивания).

При нанесении небольшого количества жидкости, например капли, на поверхность другой жидкости, имеющей большую

Рис. II.19. К выводу уравнения для краевого угла (закона Юнга):
1—3 — см. рис. II.18



плотность, или на поверхность твердого тела можно наблюдать два процесса, если приводимые в контакт вещества взаимно нерастворимы. В одном случае нанесенная жидкость остается на поверхности другой фазы в виде капли, принявшей при установившемся равновесии определенную форму. В другом случае капля растекается по поверхности. Вначале рассмотрим первый процесс, когда капля не растекается полностью по поверхности другого тела.

Рис. II.19 иллюстрирует состояние капли жидкости на поверхности твердого тела в условиях равновесия. Поверхностная энергия твердого тела, стремясь уменьшиться, вызывает растяжение капли по поверхности. Эта энергия равна поверхностному натяжению твердого тела на границе с воздухом $\sigma_{3,1}$. Межфазная энергия на границе твердого тела с жидкостью $\sigma_{2,3}$ стремится, наоборот, сжать каплю, т. е. поверхностная энергия уменьшается за счет снижения площади поверхности. Растеканию препятствуют когезионные силы, действующие внутри капли. Действие когезионных сил направлено от границы между твердой, жидкой и газообразной фазами по касательной к сферической поверхности капли и равно $\sigma_{2,1}$ (силы гравитации не учитываются). Угол θ , который образован касательными к межфазным поверхностям, ограничивающим смачивающую жидкость, имеющий вершину на линии раздела трех фаз, называется *краевым углом*, или *углом смачивания*.

Так как поверхностное натяжение можно рассматривать как энергию, приходящуюся на единицу площади, или как силу, действующую на единицу длины, то все рассмотренные составляющие поверхностной энергии можно выразить с помощью векторов сил. При равновесии между ними соблюдается следующее соотношение:

$$\sigma_{3,1} = \sigma_{2,3} + \sigma_{2,1} \cos \theta \quad (\text{II.145})$$

Полученное соотношение называется *законом Юнга*. Отсюда количественную характеристику смачивания как косинус краевого угла можно выразить через поверхностные межфазные натяжения:

$$\cos \theta = (\sigma_{3,1} - \sigma_{2,3}) / \sigma_{2,1} \quad (\text{II.146})$$

При выводе закона Юнга предполагается взаимное равновесие между всеми фазами. Отсюда следует, что в результате установления равновесия между парами жидкости и поверх-

ностью твердого тела на последней формируется адсорбционная пленка, снижающая поверхностное натяжение твердого тела. Учет такого изменения поверхностного натяжения с большей строгостью позволяет использовать закон Юнга.

Чем меньше угол θ и соответственно больше $\cos \theta$, тем лучше смачивается поверхность. При остром угле θ , т. е. при $\cos \theta > 0$, поверхность считают хорошо смачиваемой данной жидкостью. Если угол θ тупой, т. е. $\cos \theta < 0$, то по отношению к данной жидкости поверхность смачивается плохо (часто говорят «не смачивается»). Таким образом, границей между смачиваемостью и несмачиваемостью является угол $\theta = 90^\circ$, или $\cos \theta = 0$. Полного несмачивания, т. е. такого положения, когда краевой угол равен 180° , практически никогда не наблюдается, так как при соприкосновении конденсированных тел поверхностная энергия всегда уменьшается и $\sigma_{2,3}$ не может оставаться равной сумме $\sigma_{3,1} + \sigma_{2,1}$.

Смачиваемость водой некоторых твердых тел характеризуется следующими краевыми углами: кварц — 0° ; малахит — 17° ; графит — 55° ; тальк — 69° ; парафин — 106° . Хуже всего смачивается водой фторопласт, на котором угол смачивания водой 108° .

Различные жидкости неодинаково смачивают одну и ту же поверхность. Согласно приближенному правилу лучше смачивает поверхность та жидкость, которая ближе по полярности к смачиваемому веществу (она сильнее с ним взаимодействует) и имеет меньшее поверхностное натяжение [это следует из уравнения (II.146)].

При нанесении на поверхность твердого тела двух жидкостей, нерастворимых друг в друге, между ними образуется краевой угол, характеризующий относительную способность этих жидкостей смачивать данное тело, т. е. избирательность смачивания. Очевидно, что та жидкость, которая лучше смачивает поверхность, обладает большей избирательной смачивающей способностью по отношению к данному веществу (его поверхности).

Для сравнительной оценки смачиваемости поверхностей различными жидкостями обычно сопоставление проводят с водой. Если между нанесенными на поверхность водой и неполярным углеводородом краевой угол меньше 90° со стороны воды, то поверхность называют *гидрофильной* или *олеофобной*. Если же краевой угол меньше 90° со стороны неполярного углеводорода, то поверхность будет *олеофильной* или *гидрофобной*. Гидрофильную поверхность имеют, например, оксиды и гидроксиды металлов, силикаты, сульфаты, карбонаты. Гидрофобной поверхностью обладают органические соединения с большим содержанием углеводородных групп, сульфиды металлов и др.

Краевой угол удобно измерять с помощью довольно простой установки, принцип действия которой состоит в проектировании капли на экран и измерении краевого угла на проекции капли. Для измерения краевого угла можно использовать также катетометр — прибор для точного измерения интервала между двумя точками на расстоянии. По основным размерам капли (высота, радиус периметра контакта) рассчитывают краевой угол. Следует отметить, что найти точное значение краевого угла нелегко, главным образом из-за трудности получения чистой поверхности. Загрязнения (адсорбция компонентов воздуха, оксидные пленки, следы жиров и т. д.) сильно искажают результаты. Большая чувствительность угла смачивания к загрязнениям часто используется для определения чистоты поверхности.

4. Связь работы адгезии с краевым углом

Уравнение Дюпре (II.141) самостоятельно почти не используется для расчета работы адгезии из-за трудности определения поверхностного натяжения твердых тел на границе с газом (воздухом) и жидкостью. Удобную для расчета этой величины формулу имеет соотношение, получаемое в результате сочетания уравнения Дюпре с законом Юнга (II.145). Если разность $\sigma_{3,1} - \sigma_{2,3}$ в уравнении Дюпре заменить ее выражением из закона Юнга

$$\sigma_{3,1} - \sigma_{2,3} = \sigma_{2,1} \cos \theta$$

получим

$$W_a = \sigma_{2,1} + \sigma_{2,1} \cos \theta = \sigma_{2,1} (1 + \cos \theta) \quad (\text{II.147})$$

или

$$W_a / \sigma_{2,1} = 1 + \cos \theta \quad (\text{II.148})$$

Уравнение (II.147) или (II.148) называют уравнением Дюпре — Юнга; оно связывает работу адгезии с краевым углом и позволяет рассчитать работу адгезии, если известны поверхностное натяжение жидкости и краевого угла. Обе эти величины можно сравнительно легко определить экспериментально.

Из уравнения (II.148) четко видно различие между явлениями адгезии и смачивания. Разделив обе части уравнения на 2, получим:

$$W_a / W_k = (1 + \cos \theta) / 2 \quad (\text{II.149})$$

Так как смачивание количественно характеризуется косинусом краевого угла, то в соответствии с уравнением (II.149) оно определяется отношением работы адгезии к работе когезии для смачивающей жидкости.

Принципиальное различие между поверхностными явлениями адгезии и смачивания состоит в том, что смачивание имеет место при наличии трех сопряженных фаз.

Из уравнения (II.149) можно сделать следующие выводы:

1) при $\theta=0$ $\cos \theta=1$, $W_a=W_k$, т. е. работа адгезии равна работе когезии смачивающей жидкости; 2) при $\theta=90^\circ$ $\cos \theta=0$, $W_a=1/2 W_k$, т. е. работа адгезии в два раза меньше работы когезии смачивающей жидкости; 3) при $\theta=180^\circ$ $\cos \theta=-1$, $W_a=0$, такое состояние на практике не реализуется, поскольку некоторая адгезия всегда существует, поэтому полного несмачивания в реальных системах также быть не может. Например, одно из самых больших значений краевого угла при смачивании водой наблюдается на поверхности фторопласта, соответственно для этой системы характерна и наименьшая адгезия. Учитывая, что краевой угол равен 108° , $\sigma_{H_2O}=72,0$ мДж/м² (при 25°C), из уравнения (II.148) получим работу адгезии, равную 50,3 мДж/м² ($\cos 108^\circ=-0,31$).

Большое практическое значение имеет информация, которую дают уравнения (II.148) и (II.149). Из них следует, что для увеличения смачивания надо увеличить работу адгезии или уменьшить работу когезии (поверхностное натяжение) жидкости, например, введением ПАВ, изменением температуры. Лучше смачивает та жидкость, которая имеет меньшее поверхностное натяжение или работу когезии. Органические жидкости характеризуются низкими поверхностными натяжениями и поэтому смачивают большинство поверхностей разной природы. Так, углеводороды, для которых $\sigma=17-28$ мДж/м², смачивают почти все известные твердые тела. Вода смачивает только полярные вещества, а ртуть плохо смачивает или не смачивает большинство (особенно неметаллических) тел.

Адгезия в значительной степени определяется природой функциональных групп молекул контактирующих веществ. Например, близкие значения работы адгезии к воде имеют соединения с одинаковыми функциональными группами (в двухфазных системах жидкость — жидкость); изовалериановая (94,6 мДж/м²) и гептиловая (94,8 мДж/м²) кислоты, бензол, толуол (66,6 мДж/м²). Это свидетельствует об ориентировании молекул в поверхностном слое при адгезии. На границе раздела фаз в сторону воды обращены гидрофильные группы указанных соединений, и они почти полностью обеспечивают адгезию к воде. Разность между работой адгезии к воде и работой когезии контактирующей с ней жидкости может служить мерой полярности и гидрофильности последней. Например, для неполярных гексана и толуола эта разность соответственно равна 3,3 и 6,8 мДж/м², а для таких полярных соединений, как октиловый спирт и гептиловая кислота, соответственно 36,8 и 38,2 мДж/м².

5. Смачивание реальных твердых тел

Рассмотренные закономерности смачивания выполняются на всех поверхностях жидкостей и только на идеально гладких и однородных поверхностях твердых тел. На поверхности реальных твердых тел обязательно имеются шероховатости, неоднородности, поры, трещины и т. д., которые влияют на краевой угол и затрудняют определение равновесных краевых углов. Отклонения статических краевых углов от равновесных значений характеризуются гистерезисом смачивания, анализ которого позволяет вскрыть его причины. Эти причины могут быть различными: загрязнение поверхности твердых тел, протекающие процессы испарения, растворения, адсорбции и т. д.

Рассмотрим кинетический гистерезис, обусловленный главным образом отсутствием поступательного теплового движения молекул твердого тела (другими словами, наличием потенциального барьера), что замедляет достижение равновесной формы капли. При кинетическом гистерезисе краевые углы зависят от времени нахождения капли жидкости на поверхности твердого тела.

При наличии гистерезиса смачивания различаются краевые углы натекания и оттекания (рис. II.20). Убедиться в их наличии легко, если к капле жидкости, образующей на твердой поверхности равновесный краевой угол, аккуратно добавить или отобрать от нее очень небольшое количество той же жидкости. Как видно из рис. II.20, *а*, в обоих случаях площадь поверхности, занимаемая каплей, сразу не изменится, а соответственно увеличится или уменьшится так называемый статический краевой угол. При увеличении капли формируется *краевой угол натекания*, а при ее уменьшении — *краевой угол оттекания*. За образованием краевых углов натекания и оттекания удобно наблюдать, если наклонять пластину, на которую нанесена капля (рис. II.20, *б*). В нижней ее части образуется угол натекания, а в верхней — угол оттекания. Чаще всего под этими терминами имеют в виду предельные значения этих углов,



Рис. II.20. Статические углы натекания и оттекания, формирующиеся при изменении количества жидкости в капле (*а*) и угла наклона поверхности (*б*)

т. е. максимальный угол — угол натекания и минимальный угол — угол оттеkania. Начиная с некоторого момента после формирования этих углов начинает изменяться площадь поверхности, занимаемая каплей: она увеличивается при достижении предельного угла натекания и уменьшается при достижении предельного угла оттеkania. При этом преодолевается потенциальный барьер, тормозящий достижение равновесия. Количественно потенциальный барьер можно определить, наклоня постепенно пластину с каплей: в момент начала течения капли достигаются предельные углы, а составляющая силы тяжести, направленная параллельно поверхности пластины, равна силе сопротивления, которая соответствует потенциальному барьеру.

Зная силу сопротивления, приходящуюся на единицу длины периметра контакта (потенциальный барьер), можно получить соотношение между предельными углами натекания (оттеkania) и равновесным краевым углом. Так как угол натекания $\theta_{нт}$ больше равновесного краевого угла θ , то

$$\sigma_{2,1} \cos \theta_{нт} < \sigma_{2,1} \cos \theta \quad (\text{II.150})$$

Метаустойчивое равновесие возможно при условии, что разница между правой и левой частью неравенства (II.150) равна силе сопротивления («трения»), или потенциальному барьеру. Поэтому

$$\sigma_{2,1} \cos \theta_{нт} = \sigma_{2,1} \cos \theta - \psi_{нт}$$

или
$$\cos \theta_{нт} = \cos \theta - \psi_{нт} / \sigma_{2,1} \quad (\text{II.151})$$

Для угла оттеkania получим:

$$\cos \theta_{от} = \cos \theta + \psi_{от} / \sigma_{2,1} \quad (\text{II.152})$$

где $\psi_{нт}$ и $\psi_{от}$ — потенциальные барьеры для статических углов натекания и оттеkania соответственно. Они измеряются в тех же единицах, что и поверхностное натяжение.

Как правило, $\psi_{нт} \neq \psi_{от}$, однако при определении равновесного краевого угла обычно принимают

$$\psi_{нт} \simeq \psi_{от} \text{ или } \cos \theta_{нт} + \cos \theta_{от} = 2 \cos \theta \quad (\text{II.153})$$

Для приближенной оценки иногда считают, что равновесный угол смачивания равен полусумме предельных углов натекания и оттеkania.

Если потенциальный барьер, который возникает даже на гладких поверхностях, тормозит достижение равновесного значения краевого угла, то шероховатость поверхностей твердых тел изменяет равновесный угол.

Шероховатость характеризует микрорельеф поверхности твердого тела, т. е. наличие на ней выступов и впадин. Микрорельеф измеряют с помощью профилографов, регистрирующих

неровности до 0,1 мкм. Более мелкие неровности обнаруживаются с помощью интерференционных и электронных микроскопов. Количественно шероховатость характеризуется высотой (глубиной) выступа (впадины) или с помощью коэффициента шероховатости K — отношения фактической площади поверхности (с учетом площади выступов и впадин) к ее проекции на горизонтальную плоскость. Из определения следует, что всегда $K > 1$. Например, даже после шлифовки поверхность металлов может иметь $K = 1,005$.

Влияние шероховатости на равновесный краевой угол легко учесть при условии, что размер капли значительно больше среднего размера выступов и впадин на поверхности. Так как в уравнении Юнга (II.145) составляющие поверхностного натяжения на границе с твердым телом будут в K раз больше, то можно записать:

$$K(\sigma_{3,1} - \sigma_{2,3}) = \sigma_{2,1} \cos \theta_{ш} \quad (\text{II.154})$$

где $\theta_{ш}$ — равновесный краевой угол на шероховатой поверхности.

Если записанное выражение разделить на уравнение Юнга (II.145) с краевым углом θ на идеально гладкой поверхности, то получим:

$$K = \cos \theta_{ш} / \cos \theta \quad (\text{II.155})$$

Соотношение (II.155) получило название уравнения Венцеля — Дерягина. Так как всегда $K > 1$, то $|\cos \theta_{ш}| > |\cos \theta|$. При смачивании $\cos \theta > 0$, поэтому шероховатость, увеличивая $\cos \theta_{ш}$, уменьшает угол смачивания, т. е. смачивание улучшается. Если $\cos \theta < 0$ (лиофобная поверхность), то шероховатость, увеличивая отрицательную величину $\cos \theta_{ш}$, способствует росту угла смачивания, т. е. смачивание ухудшается.

6. Теплота смачивания

Под теплотой смачивания понимают изменение энтальпии при взаимодействии жидкости с поверхностью другой жидкости или твердого тела. По-видимому, более правильный термин — теплота адгезии, так как когда рассматривают теплоту смачивания, то имеют в виду именно межфазное взаимодействие. Несмотря на такое несоответствие, будем пользоваться установившейся терминологией.

Смачивание и адгезия, как отмечалось выше, — самопроизвольные процессы, идущие с уменьшением поверхностной энергии. Снижается не только энергия Гиббса (межфазное натяжение), но и внутренняя (полная) энергия поверхностного слоя. Так как явление смачивания характерно для конденсированных систем, то можно также сказать, что энтальпия системы до смачивания больше энтальпии этой системы после смачивания,

и поэтому при смачивании всегда выделяется теплота, т. е. она отрицательна. Таким образом, теплота смачивания равна разности полных поверхностных энергий, или энтальпий систем после смачивания H_2 и до него H_1 :

$$\lambda = \Delta H = H_2 - H_1 \quad (11.156)$$

Различают дифференциальную и интегральную теплоты смачивания. Они зависят от количества жидкости, смачивающей поверхность тела. Эта зависимость связана с тем, что поле поверхностных сил проникает внутрь смачивающей жидкости на определенную глубину, равную толщине поверхностного слоя в фазе этой жидкости. Очевидно, что потенциал поля снижается от максимального значения на границе раздела фаз до нуля на границе поверхностного слоя внутри смачивающей жидкости.

Дифференциальную теплоту смачивания λ_a^x можно определить как теплоту, выделившуюся при нанесении бесконечно малого количества жидкости на поверхность при данном ее заполнении x (при данном количестве смачивающей жидкости, нанесенной на единицу поверхности) и рассчитанную на единицу количества (на 1 моль) жидкости. Дифференциальная теплота смачивания характеризует поле поверхностных сил в данной точке или в данном сечении, находящихся на определенном расстоянии от границы раздела фаз. Она снижается (ее абсолютное значение) по мере удаления от смачиваемой поверхности, т. е. от источника поверхностных сил. При нанесении жидкости на поверхность в малых количествах добавление каждой последующей порции вызывает выделение все меньшего количества теплоты. Очевидно, что абсолютное максимальное значение дифференциальной теплоты смачивания соответствует границе раздела фаз, это значение получается экстраполяцией к нулевому количеству нанесенной жидкости. Минимальное ее значение, равное нулю, достигается в момент полной компенсации поверхностной энергии энергией взаимодействия жидкости с поверхностью. Одновременно с уменьшением дифференциальной теплоты смачивания снижается дифференциальная энергия Гиббса поверхности на величину, равную дифференциальной работе адгезии:

$$\Delta G_x = -W_a^x$$

Влияние смачивания на состояние жидкости около поверхности раздела фаз проявляется в том, что ее дифференциальная энергия Гиббса растет по мере удаления от границы раздела фаз. Это возрастание точно равно уменьшению поверхностной энергии Гиббса при смачивании. Таким образом, теплота смачивания (адгезии) полностью определяется изменением энергии Гиббса жидкости, наносимой на поверхность, или из-

менением ее химического потенциала. Этот вывод позволяет выразить дифференциальную теплоту смачивания подобно чистой теплоте адсорбции (II.84):

$$\lambda_d^x = \Delta H_d^x = -RT^2 \left(\frac{\partial \ln p}{\partial T} \right)_x + RT^2 \frac{d \ln p_s}{dT} \quad (\text{II.157})$$

При нанесении такого количества жидкости, при котором достигается полная компенсация поверхностной энергии, давление пара над ней p становится равным давлению насыщенного пара p_s и тогда $\lambda_d = 0$. Из уравнения (II.157) следует, что для определения дифференциальной теплоты смачивания требуется экспериментально установить зависимость давления насыщенного пара от температуры при данном заполнении x . Теплоту смачивания можно измерить и непосредственно с помощью калориметра.

Интегральная теплота смачивания λ_i — теплота, выделяющаяся при нанесении какого-то количества жидкости x на единицу площади поверхности смачиваемого тела. Очевидно, что чем большее количество жидкости взаимодействует с поверхностью, тем больше абсолютное значение интегральной теплоты смачивания. Последняя связана с дифференциальной теплотой смачивания соотношением

$$\lambda_i = \int_0^x \lambda_d dx \quad (\text{II.158})$$

Интегральную теплоту смачивания при нанесении жидкости, взятой с избытком, который уже не взаимодействует с поверхностью, называют полной теплотой смачивания, или просто теплотой смачивания. Для ее определения по уравнению (II.158) интеграл берется от нуля до бесконечности.

Закономерности изменения теплот смачивания по мере заполнения поверхности аналогичны закономерностям изменения теплоты адсорбции (см. рис. II.10). Чем больше смачивающей жидкости, тем отрицательные значения меньше для дифференциальной и больше для интегральной теплоты смачивания. В пределе, когда избыточное количество жидкости уже не взаимодействует с поверхностью, дифференциальная теплота смачивания равна нулю, а интегральная — полной теплоте смачивания. При малых количествах жидкости, пока вся эквипотенциальная поверхность не покрыта монослоем, дифференциальная теплота сохраняет постоянное значение. Абсолютное значение теплоты смачивания реальных твердых тел, поверхность которых не является эквипотенциальной, снижается с момента нанесения первых порций жидкости, так как с жидкостью взаимодействуют прежде всего наиболее активные участки поверхности.

Теплоты смачивания — важные характеристики адгезии к другому телу. Как и работа адгезии, интегральная теплота смачивания измеряется количеством энергии (работы), отнесенной к единице поверхности; единица измерения — Дж/м². Дифференциальная теплота как производная по количеству вещества на единицу поверхности измеряется в Дж/моль. Для дисперсных систем (пористых тел, порошков) интегральные теплоты можно отнести к массе тела (с известной удельной поверхностью).

7. Растекание жидкости. Эффект Марангони

Капля жидкости, нанесенная на поверхность, может оставаться на ее определенном участке, и система будет находиться в равновесии в соответствии с законом Юнга (II.145), или же растекаться по поверхности. В обоих этих случаях система переходит в состояние с минимальной энергией Гиббса. Если капля не растекается, то, как было показано выше, краевой угол зависит от соотношения работ адгезии W_a и когезии W_k смачивающей жидкости.

Рассмотрим условия растекания жидкости 2 по поверхности 3. Эти условия сводятся к росту межфазной поверхности и поверхности растекающейся жидкости 2 на границе с воздухом (фаза 1), а также к уменьшению поверхности 3 на границе с воздухом. Принимая это во внимание, изменение энергии Гиббса можно записать следующим образом:

$$dG = \sigma_{2,1} ds + \sigma_{2,3} ds - \sigma_{3,1} ds$$

или

$$dG = (\sigma_{2,1} + \sigma_{2,3} - \sigma_{3,1}) ds$$

Для самопроизвольного процесса $dG < 0$ и $ds > 0$ (условие растекания) получим

$$\sigma_{2,1} + \sigma_{2,3} - \sigma_{3,1} < 0 \text{ или } \sigma_{3,1} > \sigma_{2,3} + \sigma_{2,1} \quad (\text{II.159})$$

Из соотношения (II.159) следует, что уменьшение межфазного натяжения $\sigma_{2,3}$ (увеличение работы адгезии) и поверхностного натяжения жидкости $\sigma_{2,1}$ способствует растеканию жидкости на поверхности смачиваемого тела. Если разность $\sigma_{3,1} - \sigma_{2,3}$ заменить выражением из уравнения Дюпре (II.141), то получим условие растекания в следующем виде

$$W_a - \sigma_{2,1} > \sigma_{2,1} \text{ или } W_a > 2\sigma_{2,1}$$

и с учетом (II.14) имеем:

$$W_a > W_k \quad (\text{II.160})$$

Таким образом, растекание происходит в том случае, если работа адгезии превышает работу когезии растекающейся жид-

кости, т. е. жидкость растекается, если ее межмолекулярные связи разрушаются в результате адгезии. Разницу между левой и правой частями неравенств (II.159) и (II.160) называют коэффициентом растекания f по Гаркинсу:

$$f = \sigma_{3,1} - \sigma_{2,1} - \sigma_{2,3} \quad (\text{II.161})$$

или

$$f = W_a - W_h \quad (\text{II.162})$$

При положительном значении коэффициента f жидкость растекается по поверхности, при отрицательном — не растекается (табл. II.5).

Способность жидкости растекаться в большой степени зависит от когезии наносимой на поверхность жидкости. Например, многие органические вещества растекаются на поверхности воды, а вода, как правило, не растекается на органических веществах, что обусловлено значительно большей когезией воды. Уменьшение поверхностного натяжения смачиваемых жидкости или твердого тела, например, вследствие загрязнения поверхности [см. уравнение (II.161)] вызывает снижение коэффициента растекания. Так, вода растекается на чистой ртути, если же в ртути имеются примеси, то вода не растекается. Таким образом, растекание воды может служить критерием высокой чистоты ртути. Следует отметить, что на поверхности ртути, имеющей большое поверхностное натяжение, почти все жидкости растекаются.

С повышением температуры обычно увеличивается работа адгезии и уменьшается работа когезии смачивающей жидкости. В результате нерастекающаяся жидкость при повышении температуры станет растекаться, или процесс несмачивания перейдет в смачивание. Растекание или смачивание жидкости можно обеспечить, добавляя в нее вещества, уменьшающие ее поверхностное натяжение и увеличивающие работу адгезии со смачиваемой поверхностью. Например, чтобы жидкость хорошо растекалась на воде, в нее вводят вещества с сильно полярными

Таблица II.5. Коэффициенты растекания жидкостей на поверхности воды при 293 К

Жидкость	f , мДж/м ²	Жидкость	f , мДж/м ²
Изопентиловый спирт	44,0	Моноидбензол	—8,7
<i>n</i> -Октиловый спирт	35,7	Сероуглерод	—8,2
Олеиновая кислота	24,6	Монобромтолуол	—3,3
Бензол	8,8	Бромформ	—9,6
Хлорбензол	2,3	Метилиодид	—26,5
Октан	0,2	Дибромэтан	—3,2

группами, которые, взаимодействуя с водой, увеличивают работу адгезии.

Если соблюдены условия растекания одной жидкости на поверхности другой, то процесс растекания происходит сравнительно быстро. Благодаря стремлению нижней жидкости к уменьшению поверхностной энергии и в результате теплового движения в ней молекулы растекающегося вещества быстро распространяются по поверхности и, как правило, образуют мономолекулярный слой. При избытке нанесенной жидкости образуются капли, равновесные с монослоем, или более толстые пленки, особенно до момента взаимного насыщения жидкостей.

Если не соблюдены условия растекания одной жидкости на поверхности другой, то даже при случайном нахождении молекул нанесенной жидкости в стороне от капли (линзы) они обязательно со временем примкнут к ней, так как в данных условиях именно состояние отдельной капли отвечает минимуму энергии Гиббса для данной системы.

Механизм растекания на твердых телах отличается от механизма растекания на поверхностях жидкостей, для которых характерна молекулярная подвижность. На твердых поверхностях жидкости растекаются в результате диффузии, капиллярности, летучести жидкости и по другим причинам. Условия растекания остаются теми же.

Растекание жидкости с меньшим поверхностным натяжением на поверхности жидкости с большим поверхностным натяжением — проявление *эффекта Марангони*. Под этим эффектом понимают движение (течение) в поверхностных слоях, вызываемое градиентом поверхностного натяжения. Обычно неоднородность по поверхностному натяжению обусловлена неодинаковостью состава и температуры в разных точках межфазной поверхности. Течение происходит из области малых в область больших поверхностных натяжений вследствие самопроизвольного уменьшения энергии Гиббса поверхности.

Предположим, что течение в поверхностных слоях следует закону Ньютона, тогда напряжение сдвига составит

$$P = d\sigma/dx \quad (\text{II.163})$$

где x — расстояние по поверхности в направлении движения жидкости.

Для растекающегося раствора ПАВ градиент поверхностного натяжения можно разложить на два множителя:

$$\frac{d\sigma}{dx} = \frac{d\sigma}{dc} \frac{dc}{dx}$$

где первый множитель характеризует поверхностную активность ПАВ, а второй — градиент его концентрации в направлении движения.

Скорость ньютоновского течения раствора в межфазном слое, которая пропорциональна напряжению сдвига, можно вы-

разить следующим образом:

$$v = k(d\sigma/dc)\Delta c \quad (\text{II.164})$$

где k — коэффициент пропорциональности; Δc — разность концентраций в поверхностном слое, записанная вместо градиента концентрации, который определить крайне трудно.

Из полученного соотношения следует, что скорость поверхностного течения раствора тем выше, чем больше поверхностная активность растворенного вещества и чем больше разность концентраций в направлении движения.

Эффект Марангони играет существенную роль в процессах массопереноса (экстракция, абсорбция и др.). Он проявляется в изменении коэффициента массопередачи благодаря появлению межфазной конвекции и в изменении поверхности фазового контакта (при малой толщине одной из фаз). В частности, эффект Марангони влияет на устойчивость пленок; в зависимости от условий и природы компонентов устойчивость пленок может увеличиваться и уменьшаться. Разрыв пленки под действием эффекта Марангони можно наблюдать в следующем эксперименте. Если в центр тонкого слоя (пленки) воды, находящегося на какой-либо ровной поверхности, нанести каплю спирта, то вода немедленно устремится от места нанесения спирта во все стороны, оставляя поверхность почти сухой — происходит разрыв пленки. Движение в поверхностном слое можно наблюдать в тарелке с водой, на поверхности которой плавают спички. Если спички предварительно собрать в центре тарелки, а затем капнуть на них мыльную воду, то в результате течения поверхностного слоя спички переносятся к краям тарелки.

8. Межфазное натяжение на границах между взаимно насыщенными жидкостями

При контакте одной жидкости с другой постепенно происходит их взаимное насыщение. В результате разница между поверхностными натяжениями фаз на границе с воздухом уменьшается, что обычно ведет к ухудшению растекания одной жидкости на поверхности другой [см. уравнение (II.161)]. В системах из двух жидкостей, одна из которых вода, наблюдается такое явление, когда жидкость, имеющая меньшее поверхностное натяжение, чем вода, сначала растекается по поверхности воды, а затем стягивается в каплю с соответствующим краевым углом в результате того, что после взаимного насыщения коэффициент растекания уменьшается почти до нуля или даже становится отрицательным. Например, при нанесении бензола на поверхность воды он быстро растекается ($f = 8,8$ мДж/м²), а после взаимного насыщения жидкостей бензол стягивается

Таблица II.6. Коэффициенты растекания жидкостей на поверхности воды после взаимного их насыщения при 293 К

Жидкость	f , мДж/м ²	Жидкость	f , мДж/м ²
Изопентиловый спирт	-2,7	n-Гептиловый спирт	-5,9
Бензол	-1,6	Дниодметан	-24,0

в каплю, так как коэффициент растекания $f_{н.с} = -1,6$ мДж/м². Основной вклад в уменьшение коэффициента растекания вносит снижение поверхностного натяжения водной фазы, на поверхности которой после насыщения образуется мономолекулярный слой бензола ($\Delta\sigma_{H_2O} = 10,6$ мДж/м²). В табл. II.6 приведены еще несколько примеров уменьшения коэффициентов растекания жидкостей по поверхности воды при их взаимном насыщении (ср. с табл. II.5).

Уменьшение коэффициента растекания практически до нуля послужило основанием сформулировать приближенное правило (правило Антонова), которое следует из соотношения (II.161), записанного для систем со взаимно насыщенными жидкостями, когда жидкость 2 растекается по жидкости 3:

$$f_2 = \sigma_{3,1}^{нас} - \sigma_{2,1}^{нас} - \sigma_{3,2}^{нас}$$

откуда

$$\sigma_{3,2}^{нас} = \sigma_{3,1}^{нас} - \sigma_{2,1}^{нас} - f_2$$

Условие $f_2 = 0$ отвечает выполнению правила Антонова

$$\sigma_{3,2}^{нас} = \sigma_{3,1}^{нас} - \sigma_{2,1}^{нас} \quad (II.165)$$

где $\sigma_{3,1}^{нас}$ и $\sigma_{2,1}^{нас}$ — поверхностные натяжения двух взаимно насыщенных жидкостей на границе с воздухом; $\sigma_{3,2}^{нас}$ — межфазное натяжение на границе между взаимно насыщенными жидкостями.

Согласно правилу Антонова межфазное натяжение двух взаимно насыщенных жидкостей равно разности поверхностных натяжений их взаимно насыщенных растворов на границе с воздухом (табл. II.7).

Если жидкости не растекаются друг по другу, то при взаимном их насыщении коэффициент растекания обычно принимает более отрицательное значение, что ведет к увеличению краевого угла и еще большему несоблюдению правила Антонова.

При взаимном насыщении жидкостей изменяется работа адгезии между ними. При соблюдении правила Антонова работа адгезии может быть оценена по соотношению, вытекающему из уравнений (II.141) и (II.165):

$$W_a^{нас} = \sigma_{3,1}^{нас} + \sigma_{2,1}^{нас} - \sigma_{2,3}^{нас} \approx \sigma_{3,1}^{нас} + \sigma_{2,1}^{нас} - \sigma_{3,1}^{нас} + \sigma_{2,1}^{нас} \approx 2\sigma_{2,1}^{нас} \quad (II.166)$$

Таблица 11.7. Примеры соблюдения правила Антонова при контакте жидкостей с водой

Жидкость	Т, К	$\sigma_{2.1(3,1)}^{\text{нас}}$ мДж/м ²		$\sigma_{2,3}^{\text{нас}}$ мДж/м ²	
		водный слой	органический слой	вычислено	эксперимент
Бензол	292	63,2	28,8	34,4	34,4
Анилин	299	46,4	42,2	4,2	4,8
Хлороформ	291	59,8	26,4	33,4	33,8
Крезол	291	37,8	34,3	3,5	3,9

Таким образом, работа адгезии между двумя взаимно насыщенными жидкостями (при соблюдении правила Антонова) приблизительно равна удвоенному поверхностному натяжению фазы, имеющей меньшее поверхностное натяжение.

9. Флотация

Флотация относится к наиболее распространенным методам обогащения полезных ископаемых. Ее значение увеличивается в связи со все возрастающей необходимостью вовлечения в производство бедного ценными компонентами и низкосортного сырья. Этим методом обогащается около 90% руд цветных металлов и, кроме того, уголь, графит, сера, кальцит, флюорит, барит и другие природные материалы.

Флотационное обогащение (разделение) основано на различной смачиваемости водой ценных минералов и пустой породы. Применяют пенную, пленочную и масляную флотацию. В наиболее распространенном методе пенной флотации через водную суспензию измельченной руды (пульпу) барботируют воздух, к пузырькам которого прилипают гидрофобные частицы ценного минерала, всплывающие затем на поверхность воды, и с образовавшейся пеной снимаются механически для дальнейшей переработки. Пустая порода хорошо смачивается водой и оседает во флотационных машинах. Пленочная флотация заключается в том, что при высыпании измельченной руды на поверхность текущей воды гидрофобные частицы ценного минерала остаются на поверхности, а пустая порода оседает. В процессе редко применяемой масляной флотации используется эмульсия масла в воде, частицы ценного компонента всплывают вместе с каплями масла.

Эффективность процесса пенной флотации определяется в основном адгезией между частицей ценного компонента и пузырьком воздуха, а также скоростью установления контакта между ними, т. е. скоростью истечения (разрыва) водной разделяющей их пленки. Рассмотрим равновесное взаимодействие

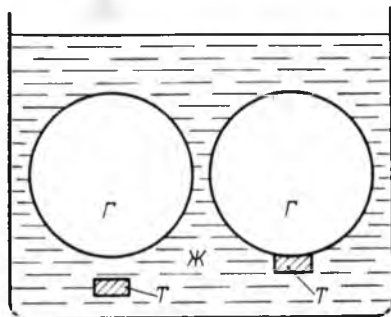


Рис. II.21. К выводу выражения для работы адгезии между пузырьком и частицей при флотации

малой твердой частицы с большим пузырьком газа в жидкой среде (рис. II.21). Энергия Гиббса до контакта частицы с газовым пузырьком складывается из межфазного натяжения на границе частица — жидкость $\sigma_{т-ж}$ и межфазного натяжения на границе жидкость — газ (пузырек) $\sigma_{ж-г}$. В условиях контакта частицы с пузырьком энергия Гиббса равна межфазному натяжению на границе частица — газ (в пузырьке) $\sigma_{т-г}$. Таким образом, работа адгезии между частицей и пузырьком составляет:

$$W_a = \sigma_{т-ж} + \sigma_{ж-г} - \sigma_{т-г} \quad (II.167)$$

Используя закон Юнга (II.145), заменим поверхностные натяжения на границе с твердой частицей и получим следующее соотношение

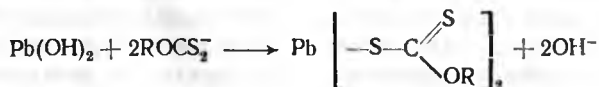
$$W_a = \sigma_{ж-г}(1 - \cos \theta) \quad (II.168)$$

Таким образом, работа адгезии между частицей и газовым пузырьком определяется в конечном итоге поверхностным натяжением на границе фаз жидкость — газ и краевым углом на поверхности частицы: чем он больше (гидрофобнее частица), тем больше работа адгезии. Очевидно, селективность (избирательность) флотации зависит от разности углов смачивания на частицах ценного минерала и пустой породы.

При подборе условий флотации необходимо учитывать также, что флотирующая (подъемная) сила и сила, прижимающая частицу к пузырьку (сила адгезии), должна быть больше силы тяжести частицы, что достигается измельчением руды до необходимой дисперсности.

Для обеспечения высокой эффективности процесса флотации используют флотационные реагенты, которые по характеру действия подразделяют на три класса: собиратели, пенообразователи и регуляторы. Большинство из них являются поверхностно-активными веществами. *Собиратели* (коллекторы) обеспечивают гидрофобизацию поверхности частиц флотируемого минерала и, соответственно, увеличение межфазного натяжения $\sigma_{т-ж}$ и уменьшение поверхностного натяжения $\sigma_{т-г}$ [см. уравнение (II.167)], т. е. в конечном итоге — увеличение угла смачивания (II.168). Собиратели должны селективно адсорбироваться на частицах минерала (или частицах пустой породы),

поэтому, как правило, они закрепляются на поверхности благодаря специфическим химическим силам. Их молекулы имеют полярную часть, обладающую специфическим сродством к данному минералу, и неполярную — углеводородный радикал, который гидрофобизирует поверхность частицы и обеспечивает ее «сродство» к пузырьку газа. Например, при флотационном обогащении медных и свинцовых руд используют ксантогенаты, образующие нерастворимые соединения с ионами этих металлов



Образованием нерастворимых соединений с щелочноземельными металлами объясняется также применение олеиновой кислоты в качестве собирателя при флотации тяжелого шпата BaSO_4 , флюорита CaF_2 и отделение их от различных оксидов. Изоморфное поверхностное замещение характерно при флотационном отделении сильвина KCl от галита NaCl в насыщенных растворах с помощью длинноцепочечных аминов, например солей додециламмония. Размеры иона RNH_3^+ позволяют ему входить в вакансию K^+ , но не позволяют вытеснить ион Na^+ .

Образование устойчивой (но не слишком) пены с высокой дисперсностью пузырьков способствует стабильности процессов флотации, увеличению нагруженности пузырьков пены частицами минерала. С этой целью в систему обычно добавляют *пенообразователи* (вспениватели), например длинноцепочечные спирты, кетоны, сосновое масло. Необходимо учитывать, что пенообразователь и избыток собирателя способны сильно уменьшать поверхностное натяжение воды $\sigma_{\text{ж-г}}$ [см. уравнения (II.167) и (II.168)], что снижает работу адгезии между частицей и пузырьком, а следовательно, и эффективность флотации. Кроме того, после слипания пенообразователь попадает в пленку собирателя, что также отрицательно влияет на стабилизацию контакта между частицей и пузырьком.

Регуляторы применяют для увеличения избирательности флотационного процесса; они изменяют pH (кислоты, щелочи), снижают смачиваемость минералов и активизируют флотацию (соли с флотационно-активными ионами, например сульфид натрия для образования гидрофобных сульфидов на поверхности минералов), улучшают смачиваемость пустой породы, уменьшают вредное влияние находящихся в пульпе ионов и т. д.

Эффективность флотации в большой степени определяется и кинетическими параметрами процесса. Прилипание частицы к пузырьку происходит с преодолением энергетического барье-

ра. На первой стадии пузырек деформируется при столкновении с частицей, затем после утоньшения пленки жидкости между частицей и пузырьком возникает непосредственный контакт. Возможен и такой механизм, когда на поверхности частицы (в полостях и углублениях) образуется сначала зародыш пузырька, который затем увеличивается вследствие пересыщения среды воздухом. Скорость флотации может лимитироваться и скоростью всплывания пузырьков с минералом.

Все большее применение находит ионная и молекулярная флотация, основанная на естественной и искусственно создаваемой способности частиц веществ ионно-молекулярной или коллоидной степени дисперсности переходить на поверхности пузырьков пены. Собиратель, как правило, образует с ионом нерастворимое гидрофобное соединение.

Д. ДИСПЕРСНОСТЬ И ТЕРМОДИНАМИЧЕСКИЕ СВОЙСТВА ТЕЛ

1. Правило фаз Гиббса для дисперсных систем

Дисперсность (или удельная поверхность) является самостоятельным термодинамическим параметром состояния системы, изменение которого вызывает изменение других равновесных свойств системы. Такую зависимость можно объяснить увеличением с ростом дисперсности доли вещества, находящегося в поверхностном слое, т. е. в коллоидном состоянии. Происходит переход вещества из одного состояния в другое, или из одной модификации в другую.

В качестве примера рассмотрим трехкомпонентную гетерогенную систему, в которой изменение дисперсности (удельной поверхности) приводит к изменению равновесного состава фаз. Представим двухфазную систему вода — бензол, в которой распределено ПАВ, значительная часть которого концентрируется на поверхности раздела фаз. Если эта система находится в высоком узком цилиндре, то межфазная поверхность будет небольшая, и количество адсорбированного на ней ПАВ будет также мало. Если содержимое из цилиндра перелить в кювету, межфазная поверхность значительно возрастает. Общее количество ПАВ на поверхности увеличится, а концентрация его в объемах фаз соответственно уменьшится. Такое изменение состояния системы происходит при постоянстве объема, массы, температуры, давления, числа компонентов и фаз. Равновесие в системе изменится только вследствие изменения дисперсности (удельной поверхности). Если системе снова поместить в цилиндр, то она придет в первоначальное состояние.

Если пренебречь наличием межфазной поверхности, из правила фаз Гиббса ($\Pi = 50$) следует, что для рассмотренной системы при указанных условиях ($K=3$, $\Phi=2$, T и $p = \text{const}$) число

степеней свободы равно единице ($F=1$). Это значит, что произвольно можно изменять только количество ПАВ в системе, остальные свойства при этом будут принимать соответствующие значения. При постоянном содержании ПАВ состояние системы фиксировано, что соответствует $F=0$. Однако из приведенного примера следует, что при увеличении удельной поверхности распределение ПАВ в системе изменяется, а это означает, что система обладает дополнительной степенью свободы.

Таким образом, удельная поверхность, или дисперсность, выступает как интенсивный признак системы. Эту величину можно сравнить с концентрацией, например, вещества в коллоидном состоянии, т. е. с количеством поверхности, приходящимся на единицу объема системы. Следовательно, поверхность (или коллоидное состояние вещества) выступает как бы в роли отдельного компонента. В дальнейшем будет показано, что с ростом дисперсности вещества увеличивается его растворимость. В этом случае можно провести аналогию с влиянием температуры и давления.

Подводя итог, можно сделать вывод, что дисперсность является самостоятельным и полноправным термодинамическим параметром системы, а для дисперсных систем правило фаз Гиббса принимает следующий вид:

$$F=K-\Phi+3 \quad (\text{II.169})$$

Необходимо отметить, что в настоящем разделе рассматривается влияние дисперсности на термодинамические свойства однокомпонентных систем, что фактически означает влияние количества фазы на ее свойства. Этот вопрос не является тривиальным, так как в определенной мере противоречит самому понятию фазы, которое в термодинамике относится к макроскопическим, и поэтому свойства фазы не должны зависеть от ее количества. Однако именно потому, что дисперсная фаза представляется как отдельная фаза, несмотря на зависимость ее термодинамических свойств от дисперсности, к системе необходимо применять правило фаз Гиббса в виде выражения, учитывающего дисперсность как отдельный параметр [см. уравнение (II.169)].

2. Влияние дисперсности на внутреннее давление тел

Вследствие избыточной поверхностной энергии жидкости благодаря подвижности приобретают сферическую форму в условиях невесомости (нейтрализации силы тяжести). Вода в реках, морях, озерах имеет плоскую, ровную поверхность только потому, что на нее действует сила тяжести. С уменьшением количества жидкости роль силы тяжести снижается, так как она уменьшается пропорционально кубу, а поверхность — квадрату

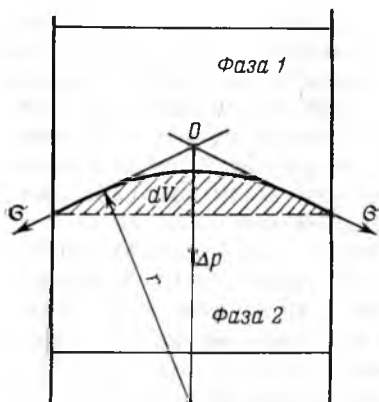


Рис. II.22. Схема, иллюстрирующая влияние кривизны межфазной поверхности на внутреннее давление жидких фаз

размера тела, т. е. увеличивается удельная поверхность. Возрастающая роль поверхностной энергии проявляется в появлении кривизны поверхности жидкости, уменьшающей площадь поверхности при данном объеме. Если жидкость находится на поверхности другого конденсированного тела, то при оценке

кривизны следует учитывать и адгезию, которая, как и сила тяжести, способствует растеканию.

Рассмотрим результат влияния кривизны поверхности раздела между двумя несмешивающимися жидкостями на внутреннее давление в фазах (рис. II.22). Кривизна вызывает изменение площади и положения межфазной поверхности, что можно выразить приращением поверхностной энергии σds . Кроме того, изменяются объемы фаз 1 и 2 на dV_1 и dV_2 . При условии постоянства объема всей системы $dV_1 = -dV_2$. Изменение объемов вызывает соответствующие изменения энергий фаз 1 и 2 на $p_1 dV_1$ и $p_2 dV_2$ (где p_1 и p_2 — давления внутри фаз). Соотношение между поверхностной энергией и «объемной» можно записать с помощью обобщенного уравнения первого и второго начал термодинамики относительно энергии Гельмгольца F при $T = \text{const}$:

$$dF = -p_1 dV_1 - p_2 dV_2 + \sigma ds \quad (\text{II.170})$$

При равновесии между фазами $\Delta F = 0$, тогда

$$(p_1 - p_2) dV_2 + \sigma ds = 0$$

или

$$\Delta p = p_2 - p_1 = \sigma ds / dV \quad (\text{II.171})$$

где Δp — разность давлений внутри фаз; ds/dV — кривизна поверхности.

Уравнение (II.171) в общем виде отражает влияние кривизны поверхности на внутреннее давление фаз. Чем больше межфазное натяжение, тем влияние кривизны значительнее. Из него следует, что фазы, разделенные искривленной поверхностью, могут находиться в равновесии только при разных давлениях внутри фаз. В фазе, имеющей положительную кривизну, давление больше, чем внутри фазы с отрицательной кривизной.

Это следует и из рис. II.22. Стремление межфазного натяжения сократить поверхность приводит к увеличению давления

в фазе 2. Это увеличение Δp можно представить как равнодействующую сил межфазного натяжения σ , сходящихся в точке 0. Равнодействующая направлена перпендикулярно к поверхности в центр кривизны. Если давление в одной из фаз можно поддерживать постоянным, например атмосферное давление в воздушной фазе, то разность давлений будет характеризовать изменение давления в конденсированной фазе с кривизной p_r по сравнению с давлением в такой же фазе под ровной поверхностью: p_∞ : $\Delta p = p_r - p_\infty$.

Кривизна поверхности, имеющей форму правильной сферы радиусом r , составляет

$$ds/dV = \pm 2/r$$

Тогда уравнение (II.171) принимает вид

$$\Delta p = \pm 2\sigma/r \quad (\text{II.172})$$

Это уравнение применимо для определения приращения внутреннего давления жидкости со сферической поверхностью; $1/r$ характеризует дисперсность частицы D . Таким образом, чем выше дисперсность, тем больше внутреннее давление. Например, в капле воды размером 10^{-6} см дополнительное давление (Δp) достигает 15 МПа. Оно составляет небольшую долю от общего внутреннего давления воды (более 1000 МПа), но вполне достаточно для того, чтобы обуславливать некоторые явления, в том числе обеспечение сферической формы капель. Такое же дополнительное давление характерно и для пузырьков воздуха в жидкости.

Кривизна цилиндрической поверхности длиной l и радиусом r равна:

$$ds/dV = \pm 1/r$$

Соответственно уравнение (II.171) переходит в соотношение

$$\Delta p = \pm \sigma/r \quad (\text{II.173})$$

Для поверхностей неправильной формы используется представление средней кривизны определяемой по уравнению

$$H = 1/2(1/r_1 + 1/r_2)$$

где $1/r_1$ и $1/r_2$ — кривизна главных нормальных сечений 1 и 2.

С учетом этого соотношения получаем более общее уравнение для дополнительного давления, обусловленного кривизной поверхности:

$$\Delta p = \sigma(1/r_1 + 1/r_2) \quad (\text{II.174})$$

Для сферы $r_1 = r_2$ уравнение (II.174) переходит в (II.172). При цилиндрической поверхности один из радиусов равен бесконечности, и уравнение (II.174) принимает вид (II.173). Уравнения, связывающие изменение внутреннего давления тела

с кривизной поверхности (II.171) — (II.174), известны под названием уравнений Лапласа.

Дополнительное давление, обусловленное кривизной поверхности, всегда направлено к центру кривизны. Поскольку центр кривизны может находиться внутри жидкости (положительная кривизна) и вне жидкости (отрицательная кривизна), дополнительное давление в первом случае увеличивает внутреннее давление жидкости (сжатие), а во втором — уменьшает его (растягивание). Сжатие и растягивание жидкости происходит в результате самопроизвольного уменьшения поверхностной энергии (площади поверхности).

Интересна особенность, характерная для мыльных пузырей. Они имеют наружную и внутреннюю поверхности, радиусы кривизны которых почти одинаковы (толщиной пленки можно пренебречь), и обладают одним центром кривизны. В результате давление в пузырях равно удвоенному значению, получаемому по формуле (II.172). Так же, как и для сплошной жидкости, давление в мелких пузырьках больше, чем в крупных. Если соединить эти пузырьки друг с другом какой-нибудь трубкой, то воздух будет переходить в крупный пузырек до тех пор, пока на месте мелкого пузырька не образуется кривизна, равная кривизне большого пузырька.

Уравнение Лапласа лежит в основе экспериментального метода «максимального давления пузырька» для определения поверхностного натяжения жидкостей и жидких растворов, а также межфазного натяжения. Метод заключается в продавливании через капилляр, опущенный в жидкую фазу, газа (воздуха) или жидкости (другой фазы). Максимальное давление соответствует образованию полусферы пузырька (капли) радиуса, равного радиусу капилляра, и его отрыву от капилляра. Чтобы избежать погрешности при измерении кривизны мениска (или радиуса капилляра), используют относительный метод, включающий определение константы прибора по стандартной жидкости. Зная поверхностное натяжение стандартной жидкости, постоянную прибора k вычисляют по формуле:

$$\sigma = kr \quad (\text{II.175})$$

где p — максимальное давление при продавливании пузырька (капли) через капилляр.

Эту же формулу используют и для последующих расчетов поверхностного натяжения других жидкостей по экспериментальным значениям давления p .

3. Поверхностная энергия и равновесные формы тел

Стремление поверхностной энергии к минимуму вызывает искривление поверхности жидкости. Поэтому можно предположить наличие связи между поверхностной энергией и формой

тел, т. е. с помощью химической термодинамики установить границу между твердым и жидким агрегатным состоянием. Эта связь формулируется как принцип Гиббса — Кюри: термодинамически устойчивой является та форма тела, при которой система обладает наименьшей поверхностной энергией Гиббса. Математически это означает:

$$\sum_i \sigma_i s_i = \text{мин} \quad (V = \text{const}) \quad (\text{II.176})$$

где σ_i и s_i — соответственно удельная поверхностная энергия и площадь отдельных частей поверхности тела. Суммирование проводится по всей поверхности однофазного тела.

Жидкости изотропны, поэтому все свойства, в том числе и поверхностное натяжение, в любой точке поверхности жидкости имеют одно и то же значение. В связи с этим для жидкостей соотношение (II.176) переходит в следующее:

$$\sum_i s_i = \text{мин} \quad (V = \text{const}) \quad (\text{II.177})$$

Из него следует, что термодинамически устойчивой формой жидкого тела является та, которая имеет наименьшую поверхность при данном объеме. Очевидно, что такому условию удовлетворяет сферическая форма.

Кристаллы анизотропны, поэтому каждая их грань имеет характерную для нее поверхностную энергию. [Для кристалла индекс i в соотношении (II.176) обозначает разные его грани.] Минимальная поверхностная энергия для кристаллов определяется законом Вульфа, который можно получить, используя уравнение Лапласа. Для отдельной части кристалла, например пирамиды A (рис. II.23), имеем

$$s_i = kl_i^2; \quad V_i = \frac{1}{3}kl_i^3 \quad \text{и} \quad ds_i = 2kl_i dl_i, \quad dV_i = kl_i^2 dl_i$$

Подставляя эти значения в уравнение Лапласа (II.171), получим:

$$\Delta p = 2\sigma_i/l_i \quad (\text{II.178})$$

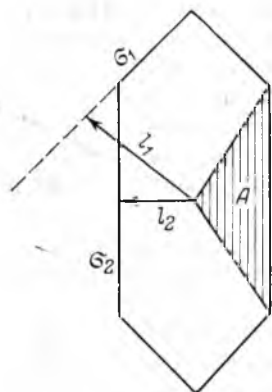
где σ_i — удельная поверхностная энергия грани кристалла, находящейся на расстоянии l_i от центра кристалла.

Так как у равновесного кристалла избыточное давление под всеми гранями должно быть одинаково, то из уравнения (II.178) следует математическая запись закона Вульфа:

$$\sigma_1/l_1 = \sigma_2/l_2 = \dots = W = \text{const}, \quad \text{или} \quad \sigma_1 : \sigma_2 : \dots = l_1 : l_2 : \dots \quad (\text{II.179})$$

Постоянную W называют константой Вульфа. Очевидно, что она постоянна для кристалла определенного размера и с его увеличением уменьшается ($\sigma_i = \text{const}$, а l_i увеличивается). В соответствии с соотношением (II.179) закон Вульфа гласит: условием минимума поверхностной энергии равновесного кристал-

Рис. П.23. Иллюстрация закона Вульфа
 l_1 и l_2 — расстояния от центра кристалла до его граней



ла является пропорциональность удельных поверхностных энергий его граней их расстояниям от центра кристалла. Чем больше удельная поверхностная энергия грани, тем дальше она находится от центра кристалла и тем меньшую поверхность она имеет (см. рис. П.23). Таким образом, равновесная форма тел является результатом стремления поверхностной энергии к минимуму и непосредственно связана с их природой

(разная форма кристаллов) и агрегатным состоянием. Отсюда следует также, что дефекты структуры реального кристалла соответствуют областям избыточной (поверхностной) энергии Гиббса.

4. Капиллярные явления

Капиллярные явления наблюдаются в содержащих жидкость узких сосудах (капилляры, капиллярно-пористые тела), у которых расстояние между стенками соизмеримо с радиусом кривизны поверхности жидкости. Кривизна возникает в результате взаимодействия жидкости со стенками сосуда (адгезия, смачивание). Специфика поведения жидкости в капиллярных сосудах зависит от того, смачивает или не смачивает жидкость стенки сосуда, точнее, от значения краевого угла.

Рассмотрим положение уровней жидкости в двух капиллярах, один из которых имеет лиофильную поверхность и поэтому стенки его смачиваются, у другого внутренняя поверхность лиофобизирована и не смачивается (рис. П.24). В первом капилляре (см. рис. П.24, а) поверхность жидкости имеет отрицательную кривизну, поэтому дополнительное давление Лапласа стремится растянуть жидкость (давление направлено к центру кривизны) и поднимает ее в капилляре. Кривизна поверхности жидкости во втором капилляре (см. рис. П.24, б) положительна, дополнительное давление направлено внутрь жидкости, в результате жидкость в капилляре опускается (отрицательное капиллярное поднятие). При равновесии лапласовское давление равно гидростатическому давлению столба жидкости высотой h :

$$\Delta p = \pm 2\sigma/r = (\rho - \rho_0)gh \quad (\text{П.180})$$

где ρ — плотность жидкости; ρ_0 — плотность газовой фазы; g — ускорение свободного падения; r — радиус мениска.

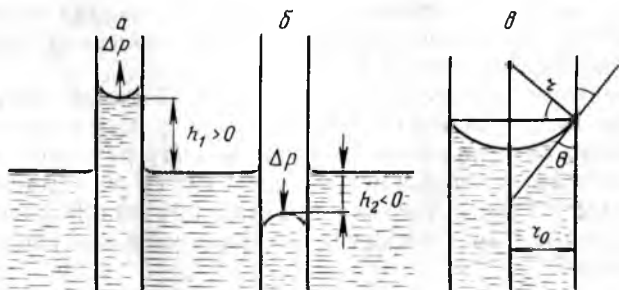


Рис. 11.24. Капиллярное поднятие жидкости:
 $a - \cos \theta > 0$; $b - \cos \theta < 0$; $v -$ связь радиуса кривизны мениска r с радиусом капилляра r_0

Чтобы высоту капиллярного поднятия связать с характеристикой смачивания, радиус мениска необходимо выразить через угол смачивания θ и радиус капилляра r_0 . На рис. 11.24, v показан (в увеличенном виде) мениск жидкости в капилляре. Видно, что $r_0 = r \cos \theta$, тогда высоту капиллярного поднятия можно представить в виде формулы Жюрена:

$$h = \frac{2\sigma \cos \theta}{r_0(\rho - \rho_0)g} \quad (11.181)$$

При отсутствии смачивания $\theta > 90^\circ$, $\cos \theta < 0$, уровень жидкости в капилляре опускается на величину h . При полном смачивании $\theta = 0$, $\cos \theta = 1$, в этом случае радиус мениска равен радиусу капилляра.

Практически на ту же высоту поднимается или опускается жидкость в капиллярах, опущенных в жидкость под углом к ее поверхности. Заполнение капилляра зависит от угла его наклона. Очевидно, что при постоянной высоте капиллярного поднятия чем больше наклонен капилляр к поверхности, тем заполнение его больше при $\theta < 90^\circ$ или меньше при $\theta > 90^\circ$.

Краевой угол для воды и низших углеводородов на стенке стеклянного капилляра мал. Для большинства других жидкостей он меньше 10° . Расчет по уравнению (11.181) показывает, что относительная погрешность, обусловленная приравниванием этого угла в стеклянном капилляре нулю, не превышает 1,5%. Измерение высоты капиллярного поднятия лежит в основе одного из более точных методов определения поверхностного натяжения жидкостей.

Капиллярным поднятием жидкостей объясняется ряд известных явлений и процессов: пропитка бумаги, тканей обусловлена капиллярным поднятием жидкости в порах; водонепроницаемость тканей обеспечивается их гидрофобностью и как следствие — отрицательным капиллярным поднятием; подъем

воды из почвы по стволам растений происходит благодаря волокнистому строению древесины; процессы кровообращения в кровеносных сосудах и т. д.

Изменение лапласовского давления в зависимости от кривизны мениска жидкости используется в порометрии (измерение объема пор пористых тел). По методу ртутной порометрии ртуть вдавливают в пористое тело. Ртуть не смачивает тела, и поэтому по мере увеличения давления заполняются более мелкие поры. Давление связано с радиусом пор следующим соотношением:

$$p = (2\sigma \cos \theta) / r_0$$

отсюда $r_0 = (2\sigma \cos \theta) / p$ (II.182)

Экспериментальное определение объема ртути, заполнившей пористое тело, позволяет рассчитать функцию распределения объема пор по размерам в пористом теле $V = f(r)$. Кроме ртути для этой цели иногда используют жидкости, смачивающие пористые тела. Такая жидкость заполняет поры пористого тела самопроизвольно, и при определении размеров пор жидкость вытесняют из них с помощью газа. Давление возрастает по мере вытеснения жидкости из пор. Для расчета радиуса пор используется формула (II.182).

При движении жидкости по капиллярам капиллярное давление можно рассматривать как капиллярный потенциал ψ_k , а разность $\Delta\psi_k$ — как движущую силу переноса жидкости по капиллярам:

$$\Delta\psi_k = 2\sigma/r_2 - 2\sigma/r_1 = 2\sigma(1/r_2 - 1/r_1) \quad (II.183)$$

где r_1 и r_2 — радиусы менисков жидкости на противоположных концах капилляра.

На рис. II.25, а представлен капилляр в виде усеченного конуса, в котором находится смачивающая его жидкость. На обоих менисках жидкости возникают противоположно направленные капиллярные потенциалы, не равные по абсолютной величине. В результате жидкость в капилляре приходит в движение, которое продолжается до тех пор, пока потенциалы не выравняются (пока не наступит равенство $r_1 = r_2$). Это произойдет, когда мениск с r_2 достигнет узкого конца капилляра. Таким образом происходит самопроизвольное заполнение капилляров в пористых телах.

Нередко приходится наблюдать, как жидкость не может вытечь из капилляра под действием силы тяжести (рис. II.25, б). Это объясняется проявлением действия капиллярного потенциала, направленного против силы тяжести, так как на нижнем конце капилляра жидкость образует мениск с положительной кривизной. Если часть капилляра, находящаяся над жид-

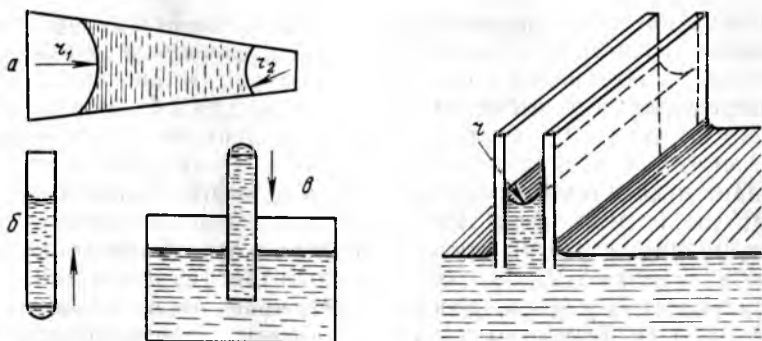


Рис. 11.25. Примеры проявления капиллярного потенциала:

a — в конусообразном капилляре; *б, в* — в цилиндрическом капилляре, капиллярный потенциал направлен против силы тяжести (*б*) и против гидростатического давления (*в*). Стрелки указывают направление капиллярных сил

Рис. 11.26. Капиллярное поднятие жидкости между пластинами

костью, меньше высоты поднятия жидкости (рис. 11.25, *в*), жидкость из него не вытекает, так как кривизна мениска жидкости вверх капилляра становится положительной (положительный радиус кривизны), отвечающей гидростатическому давлению столба жидкости, равному размеру (высоте) капилляра, т. е. устанавливается равновесие.

Капиллярное поднятие наблюдается и между не полностью погруженными в жидкость параллельными пластинами, близко расположенными друг к другу (рис. 11.26). В этом случае мениск имеет цилиндрическую форму, поэтому лапласовское давление будет в два раза меньше, чем в капилляре со сферической формой мениска с тем же радиусом кривизны поверхности жидкости:

$$\Delta p = \pm \sigma / r = (\rho - \rho_0) gh \quad (11.184)$$

Так как радиус кривизны r мениска связан с расстоянием d между пластинами соотношением $d = 2r \cos \theta$, то высота капиллярного поднятия жидкости между пластинами равна:

$$h = \frac{2\sigma \cos \theta}{d(\rho - \rho_0)g} \quad (11.185)$$

Полученная формула аналогична формуле Жюрена (11.181), только вместо радиуса капилляра учитывается расстояние между пластинами.

Если же пластины прижать друг к другу так, чтобы между ними оставалась прослойка смачивающей их жидкости, то мениск жидкости будет иметь форму вогнутого цилиндра. Это значит, что лапласовское давление уменьшает внутреннее давление жидкости на величину, определяемую формулой (11.184).

Поэтому на такую же величину Δp пластины будут испытывать большее сжимающее давление. Сила притяжения между пластинами, поверхность которых, смоченная жидкостью, равна s , определяется уравнением

$$f = \Delta p \cdot s = (2\sigma s \cos \theta) / d \quad (\text{II.186})$$

Пусть величина зазора между пластинами равна 1 мкм (10^{-4} см) и этот зазор заполнен водой, которая хорошо смачивает пластины ($\theta \approx 0$), тогда дополнительное давление составит $\Delta p = \sigma / r = 2\sigma / d = 2 \cdot 72 \cdot 10^{-3} / 10^{-6} \approx 150\,000$ Па. Если пластины имеют размеры 10×10 см, то сила притяжения между ними достигает 1500 Н. Такую силу надо приложить (перпендикулярно поверхности пластин), чтобы оторвать их друг от друга. Если угол смачивания будет больше 90° , то возникает сила, расталкивающая пластины. Сила расталкивания определяется тем же уравнением (II.186).

В заключение следует подчеркнуть, что капиллярные явления проявляются на границе трех фаз: твердое тело — жидкость — газ (вторая жидкость), т. е. должен существовать мениск жидкости. Например, если пластины или частицы полностью находятся в жидкости, то в такой системе капиллярные явления не возникают, но если из системы удалить жидкость настолько, чтобы появилась поверхность раздела твердое тело — газ, то пластины или частицы начнут притягиваться (при $\theta < 90^\circ$) или отталкиваться (при $\theta > 90^\circ$). Капиллярным явлением объясняется, например, формуемость речного песка после его смачивания, комкование порошков при сушке и т. д. Гидрофобизация поверхности приводит к обратному результату.

Гидрофобизация поверхности капиллярно-пористого тела обеспечивает также ее водонепроницаемость при условии $\Delta p < 0$, т. е. $\theta > 90^\circ$, что следует из соотношений (II.180) и (II.181), или

$$\Delta p = \frac{2\sigma_{ж-г} \cos \theta}{r_0} < 0 \quad \text{или} \quad \cos \theta < 0$$

Учитывая закон Юнга (II.145), имеем

$$\Delta p = \frac{2(\sigma_{т-г} - \sigma_{т-ж})}{r_0} < 0 \quad (\text{II.187})$$

Из этого соотношения следует, что водонепроницаемость обеспечивается при условии $\sigma_{т-г} < \sigma_{т-ж}$, т. е. необходимо уменьшать поверхностное натяжение твердого тела на границе с газом и в то же время увеличивать поверхностное натяжение твердого тела на границе с жидкостью. Этого можно достичь гидрофобизацией поверхности, например с помощью воскообразных веществ.

5. Зависимость термодинамической реакционной способности от дисперсности

Термодинамическая реакционная способность характеризует способность вещества переходить в какое-либо иное состояние, например переходить в другую фазу, вступать в химическую реакцию. Она указывает на удаленность данного состояния вещества или системы компонентов от равновесного состояния при определенных условиях. Термодинамическая реакционная способность определяется химическим сродством, которое можно выразить изменением энергии Гиббса или разностью химических потенциалов.

Реакционная способность зависит от степени дисперсности вещества, изменение которой может приводить к сдвигу фазового или химического равновесия.

Соответствующее приращение энергии Гиббса dG_d (благодаря изменению дисперсности) можно представить в виде объединенного уравнения первого и второго начал термодинамики:

$$dG_d = -SdT + Vdp$$

Для индивидуального вещества $V = V_m$ (молярный объем) и при $T = \text{const}$ имеем:

$$dG_d = V_m dp \text{ или } \Delta G_d = V_m \Delta p$$

Подставляя в это уравнение соотношение Лапласа (II.171), получим:

$$\Delta G_d = \sigma V_m ds/dV \quad (\text{II.188})$$

для сферической кривизны:

$$\Delta G_d = \pm 2\sigma V_m/r \quad (\text{II.189})$$

Уравнения (II.188) и (II.189) показывают, что приращение реакционной способности, обусловленное изменением дисперсности, пропорционально кривизне поверхности, или дисперсности. Знаки «+» и «-» — отвечают положительной или отрицательной кривизне.

Если рассматривается переход вещества из конденсированной фазы в газообразную, то энергию Гиббса можно выразить через давление пара, приняв его за идеальный. Дополнительное изменение энергии Гиббса, связанное с изменением дисперсности, составляет:

$$\Delta G_d = RT \ln (p_d/p_s) \quad (\text{II.190})$$

где p_d и p_s — давление насыщенного пара над искривленной и ровной (с бесконечно большим радиусом кривизны) поверхностью соответственно.

Подставляя (II.190) в (II.189), получим:

$$\ln (p_d/p_s) = \pm 2\sigma V_m/(RT r) \quad (\text{II.191})$$

Таблица II.8. Давление насыщенного пара над каплями некоторых жидкостей

Радиус капли 10 нм. $T=298$ К

Жидкость	σ , мДж/м ²	V_m , см ³ /моль	p_d/p_s
Ртуть	473,50	14,72	1,735
Вода	71,95	17,94	1,108
Тетрахлорид углерода	25,02	96,53	1,216

Соотношение (II.191) носит название *уравнения Кельвина (Томсона)*. Из этого уравнения следует, что при положительной кривизне (например, для сферической капли) давление насыщенного пара над искривленной поверхностью (над каплей) будет тем больше, чем больше кривизна, т. е. меньше радиус капли. При отрицательной кривизне, имеющей место в капиллярах при смачивании, получается обратная зависимость: давление насыщенного пара над искривленной поверхностью уменьшается с увеличением кривизны (с уменьшением радиуса кривизны). Таким образом, если жидкость смачивает капилляр, то конденсация паров в капилляре происходит при меньшем давлении, чем на ровной поверхности. Именно поэтому уравнение Кельвина часто называют *уравнением капиллярной конденсации*. Как следует из этого уравнения, давление насыщенного пара над каплями зависит не только от их размера, но также от поверхностного натяжения и мольного объема жидкости, что и отражено в табл. II.8.

В качестве примера рассмотрим влияние дисперсности частиц на их растворимость. Учитывая, что изменение энергии Гиббса выражается через растворимость вещества в разном дисперсном состоянии аналогично соотношению (II.190), получим для неэлектролитов (принимая коэффициенты активности равными единице):

$$\ln(c_d/c_s) = \pm 2\sigma V_m / (RT\tau) \quad (\text{II.192})$$

где c_d и c_s — растворимость вещества в высокодисперсном состоянии и растворимость при равновесии с крупными частицами этого вещества; V_m — мольный объем растворяемого вещества.

Для электролита, диссоциирующего в растворе на ν ионов, можно записать (пренебрегая коэффициентами активности):

$$\begin{aligned} \ln(a_d/a_s) &= \ln(c_d^\nu/c_s^\nu) = \\ &= \nu \ln(c_d/c_s) = \pm 2\sigma V_m / (RT\tau) \end{aligned} \quad (\text{II.193})$$

где a_d и a_s — активности электролита в растворах, насыщенных по отношению к высокодисперсному и грубодисперсному состоянию соответственно.

Уравнения (II.192) и (II.193) показывают, что с увеличением дисперсности растворимость растет, или химический потен-

циал частиц дисперсной системы больше, чем у крупной частицы, на величину $2\sigma V/r$. В то же время растворимость зависит от знака кривизны поверхности, а это значит, что если частицы твердого вещества имеют неправильную форму с положительной и отрицательной кривизной и находятся в насыщенном растворе, то участки с положительной кривизной будут растворяться, а с отрицательной кривизной — наращиваться. В результате частицы растворяемого вещества со временем приобретают вполне определенную форму, отвечающую равновесному состоянию.

Соотношения (II.192) и (II.193) лежат в основе метода определения поверхностного натяжения твердых тел. Экспериментально измеряют растворимость в зависимости от дисперсности вещества и по формулам (II.192) или (II.193) рассчитывают σ . Недостатки этого метода связаны главным образом с тем, что в мелких кристаллах часто нарушена структура, и это сказывается на растворимости и соответственно на получаемых значениях σ . Кроме того, не учитывается, что у анизотропных кристаллических тел каждая грань имеет свое поверхностное натяжение.

Степень дисперсности может влиять также на равновесие химической реакции:

$$-\Delta G^0_d = RT \ln (K_d/K) \quad (\text{II.194})$$

где ΔG^0_d — приращение химического сродства, обусловленное дисперсностью; K_d и K — константы равновесия реакции с участием диспергированных и недиспергированных веществ.

С увеличением дисперсности повышается активность компонентов (II.193), а в соответствии с этим изменяется константа химического равновесия в ту или другую сторону, в зависимости от степени дисперсности исходных веществ и продуктов реакции. Например, для реакции разложения карбоната кальция



повышение дисперсности исходного карбоната кальция сдвигает равновесие в правую сторону, и давление диоксида углерода над системой возрастает, увеличение дисперсности оксида кальция приводит к противоположному результату.

По той же причине с увеличением дисперсности ослабляется связь кристаллизационной воды с веществом. Так, макрокристалл $\text{Al}_2\text{O}_3 \cdot 3\text{H}_2\text{O}$ отдает воду при 473 К, в то время как в осадке из частиц коллоидных размеров кристаллогидрат разлагается при 373 К. Золото не взаимодействует с хлороводородной кислотой, а коллоидное золото в ней растворяется. Грубодисперсная сера не реагирует заметно с солями серебра, а коллоидная сера образует сульфид серебра.

6. Влияние дисперсности на температуру фазового перехода

С изменением дисперсности веществ изменяется температура фазового перехода. Эта зависимость используется при получении специальных стекол, керамики, в порошковой металлургии.

Количественная взаимосвязь между температурой фазового перехода и дисперсностью вытекает из термодинамических соотношений. При постоянном давлении изменение энергии Гиббса, связанное с изменением дисперсности в соответствии с объединенным уравнением первого и второго начал термодинамики, равно

$$dG_d = -SdT \text{ или } \Delta G_d = -S\Delta T \quad (II.195)$$

Для фазового перехода $\Delta T = T_d - T_\infty$, где T_d — температура фазового перехода вещества в дисперсном состоянии и T_∞ — та же температура для недиспергированного вещества. Сравнивая (II.195) и (II.189), получим

$$-S\Delta T = V_n \sigma ds/dV \quad (II.196)$$

Энтропия фазового перехода составляет $S = H_{ф.п}/T_\infty$ (где $H_{ф.п}$ — энтальпия фазового перехода). Учитывая это, получим:

$$-\Delta T = T_\infty - T_d = \frac{\sigma T_\infty V_n}{H_{ф.п}} \frac{ds}{dV} \quad (II.197)$$

Для сферических частиц данное уравнение принимает вид:

$$T_\infty - T_d = 2\sigma T_\infty V_n / (H_{ф.п} r) \quad (II.198)$$

Из уравнения (II.198) видно, что с уменьшением размера частиц r температуры плавления и испарения вещества уменьшаются ($H_{ф.п} > 0$). По этому уравнению можно рассчитать понижение температуры плавления частиц некоторых металлов. В табл. II.9 приведены расчетные данные, показывающие влияние дисперсности на температуру плавления калия и серебра. При расчете принято, что частицы имеют кубическую форму с длиной ребра r , поэтому в уравнении (II.198) множитель 2 заменяется на 4.

Таблица II.9. Температура плавления калия и серебра при разной степени дисперсности металла

r , нм	Калий ($T_\infty = 336$ К)		Серебро ($T_\infty = 1235$ К)	
	T_d , К	ΔT , К	T_d , К	ΔT , К
20	50	286	593	640
30	144	192	800	433
50	222	114	973	260
100	279	57	1110	123

Как следует из уравнения (II.198) и данных табл. II.9, изменение температуры фазового перехода с изменением дисперсности тем больше, чем выше температура фазового перехода для макроскопического тела, чем больше поверхностное натяжение, мольный объем и меньше теплота фазового перехода. Поэтому для тугоплавких веществ наблюдается более сильный эффект понижения температуры плавления с ростом дисперсности.

Необходимо отметить, что при рассмотрении влияния дисперсности на термодинамические свойства тел поверхностное натяжение принималось постоянным. В действительности σ зависит от дисперсности, особенно при высоких ее значениях. Термодинамическая теория, учитывающая влияние кривизны поверхности на поверхностное натяжение, дает следующее соотношение в первом приближении:

$$\sigma/\sigma_d = 1 + 2l_0/r \quad (\text{II.199})$$

где σ_d — поверхностное натяжение при кривизне поверхности тела $1/r$; σ — поверхностное натяжение при плоской поверхности тела; l_0 — толщина поверхностного слоя.

Таким образом, поверхностное натяжение изменяется заметно, если радиус кривизны становится соизмеримым с толщиной поверхностного слоя. Эту зависимость особенно важно знать при рассмотрении теории образования зародышей новой фазы.

Е. ЭНЕРГЕТИКА ДИСПЕРГИРОВАНИЯ И КОНДЕНСАЦИИ

1. Два общих метода получения дисперсных систем.

Диспергирование

Диспергирование и конденсация — методы получения свободно-дисперсных систем: порошков, суспензий, зольей, в том числе аэрозолей, эмульсий и т. д. Под диспергированием понимают дробление и измельчение вещества, под конденсацией — образование гетерогенной дисперсной системы из гомогенной в результате ассоциации молекул, атомов или ионов в агрегаты.

В мировом производстве различных веществ и материалов процессы диспергирования и конденсации занимают одно из ведущих мест. Миллиарды тонн сырья и продуктов получают в свободнодисперсном состоянии. Это обусловлено особенностями вещества в дисперсном состоянии, которые обеспечивают удобство расфасовки, транспортирования, дозировки, способствуют увеличению скоростей химических реакций и процессов растворения, выщелачивания, сорбции, экстракции и других процессов, дают возможность получать однородные материалы при составлении смесей и материалы с более высокими проч-

ностными свойствами, с большой удельной поверхностью (катализаторы, сорбенты).

В качестве примеров можно привести дробление и измельчение руд, добычу и транспортирование каменного угля, производство цемента, минеральных солей и удобрений, которые выпускаются в порошкообразном состоянии. Диспергирование происходит в форсунках при сжигании жидкого топлива, при подготовке шихты, в массообменных аппаратах. Конденсация происходит при образовании тумана в производстве серной и фосфорной кислот, в ректификационных аппаратах, при кристаллизации, упаривании растворов. За последние годы резко возрос выпуск эмульсионных, аэрозольных и пастообразных продуктов: смазок, кремов, паст, парфюмерных средств, лекарственных препаратов, средств защиты растений и т. д.

Необходимо отметить, что при диспергировании и конденсации образование дисперсных систем (порошкообразование, волокнообразование, пленкообразование) сопровождается возникновением новой поверхности, т. е. увеличением удельной площади поверхности веществ и материалов иногда в тысячи и более раз. Поэтому получение дисперсных систем, за некоторым исключением (например, самопроизвольное диспергирование, которое рассматривается в разделе, посвященном устойчивости дисперсных систем), требует затраты энергии.

Рассмотрим диспергирование веществ в конденсированном состоянии. Чтобы разрушить твердое тело или жидкость и получить новую поверхность, необходимо преодолеть когезионные силы, или силы, обуславливающие целостность определенного объема твердого тела или жидкости. При диспергировании под действием внешних сил конденсированное вещество сначала претерпевает объемное деформирование (упругое и пластическое) и только после этого при определенном механическом усилии оно разрушается. Таким образом, работу, необходимую для диспергирования, можно разделить на две составляющие, одна из которых расходуется на объемное деформирование тела, другая — на образование новых поверхностей.

Работа упругого и пластического деформирования пропорциональна объему тела:

$$W_{\text{деф}} = kV \quad (11.200)$$

где k — коэффициент пропорциональности, равный работе объемного деформирования единицы объема конденсированного тела; V — объем тела.

Работа образования новой поверхности при диспергировании пропорциональна приращению поверхности:

$$W_{\text{п}} = \sigma \Delta s \quad (11.201)$$

где σ — энергия образования единицы поверхности, или поверхностное натяжение; Δs — приращение поверхности, или площадь образовавшейся поверхности.

Полная работа, затрачиваемая на диспергирование, выражается уравнением Ребиндера:

$$W = W_{\text{деф}} + W_{\text{п}} = kV + \sigma\Delta s \quad (\text{II.202})$$

Так как работа объемного деформирования пропорциональна объему тела, а $V \sim d^3$ (d — линейный размер тела), и изменение поверхности пропорционально его начальной поверхности, $s \sim d^2$, то

$$W = k_1 d^3 + k_2 \sigma d^2 = d^2 (k_1 d + k_2 \sigma) \quad (\text{II.203})$$

где k_1 и k_2 — коэффициенты пропорциональности.

Из соотношения (II.203) следует, что при больших размерах тела (при больших значениях d) можно пренебречь работой образования поверхности, тогда

$$W \approx k_1 d^3 \quad (\text{II.204})$$

т. е. полная работа диспергирования определяется, главным образом, работой упругого и пластического деформирования.

Соотношение (II.204) можно использовать для вычисления работы дробления как первого этапа диспергирования до сравнительно крупных кусков материала.

При малых значениях d , когда можно пренебречь работой объемного деформирования, уравнение (II.203) переходит в соотношение

$$W \approx k_2 \sigma d^2 \quad (\text{II.205})$$

Чем мельче диспергируемый материал, тем лучше должно выполняться соотношение (II.205). Таким образом, это соотношение можно использовать для определения работы измельчения — второго этапа диспергирования. На этом этапе, как следует из соотношения (II.205), полная работа диспергирования определяется, главным образом, работой образования новой поверхности, т. е. работой по преодолению когезионных сил.

При дроблении и измельчении материалы разрушаются в первую очередь в местах прочностных дефектов (макро- и микротрещин). Поэтому по мере измельчения прочность частиц возрастает, что обычно используют для создания более прочных материалов. В то же время увеличение прочности материалов по мере их измельчения ведет к большему расходу энергии на дальнейшее их диспергирование.

Разрушение материалов может быть облегчено при использовании *эффекта Ребиндера* — адсорбционного понижения прочности твердых тел. Этот эффект заключается в уменьшении поверхностной энергии с помощью поверхностно-активных веществ, в результате чего облегчается деформирование и разрушение твердого тела. В качестве таких поверхностно-актив-

ных веществ, называемых в данном случае *понижителями твердости*, могут быть использованы, например, жидкие металлы для разрушения твердых металлов, органические вещества для уменьшения прочности органических монокристаллов.

Для понижителей твердости характерны малые количества, вызывающие эффект Ребиндера, и специфичность действия. Добавки, смачивающие материал, помогают проникнуть среде в места дефектов и с помощью капиллярных сил также облегчают разрушение твердого тела. Поверхностно-активные вещества не только способствуют разрушению материала, но и стабилизируют дисперсное состояние, так как, покрывая поверхность частиц, они тем самым препятствуют обратному слипанию их или слиянию (для жидкостей). Это также способствует достижению высокодисперсного состояния.

Для получения дисперсных систем методом диспергирования широко используют механические аппараты: дробилки, мельницы, жернова, ступки, краскотерки, вальцы, встряхиватели. Жидкости распыляются и разбрызгиваются с помощью форсунок, центрифуг, волчков, вращающихся дисков. Диспергирование газов осуществляют, главным образом, с помощью барботирования их через жидкость. Часто для диспергирования жидкостей, полимеров, легкоплавких металлов, графита и других материалов используют ультразвуковой метод. Он основан на превращении электрической энергии с помощью пьезоэлектрического осциллятора в ультразвуковые колебания (от 20 тыс. до 1 млн. колебаний в 1 с), вызывающие повышение давления в среде до сотен мегапаскалей (МПа), под действием которого происходит разрушение материала.

Несмотря на широкое применение диспергационных методов, они не могут быть использованы для получения дисперсных систем максимальной дисперсности — 1—100 нм. Такие системы могут быть получены только с помощью конденсационных методов.

2. Термодинамика конденсационного образования дисперсных систем

Процесс конденсации предполагает образование новой фазы на уже имеющихся поверхностях (стенках сосуда, частицах посторонних веществ — ядрах конденсации) или на поверхности зародышей, возникающих самопроизвольно в результате флуктуаций плотности и концентраций вещества в системе. В первом случае конденсация называется гетерогенной, во втором — гомогенной.

Как правило, конденсация происходит на поверхности ядер конденсации или зародышей очень малых размеров, вследствие чего реакционная способность сконденсированного вещества

в соответствии с уравнением капиллярной конденсации больше, чем макрофазы. Как следует из сказанного выше, чтобы сконденсированное вещество не возвращалось в первоначальную фазу и конденсация продолжалась, исходная система должна быть пересыщенной. В противном случае конденсация не может происходить, исчезают и зародыши конденсации (путем их испарения, растворения, плавления). Например, в насыщенном паре в результате флуктуаций плотности возникают мельчайшие капельки жидкости, которые тут же испаряются, так как давление пара над ними больше, чем давление насыщенного пара; чтобы происходила конденсация пара, необходимо его пересыщение. Этой же причиной объясняется возможность существования систем в пересыщенных, перегретых, переохлажденных состояниях, которые называются *метастабильными*. Метастабильные состояния впервые были установлены Т. Е. Ловицем (1795 г.) на примере пересыщенных растворов.

Необходимость пересыщения для образования гетерогенной дисперсной системы из гомогенной следует и из того факта, что появление избыточной поверхностной энергии при конденсации должно быть предварительно скомпенсировано избытком энергии Гиббса системы, что и обеспечивается пересыщением.

Степень пересыщения для пара и раствора выражается соотношениями

$$\gamma = p/p_s \text{ и } \gamma = c/c_s \quad (\text{II.206})$$

где p — давление пересыщенного пара; p_s — равновесное давление насыщенного пара над плоской поверхностью жидкости; c — концентрация вещества в пересыщенном растворе; c_s — равновесная растворимость относительно макрокристалла.

В отсутствие инородных ядер конденсации степень пересыщения может достигать больших значений. Например, в высоких слоях атмосферы, где практически отсутствуют частицы пыли, вода в облаках может находиться в жидком состоянии при температуре $-20 \div -40^\circ\text{C}$.

Началу образования новой фазы — возникновению центров конденсации — соответствует определенная критическая степень пересыщения, зависящая как от природы веществ, так и от наличия ядер конденсации. При гомогенной конденсации происходит самопроизвольное образование зародышей; энергия поверхности выступает в качестве потенциального барьера конденсации. Энергию Гиббса образования зародышей выражают (в соответствии с объединенным уравнением первого и второго начал термодинамики) в виде четырех составляющих: энтропийной, механической, поверхностной и химической. Вклад энтропийной составляющей при отсутствии стабилизаторов, как правило, небольшой. Механическая составляющая, отражающая энергию упругой деформации, характерна для

твердых веществ, процесс конденсации которых сопровождается обычно структурными изменениями. Для жидких и газообразных фаз можно ограничиться двумя первыми составляющими энергии Гиббса образования зародышей.

Химическая (объемная) составляющая определяется разностью химических потенциалов вещества в паре μ_p и в конденсированной фазе $\mu_{ж}$:

$$\Delta G^v = n(\mu_{ж} - \mu_p) = (V/V_m)(\mu_{ж} - \mu_p) \quad (II.207)$$

где n — число молей вещества в зародыше; V — объем зародыша; V_m — мольный объем вещества в жидком состоянии.

Приращение поверхностной энергии в результате образования новой поверхности равно: $\Delta G^s = \sigma s$. Полное изменение энергии Гиббса при образовании зародыша конденсации составляет:

$$\Delta G = \Delta G^v + \Delta G^s = (V/V_m)(\mu_{ж} - \mu_p) + \sigma s \quad (II.208)$$

Анализируя полученное уравнение, можно видеть, что если давление пара меньше давления насыщенного пара $p < p_s$, то $\mu_{ж} > \mu_p$, тогда $\Delta G > 0$, т. е. новая фаза не может образоваться самопроизвольно. При условии пересыщения $p > p_s$, $\mu_{ж} < \mu_p$ возникновение новой фазы зависит от соотношения между поверхностной и объемной энергетическими составляющими, первая из которых убывает с уменьшением размера зародыша медленнее (r^2), чем вторая (r^3).

Если зародыш конденсации имеет сферическую форму (радиус r), то уравнение (II.208) принимает вид:

$$\Delta G = (4/3\pi r^3/V_m)(\mu_{ж} - \mu_p) + 4\pi r^2\sigma \quad (II.209)$$

Для исследования зависимости энергии Гиббса образования зародыша от размера зародыша r с целью установления наличия экстремума приравняем производную нулю

$$\partial \Delta G / \partial r = (4\pi r^2_{кр}/V_m)(\mu_{ж} - \mu_p) + 8\pi r_{кр}\sigma = 0$$

откуда следует

$$\mu_p - \mu_{ж} = 2\sigma V_m / r_{кр} \quad (II.210)$$

где $r_{кр}$ — критический радиус зародыша в экстремальной точке.

Выразив химические потенциалы жидкости и ее пара через соответствующие давления пара, получим:

$$\ln \gamma_{кр} = \ln (p_{кр}/p_s) = 2\sigma V_m / (r_{кр}RT) \quad (II.211)$$

где $\gamma_{кр}$ — критическая степень пересыщения.

Таким образом, условие экстремума энергетической зависимости образования зародыша от его размера совпадает с уравнением Кельвина (II.191). При возникновении зародыша конденсации давление пересыщенного пара $p_{кр}$ (критическое) должно быть равно давлению насыщенного пара над по-

верхностью зародыша ρ_d . Размер зародыша при этом условии называют критическим $r_{кр}$.

Чтобы решить вопрос, является ли экстремум исследуемой зависимости максимумом или минимумом, найдем вторую производную от энергии Гиббса:

$$\frac{\partial^2 \Delta G}{\partial r^2} = (8\pi r_{кр} / V_m) (\mu_{ж} - \mu_{п}) + 8\pi\sigma \quad (II.212)$$

Подставим в это уравнение значение разности химических потенциалов из (II.210):

$$\frac{\partial^2 \Delta G}{\partial r^2} = \frac{8\pi r_{кр}}{V_m} \left(-\frac{2\sigma V_m}{r_{кр}} \right) + 8\pi\sigma = -8\pi\sigma \quad (II.213)$$

Отрицательный знак второй производной означает, что функция $\Delta G = f(r)$ проходит через максимум. Эта зависимость представлена на рис. II.27. Из рисунка следует, что энергия Гиббса, которая затрачивается на образование зародыша конденсации с критическим радиусом $r_{кр}$, имеет максимальное положительное значение. Максимум функции свидетельствует о неустойчивом равновесии между двумя фазами в данной точке.

Поведение зародышей конденсации в системах, находящихся в метастабильном состоянии, легко понять, рассматривая зависимость, представленную на рис. II.27 и используя уравнение (II.211), отвечающее равновесию в критической точке. Если степень пересыщения γ меньше критической, то возникающие зародыши самопроизвольно испаряются (растворяются). Их размеры меньше критического, поэтому энергия Гиббса понижается с уменьшением размера зародыша. Пересыщенный раствор или пар в этих условиях иногда удобно представить как гетерогенно-дисперсную систему, в которой присутствует множество постоянно образующихся и исчезающих зародышей новой фазы. В критической точке неустойчивость равновесия проявляется в том, что существует равная вероятность возникновения и исчезновения зародышей конденсации.

Если степень пересыщения больше критической величины, то возникающие зародыши будут самопроизвольно расти. Энергия Гиббса (см. рис. II.27) снижается с увеличением размеров зародышей от критического значения, отвечающего равновесию в соответствии с уравнением Кельвина. Образование новых зародышей прекращается. Данное состояние системы также является неустой-

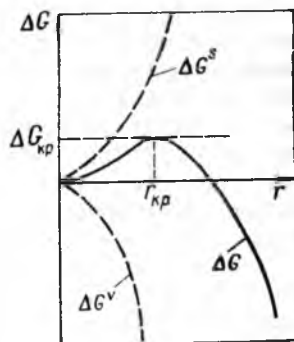


Рис. II.27. Зависимость энергии Гиббса образования зародыша от его радиуса

чивым, так как в системе происходят постоянные процессы роста и исчезновения частиц дисперсной фазы: одна часть частиц растет за счет исчезновения другой части частиц. Более подробно этот процесс рассматривается в разделе об устойчивости дисперсных систем.

Критическая энергия Гиббса образования зародышей конденсации соответствует критической точке — максимуму функции $\Delta G = f(r)$. При этом условии уравнение (II.209) переходит в следующее:

$$\begin{aligned} \Delta G_{кр} &= \frac{4/3 \pi r_{кр}^3}{V_m} \left(- \frac{2\sigma V_m}{r_{кр}} \right) + 4\pi r_{кр}^2 \sigma = \\ &= - 8/3 \pi r_{кр}^2 \sigma + 4\pi r_{кр}^2 \sigma = 4\pi r_{кр}^2 (\sigma - 2/3 \sigma) \\ &\text{или } \Delta G_{кр} = 1/3 \sigma s_{кр} \end{aligned} \quad (\text{II.214})$$

Таким образом, энергия Гиббса образования зародышей при гомогенной конденсации равна одной трети поверхностной энергии зародыша, остальные две трети от работы образования поверхности компенсируются химической составляющей энергии, обусловленной энергетической выгодностью фазового перехода. Подставляя в уравнение (II.214) значение радиуса из (II.211), получим:

$$\Delta G_{кр} = 16\pi \sigma^3 V_m^2 / (3R^2 T^2 \ln^2 \gamma_{кр}) \quad (\text{II.215})$$

Из этого соотношения следует, что энергия образования зародыша конденсации зависит от степени пересыщения, от нее же зависит и размер критического радиуса зародыша. Чем выше степень пересыщения, тем ниже энергия Гиббса образования зародышей и тем меньше размеры образующихся зародышей, способных к дальнейшему росту.

Из соотношения (II.215) видно, что энергия образования зародышей конденсации очень сильно зависит от межфазного натяжения σ , которое может иметь малые значения, особенно в жидких средах. Межфазное натяжение можно снизить до очень малых значений, обеспечив достаточную адгезию частиц со средой. При выводе соотношений (II.208)—(II.215) рассматривался только один зародыш и не учитывалась энтропийная составляющая энергии образования зародышей (возникновение массы зародышей), снижающая энергию образования новой фазы. При малых значениях межфазного натяжения энтропийная составляющая может скомпенсировать поверхностную энергию и обеспечить самопроизвольное диспергирование (отрицательный знак приращения энергии Гиббса образования новой фазы). Подробнее этот вопрос рассматривается в разделе, посвященном устойчивости лиофильных систем.

Параметры образующихся твердых зародышей в жидкой фазе при переохлаждении можно оценить по уравнениям, приведенным для пересыщенного пара. Например, определение

критического размера зародыша проводят по уравнению (II.210), предварительно записав разность химических потенциалов вещества в твердом и жидком состоянии. Так как эта разность равна

$$\begin{aligned} \mu_{ж} - \mu_{т} &= \Delta H_{пл} - T \Delta S_{пл}, \quad \Delta S_{пл} = \Delta H_{пл} / T \\ \text{то } \mu_{ж} - \mu_{т} &= \Delta H_{пл} \Delta T / T_{пл} \end{aligned} \quad (\text{II.216})$$

где $\Delta T = T_{пл} - T$ — переохлаждение.

Подставляя (II.216) в (II.210), получим:

$$r_{кр} = 2\sigma V_{ж} T_{пл} / (\Delta H_{пл} \Delta T) \quad (\text{II.217})$$

т. е. чем больше переохлаждение, тем меньше размер критического зародыша.

Количественные соотношения для гетерогенной конденсации получают подобным же образом. При этом используют представления о смачивании инородной поверхности ядер конденсации (вследствии громоздкости вывода этих соотношений он здесь не приводится). Получаемые соотношения позволяют утверждать, что и при гетерогенной конденсации энергия Гиббса образования зародыша равна одной трети от поверхностной энергии. Процессы адгезии и смачивания (взаимодействия между новой фазой и инородной поверхностью) снижают энергию образования зародышей, и чем сильнее адгезия и смачивание, тем меньшая степень пересыщения необходима для конденсации. Работа процесса гетерогенного зародышеобразования из пересыщенного пара во столько раз меньше работы гомогенного процесса, во сколько объем зародыша — капли на поверхности ядра конденсации меньше объема сферы такой же кривизны.

Появление заряда в метастабильной системе также приводит к снижению энергии Гиббса образования зародышей. В соответствии с уравнением Липпмана (II.97) поверхностное натяжение, например на границе капли с воздухом, снижается с ростом электрического потенциала поверхности, и тем сильнее, чем больше заряд. Таким образом, зародыши, несущие на себе заряд, образуются при меньших степенях пересыщения — давление насыщенного пара над ними меньше получаемого по уравнению (II.211). Этот факт используется для регистрации радиоактивных частиц, которые, попадая в камеру с пересыщенным паром (камеру Вильсона), ионизируют среду на своем пути, что облегчает образование зародышей. Полосы тумана (треки), остающиеся на пути частиц, можно наблюдать или фотографировать при боковом освещении через стеклянное дно камеры.

3. Две стадии образования новой фазы

Исследование кинетики образования новой фазы показывает, что этот процесс состоит из двух последовательных стадий: образования центров конденсации (зародышей) и роста зародышей. Скорости обеих стадий зависят от природы компонентов системы, степени ее пересыщения, переохлаждения и т. д. Обе стадии, в свою очередь, включают зарождение центров конденсации, скорость которого определяется по теории флуктуаций вероятностью образования этого центра, и доставку вещества к центру конденсации, обеспечивающую образование устойчивого зародыша.

В соответствии с современной теорией образования центров конденсации, основанной на флуктуационных представлениях и развитой в трудах М. Фольмера, Р. Беккера, В. Деринга, Я. И. Френкеля и других ученых, скорость зарождения центров конденсации I пропорциональна вероятности ее зарождения

$$I = A_1 \exp \left[- \Delta G_1 / (RT) \right] \quad (II.218)$$

а скорость доставки вещества U к центрам конденсации пропорциональна вероятности «выживания» возникших центров конденсации

$$U = A_2 \exp \left[- E_\eta / (RT) \right] \quad (II.219)$$

где A_1 и A_2 — коэффициенты пропорциональности; ΔG_1 — энергия Гиббса образования зародыша (II.214); E_η — энергия активации вязкого течения, т. е. энергия перехода вещества из исходной фазы на поверхность зародыша.

Так как вязкость системы равна

$$\eta = \eta_0 \exp \left[E_\eta / (RT) \right] \quad (II.220)$$

где η_0 — постоянная, имеющая размерность вязкости,

то скорость доставки вещества к центру конденсации обратно пропорциональна вязкости системы.

Общая скорость образования центров конденсации (зародышей) пропорциональна произведению указанных выше вероятностей, так как характеризует два последовательных процесса. Ее значение меньше скоростей, ее составляющих:

$$v_1 = IU = A_3 \exp \left(- \frac{\Delta G_1}{RT} \right) \exp \left(- \frac{E_\eta}{RT} \right) = A_3 \exp \left(- \frac{\Delta G_1 + E_\eta}{RT} \right) \quad (II.221)$$

где $A_3 = A_1 A_2$ — коэффициент пропорциональности.

Анализ этого уравнения применительно к кристаллизации переохлажденной жидкости показывает, что с ростом степени переохлаждения скорость зарождения центров кристаллизации увеличивается (уменьшается ΔG_1) и уменьшается скорость доставки вещества (увеличивается вязкость). При таком харак-

тере зависимости на кривой изменения скорости образования центров кристаллизации от температуры должен обнаружиться максимум (рис. 11.28). Например, в пиретрине (экстракте из цветочного масла), имеющем температуру плавления 129°C , при отсутствии инородных ядер конденсации центры кристаллизации начинают возникать при температуре ниже 80°C , а максимум скорости образования центров конденсации достигается при 40°C , т. е. при переохлаждении на 90°C .

После формирования центров кристаллизации происходит их дальнейший рост — вторая стадия образования новой фазы, которая протекает практически при любых степенях пересыщения. Рост твердых частиц нельзя рассматривать как простое присоединение молекул к поверхности зародыша, так как вероятность такого присоединения очень мала из-за низкой энергии взаимодействия. Стадия роста зародышей, как и первая стадия, включает процесс возникновения двумерных центров конденсации на поверхности зародыша и доставку вещества к этим центрам, которые вследствие разрастания создают новые слои вещества на зародыше. Отсюда следует, что вывод уравнения для скорости роста зародышей такой же, как и для первой стадии процесса — образования зародышей. Уравнение скорости роста зародышей имеет вид:

$$v_2 = B \exp\left(-\frac{\Delta G_2}{RT}\right) \exp\left(-\frac{E_\eta}{RT}\right) = B \exp\left(-\frac{\Delta G_2 + E_\eta}{RT}\right) \quad (11.222)$$

где B — коэффициент пропорциональности; ΔG_2 — энергия Гиббса образования двумерных центров конденсации; E_η — энергия активации вязкого течения.

Зависимость скорости роста зародышей от степени пересыщения и переохлаждения также должна иметь максимум.

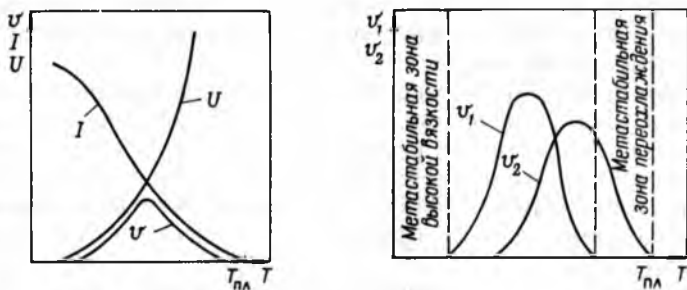


Рис. 11.28. Зависимость скоростей зарождения центров кристаллизации I доставки вещества к ним U и общей скорости образования центров конденсации v в переохлажденной жидкости от температуры

Рис. 11.29. Зависимость скорости образования зародышей v_1 и роста кристаллов v_2 в переохлажденной жидкости от температуры

На рис. II.29 показаны температурные зависимости скоростей образования центров кристаллизации v_1 и роста кристаллов v_2 в переохлажденной жидкости. Соотношение между этими скоростями и взаимное расположение их максимумов определяют характер кристаллизации и структуру продуктов кристаллизации. Температурные области, лежащие по обе стороны от кривой скорости образования центров кристаллизации v_1 , соответствуют метастабильным зонам, в которых самопроизвольная кристаллизация невозможна. В высокотемпературной метастабильной зоне не образуются зародыши (мала степень переохлаждения), но могут расти центры конденсации, внесенные извне, так как температура в этой зоне ниже температуры плавления кристаллизующего вещества. Наличие низкотемпературной метастабильной зоны обусловлено высокой вязкостью системы, которая препятствует доставке вещества к центру кристаллизации, и последний не образуется.

В общем случае максимумы кривых не совпадают, так как ускоряющее действие переохлаждения при образовании центров кристаллизации проявляется сильнее, чем при росте зародышей. Если максимумы расположены близко друг к другу, это значит, что вещество легко кристаллизуется. Такая зависимость характерна для металлов. Если максимумы удалены значительно, то это показывает, что жидкости легко переохлаждаются и могут переходить в стеклообразное состояние. Частичное перекрывание кривых отражает тот факт, что вещество можно получить в зависимости от условий как в стеклообразном, так и в кристаллическом состоянии (селен, сера). Переохлаждению способствует структура веществ, содержащая направленные под определенными углами ковалентные связи. В таких веществах мала вероятность удачных столкновений молекул и атомов. Для металлических расплавов этот фактор при образовании зародышей не играет большой роли, именно поэтому они не переохлаждаются и переходят сразу в кристаллическое состояние.

Значительное увеличение вязкости при понижении температуры вызывает уменьшение как скорости образования зародышей, так и скорости их роста. Поэтому, например, глицерин очень легко переохлаждается. При температуре замерзания его вязкость чрезвычайно высокая, что затрудняет движение молекул, необходимое для их правильной ориентации при флуктуациях плотности.

Смеси веществ кристаллизуются значительно хуже, чем индивидуальные жидкие вещества. Это объясняется тем, что образование новой фазы происходит в том случае, когда одновременно могут собраться и расположиться в определенном порядке относительно много однородных молекул. Такая возможность уменьшается в смесях разных жидкостей.

Вероятность образования новой фазы в значительной мере зависит и от скорости переохлаждения или пересыщения. При быстром переохлаждении зародыши новой фазы не успевают образоваться и система переходит в стеклообразное состояние.

При наличии в переохлажденных жидкостях или расплавах инородных ядер конденсации резко снижается энергетический барьер зарождения новой фазы, увеличивается скорость образования зародышей и повышается вероятность образования кристаллической структуры.

Возможность изменения скорости образования зародышей и их роста позволяет управлять степенью дисперсности в системе. При низкой скорости образования зародышей и высокой скорости их роста, что реализуется при малых степенях пересыщения или переохлаждения, возникает небольшое число крупных частиц. При высокой скорости образования зародышей и низкой скорости их роста, что происходит при больших степенях пересыщения, получается много мелких частиц.

Как правило, при малой растворимости веществ достигаются большие степени пересыщения и меньшие скорости доставки вещества (мал градиент концентраций), что обуславливает образование высокодисперсной системы. Увеличение растворимости (снижается пересыщение и растет градиент концентраций) приводит к образованию системы с крупными частицами. Если возникновение зародышей и их рост происходит длительное время, то получается полидисперсная система, ибо одни зародыши только формируются, другие — растут с момента начала зарождения новой фазы. Отсюда следует, что ограничение времени образования новой фазы и внесение зародышей извне способствуют получению монодисперсной системы. Дисперсность можно регулировать также изменением вязкости и внесением различных поверхностно-активных веществ, адсорбирующихся на поверхности зародышей и тормозящих их рост. Добавлением некоторых веществ можно вообще предотвратить самопроизвольное гомогенное образование зародышей.

4. Примеры получения свободнодисперсных систем

Наиболее распространенными свободнодисперсными системами являются порошки и суспензии. Измельченные руды, химическое сырье, многие полупродукты, цемент, минеральные соли и удобрения, металлические порошки в порошковой металлургии, промежуточные материалы керамического производства и т. д. — все это порошки и суспензии, которые получают различными методами. Особенно разнообразны технологические методы получения металлических порошков, которые должны обладать заданным комплексом свойств (состав, удельная поверхность, форма частиц, текучесть, насыпная плотность, прессуемость и др.).

Промышленные методы получения порошков и суспензий делят на физико-механические и физико-химические. К физико-механическим методам относятся дробление и измельчение твердых материалов и распыление жидких сред, т. е. диспергирование. В ходе осуществления этих методов химический состав материала не изменяется. При физико-химических методах получения порошков и суспензий химический состав материала изменяется. К таким методам получения металлических порошков относят восстановление оксидов и других соединений металлов, электролиз водных растворов и расплавов солей, термическую диссоциацию и др. Выбор метода зависит от природы материала, назначения порошка и экономических факторов.

Часто основной целью при физико-механических методах получения порошков или суспензий ставят достижение определенной дисперсности материала, поэтому главное внимание уделяют облегчению его измельчения. Для этого применяют понизители твердости (эффект Ребиндера), а также проводят предварительную обработку материала. Например, для придания хрупкости титану и танталу их нагревают в атмосфере водорода и переводят в гидриды, которые после измельчения при нагревании в вакууме разлагаются до чистого металлического порошка.

При получении чешуйчатых порошков, которые вводят в состав красок и пиротехнических средств, главное внимание обращают на выбор измельчающего аппарата. Обычно для этой цели используют шаровую мельницу. Шары расплющивают и прокатывают частицы пластических материалов, в частности металлов и сплавов (алюминий, бронза). Порошки с частицами сферической формы из тугоплавких металлов (вольфрам, молибден, ниобий) получают в низкотемпературной плазме дугового и высокочастотного разряда. Проходя зону плазмы, частицы плавятся и округляются под действием поверхностного натяжения, затем охлаждаются и затвердевают. Порошки с частицами сферической формы получают так же, проводя плавление частиц в среде инертных материалов.

Методом распыления жидких сред можно получать аэрозоли, например при сжигании жидкого топлива в форсунках, а также порошки легкоплавких металлов и сплавов (свинец, олово, алюминий и др.). Распыление можно проводить с помощью воздуха, газов, паров, а также во вращающихся турбинах и дисках.

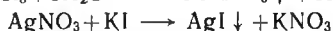
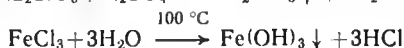
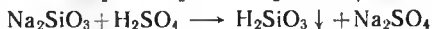
Из физико-химических методов получения порошков и суспензий наиболее распространен метод осаждения из растворов. Этим методом (относящимся к конденсационным) получают суспензии и порошки различных веществ. Сначала после осаждения в жидкой среде образуются суспензии, а после фильтрации и сушки — порошки.

Осаждение может быть осуществлено путем упаривания или понижения растворимости веществ. Растворимость можно уменьшить заменой (частичной) растворителя или переводом компонента в менее растворимое соединение с помощью различных химических реакций. К конденсационным химическим методам относится производство сажи и «белой сажи» (аэросила). Сажу получают сжиганием углеводородов до элементного углерода, а аэросил — сжиганием тетрахлорида кремния до SiO_2 . По обоим методам высокая дисперсность продуктов обеспечивается большой степенью пересыщения их паров.

Из физико-химических методов получения металлических порошков в промышленности широко используется также метод восстановления оксидов металлов с помощью природного газа, водорода, твердых восстановителей. Водород, как более дорогой реагент, применяется для трудновосстанавливаемых оксидов вольфрама, молибдена, никеля, кобальта и др. Высокодисперсные порошки металлов и сплавов высокой степени чистоты получают электролизом водных растворов солей. Широкое распространение имеет производство высокодисперсных металлических порошков из карбониллов $\text{M}_x(\text{CO})_4$ — летучих соединений, образующихся при обработке металлов оксидом углерода при ≈ 200 атм и $\approx 200^\circ\text{C}$. При нагревании карбонилы, испаряясь и разлагаясь, образуют мелкий металлический порошок (термиче-

ская диссоциация), а соприкасаясь с нагретой поверхностью, покрывают ее слоем металла.

Классическим примером получения гидрозолей является производство водных кремнезолей, или коллоидного кремнезема, который находит широкое применение. Метод основан на конденсации кремниевой кислоты при увеличении кислотности раствора силиката. Образующиеся частицы могут иметь размеры от 5 до 100 нм и более. Методы получения гидрозолей, как правило, основаны на образовании мало растворимых в воде соединений с помощью реакций восстановления, окисления, гидролиза, обмена и других, например:



Устойчивые золи получают в присутствии стабилизаторов, которые предохраняют частицы от слипания и осаждения.

Аэрозоли с жидкой дисперсной фазой — туманы (природные и промышленные) — образуются из пересыщенного пара в результате понижения температуры парогазовой смеси или повышения ее давления. Повышение давления и образование пересыщенного пара может происходить вследствие химической реакции между газообразными веществами при их смешивании. Понижение температуры может быть вызвано смешиванием с холодным газом, соприкосновением с холодными поверхностями или адиабатическим расширением, при котором влияние температуры на степень пересыщения больше обратного эффекта, связанного с уменьшением давления. Обычно на практике изменение температуры и давления происходит одновременно.

III. АДСОРБЦИОННЫЕ РАВНОВЕСИЯ

А. АДСОРБЦИЯ ГАЗОВ И ПАРОВ НА ОДНОРОДНОЙ ПОВЕРХНОСТИ

1. Адсорбционные взаимодействия при физической адсорбции

С термодинамической точки зрения адсорбция является самопроизвольным процессом выравнивания химических потенциалов веществ в объеме системы и межфазном (поверхностном) слое. Этот процесс происходит вследствие стремления к минимуму поверхностной энергии или энергии Гиббса всей системы.

Адсорбцию можно рассматривать как взаимодействие молекул адсорбата с активными центрами поверхности адсорбента. Такое представление этого явления оказалось достаточно общим и удобным, особенно для адсорбции на твердых адсорбентах, когда возникают трудности экспериментального определения межфазного натяжения. Кроме того, такая интерпретация адсорбции открывает возможность изучения природы адсорбционного взаимодействия. Если отсутствует химическое

взаимодействие адсорбата с адсорбентом, то адсорбция, как правило, является результатом самопроизвольного уменьшения поверхностной энергии системы, выражающегося в компенсации поля поверхностных сил. При наличии специфического средства адсорбата к адсорбенту, адсорбция обусловлена самопроизвольным уменьшением энергии Гиббса всей системы, что может привести даже к увеличению поверхностной энергии. Это возможно в том случае, если изменение химической составляющей энергии Гиббса системы больше изменения поверхностной энергии. При химической адсорбции между адсорбатом и адсорбентом образуется химическая связь, и они теряют индивидуальность.

Процессы адсорбции классифицируют в соответствии с типом взаимодействия адсорбата с адсорбентом. Физико-химическая классификация основывается на том положении, что перераспределение компонентов между объемной фазой и поверхностным слоем может происходить под действием физических сил или в результате химической реакции между адсорбатом и адсорбентом. Химическую реакцию в этом случае можно представить либо как химическое присоединение атомов (молекул), либо как ионообменное взаимодействие. Таким образом, согласно физико-химической классификации различают *физическую (молекулярную) адсорбцию*, *хемосорбцию* (химическое присоединение атома, молекулы) и *ионный обмен*. В данном разделе рассматривается, главным образом, физическая адсорбция газов и паров.

При физической адсорбции взаимодействие адсорбента и адсорбата осуществляется за счет сил Ван-дер-Ваальса и водородных связей. Эти адсорбционные силы обеспечивают притяжение атомов (молекул); на очень близком расстоянии проявляются короткодействующие силы отталкивания.

Напомним, что силы Ван-дер-Ваальса включают три вида взаимодействия. Основным из них является дисперсионное взаимодействие, проявляющееся между неполярными молекулами. Это так называемый дисперсионный эффект (действие сил Лондона). Силы взаимодействия между неполярными молекулами возникают вследствие того, что флуктуации электронной плотности в одном атоме индуцируют подобные флуктуации в соседнем атоме. Резонанс таких флуктуаций приводит к уменьшению общей энергии системы, обусловленному притяжением атомов. Очевидно, что такие силы имеют общий характер и могут возникать между любыми атомами, что и объясняет их универсальность.

Межмолекулярное дисперсионное взаимодействие усиливается при наличии у молекул постоянных диполей. Диполь-дипольное взаимодействие (действие сил Кеезома) называется ориентационным эффектом. Чем больше дипольные моменты взаимодействующих молекул, тем больше составляющая ориентационного эффекта.

При взаимодействии между полярной и неполярной молекулами проявляется индукционный эффект (действие сил Дебая). Индукционные силы способствуют усилению притяжения благодаря тому, что полярная молекула

индуцирует диполь в неполярной молекуле. Этот эффект тем значительнее, чем больше поляризуемость молекул.

Если оценить вклады отдельных эффектов, обусловленных действием составляющих ван-дер-ваальсовых сил, в общую энергию притяжения молекул, то оказывается, что доля индукционного эффекта составляет не более 5%. Доля ориентационного эффекта в значительной степени зависит от дипольных моментов взаимодействующих молекул, но даже для молекул, обладающих очень большими дипольными моментами, например, для молекул аммиака и воды, ориентационный эффект приблизительно равен дисперсионной составляющей. Таким образом, для молекул с небольшими дипольными моментами основной вклад в энергию взаимодействия вносят дисперсионные силы. Характерно, что для всех трех составляющих сил Ван-дер-Ваальса выполняется один и тот же закон изменения энергии притяжения от расстояния

$$U_{пр}(r) = -C/r^6 \quad (III.1)$$

где C — константа, которая рассчитывается по соответствующим для каждого эффекта формулам.

На очень близких расстояниях при перекрывании электронных оболочек атома возникает отталкивание, энергию которого представляют эмпирическим соотношением

$$U_{от}(r) = b/r^m \quad (III.2)$$

где b — эмпирическая константа; m — константа, обычно принимаемая равной 12; такое большое значение показателя степени показывает на необходимость учета сил отталкивания только на очень близких расстояниях.

Полную потенциальную энергию двух взаимодействующих атомов (молекул) удовлетворительно описывает уравнение Леннарда — Джонса, объединяющее соотношения (III.1) и (III.2):

$$U(r) = b/r^{12} - C/r^6 \quad (III.3)$$

При адсорбции происходит взаимодействие между атомом (молекулой) адсорбата с поверхностью адсорбента, т. е. с большим числом атомов (молекул) адсорбента. Поэтому зависимость энергии притяжения при адсорбции от расстояния иная, чем описываемая по уравнению (III.3). Это объясняется тем, что дисперсионные силы, вносящие основной вклад во взаимодействие, обладают свойством аддитивности. Поэтому если один атом взаимодействует с системой атомов из 2, 3, 4 и т. д. атомов, то энергия взаимодействия соответственно в 2, 3, 4 и т. д. раз больше, чем энергия двух взаимодействующих атомов (III.1).

Таким образом, чтобы рассчитать энергию взаимодействия при адсорбции, необходимо провести суммирование энергий взаимодействия адсорбирующегося атома с каждым атомом ад-

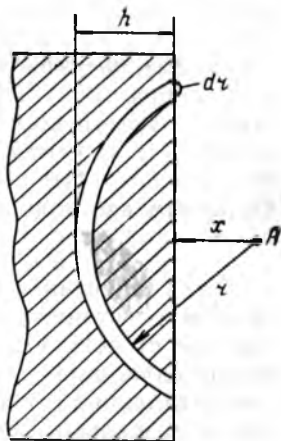


Рис. III.1. К определению энергии притяжения атома А твердым адсорбентом

сорбента. Расчет упрощается при замене суммирования на интегрирование. При этом необходимо предположить, что поверхность адсорбента имеет бесконечно большую площадь по сравнению с площадью, занимаемой адсорбированным атомом (молекулой) и что действуют только аддитивные дисперсионные силы. На рис. III.1 представлена схема, поясняющая расчет энергии указанного взаимодействия. Величина x обозначает расстояние адсорбирующегося атома A от поверхности адсорбента, а r — расстояние атома A от отдельных атомов адсорбента. Так как общая энергия взаимодействия при адсорбции $U_{\text{адс}}$ определяется суммой энергии взаимодействия адсорбированного атома со всеми атомами в объеме адсорбента, то

$$dU_{\text{адс}} = U_{\text{пр}} n dV \quad (\text{III.4})$$

где n — число атомов (молекул) в единице объема адсорбента; dV — приращение объема адсорбента.

Величину dV можно определить через поверхность шарового сегмента:

$$s = 2\pi r h \text{ или } s = 2\pi r(r - x)$$

Тогда

$$dV = 2\pi r(r - x) dr \quad (\text{III.5})$$

Подставляя в уравнение (III.4) выражение величин $U_{\text{пр}}$ и dV из уравнений (III.1) и (III.5), получим:

$$dU_{\text{адс}} = -\frac{C}{r^6} n 2\pi r(r - x) dr = -\frac{2\pi Cn}{r^5} (r - x) dr$$

Проведем интегрирование в пределах расстояния от $r=x$ до $r=\infty$

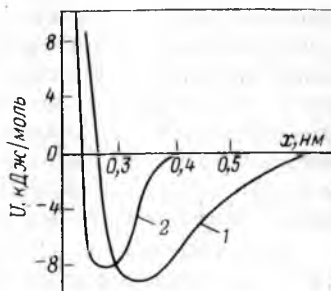
$$\begin{aligned} U_{\text{адс}} &= -2\pi Cn \int_x^{\infty} \frac{r-x}{r^5} dr = -2\pi Cn \left(\int_x^{\infty} \frac{dr}{r^4} - \int_x^{\infty} \frac{x dr}{r^5} \right) = \\ &= -2\pi Cn \left(\frac{1}{3x^3} - \frac{x}{4x^4} \right) = -2\pi Cn \frac{1}{12x^3} \end{aligned}$$

Окончательно получим:

$$U_{\text{адс}} = -\pi Cn / (6x^3) \quad (\text{III.6})$$

Итак, энергия притяжения при адсорбции убывает с увеличением расстояния, причем $U_{\text{адс}}$ зависит от расстояния x в третьей степени вместо шестой, как это имеет место при взаимодействии двух атомов. Такая зависимость указывает на более медленное уменьшение энергии притяжения при адсорбции и на дальное действие адсорбционных сил.

Рис. III.2. Потенциальные кривые адсорбции аргона на графите (1) и взаимодействия атомов аргона и углерода (2)



Уравнение (III.6) было использовано Лондоном, а затем и другими учеными для экспериментального доказательства дисперсионной природы адсорбционных сил и связи энергии адсорбции со свойствами адсорбированных молекул и адсорбента.

Полную потенциальную энергию взаимодействия при адсорбции можно выразить уравнением

$$U(x) = b/x^m - \pi Cn/(6x^3). \quad (\text{III.7})$$

На рис. III.2 приведена зависимость потенциальной энергии взаимодействия атома аргона с поверхностью графита от расстояния (кривая 1); для сравнения показана кривая взаимодействия отдельных атомов аргона и углерода (кривая 2). Кривые 1 и 2 подобны, однако, как следует из рисунка, действие адсорбционных сил простирается на более дальнее расстояние. При расчете кривых расстояния x и r были выбраны произвольно. В точке минимума кривых производные $dU/dx = 0$, т. е. сила взаимодействия $F = dU/dx = 0$, что означает, равновесие адсорбции в данной точке. Потенциальная энергия системы в точке минимума практически равна энергии адсорбции.

Из рассмотрения природы адсорбционного взаимодействия вытекает практически важный вывод о значительно лучшей адсорбции веществ в трещинах и порах, когда проявляется преимущественно дисперсионное взаимодействие, так как вблизи адсорбированной молекулы находится большее число атомов твердого тела. Кроме того, из уравнений (III.6) и (III.7) следует, что чем большее число атомов содержит молекула адсорбата, тем с большей энергией она будет притягиваться к адсорбенту. Если же в адсорбционное взаимодействие значительный вклад вносят электростатические силы, то в щелях и порах положительные и отрицательные заряды компенсируют друг друга и наибольший потенциал оказывается на выступах, где и будет преобладать адсорбция, особенно при образовании водородных связей (адсорбция воды, метанола и др.).

2. Закон Генри

Общим термодинамическим уравнением адсорбции является фундаментальное адсорбционное уравнение Гиббса (II.63), связывающее изменения поверхностного натяжения и химиче-

ских потенциалов компонентов системы. В данном разделе представлено рассмотрение распределения вещества между объемом и поверхностным слоем с термодинамических позиций путем перехода от химических потенциалов (адсорбционного потенциала) к термодинамическим активностям. Очевидно, такое рассмотрение справедливо как для систем с газовой (паровой) фазой, так и для растворов, и оно не связано с изменением поверхностного натяжения.

Закономерности адсорбции, описанные ниже, легко получить, если поверхностный слой представить как отдельную фазу, в которой активности адсорбата в отдельных участках адсорбционного поля автоматически выравниваются, как это происходит на границе раздела жидкость — газ или жидкость — жидкость. Поверхность твердых тел, как правило, неоднородна геометрически (шероховатость, наличие дефектов) и химически, и чтобы получить простейшие закономерности адсорбции, необходимо предположить, что поверхность адсорбента однородна и распределение адсорбата происходит в мономолекулярном слое. Итак, если поверхностный слой представить как отдельную фазу, то можно рассматривать процесс перераспределения вещества как выравнивание химических потенциалов распределяемого вещества в адсорбционном слое $\bar{\mu}$ и в объеме μ до $\bar{\mu} = \mu$.

Используя определение термодинамической активности

$$\bar{\mu} = \bar{\mu}^\circ + RT \ln \bar{a} \quad \text{и} \quad \mu = \mu^\circ + RT \ln a$$

получим при условии равновесия

$$\bar{a}/a = \exp\left(-\frac{\bar{\mu}^\circ - \mu^\circ}{RT}\right) = K_\Gamma \quad (\text{III.8})$$

где $\bar{\mu}^\circ$ и μ° — химический потенциал распределяемого вещества в адсорбционном слое и в объеме в стандартных состояниях соответственно; \bar{a} и a — активности распределяемого вещества в адсорбционном слое и объеме соответственно; K_Γ — константа распределения, называемая *константой Генри*; она не зависит от концентрации.

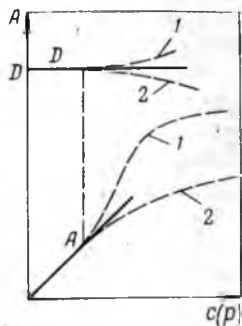
Для неэлектролитов (в том числе для газов, паров) $a = c\gamma$ и тогда

$$\frac{A\bar{\gamma}}{c\gamma} = K_\Gamma. \quad A = K_\Gamma c\gamma/\bar{\gamma} \quad \text{или} \quad D = A/c = K_\Gamma\gamma/\bar{\gamma} \quad (\text{III.9})$$

где A — величина адсорбции — концентрация адсорбата в адсорбционном слое или количество вещества в адсорбционном слое, приходящееся на единицу поверхности (на единицу массы адсорбента); c — концентрация в объеме; $\bar{\gamma}$ и γ — коэффициент активности адсорбата в адсорбционном слое и объеме соответственно; D — коэффициент распределения.

Уравнения (III.8) и (III.9) в общем виде отражают изотерму адсорбции при любых концентрациях. Однако коэффициен-

Рис. III.3. Изотерма адсорбции Генри:
1 и 2 — соответственно положительные и отрицательные отклонения от закона Генри



ты активности, как и величина адсорбции, зависят от концентрации, а вид зависимости чаще всего неизвестен. (Поведение электролитов будет рассмотрено при описании адсорбции из растворов.)

Так как для бесконечно разбавленных растворов (при малом давлении газов, паров) коэффициенты активности равны единице, то на основании уравнения (III.9) можно сформулировать следующую закономерность: при разбавлении системы (уменьшение давления) коэффициент распределения стремится к постоянному значению, равному константе распределения Генри. В этом и состоит закон Генри. Относительно величины адсорбции A этот закон запишется так:

$$A = K_{\Gamma}c, \quad A = K'_{\Gamma}p \quad (\text{III.10})$$

где p — давление газа или пара, которое связано с концентрацией согласно уравнению Клапейрона — Менделеева для идеального газа $p = cRT$, т. е. $K_{\Gamma} = K'_{\Gamma}RT$.

Уравнения (III.10) представляют собой изотермы адсорбции вещества при малых концентрациях. В соответствии с ними закон Генри можно сформулировать так: величина адсорбции при малых давлениях газа (концентрациях вещества в растворе) прямо пропорциональна давлению (концентрации). Эта зависимость показана на рис. III.3. При адсорбции на твердых адсорбентах область действия этого закона мала из-за неоднородности поверхности. Но даже на однородной поверхности с увеличением концентрации вещества или давления пара обнаруживается отклонение от линейной зависимости. Это связано с тем, что, например, при положительной адсорбции концентрация вещества в поверхностном слое растет быстрее, чем увеличение ее в объеме, соответственно коэффициенты активности адсорбата на поверхности адсорбента раньше начинают отклоняться от единицы. При малых концентрациях распределяемого вещества отклонения от закона Генри обусловлены, главным образом, соотношением между взаимодействиями молекул друг с другом и с поверхностью адсорбента. Если больше когезионное взаимодействие адсорбата, то отклонение от закона Генри *отрицательное* — коэффициенты активности меньше единицы (положительное отклонение от закона Рауля), и коэффициент распределения D увеличивается (кривая 1 на рис. III.3); если же сильнее взаимодействие адсорбат — адсорбент, то отклонение от закона Генри *положительное* (отри-

цательное отклонение от закона Рауля) и коэффициент распределения уменьшается (кривая 2).

При дальнейшем увеличении концентрации адсорбата или давления его пара свободная поверхность адсорбента уменьшается, что влечет за собой снижение его реакционной способности, выражающееся в росте коэффициентов активности адсорбата на поверхности адсорбента (кривые на рис. III.3 загибаются к оси абсцисс).

Коэффициенты активности адсорбата в поверхностном слое могут быть определены из экспериментальной изотермы адсорбции. Константу Генри получают экстраполяцией коэффициента распределения на нулевую концентрацию. Если известны коэффициенты активности распределяемого вещества в объеме, то по уравнению (III.9) легко определить коэффициенты активности компонента в адсорбционном слое. Обратная задача, т. е. получение изотермы адсорбции, требует знания закономерностей изменения коэффициентов активности из независимых экспериментов. Решение этой задачи — сложное и трудоемкое.

В соответствии с правилом фаз Гиббса (II.169), равновесные параметры гетерогенных систем зависят от дисперсности (или удельной поверхности). Для адсорбционных систем эта зависимость выражается в уменьшении концентрации вещества в объеме с увеличением удельной поверхности адсорбента. Если в такой системе содержание распределяемого вещества постоянно, то

$$Ams_{уд} + cV = B$$

где m — масса адсорбента; $s_{уд}$ — удельная поверхность адсорбента; V — объем фазы, из которой извлекается вещество; B — постоянное количество вещества в системе.

С учетом уравнения (III.10) концентрация вещества в объемной фазе равна

$$c = \frac{B}{K_Г ms_{уд} + V} \quad (III.11)$$

Из соотношения (III.11) следует, что с увеличением удельной поверхности (дисперсности) при постоянном количестве адсорбата в системе концентрация его в объеме уменьшается и тем сильнее, чем больше константа Генри и меньше объем фазы.

3. Мономолекулярная адсорбция. Изотерма адсорбции Ленгмюра

Отклонения от закона Генри, выражаемые изменениями коэффициентов активности в фазах, обычно не позволяют описать и прогнозировать ход изотерм с увеличением концентрации

(давления) адсорбата. Чтобы получить теоретическую изотерму адсорбции, описывающую более широкую область концентраций, необходимо использование представлений о механизме адсорбции и конкретных моделей.

Изменения коэффициентов активности (или фугитивности) с концентрацией (давлением) в объеме часто не являются значительными и отклонения от закона Генри в основном обусловлены существенной зависимостью коэффициентов активности адсорбата от его концентрации в поверхностном слое, (т. е. от величины адсорбции или степени заполнения поверхности). Оказалось, что большую долю отклонений коэффициента активности адсорбата в поверхностном слое от единицы можно учесть, используя представление об адсорбции как о квазихимической реакции между адсорбатом и адсорбционными центрами поверхности адсорбента. В этом заключается основная идея *адсорбционной теории Ленгмюра*, которая явилась фундаментальным вкладом в учение об адсорбции. Эта теория позволяет учесть наиболее сильные отклонения от закона Генри, связанные с ограниченностью поверхности адсорбента. Ограниченность этого параметра приводит к адсорбционному насыщению поверхности адсорбента по мере увеличения концентрации распределяемого вещества. Это положение является основным в теории Ленгмюра и уточняется следующими допущениями: 1) адсорбция локализована (молекулы не перемещаются по поверхности) на отдельных адсорбционных центрах, каждый из которых взаимодействует только с одной молекулой адсорбата; в результате образуется мономолекулярный слой; 2) адсорбционные центры энергетически эквивалентны — поверхность адсорбента эквипотенциальна; 3) адсорбированные молекулы не взаимодействуют друг с другом.

Для получения уравнения изотермы обратимся к основному положению теории Ленгмюра. Примем, что при адсорбции происходит квазихимическая реакция между распределяемым компонентом и адсорбционными центрами поверхности:



где \bar{A} — адсорбционные центры поверхности; B — распределяемое вещество; \bar{AB} — комплекс, образующийся на поверхности.

По мере увеличения концентрации (давления) вещества B реакция сдвигается в сторону образования комплекса и свободных адсорбционных центров становится меньше. Константа адсорбционного равновесия (без учета коэффициентов активности реагирующих веществ) равна

$$K = \bar{c}_{AB} / (\bar{c}_A \cdot c_B) \quad (III.12)$$

В этом соотношении

$$\bar{c}_{AB} = A \quad \text{и} \quad \bar{c}_A = A_0 = A_\infty - A \quad (III.13)$$

где A — величина адсорбции; A_{∞} — емкость адсорбционного монослоя, или число адсорбционных центров, приходящихся на единицу площади поверхности или на единицу массы адсорбента; A_0 — число оставшихся свободными адсорбционных центров, приходящихся на единицу площади поверхности или на единицу массы адсорбента.

Подставляя уравнение (III.13) в уравнение (III.12), получим:

$$K = \frac{A}{(A_{\infty} - A)c} \quad \text{или} \quad A = A_{\infty}Kc - AKc$$

Окончательно имеем:

$$A = A_{\infty} \frac{Kc}{1 + Kc} \quad (\text{III.14})$$

Выражение (III.14) называется *уравнением изотермы мономолекулярной адсорбции Ленгмюра*. Так как концентрации газов и паров практически пропорциональны парциальным давлениям, то для них изотерма адсорбции Ленгмюра принимает вид:

$$A = A_{\infty} \frac{K_p p}{1 + K_p p} \quad (\text{III.15})$$

Необходимо отметить, что константа адсорбционного равновесия в уравнении Ленгмюра (K и K_p) характеризует энергию взаимодействия адсорбата с адсорбентом (химическое сродство ΔG°). Чем сильнее это взаимодействие, тем больше константа адсорбционного равновесия ($\Delta G^{\circ} = -RT \ln K$).

Адсорбционное уравнение Ленгмюра часто представляют относительно степени заполнения поверхности — отношения величины адсорбции A к емкости монослоя A_{∞} :

$$\theta = \frac{A}{A_{\infty}} = \frac{Kc}{1 + Kc} = \frac{c}{K' + c} \quad (\text{III.16})$$

где $K' = 1/K$.

Типичная изотерма адсорбции Ленгмюра показана на рис. III.4. Важны экстраполяционные следствия из соотношений (III.14)—(III.16). При малых концентрациях или давлениях, когда $c \rightarrow 0$, получаем:

$$A = A_{\infty}Kc \quad \text{и} \quad \theta = Kc \quad (\text{III.17})$$

Выражения (III.17) соответствуют закону Генри ($A_{\infty}K = K_F$): величина адсорбции линейно растет с увеличением концентрации. Таким образом, уравнение Ленгмюра является более общим соотношением, включающим и уравнение Генри. При больших концентрациях и давлениях, когда $Kc \gg 1$ и $K_p p \gg 1$, уравнения (III.14)—(III.16) переходят в соотношения

$$A = A_{\infty} \quad \text{и} \quad \theta = 1 \quad (\text{III.18})$$

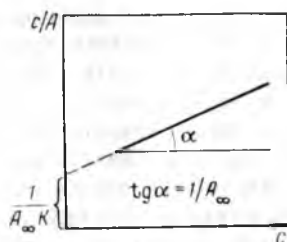
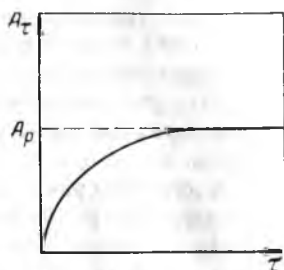


Рис. III.4. Изотерма адсорбции Ленгмюра

Рис. III.5. Изотерма адсорбции в координатах линейной формы уравнения Ленгмюра

Соотношения (III.18) отвечают состоянию насыщения, когда вся поверхность адсорбента покрывается мономолекулярным слоем адсорбата. Экспериментальное определение A_∞ позволяет рассчитать удельную поверхность адсорбента (поверхность единицы массы адсорбента):

$$s_{уд} = A_\infty N_A \omega_0 \quad (III.19)$$

где A_∞ — предельная адсорбция, выражаемая числом молей адсорбата на единицу массы адсорбента; N_A — число Авогадро; ω_0 — площадь, занимаемая одной молекулой адсорбата.

Интересна зависимость доли свободной поверхности адсорбента от концентрации адсорбата при больших степенях заполнения поверхности:

$$\theta_0 = 1 - \theta = 1 - \frac{Kc}{1 + Kc} = \frac{1}{1 + Kc}$$

При больших степенях заполнения $Kc \gg 1$ и

$$\theta_0 = 1/(Kc) \quad (III.20)$$

Из уравнения (III.20) видно, что при больших степенях заполнения доля свободной поверхности обратно пропорциональна концентрации адсорбата в объеме.

Экспериментальные результаты по определению изотермы адсорбции обычно обрабатывают с помощью уравнения Ленгмюра, записанного в линейной форме [числитель (III.14) переносят в знаменатель, а знаменатель — в числитель]:

$$\frac{1}{A} = \frac{1}{A_\infty} + \frac{1}{A_\infty K} \cdot \frac{1}{c} \quad (III.21)$$

Умножив на AA_∞ , получим

$$A = A_\infty - (1/K)D \quad (III.22)$$

или

$$c/A = 1/(A_\infty K) + c/A_\infty \quad (III.23)$$

Такие линейные зависимости позволяют графически определить оба постоянных параметра (A_∞ и K) адсорбционной изотермы. На рис. III.5 представлена типичная изотерма адсорбции в координатах уравнения (III.23). Экстраполяция зависимости до оси ординат дает отрезок, равный $1/(A_\infty K)$, а тангенс угла наклона прямой α равен $1/A_\infty$.

При адсорбции газов из их смесей в соответствии с уравнением изотермы Ленгмюра величины адсорбции суммируются, а концентрация свободных центров A_0 является общей для равновесной многокомпонентной системы. Константы равновесия адсорбции для каждого газа выразятся так:

$$K_1 = \frac{A_1}{A_0 p_1}; \quad K_2 = \frac{A_2}{A_0 p_2}; \quad K_3 = \frac{A_3}{A_0 p_3} \text{ и т. д.}$$

откуда величина адсорбции каждого компонента будет равна

$$A_1 = A_0 K_1 p_1; \quad A_2 = A_0 K_2 p_2; \quad A_3 = A_0 K_3 p_3 \text{ и т. д.}$$

Степень заполнения для i -го компонента составит:

$$\theta_i = \frac{A_i}{A_{\text{ис}}} = \frac{A_i}{A_0 + \sum_1^n A_i} = \frac{A_0 K_i p_i}{A_0 + \sum_1^n A_0 K_i p_i}$$

Окончательно получим

$$\theta_i = \frac{K_i p_i}{1 + \sum_1^n K_i p_i} \quad (\text{III.24})$$

Из уравнения (III.24) следует, что увеличение парциального давления одного компонента подавляет адсорбцию других, и тем сильнее, чем больше его адсорбционная константа равновесия.

Все рассмотренные до сих пор уравнения справедливы для мономолекулярной адсорбции, протекающей на адсорбенте с энергетически эквивалентными адсорбционными центрами. Однако реальные поверхности твердых тел, как правило, не обладают такими свойствами. Для приближения к реальным условиям целесообразно рассмотреть возможные распределения адсорбционных центров поверхности адсорбента по энергиям. Приняв линейное распределение адсорбционных центров по энергиям (теплота адсорбции линейно зависит от заполнения поверхности θ), М. И. Темкин, используя уравнение Ленгмюра, получил следующее уравнение для средних степеней заполнения адсорбента:

$$\theta = \frac{1}{\alpha} \ln K_0 + \frac{1}{\alpha} \ln p \quad \text{или} \quad \theta = \frac{1}{\alpha} \ln K_0 p \quad (\text{III.25})$$

где a — постоянная, характеризующая линейное распределение; K_0 — константа в уравнении Ленгмюра, отвечающая максимальной теплоте адсорбции.

Уравнение (III.25) обычно называется *логарифмической изотермой адсорбции*.

Если принять экспоненциальное распределение неоднородностей поверхности (теплота адсорбции представляет собой логарифмическую функцию заполнения поверхности θ), то, как показал Я. Б. Зельдович, в области средних заполнений получается ранее найденное эмпирически уравнение Фрейндлиха:

$$A = K p^{1/n} \quad (\text{III.26})$$

где K и n — постоянные.

Уравнение Фрейндлиха широко используется при обработке экспериментальных адсорбционных данных, в том числе в инженерных расчетах. Чаще всего оно применяется в логарифмической форме

$$\ln A = \ln K + 1/n \ln p \quad (\text{III.27})$$

позволяющей построить линейную зависимость $\ln A \rightarrow \ln p$ и графически определить оба постоянных параметра K и n .

4. Теория полимолекулярной адсорбции БЭТ

Уравнение Ленгмюра можно использовать только при условии, что адсорбция вещества сопровождается образованием мономолекулярного слоя. Это условие выполняется достаточно строго при хемосорбции, физической адсорбции газов при небольших давлениях и температурах выше критической (в отсутствие конденсации на поверхности адсорбента), а также при адсорбции из растворов. Указанное ограничение для применения уравнения Ленгмюра связано не столько с формальным описанием адсорбции, сколько с невозможностью получить правильные значения параметров K и A_∞ , соответствующих их физическому смыслу.

В большинстве случаев мономолекулярный адсорбционный слой не компенсирует полностью избыточную поверхностную энергию и влияние поверхностных сил может распространяться на второй, третий и последующие адсорбционные слои. Эта возможность реализуется, когда газы и пары адсорбируются при температурах ниже критической. В этом случае образуются полимолекулярные слои вещества на поверхности адсорбента. Полимолекулярную адсорбцию можно представить как результат вынужденной конденсации пара под действием поверхностных сил. Если в области образования мономолекулярного слоя величина адсорбции существенно замедляет свой рост с увеличением давления пара, то в области давлений, близкой к давлению насыщенного пара, она резко начинает

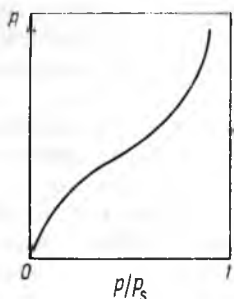
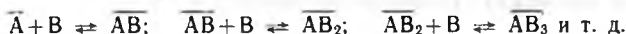


Рис. III.6. Изотерма полимолекулярной адсорбции

возрастать и адсорбция заканчивается объемной конденсацией пара при $p = p_s$ (рис. III.6).

Первые попытки получения уравнения изотермы полимолекулярной адсорбции были сделаны еще Ленгмюром. Современная форма уравнения полимолекулярной адсорбции — основного уравнения обобщенной теории Ленгмюра — была предложена лишь примерно двадцать лет спустя Брунауэром, Эмметом и Теллером. В соответствии с начальными буквами фамилий авторов обсуждаемая теория получила название *теории БЭТ*. В этой теории дополнительным допущением к тем, которые были положены в основу вывода уравнения изотермы Ленгмюра, является представление об образовании на поверхности адсорбента «последовательных комплексов» адсорбционных центров с одной, двумя, тремя и т. д. молекулами адсорбата. Тогда процесс адсорбции можно представить в виде последовательных квазихимических реакций:



Константы равновесия этих реакций соответственно равны

$$K_p = \frac{[AV]}{A_0 p}; \quad K_1 = \frac{[AV_2]}{[AV] p}; \quad K_2 = \frac{[AV_3]}{[AV_2] p} \text{ и т. д.}$$

где A_0 — концентрация свободных адсорбционных центров.

Из представленных уравнений получаются следующие выражения для концентрации соответствующих комплексов на поверхности адсорбента:

$$\begin{aligned} [AV] &= K_p A_0 p \\ [AV_2] &= K_1 [AV] p = K_p K_1 A_0 p^2 \\ [AV_3] &= K_2 [AV_2] p = K_p K_1 K_2 A_0 p^3 \end{aligned} \quad (\text{III.28})$$

Авторы теории БЭТ приняли, что во всех слоях, кроме первого, взаимодействуют между собой в основном молекулы адсорбата, как и при конденсации. Поэтому было принято, что

$$K_1 = K_2 = \dots = K_L = a_n / a_n = 1 / p_s \quad (\text{III.29})$$

где K_L — константа конденсации пара, равная отношению активностей вещества в жидком состоянии a_n и в состоянии насыщенного пара a_n , принято $a_n = 1$ (стандартное состояние), а $a_n = p_s$.

Для упрощения вывода и вида конечного уравнения полимолекулярной адсорбции введем обозначения:

$$K_p = \frac{K_p}{K_L} \cdot \frac{1}{p_s} = C \frac{1}{p_s}; \quad p/p_s = x \quad (\text{III.30})$$

Постоянная C равна отношению констант равновесия адсорбции (мономолекулярной) и конденсации пара. Логарифмирование этого отношения приводит к разности логарифмов констант, а из этого следует, что постоянная C характеризует разность энергий Гиббса процессов адсорбции и конденсации, т. е. энергию Гиббса чистой адсорбции:

$$-\Delta G^\circ = RT \ln C = RT \ln K_p - RT \ln K_L$$

Учитывая уравнения (III.29) и (III.30), получим из уравнения (III.28).

$$\begin{aligned} [AB_n] &= K_p K_L^{n-1} A_0 p^n = C K_L^n A_0 p^n = \\ &= C A_0 (p/p_s)^n = C A_0 x^n \end{aligned}$$

или

$$\begin{aligned} [AB] &= A_0 C x; & [AB_2] &= A_0 C x^2; \\ [AB_3] &= A_0 C x^3 \dots \text{и т. д.} \end{aligned}$$

Общее число активных центров на адсорбенте, или емкость монослоя, будет равна

$$\begin{aligned} A_\infty &= A_0 + [AB] + [AB_2] + [AB_3] + \dots = \\ &= A_0 + A_0 C x + A_0 C x^2 + A_0 C x^3 + \dots = \\ &= A_0 [1 + Cx(1 + x + x^2 + \dots)] \end{aligned}$$

Ряд в круглых скобках $(1 + x + x^2 + \dots)$ является геометрической прогрессией, сумма членов которой равна $1/(1-x)$ при условии $x < 1$. Поэтому

$$A_\infty = A_0 \left(1 + \frac{Cx}{1-x} \right) = \frac{A_0(1+Cx-x)}{(1-x)} \quad (\text{III.31})$$

Величина адсорбции компонента В равна

$$\begin{aligned} A &= [AB] + 2[AB_2] + 3[AB_3] + \dots = \\ &= A_0 C x + 2A_0 C x^2 + 3A_0 C x^3 + \dots = \\ &= A_0 C x (1 + 2x + 3x^2 + \dots) \end{aligned}$$

Ряд $(1 + 2x + 3x^2 + \dots)$ является производной по x предыдущей геометрической прогрессии, и сумма ее членов равна $1/(1-x)^2$. Поэтому

$$A = \frac{A_0 C x}{(1-x)^2} \quad (\text{III.32})$$

Подставляя значение A_0 из соотношения (III.31) и выражение для x (III.30), окончательно получим:

$$A = \frac{A_\infty C p/p_s}{(1-p/p_s)[1+(C-1)p/p_s]} \quad (\text{III.33})$$

Соотношение (III.33) является основным уравнением обобщенной теории Ленгмюра и называется *уравнением полимолекулярной адсорбции Ленгмюра*.

кулярной адсорбции БЭТ. С уменьшением давления при $p/p_s \ll 1$ уравнение БЭТ превращается в уравнение мономолекулярной адсорбции Ленгмюра, которое при дальнейшем уменьшении давления ($p \rightarrow 0$) переходит в закон Генри. Например, при $p/p_s \ll 1$ имеем из уравнения (III.33):

$$A = \frac{A_\infty C p / p_s}{1 + C p / p_s} = \frac{A_\infty K_p p_s p / p_s}{1 + K_p p_s p / p_s} = A_\infty \frac{K_p p}{1 + K_p p}$$

При обработке экспериментальных результатов уравнение БЭТ обычно используют в линейной форме:

$$\frac{p/p_s}{A(1 - p/p_s)} = \frac{1}{A_\infty C} + \frac{C - 1}{A_\infty C} p/p_s \quad (\text{III.34})$$

Уравнение (III.34) позволяет графически определить оба постоянных параметра A_∞ и C (рис. III.7). Отрезок, отсекаемый на оси ординат при экстраполяции зависимости, представленной на рис. III.7, равен $1/(A_\infty C)$, а $\text{tg } \alpha = (C - 1)/(A_\infty C)$.

Необходимо отметить, что полимолекулярная адсорбция многих газов и паров в полной мере не соответствует теории БЭТ. Согласие с теорией тем лучше, чем больше константа K_p по сравнению с константой K_L , т. е. чем больше C или чистая теплота адсорбции. Этому способствует увеличение сродства адсорбата к адсорбенту и уменьшение когезионных сил в конденсате на поверхности.

На теории БЭТ основан стандартный метод измерения удельной поверхности адсорбентов, катализаторов, порошков и других материалов (метод БЭТ). По экспериментальным данным находят величину A_∞ (см. рис. III.7), а затем по уравнению (III.19) рассчитывают удельную поверхность. В качестве адсорбатов используют инертные газы (азот, аргон, криптон и др.), которые проявляют слабое межмолекулярное взаимодействие на поверхности адсорбента, что находится в соответствии с исходными допущениями теории и обеспечивает достоверность получаемых результатов. Значения площади, занимаемой молекулой адсорбата в заполненном монослое ω_0 принимают равной для азота $0,162 \text{ нм}^2$, аргона — $0,138 \text{ нм}^2$, криптона — $0,195 \text{ нм}^2$. Для увеличения адсорбции таких газов ее ведут при низких температурах, откуда и частое название метода БЭТ — *метод низкотемпературной адсорбции*. Уравнение изотермы БЭТ применяется с хорошим приближением в области относительных давлений $0,05 < p/p_s < 0,3$. При $p/p_s < 0,05$ в получаемые результаты вносит искажения неоднородность поверхности (вывод уравнения БЭТ предполагает однородность поверхности), а при $p/p_s > 0,3$ сказывается взаимодействие между адсорбированными молекулами.

Названные ограничения показывают, что основные недостатки рассмотренных моделей адсорбции на однородных по-

Рис. III.7. Изотерма полимолекулярной адсорбции в координатах линейной формы уравнения БЭТ

верхностях заключены в тех допущениях, которые заложены в основу предложенных моделей и теорий. В теории БЭТ, кроме того, обнаруживается противоречие между пренебрежением боковыми взаимодействиями между молекулами на поверхности и предположением о том, что константы адсорбции в верхних адсорбционных слоях равны константе конденсации пара.

Как известно, константа конденсации определяется взаимодействием молекулы в среднем с двенадцатью ближайшими соседями, окружающими ее со всех сторон, а не только с двумя соседними по вертикали молекулами.

Предложено много модификаций уравнения теории БЭТ, но, как правило, они описывают только частные варианты изотерм адсорбции. По-видимому, трудно исправить недостатки теории, не нарушив простоты, которая составляет ее серьезное достоинство.

5. Стандартные энергетические параметры адсорбции на однородной поверхности

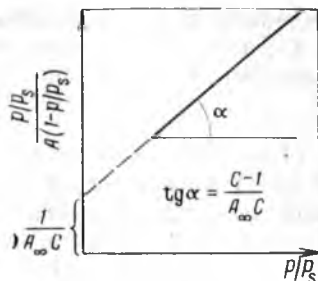
В разделе II.Б рассмотрены общие термодинамические соотношения, позволяющие по экспериментальным зависимостям определить основные энергетические параметры адсорбции: энергию Гиббса, энтальпию и энтропию. Модельные представления конкретизируют и упрощают анализ соотношений и расчет указанных параметров.

Между энергией Гиббса, энтальпией и энтропией адсорбции существует известное соотношение

$$\Delta G = \Delta H - T\Delta S$$

Самопроизвольному процессу при постоянных значениях p и T отвечает условие $\Delta G < 0$. Энтропия также уменьшается при адсорбции газов и паров, т. е. $\Delta S < 0$, так как ограничивается свобода движения молекул: в объемной фазе они движутся в трех направлениях, а на поверхности — в двух. Из приведенного выше уравнения следует, что энтальпия адсорбции должна также уменьшаться, т. е. $\Delta H < 0$. Таким образом, адсорбция газов и паров, как правило, — экзотермический процесс, что подтверждается экспериментально.

Если адсорбция подчиняется уравнениям Генри и Ленгмюра, т. е. константы равновесия адсорбции не зависят от степе-



ни заполнения поверхности адсорбента, то стандартная энергия Гиббса адсорбции может быть рассчитана по уравнению изотермы Вант-Гоффа:

$$\Delta G^\circ = -RT \ln K \quad (\text{III.35})$$

Если K является константой Генри, то ΔG° характеризует переход адсорбата из стандартного состояния в объеме в стандартное состояние его на поверхности. Если же K является константой квазихимического равновесия в уравнении Ленгмюра, то ΔG° определяет химическое сродство между адсорбатом и адсорбционными центрами поверхности адсорбента в соответствии с уравнением (III.12).

Стандартную энтальпию адсорбции определяют из экспериментальной зависимости константы равновесия адсорбции от температуры в соответствии с уравнением изобары Вант-Гоффа:

$$\left(\frac{\partial \ln K}{\partial T} \right)_p = \frac{\Delta H^\circ}{RT^2} \quad (\text{III.36})$$

где $\Delta H^\circ = H^\circ_{\text{адс}} - H^\circ_{\text{в}}$ — разность энтальпий адсорбата на адсорбенте и в объеме (или химической реакции).

Принимая во внимание слабую зависимость изменения энтальпии от температуры, можно провести интегрирование уравнения (III.36):

$$\int d \ln K = \frac{\Delta H^\circ}{R} \int \frac{1}{T^2} dT; \quad \ln K = -\frac{\Delta H^\circ}{R} \cdot \frac{1}{T} + \text{const} \quad (\text{III.37})$$

Тангенс угла наклона линейной зависимости $\ln K \rightarrow 1/T$ (рис. III.8) определяет отношение $-\Delta H^\circ/R$, откуда $-\Delta H^\circ = R \operatorname{tg} \alpha$. Зависимость, представленная от рис. III.8, соответствует отрицательному значению энтальпии адсорбции, что указывает на выделение теплоты в процессе адсорбции газов и паров.

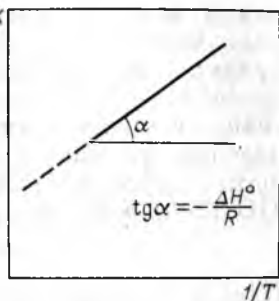
Стандартную энтропию адсорбции, подчиняющейся закону Генри или уравнению Ленгмюра, легко рассчитать, если известны ΔH° и ΔG° [см. (III.35) и (III.37)] по уравнению:

$$\Delta S^\circ = \frac{\Delta H^\circ - \Delta G^\circ}{T} = \frac{\Delta H^\circ + RT \ln K}{T} \quad (\text{III.38})$$

Поскольку уравнение Ленгмюра описывает мономолекулярную адсорбцию на однородной поверхности, то количество теплоты, выделяемое при адсорбции 1 моль вещества, постоянно и не зависит от степени заполнения. Кроме того, при мономолекулярной адсорбции дифференциальные изменения энергии Гиббса, энтальпии и энтропии совпадают с интегральными.

Стандартные энергетические параметры полимолекулярной адсорбции, соответствующие теории БЭТ, рассчитываются по

Рис. III.8. К определению теплового эффекта адсорбции $\ln K$



тем же приведенным выше уравнениям. В связи с тем, что константа C в уравнении БЭТ представляет собой отношение двух констант равновесия $C = K/K_L$, то она также может рассматриваться как константа равновесия, т. е. для расчетов можно использовать те же изотерму и изобару Вант-Гоффа:

$$\Delta G^0_c = -RT \ln C = -RT \ln (K/K_L) \quad (\text{III.39})$$

$$\left(\frac{\partial \ln C}{\partial T} \right)_p = \left[\frac{\partial \ln (K/K_L)}{\partial T} \right]_p = \frac{\Delta H^0_c}{RT^2} \quad (\text{III.40})$$

$$\Delta H^0_c = RT^2 \left(\frac{\partial \ln K}{\partial T} \right)_p - RT^2 \frac{d \ln K_L}{dT} \quad (\text{III.41})$$

Из уравнения (III.41) следует, что первый член в правой части отвечает полной стандартной энтальпии адсорбции, а второй — энтальпии конденсации. Таким образом, ΔH^0_c отражает стандартную энтальпию чистой адсорбции как результат взаимодействия сконденсированного пара (жидкости) с поверхностью адсорбента. Это же относится и к стандартным энергии Гиббса и энтропии чистой адсорбции.

Теория БЭТ (уравнение БЭТ) описывает адсорбцию на энергетически однородной поверхности и предполагает независимость теплоты (энтальпии) адсорбции от степени заполнения, или от числа слоев в полимолекулярном слое (одна константа конденсации). Из этого следует, что и для полимолекулярной адсорбции в теории БЭТ значения дифференциальных и интегральных термодинамических параметров совпадают (в расчете на 1 моль): K и C не зависят от степени заполнения. Так как при физической адсорбции газов и паров $\Delta H^0 < 0$, то повышение температуры ведет к уменьшению констант K и C .

При реальной полимолекулярной адсорбции по мере нарастания числа слоев константы взаимодействия уменьшаются $K_1 > K_2 > K_3 \dots$ (III.28), и часто требуется определить термодинамические параметры адсорбции при разных степенях заполнения. Для определения энергетических параметров полимолекулярной адсорбции по экспериментальным данным используют общий подход, рассмотренный в разд. II.Б. К тем же соотношениям можно прийти, исходя из представлений о последовательных константах адсорбции [см. уравнение (III.28)]. В общем случае адсорбционное распределение газа или пара

между поверхностным слоем и объемом можно представить в виде константы распределения [см. уравнение (III.9)]. Если принять, что адсорбтом является идеальный газ, а величина адсорбции A фиксирована, то изменением коэффициентов активности можно пренебречь, и определяемая константа распределения при данной степени заполнения адсорбента будет зависеть только от температуры. Тогда по аналогии с уравнением (III.37) можно записать:

$$\ln K = \ln (A/p) = -\Delta H^\circ / (RT) + \text{const} \quad (\text{III.42})$$

Данной степени заполнения соответствует своя константа адсорбционного распределения. Так как адсорбирующийся газ принят за идеальный, то при $A = \text{const}$ имеем:

$$(\ln p)_A = \Delta H^\circ / (RT) + \text{const} \quad (\text{III.43})$$

Каждой степени заполнения адсорбента соответствует определенное значение ΔH° , или определенная дифференциальная теплота адсорбции. Эта теплота адсорбции является изостерической, так как отвечает условию $A = \text{const}$. Как правило, она уменьшается с увеличением степени заполнения. Чтобы экспериментально определить значения этой теплоты, сначала получают изотермы адсорбции при разных температурах, затем строят график зависимости $\ln p \rightarrow 1/T$ (III.43) и по тангенсам углов наклона определяют изостерические теплоты адсорбции при каждой степени заполнения адсорбента. Зная ΔH° и K , по уравнению (III.38) можно рассчитать также стандартную энтропию адсорбции для каждой степени заполнения адсорбента.

6. Влияние на адсорбцию природы адсорбента и адсорбата. Хемосорбция

Адсорбция на ровной поверхности зависит в основном от природы адсорбента и адсорбата, от их взаимного сродства. Необходимо различать влияние этого фактора на величину адсорбции A и на константу адсорбционного равновесия K . Чем сильнее взаимодействие адсорбент-адсорбат, тем больше K и тем большая величина мономолекулярной адсорбции A достигается при равновесных давлениях или концентрациях. Обычно считают, что сродство адсорбента к адсорбату (или K) тем сильнее, чем резче выражена их склонность к образованию связей одной природы, например, к дисперсионному взаимодействию, или к диполь-дипольному, или к образованию водородных связей, или к сильным химическим взаимодействиям.

Ровная поверхность графитированной сажи склонна к дисперсионным взаимодействиям, поэтому на ней сильнее адсорбируются неполярные органические соединения, и тем лучше,

чем больше их молекулярная масса (благодаря аддитивности дисперсионных сил). Поверхности ионных кристаллов имеют высокое сродство к соединениям, молекулы которых представляют собой диполи. Чем более полярны вещества, тем они сильнее адсорбируются на поверхности ионных кристаллов. На поверхности оксидов элементов обычно имеются гидроксильные группы, которые способны образовывать водородные связи, поэтому такие поверхности прочно удерживают воду, спирты, амины и др. Гидроксильированные поверхности обладают сильными поляризуемыми свойствами. Например, они проявляют специфическое сродство к ароматическим и непредельным соединениям, которые склонны к образованию π -связей.

Константа адсорбционного равновесия K и величина адсорбции A зависят от когезионного взаимодействия между молекулами адсорбата. Чем оно больше, тем слабее взаимодействие адсорбат-адсорбент (т. е. меньше K) и соответственно уменьшается величина A при мономолекулярной адсорбции. При полимолекулярной адсорбции величина адсорбции A может увеличиться с усилением когезионного взаимодействия адсорбат-адсорбат. При значительных когезионных взаимодействиях конденсация адсорбированного вещества на поверхности наступает при меньших давлениях, чем для веществ, проявляющих малые когезионные силы. В связи с этим возможны случаи, когда константа адсорбционного равновесия для одного вещества больше, чем для другого, а величина полимолекулярной адсорбции A , начиная с некоторых давлений, для первого вещества меньше, чем для второго. Таким образом, изотермы адсорбции этих веществ будут пересекаться.

Химическая адсорбция, или хемосорбция обусловлена силами химической природы между адсорбентом и адсорбатом. Энергия взаимодействия при хемосорбции составляет 40—400 кДж/моль, т. е. на 1—2 порядка больше этой величины для физической адсорбции (10—40 кДж/моль). Хемосорбция, как правило, мономолекулярна.

Если хемосорбция происходит с малым тепловым эффектом, то это часто указывает на протекание параллельного процесса, который требует затраты энергии (например, диссоциации молекул адсорбата на поверхности). В то же время не всегда можно провести четкую границу между физической и химической адсорбциями, особенно при слабой хемосорбции, так же как вообще между физическим и химическим взаимодействиями. Физическая адсорбция отличается универсальностью и малой специфичностью. Хемосорбция характеризуется специфичностью взаимодействия, приводящего обычно к образованию поверхностного химического соединения. Сильная хемосорбция часто необратима, вместо адсорбированного вещества может десорбироваться другое соединение.

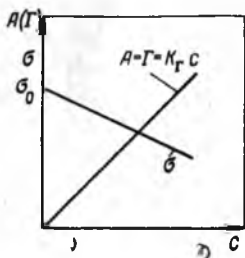


Рис. III. 9. Кинетическая кривая адсорбции

Нередко физическая адсорбция предшествует хемсорбции. Типичным примером является адсорбция кислорода на угле. При температурах $-150 \div -200^{\circ}\text{C}$ кислород адсорбируется обратимо благодаря физическим взаимодействиям; теплота адсорбции равна $-15,5$ кДж/моль. При комнатной температуре часть кислорода ад-

сорбируется уже необратимо, а теплота адсорбции, составляющая около -290 кДж/моль, указывает на протекание химической реакции. Десорбировать удается CO и CO_2 . Благодаря взаимодействию поверхностных атомов углерода с кислородом резко уменьшается прочность их связи с другими атомами углерода, поэтому легче отрывается кислородное соединение углерода, чем кислород. Из всего сказанного можно заключить, что хемсорбция является простейшим примером гетерогенной реакции.

7. Кинетика мономолекулярной адсорбции Ленгмюра. Активированная и неактивированная адсорбция

Движущей силой адсорбции является разность химических потенциалов компонентов в объеме и на поверхности, которые в ходе адсорбции выравниваются. В результате наступает адсорбционное равновесие. Процесс адсорбции в одних системах может протекать очень быстро, а в других — сравнительно медленно, иногда в течение большого промежутка времени (сутки и более). Уравнения, характеризующие изменение величины адсорбции A со временем τ

$$A = f(\tau); \quad dA/d\tau = f'(\tau) \quad (\text{III.44})$$

называют уравнениями кинетической кривой в интегральной и дифференциальной форме. Типичный вид интегральной кинетической кривой адсорбции показан на рис. III.9. Производная характеризует скорость адсорбции.

Скорость адсорбции на однородной поверхности с образованием мономолекулярного слоя (ленгмюровская адсорбция) складывается из скоростей двух противоположных процессов. Скорость прямого процесса определяется скоростью закрепления молекул адсорбата на поверхности адсорбента v_1 , а обратного — скоростью удаления молекул с поверхности v_2 . Первая скорость пропорциональна числу столкновений молекул адсорбата v с единицей поверхности адсорбента, доле свободной поверхности $(1-\theta)$ и доле молекул α , способных к закреплению

на поверхности. Скорость обратного процесса (десорбции) пропорциональна доле уходящих молекул β с единицы площади насыщенной поверхности и степени заполнения поверхности θ . В результате скорость адсорбции выразится суммарным уравнением

$$d\theta/d\tau = v_1 - v_2 = \alpha v(1 - \theta) - \beta\theta \quad (III.45)$$

При равновесии скорость адсорбции равна нулю и уравнение (III.45) переходит в уравнение адсорбции Ленгмюра (число столкновений молекул адсорбата с поверхностью адсорбента в соответствии с молекулярно-кинетической теорией пропорционально давлению газа-адсорбата).

Обозначим скорость адсорбции через x :

$$d\theta/d\tau = \alpha v - \alpha v\theta - \beta\theta = x \quad (III.46)$$

Правую часть уравнения (III.45), выраженную через x , продифференцируем по θ :

$$dx/d\theta = -(\alpha v + \beta) = -k_c \quad (III.47)$$

Обозначив полученное выражение через константу k_c , которая является константой скорости адсорбции, интегрированием уравнения (III.47) получим новое выражение для x . Так как x отражает скорость адсорбции, то при $x=0$ степень заполнения поверхности равна степени заполнения при достижении равновесия, т. е. $\theta = \theta_p$. Для этих пределов имеем:

$$\int_0^x dx = - \int_{\theta_p}^{\theta} k_c d\theta \quad \text{и} \quad x = k_c(\theta_p - \theta) \quad (III.48)$$

Подставив значение x из уравнения (III.48) в уравнение (III.46), получим следующее выражение для скорости адсорбции:

$$d\theta/d\tau = k_c(\theta_p - \theta) \quad (III.49)$$

Произведем замену переменных и их разделение:

$$\begin{aligned} \theta_p - \theta = y; \quad dy = -d\theta \\ \partial y/y = -k_c d\tau; \quad d \ln y = -k_c d\tau \end{aligned} \quad (III.50)$$

При $\tau=0$ степень заполнения $\theta=0$ и $y=\theta_p$. Интегрируем (III.50) в соответствующих пределах:

$$\int_{\theta_p}^{\theta_p - \theta} d \ln (\theta_p - \theta) = - \int_0^{\tau} k_c d\tau; \quad \ln \frac{\theta_p - \theta}{\theta_p} = -k_c \tau$$

Окончательно получим:

$$\theta = \theta_p(1 - e^{-k_c \tau}) \quad \text{или} \quad A = A_p(1 - e^{-k_c \tau}) \quad (III.51)$$

Полученное уравнение отражает зависимость, показанную на рис. III.9.

Формальный вывод уравнения (III.51) можно было начать с соотношения (III.49). Приведенный вывод позволяет вскрыть физический смысл константы скорости адсорбции k_c . Именно от ее значения зависит время установления адсорбционного равновесия. В соотношении (III.47) для k_c величину v можно представить с помощью выражения из молекулярно-кинетической теории:

$$v = \bar{u} = n \left(\frac{k_B T}{2\pi m} \right)^{1/2} = \frac{\rho}{k_B T} \left(\frac{k_B T}{2\pi m} \right)^{1/2} = \frac{\rho}{\sqrt{2\pi m k_B T}} \quad (\text{III.52})$$

$(\rho = nk_B T \text{ и } n = \rho/k_B T)$

где n — число молекул в единице объема; \bar{u} — средняя скорость молекул в заданном направлении; m — масса молекулы адсорбата.

Доля уходящих молекул β с единицы площади насыщенной поверхности равна числу молекул, обладающих энергией $E_{\text{дес}}$, достаточной для отрыва от поверхности, т. е. β пропорционально фактору Больцмана:

$$\beta = \exp(-E_{\text{дес}}/k_B T) \quad (\text{III.53})$$

где $E_{\text{дес}}$ — энергия активации десорбции.

Учитывая соотношения (III.52) и (III.53), выражение для константы скорости адсорбции (III.47) можно записать в следующем виде:

$$k_c = \alpha v + \beta = \frac{\alpha \rho}{\sqrt{2\pi m k_B T}} + \exp\left(-\frac{E_{\text{дес}}}{k_B T}\right) \quad (\text{III.54})$$

Выражение (III.54) вместе с ранее полученными позволяет проанализировать зависимости константы скорости адсорбции от различных факторов. Из уравнения (III.49) следует, что в начале процесса адсорбции, когда степень заполнения поверхности мала, скорость адсорбции максимальна, по мере же роста степени заполнения она снижается. Если энергия активации десорбции велика, что характерно, например, для хемосорбции и конденсации пара на поверхности адсорбента, то вторым членом в уравнении (III.54) можно пренебречь и константа скорости будет пропорциональна давлению газа. При малых давлениях скорость адсорбции мала и равновесие устанавливается очень долго, при больших же давлениях равновесие может достигаться почти мгновенно. В зависимости от давления время установления адсорбционного равновесия меняется в широких пределах — от нескольких часов до 10^{-7} с.

Коэффициент α , выражающий долю достигших поверхности молекул, способных к закреплению на ней, представляет собой

вероятность того, что молекула закрепится на поверхности. Поэтому эта доля равна

$$\alpha = \exp(-E_{\text{адс}}/kBT) \quad (\text{III.55})$$

Энергия $E_{\text{адс}}$, необходимая для закрепления молекул на поверхности адсорбента, называется энергией активации адсорбции. Если энергия активации равна нулю, что, как правило, характерно для физической адсорбции, то $\alpha = 1$. Этот случай отвечает неактивированной адсорбции. Скорость неактивированной адсорбции обычно большая и, как видно из уравнения (III.54), уменьшается при $p = \text{const}$ с повышением температуры. Наличие потенциального барьера и необходимость предварительной затраты энергии (энергии активации) характерно для активированной адсорбции. Скорость активированной адсорбции мала и увеличивается с повышением температуры (III.55). Потенциальный барьер возникает в том случае, если для совершения акта адсорбции необходимо предварительное ориентирование атомов и молекул. Это в большей степени характерно для специфической химической адсорбции, энергия активации которой может достигать 40—150 кДж/моль.

Если после установления адсорбционного равновесия давление в системе уменьшить до нуля, то начнется процесс десорбции. При условии пренебрежения адсорбцией, получим из (III.45):

$$d\theta/d\tau = -\beta\theta \quad (\text{III.56})$$

или интегрируя, имеем:

$$d\theta/\theta = -\beta d\tau, \quad \int_{\theta_p}^{\theta} d \ln \theta = - \int_0^{\tau} \beta d\tau$$

$$\theta = \theta_p e^{-\beta\tau} \quad (\text{III.57})$$

Уравнение (III.57) характеризует кинетику десорбции. Коэффициент β пропорционален фактору Больцмана (III.53), который указывает на увеличение скорости десорбции с повышением температуры.

Б. АДСОРБЦИЯ ГАЗОВ И ПАРОВ НА ПОРИСТЫХ ТЕЛАХ

1. Общие сведения о пористых телах и методы их получения. Классификация пористой структуры

Пористые тела — это твердые тела, внутри которых имеются поры, обуславливающие наличие внутренней межфазной поверхности. Поры могут быть заполнены газом или жидкостью. В соответствии с классификацией дисперсных систем по агре-

гатному состоянию фаз пористые тела относятся к дисперсным системам с твердой дисперсионной средой и газообразной или жидкой дисперсной фазой. Свободнодисперсные системы с твердой дисперсной фазой (порошки, суспензии) и пористые тела можно рассматривать как своеобразные обращенные системы. Если в системах первого типа твердым телом является дисперсная фаза, то в системах второго типа — дисперсионная среда. Подобно тому, как с повышением дисперсности суспензии переходят в золи, а затем в истинные растворы, макропористые тела с ростом дисперсности переходят в микропористые тела с размерами пор, соизмеримыми с размерами молекул. В этом случае, как подчеркивает М. М. Дубинин, представление о внутренней поверхности теряет физический смысл, как и для истинных растворов.

Большинство пористых, особенно высокопористых, тел можно представить как более или менее жесткие пространственные структуры — сетки или каркасы. В коллоидной химии такие системы называют гелями. К гелям относятся уголь, торф, древесина, картон, бумага, ткани, зерно, кожа, глина, почва, слабообожженные керамические материалы и т. д. Пористые тела могут быть хрупкими или обладать эластическими свойствами. Их часто классифицируют по этим свойствам. Пористые материалы обладают значительной и сильно различающейся адсорбционной способностью по отношению к влаге. По типу связи жидкости (влаги) с твердым телом подразделяют (П. А. Ребиндер) на химическую (реализуется при сольватации, при которой молекулы жидкости входят в структуру кристалла, и удалить влагу можно только с помощью химической реакции или прокаливания), физико-химическую (проявляется при адсорбции, благодаря молекулярным силам Ван-дер-Ваальса и водородным связям) и физико-механическую (обусловлена капиллярными силами).

На практике в качестве адсорбентов, предназначенных для извлечения, разделения и очистки веществ, применяют специально синтезируемые высокопористые тела. Эти тела кроме большой удельной поверхности должны обладать механической прочностью, избирательностью и рядом других специфических свойств. Наиболее широкое применение находят активные угли, силикагели, алюмогели, цеолиты.

Высокодисперсные пористые неорганические материалы, в частности, адсорбенты и катализаторы, получают в основном двумя методами. Один из них заключается в синтезе гидрозоля с последующей его коагуляцией для образования геля; гель высушивают. Частицы дисперсной фазы (корпускулы) в результате этих операций срастаются с образованием твердого каркаса. Так как частицы золя высокодисперсны, то получаемый пористый материал имеет большую удельную поверх-

ность. Для удобства использования комки адсорбента дробят, гранулируют или таблетуют. Обычно размеры зерен адсорбента находятся в пределах от 0,1 до 7,0 мм в зависимости от его назначения.

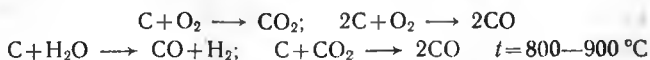
Таким методом получают адсорбенты корпускулярной структуры (структуры из сросшихся между собой мельчайших частиц — корпускул). Промежутки между сросшимися частицами являются порами, размеры которых зависят от размеров частиц и плотности их упаковки. К адсорбентам этого типа относятся различного рода силикагели (гели поликремниевой кислоты) — первые синтетические адсорбенты, получившие широкое промышленное применение. Таким же методом получают алюмогели, алюмосиликагели, активный оксид магния.

В последнее время все большее применение в качестве адсорбентов и катализаторов находят молекулярные сита, и в частности, природные и синтетические цеолиты. Цеолиты — это алюмосиликаты, обладающие строго регулярной кристаллической структурой. Каркас кристалла цеолита состоит из структурных тетраэдрических элементов $[\text{SiO}_4]^{4-}$ и $[\text{AlO}_4]^{5-}$, соединенных общими атомами кислорода. Избыточный отрицательный заряд каркаса (благодаря наличию в нем трехзарядного алюминия) компенсируется зарядом катионов щелочных и щелочноземельных металлов, располагающихся в полостях структуры. В зависимости от кристаллической структуры окна этих полостей имеют размеры 0,4—1,1 нм (соизмеримые с размерами молекул). Поэтому на цеолитах могут адсорбироваться только те вещества, молекулы которых имеют размер по наименьшей оси (критический диаметр) меньше диаметра окна полости. Отсюда происхождение названия «молекулярные сита».

Цеолиты эффективно поглощают воду, поэтому широко применяются для осушки газовых и некоторых жидких сред. При нагревании вода из них испаряется, с чем и связано их название — цеолиты (кипящий камень; от греч. цео — кипеть, литос — камень). Синтез цеолитов освоен совсем недавно (1948 г.); особенностью синтеза является процесс кристаллизации после получения алюмосиликагеля.

Второй метод получения высокодисперсных пористых адсорбентов и катализаторов заключается в обработке крупнопористых материалов агрессивными газами или жидкостями. При такой обработке получают пористые тела губчатой структуры. Этим методом получают активные угли (пористые углеродные адсорбенты) из различного сырья — каменного угля, торфа, дерева, животных костей, ореховых косточек и др. Из этих материалов сначала удаляют летучие вещества при нагревании без доступа воздуха, в результате чего образуется крупнопористая структура угля, затем активируют уголь

путем окисления газом (O_2 , CO_2), водяным паром или обработкой химическими реагентами:



В процессе активации до степени обгара угля $\sim 50\%$ (доля угля, выгоревшего при активации) образуются микропоры. С увеличением степени обгара размеры пор увеличиваются. Обработка угля некоторыми солями и кислотами (карбонаты, сульфаты, хлориды, азотная кислота и др.) при высокой температуре также приводит к выгоранию угля под действием выделяющихся газов — окислителей. Реагенты могут растворять содержащуюся в исходном материале целлюлозу, а при высокой температуре ($250-600^\circ C$) выделяется аморфный высокодисперсный углерод, образующий высокопористую структуру. Таким же методом получают, например, губчатый никель Рэ-нея — высокодисперсный никелевый катализатор. Сначала готовят никель-алюминиевый сплав, который затем обрабатывают щелочью для растворения алюминия.

Природа материала и методы синтеза в значительной степени определяют размеры пор пористых тел. Имеется несколько классификаций пористых тел, в основу которых положены различные признаки, в том числе равновесные и кинетические свойства. Наибольшее распространение получила классификация, предложенная М. М. Дубининым. По этой классификации за основу приняты размеры пор и механизм протекающих в них адсорбционных процессов. Как уже упоминалось во введении, по классификации М. М. Дубинина пористые тела делятся на макропористые, переходнопористые, микропористые в зависимости от линейного размера, под которым понимают полуширину для щелевидной поры или радиус для сферической или цилиндрической поры.

Макропористые тела имеют поры радиусом больше $100,0-200,0$ нм, удельная поверхность макропористых тел находится в пределах $0,5-2$ м²/г. В связи с тем, что такие поры намного больше адсорбируемых молекул, то их стенки по сравнению с молекулами можно рассматривать как ровные поверхности, поэтому для макропористых тел применима обобщенная теория адсорбции Ленгмюра. В адсорбентах и катализаторах макропоры играют роль транспортных каналов, и адсорбцией в них можно пренебречь.

Переходнопористые тела (или капиллярно-пористые, или мезопористые) имеют размеры пор в пределах от $1,5$ до $100,0-200,0$ нм их удельная поверхность составляет от 10 до 500 м²/г. На стенках этих пор при малых давлениях происходит полимолекулярная адсорбция паров, которая с увеличением давления заканчивается капиллярной конденсацией. Из

промышленных адсорбентов и катализаторов к переходнопористым можно отнести силикагели, алюмогели, алюмосиликагели.

Микропористые тела обладают порами, соизмеримыми с размерами адсорбируемых молекул. Радиусы пор лежат в пределах от 0,5 до 1,5 нм. Удельная поверхность таких тел 500—1000 м²/г и выше. Отличительной чертой микропор является настолько близкое расположение противоположных стенок, что их поля поверхностных сил перекрываются и они действуют во всем объеме микропор. К микропористым телам применима адсорбционная теория объемного заполнения микропор. К микропористым адсорбентам относятся цеолиты и некоторые активные угли. Суммарный объем микропор промышленных адсорбентов не превышает 0,5 см³/г.

Большинство промышленных адсорбентов характеризуется широкой полидисперсностью и относится к смешанным типам адсорбентов. Их полидисперсность определяется распределением пор по размерам, отражающим относительное содержание разных пор.

2. Количественные характеристики пористых тел и порошков

Для характеристики пористых тел недостаточно знать только размеры пор и капилляров, которые могут быть различными по размерам и по числу, приходящемуся на единицу объема тела. Одной из основных характеристик пористой структуры тела является пористость — отношение объема пор V_p к общему объему тела $V_{общ}$:

$$P = V_p / V_{общ} \quad (III.58)$$

Пористость определяет объем пор, приходящийся на единицу объема тела, т. е. долю пустот в его структуре. Она может измеряться в долях и процентах.

Пористость можно выразить через истинную и кажущуюся плотность. Истинная плотность ρ_n — отношение массы тела к его объему V_n за исключением объема пор. Кажущаяся плотность ρ_k — отношение массы тела к его объему $V_{общ}$, включая объем пор. Тогда пористость материала составит:

$$P = (V_{общ} - V_n) / V_{общ} = 1 - (V_n / V_{общ}) = 1 - (\rho_k / \rho_n) \quad (III.59)$$

Экспериментальное определение плотности и пористости тел обычно проводят с помощью пикнометра. Для этого измеряют объем пикнометра $V_{пик}$, массу пробы пористого тела m и общую массу пористого тела и жидкости, смачивающей пористое тело в пикнометре $m_{общ}$:

$$\begin{aligned} \rho_n V_{ж} + \rho_n V_n &= m_{общ}; \\ V_{ж} + V_n &= V_{пик}; \quad \rho_n V_n = m \end{aligned} \quad (III.60)$$

где $V_{ж}$ и ρ_n — объем жидкости и ее плотность соответственно.

Зная плотность жидкости $\rho_{ж}$ и определив экспериментально указанные величины, по этим трем уравнениям находят $\rho_{и}$, $V_{и}$ и $V_{ж}$. Кажущуюся плотность $\rho_{к}$ и общий объем пористого тела $V_{общ}$ измеряют таким же образом, но предварительно обработав образец, например парафином, чтобы жидкость не проникала в поры.

Если пористое тело имеет корпускулярную структуру и образовано сросшимися между собой сферическими частицами одинакового размера, его удельную поверхность легко оценить с помощью простого расчета. Полная поверхность и истинный объем тела, образованного из n сферических частиц радиусом r равны

$$s = 4\pi r^2 n \text{ и } V = \frac{4}{3}\pi r^3 n$$

Удельная поверхность такого пористого тела составит

$$s_{уд, v} = \frac{s}{V} = \frac{4\pi r^2 n}{\frac{4}{3}\pi r^3 n} = \frac{3}{r} \quad \text{и} \quad s_{уд, m} = \frac{3}{r\rho} \quad (\text{III.61})$$

Таким образом, чтобы определить удельную поверхность тела, образованного сферическими частицами одинакового размера, достаточно знать только радиус частиц. Если удельная поверхность рассчитывается на единицу массы тела, то в знаменатель уравнения (III.61) необходимо подставить значение плотности вещества. Соотношение (III.61) справедливо и для определения параметров порошков, для которых иногда можно проводить аналогии с пористыми телами.

Следует отметить, что при данном расчете не учитывается поверхность контакта частиц между собой. Число точек контакта может изменяться в зависимости от характера и плотности упаковки частиц в структуре пористого тела или порошка. Для сферических частиц это число не превышает двенадцати. Чем больше точек соприкосновения частиц, тем больше поверхность контакта и меньше удельная поверхность. Для порошков под поверхностью контакта понимают поверхность двух соприкасающихся частиц, расположенную в зоне действия молекулярных сил ($\approx 0,1$ нм). Таким образом, для сферической частицы радиусом r поверхностью контакта считается поверхность ее сегмента с высотой $h = 0,1$ нм, а доля этой поверхности от всей поверхности составит

$$y = \frac{2\pi r h n_k}{4\pi r^2} = \frac{h n_k}{d} \quad (\text{III.62})$$

где n_k — число контактов; $d = 2r$.

Из соотношения (III.62) следует, что поверхность контакта увеличивается с уменьшением размера частиц; для частиц диа-

метром больше ≈ 100 нм ею можно пренебречь (по сравнению с общей поверхностью пористого тела).

Если принять, что поры в пористых телах и порошках имеют правильную форму, то их размеры можно оценить, зная пористость и удельную поверхность. Иногда принимают поры за сферы радиусом r_n , тогда пористость и удельная поверхность равны соответственно:

$$P = \frac{4}{3}\pi r_n^3 n \text{ и } s_{уд.v} = 4\pi r_n^2 n$$

Отсюда радиус пор определяется выражением

$$r_n = 3P/s_{уд.v} \quad (\text{III.63})$$

где n — число сферических пор в единице объема.

Если поверхность отнесена к единице массы, то в знаменатель уравнения (III.63) вводится плотность вещества. Таким же образом для радиуса пор, имеющих форму цилиндра, получим:

$$r_k = 2P/s_{уд.v} \quad (\text{III.64})$$

Реальные пористые тела обычно представляют собой геометрически неправильные структурные композиции. Поры в них имеют разнообразные формы и взаимные расположения. Часто такие тела пронизаны капиллярами и поэтому их еще называют капиллярно-пористыми телами. Структура капиллярно-пористого тела всецело определяется его природой и методом получения.

Поры и капилляры по связи с внешней средой делят на три вида: открытые, тупиковые и закрытые. Открытые поры и капилляры обоими концами сообщаются между собой и с внешней поверхностью тела, тупиковые поры и капилляры имеют сообщение только с одного конца. Закрытые поры представляют собой изолированные внутренние пустоты, и они не могут быть определены обычными методами, так как недоступны для прямого измерения. Общая пористость складывается из трех составляющих:

$$P = P_o + P_T + P_z \quad (\text{III.65})$$

где P_o , P_T и P_z — объемы соответственно открытых, тупиковых и закрытых пор в единице объема пористого тела.

С увеличением общей поверхности доля тупиковых и закрытых пор уменьшается. Очевидно, что при адсорбции закрытые поры не участвуют в процессе.

Для характеристики неправильной формы капилляров вводят коэффициент извилистости δ , учитывающий кривизну капилляров, сужения и утолщения в них. Коэффициент извилистости представляет собой произведение коэффициента длины, учитывающего кривизну капилляров, и коэффициента формы,

учитывающего сужения и утолщения. Раздельно эти коэффициенты для большинства реальных тел определить не удастся. Коэффициент извилистости с хорошей точностью можно определить экспериментально. Величина δ для реальных пористых тел больше единицы; для очень мелких пор коэффициент извилистости может достигать несколько единиц. Обычно коэффициент извилистости является поправкой к длине капилляров. Например, при толщине образца l длина капилляров с учетом коэффициента извилистости равна произведению $l\delta$. Пористость пористого тела или порозность порошка с учетом коэффициента извилистости представляют следующим соотношением:

$$\Pi = \frac{V_{\text{п}}}{V_{\text{общ}}} = \frac{\pi N s r^2 l \delta}{s l} = \pi N r^2 \delta \quad (III.66)$$

где N — число пор (капилляров) на единицу поверхности пористого тела (порошка); s — сечение образца; r — радиус пор (капилляров); l — длина образца; для неуплотненных слоев порошков при порозности от 0,35 до 0,43 $\delta = 1,4 \div 1,6$.

Для определения пористости и удельной поверхности пористых тел широко используются адсорбционные методы.

3. Потенциальная теория Поляни

Потенциальная теория Поляни была предложена для термодинамического описания полимолекулярной адсорбции. Она устанавливает связь величины адсорбции с изменением давления пара (газа) и с теплотами адсорбции, исходя из объема адсорбционного пространства. Наиболее удачно теория Поляни предсказывает зависимость величины адсорбции от температуры. Следует отметить, что как и термодинамическое описание по Гиббсу, теория Поляни, являясь фактически частным случаем теории Гиббса, не приводит к конкретным изотермам адсорбции. Несмотря на это, теория Поляни широко используется особенно для описания адсорбции на пористых адсорбентах.

Модель адсорбции в теории Поляни предполагает, что адсорбат ведет себя термодинамически как однокомпонентная система, находящаяся в потенциальном поле поверхностных сил адсорбента, который химически инертен. Теория Поляни принимает, что в адсорбционном пространстве действуют только дисперсионные силы, которые, во-первых, аддитивны, во-вторых, не зависят от температуры. Первое свойство сил указывает на то, что при адсорбции характер взаимодействия между молекулами адсорбата не изменяется, а происходит только увеличение его плотности (концентрации) на поверхности адсорбента. Введено допущение, что практически все адсорбиро-

ванное вещество находится на поверхности в жидком состоянии. Это допущение в большой мере соответствует состоянию адсорбата в порах пористых адсорбентов. Именно поэтому подход, используемый в теории Поляни, оказался более пригодным для описания адсорбции на пористых адсорбентах, в порах которых происходит конденсация паров.

Жидкое состояние адсорбата в порах позволяет заменить зависимость адсорбционного потенциала от расстояния между поверхностью адсорбента и соответствующим слоем адсорбата (которое для пористого адсорбента определить не представляется возможным) на функцию от объема жидкого адсорбата. Этот объем можно определить с помощью экспериментально получаемой изотермы, дающей величину адсорбции A :

$$V = AV_m \quad (\text{III.67})$$

где V_m — молярный объем адсорбата в конденсированном состоянии.

За меру интенсивности адсорбционного взаимодействия принят адсорбционный потенциал (III.82) — работа переноса 1 моль пара, находящегося в равновесии с жидким адсорбатом в отсутствие адсорбента (давление p_s) в равновесную с адсорбентом паровую фазу (давление p):

$$\epsilon = RT \ln (p_s/p)$$

Этот потенциал характеризует работу против действия адсорбционных сил. Каждой точке изотермы адсорбции соответствуют определенные значения A и p/p_s , которые позволяют получить значения V и ϵ , т. е. найти зависимости адсорбционного потенциала от объема адсорбата на адсорбенте — потенциальную кривую адсорбции.

Как следует из сказанного выше, потенциальную кривую адсорбции легко построить, исходя из экспериментально полученной изотермы адсорбции. Предсказать ее можно лишь, зная распределение адсорбционного объема по адсорбционному потенциалу. Теория позволяет получить изотермы при любой температуре, исходя из известной изотермы при какой-либо одной температуре. Так как дисперсионные силы не зависят от температуры, то от температуры не должна зависеть и форма потенциальной кривой адсорбции, что экспериментально подтверждается во многих случаях. Экспериментальные точки при разных температурах ложатся на одну и ту же кривую $\epsilon = f(V)$, которую поэтому называют характеристической кривой (рис. III.10). Таким образом

$$(\partial \epsilon / \partial T)_V = 0 \quad (\text{III.68})$$

т. е. адсорбционный потенциал при постоянном объеме жидкого адсорбата на адсорбенте (постоянной степени объемного заполнения) не зависит от температуры (температурная ин-

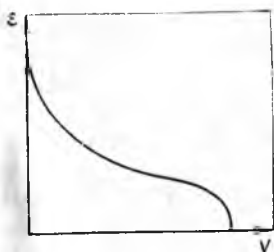


Рис. III.10. Потенциальная характеристическая кривая адсорбции

вариантность характеристической кривой). Это значит [см. (II.83)—(II.84)], что дифференциальная теплота адсорбции (дифференциальная энтальпия адсорбции) численно равна адсорбционному потенциалу, взятому с обратным зна-

ком, т. е.

$$\Delta H_d = \Delta G_d = \Delta \mu_2 = -\epsilon = RT \ln(p/p_s) \quad (\text{III.69})$$

Для двух разных температур можно записать:

$$V = A_1 V_{m,1} = A_2 V_{m,2}, \quad \epsilon = RT_1 \ln(p_{s,1}/p_1) = \\ = RT_2 \ln(p_{s,2}/p_2) \quad (\text{III.70})$$

Эти соотношения показывают, что зная изотерму при одной температуре, можно рассчитать изотерму при другой температуре.

Важная особенность потенциальных кривых адсорбции, была обнаружена М. М. Дубининым с сотр. Она заключается в том, что характеристические кривые для одного и того же адсорбента и разных адсорбатов при всех значениях объемов адсорбата в поверхностном слое находятся в постоянном соотношении β :

$$(\epsilon/\epsilon_0)_V = \beta \quad (\text{III.71})$$

где ϵ_0 — адсорбционный потенциал для адсорбата, выбранного за стандарт.

Коэффициент β был назван коэффициентом аффинности. Отсюда следует, что, зная характеристическую кривую для одного адсорбата и коэффициент аффинности для другого адсорбата по отношению к первому, можно вычислить изотерму адсорбции второго адсорбата на том же адсорбенте.

4. Теория капиллярной конденсации.

Распределение пор по размерам

Удерживание газов и паров пористыми телами, т. е. их адсорбционная способность, зависят как от природы взаимодействующих тел, так и от структуры пористого тела. Если структурный фактор для макропористых адсорбентов имеет малое значение, то уже для переходнопористых тел его роль резко возрастает. Это обусловлено в первую очередь проявлением капиллярных сил, действие которых с ростом дисперсности тела непосредственно связано со сродством адсорбата к адсорбенту. Основываясь на закономерностях капиллярных явлений, можно утверждать, что такое сродство должно быть достаточ-

ным, чтобы поверхность пористого тела смачивалась жидкостью, появляющейся в результате конденсации пара в порах. Только при условии смачивания капиллярные силы будут втягивать адсорбат в поры и обеспечивать адсорбционную способность пористого тела. Чем меньше размер пор, тем сильнее капиллярное удерживание адсорбата. В противном случае (если поверхность не смачивается) наблюдается капиллярное выталкивание вещества из пор, адсорбция на несмачиваемых телах минимальна и возможна только на ровной поверхности и в крупных порах.

Адсорбция на переходнопористых телах происходит в основном по механизму капиллярной конденсации. Капиллярная конденсация начинает проявляться при определенной степени заполнения адсорбента или при определенном значении давления пара, характерном для данной системы. К этому моменту поверхностная энергия адсорбента практически полностью скомпенсирована в результате полимолекулярной адсорбции, а микропоры заполнены адсорбатом. С увеличением давления газа или пара конденсация происходит и в более крупных порах, радиус мениска жидкости r в которых находится в соответствии с уравнением капиллярной конденсации Кельвина (отрицательная кривизна):

$$\ln(p_s/p) = 2\sigma V_m / (rRT) \quad (\text{III.72})$$

Из этого уравнения следует, что при смачивании, обеспечивающем отрицательную кривизну мениска конденсата (вогнутый мениск), конденсация в порах наступает при давлении, меньшем давления насыщенного пара, т. е. при $p/p_s < 1$.

Выражение для адсорбционного потенциала (II.82) позволяет представить соотношение (III.72) в виде

$$\varepsilon = 2\sigma V_m / r \quad (\text{III.73})$$

из которого следует, что адсорбционный потенциал в теории капиллярной конденсации принимается равным капиллярному потенциалу. В уравнении (III.73) связь адсорбционного потенциала со структурой и природой адсорбента выражается в виде простой (обратно пропорциональной) зависимости от радиуса мениска конденсата в порах. Остальные параметры, определяющие адсорбционный потенциал, относятся только к конденсату. Очевидно, что только при полном смачивании радиус мениска можно приравнять радиусу поры; в общем же случае $r_m = r \cos \theta$, где θ — угол смачивания.

Для адсорбентов с переходными порами характерна изотерма адсорбции с петлей капиллярно-конденсационного гистерезиса (рис. III.11). Адсорбции соответствует нижняя кривая, а десорбции — верхняя. При малых давлениях, когда не происходит капиллярная конденсация, гистерезиса не наблюда-

ется. Начало появления гистерезиса зависит от природы адсорбента и адсорбата. Пористая структура адсорбента разнообразна, однако считается, что ее можно смоделировать следующими тремя видами пор: конусообразными, цилиндрическими с одним открытым концом, и цилиндрическими с двумя открытыми концами (рис. III.12). Конденсация в конусообразных порах начинается со дна пор, где кривизна наибольшая. По мере заполнения поры радиус мениска увеличивается (уменьшается кривизна), поэтому для дальнейшего заполнения поры необходимо увеличивать давление (рис. III.12а). Процесс десорбции идет в обратном направлении и описывается той же кривой. В цилиндрических порах с одним открытым концом конденсация начинается также со дна пор, где кривизна сферическая и поэтому наибольшая (рис. III.12б). Так как пора цилиндрическая, то она заполняется целиком при определенном постоянном радиусе мениска, что отвечает и определенному постоянному давлению пара. Капиллярная конденсация в этих порах также происходит обратимо. Если у цилиндрической поры тех же размеров оба конца открытые (рис. III.12в), то конденсация начнется на стенках цилиндра, имеющего кривизну в два раза меньше, чем у сферы того же радиуса. Поэтому заполнение поры происходит при большом давлении пара в соответствии с соотношением

$$\ln(p_s/p) = \sigma V_m / (rRT) \quad \text{или} \quad \epsilon = \sigma V_m / r \quad (\text{III.74})$$

Конденсация на стенках цилиндрической поры приводит к уменьшению диаметра поры, что вызывает ее мгновенное заполнение при давлении, отвечающем началу конденсации. На концах поры образуются сферические мениски жидкости. Десорбция может начаться только при давлении, соответствующем радиусам кривизны этих менисков, т. е. определяемых уравнением (III.72). Таким образом, опорожнение капилляра происходит при меньшем давлении, чем его заполнение. Этим объясняется появление петли капиллярно-конденсационного гистерезиса. Так как реальные адсорбенты имеют поры различных форм и размеров, которые заполняются и опорожняются при разных давлениях, то реальные изотермы адсорбции имеют вид, показанный на рис. III.11. После рассмотренного примера легко представить появление гистерезиса в бутылочных порах (порах с узким выходом).

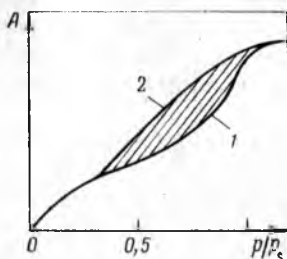
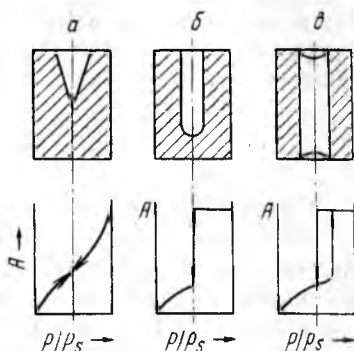


Рис. III.11. Изотерма адсорбции при капиллярной конденсации:

1 — кривая адсорбции; 2 — кривая десорбции

Рис. III.12. Виды пор и соответствующие им изотермы адсорбции:

a — конусообразная пора; *б* — цилиндрическая пора с одним открытым концом; *в* — цилиндрическая пора с двумя открытыми концами



Капиллярно-конденсационный гистерезис часто обусловлен и кинетическими причинами. Например, он может быть связан с проявлением гистерезиса смачивания. Сухая поверхность с адсорбированным воздухом хуже смачивается водой (потенциальный барьер), поэтому для заполнения пор требуется давление водяного пара несколько больше равновесного. При десорбции испарение происходит из пор, полностью смоченных водой. В отсутствие адсорбированного воздуха угол смачивания меньше и соответственно ниже давление пара при той же степени заполнения пор (или величине адсорбции).

Капиллярная конденсация описывается уравнением Кельвина, в которое входит радиус кривизны мениска, и это позволяет использовать его для расчета функции распределения пор по размерам. В принципе количественная характеристика дисперсных систем по дисперсности может быть представлена распределением массы, объема, числа частиц и других параметров по радиусу, поверхности, объему, массе и др. Перейти от одного вида распределения к другому сравнительно просто, особенно если поры или частицы имеют правильную форму. Метод расчета функций распределения частиц (пор) по размерам заключается в построении интегральных и дифференциальных кривых распределения.

Для пористых тел принято характеризовать распределение пор по их радиусам, поэтому *интегральная кривая распределения* выражает зависимость общего объема пор от их радиуса:

$$V_{\Pi} = f(r_{\Pi}) \quad (\text{III.75})$$

Дифференциал от общего объема пор, или объем пор, имеющих радиус в пределах от r_{Π} до $r_{\Pi} + dr_{\Pi}$, равен

$$dV_{\Pi} = f'(r_{\Pi}) dr_{\Pi} \quad (\text{III.76})$$

Интегрированием этой функции в пределах от $r_{\Pi} = 0$ до $r_{\Pi} = \infty$ находят общий объем пор V_0 в данной пробе или в единице массы пористого тела; при построении кривых распределения часто этот объем пор принимают за единицу или за 100%:

$$V_0 = \int_0^{\infty} f'(r_{\Pi}) dr_{\Pi} \quad \text{или} \quad \int_0^{\infty} f'(r_{\Pi}) dr_{\Pi} = 1 \quad (\text{III.77})$$

Если же интегрирование проводят в пределах от $r_{п1}$ до $r_{п2}$, то получают объем пор данной функции, или долю от общего объема, приходящуюся на эту фракцию:

$$\Delta V_{п} = \int_{r_1}^{r_2} f'(r) dr \quad \text{или} \quad \int_{r_1}^{r_2} f'(r) dr = \Delta V_{п}/V_0 \quad (\text{III.78})$$

Очевидно, что чем меньше различаются пределы интегрирования, тем ближе к истинным значениям функции распределения. Как следует из соотношений (III.76)—(III.78), другой функцией распределения для данного пористого тела является зависимость $f'(r_{п})$ или $dV_{п}/dr_{п}$ от $r_{п}$, которая называется *дифференциальной кривой распределения*. Она более четко и наглядно характеризует полидисперсность системы.

Для получения кривых распределения по методу капиллярной конденсации используют десорбционную ветвь изотермы адсорбции (см. рис. III.11), так как для всех без исключения пор она соответствует сферическим менискам, радиусы которых принимают за радиусы пор. Каждой точке кривой соответствуют определенные величины адсорбции A и относительного давления пара p/p_s . Зная величину адсорбции A , можно вычислить объем заполненных пор при данном давлении по уравнению, аналогичному (III.67):

$$V_{п} = AV_{м} \quad (\text{III.79})$$

Эффективный радиус сферического мениска r , соответствующий данному относительному давлению p/p_s , находят по уравнению Кельвина (III.72). Так как поры заполняются в результате капиллярной конденсации после полимолекулярной адсорбции на стенках пор, то истинное значение радиуса пор $r_{п}$ равно сумме радиуса мениска r при полном смачивании и толщины адсорбционного слоя $t_{адс}$:

$$r_{п} = r + t_{адс} \quad (\text{III.80})$$

Величину $t_{адс}$ определяют при том же давлении в отдельном эксперименте по адсорбции на непористых или макропористых адсорбентах той же природы (необходимо отсутствие капиллярной конденсации) и рассчитывают по формуле

$$t_{адс} = A_{нп} V_{м}/s_{уд} \quad (\text{III.81})$$

где $A_{нп}$ — величина адсорбции на непористом адсорбенте при соответствующем давлении; $s_{уд}$ — удельная поверхность непористого адсорбента.

Зная $V_{п}$ (III.79) и соответствующие значения $r_{п}$ (III.80), строят интегральную кривую распределения (III.75), типичный вид которой представлен на рис. III.13а. Чтобы избежать случайных погрешностей, интегральную кривую «выравнивают» (т. е. усредняют) и после этого с помощью графического диф-

Рис. III.13. Интегральная (а) и дифференциальная (б) кривые распределения объема пор по их радиусам

ференцирования строят дифференциальную кривую распределения (рис. III.13б). Каждая точка на интегральной кривой распределения, например, V_1 при r_1 дает объем пор с радиусами от минимального до r_1 . По этой кривой можно определить объем пор $\Delta V = V_2 - V_1$ с радиусами от r_1 до r_2 и общий объем пор V_0 (рис. III.13а).

По дифференциальной кривой распределения объем пор (или долю от общего объема пор), размеры которых лежат в пределах от r_1 до r_2 (т. е. объем данной фракции пор) определяется площадью, заключенной между осью абсцисс, дифференциальной кривой и ординатами r_1 и r_2 (рис. III.13б). Чем резче выражен максимум и уже дифференциальная кривая, тем меньше различаются поры по размерам.

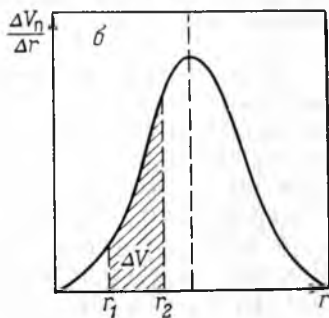
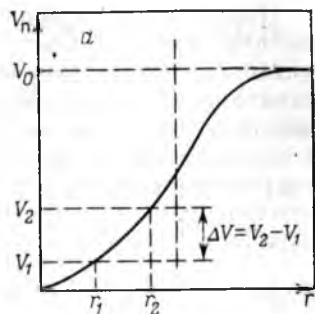
Из кривых распределения видно, что общий объем малых пор относительно небольшой. Однако доля поверхности, приходящаяся на эти поры, существенно большая. С увеличением размера пор объем растет быстрее, чем поверхность, и в связи с этим максимум дифференциальной кривой распределения поверхности по размерам пор сдвинут в сторону меньших радиусов. Построение разных кривых распределения позволяет более правильно представить структуру пористого тела, например, судить о степени полидисперсности.

Существует метод исследования и построения кривых распределения, не требующий предположений относительно формы пор. Этот «безмодельный» метод основан на общем термодинамическом соотношении, полученном А. В. Киселевым:

$$\Delta \mu dn = \sigma ds \quad (III.82)$$

где $\Delta \mu$ — изменение химического потенциала адсорбата (адсорбционный потенциал с обратным знаком), dn — число молей жидкости, сконденсированное в порах; ds — уменьшение поверхности адсорбента в результате заполнения пор адсорбатом.

Соотношение (III.82) показывает эквивалентность превращения поверхностной энергии в химическую (энергию адсорбции).



Чтобы найти удельную поверхность адсорбента, необходимо проинтегрировать уравнение (III.82) во всей области капиллярной конденсации: от максимальной поверхности (начало капиллярной конденсации) до минимальной (максимальное заполнение пор). Так как при максимальной степени заполнения пор свободной поверхностью можно пренебречь, то поверхность s адсорбента равна:

$$s = - \frac{RT}{\sigma} \int_{n_k}^{n_{\infty}} [\ln(p/p_s)] dn \quad (\text{III.83})$$

где n_k — число молей адсорбированной жидкости, отвечающее началу гистерезисной петли.

Для построения кривых распределения пор по размерам всю область капиллярной конденсации от n_k до n_{∞} разбивают на отдельные участки, которым соответствуют определенные приращения поверхности. Зная изменения Δn и соответствующие им Δs , можно рассчитать размеры пор и построить кривые распределения. Необходимо обратить внимание на то, что данный метод не учитывает изменения поверхности, которое происходит до гистерезисной петли. Однако эти изменения слабо влияют на удельную поверхность и размер пор.

5. Теория объемного заполнения микропор

Ранее отмечалось, что размеры микропор соизмеримы с размерами адсорбируемых молекул. В отличие от молекул ленгмюровского монослоя в микропорах молекулы, расположенные главным образом вдоль поры, взаимодействуют друг с другом подобно взаимодействию при образовании полимолекулярного слоя; в отличие же от последнего большинство молекул в микропорах находится в непосредственном контакте со стенками поры. Поэтому ни теория БЭТ, ни теория Ленгмюра для описания процесса адсорбции микропористыми телами неприменимы. Имеется в виду, конечно, не формальное применение уравнений, а главным образом получение правильных значений постоянных параметров уравнений, имеющих определенный физический смысл. В микропорах происходит объемное заполнение адсорбционного пространства, поэтому целесообразно принять за основной геометрический параметр пористого адсорбента не поверхность, а объем микропор.

На первый взгляд может показаться, что закономерности заполнения микропор должны следовать теории капиллярной конденсации. Однако размеры микропор таковы, что в них происходит перекрытие полей поверхностных сил противоположных стенок пор, что значительно повышает энергию адсорб-

ции и искажает профиль мениска конденсата в порах, соответствующий уравнению Кельвина, т. е. приводит к дополнительному всасыванию адсорбата, резкому увеличению адсорбционного потенциала. Этот эффект четко наблюдается при исследовании адсорбции вещества пористыми адсорбентами одной природы, но имеющих разные размеры пор. Если размеры пор и молекул адсорбата сопоставимы, происходит резкое увеличение адсорбции в области малых равновесных давлений. Гистерезис в микропорах обычно не наблюдается.

Особенности адсорбции на микропористых телах проявляются в их избирательном действии. Избирательность, или селективность, микропористых адсорбентов существенно выше, чем переходнопористых, благодаря тому, что большинство адсорбированных молекул взаимодействуют непосредственно с поверхностью адсорбента. В более крупных порах такое взаимодействие характерно только для первого слоя. В последующих же слоях взаимодействие не зависит от природы адсорбента, а определяется только природой адсорбата. Кроме этой особенности у микропор может проявляться так называемый ситовой эффект, заключающийся в том, что адсорбироваться могут только те молекулы, размеры которых меньше размеров микропор или равны им, в связи с чем все микропористые адсорбенты (не только цеолиты) называют молекулярными ситами.

Переходя к количественным соотношениям теории объемного заполнения пор, необходимо отметить, что в ее основе лежат представления потенциальной теории Поляни, предложенной первоначально для описания полимолекулярной адсорбции, исходя из двух основных параметров: адсорбционного потенциала ϵ и адсорбционного объема V

$$\epsilon = RT \ln (p_s/p) \text{ и } V = AV_n$$

в двух положениях (III.68) и (III.71):

$$\left(\frac{\partial \epsilon}{\partial T} \right)_V = 0 \text{ и } (\epsilon/\epsilon_0)_V = \beta$$

Используя указанные представления теории Поляни и обобщив большой экспериментальный материал, М. М. Дубинин с сотр. пришел к выводу о возможном использовании функции распределения Вейбула в качестве функции распределения адсорбционного объема по значению адсорбционного потенциала для описания адсорбции на микропористых адсорбентах. Применительно к распределению степени заполнения по адсорбционному потенциалу функцию распределения Вейбула представляют соотношением

$$\theta = \exp [- (\epsilon/E)^n] \quad (\text{III.84})$$

где E и n — параметры, не зависящие от температуры.

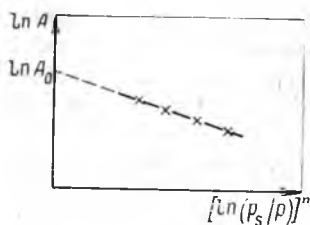


Рис. III.14. Линейная форма основного уравнения теории объемного заполнения микропор

Величина E называется *характеристической энергией адсорбции*. Отношение характеристических энергий для двух адсорбатов равно коэффициенту аффинности. Показатель степени n

выражается целыми числами от 1 до 6 в зависимости от структуры адсорбента.

Степень заполнения адсорбента можно представить как отношение величины адсорбции A к максимальной адсорбции A_0 , или как отношение заполненного объема V к предельному объему адсорбционного пространства V_0 , приведенных к нормальным условиям (давлению и температуре). Тогда из уравнения (III.84), включив коэффициент аффинности, получим:

$$V = V_0 \exp[-(\epsilon/\beta E_0)^n] \quad (III.85)$$

или

$$A = A_0 \exp[-(\epsilon/\beta E_0)^n] \quad (III.86)$$

где E_0 — характеристическая энергия адсорбции для стандартного адсорбата.

Уравнения (III.85) и (III.86) являются общими уравнениями теории объемного заполнения микропор. В логарифмическом виде уравнение (III.85) имеет линейную форму:

$$\ln A = \ln A_0 - \frac{1}{\beta^n E_0^n} \epsilon^n \quad (III.87)$$

Заменяв адсорбционный потенциал на его выражение через давление пара (II.82), уравнение (III.87) можно записать так:

$$\ln A = \ln A_0 - \frac{R^n T^n}{\beta^n E_0^n} [\ln(p_s/p)]^n \quad (III.88)$$

Построение прямой в координатах $\ln A \rightarrow [\ln(p_s/p)]^n$ (рис. III.14) дает возможности найти константы этого уравнения A_0 и E . Объем микропор V_{II} рассчитывают по уравнениям

$$V_{II} = \frac{A_0 M}{\rho_{ж}} \quad \text{или} \quad V_{II} = \frac{V_0 M}{22,4 \rho_{ж}} \quad (III.89)$$

где M — молекулярная масса адсорбата; $\rho_{ж}$ — плотность адсорбата в жидком состоянии.

Температурная инвариантность уравнений (III.87) и (III.88) позволяет вычислить изотермы адсорбции данного адсорбата при других температурах, а коэффициенты аффинности — рассчитать зависимости для других адсорбатов.

Для большинства активных углей справедливо распределение Гаусса, т. е. $n=2$, тогда уравнение (III.88) переходит в уравнение Дубинина — Радужкевича:

$$\ln A = \ln A_0 - B \frac{T^2}{\beta^2} [\ln(p_s/p)]^2 \quad (\text{III.90})$$

где B — константа, характеризующая энергию адсорбции.

Коэффициент аффинности для активных углей приблизительно равен отношению парахоров рассматриваемого и стандартного веществ. Парахор не зависит от температуры, поэтому эта величина удобна для характеристики адсорбатов.

Для многих крупнопористых активных углей справедливо уравнение теории объемного заполнения пор с $n=1$:

$$\ln A = \ln A_0 + B' \frac{T}{\beta} \ln(p/p_s) \quad \text{или} \quad A = A_0 (p/p_s)^k \quad (\text{III.91})$$

где B' — константа, характеризующая энергию адсорбции на крупнопористом адсорбенте, $k = B'T/\beta$ — константа.

Интересно, что уравнение (III.91) подобно уравнению адсорбции Фрейндлиха, в котором показатель степени при давлении (концентрации) равен выражению перед логарифмом отношения давлений. Таким образом, уравнение Фрейндлиха является частным случаем общего уравнения изотермы адсорбции в теории объемного заполнения микропор.

6. Влияние структуры пористого тела на адсорбцию. Практическое использование адсорбции газов и паров

В отличие от адсорбции на телах с ровной поверхностью адсорбция на пористых телах существенно зависит от структуры пористого тела, от его пористости и размера пор. Как уже отмечалось, положительная адсорбция на пористых телах возможна при наличии достаточного сродства между адсорбентом и адсорбатом для обеспечения смачивания.

При малых давлениях закономерности адсорбции в макропористых и переходнопористых адсорбентах, как и для адсорбции на ровной поверхности, определяются, главным образом, природой взаимодействующих компонентов (адсорбента и адсорбата). Чтобы увеличить адсорбцию, подбирают адсорбенты, полученные из веществ, имеющих большее сродство к данному адсорбату. Микропористая структура обеспечивает резкое увеличение адсорбционного потенциала вследствие перекрытия поверхностных сил. Поэтому для увеличения адсорбционной способности адсорбентов при малых давлениях изменяют их структуру, превращая их в микропористые тела. Показательным примером является активирование углей; можно получать активные угли с широким спектром размеров пор.

Таблица III.1. Адсорбция газов на древесном угле

Газ	Мол. масса	$T_{кип}$, К	$T_{ир}$, К	Поверхностное натяжение σ , мДж/м ²	Величина адсорбции при 15 °С, см ³ /г
SO ₂	64	263	430	37,2	379,7
NH ₃	17	240	405	35,6	180,9
N ₂ O	44	183	309	26,3	54,2
C ₂ H ₂	26	189	308	18,2	48,9
CO ₂	44	195	304	16,5	47,6
CO	28	81	134	12,11	9,3
N ₂	28	77	126	10,53	8,0
H ₂	2	20	33	2,84	4,7

С увеличением давления газа и пара начинают действовать капиллярные силы в переходных порах. В связи с этим адсорбционный потенциал возрастает по сравнению с потенциалом при адсорбции на ровной поверхности (или в макропорах) и конденсация происходит при меньших давлениях. Чем меньше размер пор, тем при более низких давлениях они заполняются.

Избирательность адсорбции определяется прежде всего природой подлежащих разделению газов и паров. При малых давлениях решающим фактором, определяющим избирательность, является сродство к поверхности адсорбента. Чем больше различие в сродстве адсорбируемых газов к поверхности адсорбента, тем легче разделить газовую смесь. Для микропористых адсорбентов дополнительную роль играет молекулярно-ситовой эффект. При наступлении конденсации в переходных порах с увеличением давления или понижением температуры основное влияние на распределение начинает оказывать природа газов и, конечно, их способность к конденсации. Чем меньше давление, при котором газ начинает конденсироваться, тем он лучше будет адсорбироваться на пористом адсорбенте. Эта закономерность иллюстрируется данными по адсорбции газов на древесном угле, приведенными в табл. III.1.

Как видно из данных табл. III.1, закономерности адсорбции на древесном угле определяются, главным образом, межмолекулярными взаимодействиями веществ в конденсированном состоянии (силами когезии). С ростом когезионных сил увеличиваются поверхностное натяжение, температура кипения, критическая температура, что отражает представленное в табл. III.1 увеличение адсорбции в этом направлении. Лучшее соответствие должно наблюдаться при сравнении величины адсорбции с произведением поверхностного натяжения на мольный объем адсорбата в жидком состоянии, как это следует из уравнения Кельвина. Макропоры имеют малую поверхность и поэтому доля адсорбированного в них вещества небольшая. Основная роль

макропор в адсорбентах заключается в обеспечении транспорта молекул адсорбата к переходным порам и микропорам.

Пористость и дисперсность определяют удельную поверхность адсорбентов, с увеличением которой растет количество извлекаемого вещества, приходящегося на единицу массы (или объема) адсорбента — емкость адсорбента. При одной и той же массе адсорбента с ростом удельной поверхности уменьшается равновесная концентрация в объеме раствора [см. уравнение (III.11)]. Удельная поверхность выступает в роли термодинамического параметра дополнительно к давлению и температуре. Эффект увеличения удельной поверхности проявляется, например, при извлечении поверхностно-активных веществ с помощью эмульгирования или пенообразования. При введении эмульгаторов или пенообразователей резко возрастает межфазная поверхность (дисперсность) и соответственно увеличивается количество извлекаемого ПАВ из объемной фазы. Механическим способом снимают всплывающую пену, а с ней и извлекаемое ПАВ.

Структура пористого тела в значительной степени может влиять на кинетику адсорбции. При адсорбции на пористых телах появляется стадия переноса вещества внутри пор, для которой характерен, главным образом, диффузионный механизм. Часто эта стадия определяет время установления адсорбционного равновесия.

Адсорбция газов и паров широко применяется для извлечения отдельных компонентов из газовых смесей и для полного разделения смесей. Н. Д. Зелинский впервые предложил использовать активные угли для поглощения отравляющих газов. Активные угли применяют для рекуперации растворителей: ацетона, бензола, ксилола, сероуглерода, хлороформа и других, выбросы которых промышленными предприятиями оцениваются в сотни тысяч тонн. Даже при малых концентрациях их в отходящих газах (несколько грамм в 1 м³) степень извлечения путем адсорбции на активных углях может достигать до 95—99%. Большое количество диоксида серы выбрасывается в атмосферу промышленными предприятиями разных стран мира: тепловыми электростанциями, предприятиями черной и цветной металлургии, химической и нефтеперерабатывающей промышленности и др. Для улавливания диоксида серы применяют адсорбционные установки, заполненные активными углями и цеолитами. Адсорбционный метод используют также для очистки воздуха от сероуглерода, сероводорода и других агрессивных вредных газов.

Улавливание различных промышленных выбросов не только имеет технико-экономическое значение, но и обуславливает создание необходимых санитарных условий жизни и работы человека, обеспечивает охрану окружающей среды.

Адсорбция широко применяется для осушки газов в различных целях: для повышения теплотворной способности природного газа, предотвращения образования ледяных «пробок» в трубопроводах, обеспечения сухой атмосферы в производствах и т. д. Для осушки газов чаще всего применяют силикагели, алюмогели и цеолиты. Благодаря высокой избирательности цеолитов, обусловленной как молекулярно-ситовым эффектом, так и специфическим сродством к полярным, ароматическим и непредельным соединениям, они используются в промышленности также для разделения газовых смесей: этан — этилен, пропан — пропилен, этилен — диоксид углерода, ароматические углеводороды — нормальные парафины, бензол — циклогексан и др.

Адсорбция газов и паров обуславливает и сопровождает многие промышленные и природные процессы. Так, адсорбция компонентов является важнейшей стадией любой гетерогенной реакции, протекающей например, в системе газ — твердое тело, так как твердая фаза может обмениваться веществом только с адсорбированным слоем. Огромную роль адсорбция играет в гетерогенном катализе, когда на поверхности катализатора происходит концентрирование компонентов, определенное ориентирование их молекул, поляризация или вообще переход в наиболее активное состояние, которое способствует ускорению превращения вещества. Питание растений диоксидом углерода из воздуха связано с предварительной и обязательной стадией адсорбции газа на листьях. Дыхание животных и человека, заключающееся в поглощении из воздуха кислорода и выделении диоксида углерода и водяных паров, протекает в результате предварительной адсорбции кислорода на поверхности легких.

В. ОБМЕННАЯ МОЛЕКУЛЯРНАЯ АДСОРБЦИЯ ИЗ РАСТВОРОВ

1. Гиббсовская адсорбция из бинарных растворов

При рассмотрении адсорбции газов и паров на твердых адсорбентах допускалось, что до адсорбции поверхность адсорбента свободна от молекул адсорбата и она постепенно заполняется адсорбатом с ростом давления в соответствии с изотермой адсорбции. При адсорбции из жидких растворов поверхность адсорбента всегда полностью занята молекулами растворителя и растворенного вещества. Растворенное вещество может адсорбироваться только вытесняя из поверхностного слоя молекулы растворителя, т. е. происходит обменная молекулярная адсорбция. Таким образом, в адсорбции из растворов участвуют как минимум два адсорбирующихся компонента. Применительно к молекулярной адсорбции из бинарного раствора фун-

даментальное адсорбционное уравнение Гиббса (II.63) принимает вид

$$-d\sigma = \Gamma_1 d\mu_1 + \Gamma_2 d\mu_2 \quad (\text{III.92})$$

где Γ_1 и Γ_2 — величина гиббсовской адсорбции компонентов 1 (растворитель) и 2 (растворенное вещество) соответственно.

Чтобы связать величины гиббсовской адсорбции с концентрациями компонентов в растворе, используем уравнение Гиббса — Дюгема:

$$x_1 d\mu_1 + x_2 d\mu_2 = 0 \quad (\text{III.93})$$

где x_1 и x_2 — молярные доли компонентов 1 и 2 в растворе. Выражение концентраций в молярных долях удобно для описания обменной адсорбции, так как позволяет выразить концентрацию одного компонента через концентрацию другого.

Из уравнения (III.93) найдем выражение для $d\mu_1$, которое затем подставим в уравнение (III.92):

$$-d\sigma = (\Gamma_2 - \Gamma_1 x_2/x_1) d\mu_2 \quad (\text{III.94})$$

Для получения зависимости Γ_2 от x_2 (изотермы) допустим, что общее число молей компонентов 1 и 2 в поверхностном слое до и после адсорбции остается одним и тем же. Тогда при адсорбции добавление одного компонента в поверхностном слое будет равно убыли другого компонента, следовательно, $\Gamma_2 = -\Gamma_1$. Подставляя это соотношение в уравнение (III.94) и учитывая, что $x_1 + x_2 = 1$, получим:

$$\Gamma_2 = -(1 - x_2) d\sigma/d\mu_2 \quad (\text{III.95})$$

Выразив химический потенциал μ_2 через активность компонента a_2 , можно записать

$$\Gamma_2 = -(1 - x_2) \frac{a_2}{RT} \cdot \frac{d\sigma}{da_2} \quad (\text{III.96})$$

Уравнения (III.95) и (III.96) аналогичны уравнению Гиббса для адсорбции из разбавленных растворов (II.71), однако они отражают более общую зависимость и справедливы для всей области концентраций. Если концентрация второго компонента (растворенного вещества) стремится к нулю, то эти уравнения переходят в уравнение Гиббса для разбавленных растворов. Для практического использования уравнений (III.95) и (III.96) необходимо знать или предварительно определить активности компонентов в растворах и межфазное натяжение. Несмотря на то, что эти уравнения справедливы для адсорбции из растворов на любой границе раздела, их используют обычно для описания адсорбции в системах жидкость — газ и жидкость — жидкость, что связано с возможностью определения межфазного натяжения. Однако анализ этих уравнений позволяет получить общее представление об изменении гиббсовской

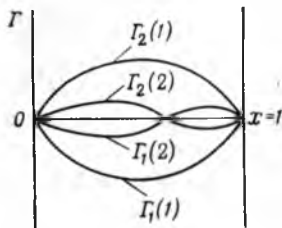


Рис. III.15. Зависимость гиббсовской адсорбции от состава бинарного раствора:

$\Gamma_2(1)$ и $\Gamma_1(1)$ — соответственно положительная и отрицательная адсорбция компонентов бинарного раствора, $\Gamma_1(2)$ и $\Gamma_2(2)$ — иллюстрация адсорбционной азеотропии

адсорбции компонентов в зависимости от состава раствора и на границе с твердым телом.

Типичные зависимости гиббсовской адсорбции от состава бинарного раствора представлены на рис. III.15. В соответствии с уравнением (III.96) гиббсовская адсорбция компонента 2 при всех его концентрациях положительна, если с увеличением концентрации межфазное натяжение уменьшается. При этом условии зависимость Γ_2 от состава раствора имеет максимум [кривая $\Gamma_2(1)$]. Максимум обусловлен главным образом тем, что величина адсорбции Γ_2 пропорциональна произведению x_1x_2 (так как $1-x_2=x_1$ и $a_2=x_2\gamma$, где γ_2 — коэффициент активности компонента 2), а максимум функции $y=x_1x_2=(1-x_2)x_2=x_2-x_2^2$ отвечает условию $dy/dx=1-2x_2=0$ или $x_1=x_2=0,5$. Изменение величин σ и γ , входящих в уравнение (III.96), с изменением состава раствора влияет на координаты максимума.

Если компоненты бинарного раствора имеют близкие значения поверхностной активности, то возможно изменение знака величины гиббсовской адсорбции с изменением состава раствора, что соответствует пересечению изотермы адсорбции с осью составов [кривая $\Gamma_2(2)$]. Точка пересечения отвечает такому состоянию системы, при котором составы раствора и поверхностного слоя одинаковы. Это значит, что компоненты раствора не могут быть разделены с помощью данного адсорбента. Такое явление получило название *адсорбционной азеотропии*. Очевидно, что для компонента 1 зависимость Γ_1 от x_1 будет симметрична зависимости Γ_2 от x_2 относительно оси составов, так как при данном адсорбенте, если второй компонент поверхностно-активен по отношению к первому, то первый — поверхностно-инактивен по отношению ко второму. Кроме того, предполагается (сделано допущение), что приращение в поверхностном слое одного компонента равно убыли другого.

Наглядную зависимость величины гиббсовской адсорбции от состава раствора можно получить, рассматривая баланс перераспределения компонентов между объемом и поверхностным слоем. Обозначим через n_0 общее число молей в системе, из которых n_V — число молей в объеме, n_S — число молей в поверхностном слое, n_1 — число молей компонента 1 и n_2 — число молей компонента 2 в объеме после адсорбции, A_1 и A_2 — чис-

до молей соответственно компонентов 1 и 2, приходящихся на единицу площади поверхностного слоя (площадью s). Тогда общее число молей обоих компонентов в системе составит

$$n_0 = n_1 + n_2 + A_1 s + A_2 s \quad (\text{III.97})$$

Молярные доли компонента 2 до и после адсорбции равны:

$$x_{02} = (n_2 + A_2 s) / n_0; \quad x_2 = n_2 / (n_1 + n_2) \quad (\text{III.98})$$

Используя соотношения (III.98), запишем выражение для величины гиббсовской адсорбции компонента 2 (II.49). Именно этот гиббсовский избыток получается при расчете величины адсорбции по разности количеств вещества в объеме до и после адсорбции:

$$\Gamma_2 = \frac{n_0(x_{02} - x_2)}{s} = \frac{n_0(n_1 n_2 + n_2^2 + A_2 n_1 s + A_2 n_2 s - n_2 n_0)}{n_0(n_1 + n_2)s} \quad (\text{III.99})$$

Подставив вместо n_0 (в скобках) его выражение (III.97), получим

$$\begin{aligned} \Gamma_2 &= \frac{n_1 n_2 + n_2^2 + A_2 n_1 s + A_2 n_2 s - n_1 n_2 - n_2^2 - A_1 n_2 s - A_2 n_2 s}{(n_1 + n_2)s} = \\ &= \frac{A_2 n_1 - A_1 n_2}{n_1 + n_2} = A_2 x_1 - A_1 x_2 \\ &\text{или } \Gamma_2 = A_2 x_1 - A_1 x_2 \end{aligned} \quad (\text{III.100})$$

Соотношение (III.100) также описывает зависимости, представленные на рис. III.15. Для удобства его анализа умножим и разделим правую часть уравнения на $x_1 x_2$:

$$\Gamma_2 = x_1 x_2 (A_2 / x_2 - A_1 / x_1) \quad (\text{III.101})$$

Отношения A_1 / x_1 и A_2 / x_2 характеризуют коэффициенты распределения компонентов между поверхностным слоем и объемом раствора. Если при всех составах раствора $A_2 / x_2 > A_1 / x_1$, то $\Gamma_2 > 0$, а произведение $x_1 x_2$ объясняет наличие максимума [кривая $\Gamma_2(1)$]. Если в системе возможно увеличение коэффициента распределения компонента 1 при изменении состава раствора, то изотерма адсорбции пересекает ось составов [кривая $\Gamma_2(2)$] в точке, соответствующей равенству $A_1 / x_1 = A_2 / x_2$. Из соотношения (III.101) следует симметричность изотермы адсорбции компонента 1 по отношению к изотерме адсорбции компонента 2.

2. Уравнение изотермы адсорбции из растворов с константой обмена

При обменной молекулярной адсорбции из растворов происходит перераспределение компонентов между объемом раствора и поверхностным слоем. Обмен одного компонента в объеме

раствора или поверхностном слое на другой можно представить как квазихимическую обменную реакцию между компонентами В (компонент 1) и С (компонент 2) с константой обмена K_a

$$\bar{B} + C \rightleftharpoons \bar{C} + B; \quad K_a = \bar{a}_2 a_1 / (\bar{a}_1 a_2) \quad (\text{III.102})$$

где \bar{B} и \bar{C} — компоненты, находящиеся в поверхностном слое; \bar{a}_i и a_i — активность компонентов в поверхностном слое и объеме соответственно

Если выразить активность компонентов через молярную долю x и коэффициент активности γ , то уравнение (III.102) примет вид

$$K_a = \frac{\bar{x}_2 x_1}{x_1 \bar{x}_2} \cdot \frac{\bar{\gamma}_2 \gamma_1}{\gamma_1 \bar{\gamma}_2} = K_\gamma \frac{\bar{x}_2 x_1}{x_1 \bar{x}_2} = K_\gamma K \quad (\text{III.103})$$

где K_γ — коэффициент, учитывающий изменения коэффициентов активности с изменением состава раствора (их отклонения от единицы); K — концентрационная константа обмена.

Константа K равна

$$K = \bar{x}_2 x_1 / (\bar{x}_1 x_2) = D_2 / D_1 \quad (\text{III.104})$$

где $D_i = \bar{x}_i / x_i$ — коэффициент распределения компонента между поверхностным слоем и объемом раствора; \bar{x}_i , x_i — молярные доли компонента в поверхностном слое и в объеме раствора.

Выразим молярную долю компонента 1 через молярную долю компонента 2 ($x_1 + x_2 = 1$), тогда уравнение (III.104) примет вид

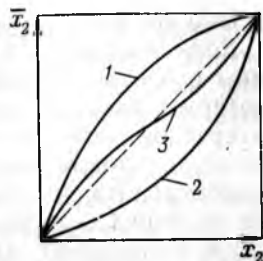
$$K = \frac{\bar{x}_2 (1 - x_2)}{(1 - \bar{x}_2) x_2}$$

Из этого уравнения найдем молярную долю компонента 2 в поверхностном слое:

$$\bar{x}_2 = \frac{K x_2}{1 + (K - 1) x_2} \quad (\text{III.105})$$

Уравнение (III.105) называют общим уравнением изотермы адсорбции из бинарных растворов с константой обмена. Константа K является также коэффициентом разделения компонентов 1 и 2, т. е. отношением коэффициентов распределения второго и первого компонентов (III.104). Концентрационная константа обмена равна термодинамической константе обмена K_a только при условии $K_\gamma = 1$ (III.103). Если коэффициенты активности компонентов и соответственно K_γ изменяются при изменении состава раствора, то не останется постоянной и K (III.103). Выражение концентраций в молярных долях позволяет графически представить изотерму при всех соотношениях компонентов, даже для неограниченно смешивающихся веществ (рис. III.16).

Рис. III.16. Изотермы адсорбции из бинарного раствора в соответствии с уравнением (III.105): 1 — $K > 1$; 2 — $K < 1$; 3 — иллюстрация адсорбционной азеотропии



Проведем анализ зависимости (III.105). Если $x_2 \rightarrow 0$, то при любом значении K в знаменателе уравнения (III.105) можно пренебречь величиной $(K-1)x_2$, и тогда изотерма приобретает вид закона Генри:

$$\bar{x}_2 = Kx_2 \quad (III.106)$$

Поэтому в начале изотермы наблюдается линейная зависимость \bar{x}_2 от x_2 . При $K > 1$ изотерма идет выше диагонали (рис. III.16, кривая 1), при $K < 1$ — ниже диагонали (рис. III.16, кривая 2), при $K = 1$ — по диагонали.

Проанализируем ход изотермы адсорбции из растворов с ростом концентрации при $K \gg 1$ и $K \ll 1$. При таких условиях можно не учитывать влияние изменения K_7 . Если $K \gg 1$, то разность $(K-1)$ имеет положительный знак и уравнение (III.105) принимает вид, аналогичный уравнению Ленгмюра:

$$\bar{x}_2 = \frac{Kx_2}{1 + K'x_2} \quad (III.107)$$

где $K' \approx K$ при $K \gg 1$.

Из соотношения (III.107) следует, что знаменатель растет с увеличением концентрации компонента 2 в объеме, и первоначальный прямолинейный участок зависимости \bar{x}_2 от x_2 переходит в кривую выпуклой формы — рост величины адсорбции замедляется с увеличением концентрации компонента в объеме (рис. III.16, кривая 1).

Если $K \ll 1$, то разность $(K-1)$ приобретает отрицательный знак и уравнение (III.105) переходит в соотношение:

$$\bar{x}_2 = \frac{Kx_2}{1 - K''x_2} \quad (III.108)$$

Следовательно, при увеличении концентрации компонента 2 в объеме знаменатель уравнения (III.108) уменьшается и более быстро возрастает величина адсорбции (см. рис. III.16, кривая 2). Зависимость приобретает вид вогнутой кривой. Изотермы при $K > 1$ и $K < 1$ сходятся в точке, для которой справедливо соотношение

$$x_2 = \bar{x}_2 = 1 \quad (III.109)$$

Оно также следует из уравнения (III.105).

Если константа K мало отличается от единицы, т. е. величины сродства компонентов к адсорбенту близки, то на форму изотермы могут влиять изменения коэффициента K_7 . Наиболее интересной зависимостью является изменение знака величины $(K-1)$ с изменением состава раствора. Например, при малых концентрациях изотерма может проходить выше диагонали, а при больших — ниже ее, пересекая в точке $K=1$. Это соответствует проявлению адсорбционной азеотропии.

Молярные доли компонентов в поверхностном слое практически определить так же трудно, как и абсолютную величину адсорбции A . Если один из компонентов адсорбируется значительно лучше другого, то можно принять величину адсорбции A равной величине гиббсовской адсорбции Γ . Последняя, как уже упоминалось, экспериментально определяется по разности количества вещества в объеме до и после адсорбции [см. уравнения (II.49) или (III.99)]. Если компоненты близки по адсорбционной способности, то для определения величины адсорбции A можно воспользоваться уравнением, связывающим величины A и Γ (III.100), а также соотношением (III.105). Соотношение (III.105) можно записать относительно величины адсорбции A , если учесть, что

$$A_1 + A_2 = n_s, \quad \bar{x}_1 = A_1/n_s, \quad \bar{x}_2 = A_2/n_s \quad (\text{III.110})$$

Тогда для второго и первого компонентов соответственно имеем:

$$A_2 = \frac{n_s K x_2}{1 + (K-1)x_2}, \quad A_1 = n_s - A_2 = \frac{n_s x_1}{1 + (K-1)x_2} \quad (\text{III.111})$$

Подставляя эти выражения в уравнение (III.100) найдем:

$$\frac{n_0 \Delta x_2}{s} = \frac{n_s x_1 x_2 (K-1)}{1 + (K-1)x_2} \quad (\text{III.112})$$

Для удобства обработки экспериментальных результатов полученное соотношение записывают в линейной форме:

$$\frac{s x_1 x_2}{n_0 \Delta x_2} = \frac{1}{n_s (K-1)} + \frac{1}{n_s} x_2 \quad (\text{III.113})$$

Линейная зависимость в координатах $s \cdot x_1 x_2 / (n_0 \Delta x_2) \rightarrow x_2$ позволяет определить графически величины n_s и K , а используя уравнение (III.111), можно рассчитать A_2 и построить изотерму адсорбции $A_2 = f(x_2)$.

3. Селективность адсорбции из растворов

Селективность адсорбции характеризуют коэффициентом разделения — отношением коэффициентов распределения разделяемых компонентов. Если коэффициент распределения компонента выразить через поверхностную A и объемную c концентрации

$$D = A/c \quad (\text{III.114})$$

то коэффициент разделения компонентов 1 и 2 будет равен

$$\beta_{1/2} = D_1/D_2 = A_1 c_2 / (A_2 c_1) \quad (\text{III.115})$$

Коэффициент разделения показывает, во сколько раз различаются коэффициенты распределения разделяемых компонентов или во сколько раз отношение величин адсорбции разделяемых компонентов больше их отношения равновесных концентраций в объеме раствора.

Коэффициенты распределения и разделения не зависят от соотношения между количествами адсорбента (его поверхности) и раствора и поэтому не могут характеризовать распределение массы вещества между этими двумя фазами. Распределение массы вещества характеризуется степенью извлечения и степенью разделения. Степень извлечения есть отношение количества вещества в одной из равновесных фаз (в объеме раствора или в поверхностном слое) к общему его количеству. Например, для поверхностного (адсорбционного) слоя степень извлечения \bar{E} равна:

$$\bar{E} = \frac{As}{As + cV} = \frac{Ds/V}{1 + Ds/V} \quad (\text{III.116})$$

где s и V — соответственно площадь межфазной поверхности и объем раствора.

Степень извлечения выражается в долях и процентах.

Степень разделения, как и степень извлечения, может относиться или к фазе, в которую переходит вещество, или к фазе, из которой извлекается вещество. Она определяется отношением степеней извлечения разделяемых веществ. Например, в адсорбционном слое степень разделения \bar{Z} равна:

$$\bar{Z} = \frac{\bar{E}_1}{\bar{E}_2} = \frac{D_1(1 + D_2s/V)}{D_2(1 + D_1s/V)} \quad (\text{III.117})$$

Из соотношения (III.117) следует вывод о том, что если D_1 и D_2 уменьшаются и стремятся к нулю, то степень разделения стремится к максимальному значению, равному коэффициенту разделения (выражения в скобках сокращаются). Такая же зависимость наблюдается, если уменьшать соотношение между массой адсорбента и объемом раствора ($s = s_{уд}m$, где m — масса адсорбента). Таким образом, чем меньше степень извлечения веществ, тем лучше их разделение в поверхностном слое, и тем хуже разделение в объеме раствора. В то же время увеличение степени извлечения компонентов ведет к ухудшению их разделения на адсорбенте.

Факторы, влияющие на селективность адсорбции, многочисленны, и основными из них являются сродство компонентов к поверхности адсорбента и к растворителю. Это следует, например, из уравнений для обменной адсорбции (III.102) и (III.103). Если константу обмена выразить через отношение

констант распределения компонентов (констант Генри), то после некоторого преобразования уравнения получим:

$$\beta_{1/2} = \frac{K_{\Gamma_1}}{K_{\Gamma_2}} \frac{\bar{\gamma}_2 \gamma_1}{\gamma_1 \bar{\gamma}_2} = \frac{K_{\Gamma_1}}{K_{\Gamma_2}} K_{\gamma} \quad \left. \vphantom{\beta_{1/2}} \right\} \text{ (III.118)}$$

или $\lg \beta_{1/2} = \lg K_{\Gamma_1} - \lg K_{\Gamma_2} + \lg K_{\gamma}$

Логарифмы констант распределения в свою очередь, как известно, пропорциональны разности между сродством компонента к адсорбенту и его сродством к растворителю. Таким образом, коэффициент разделения определяется сродством разделяемых компонентов к адсорбенту, к растворителю и соотношением между коэффициентом активности компонентов в объеме и поверхностном слое. Отсюда следует, что из двух растворимых компонентов преимущественно будет адсорбироваться тот, который имеет большее сродство к адсорбенту и меньшее — к растворителю. Эта зависимость может искажаться в связи с изменением коэффициентов активности при изменении состава раствора.

Сродство к адсорбенту определяется свойствами адсорбента и адсорбата. Степень влияния адсорбента на величину адсорбции определяется химической природой его поверхности и размером пор. Поверхность адсорбента может содержать функциональные группы, способные к специфическим взаимодействиям с адсорбатом, образованию водородных связей, диполь-дипольному взаимодействию и др. Соответственно будут вещества, более склонные к таким взаимодействиям, будут лучше адсорбироваться. В качестве примера на рис. III.17 представлены изотермы гиббсовской адсорбции бензола из растворов в *n*-гексане на различных адсорбентах. Как видно из рисунка

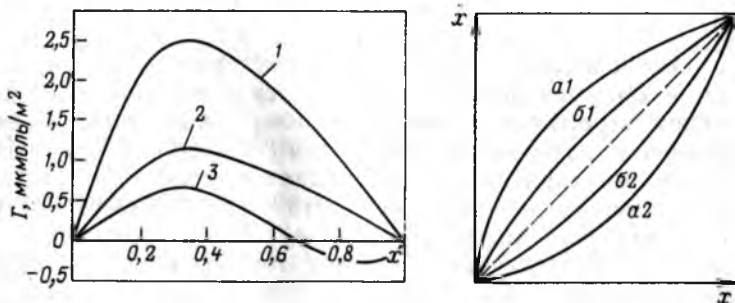


Рис. III.17. Изотермы гиббсовской адсорбции бензола из растворов в *n*-гексане на различных адсорбентах:

1 — на силикагеле с гидроксильной поверхностью; 2 — на силикагеле с сильно дегидроксильрованной поверхностью; 3 — на графитированной саже

Рис. III.18. Изотермы избирательной адсорбции органических веществ из водных растворов на активном угле КАД:

α1-α2 — анилин-нитроанилин; β1-β2 — фенол-анилин

бензол лучше адсорбируется на гидроксильированной поверхности, так как проявляет к ней специфическое сродство, обусловленное π -взаимодействием. К дегидроксильированной поверхности, а также к графитированной саже это специфическое сродство не проявляется и бензол адсорбируется практически также, как *n*-гексан (предельный углеводород).

Для оценки адсорбируемости веществ широко используется правило уравнивания полярностей, предложенное П. А. Ребиндером (1927 г.). Это правило заключается в том, что вещество может адсорбироваться на поверхности раздела фаз, если в результате его адсорбции будут уравниваться полярности этих фаз, т. е. по полярности это вещество должно занимать промежуточное положение между веществами, составляющими фазы. Это согласуется с тем, что из более полярной фазы на неполярной поверхности адсорбируется менее полярное вещество; чтобы оно вытеснялось и из менее полярной фазы, оно должно быть по сравнению с последней более полярным.

Хорошей иллюстрацией правила уравнивания полярностей является адсорбция органических соединений на углях. Изотермы адсорбции, представленные на рис. III.18 отражают избирательность адсорбции органических веществ из водных растворов на активном угле КАД. По осям координат представлены молярные доли адсорбирующихся компонентов в растворе и на поверхности адсорбента без учета растворителя (воды), и поэтому получены зависимости, подобные уравнению (III.105). Из этой диаграммы видно, что путем адсорбции на активном угле КАД можно разделить анилин и нитроанилин: анилин лучше адсорбируется на угле, а нитроанилин преимущественно остается в водной фазе (кривые *a1* и *a2*). Из системы анилин — фенол — вода анилин адсорбируется несколько хуже фенола, но их коэффициенты разделения небольшие. В результате избирательность адсорбции в этой системе мала (кривые *b1* и *b2*). Это объясняется тем, что полярности фенола и анилина близки; в то же время полярность анилина значительно меньше, чем полярность нитроанилина, который поэтому сильнее удерживается водной фазой и меньше — неполярной поверхностью активного угля.

На избирательность адсорбции из растворов существенное влияние оказывает температура. Так как энтальпия смачивания отрицательна, то в соответствии с уравнением Вант-Гоффа сродство адсорбата к адсорбенту должно уменьшаться с повышением температуры, причем в бинарных растворах оно сильнее уменьшается для компонента, у которого больше отрицательная энтальпия для смачивания (чистой адсорбции). Таким образом, с повышением температуры происходит выравнивание констант адсорбции компонентов и приближение кон-

станты обмена к единице, а величины гиббсовской адсорбции — к нулю, что приводит к ухудшению избирательности. Закономерности адсорбции из растворов существенно меняются при изменении растворимости в зависимости от температуры. С увеличением растворимости уменьшается константа распределения (в результате усиления взаимодействия с растворителем). В то же время если с повышением температуры растворимость растет, то появляется возможность увеличения концентрации в равновесном растворе и соответственно на поверхности адсорбента. Изменение растворимости при изменении температуры может привести к расслаиванию в порах адсорбента — к капиллярному расслаиванию.

Г. АДСОРБЦИЯ ПОВЕРХНОСТНО-АКТИВНЫХ ВЕЩЕСТВ И ПОЛИМЕРОВ. СОСТОЯНИЕ ПОВЕРХНОСТНЫХ (АДСОРБЦИОННЫХ) ПЛЕНОК

1. Изотермы адсорбции и поверхностного натяжения растворов ПАВ

Поверхностно-активные вещества (ПАВ), молекулы которых имеют дифильное строение и включают большой углеводородный радикал, отличаются высокой поверхностной активностью по отношению к воде, что отражает сильную зависимость поверхностного натяжения водного раствора ПАВ от их концентрации. Большие значения поверхностной активности предполагают пренебрежимо малые концентрации ПАВ в объеме раствора по сравнению с концентрацией их в поверхностном слое, т. е. с величиной их адсорбции на границе раствор — воздух. Подобная зависимость может обнаруживаться и в растворах других веществ на границе с жидкостью или твердым телом, например при специфическом взаимодействии с поверхностью. Отмеченная особенность позволяет пренебречь разницей между величиной адсорбции A и величиной гиббсовской адсорбции Γ , т. е. $\Gamma \approx A$. Из этого соотношения следует, что для растворов ПАВ все уравнения адсорбции, включающие величину адсорбции A , будут также справедливы, если заменить A на Γ . Одним из таких уравнений является выражение закона Генри, который характеризует адсорбцию при малых концентрациях.

Применительно к адсорбции неионогенных (недиссоциирующих) ПАВ закон Генри запишется так:

$$A = \Gamma = K_1 c \quad (III.119)$$

В такой записи закон Генри можно сопоставить с адсорбционным уравнением Гиббса (II.71):

$$A = \Gamma = K_1 c = - \frac{c}{RT} \cdot \frac{d\sigma}{dc} \quad (III.120)$$

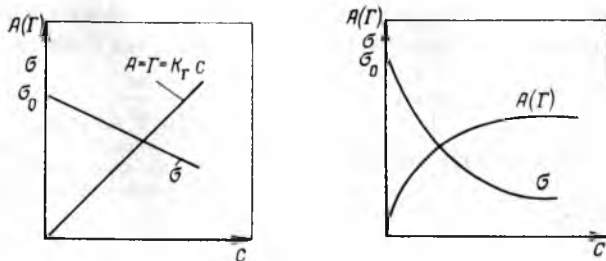


Рис. III.19. Изотермы адсорбции и поверхностного натяжения для растворов ПАВ в области действия закона Генри

Рис. III.20. Изотермы адсорбции и поверхностного натяжения для растворов ПАВ в области действия изотермы Ленгмюра

Разделим переменные и проведем интегрирование уравнения (III.120) в пределах от σ_0 (поверхностное натяжение чистого растворителя) до σ и соответственно от $c=0$ до c :

$$\int_{\sigma_0}^{\sigma} d\sigma = - \int_0^c K_{\Gamma} RT dc$$

После интегрирования получим

$$\sigma = \sigma_0 - K_{\Gamma} RT c \quad (\text{III.121})$$

Таким образом, в области действия закона Генри поверхностное натяжение линейно уменьшается с увеличением концентрации неионогенного ПАВ (рис. III.19). Тангенс угла наклона прямой $\sigma = f(c)$ определяет поверхностную активность (с обратным знаком), а из уравнений (III.120) — (III.121) следует, что

$$g = - (d\sigma/dc)_{c \rightarrow 0} = RT K_{\Gamma} \quad (\text{III.122})$$

т. е. поверхностная активность ПАВ пропорциональна константе распределения Генри.

При увеличении концентрации ПАВ закон Генри перестает соблюдаться и поэтому необходимо обратиться к уравнению изотермы адсорбции с константой обмена K (III.105). Если выразить молярную долю ПАВ в поверхностном слое \bar{x} через величину адсорбции A , получим:

$$\frac{A}{A_{\infty}} = \frac{Kx}{1 + (K-1)x} \quad (\text{III.123})$$

Принимая во внимание большую поверхностную активность ПАВ ($K \gg 1$) и пропорциональность молярных долей молярностям при малых концентрациях, получим, что адсорбция неионогенного ПАВ следует уравнению Ленгмюра. Учитывая так-

же соотношение $\Gamma \approx A$, величину адсорбции можно приравнять к ее выражению, соответствующему уравнению Гиббса

$$A = \Gamma = A_{\infty} \frac{Kc}{1 + Kc} = - \frac{c}{RT} \frac{d\sigma}{dc} \quad (\text{III.124})$$

После разделения переменных имеем:

$$-d\sigma = A_{\infty} RT \frac{Kdc}{1 + Kc}$$

или

$$- \int_{\sigma_0}^{\sigma} d\sigma = A_{\infty} RT \int_0^c \frac{K dc}{1 + Kc} = A_{\infty} RT \int_0^c d \ln(1 + Kc)$$

так как $d(1 + Kc) = Kdc$.

После интегрирования получим уравнение Шишковского, характеризующее поверхностное натяжение растворов ПАВ в зависимости от концентрации:

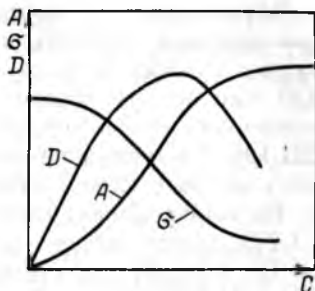
$$\sigma = \sigma_0 - A_{\infty} RT \ln(1 + Kc) \quad (\text{III.125})$$

Подобную зависимость σ от c для ПАВ Б. А. Шишковский получил опытным путем. Ленгмюр, связав уравнение Гиббса со своим уравнением, определил физический смысл констант эмпирического уравнения Шишковского. Одна из них равна произведению $A_{\infty} RT$, другая константа K имеет смысл константы адсорбционного равновесия в уравнении Ленгмюра (или константы обмена). Допущения, принятые при выводе уравнения Шишковского, показывают, что это уравнение в отличие от уравнений Гиббса и Ленгмюра справедливо только для поверхностно-активных веществ, обладающих высокой поверхностной активностью.

Зависимость поверхностного натяжения растворов ПАВ от их концентрации в соответствии с уравнением Шишковского показана на рис. III.20. Из рис. III.20 видно, что при малых концентрациях ПАВ в растворе поверхностное натяжение снижается резко, но с ростом концентрации степень его снижения уменьшается и σ стремится к постоянному значению. Из вывода уравнения Шишковского следует, что такой ход зависимости σ от c обусловлен теми же причинами, что и снижение прироста адсорбции, а именно уменьшением концентрации свободных от ПАВ адсорбционных центров. Уравнение Шишковского, как и уравнение Ленгмюра, не учитывает взаимодействия молекул ПАВ на поверхности.

Ю. Г. Фроловым были проанализированы особенности изотерм адсорбции и поверхностного натяжения для растворов ионогенных ПАВ и получены соответствующие уравнения. Эти особенности обусловлены протеканием диссоциации ионогенных

Рис. III.21. Изотермы адсорбции A и D и поверхностного натяжения (σ) для растворов ионогенных ПАВ (при их диссоциации в объеме раствора и отсутствии ее в поверхностном слое)



ПАВ в объеме, например водного раствора, и отсутствием диссоциации (или значительном уменьшении) в поверхностном слое, так как смежная фаза обычно неполярна. Проводя вывод уравнения концентрационной зависимости адсорбции ионогенных ПАВ аналогично выводам закона Генри и уравнения Ленгмюра и используя при этом выражение для активности электролитов (ПАВ), представленное через средние ионные концентрации c_{\pm} , получим следующие изотермы адсорбции ионогенных ПАВ:

$$A = K_{\Gamma} c_{\pm}^{\nu} \quad (\text{III.126})$$

$$A = A_{\infty} \frac{Kc_{\pm}^{\nu}}{1 + Kc_{\pm}^{\nu}} \quad (\text{III.127})$$

где $\nu = \nu_{+} + \nu_{-}$ — стехиометрические коэффициенты соответственно катиона и аниона в формуле электролита.

Выводы, аналогичные выводам соотношений (III.121) и (III.125) приводят к следующим изотермам поверхностного натяжения растворов ионогенных ПАВ в соответствующих областях концентраций:

$$\sigma = \sigma_0 - K_{\Gamma} RT c_{\pm}^{\nu} \quad (\text{III.128})$$

и

$$\sigma = \sigma_0 - A_{\infty} RT \ln(1 + Kc_{\pm}^{\nu}) \quad (\text{III.129})$$

Особенности изотермы адсорбции ионогенных ПАВ, вытекающие из уравнений (III.126) — (III.127), иллюстрируются на рис. III.21. Во-первых, в области малых концентраций ($c \rightarrow 0$) изотерма адсорбции представляет собой параболу, а коэффициент распределения ионогенного ПАВ при $c \rightarrow 0$ стремится к нулю [$D = A/c = Kc_{\pm}^{\nu-1}$, см. уравнение (III.126)], а не к постоянной величине, как это следует для неэлектролитов из закона Генри. Во-вторых, изотерма адсорбции имеет перегиб при значении концентрации, вблизи которого кривая коэффициента распределения ионогенного ПАВ проходит через максимум.

Закономерности адсорбции ионогенных ПАВ соответствующим образом отражаются и на особенностях изотермы поверхностного натяжения их растворов (см. рис. III.21). Изотерма $\sigma(c)$ при малых концентрациях, в отличие от изотермы для растворов неионогенных ПАВ, представляет собой параболу (III.128); с увеличением концентрации обнаруживается перегиб в соответствии с уравнением (III.129).

Из определения поверхностной активности ионогенных ПАВ (II.77), являющегося наиболее общим (для неионогенных ПАВ $\nu=1$), следует ее пропорциональность константе распределения (III.128):

$$g_{\pm} = - (d\sigma/dc^{\nu}_{\pm})_{c \rightarrow 0} = K_{\Gamma} RT \quad (\text{III.130})$$

Зависимость производной, определяющей поверхностную активность, от концентрации в более общем виде можно получить из соотношения (III.129):

$$\frac{d\sigma}{dc^{\nu}_{\pm}} = - RT A_{\infty} \frac{d \ln (1 + Kc^{\nu}_{\pm})}{dc^{\nu}_{\pm}}$$

Обозначим $1 + Kc^{\nu}_{\pm} = y$, тогда $dy = Kdc^{\nu}_{\pm}$

$$\frac{d \ln (1 + Kc^{\nu}_{\pm})}{dc^{\nu}_{\pm}} = \frac{K d \ln y}{dy} = \frac{K}{y} = \frac{K}{1 + Kc^{\nu}_{\pm}}$$

Таким образом

$$\frac{d\sigma}{dc^{\nu}_{\pm}} = - \frac{RT A_{\infty} K}{1 + Kc^{\nu}_{\pm}} = - \frac{RT K_{\Gamma}}{1 + Kc^{\nu}_{\pm}} \quad (\text{III.131})$$

Для неионогенных ПАВ $\nu=1$.

Дальнейшее увеличение концентрации как ионогенных, так и неионогенных ПАВ с большой поверхностной активностью (выше растворимости) может привести к появлению мицелл в растворе и на межфазной поверхности, что равнозначно возникновению новой фазы (механизм образования мицелл ПАВ рассматривается в разд. VI.Б, посвященном растворам коллоидных ПАВ). Поэтому закономерность изменения величины адсорбции с увеличением концентрации ПАВ меняется.

2. Уравнения состояния поверхностных пленок

При адсорбции или растекании вещества на поверхности образуется поверхностная (адсорбционная) пленка этого вещества. Полученные в предыдущем разделе уравнения изотерм поверхностного натяжения для ПАВ позволяют перейти к уравнениям состояния поверхностных пленок. При очень малых концентрациях ПАВ распределение вещества между раствором

и поверхностным слоем описывается законом Генри (III.119), а зависимость поверхностного натяжения от концентрации следует соотношению (III.121). Если в этом соотношении обозначить

$$\pi = \sigma_0 - \sigma$$

и учесть уравнение (III.120), то получим:

$$\pi = ART \quad (\text{III.132})$$

Так как величина A обозначает число молей адсорбированного вещества, приходящееся на единицу поверхности, а обратная ей величина $s_m = 1/A$ выражает поверхность, на которой распределен 1 моль адсорбированного вещества, то соотношению (III.132) можно придать вид

$$\pi s_m = RT \quad (\text{III.133})$$

Уравнение (III.133) аналогично уравнению состояния идеального газа. Различие состоит в том, что вместо объема 1 моль газа здесь выступает поверхность, занимаемая 1 моль ПАВ, а вместо давления газа — разность поверхностных натяжений (III.133), которая получила название *давления двумерного газа*, или *двухмерного давления*. В соответствии с этим соотношение (III.133) называют уравнением состояния идеального двумерного газа.

Физический смысл давления двумерного газа становится понятным при проведении аналогии с газом, находящимся в трехмерном пространстве. Известно, что под действием теплового движения молекулы газа ударяются о стенки сосуда, чем и объясняется давление газа в сосуде. Подобным же образом молекулы адсорбированного вещества при тепловом движении совершают хаотические перемещения по поверхности, ударяясь о стенки сосуда, ограничивающие поверхность. Двухмерное давление определяется силой, приходящейся на единицу длины периметра, ограничивающего поверхность, на которой адсорбировано вещество. Отсюда следует, что единицы двумерного давления совпадают с единицами поверхностного натяжения.

Поверхностное натяжение отражает способность вещества уменьшать свою поверхностную энергию и проявляется в тангенциальном сжатии поверхностного слоя жидкости. Адсорбционная пленка ПАВ проявляет стремление к тангенциальному растяжению поверхностного слоя подлежащей жидкости. Понятие двумерного давления в принципе можно применять и к поверхностно-инактивным веществам, для которых оно будет иметь отрицательный знак и подчиняться другим закономерностям.

Состояние идеального двумерного газа адсорбционная пленка имеет при соблюдении закона распределения Генри.

При более высокой концентрации ПАВ в растворе для описания распределения вещества между объемом и межфазным слоем необходимо пользоваться или уравнением Ленгмюра, или уравнением (III.127) соответственно для неионогенных и ионогенных ПАВ, а изменение поверхностного натяжения следует уравнениям Шишковского (III.125), и (III.129). Интересно, что оба последних уравнения при выражении состава только поверхностного слоя переходят в одно и то же уравнение — уравнение Ван-Лаара, которое фактически является уравнением состояния поверхностных пленок для данного интервала концентраций ПАВ:

$$\sigma = \sigma_0 + A_{\infty} RT \ln(1 - \theta) \quad (\text{III.134})$$

Так, например из (III.127) имеем

$$1 - \theta = 1 - \frac{A}{A_{\infty}} = 1 - \frac{Kc_{\pm}^{\nu}}{1 + Kc_{\pm}^{\nu}} = \frac{1}{1 + Kc_{\pm}^{\nu}}$$

Для этого же интервала концентраций ПАВ можно получить уравнение состояния в другой форме, аналогичной уравнению (III.134). Например, запишем уравнение Шишковского в следующем виде:

$$\frac{RT}{\sigma_0 - \sigma} = \frac{RT}{\pi} = \frac{1}{A_{\infty} \ln(1 + Kc)} \quad (\text{III.135})$$

После разложения в ряд логарифмического выражения получим:

$$\frac{RT}{\pi} = \frac{1}{A_{\infty} Kc} \quad (\text{III.136})$$

или, как следует из уравнения Ленгмюра в линейной форме

$$\frac{RT}{\pi} = \frac{1}{A} - \frac{1}{A_{\infty}} \quad (\text{III.137})$$

Так как $1/A = s_m$, а $1/A_{\infty} = \beta$ — площадь непосредственно занимаемая 1 моль вещества, то уравнение (III.137) можно записать так:

$$\pi(s_m - \beta) = RT \quad (\text{III.138})$$

Уравнение (III.138) также является уравнением состояния двумерного газа. В нем, как и при выводе уравнения Ленгмюра, учитываются конечные размеры молекул адсорбированного вещества и предполагается отсутствие их взаимодействия на поверхности. Уравнение (III.138) аналогично уравнению Ван-дер-Ваальса с одной постоянной b для трехмерного газа с параметрами p , V и T :

$$p(V - b) = RT$$

По аналогии с уравнением состояния Ван-дер-Ваальса с двумя константами a и b

$$(p + a/V^2)(V - b) = RT$$

А. Н. Фрумкин предложил уравнение состояния двухмерного газа, учитывающее взаимодействие молекул на поверхности:

$$(\pi + \alpha/s_m^2)(s_m - \beta) = RT \quad (\text{III.139})$$

где α — постоянная, учитывающая взаимодействие молекул ПАВ на поверхности.

Уравнение (III.139) можно преобразовать в уравнение изотермы адсорбции с двумя константами, которые характеризуют взаимодействия адсорбат-адсорбент и адсорбат-адсорбат. Оно позволяет описывать реальную адсорбцию многих веществ. Взаимодействие молекул ПАВ на поверхности уменьшает поверхностное давление, что равнозначно уменьшению способности ПАВ понижать поверхностное натяжение раствора.

3. Типы поверхностных пленок и определение их характеристик

Мономолекулярный слой ПАВ на поверхности подлежащей жидкости может формироваться как в результате адсорбции молекул ПАВ из раствора, так и при нанесении раствора ПАВ непосредственно на поверхность подложки с дальнейшим его растеканием. Достижение равновесия в обоих случаях приводит систему к одним и тем же параметрам. В предыдущем разделе было показано, что при небольших концентрациях поверхностные пленки ПАВ ведут себя в двухмерном пространстве аналогично трехмерному газу. Вообще же в зависимости от условий, природы ПАВ и подложки образуются поверхностные пленки, которые по свойствам подобны веществам в трех агрегатных состояниях — газообразном, жидком и твердом.

Возможность самопроизвольного образования пленки на поверхности тел определяется соотношением между работой адгезии пленки к поверхности подложки и работой когезии вещества пленки, или коэффициентом растекания по Гаркинсу. Как известно, мономолекулярный слой (пленка) может образоваться только в том случае, если работа адгезии больше работы когезии растекающегося вещества (коэффициент растекания имеет положительный знак). Если подложка жидкая и наблюдается взаимное насыщение фаз, растекание может перейти в нерастекание — пленка соберется в линзу, как это происходит, например при нанесении бензола на поверхность воды. В этом случае при анализе процесса растекания необхо-

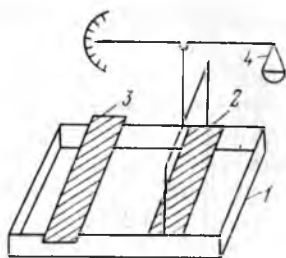
димо исходить из поверхностного натяжения водной фазы, насыщенной бензолом, и насыщенного раствора воды в бензоле.

Состояние пленки зависит также и от концентрации растекающегося (адсорбирующегося) вещества на поверхности. Если концентрация мала и взаимодействие молекул в поверхностном слое слабое (большой коэффициент растекания), то молекулы ПАВ движутся по поверхности независимо друг от друга. Такое состояние напоминает поведение газа, поэтому пленку называют газообразной. В данном случае термин «пленка» является чисто условным, так как молекулы на поверхности значительно удалены друг от друга, и не образуют сплошного слоя. Свойства газообразных пленок описываются уравнением состояния двумерного газа (III.133) и (III.138). При возрастании концентрации ПАВ на поверхности и увеличении работы его когезии (уменьшение коэффициента растекания), что может быть вызвано, например, увеличением длины углеводородного радикала (рост энергии дисперсионного взаимодействия), создаются условия для конденсации пленки (ассоциации молекул). В поверхностном слое образуются отдельные островки плотного монослоя (рои молекул), которые в ходе теплового движения передвигаются по поверхности значительно медленнее, чем отдельные молекулы. Вследствие этого поверхностное натяжение раствора оказывается больше (двухмерное давление меньше), чем оно могло быть при той же концентрации ПАВ, если бы формировалась газообразная пленка. Состояние пленок, способных к конденсации, описывает уравнение (III.139). Пленки, образованные при сплошном заполнении поверхностного слоя, называют конденсированными. Они могут быть жидкими и твердыми. Твердые пленки обладают структурой, подобной структуре твердого тела. Такая пленка если и течет, то очень медленно.

Твердые пленки сравнительно редко получают методом растекания. Это связано, главным образом, с тем, что их образуют вещества, характеризующиеся большой работой когезии, которая часто превышает работу адгезии к подлежащей жидкости, и поэтому не реализуется условие растекания. Такие вещества не способны к обратимому (или равновесному) самопроизвольному образованию пленок на данной подложке. Обратимые конденсированные пленки ПАВ чаще бывают жидкими. Их можно рассматривать как двумерные жидкие кристаллы. Молекулы в жидких пленках достаточно легко передвигаются относительно друг друга, а сами пленки могут свободно течь по поверхности. С повышением температуры конденсированные пленки способны переходить в газообразные. Причиной такого перехода является возрастание кинетической энергии молекул и соответственно уменьшение когезионного взаимодействия.

Рис. III.22. Принципиальная схема весов Ленгмюра:

1 — кювета; 2, 3 — неподвижная и подвижная планки; 4 — чашечка для разновесов



Возможность существования поверхностных пленок в различных агрегатных состояниях впервые было наглядно показано Ленгмюром. Он специально сконструировал весы для измерения поверхностного (двухмерного) давления (рис. III.22). Принцип метода измерения состоит в следующем. В кювету 1 наливают до краев подлежащую жидкость и на ее поверхность между неподвижной 2 и подвижной 3 планками наносят вещество, образующее мономолекулярную пленку. В процессе теплового движения молекулы вещества ударяются о планку и создают давление, которое можно уравновесить и измерить с помощью разновесов в чашечке 4. Передвигая планку 3, можно изменять площадь, занимаемую молекулами пленки, и тем самым изменять ее двухмерное давление.

По зависимости поверхностного давления пленки от площади поверхности, приходящейся на 1 молекулу (1 моль) вещества пленки, можно судить о состоянии пленки. Эта зависимость аналогична изотерме Ван-дер-Ваальса для реальных газов и паров. На рис. III.23 представлены изотермы $\pi \rightarrow S_m$ для пленок, образованных молекулами лауриновой $C_{11}H_{23}COOH$, миристиновой $C_{13}H_{27}COOH$ и пальмитиновой $C_{15}H_{31}COOH$ кислот. Из рисунка видно, что мономолекулярная пленка лауриновой кислоты почти до максимальной концентрации ведет себя подобно двухмерному газу в соответствии с уравнениями состояния (III.133) и (III.138). Миристиновая кислота при малых концентрациях образует газообразную пленку, которая при увеличении концентрации и достижении определенного поверхностного давления конденсируется в жидкую пленку. Этот переход отвечает на изотерме (кривая 2) линейному участку, параллельному оси абсцисс. В данных условиях на поверхности формируются рои молекул, которые затем при $\pi = \text{const}$ сливаются в сплошную жидкую пленку, после чего давление резко возрастает из-за малой сжимаемости жидкости. Дальнейшее увеличение давления может привести к разрушению пленки, к нарушению ее мономолекулярности. Из указанных выше кислот пальмитиновая кислота имеет наиболее длинный углеводородный радикал, поэтому у нее больше и тангенциальная (вдоль поверхности) когезия в пленке. Отсюда как

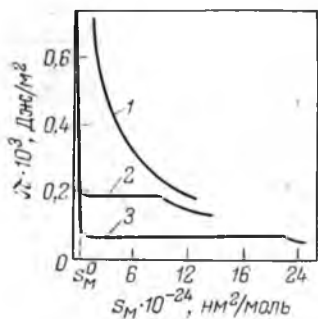


Рис. III.23. Зависимость поверхностного давления от площади поверхности, занимаемой 1 моль лауриновой (1), миристиновой (2) и пальмитиновой (3) кислот

следствие, подтверждаемое кривой 3, вытекает, что при всех ощутимых концентрациях эта кислота образует конденсированные пленки.

Изотермы поверхностного давления позволяют не только установить

тип поверхностной пленки, но и определить размеры и форму молекул ПАВ, образующих пленку. Резкое увеличение поверхностного давления при сжатии пленки отвечает образованию сплошного мономолекулярного слоя, в котором молекулы плотно прижаты друг к другу. Если площадь s_M^0 , на которой размещен таким образом 1 моль вещества, разделить на число Авогадро, то получим площадь, непосредственно занимаемую одной молекулой:

$$\omega_0 = s_M^0 / N_A = 1 / (A_\infty N_A) \quad (\text{III.140})$$

где A_∞ — величина максимальной адсорбции, измеряемая числом молей, приходящихся на единицу площади.

Исследования показали, что вещества с одной и той же функциональной группой независимо от длины радикала имеют одинаковые значения величин s_M^0 и ω_0 . Например, для всех жирных кислот $\omega_0 = 0,205 \text{ нм}^2$. Независимость ω_0 от длины радикала позволила сделать выводы о характере расположения молекул на поверхности. Если на молекулу ПАВ приходится значительная площадь и она свободно перемещается по поверхности жидкости, то ее углеводородный радикал, как правило, «лежит» на поверхности. В сплошном мономолекулярном слое углеводородные радикалы ориентируются вертикально, образуя так называемый «частокол Ленгмюра». Ленгмюр впервые установил этот факт, который позволил вычислить толщину поверхностной пленки δ . Объем пленки, занимающий единицу поверхности, численно равен δ ; в то же время этот объем равен произведению максимальной адсорбции A_∞ на мольный объем ПАВ V_m :

$$\delta = A_\infty V_m = A_\infty M / \rho = M / (s_M^0 \rho) \quad (\text{III.141})$$

где M — масса 1 моль ПАВ; ρ — плотность ПАВ.

Толщина пленки соответствует длине радикала, и поэтому можно определить расстояние между углеродными атомами, т. е. длину, приходящуюся на группы CH_2 . Эта длина составила 0,143 нм. Рентгенографические исследования показали зна-

чение 0,154 нм, что указывает на хорошее совпадение результатов.

Все сказанное о пленках ПАВ относится и к пленкам полимеров (высокомолекулярных ПАВ, имеющих полярные группы). Отличие состоит в том, что равновесные пленки полимеров образуются очень медленно. Получают их, как и пленки ПАВ, обычно методом растекания растворов в легколетучих жидкостях. Молекулярные цепи полимеров в пленке в значительной степени развернуты, причем полярные группы обращены к воде, а неполярные — к неполярной фазе. Высокомолекулярные ПАВ склонны к образованию конденсированных, твердообразных (студнеобразных) пленок со значительной толщиной (от 1 до 1000 нм).

4. Адсорбция полимеров

Адсорбция полимеров существенно отличается от адсорбции низкомолекулярных соединений, в том числе и поверхностно-активных веществ. Специфика обусловлена разнообразием конформаций, которые может принимать гибкая макромолекула полимера в объеме раствора и на межфазной поверхности. Поэтому строгое теоретическое рассмотрение адсорбции полимеров возможно на основе статистических методов. В данном разделе рассмотрены только самые общие представления и закономерности адсорбции полимеров.

Прежде всего необходимо отметить, что пространственные (сшитые) полимеры нерастворимы и поэтому, естественно, речь может идти лишь об адсорбции линейных и разветвленных полимеров. Макромолекулы этих полимеров располагаются на плоской поверхности таким образом, что контактирует с поверхностью обычно только часть молекулярных сегментов, другая часть, оставаясь в объеме раствора, образует петли; сегменты, находящиеся на концах макромолекулы, погружены в раствор, образуя «хвосты». Современные статистические теории позволяют определить распределение по длинам сегментов этих трех типов. Расположение полярных групп макромолекул определяется их сродством к полярному растворителю или возможным специфическим взаимодействием с твердой поверхностью.

Изменение поверхностного натяжения разбавленных растворов полимеров в низкомолекулярных растворителях по сравнению с поверхностным натяжением чистого растворителя равно поверхностному давлению, как и для растворов ПАВ; число петель из молекулярных цепей, находящихся в растворе, в этом случае минимально. Если же концентрация макромолекул в поверхностном слое значительна или недостаточно адсорбционных центров на поверхности (например, на твердой).

то размер и число таких петель возрастает, что в свою очередь приводит к утолщению адсорбционного слоя. При этом адсорбированная макромолекула может находиться в нескольких состояниях в зависимости от числа занятых адсорбционных центров, от конформации в момент взаимодействия с ними и др. Этим же объясняется медленность процесса укладки макромолекул в поверхностном слое и достижения их равновесного расположения.

Анализ состояния макромолекул в поверхностном слое часто проводят на основании предложенного Перкелем и Алманом уравнения

$$A_{\infty} = k\bar{M}^{\alpha} \text{ или } \lg A_{\infty} = \lg k + \alpha \lg \bar{M} \quad (\text{III.142})$$

где A_{∞} — емкость моно слоя в граммах полимера; k — константа пропорциональности; \bar{M} — средняя молекулярная масса полимера; α — параметр, зависящий от конформации адсорбированной макромолекулы.

Получают экспериментальную зависимость $\lg A_{\infty} - \lg \bar{M}$, параметр α обычно находится в пределах от 0 до 1. Значение $\alpha = 0$ (независимость массы адсорбированного полимера от молекулярной массы) отвечает плоской ориентации адсорбированных макромолекул (макроцепей); при $\alpha = 1$ (прямая пропорциональность между A_{∞} и \bar{M}) адсорбированные макромолекулы располагаются вертикально, закрепляясь на поверхности адсорбента одним концом. Промежуточным значениям α от 0 до 1 могут отвечать самые различные конформации макромолекул на поверхности — в виде деформированных статистических клубков или петель и хвостов разной длины, погруженных в раствор.

Структура поверхностных слоев полимеров детально изучается оптическими, в том числе спектральными, методами, например, методами многократного нарушенного полного внутреннего отражения (МНПВО) в ультрафиолетовой и инфракрасной областях, эллипсометрии. Толщины адсорбционных слоев на частицах могут быть оценены по изменениям скорости седиментации или вязкости суспензий (см. разделы, посвященные седиментации и реологии).

Установлено, что скорость адсорбции (и десорбции) лимитируется, главным образом, диффузией макромолекул полимеров к поверхности адсорбента и в его поры. Диффузия значительно снижается с увеличением молекулярной массы, что объясняется не только уменьшением скорости диффузии, но и малой вероятностью одновременного образования или разрыва (при десорбции) связей многочисленных сегментов макромолекулы с поверхностью адсорбента. Характерная для полимеров полидисперсность приводит к фракционированию в процессе адсорбции: фракции молекул с большой молекулярной

массой адсорбируются медленнее, но прочнее по сравнению с фракциями молекул с меньшей молекулярной массой.

При адсорбции полимеров непористыми адсорбентами адсорбционное равновесие устанавливается сравнительно быстро: в течение нескольких секунд или минут. На пористых адсорбентах адсорбционное равновесие устанавливается значительно медленнее, что объясняется медленной диффузией макромолекул в поры; время его достижения может измеряться часами и даже сутками. Перемешивание и повышение температуры способствуют ускорению адсорбции.

Адсорбция полимеров может быть обратимой и необратимой (при множестве связей у макромолекулы с поверхностью адсорбента). Степень необратимости возрастает с ухудшением растворяющей способности растворителя, увеличением молекулярной массы полимера и прочности связи с адсорбционными центрами.

Кинетические зависимости адсорбции полимеров с той или иной степенью приближения можно количественно представить уравнениями, полученными для адсорбции низкомолекулярных соединений. Например, при получении изотерм, аналогичных по форме изотерме Ленгмюра, широко используется кинетическое уравнение с экспонентой (III.51)

$$\theta = \theta_p (1 - e^{-k\tau})$$

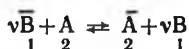
где θ и θ_p — степень заполнения поверхности адсорбента соответственно на данное время τ и при достижении равновесия; k — константа скорости адсорбции.

Для формального описания кинетики адсорбции иногда используют уравнения вида

$$\theta = k\tau^{1/n} \quad (\text{III.143})$$

где k и n — константы, зависящие, главным образом, от природы компонентов системы.

Экспериментальные данные по адсорбции полимеров показывают, что, как правило, характер изотерм адсорбции отражает высокое сродство адсорбата к поверхности, т. е. величина адсорбции уже при малых концентрациях резко возрастает и быстро достигает практически постоянного значения. Уравнение изотермы адсорбции полимера можно легко получить, используя закон действия масс (аналогично выводу уравнения обменной адсорбции, см. разд. III.В.). Необходимо учесть, что одна макромолекула полимера А вытесняет из поверхностного слоя ν молекул низкомолекулярного растворителя В



При малой концентрации полимера в растворе, можно допу-

стить, что $a_1 = 1$ и константа равновесия будет равна:

$$K = \frac{\bar{x}_2}{\bar{x}_1^{\nu} a_2} \quad (\text{III.144})$$

где a_1 и a_2 — активности соответственно растворителя и полимера в растворе; \bar{x}_1 и \bar{x}_2 — молярная доля соответственно растворителя и полимера в поверхностном слое.

Число занятых полимером адсорбционных центров на единице площади поверхности $n_2^s = \nu \bar{x}_2 n^s$, где n^s — общее число адсорбционных центров, а степень заполнения $\theta = n_2^s / n^s = \nu \bar{x}_2$, или $\bar{x}_2 = \theta / \nu$. Проведя в уравнении (III.144) замены \bar{x}_1 на \bar{x}_2 , \bar{x}_2 на θ , а a_2 на c , получим окончательно:

$$\theta / \nu (1 - \theta)^{\nu} = Kc \quad (\text{III.145})$$

где c — концентрация полимера в растворе.

Из экспериментальных данных следует, что чем хуже растворитель, тем более компактно свернута макромолекула и меньше ее размеры, вследствие чего величина адсорбции больше (при равных концентрациях полимера в растворе). Необходимо также учитывать влияние взаимодействия растворителя с адсорбентом, наличие и природу функциональных групп у макромолекул и на поверхности адсорбента. Величина адсорбции обычно увеличивается с ростом молекулярной массы полимера. Как правило, влияние температуры на адсорбцию полимеров незначительно. Термодинамические параметры адсорбции полимеров определяются общепринятыми методами.

В заключение следует отметить, что теория адсорбции и адсорбционного взаимодействия макромолекул на межфазных границах разработана еще недостаточно для предсказания вида изотерм и объяснения многих экспериментальных фактов.

Д. ИОНООБМЕННАЯ АДСОРБЦИЯ

1. Классификация ионитов и методы их получения

Ионообменная адсорбция из растворов осуществляется на поверхностях с достаточно выраженным двойным электрическим слоем. Подвижные противоионы электрического слоя способны обмениваться на другие ионы того же знака, находящиеся в растворе. Практический интерес к ионообменной адсорбции обусловил широкие теоретические исследования этого явления и разработку методов синтеза специальных ионообменных сорбентов.

Первые сообщения об ионообменной адсорбции были сделаны в 1850 г. независимо друг от друга английскими учеными Томпсоном и Уэем. Изучая способность почв к поглощению удобрений и их вымывание дождем, они

обнаружили явление обмена ионов между почвой и водными растворами солей. Несмотря на то, что поглощение почвой солей (например, получение питьевой воды из морской) было известно уже в древности, серьезные исследования этого явления начались именно с указанных работ. Удовлетворительное объяснение обмена ионов (обратимость процесса, эквивалентность обмена) стало возможным только после открытия закона действия масс (1876 г.).

Вещества, проявляющие способность к ионному обмену и используемые для адсорбции ионов, получили название *ионитов*. Иониты имеют структуру в виде каркаса, «сшитого» обычно ковалентными связями. Каркас (матрица) имеет положительный или отрицательный заряд, который скомпенсирован противоположным зарядом подвижных ионов — противоионов, находящихся в адсорбционной и диффузной частях электрического слоя. Противоионы могут заменяться на другие ионы с зарядом того же знака. Каркас выступает в роли полииона и обуславливает нерастворимость ионита в растворителях.

Иониты классифицируют по происхождению на природные и синтетические; по составу — на неорганические и органические; по знаку заряда обменивающихся ионов — на катиониты, аниониты и амфолиты (последние в зависимости от условий могут обмениваться как катионами, так и анионами).

К природным неорганическим ионитам относят кристаллические силикаты типа цеолитов: шабазит, глауконит и др. Их каркас представляет собой правильную сетчатую структуру алюмосиликата, в порах которой располагаются ионы щелочных или щелочноземельных металлов, выступающие в роли противоионов. К обмену анионов способны некоторые минералы, например апатит. Природными ионитами органического происхождения являются, например, содержащиеся в почве гуминовые кислоты — высокомолекулярные соединения с различными функциональными группами, способными к ионному обмену. Они обладают амфотерными свойствами и поэтому могут обменивать как катионы, так и анионы. Природные иониты не нашли широкого технического применения, так как имеют ряд недостатков, в частности, они химически нестойки и не обладают достаточной механической прочностью.

Первыми синтетическими ионитами были плавленные и гелеобразные пермутиты — алюмосиликаты, подобные природным цеолитам. Гелеобразные пермутиты сравнительно долго применяли для умягчения воды. Из неорганических синтетических анионитов, имеющих практическое значение, можно назвать гели гидроксидов алюминия и железа. Для специальных целей применяются гидроксиды циркония, хрома, олова, свинца и др. Все эти неорганические иониты разрушаются под действием кислот и щелочей. Повышенной стойкостью к щелочам обладают катиониты на основе различных углеродсодержащих веществ (каменные угли, дерево, торф), обработанных кон-

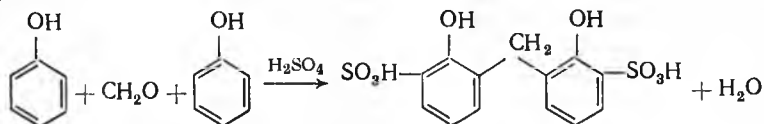
центрированными растворами серной, хлорсульфоновой, фосфорной и других кислот. Например, с помощью сульфирования вводят сульфогруппы, способные к обмену катионов, и одновременно сырье превращают в гель (протекает реакция поликонденсации).

Широкое распространение получили синтетические иониты на основе органических смол — ионообменные смолы. Они обладают хорошей способностью поглощать ионы и высокой химической стойкостью. Впервые ионообменные смолы были синтезированы в 1934 г. Адамсом и Холмсом, обнаружившими способность к обмену ионов у продуктов конденсации фенолов или аминов с формальдегидом.

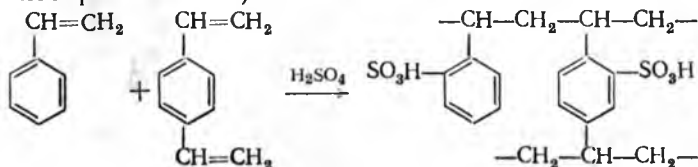
Каркас ионообменных смол состоит из трехмерной сетки углеводородных цепей, на которой закреплены функциональные группы. По фазовому состоянию ионообменные смолы представляют собой нерастворимые гели — полиэлектролиты с ограниченной способностью к набуханию.

Ионообменные смолы получают двумя методами: поликонденсацией или полимеризацией. В обоих методах процесс синтеза состоит из трех стадий: 1) получение линейных полимеров, 2) формирование сетчатой структуры (матрицы) с помощью мостикообразователей, 3) введение в макромолекулы активных (ионогенных) групп. Активные группы могут находиться уже в исходном мономере или их вводят в него перед построением матрицы.

В качестве примера синтеза катионообменных поликонденсационных смол можно привести поликонденсацию фенола с формальдегидом:

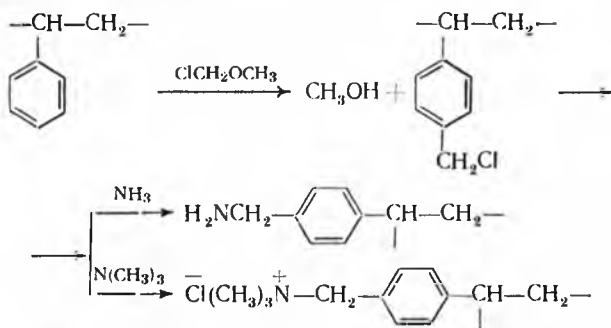


Эта реакция лежит в основе получения катионита КУ-1. В этом катионите ионогенными группами являются OH — и сульфогруппы. Последние вводят путем обработки смолы концентрированной серной кислотой. Катиониты могут быть получены также с карбоксильными, фосфорнокислотными и другими активными группами. Широко распространенный катионит КУ-2 получают сополимеризацией стирола с дивинилбензолом (мостикообразователем):



Подобно фенолу в реакцию поликонденсации с формальдегидом могут вступать и ароматические амины, функциональная группа которых обладает анионообменными свойствами.

Основой полимеризационных анионитов, как и катионитов, является сшитый полистирол, в который вводят функциональные группы, способные к обмену анионов. Одним из приемов введения функциональной группы является хлорметилирование с помощью хлорметилметилового эфира и последующая обработка аммиаком или аминами:



Полимеризационные смолы значительно более химически стойки, чем поликонденсационные. Полимеризационный метод позволяет регулировать степень поперечной связанности (степень шивки) полимера изменением количества дивинилбензола.

Важное значение имеет получение ионита требуемого зернения. Иногда для этого готовые смолы измельчают на мельницах и фракционируют, но чаще всего зерна (гранулы) необходимых размеров получают непосредственно в процессе полимеризации (эмульсионная или суспензионная полимеризация).

2. Основные физико-химические характеристики ионитов

К основным свойствам ионитов, определяющим их качество как сорбентов, относятся емкость, кислотно-основные свойства, селективность, набухаемость, химическая стойкость, механическая прочность.

Емкость характеризует количественную способность ионита обменивать противоионы. Емкость определяется числом ионогенных групп в ионите и поэтому теоретически должна быть постоянной величиной. Однако практически она зависит от ряда условий. Различают статическую обменную емкость (СОЕ) и динамическую обменную емкость (ДОЕ). Статическая обменная емкость — полная емкость, характеризующая общее количество ионогенных групп (в миллиэквивалентах),

приходящихся на единицу массы воздушно-сухого ионита или на единицу объема набухшего ионита. Природные иониты имеют небольшую статическую обменную емкость, не превышающую 0,2—0,3 мэкв/г. Для синтетических ионообменных смол она находится в пределах 3—5 мэкв/г, а иногда достигает 10,0 мэкв/г, например, статическая обменная емкость анионита АВ-16 составляет 9,8—10,5 мэкв/г. Динамическая, или рабочая, обменная емкость относится только к той части ионогенных групп, которые участвуют в ионном обмене, протекающем в технологических условиях, например, в ионообменной колонке при определенной относительной скорости движения ионита и раствора. Динамическая емкость зависит от скорости движения, размеров колонки и других факторов и всегда меньше статической обменной емкости.

Для определения статической обменной емкости ионитов применяют различные методы. Все эти методы сводятся к насыщению ионита каким-либо ионом, затем вытеснению его другим ионом и анализу первого в растворе. Например, катионит удобно полностью перевести в H^+ -форму (противоионами являются ионы водорода), затем промыть его раствором хлорида натрия и полученный кислый раствор оттитровать раствором щелочи. Емкость равна отношению количества перешедшей в раствор кислоты к навеске ионита.

Можно провести и прямое титрование ионита. Катионит в H^+ -форме выступает в роли кислоты, а анионит в OH^- -форме — в роли основания. При прямом титровании получают кривые титрования, характеризующие кислотно-основные свойства ионитов. Как видно из рис. III.24, кривые титрования ионитов аналогичны кривым титрования сильных (кривая 1) и слабых (кривая 2) кислот или оснований. Кривая для полифунк-

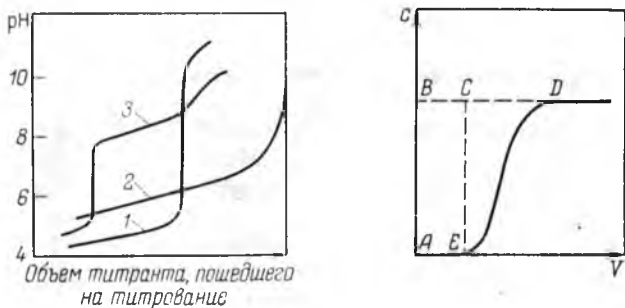


Рис. III.24. Кривые титрования ионитов:
1 — сильнокислотный (или сильноосновный) ионит; 2 — слабокислотный (или слабоосновный) ионит; 3 — полифункциональный ионит

Рис. III.25. Определение динамической емкости ионитов:
c — концентрация адсорбирующегося иона в растворе, выходящем из колонки; V — объем раствора, выходящего из колонки

ционального ионита (кривая 3) имеет два перегиба, соответствующих сильно и слабо выраженным кислотно-основным свойствам функциональных групп.

По кислотно-основным свойствам иониты делят на следующие группы: 1) сильнокислотные катиониты ($-\text{SO}_3\text{H}$), 2) слабокислотные катиониты ($-\text{OH}$, $-\text{COOH}$, $-\text{SiOH}$), 3) слабоосновные аниониты ($-\text{NH}_2$, $=\text{NH}$, $\equiv\text{N}$), 4) сильноосновные аниониты [$-\overset{+}{\text{N}}(\text{CH}_3)_3\text{Cl}^-$], 5) полифункциональные иониты, в том числе амфолиты (амфотерные). Кислотно-основные свойства ионитов, как и растворимых электролитов, характеризуются константой кислотно-основного равновесия (константой диссоциации). Например, для катионита константа кислотной диссоциации равна

$$K_{\text{дис}} = \frac{(\bar{R}^-)(\text{H}^+)}{(\overline{\text{RH}})} \quad (\text{III.146})$$

где $\overline{\text{RH}}$ и R^- — активности недиссоциированных и диссоциированных функциональных групп в ионите соответственно (вместо активностей часто используют концентрации); H^+ — активность ионов водорода в растворе.

Из кривых титрования (см. рис. III.24) видно, что емкость ионитов, обладающих сильными кислотно-основными свойствами в широкой области рН, не зависит от рН раствора. У слабокислотных катионитов максимальная емкость достигается только при высоких значениях рН, а у слабоосновных — только при низких значениях рН.

Для определения константы диссоциации слабокислотных ионитов и построения необходимых зависимостей часто используют уравнение Гендерсона — Гассельбаха, которое получается при логарифмировании уравнения (III.146) и использовании степени диссоциации α , т. е. $[\bar{\text{R}}]/[\overline{\text{RH}}] = \alpha/(1-\alpha)$:

$$\text{p}K_{\text{дис}} = \text{pH} + \lg \frac{1-\alpha}{\alpha} \quad (\text{III.147})$$

Например, при 50%-ном насыщении ионами Na^+ $\alpha = 0,5$ и $\text{p}K_{\text{дис}} = \text{pH}_{0,5}$, т. е. рН раствора при степени заполнения ионита, равной 0,5. Более точные значения констант диссоциации получают при построении зависимостей $\lg[\alpha/(1-\alpha)] \rightarrow \text{pH}$ при разных значениях ионной силы раствора и последующей экстраполяцией полученных значений констант на нулевую ионную силу или изоэлектрическую точку.

Определение динамической емкости проводят следующим образом. Колонку наполняют определенным количеством ионита, полностью переведенного, например, в Na^+ -форму, затем пропускают через колонку хлороводородную кислоту (ионы H^+) и определяют ее содержание в растворе, выходящем из колонки (рис. III.25). В первых порциях выходящего

раствора концентрация кислоты (ионов H^+) равна нулю. В порции, соответствующей точке E обнаруживаются ионы водорода (проскок). В последующих порциях раствора их концентрация непрерывно повышается и достигает значения, равного концентрации кислоты в исходном растворе. Количество поглощенных ионитом ионов водорода определяется площадью $ABDE$. Разделив это количество на массу смолы, получают статическую обменную емкость. Динамическую емкость (емкость до проскока) определяют по площади четырехугольника $ABCE$. Ход кривой AED , а следовательно, динамическая емкость зависит от скорости пропускания раствора через колонку.

Характерное свойство ионитов — набухаемость при контакте сухого ионита с раствором. Особенно сильно набухают синтетические ионообменные смолы. Основная причина набухания ионитов в воде связана с наличием гидрофильных функциональных групп. Умеренное набухание ионитов является положительным фактором, способствующим функционированию ионогенных групп, находящихся внутри зерна ионита. Количественной характеристикой набухания служит степень набухания, которая определяется отношением разности объемов набухшего и сухого ионита к массе сухого ионита. Набуханию препятствуют силы упругости трехмерной структурной сетки (матрицы), которые растут с увеличением степени сшивки полимера (т. е. с увеличением количества вводимого при синтезе мостикообразователя). Набуханию способствуют большая обменная емкость, гидратация противоионов и разбавление раствора (увеличение термодинамической активности растворителя). Неорганические иониты набухают очень слабо и удерживают растворитель в полостях кристаллической структуры.

Набухаемость непосредственно связана с кинетическими характеристиками ионитов, особенно органических. Набухание увеличивает скорость ионного обмена. При анализе кинетики процесса ионного обмена обычно рассматривают пять его стадий с учетом взаимной диффузии противоионов: 1) диффузия адсорбирующихся ионов из раствора к поверхности ионита, 2) диффузия внутри зерна ионита, 3) обмен ионов, 4) диффузия замещенных ионов к поверхности ионита, 5) диффузия их от поверхности ионита в раствор. Наиболее медленная стадия — диффузия внутри зерен ионита, она и определяет, главным образом, скорость ионного обмена. Диффузия в растворе может быть ускорена, например, с помощью перемешивания. Скорость диффузии внутри зерна может быть увеличена, если уменьшить его размеры и повысить температуру. Для увеличения скорости ионного обмена уменьшают степень сшивки полимера при его синтезе (увеличивается набухание) и придают ионитам макропористую структуру путем введения при синтезе растворителей, которые затем удаляют из образовавшихся

пор вымыванием или нагреванием. В зависимости от природы ионитов и обменивающихся ионов, а также от их концентрации время установления ионообменного равновесия колеблется от нескольких минут до нескольких суток.

Важными характеристиками ионитов являются их химическая стойкость и механическая устойчивость. Практически важное значение имеет стойкость к кислотам, щелочам и окислителям, под действием которых может разрушаться структура ионита. Химическая стойкость оценивается по потере обменной емкости. Как уже отмечалось, из ионообменных смол менее химически стойки поликонденсационные смолы. Еще менее стойки к кислотам и щелочам неорганические иониты. Вместе с тем они обладают, например, большой радиационной устойчивостью. Механическую прочность ионитов определяют по изменению фракционного состава после определенного числа циклов адсорбции — десорбции или после встряхивания на вибрационном аппарате.

3. Равновесие ионного обмена

Если ионит привести в контакт с раствором электролита, то по истечении некоторого времени установится равновесие между концентрациями ионов в ионите и в растворе. Это равновесие называется *ионообменным равновесием*. Ионный обмен является строго стехиометрическим процессом, т. е. в силу электронейтральности фаз процесс протекает при эквивалентных соотношениях обменивающихся ионов. При обмене ионов с одинаковыми по величине зарядами общие концентрации ионов в ионите и в растворе остаются постоянными, если не учитывать некоторых изменений, связанных с набуханием ионита и молекулярной адсорбцией электролита. Ионообменную реакцию с участием ионов разных по величине зарядов можно представить следующим уравнением:



где z_1 и z_2 — заряды обменивающихся ионов M_1 и M_2 .

Константа равновесия этой реакции, называемая *константой ионного обмена*, равна

$$K_a = \frac{\overline{a}_2^{z_1} a_1^{z_2}}{a_1^{z_2} \overline{a}_2^{z_1}} \quad (\text{III.148})$$

где \overline{a} и a — активности ионов в ионите и растворе.

Часто пренебрегают коэффициентами активности и вместо термодинамической константы K_a используют концентрацион-

ную константу равновесия (или коэффициент ионного обмена):

$$K = \frac{\bar{c}_2^{z_1} c_2^{z_2}}{c_1^{z_2} \bar{c}_2^{z_1}} \quad (\text{III.149})$$

Иногда удобно пользоваться соотношением, в котором активность или концентрация и показатель степени при этой величине относятся к одному и тому же иону. Чтобы привести к такому виду соотношение (III.149), возведем его левую и правую часть в степень $1/(z_1 z_2)$:

$$K' = K^{1/(z_1 z_2)} = \frac{\bar{c}_2^{1/z_2} c_2^{1/z_1}}{c_1^{1/z_1} \bar{c}_2^{1/z_2}} \quad (\text{III.150})$$

Запись константы равновесия в такой форме называют уравнением Никольского.

Для данного ионита константа обмена отражает свойства обменивающихся ионов и характеризует их относительное сродство к иониту, т. е. селективность ионита к тому или другому иону. Если заряды обменивающихся ионов одинаковы, константа, выражаемая уравнением (III.149), соответствует коэффициенту разделения.

Селективность зависит от многих причин. Как указано выше, сила упругости сетки матрицы препятствует набуханию, поэтому ионит предпочтительнее поглощает менее гидратированные ионы. Этот факт объясняет установленные для многих катионитов лиотропные ряды повышения сорбируемости. Например, однозарядные катионы образуют следующий лиотропный ряд: $\text{Li}^+ < \text{Na}^+ < \text{K}^+ < \text{Rb}^+ < \text{Cs}^+$. Увеличение жесткости матрицы, что достигается увеличением содержания мостикообразователя, приводит к повышению селективности ионита по отношению к ионам меньших размеров в гидратированном состоянии.

Если ионы имеют разные по величине заряды, то действует правило электроселективности, в соответствии с которым из разбавленных растворов ионит предпочтительнее поглощает противоионы с большим зарядом. Например, для ионов одинакового размера сорбируемость увеличивается в ряду: $\text{Na}^+ < \text{Ca}^{2+} < \text{Al}^{3+}$. Решающее влияние на селективность оказывает специфическое (химическое) сродство противоионов к иониту. Чем более прочную ионную пару образует фиксированный ион (на матрице) с противоионом (т. е. чем больше химическое сродство), тем выше селективность ионита к данному противоиону. Например, слабокислотные катиониты имеют специфическое сродство к H^+ -ионам и поэтому сорбируют их сильнее, чем щелочные ионы (в противоположность сильнокислотным катионитам). Иониты специфического действия получают путем

введения в них соответствующих активных групп. Например, иониты, содержащие группы SH, селективно сорбируют ионы, образующие нерастворимые сульфиды. С введением группы $\diagdown \text{C}=\text{N}-\text{OH}$ ионит приобретает селективность по отношению к ионам никеля. Очевидно, что с увеличением сродства противоионов к иониту они в большей степени переходят из диффузионной части в адсорбционную часть двойного электрического слоя.

Селективность зависит и от состояния ионов в растворе, что следует из уравнения (III.148). Чем меньше их активность, тем хуже они сорбируются. Сорбируемость элемента увеличивается, если он находится в соответствующей ионной форме. Например, катионы металлов сорбируются катионитом лучше, если они в растворе не образуют комплексов. Анионит поглощает элементы, если они находятся в форме анионов или входят в состав комплексных анионов.

Ионный обмен можно представить в виде изотермы адсорбции одного или второго иона. Вывод уравнения изотермы ионного обмена аналогичен выводу уравнения для молекулярного обмена. Различие состоит лишь в том, что для изотермы ионного обмена концентрацию ионов 1 и 2 необходимо выразить в эквивалентных долях:

$$y_1 = \frac{z_1 c_1}{z_1 c_1 + z_2 c_2}, \quad y_2 = \frac{z_2 c_2}{z_1 c_1 + z_2 c_2}, \quad y_1 + y_2 = 1 \quad (\text{III.151})$$

После подстановки эквивалентных долей в уравнение для коэффициента ионного обмена (III.149), получим:

$$\bar{y}_2 = \frac{K y_2}{1 + (K - 1) y_2} \quad (\text{III.152})$$

Уравнение изотермы ионного обмена (III.152) аналогично изотерме адсорбции из бинарных растворов (III.105). Графическое изображение и их анализ также подобны (см. рис. III.16). Фактически полное подобие реализуется в том случае, если рассматривать адсорбцию из растворов только двух растворенных веществ без учета растворителя, как это отражает соотношение (III.152), которое не учитывает наличие растворителя. В процессе ионного обмена, как уже отмечалось, не изменяется общая ионная концентрация в фазах (выражаемая в эквивалентах). Таким образом, полная изотерма ионного обмена должна быть представлена поверхностью $OBV'O'$ (см. рис. III.26), ширина которой (координата OO') соответствует общей ионной концентрации раствора. Уравнение (III.152) отражает сечение поверхности изотермы при данной общей ионной концентрации раствора. В зависимости от последней несколько изменяется коэффициент обмена.

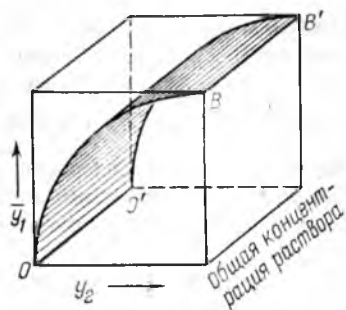


Рис. III.26. Изотерма ионного обмена

Часто стараются получить изотерму ионного обмена, поддерживая концентрацию другого иона, например H^+ , постоянной ($pH = const$). Тогда уравнение (III.149) для однозарядных ионов можно представить в виде уравнения Ленгмюра, выразив концентрацию

водородных ионов в ионите через его емкость.

В заключение необходимо отметить широкое применение ионообменной адсорбции для извлечения и разделения ионов. Ионный обмен лежит в основе методов умягчения и очистки воды, извлечения ценных компонентов, например урана, золота, серебра. Практически нет производства по переработке урановых руд, в котором не применялась бы ионообменная адсорбция. Ионный обмен используется для разделения редкоземельных элементов, что позволяет получать их в больших количествах и с высокой степенью чистоты. Раньше для этой цели применяли перекристаллизацию, производительность которой несравненно меньше. Ионообменная адсорбция является одним из важных методов в аналитической химии.

4. Адсорбция сильных электролитов.

Мембранная разность потенциалов

Органические и неорганические иониты часто используют в качестве сорбентов неэлектролитов. Наличие полярных групп в ионитах обуславливает селективную сорбцию полярных веществ (газообразных и жидких). Закономерности извлечения описываются ранее приведенными соотношениями для молекулярной адсорбции неэлектролитов (см. разд. III.B). Несколько своеобразны закономерности адсорбции сильных электролитов на ионитах.

Рассмотрим равновесную систему, состоящую из ионита и раствора электролита с одноименным ионом (противоионом). Ионный обмен в такой системе происходить не будет. Адсорбироваться на ионите может только целиком молекула электролита, т. е. противоион вместе с коионом (ионом электролита, имеющим знак заряда, противоположный знаку заряда противоиона), так как должна соблюдаться электронейтральность. Тогда закон распределения для электролита любого валентного типа имеет вид

$$K = \frac{\bar{a}}{a} = \frac{\bar{a}_+^{\nu_+} \bar{a}_-^{\nu_-}}{a_+^{\nu_+} a_-^{\nu_-}} \quad (III.153)$$

где \bar{a} и a — активности электролита в поверхности слое и растворе соответственно; a_+ , a_- и ν_+ , ν_- — активности ионов электролита и их стехиометрические коэффициенты.

Выражение (III.153) называют *уравнением мембранного равновесия Доннана*, или *доннановского равновесия*. Если адсорбируется одно-одновалентный электролит и он имеет одноименный ион с ионитом, то, пренебрегая коэффициентами активности ионов, получим:

$$K = \frac{\bar{a}_+ \bar{a}_-}{a_{\pm}^2} = \frac{\bar{c}(c_e + \bar{c})}{c^2} \quad (\text{III.154})$$

где a_{\pm} — средняя ионная активность электролита в растворе; \bar{c}_e — концентрация противоионов в ионите до адсорбции электролита, или емкость ионита; c и \bar{c} — концентрация электролита на поверхности ионита и в растворе соответственно.

Относительно коэффициента распределения соотношение (III.154) запишется так:

$$D = \bar{c}/c = Kc/(\bar{c}_e + \bar{c}) \quad (\text{III.155})$$

Из уравнения (III.155) видно, что с ростом емкости ионита коэффициент распределения электролита уменьшается. Он снижается также с уменьшением концентрации электролита в растворе. Можно утверждать, что ионит, находящийся в равновесии с разбавленным раствором электролита, практически не содержит ионов, т. е. сильные электролиты в противоположность слабым электролитам и неэлектролитам почти не адсорбируются ионитами из разбавленных растворов. Из этого следует, что через иониты могут диффундировать практически только противоионы, т. е. ионообменные материалы проявляют свойства полупроницаемых мембран по отношению к отдельным ионам.

Мембраной (полупроницаемой) называют пленку или пластину, через которую одни компоненты раствора проходят, а другие не проходят. Мембраны обладают большой внутренней удельной поверхностью. Ионитовые мембраны представляют собой, так же как и все иониты, нерастворимый полиэлектролит с диссоциирующими функциональными группами, и поэтому ионитовая мембрана проницаема для противоионов. В качестве мембран помимо пленок и пластин могут быть использованы также зерна ионита и стержни из него.

При помещении мембраны в раствор электролита на границе раздела фаз мембрана — раствор возникает электрический потенциал, называемый *потенциалом Доннана*. Его возникновение обусловлено следующим фактом. Так как активность данных ионов в растворе и на мембране различна, то проявляется тенденция к их выравниванию. В то же время катионы и анионы в растворе и мембране связаны между собой условием

электронейтральности, что и обуславливает возникновение электрического потенциала на границе фаз, который компенсирует указанную тенденцию каждого вида ионов к диффузии и приводит к установлению равновесия. Условием равновесия является равенство электрохимических потенциалов ионов на мембране и в растворе:

$$\bar{\mu} + zF\bar{\varphi} = \mu + zF\varphi \quad (\text{III.156})$$

где $\bar{\mu}$ и μ — химические потенциалы иона на мембране и в растворе; $zF\bar{\varphi}$ и $zF\varphi$ — электрические энергии иона с зарядом z на мембране и в растворе; $\bar{\varphi}$ и φ — электрические потенциалы иона в соответствующих фазах (относительно бесконечно удаленной точки в вакууме)

или наличие потенциалов между мембраной и раствором (потенциал Доннана):

$$E_D = \bar{\varphi} - \varphi = \frac{\bar{\mu} - \mu}{zF} = -\frac{RT}{zF} \ln \frac{\bar{a}}{a} \quad (\text{III.157})$$

где \bar{a} и a — активность противоионов на мембране и в растворе.

Пренебрегая коэффициентами активности, получим:

$$E_D = -\frac{RT}{zF} \ln \frac{\bar{c}_e}{c} \quad (\text{III.158})$$

Разность электрических потенциалов между двумя растворами электролитов, разделенными мембраной, называют *мембранной разностью потенциалов*, или *мембранным потенциалом*. Мембранную разность потенциалов нельзя измерить непосредственно, можно измерить только электродвижущую силу следующей цепи:

Электрод	Раствор 1	Мембрана	Раствор 2	Электрод
Электродный потенциал	Мембранная разность потенциалов		Электродный потенциал	

Эта электрическая цепь кроме мембранной разности потенциалов включает еще два электродных потенциала, определяемых уравнением Нернста (II.103). Обычно принимают, что электродные потенциалы в цепи точно компенсируют друг друга. Так как мембранная разность потенциалов E_M определяется разностью потенциалов Доннана с одной и другой стороны мембраны E'_D и E''_D (III.157), а химические потенциалы иона на мембране с обеих ее сторон одинаковы, то

$$E_M = \frac{\mu'' - \mu'}{z_+F} = -\frac{RT}{z_+F} \ln \frac{a''_+}{a'_+} \approx -\frac{RT}{z_+F} \ln \frac{c''_+}{c'_+} \quad (\text{III.159})$$

Таким образом, мембранная разность потенциалов (мембранный потенциал) является функцией концентрации сильного электролита в растворах по обе стороны мембраны.

Реальная полная мембранная разность потенциалов включает в себя еще диффузионный потенциал $E_{\text{диф}}$ (внутри мембраны), обусловленный диффузией электролита через мембрану и разной подвижностью катиона и аниона:

$$E_m = E''_d - E'_d + E_{\text{диф}} \quad (\text{III.160})$$

Реальная мембранная разность потенциалов тем сильнее отличается от идеальной (III.159), чем больше разница в концентрациях растворов по обе стороны мембраны.

Наличие мембранной разности потенциалов позволяет измерять активности катионов и анионов в растворе. Если по одну сторону мембраны поместить стандартный раствор с активностью $a_0 = 1$, а по другую сторону — исследуемый раствор с активностью a_x , то идеальная мембранная разность потенциалов (при идеальной селективности мембраны) составит

$$E_m = 0,058 \lg a_x \approx 0,058 \lg c_x \quad (\text{III.161})$$

Полуэлемент, образуемый мембраной и исследуемым раствором, ведет себя как электрод, обратимый по отношению к определенным ионам. Его называют *мембранным электродом*. Предложено много мембранных электродов, с помощью которых можно селективно определять активности (концентрации) ионов в растворах. Например, к мембранным ионселективным электродам относится стеклянный электрод, широко применяемый для определения активности водородных ионов в растворах, на чем основана рН-метрия.

Е. ХРОМАТОГРАФИЯ

1. Сущность и классификация методов хроматографии

Открытие хроматографии как метода разделения и анализа веществ принадлежит русскому ботанику М. С. Цвету, который в 1903 г. опубликовал работу, посвященную хроматографическому анализу хлорофилла.

Принцип хроматографического метода разделения основан на различии в адсорбционной способности веществ, которая зависит как от природы адсорбируемых веществ, так и от природы адсорбентов. Различные вещества на одном и том же адсорбенте адсорбируются в разной степени. Это можно представить и таким образом, что при адсорбционном равновесии они неодинаковое время находятся на поверхности адсорбента. Вещество, которое адсорбируется сильнее, дольше удерживается на поверхности адсорбента. Если смесь газов или жидкий раствор пропускать через слой адсорбента — хроматографическую колонку, то из нее раньше будут выходить компоненты, которые сорбируются слабее. В процессе прохождения через слой

адсорбента смеси веществ непрерывно совершаются акты адсорбции — десорбции, в результате которых сильносорбирующиеся вещества (они дольше находятся на поверхности адсорбента) «отстают» от слабосорбирующихся веществ. Очевидно, что чем толще слой адсорбента, тем эффективнее разделение. Таким образом, хроматография — это метод разделения компонентов подвижной фазы (смеси газов, раствора) при движении ее относительно другой неподвижной фазы (слоя сорбента).

Основным достоинством хроматографии является универсальность метода; он пригоден для разделения практически любых веществ. Увеличение толщины слоя адсорбента (высоты хроматографической колонки) позволяет обеспечить высокую степень разделения даже близких по свойствам веществ, ионов. Это значит, что степень разделения можно регулировать. Метод пригоден для работы с макроколичествами и микроколичествами веществ. Хроматографический метод разделения веществ легко поддается автоматизации. Эти достоинства обеспечили широкое применение хроматографии в производстве и научных исследованиях.

В промышленности хроматографию применяют для получения высокочистых веществ (редкоземельных элементов, актиноидов и др.). Хроматография широко используется как метод физико-химического исследования. С ее помощью можно изучать термодинамику сорбции, определять молекулярные массы веществ, коэффициенты диффузии, давление паров веществ, удельные поверхности адсорбентов и катализаторов и т. д. Широкое применение хроматография получила в аналитическом контроле различных смесей веществ. Важным преимуществом хроматографии является быстрота и надежность проведения анализа.

В зависимости от агрегатного состояния подвижной фазы различают газовую и жидкостную хроматографию. В газовой хроматографии подвижной фазой является газ. Этот метод хроматографии служит для разделения летучих веществ, к которым обычно относятся вещества с молекулярной массой приблизительно до 300, и термически стойких соединений. В жидкостной хроматографии подвижной фазой служит жидкость. Она применяется для разделения нелетучих веществ с молекулярной массой от ~ 300 до 1000—2000, неорганических ионов и термически нестойких соединений. Таким образом, газовая и жидкостная хроматография дополняют друг друга.

Неподвижная фаза, применяемая в хроматографировании, может быть твердой и жидкой. В соответствии с этим газовую хроматографию делят на газо-адсорбционную с твердым адсорбентом в качестве неподвижной фазы и газо-жидкостную, в которой неподвижной фазой служит твердый инертный носитель,

поры которого заполняют жидкостью (в ходе хроматографирования происходит абсорбция газа жидкостью). Аналогично жидкостную хроматографию делят на жидкостно-адсорбционную (неподвижная фаза — твердый адсорбент) и жидкостно-жидкостную (обе фазы — жидкие).

В зависимости от механизма процесса сорбции жидкостную хроматографию классифицируют на молекулярно-адсорбционную (реализуется физическая адсорбция), ионообменную (ионообменная адсорбция), распределительную (в основе — различная растворимость разделяемых компонентов в жидкостях подвижной и неподвижной фазы), осадочную (осадитель в неподвижной фазе с разделенными компонентами образует соединения с различной растворимостью в подвижной фазе), гель-хроматографию (различная проницаемость молекул разделяемых веществ в неподвижную фазу геля обусловлена размерами молекул).

По способам оформления метода хроматографию делят на колоночную и плоскостную. Плоскостная в свою очередь включает бумажную и тонкослойную хроматографию. В бумажной хроматографии в качестве адсорбента используется специальная однородная бумага, на которую наносят раствор разделяемых компонентов. Под действием капиллярных сил и диффузии отдельные компоненты движутся по поверхности бумаги с различной скоростью. В тонкослойной хроматографии применяют тонкие слои адсорбента, нанесенные на пластинку из инертного материала.

Наиболее широко используется колоночная хроматография, в процессе которой разделение веществ происходит в узкой и длинной хроматографической колонке, заполненной адсорбентом.

В зависимости от способа передвижения компонентов смеси вдоль неподвижной фазы различают три метода: проявительный (элюационный), вытеснительный и фронтальный.

Проявительный (элюационный) метод заключается в том, что смесь веществ сорбируют в верхнем слое неподвижной фазы, а затем через нее пропускают элюент — нейтральный разбавитель (например, инертный газ) или вещество, сорбирующееся хуже разделяемых компонентов. В ходе элюирования компоненты выделяются отдельными зонами, которые изолированы друг от друга чистым элюентом.

Вытеснительный метод отличается от проявительного тем, что в качестве элюента применяют вытеснитель — вещество, сорбирующееся лучше разделяемых компонентов. При вытеснении разделяемые компоненты смеси выделяются примыкающими друг к другу зонами, выходящими из колонки в порядке увеличения сорбируемости компонентов.

При фронтальном методе смесь веществ непрерывно пропускают через неподвижную фазу. Очевидно, что этот метод непригоден для разделения близких по свойствам компонентов и используется обычно для извлечения из смесей сильно сорбирующихся веществ.

2. Получение хроматограммы. Основное уравнение равновесной хроматографии

Результаты хроматографического разделения смеси веществ регистрируются в виде хроматограммы, которая показывает последовательное расположение компонентов вдоль неподвижной фазы и на выходе из нее, а также их количества. Получение хроматограммы целесообразно рассмотреть на примере газовой хроматографии. Газовые хроматографы выпускаются промышленностью серийно для газохроматографического контроля. Принципиальная схема такого прибора показана на рис. III.27. Проба анализируемого вещества подается в хроматографическую колонку 2 с помощью дозатора 1, через который пропускают газ-носитель (элюент); обычно пробу вводят в поток газ-носителя шприцем. В колонке 2 компоненты пробы распределяются вдоль слоя сорбента, детектор 3 фиксирует концентрации выходящих из колонки компонентов в потоке газа-носителя. Сигнал детектора регистрируется самописцем 4.

Детектирование может быть интегральным и дифференциальным. При интегральном детектировании фиксируется общее количество компонентов, например, их общий объем. Вследствие малой чувствительности и инерционности интегральные детекторы применяют крайне редко. Дифференциальное детектирование (более чувствительное) позволяет фиксировать концентрацию компонентов. В качестве детекторов наиболее часто используются катарометры (регистрируют изменение теплопроводности газов по изменению электрического сопротивления проводника), ионизационные детекторы (регистрация по току ионизации молекул газа под воздействием пламени или радиоактивного излучения), детекторы плотности, или плотномеры (по плотности

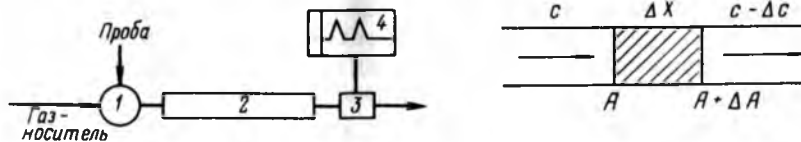


Рис. III.27. Принципиальная схема газового хроматографа:

1 — дозатор; 2 — хроматографическая колонка; 3 — детектор; 4 — регистрирующее устройство

Рис. III.28. К выводу основного уравнения равновесной хроматографии

газа), пламенные детекторы (по температуре пламени, в котором сгорает элюент) и другие.

Самописец хроматографа записывает хроматограмму в виде отдельных хроматографических зон, отвечающих соответствующим компонентам, которые движутся с разной скоростью по хроматографической колонке и поочередно выходят из нее.

Описание движения компонентов разделяемой смеси вдоль неподвижной фазы является основной задачей теории хроматографии. Это движение происходит с определенной скоростью, и поэтому равновесие между фазами не достигается. Однако при соответствующих условиях хроматографические процессы могут приближаться к равновесным. Анализ равновесного процесса позволяет связать скорость перемещения компонента вдоль неподвижной фазы со скоростью потока элюента и изменением величины сорбции.

Представим себе хроматографическую колонку с сечением, равным единице площади, в которой достигается равновесное распределение вещества между подвижной и неподвижной фазами (рис. III.28). Составим уравнение материального баланса по распределяющемуся веществу (продольную диффузию в неподвижной фазе не будем принимать во внимание). Обозначим объемную скорость потока подвижной фазы через ω , а через $\Delta\tau$ — время прохождения участка Δx ; тогда за это время пройдет объем подвижной фазы $\omega\Delta\tau$. При адсорбции концентрация компонента в подвижной фазе уменьшается на Δc , а общее количество вещества, ушедшего из подвижной фазы, равно $\omega\Delta\tau\Delta c$. Если q — количество сорбента, приходящееся на единицу длины колонки, то на участке Δx его количество составит $q\Delta x$. В результате адсорбции концентрация вещества в сорбенте возрастает на ΔA , а общее его количество, перешедшее в сорбент на участке Δx , станет равным $q\Delta x\Delta A$. Запишем уравнение материального баланса:

$$\omega\Delta\tau\Delta c = q\Delta x\Delta A \quad (\text{III.162})$$

Переходя к бесконечно малым величинам и записывая соотношение (III.162) относительно линейной скорости перемещения вещества u вдоль колонки, получим:

$$u = \frac{dx}{d\tau} = \frac{\omega}{q dA/dc} \quad (\text{III.163})$$

Уравнение (III.163) является основным уравнением идеальной равновесной хроматографии.

Из уравнения (III.163) следует, что линейная скорость передвижения вещества в общем случае зависит от вида изотермы адсорбции, т. е. от производной dA/dc . Принципиально различают три вида изотерм сорбции (рис. III.29a). Если адсорбция

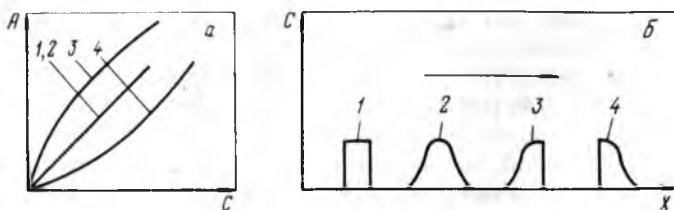


Рис. III.29. Виды изотерм сорбции (а) и соответствующие им формы хроматографических зон (б):

1—4 — см. текст. Стрелкой показано направление движения подвижной фазы

следует закону Генри, то производная равна константе Генри (изотермы 1 и 2 (см. рис. III.29а) и уравнение (III.163) принимает следующий вид:

$$u = \omega / (qK_{\Gamma}) \quad (\text{III.164})$$

Таким образом, скорость движения вещества не зависит от его концентрации. Форма хроматографической зоны на хроматограмме также не меняется в ходе перемещения вещества, так как элементы объема с любой концентрацией вещества передвигаются с одинаковой скоростью. Если бы отсутствовала продольная диффузия, концентрация вещества вдоль потока не менялась бы и форма хроматографической зоны напоминала вид, показанный на рис. III.29б (кривая 1). Однако в реальных условиях имеет место продольная диффузия, и вследствие этого распределение концентрации вещества вдоль потока несколько изменяется, соответственно размывается и хроматографическая зона. Ее форма напоминает кривую распределения Гаусса (кривая 2 на рис. III.29б).

С увеличением концентрации перестает соблюдаться закон Генри. Если изотерма имеет вид выпуклой кривой (кривая 3 на рис. III.29б), то производная dA/dc уменьшается с увеличением концентрации, а скорость движения вещества возрастает. В результате наблюдается преимущественное размывание (кривая 3 на рис. III.29б) задней части зоны (тыла зоны), которая движется медленнее, так как концентрация в ней меньше (вследствие диффузии). При вогнутой изотерме сорбции (кривая 4 на рис. III.29б) производная dA/dc увеличивается с ростом концентрации и соответственно скорость движения вещества уменьшается. Это приводит к преимущественному размыванию передней части зоны (ее фронта), чему способствует возрастание скорости движения вещества при уменьшении концентрации (кривая 4 на рис. III.29б).

Так как при нелинейных изотермах сорбции происходит размывание хроматографических зон, что ухудшает качество раз-

деления, то, очевидно, для лучшего разделения необходимо стремиться проводить исследования в области концентрации, при которых соблюдается закон Генри.

3. Основные характеристики хроматографического разделения

Хроматограмма, регистрируемая самописцем хроматографа, отражает зависимость сигнала детектора от времени пропускания элюента или от его объема. На рис. III.30 показаны зависимости сигналов дифференциального и интегрального детекторов, т.е. дифференциальная и интегральная хроматограммы. Линия 1 хроматограммы (нулевая линия) отвечает выходу из колонки чистого газа-носителя (в газовой хроматографии). Пик 2 указывает на присутствие в пробе слабосорбирующейся примеси. Пики 3 и 4 соответствуют компонентам анализируемой смеси. Пик ограничен фронтом и тылом. По линии фронта наблюдается возрастание концентрации вещества со временем до максимального значения, а по линии тыла она со временем уменьшается.

Основными параметрами хроматографического пика являются его высота и ширина. За высоту пика h принимают расстояние от нулевой линии до максимума пика (или до точки пересечения касательных к линиям тыла и фронта пика h'). Ширина пика μ определяется как расстояние между тылом и фронтом на половине его высоты (иногда указывают ширину пика на высоте, например $0,75h$, $0,9h$). Отношение ширины к высоте пика характеризует степень его размывания. По ширине и высоте пика рассчитывают количество вещества, прошедшее через хроматографическую колонку.

Основными хроматографическими характеристиками, с помощью которых можно сделать заключение о качестве разделения компонентов смеси, являются время удерживания $\tau_{уд}$ и объем удерживания $V_{уд}$. Время удерживания — время от момента ввода пробы до момента регистрации максимума пика на хроматограмме. Объем удерживания — объем элюента (газа-носителя), прошедший через хроматографическую

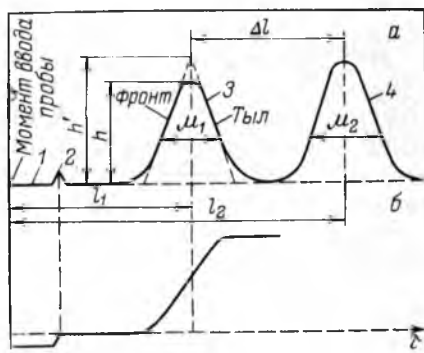


Рис. III.30. Дифференциальная (а) и интегральная (б) хроматограммы

колонку за время удерживания. В соответствии с определениями

$$V_{уд} = \omega \tau_{уд} \quad (III.165)$$

Этим величинам соответствует расстояние удерживания l (см. рис. III.30). Время удерживания можно выразить как отношение длины колонки L к линейной скорости движения вещества:

$$\tau_{уд} = L/u \quad (III.166)$$

Для двух разделяемых компонентов 1 и 2 количественными характеристиками разделения могут служить отношение времен удерживания

$$\tau_{уд1}/\tau_{уд2} = u_2/u_1 \quad \text{и} \quad \tau_{уд1}/\tau_{уд2} = V_{уд1}/V_{уд2} \quad (III.167)$$

или их разность:

$$\Delta\tau_{уд} = \Delta V_{уд}/\omega \quad (III.168)$$

При условии линейности изотермы время удерживания пропорционально константе Генри. Учитывая уравнение (III.164), получим:

$$\tau_{уд1}/\tau_{уд2} = K_{Г1}/K_{Г2} \quad \text{и} \quad \Delta\tau_{уд} = \frac{Lq}{\omega} \Delta K_{Г} \quad (III.169)$$

Из уравнений (III.169) следует, что отношение времен удерживания определяет константу разделения, а разность времен удерживания характеризует степень разделения с учетом многократных актов сорбции-десорбции вдоль неподвижной фазы. Чем больше длина колонки L , тем дальше друг от друга находятся зоны компонентов, т. е. тем лучше их разделение.

Эффективность разделения определяется отношением расстояния между максимумами хроматографических пиков к сумме ширин пиков (см. рис. III.30):

$$\beta = \Delta l / (\mu_1 + \mu_2) \quad (III.170)$$

Рассмотренные элементы теории хроматографии являются общими для всех видов хроматографии, указанных выше.

На эффективность разделения компонентов в хроматографическом процессе влияет очень много факторов. Сорбент (твердый или жидкий) должен обладать определенной селективностью. Элюент должен быть инертным по отношению к компонентам и сорбенту, обладать малой вязкостью, обеспечивать высокую чувствительность детектора. При хроматографировании растворов часто применяют комплексообразующие вещества, которые способствуют разделению компонентов (разное вымывание компонентов с сорбента — изменяются константы Генри). Уменьшение скорости элюирования приближает процесс к равновесному и улучшает разделение компонентов. Если с увеличе-

нием длины колонки растет степень разделения, то увеличение ее диаметра приводит, как правило, к ухудшению разделения вследствие конвекционного перемешивания разделяемой смеси.

Эффективность разделения зависит также и от конструктивных особенностей колонки, размеров частиц сорбента и качества их упаковки. Все это в значительной мере определяет число актов сорбции-десорбции, приходящееся на единицу длины колонки (число теоретических тарелок) и степень размывания пиков.

Кроме колоночной хроматографии, широко используемой в разнообразных вариантах, получила распространение и плоскостная хроматография, особенно ее разновидность — бумажная хроматография. Она выполняется на специальной хроматографической бумаге, обладающей изотропностью по всем направлениям, равномерной плотностью и толщиной. На такую бумагу можно нанести осадитель или вещество с ионообменными свойствами, и тогда ее можно использовать для осадительной или ионообменной хроматографии. Хроматографическая бумага весьма гигроскопична, в ее порах и капиллярах при нормальных условиях удерживается более 20% влаги. Процесс разделения на такой бумаге напоминает распределительную хроматографию, в которой неподвижной фазой является вода. На бумагу наносят разделяемую смесь и один край листа опускают в растворитель. Под действием капиллярных сил растворитель движется вдоль листа и захватывает разделяемые вещества, скорость переноса которых зависит от их коэффициентов распределения между фазами. Чем больше коэффициент распределения, тем меньше скорость движения [см. уравнение (III.164)]. Количественная оценка процесса ведется с помощью коэффициента R_f , равного отношению скорости движения вещества к скорости движения элюента (растворителя). Коэффициент разделения равен отношению этих коэффициентов для двух веществ и пропорционален обратному отношению коэффициентов распределения (III.164):

$$\beta_{1/2} = R_{f_1} / R_{f_2} = D_2 / D_1 \quad (\text{III.171})$$

Подобным образом проводится количественная оценка эффективности разделения компонентов смесей в тонкослойной хроматографии, которая отличается от хроматографии на бумаге тем, что выполняется на тонких слоях различных адсорбентов, наносимых обычно на стеклянные пластинки.

IV. КИНЕТИЧЕСКИЕ СВОЙСТВА И МЕТОДЫ ИССЛЕДОВАНИЯ ДИСПЕРСНЫХ СИСТЕМ

А. СЕДИМЕНТАЦИЯ И СЕДИМЕНТАЦИОННЫЙ АНАЛИЗ ДИСПЕРСНОСТИ

1. Свободнодисперсные системы

В свободнодисперсных системах частицы дисперсной фазы могут свободно перемещаться по всему объему дисперсионной среды. Это общее свойство позволяет оценивать некоторые происходящие в таких системах явления с единой позиции. Для всех свободнодисперсных разбавленных систем, в которых движение частиц не осложнено их агрегацией, характерны общие закономерности седиментации, а также электрокинетических и молекулярно-кинетических свойств. Некоторые различия, не столько качественные, сколько количественные, имеют системы с жидкой и газообразной дисперсионными средами. Они в основном обусловлены меньшими значениями вязкости и плотности газа по сравнению с жидкостью (для газа вязкость меньше в ≈ 50 раз, а плотность в ≈ 100 и более раз) и более сильным взаимодействием жидкости с дисперсной фазой (сольватация). Увеличение дисперсности и концентрации дисперсной фазы может приводить к существенным различиям в некоторых свойствах систем, что дает основание для их классификации по этим признакам. Свободнодисперсные системы делят на аэрозоли, порошки, лиозоли, суспензии, эмульсии и пены.

Аэрозоли — дисперсные системы с газообразной дисперсионной средой и взвешенными твердыми или жидкими частицами. По методам получения они подразделяются на диспергационные, образующиеся при измельчении и распылении веществ, и на конденсационные, получаемые конденсацией из пересыщенных паров и в результате реакций, протекающих в газовой фазе. По агрегатному состоянию и размерам частиц дисперсной фазы аэрозоли делят на *туманы* — системы с жидкой дисперсной фазой, размер частиц $10-0,1$ мкм, *пыли* — системы с твердыми частицами размером больше 10 мкм и *дымы*, размеры твердых частиц которых находятся в пределах $10-0,001$ мкм. Туманы имеют частицы правильной сферической формы (результат самопроизвольного уменьшения поверхности жидкости), а пыли и дымы содержат твердые частицы самой разнообразной формы. К типичным аэрозолям относятся: водяной туман (размер частиц $0,5$ мкм), топочный дым ($0,1-100$ мкм), дождевые облака ($10-100$ мкм), дым из ZnO ($0,05$ мкм), сернокислотный туман ($1-10$ мкм), дым из P_2O_5 (1 мкм). Частицы высокодис-

персных аэрозолей участвуют в тепловом движении газообразной дисперсионной среды.

Порошки можно рассматривать как осажденные аэрозоли с твердыми частицами. Однако частицы в них могут быть более крупными и достигать в диаметре до 1—2 мм. В зависимости от размеров частиц для порошков приняты разные названия. Например, в почвоведении используют названия песок (диаметр частиц 0,2—0,002 см), пыль (20—2 мкм). Более мелкие порошки иногда называют пудрой. Размер частиц промышленных порошков определяется их целевым назначением и часто является одним из основных показателей качества продукта. Например, дисперсность и распределение частиц по размерам в цементных порошках сильно влияет на механическую прочность изделия. Качество муки повышается с увеличением степени помола. Многие важнейшие свойства композиционных материалов зависят от дисперсности наполнителей.

По форме частицы в порошках подразделяют на равноосные, имеющие приблизительно одинаковые размеры по трем осям, волокнистые, длина которых значительно больше других размеров, и плоские, длина и ширина которых значительно больше толщины.

Частицы порошка всегда находятся в контакте. Хотя общая поверхность контакта частиц в порошках очень мала, эта особенность определяет важнейшие технологические характеристики порошков, например, текучесть. Текучесть определяют по скорости вытекания порошка через калиброванное отверстие диаметром 1,5—4,0 мм. Текучесть порошка зависит от плотности, размера и формы частиц, состояния их поверхности, влажности и других свойств. Повышение дисперсности приводит к уменьшению текучести вследствие роста общей поверхности контакта. Увеличение влажности также снижает текучесть порошков.

Суспензии — это системы с твердой дисперсной фазой и жидкой дисперсионной средой. Суспензии имеют ряд общих свойств с порошками; эти системы подобны по дисперсности. Если порошок поместить в жидкость и перемешать, то получится суспензия, а при высушивании суспензии она снова превращается в порошок. Концентрированные суспензии называют пастами, пульпами, шламами, шликерами. В химической промышленности с суспензиями имеют дело при осаждении солей, их растворении, при выщелачивании, фильтрации. Суспензию образует твердый катализатор, если реакция проходит в жидкой фазе. Глинистые и известковые «растворы», красители, краски и многие другие материалы представляют собой суспензии.

В зависимости от дисперсности твердой фазы суспензии подразделяют на *грубые* (диаметр частиц более 100 мкм), *тонкие* (от 100 до 0,5 мкм), и *мути* (от 0,5 мкм до 100 нм). Иногда

в эту классификацию включают *золи* (коллоидные растворы) с размерами частиц менее 100 нм, хотя по ряду специфических признаков они представляют качественно отличающийся вид дисперсных систем.

Лиозоли часто называют истинно коллоидными системами. Размеры частиц дисперсной фазы в них не превышают 100 нм. Основное качественное отличие лиозолей от микрогетерогенных систем состоит в том, что частицы зольей участвуют в тепловом движении и благодаря этому обладают многими свойствами истинных растворов.

Лиозоли делят на дисперсионные, ассоциативные и макромолекулярные. Дисперсионные лиозоли получают методами конденсации (чаще всего) либо диспергирования, ассоциативные — образуются обратимо при ассоциации молекул в растворах (обычно молекул ПАВ), к макромолекулярным лиозолям относятся растворы высокомолекулярных веществ. Лиозоли второй и третьей группы образуются самопроизвольно, как и истинные растворы.

Эмульсии — это дисперсные системы, образованные двумя взаимно нерастворимыми жидкостями. Их получают как конденсационными, так и диспергационными методами. На практике чаще используют диспергирование. Как и суспензии, эмульсии обычно подразделяют по размерам частиц и концентрациям дисперсной фазы.

Дисперсность эмульсий может изменяться в широких пределах вплоть до истинно коллоидной (диаметр частиц менее 100 нм). Большинство эмульсий принадлежит к микрогетерогенным системам (размер частиц > 100 нм), и их частицы хорошо видны в обычном микроскопе. Для эмульсий характерна коалесценция капель, т. е. их самопроизвольное слияние. Чтобы получить высокодисперсные и устойчивые эмульсии, в систему добавляют стабилизаторы, называемые в данном случае эмульгаторами.

Для того, чтобы различать, какая из жидкостей эмульсии диспергирована, а какая является дисперсионной средой, принято полярную жидкость условно называть «водой», а неполярную — «маслом». В соответствии с этим эмульсии делят на два типа: *прямые* — «масло в воде» (м/в) и *обратные* — «вода в масле» (в/м). Тип эмульсии определяют по свойствам дисперсионной среды. Например, прямые эмульсии (м/в) смешиваются с водой (с полярными жидкостями), имеют большую электропроводность, плохо смачивают гидрофобную поверхность. Противоположными свойствами обладают обратные эмульсии (в/м).

В зависимости от концентрации дисперсной фазы эмульсии делят на разбавленные, концентрированные и высококонцентрированные. *Разбавленные* эмульсии, имеющие концентрацию дисперсной фазы до 0,1% (об.), отличаются высокой дисперсностью

(размер капель может быть менее 100 нм). Концентрация дисперсной фазы в *концентрированных* эмульсиях не превышает 74% (об.). Это максимальная концентрация, которая соответствует плотной упаковке сферических капель одинакового размера при отсутствии их деформирования. В концентрированных эмульсиях капли постоянно находятся в контакте, и поэтому они устойчивы только в присутствии эмульгатора. Если концентрация дисперсной фазы превышает 74%, то эмульсию называют *высококонцентрированной*. В таких эмульсиях движение капель почти отсутствует, они существенно деформированы, а дисперсионная среда приобретает вид тонких прослоек — эмульсионных пленок.

Пены и газовые эмульсии — свободнодисперсные системы, состоящие из газообразной дисперсной фазы и жидкой дисперсионной среды. Газовые эмульсии — это разбавленные системы с малым содержанием пузырьков газа в жидкости. Они сравнительно быстро расслаиваются: вследствие значительно меньшей плотности газа по сравнению с жидкостью пузырьки всплывают на поверхность, где, концентрируясь, образуют пену.

Пены — концентрированные дисперсные системы типа Г/Ж — имеют значительно большее распространение и значение, чем газовые эмульсии. Они могут быть получены как диспергационными, так и конденсационными методами. Пена получается при барботаже газа в жидкость из узкого отверстия — струя газа разрывается и разбивается на пузырьки. Пена образуется и при механическом перемешивании газа с жидкостью, что можно наблюдать при флотации, стирке и других процессах. Примерами конденсационного метода являются образование пены в газированных напитках, насыщенных CO_2 , при пользовании пенным огнетушителем. В этих системах пузырьки газа образуются в виде новой фазы в результате химической реакции или выделения растворенного газа при повышении температуры или уменьшении давления. Устойчивость пен, как и эмульсий, обеспечивается с помощью стабилизаторов, в качестве которых применяются ПАВ.

Пены характеризуются очень большой полидисперсностью. Размеры пузырьков газа в пене могут значительно превышать размеры частиц суспензий и эмульсий. Пузырьки газа плотно прижаты друг к другу и разделены пенными пленками, которые вначале имеют значительную толщину. Со временем жидкость под действием силы тяжести и капиллярного давления оттекает из пленок в утолщения, находящиеся в местах контакта нескольких пузырьков, и пенные пленки утончаются. Этот процесс идет быстрее в верхних пузырьках, и поэтому с них начинается разрушение пены.

2. Закономерности седиментации в гравитационном и центробежном полях

Характерным общим свойством суспензий, порошков, эмульсий и аэрозолей, особенно если они разбавлены, является склонность к оседанию или всплыванию частиц дисперсной фазы. Оседание частиц дисперсной фазы называется *седиментацией*, а всплывание частиц — *обратной седиментацией*.

На каждую частицу в системе действует сила тяжести (гравитационная сила) и подъемная сила Архимеда:

$$F_g = mg = v\rho g \text{ и } F_A = v\rho_0 g \quad (\text{IV.1})$$

где m и v — масса и объем частицы; g — ускорение свободного падения; ρ , ρ_0 — плотность частиц дисперсной фазы и дисперсионной среды соответственно.

Эти силы постоянны и направлены в разные стороны. Равнодействующая сила, вызывающая седиментацию, равна

$$F_{\text{сед}} = F_g - F_A = m_{\text{от}}g = v(\rho - \rho_0)g \quad (\text{IV.2})$$

где $m_{\text{от}}$ — относительная масса частицы (с учетом плотности среды, $m_{\text{от}} = m - v\rho_0$).

Если $\rho > \rho_0$, то $F_{\text{сед}} > 0$, и частица оседает, если $\rho < \rho_0$, то $F_{\text{сед}} < 0$, и частица всплывает, т.е. происходит обратная седиментация, характерная для газовых и большинства жидких эмульсий.

Так как седиментация протекает в определенной среде, то при ламинарном движении частицы возникает сопротивление — сила трения, пропорциональная скорости движения частицы:

$$F_{\text{тр}} = Bv \quad (\text{IV.3})$$

где B — коэффициент трения; v — скорость движения частиц.

Таким образом, сила, действующая на частицу, во время движения, равна

$$F = F_{\text{сед}} - F_{\text{тр}} = vg(\rho - \rho_0) - Bv \quad (\text{IV.4})$$

В первый момент движения частицы ее скорость очень мала, и поэтому частица движется под действием силы F ускоренно. С ростом скорости при достаточно большом коэффициенте трения наступает момент, когда сила трения достигает силы, вызывающей седиментацию, и таким образом движущая сила F оказывается равной нулю. После этого момента скорость движения частицы становится постоянной, ее можно определить из уравнения (IV.4) при условии $F = 0$:

$$u = \frac{m_{\text{от}}g}{B} = \frac{vg(\rho - \rho_0)}{B} \quad (\text{IV.5})$$

Выражение для силы трения (IV.3), возникающей при движении сферических частиц, можно представить в виде закона Стокса:

$$B = 6\pi\eta r \text{ и } F_{\text{тр}} = 6\pi\eta r u \quad (\text{IV.6})$$

где η — динамическая вязкость среды; r — радиус частицы.

Подставляя уравнение (IV.6) в (IV.5) и выражая объем частицы через ее радиус, получим:

$$u = \frac{2g(\rho - \rho_0)r^2}{9\eta} \quad (\text{IV.7})$$

Соотношение (IV.7) показывает, что постоянная скорость седиментации частицы пропорциональна квадрату ее радиуса, разности плотностей частицы и среды, и обратно пропорциональна вязкости среды. По такому закону происходит осаждение частиц в суспензиях, аэрозолях, эмульсиях.

Относительно радиуса частицы уравнение (IV.7) принимает вид

$$r = \sqrt{\frac{9\eta u}{2g(\rho - \rho_0)}} \quad (\text{IV.8})$$

Определив экспериментально скорость седиментации и зная величины η , ρ и ρ_0 , по уравнению (IV.8) легко рассчитать радиус частицы. Из уравнений (IV.7) и (IV.8) следует также, что скоростью движения можно управлять, меняя плотность и вязкость среды.

Способность к седиментации принято выражать через константу седиментации, которая определяется скоростью седиментации:

$$S_{\text{сед}} = \frac{m_{\text{от}}}{B} = \frac{v(\rho - \rho_0)}{B} = \frac{u}{g} \quad (\text{IV.9})$$

Для сферических частиц эта константа равна

$$S_{\text{сед}} = \frac{\frac{4}{3}\pi r^3(\rho - \rho_0)}{6\pi\eta r} = \frac{2r^2(\rho - \rho_0)}{9\eta} \quad (\text{IV.10})$$

Из уравнения (IV.10) следует, что константа седиментации зависит как от размеров частиц, так и от природы фаз. За единицу константы седиментации принят сведберг ($S_b = 10^{-13}$ с). Для аэрозолей, суспензий и эмульсий в маловязких средах константа седиментации очень велика, поэтому для таких систем ее удобнее измерять в мегасведбергах ($MS_b = 10^6 S_b$), гигасведбергах ($GS_b = 10^9 S_b$) или же просто в секундах. Например, для частиц кварца ($\rho = 2,7 \text{ г/см}^3$) размером 10^{-3} см константа седиментации в воде равна $325 MS_b = 0,325 GS_b = 3,25 \cdot 10^{-5}$ с. Еще большие константы седиментации имеют аэрозоли в связи с тем, что плотности и вязкости газов очень малы.

Таблица IV.1. Скорость седиментации сферических частиц SiO_2 в воде

Радиус частицы, мкм	Скорость седиментации, см/с	Время оседания частицы на 1 см
10	$3,6 \cdot 10^{-2}$	28 с
1	$3,6 \cdot 10^{-4}$	46,5 мин
0,1	$3,6 \cdot 10^{-6}$	77,5 ч
0,01	$3,6 \cdot 10^{-8}$	323 дня
0,001	$3,6 \cdot 10^{-10}$	89 лет

Если частицы в суспензиях очень малы и их размер приближается к размерам зольей, то седиментация под действием гравитационных сил протекает очень медленно. Данные, рассчитанные по уравнению (IV.7) и приведенные в табл. IV.1, иллюстрируют зависимость скорости оседания в воде ($\eta = 10^{-3}$ Па·с) частиц кварца ($\rho = 2,7$ г/см³) от их размера.

Из данных табл. IV.1 видно, что частица размером 10 мкм оседает на 1 см в течение 28 с, а частица с радиусом 0,01 мкм это же расстояние пройдет в течение года. Осаждению таких мелких частиц мешают даже незначительные толчки, сотрясения, перепады температур, вызывающие образование конвекционных потоков в системах. Кроме того, частицы зольей вовлекаются в тепловое движение среды, и при их множестве действует закон диффузии для дисперсной фазы (см. следующий раздел): возникающий градиент концентрации при осаждении вызывает диффузию частиц золя в противоположном направлении, что также тормозит (а может и остановить) осаждение дисперсной фазы.

Для осуществления седиментации ультрамикроретерогенных систем русский ученый А. В. Думанский в 1912 г. предложил использовать центробежное поле. Этот способ удалось реализовать шведскому ученому Сведбергу, который разработал центрифугу с частотой вращения в несколько десятков тысяч оборотов в секунду.

Центробежная сила $F_{ц}$, как и нормальное ускорение a , пропорциональна кривизне траектории движения частицы (при постоянной линейной скорости u)

$$F_{ц} = m_0 a = m_0 u^2 / R = m_0 \omega^2 R \quad (IV.11)$$

где R — радиус траектории; $\omega = u/R$ — угловая скорость.

Под действием центробежной силы при постоянном числе оборотов ротора центрифуги частица движется в сторону от центра вращения, при этом радиус кривизны ее траектории и линейная скорость увеличиваются, однако угловая скорость остается постоянной. Равновесие между $F_{гп}$ и $F_{ц}$, которое пасту-

пает при седиментации, удобнее записать таким образом (чтобы оставить одну переменную от времени):

$$B dx/d\tau = m_{0\tau} \omega^2 x \quad (IV.12)$$

где x — переменный радиус кривизны, или расстояние от центра вращения; $dx/d\tau$ — скорость седиментации.

Соотношение (IV.12) справедливо, если можно пренебречь силой тяжести, т. е. при условии $F_{ц} \gg F_g$, а также если не учитывать диффузию дисперсной фазы. Из соотношения (IV.12) видно, что скорость седиментации в центробежном поле не остается постоянной, она растет пропорционально расстоянию от центра вращения, что характерно для ускоренного оседания частиц. Кроме того, из него следует, что скорость седиментации в большой степени зависит от угловой скорости или от частоты вращения центрифуги (от квадрата этих величин; $\omega = 2\pi\nu$, где ν — число оборотов в секунду).

Разделяя переменные в соотношении (IV.12) и интегрируя его в пределах от начального расстояния x_0 до x и соответственно от $\tau = 0$ до τ , получим:

$$\int_0^x \frac{dx}{x} = \frac{m_{0\tau} \omega^2}{B} \int_0^{\tau} d\tau = S_{\text{сед}} \omega^2 \int_0^{\tau} d\tau$$

$$\ln \frac{x}{x_0} = \frac{m_{0\tau} \omega^2 \tau}{B} = S_{\text{сед}} \omega^2 \tau$$

$$\text{или } x = x_0 \exp(S_{\text{сед}} \omega^2 \tau)$$

$$(IV.13)$$

Из уравнения (IV.13) следует, что расстояние x растет в зависимости от времени по экспоненте при постоянной угловой скорости вращения ротора центрифуги (при постоянном числе оборотов).

Если принять, что частицы имеют сферическую форму и их движение подчиняется закону Стокса, то из (IV.13) получим:

$$\ln \frac{x}{x_0} = \frac{2r^2(\rho - \rho_0)\omega^2\tau}{9\eta} \quad \text{и} \quad r = \sqrt{\frac{9\eta \ln(x/x_0)}{2(\rho - \rho_0)\omega^2\tau}} \quad (IV.14)$$

Таким образом, определив время действия центробежного поля, расстояние, пройденное частицами, зная угловую скорость и постоянные параметры системы, можно рассчитать размер частиц дисперсной системы, Используя соотношение (IV.13), обычно по экспериментальным данным строят зависимость $\ln x$ от τ , которая линейна при постоянной угловой скорости. Тангенс угла наклона прямой $\ln x$ (τ) равен произведению $S_{\text{сед}} \omega^2$, откуда определяют константу седиментации и соответственно массу и размер частиц (IV.10). По характеристикам седиментации в центробежном поле при частоте вращения ротора в не-

сколько десятков тысяч оборотов в секунду можно рассчитывать молекулярную массу, например, полимеров. Определив массу m или размер r макромолекулы, мольную массу (численно равную молекулярной массе) рассчитывают по формуле:

$$M = mN_A = v\rho N_A = \frac{4}{3}\pi r^3 \rho N_A \quad (IV.15)$$

где N_A — число Авогадро.

Следует иметь в виду, что использование закона Стокса в данном случае требует допустить сферичность макромолекулы, что часто бывает причиной больших погрешностей при определении молекулярной массы полимера.

3. Условия соблюдения закона Стокса при седиментации дисперсных систем

Рассмотрим условия, при которых соблюдаются закономерности седиментации, описываемые уравнениями (IV.7) и (IV.8). Эти соотношения справедливы, если частицы дисперсной фазы осаждаются независимо друг от друга, что может быть только в разбавленных системах. При осаждении в концентрированных системах происходят столкновения частиц, в результате которых малые частицы тормозят движение более крупных, а крупные ускоряют движение мелких частиц. В итоге происходит более медленное коллективное осаждение, и, кроме того, скорость осаждения частиц уменьшается под действием возникающего в этом случае встречного потока жидкости со дна сосуда, в котором находится дисперсная система.

Обычно частицы в дисперсных системах с твердой дисперсной фазой имеют неправильную форму. При свободном оседании частица несферической формы ориентируется в направлении движения таким образом, чтобы создавалось максимальное сопротивление движению, что уменьшает скорость осаждения. При расчете по уравнению (IV.6) коэффициента трения для частиц, линейные размеры которых по разным направлениям различаются незначительно, можно воспользоваться фактором формы, равным отношению площадей поверхностей сферической частицы $s_{сф}$ и реальной частицы s , имеющих одинаковые объемы:

$$\Phi = s_{сф}/s \quad (IV.16)$$

Так как всегда $s_{сф} < s$, то $\Phi < 1$, например, для куба $\Phi = 0,806$, для цилиндра, высота которого в 10 раз больше радиуса основания, $\Phi = 0,690$. Фактор формы зависит не только от отношения поверхностей, поэтому его следует определять экспериментально. Для расчета скорости движения частиц неправильной формы часто применяют закон Стокса, используя представление об эквивалентном радиусе. Под *эквивалентным*

радиусом подразумевают радиус сферической частицы, оседающей с такой же скоростью, что и реальная частица.

Закон Стокса может не соблюдаться и при турбулентном режиме осаждения частиц. С увеличением скорости осаждения разрывается слой дисперсионной среды, облегающий частицу, за движущейся частицей создаются завихрения, обуславливающие разность давлений, которая тормозит движение. В результате этого ламинарный режим движения частицы нарушается, и при критерии Рейнольдса ($Re = u d \rho / \eta$; $d = 2r$) $Re > 2$ зависимость силы трения от скорости движения возрастает в большей степени, чем согласно закону Стокса. При развитой турбулентности ($Re > 500$) сила трения пропорциональна квадрату скорости движения частиц. Неправильная форма частиц способствует турбулентности их движения при меньших скоростях. Таким образом, закон Стокса выполняется, если скорость осаждения частиц не превышает определенного значения. Уменьшение скорости достигается увеличением дисперсности частиц, вязкости и плотности среды [см. уравнение (IV.7)].

Закон Стокса предполагает наличие внутреннего трения, или вязкого трения, когда граница (поверхность) движения частицы относительно среды находится внутри дисперсионной среды, вязкость которой определяет коэффициент трения. Внутреннее трение обычно преодолевается при движении жидких или твердых частиц в газообразной или жидкой среде, что обусловлено значительным межфазным взаимодействием. Если межфазное взаимодействие мало, граница (поверхность) движения частицы относительно среды может совпадать с поверхностью раздела фаз и трение оказывается внешним. Это приводит к возникновению скольжения, ускоряющему движение частицы. В реальных системах нет резкой границы перехода от трения скольжения к вязкому трению; в промежуточной переходной области необходимо учитывать закономерности, характерные для вязкого трения и трения скольжения. Скольжение можно учесть, вводя дополнительный множитель в уравнение Стокса (IV.6):

$$F_{\text{тр}} = 6\pi\eta r u \frac{2\eta + r\eta_c}{3\eta + r\eta_c} \quad (\text{IV.17})$$

где η_c — коэффициент внешнего трения (скольжения).

При отсутствии скольжения $\eta_c = \infty$ и формула (IV.17) переходит в уравнение Стокса.

Применимость закона Стокса ограничивается также дисперсностью частиц. Большие частицы (> 100 мкм) могут двигаться ускоренно, и тогда для определения скорости их движения нельзя пользоваться уравнениями (IV.5), (IV.7) и (IV.8). Кроме того, быстрое движение больших частиц может вызвать турбулентный режим потока, при котором также перестает соблюдаться закон Стокса. Очень малые частицы — ультрамикрорете-

рогенные ($< 0,1$ мкм) осаждаются настолько медленно, что следить за такой седиментацией практически невозможно. Кроме того, при оценке седиментации малых частиц следует учитывать влияние на процесс осаждения механических, тепловых и других внешних воздействий.

На седиментации малых частиц в жидких средах влияет их сольватация, и ее необходимо учитывать, если толщина сольватных слоев соизмерима с размером частицы. Обычно толщина слоев составляет сотые доли микрометра, поэтому ее учитывают для частиц размером < 1 мкм. Следует принимать во внимание как толщину сольватного слоя, так и его плотность.

Особую роль играет дисперсность частиц при их седиментации в аэрозолях. Возможность приложения закона Стокса к аэрозолям лимитируется требованием сплошности среды, при нарушении которой законы гидродинамики неприменимы. В аэрозолях среду можно считать сплошной, если размер частиц значительно превышает средний свободный пробег молекул газообразной среды. При этом условии частица взаимодействует со множеством молекул среды. При нормальных условиях длина свободного пробега молекул в воздухе составляет около $0,1$ мкм. Закон Стокса ($F_{\text{тр}} \sim r$) в этом случае удовлетворительно описывает движение частиц радиусом более 5 мкм. Если же длина свободного пробега молекул значительно больше размера частицы, последняя будет находиться в тех же условиях, что и отдельные молекулы газа. Среда по отношению к частице оказывается дискретной, и на движение частицы распространяются законы молекулярно-кинетической теории, которая устанавливает пропорциональность силы трения квадрату радиуса частицы ($F_{\text{тр}} \sim r^2$). Такая зависимость соблюдается для частиц радиусом $\leq 0,001$ мкм (≤ 1 нм) в воздухе при нормальных условиях.

Из изложенного следует, что существует промежуточная область размеров частиц ($5-0,001$ мкм), для которой характерны переходные режимы и закономерности их движения: гидродинамический (точнее, аэродинамический) характер движения меняется на молекулярно-кинетический. Эта промежуточная область сдвигается в сторону больших размеров частиц при уменьшении давления газа, когда увеличивается длина свободного пробега молекул.

Эмпирическая формула для силы трения при движении частицы в газообразной среде, характер которого соответствует переходной области, предложена Кеннингеном (1910 г.) и экспериментально подтверждена Миллиkenом:

$$F_{\text{тр}} = 6\pi\eta r u \frac{1}{1 + K\lambda/r} \quad (\text{IV.18})$$

где K — коэффициент, равный $0,8+1,5$, определяемый экспериментально; λ — длина свободного пробега молекул газа.

Из формулы (IV.18) следует, что при $K\lambda/r \gg 1$ соотношение между силой трения и радиусом отвечает выводам из молекулярно-кинетической теории ($F_{\text{тр}} \sim r^2$), а при $K\lambda/r \ll 1$ оно принимает форму закона Стокса.

Рассмотренная особенность седиментации аэрозолей имеет отношение и к движению дисперсионной среды относительно дисперсной фазы. Например, газообразная среда, двигаясь в поле температурного градиента из области высоких температур в область низких температур (термодиффузия), увлекает за собой частицы дисперсной фазы (термофорез), которые концентрируются в холодной области. Как следует из соотношения (IV.18), сила трения при движении частиц определяется также соотношением между величинами λ и r . Если $\lambda \ll r$, то движение частиц обусловлено потоком непрерывной среды (гидродинамический режим), который захватывает частицу. При условии $\lambda \gg r$ причина движения частиц оказывается той же, что и для движения молекул газообразной среды, различие состоит только в интенсивности теплового движения.

1. Седиментационный анализ дисперсности

Анализ дисперсности веществ и материалов люди проводили с древних времен. Еще в далеком прошлом была известна роль дисперсности (которую в то время определяли на ощупь) для кроющей способности и яркости красок, для вкусовых качеств муки, для получения мелкозернистых кирпича, фарфора. В настоящее время дисперсность служит одним из основных технологических параметров веществ и материалов во многих производствах. Разработаны различные методы дисперсионного анализа, из которых наиболее простой и распространенный метод — седиментационный.

Принцип седиментационного метода анализа дисперсности состоит в измерении скорости осаждения частиц, обычно в жидкой среде. По скорости осаждения с помощью соответствующих уравнений рассчитывают размеры частиц. Метод позволяет определить распределение частиц по размерам и соответственно подсчитать их удельную поверхность. Седиментационный метод анализа дисперсности в гравитационном поле применим для анализа микрогетерогенных и некоторых грубодисперсных систем. Он позволяет определять размеры частиц в интервале от 10^{-5} до 10^{-2} см, которому соответствуют суспензии, эмульсии, порошки — дисперсные системы, наиболее распространенные и важные в различных областях промышленности.

Размер частицы дисперсной фазы обычно характеризуют радиусом частицы, реже объемом или площадью ее поверхности. Радиус однозначно определяется только для частиц сферич-

ческой формы. Для частиц неправильной формы радиус — условная величина и его значение зависит от экспериментального метода измерения. Так, с помощью микроскопа определяют несколько линейных размеров частицы и среднее значение принимают за ее радиус. Часто при микроскопическом анализе за радиус частицы принимают радиус круга, площадь которого равна площади проекции частицы на плоскость, перпендикулярную оси оптической системы микроскопа. При кондуктометрическом методе дисперсионного анализа, например, с помощью счетчика Колтера, в качестве радиуса частицы используют радиус сферы с тем же объемом, что и объем частицы. При седиментационном анализе, как уже упоминалось, размер частицы определяют как радиус сферической частицы той же плотности, оседающей со скоростью, равной скорости движения частицы (гидравлический радиус).

Чтобы уравнения седиментации одной частицы были применимы для всей совокупности частиц дисперсной системы, должно выполняться условие независимости движения каждой частицы. Такое условие достигается в разбавленной системе, а иногда при введении специального стабилизатора, предотвращающего слипание частиц.

Принцип седиментационного анализа удобно рассмотреть на примере монодисперсных систем, которые служат хорошей простейшей моделью для изучения седиментации. В монодисперсной системе все частицы осаждаются с одинаковой скоростью. В соответствии с этим такую же скорость перемещения имеет граница осветления, концентрация частиц по уменьшающейся высоте столба суспензии сохраняется постоянной и также с постоянной скоростью увеличивается масса осевших частиц. Если Q — общая масса дисперсной фазы, H — первоначальная высота столба суспензии, например, в цилиндре, то Q/H — масса дисперсной фазы в объеме, приходящаяся на единицу высоты столба суспензии. При скорости осаждения частиц u в течение времени t вещество оседает из столба высотой ut , и масса осевшего вещества составит

$$m = \frac{Q}{H} ut \quad (\text{IV.19})$$

Это уравнение описывает кинетику седиментации в монодисперсной системе. Так как величины Q , H и u постоянны, то масса осевших частиц из монодисперсной системы пропорциональна времени седиментации. Эта линейная зависимость представлена на рис. IV.1 а. Точке B соответствует окончание процесса седиментации и в последующие моменты времени масса осевших частиц не изменяется. Тангенс угла наклона прямой характеризует скорость оседания дисперсной фазы. Если приять, что

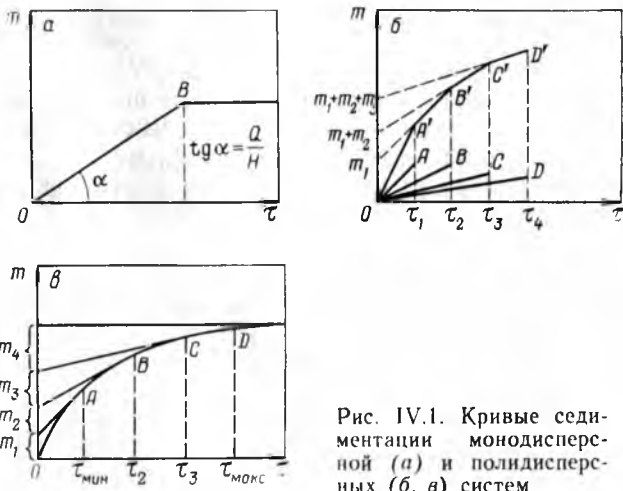


Рис. IV.1. Кривые седиментации монодисперсной (а) и полидисперсных (б, в) систем

частицы имеют сферическую форму и при их осаждении соблюдается закон Стокса, то, используя формулу (IV.7), получим:

$$m = \frac{2r^2g(\rho - \rho_0)Q\tau}{9\eta H} \quad (IV.20)$$

Отсюда радиус частицы равен

$$r = \sqrt{\frac{9\eta H m}{2g(\rho - \rho_0)Q\tau}} \quad (IV.21)$$

Таким образом, определяя экспериментально зависимость массы осевшего осадка от времени, можно рассчитать размер частиц. Соотношения (IV.20) и (IV.21) выполняются при соблюдении всех перечисленных в предыдущем разделе условий, при которых применим закон Стокса.

Если известен радиус частиц, можно рассчитать удельную (по массе) поверхность порошка $s_{уд}$ по соотношениям (III.61):

$$s_{уд} = 3/(r\rho)$$

В отличие от поведения частиц в монодисперсных системах частицы в полидисперсных системах осаждаются с разными скоростями, поскольку они имеют неодинаковые размеры. В основу дисперсионного седиментационного анализа полидисперсных систем положено представление о том, что системы состоят из нескольких фракций, которые можно рассматривать как отдельные монодисперсные системы. Очевидно, чем на большее число фракций разделена полидисперсная система, тем в большей степени эти фракции будут соответствовать монодисперсным системам и тем с большим основанием для них могут быть использованы соотношения (IV.20) и (IV.21).

При седиментационном анализе дисперсности полидисперсных систем определяют время осаждения частиц отдельных фракций, по уравнениям (IV.7), (IV.8) и (IV.21) рассчитывают скорости их осаждения и соответствующие им размеры частиц. Для этого сначала измеряют зависимость массы осевшего осадка от времени, строят график этой зависимости, называемой *кривой седиментации*, по которому затем определяют все необходимые характеристики дисперсной системы.

Имеются графические и аналитические методы расчета кривой седиментации. Несмотря на большую точность аналитических методов, здесь рассматривается один из графических методов как наиболее наглядный и простой. Выше показано, что процесс седиментации монодисперсной системы графически выражается прямой (см. рис. IV.1а).

Для полидисперсной системы осаждение каждой фракции описывается отдельными прямыми, представленными на рис. IV.1б: OA , OB , OC и OD . Чем меньше размер частицы, тем меньше наклон прямой. Массу суммарного осадка, выпавшего ко времени τ , можно представить соотношением:

$$m = k_1\tau + k_2\tau + k_3\tau + \dots = (k_1 + k_2 + k_3 + \dots)\tau$$

где k_i — коэффициент пропорциональности.

Этому соотношению отвечает участок кривой седиментации OA' . После выпадения первой фракции указанное соотношение принимает следующий вид

$$m = m_1 + (k_2 + k_3 + \dots)\tau$$

что соответствует участку $A'B'$ кривой седиментации. Экстраполяция этого участка на начало осаждения дает свободный член m_1 , означающий массу частиц первой фракции. После выпадения второй фракции получим:

$$m = (m_1 + m_2) + (k_3 + k_4 + \dots)\tau$$

Экстраполяцией можно получить свободный член на оси ординат и соответственно массу частиц второй фракции. Продолжая указанные операции, можно найти массу частиц третьей и последующих фракций. Тангенс угла наклона линейных участков ломаной кривой седиментации $\operatorname{tg} \alpha = \Delta m / \Delta \tau = k$, где $k = \sum_i^n k_i$ определяет скорость накопления массы осадка в данный отрезок времени.

Реальная кривая седиментации полидисперсной системы обычно получается плавной (см. рис. IV.1в) и ей отвечает множество бесконечно малых участков, касательные в каждой точке этой кривой отражают седиментацию данной бесконечно малой фракции. Уравнение касательной в любой точке кривой

седиментации по аналогии с предыдущими соотношениями имеет вид

$$m = m_i + \frac{dm}{d\tau} \tau_i \quad (IV.22)$$

Это уравнение называется уравнением Одена. Оно является обоснованием графического метода расчета распределения частиц по размерам в полидисперсных системах. Этот метод заключается в том, что экспериментальную кривую седиментации полидисперсной системы (см. рис. IV.1в) делят на участки, соответствующие выбранным временам полного осаждения фракций ($\tau_{\text{мин}}$, τ_2 , $\tau_3 \dots \tau_{\text{макс}}$). Такое разделение кривой лучше проводить после предварительного определения времени осаждения самой крупной и самой мелкой фракций. Полному осаждению самой крупной фракции отвечает $\tau_{\text{мин}}$, время осаждения самой мелкой фракции соответствует времени окончания накопления осадка $\tau_{\text{макс}}$. В точках кривой, отвечающих моментам окончания осаждения фракций (*A, B, C, D*), проводят касательные до пересечения с осью ординат, на которой получают отрезки, соответствующие массам фракций частиц. Зная высоту столба суспензии и время полного осаждения фракций, по формуле (IV.19) можно определить скорость осаждения и по формулам (IV.8) и (IV.21) рассчитать радиус частиц каждой фракции. Очевидно, что применительно к полидисперсным системам этот радиус является граничным для соседних фракций, а средний радиус фракции тем ближе отражает истинное значение, чем на большее число фракций разделена полидисперсная система.

Результаты седиментационного анализа дисперсности полидисперсных систем представляют также в виде кривых распределения частиц по размерам, характеризующих степень полидисперсности системы.

Кривая распределения является наглядной и удобной характеристикой полидисперсности системы, по которой легко определить содержание различных фракций. Ее строят подобно кривой распределения пор по размерам, описанной в разд. III.Б. Обычно сначала получают интегральную кривую распределения, проводят ее выравнивание с учетом точности получаемых средних значений радиусов частиц фракций и затем по ней строят дифференциальную кривую распределения. Иногда дифференциальную кривую строят сразу. Такое построение показано на рис. IV.2. На оси абсцисс откладывают значения радиусов; на ось ординат наносят отношение приращения массовых долей к разности радиусов частиц соседних фракций $\Delta x / \Delta r_i$. Построив на графике отдельные прямоугольники для каждой фракции (гистограмму) и соединив плавной кривой середины их верхних сторон, получают дифференциальную кривую распределения частиц полидисперсной системы по размерам. Чем

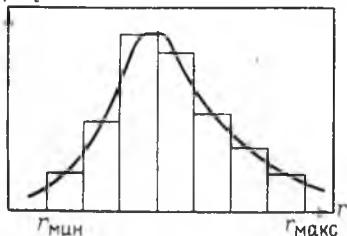
$\Delta x/\Delta r_i$ 

Рис. IV.2. Дифференциальная кривая распределения частиц полидисперсной системы по радиусам

меньше отличается r_{\min} от r_{\max} и чем больше максимум кривой распределения, тем ближе система к монодисперсной.

Количественно дисперсность полидисперсных систем выражают через средние значения радиусов частиц, их массы, объема, молекулярной массы и других параметров. Различают три способа расчета средних значений этих параметров:

$$\bar{Y}_{\text{сч}} = \frac{\sum n_i Y_i}{\sum n_i} = \sum \frac{n_i}{\sum n_i} Y_i = \sum X_{qi} Y_i \quad (\text{IV.23})$$

среднеповерхностное значение

$$\bar{Y}_{\text{сп}} = \frac{\sum n_i x_i^2 Y_i}{\sum n_i x_i^2} = \sum \frac{n_i x_i^2}{\sum n_i x_i^2} Y_i = \sum X_{pi} Y_i \quad (\text{IV.24})$$

среднеобъемное или среднемассовое значение

$$\bar{Y}_{\text{см}} = \frac{\sum n_i x_i^3 Y_i}{\sum n_i x_i^3} = \sum \frac{n_i x_i^3}{\sum n_i x_i^3} Y_i = \sum X_{mi} Y_i \quad (\text{IV.25})$$

где Y — величина, среднее значение которой (\bar{Y}) рассчитывается; n_i — число частиц в данной фракции; x_i — размер частиц i -й фракции; X_{qi} , X_{pi} , X_{mi} — соответственно численные, поверхностные и объемные (массовые) доли от общего числа частиц, их поверхности и объема (массы).

Порядок расчета по представленным соотношениям понятен из их записей. Если нужно определить, например, среднеповерхностный диаметр частиц в полидисперсной системе, то воспользовавшись формулой (IV.24), получим:

$$d_{\text{сп}} = \frac{\sum n_i d_i^2 d_i}{\sum n_i d_i^2} = \sum \frac{n_i d_i^2}{\sum n_i d_i^2} d_i = \sum X_{pi} d_i \quad (\text{IV.26})$$

В монодисперсной системе величины $\bar{Y}_{\text{сч}}$, $\bar{Y}_{\text{сп}}$, $\bar{Y}_{\text{см}}$ имеют одинаковые значения, а в полидисперсной системе они различны. Чем выше полидисперсность, тем сильнее различаются эти величины. Такая закономерность обусловлена относительным возрастанием удельной поверхности и еще сильнее — числа частиц в единице массы или объема по сравнению с удельным объемом

(или массой) при уменьшении размера частиц. Поэтому часто полидисперсность систем характеризуют отношением

$$P = \bar{V}_{cm} / \bar{V}_{cm} \quad (IV.27)$$

Это соотношение всегда меньше единицы; для монодисперсной системы оно равно единице.

Необходимо отметить, что различные методы определения размеров частиц могут давать неодинаковые значения среднего размера. Это связано с тем, что принципы методов определения дисперсности могут быть основаны на свойствах, зависящих от числа частиц, или от их поверхности, или от объема (массы).

5. Некоторые методы и приемы в седиментационном анализе

Седиментация широко используется в различных отраслях промышленности. В основном применение седиментации связано с отделением дисперсной фазы от дисперсионной среды, с разделением дисперсной фазы на отдельные фракции (классификация дисперсной фазы) и с дисперсионным анализом. Разделение фаз и классификация дисперсной фазы относятся к технологическим процессам и подробно рассматриваются в курсе процессов и аппаратов химической технологии. Здесь отметим только, что седиментация лежит в основе разделения фаз отстаиванием (осаждением под действием силы тяжести), центрифугированием, разделения дисперсной фазы на фракции по крупности кусков, частиц с помощью гидравлической классификации (в зависимости от скорости осаждения частиц разного размера) или воздушной сепарации (в зависимости от скорости осаждения частиц разного размера в воздушной среде в поле действия центробежных сил и сил тяжести).

Остановимся подробнее на методах и приемах использования седиментации в дисперсионном анализе. Их очень много, и поэтому ограничимся описанием только основных.

Один из простейших приемов разделения дисперсной системы (суспензии) на две-три фракции основан на процессе отмучивания. Этот процесс заключается в многократном взмучивании системы и осаждении частиц в течение одного и того же времени, за которое крупная фракция успевает осесть с определенной высоты столба суспензии. Верхний слой суспензии сливают до определенного уровня и таким образом суспензию освобождают от мелкой фракции. Число операций определяется необходимой степенью разделения.

Более эффективное разделение пробы суспензии (порошка) на фракции можно осуществить, если нанести ее на поверхность чистой жидкости без взмучивания. В этом случае при седиментации все частицы должны пройти одинаковое расстояние, а так как они осаждаются с разной скоростью, то в процессе осажде-

ния проба разделится на фракции частиц, отличающиеся скоростями седиментации, т. е. размерами частиц. Чем больше высота столба жидкости, в которую вводится проба порошка, тем выше степень разделения. Метод разделения напоминает элюционный метод в хроматографии. Сливая суспензию до определенных уровней, отделяют фракции, сушат и взвешивают.

Разработаны методы седиментационного анализа, основанные на измерении массы или объема осадка, выпадающего в течение определенного промежутка времени. При этом можно измерять объемы осадков, собирающихся на дне сосуда, а затем сушить их и взвешивать. Однако эти методы не нашли широкого применения из-за неудобств отбора проб, большой затраты времени и малой точности анализа.

Достаточно широко используется пипеточный метод дисперсионного анализа. Этот метод основан на отборе проб фракций с помощью пипетки из градуированного цилиндра с определенной высоты слоя суспензии через установленные промежутки времени (рис. IV.3). Отобранные пробы фракций высушивают и взвешивают. По результатам анализа строят кривую седиментации. При аккуратной работе можно достигнуть неплохой точности анализа. Большое преимущество метода состоит в том, что можно работать с разбавленными суспензиями, например при концентрации до 0,5%. Однако этот метод сравнительно трудоемок, главным образом, из-за необходимости сушки проб и их взвешивания.

Оригинальный метод седиментационного анализа дисперсности предложен Вигнером. Он основан на измерении гидростатического давления столба суспензии с помощью сообщающихся сосудов. Если в одно колено сообщающихся сосудов помещена суспензия, а в другое — чистая дисперсионная среда или иная жидкость, то высоты уровней суспензии и жидкости будут обратно пропорциональны их плотностям. При оседании частиц суспензии ее плотность уменьшается и соответственно понижается уровень жидкости во втором колене (рис. IV.4), что позволяет следить за кинетикой процесса седиментации. Простота метода и его экспрессность обусловили широкое распространение прибора в практике дисперсионного анализа.

Большими преимуществами обладает метод седиментационного анализа, предложенный Оденом, который измерял увеличение массы осадка за определенное время в чашечке, опущенной в суспензию. Чашечка связана с чувствительными весами, по показаниям которых можно сразу определять зависимость массы осевшего осадка от времени и строить кривую седиментации. В качестве весов Н. А. Фигуровским предложена кварцевая нить, за прогибом которой под действием силы тяжести нарастающего осадка следят с помощью отсчетного микроскопа. Измерения упрощаются, если деформация нити пропорциональ-

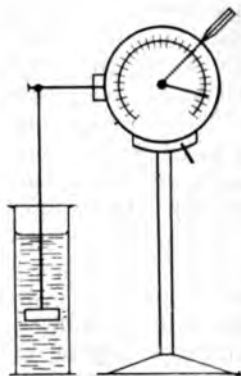
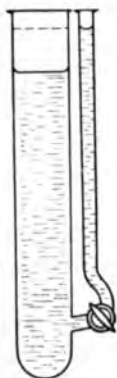


Рис. IV.3. Пипеточный прибор для седиментационного анализа

Рис. IV.4. Седиментометр Вигнера

Рис. IV.5. Седиментометр с торзионными весами

на массе осадка (выполняется закон Гука). В настоящее время для этих целей широко пользуются торзионными весами (рис. IV.5)

Б. МОЛЕКУЛЯРНО-КИНЕТИЧЕСКИЕ СВОЙСТВА СВОБОДНОДИСПЕРСНЫХ СИСТЕМ

1. Броуновское движение и его молекулярно-кинетическая природа

Вовлечение частиц высокой дисперсности в тепловое движение молекул среды — факт в настоящее время общеизвестный. Однако до начала XX века не было еще экспериментально доказано наличие атомов, молекул и их движение, несмотря на достаточно разработанную к тому времени молекулярно-кинетическую теорию. Без этого экспериментального доказательства все выводы теории могли вызывать и вызывали у некоторых даже ведущих ученых сомнения и возражения.

Основой доказательства теплового молекулярного движения в телах явилось обнаруженное английским ботаником Робертом Броуном в 1827 г. с помощью микроскопа непрерывное движение очень мелких частичек — спор папоротника (цветочной пыльцы), взвешенных в воде. Более крупные частички находились в состоянии постоянного колебания около положения равновесия. Колебания и перемещения частиц ускорялись с уменьшением их размера и повышением температуры и не были связаны с какими-либо внешними механическими воздействиями. Первые предположения о связи открытия Броуна с тепло-

вым движением молекул были сделаны только в конце XIX века Гуи (1888 г.) и Экснером (1900 г.). Теоретически обоснованная интерпретация броуновского движения — участие частиц дисперсной фазы ультрамикрорегетерогенных систем в тепловом движении — была дана независимо друг от друга Эйнштейном (1905 г.) и Смолуховским (1906 г.). Правильность полученных ими соотношений была экспериментально подтверждена при исследовании лиозолей Сведбергом (1909 г.), Перреном (1910 г.) и другими учеными, а для аэрозолей — де Бройлем (1909 г.), Милликеном (1910 г.) и другими исследователями.

Проведенными исследованиями была окончательно доказана природа броуновского движения. Молекулы среды (жидкости или газа) сталкиваются с частицей дисперсной фазы, в результате чего она получает огромное число ударов со всех сторон. Если частица имеет сравнительно большой размер, то число этих ударов велико, и по соответствующему закону статистики результирующий импульс оказывается равным нулю, такая частица не будет двигаться под действием теплового движения молекул. Кроме того, частицы с большой массой обладают инерционностью и мало чувствительны к ударам молекул. Очень малые частицы (в ультрамикрорегетерогенных системах) имеют значительно меньшую массу и поверхность. На такую частицу будет приходиться существенно меньшее число ударов, поэтому вероятность неравномерного распределения импульсов, получаемых с разных сторон, увеличивается. Это происходит как вследствие неодинакового числа ударов с разных сторон частицы, так и вследствие различной энергии молекул, сталкивающихся с частицей. В зависимости от размеров частица приобретает колебательное, вращательное и поступательное движение.

Таким образом, броуновское движение является следствием теплового движения молекул в дисперсионной среде и прямым отражением законов статистики. Интересно, что молекулярно-кинетическая теория устанавливает закономерности, характерные для статистического множества частиц, а тепловое движение молекул (в виде броуновского движения) проявляется в отклонениях от этих закономерностей. В этом отношении броуновское движение — следствие случайных микроотклонений (флуктуаций), эффект которых возрастает с уменьшением размеров системы, и наглядное проявление отклонений от второго закона термодинамики в микросистемах, т.е. подтверждение его статистического характера.

Теория броуновского движения сыграла огромную роль в науке. Связав перемещение частиц зольей, которые можно наблюдать под микроскопом с движением атомов и молекул, она позволила экспериментально доказать реальное существование атомов и молекул, а также подтвердила правильность молекулярно-кинетической теории вообще. Особенно важно, что это

произошло в то время, когда некоторые ученые, например сторонники энергетической школы, возглавляемой Вильгельмом Оствальдом, брали под сомнение даже само представление об атомах и молекулах, как не отражающее, по их мнению, объективной реальности. Они считали, что если эти частицы невидимы, то, значит, они не существуют (проявление махизма в науке). Поэтому теория броуновского движения одновременно явилась убедительным подтверждением правильности материалистического мировоззрения. Доказательства и признание молекулярно-кинетической теории послужили огромным толчком к развитию плодотворных теорий в различных отраслях науки. В коллоидной химии теория броуновского движения оказалась фактически первой количественной теорией в учении о дисперсных системах.

2. Связь между средним сдвигом частиц и коэффициентом диффузии

В основе молекулярно-кинетической теории лежит положение о том, что независимо от размера частиц, вовлеченных в тепловое движение, средняя кинетическая энергия каждой частицы равна

$$\bar{E} = m\bar{u}^2/2 = \frac{3}{2}k_B T \quad (\text{IV.28})$$

где m и \bar{u} — масса и средняя скорость движения частицы соответственно; k_B — постоянная Больцмана; T — абсолютная температура.

Используя соотношение (IV.28), Экснер подсчитал скорость движения частиц \bar{u}_r водной гуммигутовой суспензии, масса которых в $1,33 \cdot 10^9$ раз больше массы молекул воды. Принимая для молекул воды $\bar{u}_{H_2O} = 15000$ см/с, и исходя из уравнения

$$m_{H_2O} \bar{u}_{H_2O}^2/2 = m_r \bar{u}_r^2/2 \quad (\text{IV.29})$$

он вычислил скорость движения коллоидной частицы, а именно 0,4 см/с (4000 мкм/с). По экспериментальным наблюдениям под микроскопом эта скорость оказалась равной ≈ 4 мкм/с, т. е. в 1000 раз меньше. Такая огромная разница объясняется тем, что молекулы жидкой среды наносят частице в одну секунду около 10^{20} ударов и столько же раз она может менять направление и скорость. Отсюда очевидна невозможность наблюдения за истинным путем частицы.

Эйнштейн и Смолуховский для количественного выражения броуновского движения частиц ввели представление о *среднем сдвиге* частицы. Если при наблюдении движения частицы золь под микроскопом через определенные равные промежутки времени отмечать ее местонахождение, то можно получить траекторию движения, подобную представленной на рис. IV.6. Так

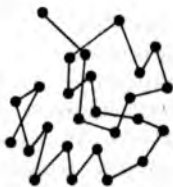


Рис. IV.6. Схема броуновского движения частицы золя

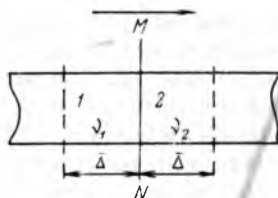


Рис. IV.7. К выводу закона Эйнштейна — Смолуховского

как движение происходит в трехмерном пространстве, то квадрат среднего расстояния, проходимого частицей за любой промежуток времени, равен

$$l^2 = \bar{x}^2 + \bar{y}^2 + \bar{z}^2 \quad (IV.30)$$

где x, y, z — координаты трехмерного пространства.

Под микроскопом наблюдают проекцию смещения частицы на плоскость за какое-то время, поэтому

$$\bar{l}^2 = \bar{x}^2 + \bar{y}^2$$

Это соотношение справедливо, так как берутся средние величины. При равновероятных отклонениях частицы ее направление будет находиться между направлениями x и y , т. е. под углом 45° к каждой координате. Отсюда

$$\bar{x}^2 = \bar{y}^2 = \bar{\Delta}^2$$

или

$$\bar{l}^2 = 2\bar{\Delta}^2 \text{ и } \bar{\Delta}^2 = 1/2 \bar{l}^2 \quad (IV.31)$$

где $\bar{\Delta}$ — среднее значение сдвига (смещения) за время τ по выбранному направлению x или y .

Из-за равновероятных отклонений среднее арифметическое значение сдвигов равно нулю. Поэтому используются среднеквадратичные расстояния, проходимые частицей:

$$\bar{l}^2 = \frac{l_1^2 + l_2^2 + l_3^2 + \dots}{n} \quad (IV.32)$$

где n — число отрезков ломаной кривой движения или число измерений расстояния, проходимого частицей через равные промежутки времени.

Эйнштейн и Смолуховский, постулируя единство природы броуновского движения и теплового движения, установили количественную связь между средним сдвигом частицы (называемым иногда амплитудой смещения) и коэффициентом диффузии D . Выведенное ими соотношение между этими величинами получило название закона Эйнштейна—Смолуховского. При выводе этого соотношения авторы исходили из следующего положения.

Если броуновское движение является следствием теплового движения молекул среды, то можно говорить о тепловом движении частиц дисперсной фазы. Это означает, что дисперсная фаза, представляющая собой совокупность числа частиц, должна подчиняться тем же статистическим законам молекулярно-кинетической теории, приложимым к газам или растворам. Из этих законов был выбран закон диффузии, согласно которому хаотичность броуновского движения должна приводить к выравниванию концентрации дисперсной фазы по всему объему дисперсионной среды.

Для установления связи между средним сдвигом (смещением) частицы и коэффициентом диффузии представим себе трубку (рис. IV.7) с поперечным сечением s , наполненную золом, концентрация частиц которого уменьшается слева направо. В этом же направлении протекает и диффузия частиц золя (на рисунке отмечено стрелкой). Выделим по обе стороны от линии MN два малых участка 1 и 2 , размеры которых в направлении диффузии равны $\bar{\Delta}$ — среднему квадратичному сдвигу за время τ . Обозначим частичную концентрацию золя в объемах этих участков соответственно через v_1 и v_2 ($v_1 > v_2$). Хаотичность теплового движения приводит к равной вероятности переноса дисперсной фазы из обоих объемов вправо и влево от линии MN : половина частиц переместится вправо, а другая половина — влево. Количество дисперсной фазы за время τ переместится из объема 1 вправо:

$$Q_1 = \frac{1}{2} v_1 \bar{\Delta} s$$

а из объема 2 влево (в обратном направлении)

$$Q_2 = -\frac{1}{2} v_2 \bar{\Delta} s$$

Так как $|Q_1| > |Q_2|$ ($v_1 > v_2$), то суммарное количество перенесенного вещества через плоскость MN вправо определится соотношением

$$Q = \frac{1}{2} v_1 \bar{\Delta} s - \frac{1}{2} v_2 \bar{\Delta} s = \frac{1}{2} \bar{\Delta} (v_1 - v_2) s \quad (IV.33)$$

Исходя из рис. IV.7, градиент концентрации по расстоянию в направлении диффузии можно выразить так:

$$-dv/dx = (v_1 - v_2)/\bar{\Delta} \quad \text{или} \quad v_1 - v_2 = -\bar{\Delta} dv/dx \quad (IV.34)$$

Подставляя выражение для разности концентраций в (IV.33), получим:

$$Q = -\frac{1}{2} \bar{\Delta}^2 \frac{dv}{dx} s \quad (IV.35)$$

Сравнивая это соотношение с первым законом диффузии Фика

$$Q = -D \frac{dv}{dx} \cdot s \tau \quad (IV.36)$$

окончательно имеем:

$$\overline{\Delta^2} = 2D\tau \text{ или } \overline{\Delta} = \sqrt{2D\tau} \quad (\text{IV.37})$$

Если вместо коэффициента диффузии D подставить его выражение в соответствии с уравнением Эйнштейна

$$D = \frac{k_B T}{B} = \frac{RT}{N_A B} \quad (\text{IV.38})$$

где B — коэффициент трения

то получим:

$$\overline{\Delta^2} = \frac{2k_B T}{B} \tau = \frac{2RT}{N_A B} \tau \quad (\text{IV.39})$$

Уравнения (IV.37) и (IV.39) выражают закон Эйнштейна — Смолуховского, в соответствии с которым квадрат среднего сдвига пропорционален коэффициенту диффузии и времени. Непосредственная связь среднего сдвига с тепловым движением отражается уравнением (IV.39), из которого следует, что для данной системы средний сдвиг частицы зависит только от температуры и времени. Интересна зависимость среднего сдвига от τ . Анализ уравнения (IV.39) показывает, что скорость среднего сдвига ($\overline{\Delta}/\tau$) определяется промежутком времени между измерениями расстояния, на которое передвигается частица. Она уменьшается с ростом этого промежутка времени.

Если предположить правомерность применения закона Стокса к движению частиц, то $B = 6\pi\eta r$ и

$$\overline{\Delta^2} = \frac{k_B T \tau}{3\pi\eta r} \quad (\text{IV.40})$$

Из уравнения (IV.40) следует, что частицы перемещаются тем быстрее, чем выше температура, меньше размер частиц r и вязкость среды η .

При вращательном броуновском движении частиц сферической формы коэффициент трения равен $8\pi\eta r$, и тогда среднее квадратичное значение угла вращения (угла поворота) составит

$$\overline{\varphi^2} = 2\theta\tau = \frac{k_B T}{4\pi\eta r} \tau \quad (\text{IV.41})$$

где θ — коэффициент вращательной диффузии.

Отклонения отдельных значений Δ и φ от среднего должны выражаться обычной кривой распределения, что и было подтверждено при опытной проверке теории броуновского движения.

3. Экспериментальные доказательства закона Эйнштейна — Смолуховского. Следствия из теории броуновского движения

Соотношения (IV.37), (IV.39), (IV.40) получены Эйнштейном и Смолуховским на основании предположения о тепловой природе броуновского движения, поэтому сами эти уравнения не могут служить доказательством правильности такого предположения. Однако вместе с их выводом появилась возможность этого доказательства с помощью эксперимента. Справедливость закона Эйнштейна — Смолуховского для лиозолей была подтверждена Сведбергом (1909 г.). С помощью ультрамикроскопа он измерял средний сдвиг частиц золя золота в зависимости от времени и вязкости среды. Полученные данные удовлетворительно совпали с результатами, вычисленными по уравнению (IV.40). Зеддиг (1908 г.) подтвердил связь среднего сдвига частиц с температурой, вытекающую из закона Эйнштейна — Смолуховского. Перрен (1910 г.) использовал соотношение (IV.39) для определения числа Авогадро при исследовании броуновского движения коллоидных частиц гуммигута в воде и получил хорошее совпадение с величинами, полученными ранее другими методами. Это были первые экспериментальные определения числа Авогадро.

Отличительная особенность броуновского движения частиц в газообразной дисперсионной среде обуславливается, прежде всего, малой вязкостью и плотностью газов. В связи с этим жидкие и твердые частицы аэрозолей имеют большие скорости седиментации под влиянием силы тяжести, что затрудняет наблюдение броуновского движения.

Другая особенность броуновского движения частиц в газах связана с тем, что число молекул в единице объема газа значительно меньше, чем в жидкости, поэтому число столкновений молекул газа с коллоидной частицей также меньше, а это обуславливает существенно большие амплитуды броуновского движения. Средний сдвиг частицы, находящейся в воздухе при нормальных условиях, в 8 раз больше, а в водороде в 15 раз больше, чем в воде. При уменьшении давления газа средний сдвиг частицы можно увеличить в сотни раз. Из сказанного следует, что, изменяя давление, можно менять характер броуновского движения, т. е. управлять им. Поэтому аэрозоли являются хорошими объектами для исследования броуновского движения.

Первым экспериментальным доказательством справедливости закона Эйнштейна — Смолуховского для аэрозолей явилось измерение де Бройлем (1909 г.) скорости движения частиц табачного дыма в горизонтальном электрическом поле и среднего сдвига при броуновском движении. При расчетах он исходил из

соотношения $Eq = \overline{V}u$ (где E — напряженность электрического поля, q — заряд частицы). Объединив это соотношение с уравнением (IV.39), де Бройль исключил величину V и полученное уравнение использовал для расчета зарядов частиц, кратных заряду электрона, чем и подтвердил справедливость закон Эйнштейна — Смолуховского.

Исследования поведения аэрозолей были продолжены Милликеном (1910 г.), который в своих исследованиях применил вертикальное электрическое поле. Это позволило скомпенсировать силу тяжести частиц масляного тумана и экспериментально определить коэффициент трения B . Метод дает возможность производить сотни повторений эксперимента с одной падающей каплей, что значительно увеличивает точность определения заряда электрона. Принятая в настоящее время величина заряда электрона ($1,602 \cdot 10^{-19}$ Кл) получена методом Милликена. Методы де Бройля и Милликена ценны тем, что они исключают использование закона Стокса и соответственно необходимость соблюдения условий для его выполнения.

Теоретические и экспериментальные доказательства тепловой природы броуновского движения коллоидных частиц привели к фундаментальному выводу о том, что ультрамикроретерогенные системы должны подчиняться тем же законам молекулярно-кинетической теории, каким следуют молекулярные системы (газы и растворы). Например, по уравнению (IV.28) можно рассчитать средние скорости движения и энергию коллоидной частицы любого размера, если она принимает участие в тепловом движении.

Приложимость законов молекулярно-кинетической теории к коллоидным системам указывает на возможность их использования для определения размеров частиц и молекулярной массы макромолекул. Например, применяя уравнение Эйнштейна (IV.38), можно определить размер частиц зелей и молекулярную массу полимеров, поскольку эти величины связаны с коэффициентом диффузии. При соблюдении закона Стокса уравнение (IV.38) принимает вид

$$D = \frac{k_B T}{6\pi\eta r} \quad (\text{IV.42})$$

Чтобы определить молекулярную (мольную) массу полимера, по полученному размеру частицы и известной плотности рассчитывают ее массу, которая связана с мольной массой соотношением (IV.15). Метод, основанный на измерении диффузии в сочетании с методом седиментации в центробежном поле позволяет определить массу частиц любой формы (не только сферической), так как при обработке результатов измерений по

уравнениям (IV.42) и (IV.13) исключается коэффициент трения B . В итоге получим:

$$S_{\text{сед}} = \frac{mD}{k_B T} \quad \text{и} \quad \frac{\ln(x/x_0)}{\omega^2 \tau} = \frac{mD}{k_B T} \quad (\text{IV.43})$$

Ультрамикрогетерогенные аэрозоли должны подчиняться обобщенному газовому закону:

$$pV = \frac{n}{N_A} RT \quad (\text{IV.44})$$

где n — число частиц, на которые диспергирован 1 моль вещества дисперсной фазы аэрозоля.

Из уравнения (IV.44), следует, что с ростом дисперсности (увеличением n) давление в системе повышается при постоянных объеме и температуре (так как увеличивается число частиц). При уменьшении размеров частиц до молекулярных число частиц становится равным числу Авогадро и уравнение (IV.44) принимает обычную форму уравнения Клапейрона — Менделеева.

При проведении аналогий между ультрамикрогетерогенными системами (золями) и истинными молекулярными растворами часто обсуждается специфика применения правила фаз Гиббса к этим системам. Возможность применения к золям молекулярно-кинетических законов, законов статистики и энтропии позволяет рассматривать их как системы, обладающие одновременно свойствами гетерогенно-дисперсных систем и истинных растворов. Частицы истинных гетерогенно-дисперсных систем не участвуют в тепловом движении. С уменьшением размера до величин, отвечающих ультрамикрогетерогенной области, частицы постепенно теряют свойство фазы — независимость термодинамических свойств от количества фазы. Как уже известно из разд. II.Д, термодинамические свойства частиц в этой области зависят от дисперсности (изменяются внутреннее давление, растворимость, температура плавления и другие параметры). Одновременно частицы приобретают способность участвовать в тепловом движении. Чем меньше частицы, тем дальше система от истинного гетерогенно-дисперсного состояния и тем ближе к истинному раствору.

Такое промежуточное положение ультрамикрогетерогенных систем определяет некоторую особенность применения к ним правила фаз Гиббса. Если необходимо обратить внимание на гетерогенность, т. е. наличие поверхности в дисперсной системе, то пользуются соотношением (II.169), в котором учитывается отдельно дисперсная фаза и дисперсность:

$$F = K - \Phi + 3$$

Если же интересуются свойствами дисперсных систем, анало-

гичными свойствам истинных растворов и не зависящими от гетерогенности, используют правила фаз в виде (II.50):

$$F = K - \Phi + 2$$

По мере приближения дисперсной системы (по степени дисперсности) к истинному раствору гетерогенность проявляется все слабее и применение соотношения (II.50) становится предпочтительным. Однако следует иметь в виду, что оба соотношения эквивалентны, поскольку, например, для простых (бинарных) систем при учете дисперсности и гетерогенности $\Phi = 2$, а если их не учитывать, то $\Phi = 1$, но в обоих случаях $F = 3$.

Следовательно, ультрамикроретерогенные системы, обладая свойством многофазности, в зависимости от условий и дисперсности могут проявлять это свойство в разной степени. В той или иной степени они проявляют и свойства истинных растворов, следуя молекулярно-кинетическим законам. Таким образом, золи представляют собой переходные системы между истинными гетерогенно-дисперсными системами и истинными растворами. В этом состоит философский смысл перехода количества в качество.

4. Осмотические свойства дисперсных систем и мембранное равновесие

В соответствии с выводами, сделанными в предыдущем разделе, лиозоли должны подчиняться тем же закономерностям для осмотического давления, каким следуют истинные растворы. Осмотические свойства заметно проявляются у лиофилизированных зольей, в которых обнаруживается сольватация частиц.

Осмотическое давление в растворе или золе описывается следующим строгим термодинамическим соотношением:

$$\pi = -\frac{\Delta\mu_1}{V_{M1}} = -\frac{RT}{V_{M1}} \ln a_1 \quad (IV.45)$$

где $\Delta\mu_1$ — разность между химическими потенциалами растворителя при установлении равновесия относительно полупроницаемой мембраны (проницаемой только для растворителя), по одну сторону которой находится чистый растворитель, а по другую — раствор; V_{M1} — средний парциальный мольный объем растворителя, находящегося под давлением p и $p + \pi$; a_1 — активность растворителя в растворе; активность чистого растворителя принята за единицу.

В уравнении (IV.45) можно активности заменить мольными долями

$$\pi = -\frac{RTg}{V_{M1}} \ln x_1 = -\frac{RTg}{V_{M1}} \ln (1 - x_2) \quad (IV.46)$$

где x_1 , x_2 — мольная доля растворителя и дисперсной фазы (растворенного вещества) соответственно; g — рациональный осмотический коэффициент.

Если золь (раствор) разбавлен, то $g = 1$. Разложив в ряд логарифм, ограничившись первым членом ряда и используя равенство $x_2/\bar{V}_{M1} = c/M_2$, получим уравнение Вант-Гоффа:

$$\pi = \frac{RT}{\bar{V}_{M1}} x_2 = \frac{RT}{M_2} c \quad (IV.47)$$

где c — массовая концентрация; M_2 — молекулярная масса частицы (считая частицу за макромолекулу).

С ростом концентрации дисперсной фазы проявляются отклонения от линейной зависимости $\pi \rightarrow c$, обусловленные взаимодействием между частицами. Для этого состояния справедливо уравнение Ван-дер-Ваальса (III.126), которое может быть представлено в виде вириального разложения, т. е. разложения по степеням концентрации c :

$$\pi/c = RT(A_1 + A_2c + A_3c^2 + \dots) \quad (IV.48)$$

где $A_1 = 1/M_2$; A_2 — второй вириальный коэффициент; A_3 — третий вириальный коэффициент и т. д.

Вириальные коэффициенты зависят от размеров частиц, их формы и действующих между ними сил. Уравнение Ван-дер-Ваальса получено с учетом лишь парных взаимодействий частиц, поэтому теоретически обоснованы только поправки первого порядка. Второй вириальный коэффициент можно выразить соотношением:

$$A_2 = \left(b - \frac{a}{RT} \right)^{1/M_2^2} \quad (IV.49)$$

где a и b — константы уравнения Ван-дер-Ваальса.

В пределах линейной зависимости π/c от c (IV.48) коэффициент A_2 характеризует степень отклонения системы от идеальной, обусловленную взаимодействием частиц с растворителем. Он может быть определен различными методами: осмотическим, по светорассеянию, по давлению пара растворителя и др. Взаимодействие между частицами проявляется в отклонении от нулевого значения остальных вириальных коэффициентов.

Уравнение Вант-Гоффа (IV.47) для лиозолей обычно записывается через число частиц в единице объема v :

$$\pi = v k_B T = \frac{v}{N_A} RT \quad (IV.50)$$

Из уравнения (IV.50) видно, что осмотическое давление увеличивается с ростом числа частиц в единице объема даже при постоянной массе дисперсной фазы (с ростом дисперсности). Если два одинаковых по природе лиозоля с равными по размерам частицами, имеют разные частичные концентрации v_1 и v_2 , то пропорционально будут отличаться и их массовые concentra-

ции $c = m\nu_1$ и $c_2 = m\nu_2$ (m — масса частицы). Из (IV.50) следует, что осмотические давления π_1 и π_2 зольей соответственно равны

$$\pi_1 m = k_B T c_1 \text{ и } \pi_2 m = k_B T c_2$$

и

$$\pi_1 / \pi_2 = c_1 / c_2 \text{ или } \pi_1 / \pi_2 = \nu_1 / \nu_2 \quad (\text{IV.51})$$

т. е. осмотическое давление пропорционально частичной, массовой или объемной концентрации золя. При одинаковой массовой концентрации $c_1 = c_2 = c$ в золях с разным размером (и массой) частиц имеем:

$$\pi_1 m_1 = k_B T c, \quad \pi_2 m_2 = k_B T c$$

или

$$\pi_1 (4/3\pi r_1^3 \rho) = k_B T c, \quad \pi_2 (4/3\pi r_2^3 \rho) = k_B T c$$

или

$$\pi_1 / \pi_2 = m_2 / m_1 \text{ и } \pi_1 / \pi_2 = r_2^3 / r_1^3 \quad (\text{IV.52})$$

Соотношение (IV.52) показывает, что осмотическое давление обратно пропорционально массам частиц зольей или их радиусам в кубе (объемам). Такая сильная зависимость осмотического давления от радиуса частиц используется для определения размеров частиц и исследования процесса их агрегирования в дисперсных системах.

Из соотношения (IV.50) следует, что осмотическое давление в коллоидных системах должно быть очень мало по сравнению с давлением в истинных растворах, так как при одной и той же массовой концентрации в истинных растворах размер частиц значительно меньше, а частичная концентрация больше. Не располагая чувствительными осмометрами (приборы для измерения осмотического давления), английский ученый, один из основателей коллоидной химии Грэм (середина XIX века) пришел к ошибочному выводу об отсутствии осмотического давления в коллоидных системах.

Выше рассматривались закономерности осмотического давления в бинарных системах. Теперь рассмотрим осмотическое давление в трехкомпонентных системах, когда два компонента проходят через мембрану, например, молекулы растворителя 1 и растворенного вещества 2, а третий компонент, например частицы золя или макромолекулы 3 задерживается мембраной. В такой системе, разделенной мембраной, могут выравниваться химические потенциалы только компонентов 1 и 2, ибо только они проходят через мембрану. После установления равновесия имеем:

$$\pi_1 = - \frac{RT}{\bar{V}_{M1}} \ln \frac{\bar{a}_1}{a_1} \quad \text{и} \quad \pi_2 = - \frac{RT}{\bar{V}_{M2}} \ln \frac{\bar{a}_2}{a_2} \quad (\text{IV.53})$$

где a_1 и a_2 — активности компонентов 1 и 2 соответственно; параметры фазы с компонентом 3 обозначены волнистой чертой сверху.

Так как при равновесии $\pi_1 = \pi_2$, то

$$\tilde{a}_2/a_2 = (\tilde{a}_1/a_1)^{\bar{V}_{M2}/\bar{V}_{M1}} \quad (\text{IV.54})$$

Впервые подобное соотношение было получено Доннаном и поэтому называется уравнением Доннана. Оно является общим термодинамическим уравнением мембранного (доннановского) равновесия. Если один из распределяющихся компонентов является электролитом, ($\bar{V}_{M2} = \bar{V}_{M\pm}$, то

$$\frac{\tilde{a}_{\pm}^{\nu}}{a_{\pm}^{\nu}} = \frac{\tilde{a}_{+}^{\nu_+} \tilde{a}_{-}^{\nu_-}}{a_{+}^{\nu_+} a_{-}^{\nu_-}} = \left(\frac{\tilde{a}_1}{a_1}\right)^{\bar{V}_{M\pm}/\bar{V}_{M1}} \quad (\text{IV.55})$$

где a_+ и a_- — активности катионов и анионов электролитов; ν , ν_+ , ν_- — стехиометрические коэффициенты соответственно электролита, катиона и аниона.

Чтобы перейти к уравнениям мембранного равновесия, записанным через концентрации, необходимо пренебречь коэффициентами активности. Если распределяются неэлектролиты, то концентрацию правильнее выражать через мольные доли x . Со стороны мембраны, где находится третий компонент, осмотическое давление обеспечивается вторым и третьим компонентами, а с другой стороны — только вторым компонентом. Учитывая это, из (IV.54) получим:

$$D = \frac{\tilde{x}_2}{x_2} = \left(\frac{1 - \tilde{x}_2 - \tilde{x}_3}{1 - x_2}\right)^{\bar{V}_{M2}/\bar{V}_{M1}} \quad (\text{IV.56})$$

где $D = \tilde{x}_2/x_2$ — коэффициент распределения, который, как следует из (IV.56), всегда меньше единицы и при $\tilde{x}_3 = \text{const}$ убывает с уменьшением количества второго компонента. Часто показатель степени в соотношении (IV.56) принимают за постоянную величину.

Если по обе стороны мембраны распределяется электролит, удобнее исходить из разных стандартных состояний для обеих фаз: 1) одномолярный раствор электролита со свойствами бесконечно разбавленного с компонентом 3 и 2) одномолярный раствор электролита со свойствами бесконечно разбавленного без компонента 3. Тогда при условии постоянной концентрации компонента 3 уравнение (IV.55) переходит в следующее соотношение для одно-одновалентного электролита:

$$\tilde{a}_{\pm}^2/a_{\pm}^2 = K \quad (\text{IV.57})$$

Если компонент 3 тоже является одно-одновалентным электролитом и имеет одноименный ион с электролитом, проходящим через мембрану, то (пренебрегая коэффициентами активности), получим:

$$\frac{\tilde{c}_2(\tilde{c}_3 + \tilde{c}_2)}{c_2^2} = K \quad \text{или} \quad \tilde{c}_2^2 + \tilde{c}_3\tilde{c}_2 = Kc_2^2 \quad (\text{IV.58})$$

где c — массовая концентрация электролитов 2 и 3.

Это соотношение также называют уравнением Доннана. Из него видно, что при отсутствии третьего компонента $c_3=0$ (бинарная система) концентрации c_1 и c_2 равны, что соответствует равенству $K=1$ (становятся одинаковыми стандартные состояния). Если же присутствует компонент 3 ($c_3>0$), то $K \neq 1$, и, кроме того, концентрация электролита c_2 будет увеличиваться с ростом концентрации c_1 по параболическому закону. Последняя зависимость аналогична равновесию раствора электролита с ионитом (III.154), который выступает здесь в качестве третьего компонента и соответствующей фазы.

5. Диффузионно-седиментационное равновесие.

Седиментационная устойчивость

При рассмотрении седиментации дисперсных систем (разд. IV.A) диффузия не принималась во внимание, хотя отмечалось, что она может тормозить оседание частиц. При обсуждении же диффузии в золях не учитывалось действие гравитационного поля, тем не менее несмотря на малые размеры частиц в ультрамикрорегетерогенных системах и вовлечение их в тепловое движение они также подвержены седиментации. Следует отметить, что учет диффузии необходим только в том случае, если дисперсная система представляет собой статистическое множество частиц. На одну же частицу, безусловно, действует поле гравитации, а ее тепловое движение равновероятно во всех направлениях. В итоге вероятность пребывания одной частицы любых, даже самых малых размеров будет обязательно больше внизу сосуда, чем наверху.

При наличии статистического множества частиц оседание приводит к уменьшению их частичной концентрации v в верхних слоях и увеличению в нижних слоях, т. е. к возникновению градиента концентрации dv/dx . В соответствии с первым законом Фика (IV.36) градиент концентрации вызывает диффузионный поток (снизу вверх), который с учетом уравнения Эйнштейна можно записать так:

$$i_{\text{диф}} = \frac{Q}{s\tau} \Rightarrow -D \frac{dv}{dx} = -\frac{k_B T}{B} \frac{dv}{dx} \quad (\text{IV.59})$$

Седиментационный поток направлен сверху вниз и с учетом (IV.5) равен

$$i_{\text{сед}} = uv = \frac{m_{\text{отг}} g}{B} v \Rightarrow \frac{vg(\rho - \rho_0)}{B} \quad (\text{IV.60})$$

Скорость движения частицы при седиментации принимается постоянной для установившегося потока при достижении равновесия между силой седиментации и силой трения. Количес-

венное соотношение между потоками диффузии и седиментации получим, разделив уравнение (IV.59) на (IV.60):

$$\frac{i_{\text{диф}}}{i_{\text{сед}}} = -\frac{k_B T}{m_{\text{от}} g v} \frac{dv}{dx} = -\frac{k_B T}{v g (\rho - \rho_0) v} \cdot \frac{dv}{dx} \quad (\text{IV.61})$$

Из соотношения (IV.61) следует, что характер поведения частиц в дисперсных системах определяется их размером и разностью плотностей частицы и среды. Чем больше эта разность, тем значительнее влияние седиментации на тепловое движение частиц. Кроме того, с увеличением размера частиц быстро растет поток седиментации ($i_{\text{сед}} \sim r_2$) и снижается диффузионный поток ($i_{\text{диф}} \sim 1/r$). Если $i_{\text{диф}} \gg i_{\text{сед}}$, что характерно для ультрамикрорегетерогенных систем, то седиментацией можно пренебречь. Если же $i_{\text{диф}} \ll i_{\text{сед}}$, что наблюдается в микрогетерогенных системах, то можно не учитывать диффузию. В грубодисперсных системах седиментация, как правило, идет с ускорением, поскольку размер частиц составляет ≈ 10 мкм и больше. Таким образом, соотношение между диффузией и седиментацией служит одной из основ для классификации дисперсных систем по дисперсности.

В золях через определенное, иногда очень длительное, время оседания частиц может наступить момент, когда диффузионный поток станет равным седиментационному $i_{\text{диф}} = i_{\text{сед}}$, т. е. наступит *диффузионно-седиментационное равновесие*. Так как такое равновесие наступает при определенном градиенте концентраций, в системе должно установиться соответствующее распределение дисперсной фазы по высоте. Чтобы определить закон этого распределения, приравняем соотношение (IV.61) единице (т. е. $i_{\text{диф}} = i_{\text{сед}}$), предварительно заменив x на h (расстояние по высоте):

$$-k_B T \frac{dv}{dh} = m_{\text{от}} g v = v(\rho - \rho_0) g v \quad (\text{IV.62})$$

После разделения переменных получим:

$$\frac{dv}{v} = -\frac{m_{\text{от}} g}{k_B T} dh = -\frac{v(\rho - \rho_0) g}{k_B T} dh$$

Интегрируя в пределах от v_0 до v_h и соответственно от $h=0$ до h , найдем:

$$\ln \frac{v_h}{v_0} = -\frac{m_{\text{от}} g h}{k_B T} = -\frac{v(\rho - \rho_0) g h}{k_B T} \quad (\text{IV.63})$$

или

$$v_h = v_0 \exp\left(-\frac{m_{\text{от}} g h}{k_B T}\right) = v_0 \exp\left(-\frac{v(\rho - \rho_0) g h}{k_B T}\right) \quad (\text{IV.64})$$

Если в уравнениях (IV.63) и (IV.64) вместо частичной концентрации ν дисперсной фазы записать давление газа, то получается известная в молекулярно-кинетической теории барометрическая формула Лапласа, характеризующая распределение давления газа по высоте. Вывод формулы (IV.64) дан, исходя из чисто методических соображений, хотя теперь, когда уже известно, что коллоидные системы (золи) подчиняются законам молекулярно-кинетической теории, можно было написать ее сразу по аналогии с формулой для давления газа. Вывод уравнения Лапласа можно провести, исходя также из распределения Больцмана: при равновесном состоянии системы число частиц, обладающих энергией E , пропорционально фактору Больцмана $e^{-E/k_B T}$.

Уравнение Лапласа (IV.64) носит название *гипсометрического закона* (от лат. *hypsos* — высота). Этот закон был экспериментально подтвержден Перреном (1910 г.). Изучая распределение частиц монодисперсной суспензии гуммигута, он использовал уравнение Лапласа для определения числа Авогадро, которое оказалось равным $6,82 \cdot 10^{23}$ (точное значение — $6,024 \cdot 10^{23}$). Гипсометрический закон соблюдается и в аэрозолях (в воздухе при нормальных условиях), частицы которых имеют небольшую плотность и размер не более 0,05 мкм. В суспензиях, в которых можно легко регулировать относительную массу частиц, диффузионно-седиментационное равновесие реализуется для частиц размером не более 0,1 мкм, т. е. для частиц, перемещающихся поступательно при тепловом движении.

Для частиц зелей наблюдается более резкая зависимость концентрации по высоте, чем для молекул газов. Например, расстояние, на котором концентрация снижается в два раза для газов составляет ≈ 5 — $5,5$ км, для растворов полимеров ($M \approx 40000$, $\rho = 1,3$ г/см³) — ≈ 20 м, для зелей золота ($d = 1,86$ нм) — 2,15 м, а для суспензий гуммигута ($d = 230$ нм) — 30 мкм. Из этого примера следует, что в растворах полимеров, находящихся в небольших сосудах, нельзя обнаружить ощутимого изменения концентрации по высоте. Чтобы можно было измерить это изменение увеличивают седиментационную составляющую с помощью ультрацентрифуги.

Диффузионно-седиментационное равновесие достигается также и в поле действия центробежных сил. Для получения уравнения, устанавливающего распределение частиц по направлению центробежных сил, воспользуемся законом Больцмана. При постоянной угловой скорости ω энергия частицы равна

$$E = E_0 - \frac{m_{\text{от}} \omega^2 x^2}{2} \quad (\text{IV.65})$$

где E_0 — энергия частицы, расположенной на оси вращения; x — расстояние частицы от оси вращения.

Отношение частичных концентраций на расстояниях x_1 и x_2 от оси вращения в соответствии с законом Больцмана равно

$$v_1/v_2 = \exp \frac{m_{от}\omega^2(x_1^2 - x_2^2)}{2k_B T} \quad (IV.66)$$

Это уравнение используют для определения молекулярных масс полимеров. В этом случае его переводят в следующее соотношение ($M = N_A \nu \rho$):

$$M = \frac{2RT \ln(v_1/v_2)}{[1 - (\rho_0/\rho)]\omega^2(x_1^2 - x_2^2)} \quad (IV.67)$$

Если сравнить седиментацию при наличии диффузии и без нее, то обращает на себя внимание различие факторов, обеспечивающих устойчивость дисперсных систем к осаждению — *седиментационную устойчивость*. Эти факторы позволяют различать кинетическую седиментационную устойчивость (КСУ) и термодинамическую седиментационную устойчивость (ТСУ). Для ТСУ характерно термодинамическое равновесие, которого не может быть при КСУ. Мерой кинетической седиментационной устойчивости является величина, обратная константе седиментации (IV.9):

$$КСУ = \frac{1}{S_{сед}} = \frac{B}{m_{от}} = \frac{9\eta}{2r^2(\rho - \rho_0)} \quad (IV.68)$$

Эта устойчивость обеспечивается гидродинамическими факторами: вязкостью и плотностью среды, плотностью и размером частиц. Кинетическую седиментационную устойчивость измеряют в обратных сведбергах: обр. сведберг = 10^{13} с^{-1} .

Термодинамическая седиментационная устойчивость обусловлена статистическими законами диффузии и непосредственно связана с диффузионно-седиментационным равновесием. Мерой ТСУ является гипсометрическая высота. Ее удобнее определить как высоту h_e , на протяжении которой концентрация дисперсной фазы изменяется в e раз. Из уравнения (IV.63) следует

$$h_e = \frac{k_B T}{m_{,л} g} = \frac{k_B T}{v(\rho - \rho_0)g} \quad (IV.69)$$

Формула (IV.69) показывает, что гипсометрическая высота и соответственно термодинамическая седиментационная устойчивость тем больше, чем меньше размер частиц и разность между плотностями частиц и среды. Вязкость не влияет на ТСУ, в то же время повышение температуры способствует устойчивости, так как усиливается тепловое движение. Кинетическая же седиментационная устойчивость с повышением температуры обычно снижается в связи с уменьшением вязкости среды.

В. ЭЛЕКТРОКИНЕТИЧЕСКИЕ ЯВЛЕНИЯ

1. Открытие электрокинетических явлений

Электрокинетические явления были открыты профессором Московского университета Ф. Ф. Рейссом в 1808 г. при исследовании электролиза воды. Рейсс поставил два эксперимента. В одном из них он использовал U-образную трубку (рис. IV.8а), перегороденную в нижней части диафрагмой из кварцевого песка и заполненную водой. При наложении электрического поля он обнаружил перемещение жидкости в колено трубки с отрицательно заряженным электродом, происходящее до тех пор, пока не установится определенная разность уровней жидкости (равновесие с гидростатическим давлением). Поскольку без наличия диафрагмы движения жидкости не происходило, то последовал вывод о зарядении жидкости при контакте с частицами кварца. Явление перемещения жидкости в пористых телах под действием электрического поля получило название *электроосмоса*.

В другом эксперименте Ф. Ф. Рейсс погружал в слой глины две стеклянные трубки, заполнял их водой и после наложения электрического поля наблюдал перемещение частиц глины в жидкости в направлении положительно заряженного электрода (рис. IV.8б). Явление перемещения частиц дисперсной фазы в электрическом поле получило название *электрофореза*. Таким образом, было обнаружено, что частицы имеют заряд, противоположный по знаку заряду жидкости.

Первые количественные исследования электроосмоса были выполнены Видеманном (1852 г.). Он установил, что объемная скорость v электроосмоса пропорциональна силе тока I при прочих фиксированных параметрах, а отношение v/I не зависит от площади сечения и толщины диафрагмы.

В 1859 г. Квинке обнаружил явление, обратное электроосмосу, т. е. при течении жидкости через пористое тело под действием перепада давлений возникает разность потенциалов (рис.

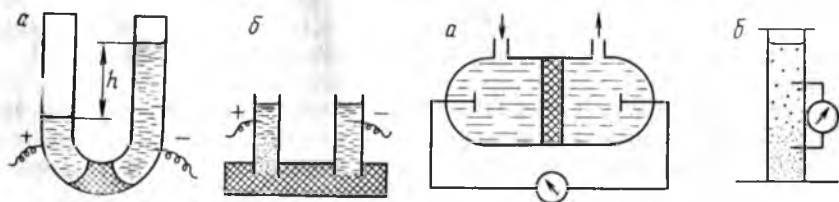


Рис. IV.8. Схематическое изображение опытов Рейсса по электроосмосу (а) и электрофорезу (б)

Рис. IV.9. Схематическое изображение опытов по наблюдению за возникновением потенциалов течения (а) и седиментации (б)

IV.9a). Возникновение разности потенциалов Квинке наблюдал при течении воды и водных растворов через разнообразные пористые материалы (глина, дерево, песок, графит и др.). Это явление получило название *потенциала течения* (или *потенциала протекания*). Позже было установлено, что потенциал течения не зависит от размера диафрагмы, количества фильтруемой жидкости, но, как и при электроосмосе, пропорционален объемной скорости фильтрации.

Количественное исследование эффекта, обратного электрофорезу, впервые было выполнено Дорном в 1878 г. Он измерял возникающую разность потенциалов при седиментации частиц суспензии кварца в центробежном поле. Явление возникновения разности потенциалов при осаждении дисперсной фазы (рис. IV.9б) получило название *потенциала седиментации* или *потенциала оседания* (или *эффект Дорна*).

Таким образом, по причинно-следственным признакам электрокинетические явления в дисперсных системах делят на две группы. К первой группе относят явления, при которых относительное движение фаз обусловлено электрической разностью потенциалов; это электроосмос и электрофорез. Ко второй группе электрокинетических явлений принадлежат потенциал течения и потенциал седиментации, при которых относительное движение фаз вызывает возникновение электрической разности потенциалов.

Наибольшее практическое применение получили электрофорез и электроосмос.

2. Электрокинетический потенциал

Протекание электрокинетических явлений в дисперсных системах возможно при наличии на границе раздела фаз двойного электрического слоя, имеющего диффузное строение. При относительном перемещении фаз независимо от причин, его вызвавших, происходит разрыв двойного электрического слоя по плоскости скольжения. Например, разрыв двойного слоя может произойти вследствие седиментации или броуновского движения частиц дисперсной фазы. Плоскость скольжения обычно проходит по диффузному слою, и часть его ионов остается в дисперсионной среде. В результате дисперсионная среда и дисперсная фаза оказываются противоположно заряженными. Потенциал, возникающий на плоскости скольжения при отрыве части диффузного слоя, называется электрокинетическим потенциалом или ζ (*дзета*)-*потенциалом*. Дзета-потенциал, отражая свойства двойного электрического слоя, характеризует природу фаз и межфазного взаимодействия. Поскольку плоскость скольжения может находиться на разном расстоянии от межфазной поверхности, а это расстояние зависит от скорости движения фаз, вяз-

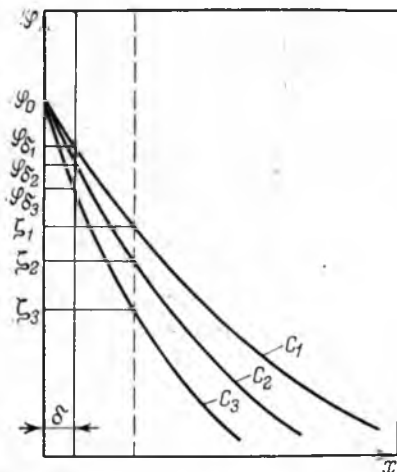


Рис. IV.10. Схема, иллюстрирующая изменения φ_A и ζ -потенциалов в двойном электрическом слое при различных концентрациях индифферентного электролита в системе ($c_1 < c_2 < c_3$).

δ — толщина адсорбционной (плотной) части слоя; φ_0 — электрический потенциал поверхности; пунктирной линией показана плоскость скольжения

кости среды, природы фаз и других факторов, то соответственно от всех этих факторов зависит и значение электрокинетического потенциала.

В общем случае ζ -потенциал всегда меньше потенциала диффузного слоя φ_δ и это раз-

личие тем больше, чем меньше протяженность диффузной части двойного электрического слоя (рис. IV.10), т. е. его толщина λ . Таким образом, все факторы, влияющие на толщину диффузного слоя, вызывают изменение ζ -потенциала. Эту связь можно проследить, если сопоставить уравнения (II.124) и (II.128), полученные для двойного электрического слоя (см. разд. II.B):

$$\varphi = \varphi_\delta e^{-\kappa x} \text{ и } \ln \varphi = \ln \varphi_\delta - \kappa x$$

Подставив вместо φ -потенциала ζ -потенциал, а вместо x расстояние до плоскости скольжения l получим:

$$\ln \zeta = \ln \varphi_\delta - \kappa l = \ln \varphi_\delta - lk \sqrt{\frac{\sum c_0 z^2}{\epsilon T}} \quad (\text{IV.70})$$

При подобных оценках обычно принимают, что $\varphi_\delta \approx \varphi_0$. Из соотношения (IV.70) следует, что понижение температуры, введение в систему индифферентного электролита (специфически не взаимодействующего с поверхностью) и увеличение заряда его ионов ведут к уменьшению электрокинетического потенциала. Отсюда же следует, что этот потенциал будет снижаться и с уменьшением диэлектрической проницаемости среды, например, при добавлении в водный раствор спиртов, эфиров и других органических веществ.

Электрокинетический потенциал, безусловно, сильно зависит от природы поверхности контактирующих фаз. В этом отношении можно выделить два крайних положения: активные и инертные поверхности. Активную поверхность имеют полиэлектролиты — полимеры, содержащие ионогенные группы, степень диссоциации которых и определяет заряд поверхности. К веществам,

имеющим поверхности с ионогенными группами, можно отнести и многие неорганические оксиды (оксиды кремния, алюминия, железа и др.). На таких поверхностях ζ -потенциал может достигать высоких значений (100 мВ и более). Инертные поверхности (графит, масла и др.) лишены ионогенных групп, заряд на них возникает в результате специфической адсорбции ионов.

Специфическая адсорбция может вызвать и уменьшение ζ -потенциала, если адсорбируются противоионы, так как они имеют заряд, противоположный заряду поверхности. Такая адсорбция может привести к перезарядке поверхности, т. е. к такому положению, когда потенциал диффузного слоя ϕ_0 и ζ -потенциал будут иметь знаки, противоположные знаку межфазного потенциала ϕ_0 .

Значительное влияние на ζ -потенциал оказывает рН среды, поскольку ионы H^+ и OH^- обладают высокой адсорбционной способностью. Особо велика роль рН среды в тех случаях, когда в контакте с водным раствором находится амфотерное вещество и при изменении кислотности среды возможна перезарядка фаз.

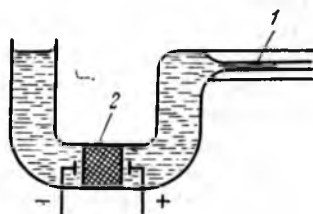
Определяемые с помощью электрокинетических явлений знак и значение ζ -потенциала широко используются для характеристики электрических свойств поверхностей при рассмотрении адсорбции, адгезии, агрегативной устойчивости дисперсных систем, структурообразования в материалах и других важных процессов. При этом потенциал диффузной части двойного электрического слоя обычно принимают приблизительно равным ζ -потенциалу. В качестве примера можно привести определение изоэлектрической точки ($pH_{изт}$) по нулевому значению ζ -потенциала.

3. Электроосмос

Направленное перемещение жидкости в пористом теле под действием приложенной разности потенциалов (электроосмос) удобно изучать с помощью прибора, схематически показанном на рис. IV.11. Прибор представляет собой U-образную трубку, в одно колено которой впаян капилляр 1 для точного определения количества протекающей жидкости, в другом — между

Рис. IV.11. Прибор для наблюдения электроосмоса:

1 — капилляр; 2 — мембрана



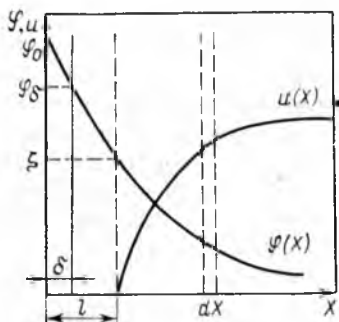


Рис. IV.12. Изменение потенциала φ и скорости течения жидкости u с расстоянием x от поверхности капилляра

электродами располагается пористое тело 2 (мембрана) из силикагеля, глинозема и других материалов.

В прибор наливают воду или водный раствор и отмечают уровень жидкости в капилляре. Если к электродам приложить разность потенциалов, то

противоионы диффузного слоя, энергетически слабо связанные с поверхностью твердой фазы (мембрана), будут перемещаться к соответствующему электроду и благодаря молекулярному трению увлекать за собой дисперсионную среду (водный раствор). Вполне естественно предположить, что чем больше потенциал диффузного слоя, тем больше переносчиков зарядов, тем выше скорость перемещения жидкости в пористом теле. Скорость течения жидкости и ее направление при постоянной напряженности электрического поля определяются свойствами мембраны и раствора. Таким образом, уже качественное изучение электроосмоса позволяет однозначно определить знак ζ -потенциала, а количественные измерения — установить зависимость между скоростью переноса жидкости и ζ -потенциалом. Изменяя состав и свойства дисперсионной среды, можно проследить за изменением структуры двойного электрического слоя по изменению значения электрокинетического потенциала.

Для получения наиболее простого уравнения, связывающего скорость относительного движения фаз с параметрами дисперсионной среды (вязкость, диэлектрическая проницаемость), двойного электрического слоя (ζ -потенциал) и внешнего электрического поля (напряженность), необходимо задаться некоторыми ограничениями: 1) толщина двойного электрического слоя значительно меньше радиуса пор, капилляров твердой фазы (радиуса кривизны поверхности твердой фазы); 2) слой жидкости, непосредственно прилегающий к твердой фазе, неподвижен, движение жидкости в порах твердой фазы ламинарное и подчиняется законам гидродинамики; 3) распределение зарядов в двойном электрическом слое не зависит от приложенной разности потенциалов; 4) твердая фаза является диэлектриком, а жидкость проводит электрический ток.

Рис. IV.12 иллюстрирует изменение потенциала φ и скорости движения жидкости u в капиллярах пористого тела с изменением расстояния от межфазной поверхности. Направленное перемещение жидкости, вызванное внешним электрическим полем напряженностью E , уравнивается действием возникающей

силы трения. В стационарном состоянии общая сила, действующая на любой сколь угодно малый слой жидкости, равна нулю, и он движется с постоянной скоростью параллельно границе скольжения.

Электрическая сила, действующая на слой жидкости dx (в расчете на единицу площади поверхности), равна

$$dF_{\text{эл}} = Edq = E\rho dx = -E\epsilon_0\epsilon \frac{d^2\varphi}{dx^2} dx \quad (\text{IV.71})$$

где dq — заряд слоя жидкости dx ; ρ — объемная плотность заряда, выраженная в соответствии с уравнением Пуассона (II.113).

Сила трения и ее дифференциал, приходящиеся на единицу площади (согласно закону Ньютона), составляют:

$$F_{\text{тр}} = \eta \frac{du}{dx} \quad \text{и} \quad dF_{\text{тр}} = \eta \frac{d^2u}{dx^2} dx \quad (\text{IV.72})$$

При установившемся движении (в стационарном состоянии) $dF_{\text{эл}} = dF_{\text{тр}}$, т. е. приравнявая (IV.71) и (IV.72), получим

$$\frac{d^2u}{dx^2} = -\frac{E\epsilon_0\epsilon}{\eta} \frac{d^2\varphi}{dx^2} \quad (\text{IV.73})$$

Так как в обе части равенства (IV.73) входят производные по x , а коэффициент пропорциональности при интегрировании принимается постоянным, то решение уравнения (IV.73) сводится фактически к определению граничных условий интегрирования.

Пределы интегрирования легко определить из рис. IV.12. При $x=l$, т. е. на границе скольжения, имеем $\varphi = \xi$ и $u = 0$; при $x = \infty$, т. е. в объеме раствора, $\varphi_{\infty} = 0$ и $u_{\infty} = u_0$, а $(d\varphi/dx)_{\infty} = 0$ и $(du/dx)_{\infty} = 0$. Таким образом, после первого интегрирования вид уравнения (IV.73) практически не изменится, только вместо вторых производных получим первые производные по x ; знак минус останется в уравнении, так как обе первые производные при $x \rightarrow \infty$ параллельно стремятся к нулю. При подстановке пределов в уравнение, полученное после второго интегрирования, необходимо только изменить знак «—» на «+», что связано с уменьшением потенциала до нуля при $x \rightarrow \infty$ и увеличением скорости движения жидкости в этом направлении до u_0 . Окончательно получим следующее выражение для постоянной линейной скорости жидкости относительно мембраны:

$$u_0 = \epsilon_0\epsilon E\xi/\eta \quad (\text{IV.74})$$

Это классическое выражение для скорости движения жидкости при электроосмосе можно получить и на основе представлений двойного электрического слоя как плоского конденсатора, что и было сделано еще Гельмгольцем. Более строгий вывод соотношения (IV.74) был дан Смолуховским, поэтому урав-

нение (IV.74) носит название уравнения Гельмгольца — Смолуховского.

Скорость движения дисперсионной среды, отнесенная к единице напряженности электрического поля, называется *электроосмотической подвижностью*:

$$u_{30} = u_0/E = \epsilon_0 \epsilon \zeta / \eta \quad (IV.75)$$

Уравнение Гельмгольца — Смолуховского чаще записывают относительно ζ -потенциала:

$$\zeta = \frac{\eta u_0}{\epsilon_0 \epsilon E} \quad (IV.76)$$

В уравнения (IV.74) — (IV.76) входит электроосмотическая линейная скорость, которую при обработке экспериментальных данных удобнее заменить на объемную скорость течения жидкости $v = u_0 s$ (где s — поперечное сечение всех капилляров в пористой мембране). Необходимо помнить, что уравнение Гельмгольца — Смолуховского выведено, исходя из допущения, что вся масса жидкости в капиллярах перемещается со скоростью u_0 . Однако скорость перемещения жидкости в двойном электрическом слое меньше, чем u_0 . Следовательно, уравнение (IV.74) справедливо в том случае, если размеры капилляров значительно больше толщины двойного слоя.

Чтобы не вводить в уравнение (IV.76) поперечное сечение капилляров s , воспользуемся законом Ома. Тогда отношение линейной скорости движения жидкости к напряженности электрического поля можно преобразовать следующим образом:

$$\frac{u_0}{E} = \frac{vL}{sU} = \frac{vL}{sR} = \frac{vL\kappa s}{sL} = \frac{v\kappa}{I} \quad (IV.77)$$

где L — расстояние между электродами; U — внешняя разность потенциалов; I — сила тока; R — электрическое сопротивление; κ — удельная электропроводность.

Подставляя выражение u_0/E в уравнение (IV.76), получим:

$$\zeta = \frac{\eta \kappa v}{\epsilon_0 \epsilon I} \quad (IV.78)$$

Уравнение (IV.78) позволяет по экспериментально определяемым значениям величин v , κ , η и I рассчитать электрокинетический потенциал.

Анализ соотношения (IV.78) показывает, что оно справедливо как для единичного цилиндрического капилляра, так и для системы капилляров различной формы, поскольку в это уравнение не входят их геометрические параметры. Это уравнение применимо, если выполняются все условия, сформулированные выше.

Если радиус капилляра сопоставим с толщиной двойного электрического слоя, что имеет место в микропористых капиллярных системах, то значение удельной электропроводности κ в объеме раствора, входящей в уравнение (IV.78), не будет соответствовать значению электропроводности раствора внутри капилляра, и при расчете ζ -потенциала необходимо вводить поправку на поверхностную проводимость. Поверхностная проводимость представляет собой приращение проводимости раствора в капилляре вследствие наличия двойного электрического слоя, и общая проводимость может быть в несколько раз больше объемной. Поэтому при вычислении значений ζ -потенциала по результатам исследования электроосмоса, происходящего в системе достаточно узких капилляров и разбавленных растворов, в расчетную формулу вместо κ подставляют выражение $\kappa + \kappa_s \theta / s$ (где κ — удельная объемная электропроводность; κ_s — поверхностная проводимость; θ — длина окружности капилляра с сечением s). Поправка $\kappa_s \theta / s$ всегда положительна, поэтому истинные значения ζ -потенциала, т. е. рассчитанные с введением поправки, будут больше. Поправку на поверхностную проводимость определяют, измеряя электрическое сопротивление капилляров, заполненных разбавленным и концентрированными растворами электролитов, или сравнивая результаты с полученными по уравнению (IV.76), в которое не входит электропроводность жидкости в капилляре. Поверхностной проводимостью можно пренебречь, если размеры капилляров велики по сравнению с толщиной двойного слоя.

Следует отметить, что в пределах двойного электрического слоя значения диэлектрической проницаемости и вязкости дисперсионной среды иные по сравнению со значениями этих величин в объеме раствора, и это различие становится особо ощутимым, если толщина двойного слоя и радиус капилляров твердой фазы соизмеримы.

4. Электрофорез

Направленное перемещение частиц дисперсной фазы под действием приложенной разности потенциалов (электрофорез) можно наблюдать в седиментационно устойчивых дисперсных системах. При наложении на такую систему внешней разности потенциалов происходит разрыв двойного электрического слоя по плоскости скольжения, в результате чего частица получает определенный заряд и перемещается к соответствующему электроду.

При электрофорезе можно непосредственно измерять скорость движения частиц. Электрофорез удобно наблюдать с помощью прибора, изображенного на рис. IV.13. Прибор представляет собой U-образную трубку, в колена которой вставле-

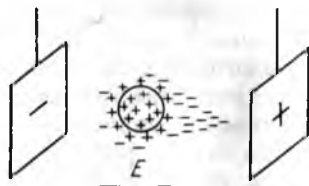
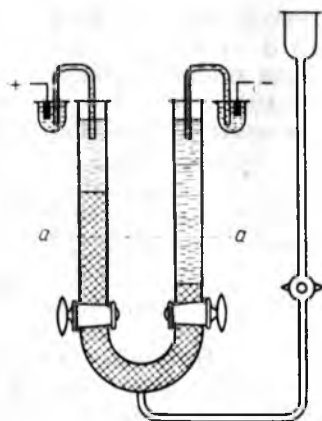


Рис. IV.14. Схема, иллюстрирующая релаксационный эффект при электрофорезе

Рис. IV.13. Прибор для наблюдения электрофореза

ны электроды. Трубку заполняют до уровня a — a исследуемым золев, на поверхность которого наливают контактную жидкость, имеющую одинаковую с золев электропроводность, и на электроды подают напряжение. Через определенные промежутки времени отмечают уровень золя в обоих коленах трубки. Естественно, что скорость перемещения частиц дисперсной фазы определяется значением ζ -потенциала на частицах твердой фазы.

Полученное ранее дифференциальное уравнение (IV.73) справедливо как для электроосмоса, так и для электрофореза, поскольку оно было выведено из баланса движущих сил процесса — электрической силы и силы трения. Отличие состоит только в выбранной системе координат. Если при электроосмосе движется жидкость относительно твердого тела, то при электрофорезе, наоборот, частицы движутся относительно жидкой среды. Вид уравнений (IV.74) и (IV.76) в применении их к электрофорезу остается тем же, только под скоростью u имеют в виду линейную скорость движения частиц. Отношение скорости движения дисперсной фазы к напряженности электрического поля u_0/E при электрофорезе называют *электрофоретической подвижностью*:

$$u_{\text{эф}} = u_0/E = \epsilon_0 \epsilon \zeta / \eta \quad (\text{IV.79})$$

или
$$\zeta = \frac{\eta}{\epsilon_0 \epsilon} u_{\text{эф}} = \frac{\eta u_0}{\epsilon_0 \epsilon E} \quad (\text{IV.80})$$

При выводе соотношений (IV.79) и (IV.80) принимаются следующие ограничения: 1) частицы движутся в однородном электрическом поле; 2) частицы могут иметь любую форму и они не проводят электрический ток; 3) толщина двойного электрического слоя должна быть значительно меньше размера частиц.

Для расчета ζ -потенциала (в В) на частицах, находящихся в разбавленных водных растворах при 20 °С, можно пользоваться следующим простым соотношением

$$\zeta = 1,42 \cdot 10^6 u_{\text{эф}} \quad (\text{IV.81})$$

где электрофоретическая подвижность $u_{\text{эф}}$ выражена в м²/(с·В).

Опытные значения электрофоретической подвижности обычно составляют $\approx 5,0 \cdot 10^{-8}$ м²/(с·В), а электрокинетического потенциала — до 100 мВ. Экспериментально определенные значения подвижности оказываются меньше расчетных. Следует отметить, что по абсолютному значению величина $u_{\text{эф}}$ одного порядка со скоростью движения ионов в электрическом поле с напряженностью, равной единице. Несовпадение экспериментальных и теоретических значений электрофоретической подвижности определяется в основном двумя эффектами, неучтенными теорией Гельмгольца — Смолуховского: релаксационным эффектом и электрофоретическим торможением.

Релаксационный эффект проявляется в нарушении симметрии диффузного слоя вокруг частицы при относительном движении фаз в противоположные стороны. Возникает внутреннее электрическое поле (диполь), направленное против внешнего поля (рис. IV.14). Для восстановления равновесного состояния системы требуется некоторое время, называемое временем релаксации. Время релаксации достаточно велико, и система не успевает прийти в равновесие, в связи с чем эффективная напряженность электрического поля E уменьшается, а, следовательно, определяемое экспериментально значение $u_{\text{эф}}$ и расчетное значение ζ -потенциала получаются заниженными.

Электрофоретическое торможение обусловлено сопротивлением движению частицы обратным потоком противоионов, который увлекает за собой жидкость. Вследствие этого электрофоретическая скорость уменьшается. Гюккель, основываясь на теории сильных электролитов, установил, что в уравнение (IV.79) необходимо ввести множитель $2/3$ как поправку на электрофоретическое торможение. В дальнейшем было показано, что электрофоретическое торможение является функцией размера частицы и толщины диффузного слоя. Поправка Гюккеля необходима, если толщина диффузного слоя значительно превышает размер частицы; при условии соизмеримости этих параметров ее значение может находиться в пределах от $2/3$ до 1.

Таким образом, электроосмотический и электрофоретический методы определения ζ -потенциала не учитывают ряд факторов, поэтому результаты расчетов оказываются заниженными. В некоторых случаях эти факторы удается учесть введением поправок, в других — это сделать пока нельзя. Большинство этих факторов можно пренебречь при сравнительных измерениях, когда определяют относительное изменение ζ -потенциала.

5. Потенциалы течения и седиментации

Явление, обратное электроосмосу — потенциал течения, или потенциал протекания состоит в том, что при течении дисперсионной среды под действием перепада давления через пористую мембрану на ее концах появляется разность потенциалов. Проталкиваемая через капилляр жидкость (в отсутствие внешнего электрического поля) в условиях ламинарного движения характеризуется изображенным на рис. IV.12 профилем распределения скоростей. Движущаяся жидкость, увлекая за собой ионы диффузного слоя (противоионы), оказывается носителем конвекционного поверхностного электрического тока, называемого током течения. При переносе зарядов по капилляру на его концах возникает разность потенциалов, которая в свою очередь вызывает встречный объемный поток ионов противоположного знака по всему капилляру. После установления стационарного (равновесного) состояния потоки ионов станут равными, а разность потенциалов примет постоянное значение, равное потенциалу течения U . Потенциал течения пропорционален перепаду давления Δp .

Уравнение Гельмгольца — Смолуховского для расчета ζ -потенциала через потенциал течения имеет вид

$$\zeta = \frac{\eta \kappa U}{\epsilon_0 e \Delta p} \quad (\text{IV.82})$$

Метод определения электрокинетического потенциала, основанный на измерении потенциала течения, несколько сложнее, чем рассмотренные выше электроосмотический и электрофоретический методы. Однако получаемые этим методом результаты ближе к истинным, поскольку в эксперименте не требуется подведения к системе внешней разности потенциалов, которая может вызывать ряд побочных явлений (поляризацию, нагревание).

При потенциале седиментации (эффект Дорна) как явлении, обратном электрофорезу, частицы твердой фазы, несущие заряд, осаждаются под действием силы тяжести либо силы центробежного поля. В процессе осаждения ионы диффузного слоя вследствие молекулярного трения отстают от движущейся частицы, т. е. возникает поток заряженных частиц. Если в сосуде с осаждающимися в жидкости частицами твердой фазы установить электроды на разной высоте, то между ними можно измерить разность потенциалов — потенциал седиментации. Этот потенциал пропорционален ζ -потенциалу, частичной концентрации ν , а также зависит от параметров системы, определяющих скорость оседания частиц, и от электропроводности среды κ . Выражение Гельмгольца — Смолуховского для потенциала седиментации можно получить из уравнения (IV.82). Роль перепада давления

$\Delta\rho$ в этом случае играет сила тяжести F_g , которая для столба суспензии с частицами сферической формы радиусом r равна

$$F_g = \frac{4}{3}\pi r^3(\rho - \rho_0)gv$$

где v — число частиц в единице объема; l — расстояние между электродами.

Таким образом, уравнение для расчета ζ -потенциала, определяемого методом измерения потенциала седиментации, имеет следующий вид:

$$\zeta = \frac{3\eta k E}{4\pi \epsilon_0 \epsilon r^2 (\rho - \rho_0) g v} \quad (\text{IV } .83)$$

Расчет достоверного значения ζ -потенциала по определяемому значению напряженности электрического поля E для реальных систем весьма затруднителен, поскольку частицы всегда полидисперсны, а их форма часто отличается от сферической. Соответственно также будет отличаться от реальной частичная концентрация дисперсной системы, определяемая по уравнению

$$v = \frac{c}{4/3\pi r^3 \rho} \quad (\text{IV } .84)$$

где c — массовая концентрация дисперсной фазы.

Явления потенциала течения и седиментации наблюдаются в производствах, в которых осуществляется транспортировка жидкостей (перекачка технологических растворов, жидкого топлива), осаждение суспензий и эмульсий при разделении фаз. На концах трубопроводов и аппаратов могут возникать высокие разности потенциалов, которые являются причиной искровых разрядов, вызывающих пожары и взрывы.

6. Особенности электрических свойств аэрозолей

Электрические свойства частиц в системах с газообразной дисперсионной средой значительно отличаются от электрических свойств этих частиц в системах с жидкой средой. Это связано, главным образом, с большим различием диэлектрических свойств и плотностей жидких и газообразных сред. Электрические свойства лиозолей и суспензий в отличие от свойств аэрозолей находятся в равновесии с остальными свойствами системы. Как правило, в лиозолях и суспензиях такое равновесие устанавливается очень быстро, и частицы одной природы приобретают один и тот же равновесный электрический потенциал, характерный для данной межфазной границы, и одинаковое состояние двойных электрических слоев.

Несмотря на то, что электролитическая диссоциация в газовой среде практически отсутствует, частицы в аэрозолях тем не менее имеют электрические заряды. Они приобретают их при

столкновении друг с другом или с какой-либо поверхностью, а также в результате адсорбции газовых ионов, образующихся при ионизации газов, например космическими, ультрафиолетовыми, радиоактивными лучами. Так как электрическое равновесие в аэрозолях устанавливается очень медленно, то распределение зарядов между частицами является чисто случайным. Частицы одной природы и одинакового размера могут иметь разные заряды, отличающиеся даже по знаку. В обычных условиях газовых ионов очень мало и частицы аэрозоля сталкиваются с ними редко (одно столкновение за период от нескольких секунд до нескольких минут). При столкновении нейтральная частица может получить заряд, а у заряженной частицы он может увеличиться, уменьшиться или нейтрализоваться. Таким образом, заряд частицы в аэрозолях постоянно изменяется.

При отсутствии специфической адсорбции на поверхности частиц аэрозолей (т. е. при условии одинаковой адсорбируемости положительных и отрицательных ионов) величины их зарядов будут колебаться около среднего нейтрального значения, так как вероятности встречи с положительными и отрицательными ионами одинаковы. Таким образом, электрические свойства частиц аэрозолей отражают тепловое движение ионов, частиц, и их можно характеризовать с помощью статистических законов. Например, вероятность приобретения частицей какого-либо заряда определяется выражением Эйнштейна для вероятности флуктуаций:

$$W \sim \exp(-A/k_B T) \quad (IV.85)$$

где A — работа, необходимая для осуществления флуктуации.

Эксперименты и расчеты показывают, что заряды частиц аэрозолей при отсутствии специфической адсорбции очень малы и обычно превышают элементарный электрический заряд не более чем в 10 раз. Именно поэтому де Бройлю и Милликену удалось установить дискретный характер заряда частиц.

Специфическая адсорбция газовых ионов на частицах аэрозолей значительно осложняет оценку зарядов частиц. Такая адсорбция характерна для частиц, имеющих химическое сродство к газовым ионам, или для систем, в которых электрический потенциал на межфазной границе возникает еще при их образовании. Межфазный потенциал может возникнуть при условии резко выраженного различия полярных свойств среды и дисперсной фазы. Примером могут служить аэрозоли воды и снега; ориентация молекул воды на поверхности частиц по оценке А. Н. Фрумкина обуславливает электрический потенциал около 0,25 В. Электрический заряд на частицах может появиться и в процессе диспергирования полярных веществ, когда частицы, отрываясь, захватывают заряд с поверхности макротела (баллоэлектризация). Химическое сродство частиц к ионам и возник-

ший потенциал на межфазной границе приводят к тому, что частицы аэрозоля неодинаково адсорбируют противоположно заряженные ионы, и средний их заряд в системе отличен от нуля. Опытным путем установлено, что частицы аэрозолей металлов и их оксидов обычно приобретают отрицательный заряд, а неметаллы и их оксиды заряжаются, как правило, положительно.

Заряженные частицы аэрозоля движутся в электрическом поле. Если не принимать во внимание силу тяжести и считать, что частица движется вдоль электрического поля, то, когда частица приобретает постоянную скорость движения, электрическая сила будет равна силе трения:

$$Eq = Bv \quad (IV.86)$$

где E — напряженность поля; q — заряд частицы.

При соблюдении закона Стокса скорость движения частицы равна

$$v = \frac{Eq}{6\pi\eta r} \quad (IV.87)$$

При учете гравитационного поля, направление которого противоположно электрическому полю, скорость движения частицы выражается уравнением:

$$v = \frac{mg - Eq}{6\pi\eta r} \quad (IV.88)$$

где m — масса частицы.

Важным отличием аэрозолей от жидких дисперсных систем является отсутствие электронейтральности системы в целом. Суспензии, эмульсии, лиозолы в макроколичествах не имеют заряда, в них соблюдается закон электронейтральности. Аэрозоль даже в больших количествах может обладать значительным статическим зарядом, а седиментация приводит к его неравномерному распределению в системе, что создает серьезные трудности при рассмотрении закономерностей изменения свойств аэрозолей. Однако оценочные расчеты, например, напряженности электрического поля в облаках, можно провести с помощью простых соотношений.

В облаках постоянно изменяется дисперсность капель воды, вследствие чего происходит седиментационное разделение частиц по размеру и соответственно по электрическому заряду. В результате нижний слой облака приобретает отрицательный заряд, а верхний слой остается положительно заряженным. Напряженность возникающего электрического поля можно оценить, принимая, что при седиментации устанавливается стационарное состояние, когда конвективный ток, обусловленный переносом зарядов падающими каплями, компенсируется током проводимости в газе, протекающим в противоположном направлении (обусловленным возникающим градиентом потенциала), т. е.

$$i_k = i_n \quad (IV.89)$$

Конвективный ток и ток проводимости определяются соответственно выражениями

$$i_k = qv_i \quad (\text{IV.90}); \quad i_n = \chi E \quad (\text{IV.91})$$

где χ —удельная электропроводность аэрозоля.

Принимая во внимание выражение из электростатики, связывающее заряд q и потенциал φ для сферической частицы, имеем:

$$q = \varphi r \quad (\text{IV.92})$$

(как видно, при одном и том же потенциале, например 0,25 В, заряд частицы пропорционален ее радиусу).

Подставляя выражение (IV.88) в (IV.90) и учитывая (IV.89), получим:

$$\frac{\varphi r v (mg - \varphi r E)}{6\pi\eta r} = \chi E$$

или

$$E = \frac{\varphi v m g}{6\pi\eta\chi + v\varphi^2} \quad (\text{IV.93})$$

Полученное уравнение позволяет оценить напряженность электрического поля, возникающего в облаках, если известен электрический потенциал на поверхности капли. Принимая $\varphi = 0,25$ В, $\eta = 1,7 \cdot 10^{-5}$ Па·с, $\chi = 4 \cdot 10^{-4}$ с⁻¹, радиус капель $r = 10^{-5}$ м ($m = 4,2 \cdot 10^{-12}$ кг), при влагосодержании облака $v m = 10^{-3}$ кг/м³ получим $E \approx 20$ кВ/м (200 В/см). Это значение по порядку близко к наблюдаемому. Расчет E сильно осложняется рядом факторов, действующих в реальных условиях, например седиментация может усиливаться конвекцией, вызываемой ветром или нисходящими потоками воздуха. Напряженность в этом случае достигает очень больших значений ($E > > 30$ кВ/м), приводящих к грозovým явлениям.

7. Практическое использование электрокинетических явлений

Электрокинетические явления широко используются в технике, а также в научных исследованиях. Одна из важнейших областей применения — нанесение покрытий на различные поверхности электрофоретическим методом. Данный метод, обеспечивающий высокую кроющую способность, позволяет получать равномерные покрытия на деталях сложной конфигурации. При электрофоретическом методе нанесения покрытий, как правило, одним из электродов служит деталь, на которой формируется покрытие, другим — емкость с суспензией, дисперсная фаза которой наносится на поверхность детали. В зависимости от того, каким электродом (анодом или катодом) является покрываемая деталь, различают анодофорез и катодофорез. В общем случае процесс электрофоретического нанесения покрытий состоит из ряда сопряженных стадий: направленное перемещение заряженных частиц, коагуляция их в приэлектродном пространстве, электродные химические реакции. После того как на электроде сформируется покрытие, как правило, возникает электроосмос, в результате которого жидкость выходит из слоя покрытия и оно становится более плотным.

В нашей стране успешно эксплуатируются автоматические линии грунтовки кузовов автомобилей электрофоретическим методом. Применение таких линий позволяет резко увеличить эффективность процесса грунтовки, улучшить качество окраски, сократить расход краски. Электрофоретический метод широко применяется также для покрытия катодов радиоламп, полупроводниковых деталей, нагревателей и т. д. Электрофорез используется в медицине, в биологии при выявлении биохимической и физиологической роли различных высокомолекулярных соединений. Этот метод используется также для фракционирования полимеров и минеральных дисперсий.

Явление электроосмоса лежит в основе способа удаления влаги при осушке объектов (стен зданий, сыпучих материалов, при строительстве плотин, дамб и т. д.) и способа пропитки материалов различными веществами. При электроосмотической сушке в объект вводят электроды, представляющие собой полые металлические трубы с отверстиями. В замкнутой электрической цепи происходит электроосмотический перенос жидкости к одному из электродов, которая собирается в нем, и затем ее откачивают насосом. Все большее значение приобретает электроосмотическая фильтрация, сочетающая в себе два процесса: фильтрацию под действием приложенного давления и электроосмотический перенос жидкости в электрическом поле. Следует отметить, что применение электроосмоса ограничено большим потреблением электроэнергии.

г. ЯВЛЕНИЯ ПЕРЕНОСА В ПОРИСТЫХ ТЕЛАХ. МЕМБРАННЫЕ МЕТОДЫ РАЗДЕЛЕНИЯ СМЕСЕЙ

1. Основные законы течения жидкостей в пористых телах. Определение размеров пор методом фильтрации. Капиллярная пропитка

Получение пористых тел и их некоторые характеристики были рассмотрены в разд. III.Б, посвященном адсорбции газов и паров на пористых телах. Напомним, что пористые тела можно представить как обращенные суспензии или порошки, а порошки и концентрированные суспензии в свою очередь, можно представить как пористые тела. В этом разделе обсуждается движение жидкостей и газов в порах и капиллярах пористых тел. Большинство закономерностей такого движения характерно и для порошков, осадков и других дисперсных систем.

Идеальной моделью движения жидкости в порах является закон Стокса для течения жидкости в цилиндрическом капилляре. Вывод закона сводится к следующему. Предполагается ламинарный режим течения жидкости по цилиндрическому капилляру радиусом r и длиной l (рис. IV.15). Каждый слой жидко-

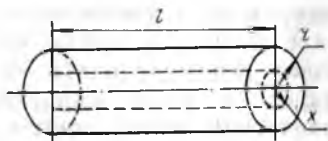


Рис. IV.15. К выводу закона Стокса для течения жидкости в капилляре

сти в капилляре течет со своей скоростью, возрастающей от нуля (около стенки, капилляра) до $u_{\text{макс}}$ (в центре его). Сила внутреннего трения, действующая по цилиндрической границе движения радиусом x , в соответствии с уравнением Ньютона равна

$$F_{\text{тр}} = -\eta s du/dx = -\eta 2\pi x l du/dx \quad (\text{IV.94})$$

где s — площадь цилиндра из жидкости радиусом x и длиной l ; du/dx — градиент скорости движения жидкости в направлении от поверхности цилиндра к его оси.

Движение жидкости возможно под действием перепада давления, электрической силы, силы тяжести. Действие этих сил на движение жидкости по капилляру аналогично, поэтому рассмотрим только движение, вызываемое перепадом давления Δp . Тогда сила, действующая на цилиндр жидкости радиусом x , будет равна

$$F_p = \Delta p \pi x^2 \quad (\text{IV.95})$$

При ламинарном и равномерном движении жидкости $F_{\text{тр}} = F_p$. Приравняем соотношения (IV.94) и (IV.95):

$$-\eta \cdot 2\pi x l du/dx = \Delta p \pi x^2$$

Разделим переменные и проинтегрируем:

$$\int_{u_{\text{макс}}}^u -du = \int_0^x \frac{\Delta p}{2\eta l} x dx, \quad u = u_{\text{макс}} - \frac{\Delta p x^2}{4\eta l} \quad (\text{IV.96})$$

где x меняется от $x=0$ до x , а скорость соответственно от $u_{\text{макс}}$ до u .

Выражение для максимальной скорости $u_{\text{макс}}$ в центре капилляра можно получить при условии $u=0$, отвечающем $x=r$, т. е. при условии, что скорость движения жидкости около стенки капилляра равна нулю.

$$u_{\text{макс}} = \Delta p r^2 / (4\eta l) \quad (\text{IV.97})$$

Уравнения (IV.96) и (IV.97) выражают закон Стокса, в соответствии с которым при ламинарном движении жидкости в капилляре соблюдается параболическое распределение скоростей. Уравнение (IV.97) записано для максимальной скорости, с которой жидкость движется вдоль оси капилляра. Средняя скорость жидкости равна половине этой скорости

$$u_{\text{ср}} = \Delta p r^2 / (8\eta l) \quad (\text{IV.98})$$

Из этого уравнения видно, что по перепаду давления на концах капилляра можно определить скорость течения жидкости при известном радиусе капилляра или вычислить радиус капилляра при известной скорости течения жидкости. Для расчета этих величин удобнее пользоваться выражением для количества вытекающей жидкости, или ее расходом. Если расход выразить через объем вытекающей жидкости в единицу времени, то

$$V = u_{\text{ср}} \pi r^2 \quad (\text{IV.99})$$

Подставляя значение $u_{\text{ср}}$ из уравнения (IV.98), получим:

$$V = \pi r^4 \Delta p / (8 \eta l) \quad (\text{IV.100})$$

Соотношение (IV.100) называется уравнением Гагена — Пуазейля. Оно используется при определении расхода жидкости или радиуса капилляров в пористых телах (метод фильтрации).

Как известно, ламинарный режим течения в гладких цилиндрических капиллярах сохраняется до критического значения критерия Рейнольдса ($Re = u d \rho / \eta$), составляющего около 2300. При постоянных значениях вязкости η , плотности жидкости ρ и диаметра капилляра d критерий Рейнольдса зависит только от скорости течения жидкости. Таким образом, в соответствии с уравнениями (IV.98) и (IV.100) ламинарный режим может быть обеспечен определенным перепадом давления (или длиной капилляра). Реальное пористое тело имеет поры и капилляры различных диаметров, поэтому жидкость по ним течет с разными скоростями. Вследствие этого вместо четкого перехода от ламинарного режима к турбулентному происходит плавное изменение режима течения жидкости. Кроме того, капилляры в реальном пористом теле имеют разную извилистость, форму и шероховатость, что в большой мере сказывается на режиме течения жидкости (критическое значение Re снижается). Обычно чем сильнее искажена поверхность и форма капилляров, тем меньше критическое значение критерия Рейнольдса. Для реальных пористых тел оно изменяется в широких пределах, чаще всего от 10 до 30, но может быть и меньше.

При малых перепадах давления с увеличением радиуса капилляров возрастает роль силы тяжести жидкости, а с уменьшением их радиуса — роль капиллярных сил, обусловленных смачиванием и кривизной поверхности. Пренебрежение указанными факторами может привести к существенным погрешностям в расчетах определяемых параметров. Особенно сильные отклонения от закона Стокса наблюдаются при течении в микропорах, радиусы которых соизмеримы с радиусом действия поверхностных молекулярных сил. Жидкость в таких ярах под действием поверхностных сил приобретает определенную структуру. В связи с этим течение в капилляре не может начаться до тех пор, пока перепад давления не скомпенсирует сопротивление структуры, ее прочность.

Перечисленные осложнения не позволяют только с помощью закона Стокса или уравнения Гагена — Пуазейля определить размеры пор и капилляров в реальных пористых телах методом фильтрации. Требуется дополнительные сведения о гидродинамических характеристиках пористых тел.

Одной из основных гидродинамических характеристик пористых тел является их проницаемость — свойство пропускать жидкости или газы. Дарси сформулировал (1856 г.) закон для потока жидкости или газа через пористое тело:

$$i_v = k \Delta p / (\eta l) \quad (IV.101)$$

где $i_v = V/(st)$ — объемный поток жидкости или газа, т. е. объем жидкости или газа, проходящий через единицу поверхности тела в единицу времени; η — вязкость жидкости или газа; k — коэффициент проницаемости.

При ламинарном режиме потока в порах коэффициент проницаемости для данной структуры пористого тела является постоянной величиной, характеризующей проницаемость данной пористой структуры. С изменением структуры изменяется и коэффициент проницаемости. Коэффициент проницаемости изменяется, если нарушается ламинарный режим течения.

В соответствии с законом Дарси проницаемость является суммарной или средней характеристикой пропускной способности пористого тела, пронизанного множеством капилляров. Для выражения потока в отдельных капиллярах можно использовать уравнение Гагена — Пуазейля (IV.100). Суммарный поток через пористое тело равен общему потоку через все капилляры, приходящиеся на единицу площади сечения пористого тела, или через суммарное сечение капилляров. Обычно общее сечение капилляров принимают равным пористости тела Π . Тогда в соответствии с уравнением (IV.100), учитывая коэффициент извилистости δ , получим для суммарного потока:

$$i_{\Sigma} = \frac{\Pi}{\delta} i_k = \frac{\Pi}{\delta} \frac{\Delta p r^2}{8 \eta l} \quad (IV.102)$$

где i_k — поток жидкости через отдельный капилляр, или расход жидкости, приходящийся на единицу площади капилляра πr^2 ; l — длина капилляра, равная толщине пористого тела.

Сопоставляя соотношение (IV.102) с законом Дарси, получим выражение для коэффициента проницаемости или для радиуса капилляра r , которое используется при расчете в методе фильтрации:

$$k = \frac{\Pi r^2}{8 \delta} \quad \text{и} \quad r = \sqrt{\frac{8 k \delta}{\Pi}} \quad (IV.103)$$

Коэффициент проницаемости и пористость определяют экспериментально. Затем, задаваясь коэффициентом извилистости, по уравнению (IV.103) рассчитывают радиус пор. Значение ко-

эффицента извилистости для пористых тел лежит в пределах от 1 до 1,5. Часто значение этого коэффициента выбирают произвольно с учетом особенностей структуры пористого тела. Необходимо иметь в виду, что метод фильтрации почти всегда дает заниженные значения размеров пор и капилляров. Это связано главным образом с тем, что любое пористое тело имеет закрытые и тупиковые поры, которые при фильтрации не «работают».

К распространенному процессу переноса массы жидкости в пористые тела относится капиллярная пропитка, обусловленная действием капиллярных сил. Этот процесс лежит в основе метода пропитки древесины различными жидкостями (например, растворами антисептиков), а также волокнистых, пористых полимерных и силикатных материалов. Капиллярная пропитка — одна из важных стадий многих технологических процессов, например она осуществляется при модифицировании адсорбентов и получении нанесенных катализаторов. Как и всякий процесс, капиллярная пропитка требует управления и оптимизации, основанных на известных теоретических закономерностях.

Капиллярная пропитка заключается в поднятии жидкости по капиллярам пористых тел под действием капиллярного давления p_k , направленного против гидростатического давления p_r . Разность давлений в открытых (сквозных) капиллярах (наиболее простые системы) определяется соотношением

$$\Delta p = p_k - p_r = 2\sigma(\cos \theta)/r - \rho g l \sin \alpha \quad (IV.104)$$

где σ — поверхностное натяжение жидкости; θ — угол смачивания; l — длина заполненного жидкостью участка капилляра в данный момент; α — угол наклона капилляра по отношению к горизонтальной плоскости.

Из соотношения (IV.104) следует, что капиллярная пропитка возможна только при условии смачивания поверхности капилляров пропитывающей жидкостью, т. е. при $\theta < 90^\circ$. Если угол θ не равен нулю, то капиллярное давление можно представить, используя закон Юнга

$$p_k = 2(\sigma_{3,1} - \sigma_{3,2})/r \quad (IV.105)$$

где $\sigma_{3,1}$ и $\sigma_{3,2}$ — поверхностное натяжение соответственно на границе раздела твердое тело — газ и твердое тело — жидкость.

Из соотношений (IV.104) и (IV.105) видно, что для обеспечения большего капиллярного давления необходимо уменьшить поверхностное натяжение $\sigma_{3,2}$, не снижая $\sigma_{3,1}$, что является простой задачей.

Полученное ранее уравнение Жюрена (II.181) является частным вариантом соотношения (IV.104) при $\Delta p = 0$, т. е. для условия установления равновесия ($\Delta p = 0$) и $\alpha = 90^\circ$. При условии равновесия соотношение (IV.104) позволяет определить предельное расстояние, на которое проникает жидкость в капилляры пористого тела:

$$l_\infty = 2\sigma(\cos \theta)/r\rho g \sin \alpha \quad (IV.106)$$

В основе теории кинетики капиллярной пропитки лежит уравнение Гагена — Пуазейля (IV.98) для средней (по сечению капилляра) линейной скорости движения жидкости. Так как совмещение уравнений (IV.104) и (IV.106) дает соотношение:

$$\Delta p = (l_{\infty} - l) \rho g \sin \alpha$$

то уравнение (IV.98) для скорости капиллярной пропитки примет вид

$$\frac{dl}{d\tau} = \frac{r^2 \rho g \sin \alpha}{8\eta l} (l_{\infty} - l) \quad (\text{IV.107})$$

После интегрирования (IV.107) получим уравнение Вошберна относительно времени пропитки (в пределах от $\tau=0$ до τ и от $l=0$ до l)

$$\tau = \frac{8\eta}{r^2 \rho g \sin \alpha} \left(l_{\infty} \ln \frac{l_{\infty}}{l_{\infty} - l} - l \right) \quad (\text{IV.108})$$

Из уравнений (IV.104) и (IV.108) следует, что время капиллярной пропитки прямо пропорционально вязкости жидкости и увеличивается с уменьшением радиуса капилляров, поверхностного натяжения жидкости и с увеличением угла смачивания (с ухудшением смачивания). Очевидно, что уравнение для скорости пропитки может быть использовано для определения радиусов капилляров.

Другим практически важным процессом переноса жидкости внутрь твердого тела является набухание. Оно отличается от капиллярной пропитки тем, что набухание — процесс диффузионный, его движущая сила — градиент химического потенциала жидкости (или осмотическое давление) и сопровождается оно увеличением объема (массы) твердого тела. Набухание характерно, главным образом, для полимерных материалов; это явление рассматривается в разд. VI.B.3 вместе с растворением высокомолекулярных соединений.

2. Механизм переноса газов и компонентов растворов в пористых телах

Процесс переноса газов и компонентов растворов в капиллярах пористых тел отличается большим разнообразием механизмов, зависящих от движущей силы, условий переноса, а также от специфических свойств компонентов и размеров пор. В данном разделе рассматриваются гидродинамический (аэродинамический) перенос газов и диффузионный перенос, характерный как для газов, так и для компонентов жидких растворов.

Остановимся на основных элементарных механизмах переноса. Гидродинамический режим переноса газа в капил-

лярах наблюдается при условии, когда диаметр капилляра d значительно превышает длину свободного пробега молекул λ , т. е. $d \gg \lambda$. В этом случае молекулы сталкиваются друг с другом значительно чаще, чем с поверхностью капилляра, что отвечает условию сплошности среды. Таким образом, перемещение газа в капилляре можно рассматривать как вязкое течение, подчиняющееся закону Стокса и уравнению Гагена — Пуазейля. Объемный гидродинамический поток газа в капилляре выражается соотношением (IV.100). Чтобы получить массовый поток, надо умножить объемный поток на плотность газа. Аналогично поток газа через пористое тело выражается уравнением (IV.102).

При диффузионном режиме переноса вещества движущейся силой является разность химических потенциалов вещества или разность его концентрации.

Диффузию в капиллярно-пористых телах классифицируют на нормальную, или объемную, кнудсеновскую, или молекулярную (эффузия), активированную и поверхностную.

При условии сплошности среды и наличии разности концентраций растворов и смесей газов вдоль капилляра протекает нормальная диффузия; диффузионный поток описывается законом Фика

$$i_{\text{диф}} = - D \Delta c / l \quad (\text{IV.109})$$

где D — коэффициент диффузии; Δc — разность концентраций вдоль капилляра на расстоянии l .

Чтобы выразить диффузионный поток в капиллярно-пористом теле, отнесенный к единице площади сечения тела, необходимо знать общее сечение капилляров, принимаемое равным пористости Π , а также коэффициент извилистости δ для капилляров:

$$i_{\Sigma \text{ диф}} = - D \frac{\Pi}{\delta} \frac{\Delta c}{l} \quad (\text{IV.110})$$

Диффузионный перенос компонентов растворов и газов подчиняется одним и тем же закономерностям, основное отличие состоит в значении коэффициентов диффузии. Известно, что коэффициенты диффузии почти на четыре порядка возрастают при переходе от одного агрегатного состояния к другому, более подвижному. Например, коэффициенты диффузии при 0°C в газах имеют порядок 10^{-1} см²/с, в жидкостях — 10^{-5} см²/с, а в твердых телах — 10^{-10} — 10^{-20} см²/с. Коэффициент диффузии увеличивается с повышением температуры.

По-иному протекает процесс диффузионного переноса газа при невыполнении условия сплошности среды, т. е. если диаметр капилляра значительно меньше длины свободного пробега молекул ($d \ll \lambda$). При малых давлениях газов это условие может соблюдаться и для капилляров значительного размера. Молекулы газа в этом случае реже сталкиваются между собой, чем со

стенками капилляра (газ Кнудсена). Условие сплошности среды не соблюдается, и соответственно законы вязкого течения Стокса и диффузии Фика не могут быть использованы для описания переноса вещества.

Состояние газа при условии $d \ll \lambda$ можно представить как движение отдельных молекул или движение с внешним трением (трение внутри газа заменяется на трение между газом и твердым телом). Возникает подобие скольжения, и скорость газа у стенки капилляра должна иметь значение, отличное от нуля. Учет внешнего трения по аналогии с (IV.18) приводит к следующему выражению для объемного потока газа в капилляре радиусом r и длиной l :

$$i_v = \frac{r^2 \Delta p}{8\eta l} \left(1 + A \frac{\lambda}{r} \right) \quad (\text{IV.111})$$

где A — постоянная, учитывающая скольжение и форму капилляра.

Это соотношение характеризует вязкое течение со скольжением. Если $\lambda \ll r$, то соотношение переходит в уравнение Гагена — Пуазейля (IV.100). При условии $\lambda \leq r$ наблюдается промежуточный режим, когда необходимо учитывать скольжение (IV.111). Если же $\lambda \gg r$, то соотношение (IV.111) переходит в закон Кнудсена. Молекулярно-кинетическая теория дает наиболее распространенное для кнудсеновского потока выражение:

$$i_v = \frac{8r}{3} \sqrt{\frac{RT}{2\pi M}} \frac{\Delta p}{pl} \quad (\text{IV.112})$$

где M — молярная масса газа.

Если сравнить это соотношение с выражением (IV.111) для кнудсеновского потока (эффузия), для которого $\lambda \gg r$, и учесть, что в соответствии с молекулярно-кинетической теорией

$$\frac{\lambda}{\eta} = \frac{3}{2\rho} \sqrt{\frac{\pi RT}{2M}} \quad (\text{IV.113})$$

то константа $A = 128/9\pi \approx 4,5$.

Из соотношения (IV.112) видно, что в отличие от объемного вязкого потока [см. уравнение Гагена — Пуазейля (IV.100)] объемный кнудсеновский поток пропорционален радиусу капилляра в первой степени (для вязкого потока $i \sim r^2$), не зависит от вязкости газа (для вязкого потока $i \sim 1/\eta$), обратно пропорционален давлению газа (для вязкого потока не зависит от давления газа). Кнудсеновский поток более чем на порядок интенсивнее, чем если бы при одинаковых градиентах давления этот поток был вязким. В капиллярах очень малого диаметра не может образоваться вязкий (аэродинамический) поток ни ламинарного, ни турбулентного характера. Под действием разности давления газ не может течь сплошными потоками, он перемещается только в результате теплового движения молекул.

В соответствии с молекулярно-кинетической теорией идеальных газов коэффициенты нормальной и кнудсеновской диффузии выражаются аналогичными соотношениями:

$$D_n = \frac{1}{3} \bar{u} \lambda, \quad D_k = \frac{1}{3} \bar{u} d \quad (\text{IV.114})$$

где \bar{u} — средняя скорость движения молекул в данном направлении.

Эти соотношения отличаются только тем, что коэффициент нормальной диффузии зависит от длины свободного пробега молекул λ , а коэффициент кнудсеновской диффузии — от диаметра капилляра d . Отсюда следует, что массовый вязкий поток (в противоположность объемному вязкому потоку) пропорционален давлению газа; в то же время массовый кнудсеновский поток (в противоположность объемному кнудсеновскому потоку) не зависит от давления газа. В кнудсеновском потоке газов их молекулы ведут себя как самостоятельные частицы, и чем больше молекулярная масса, тем меньше скорость движения молекул. На этом основано разделение газов методом газовой диффузии.

Если нормальная, или объемная диффузия характерна главным образом для макропор, кнудсеновская диффузия реализуется в основном в переходных порах, то в микропорах имеет место активированная диффузия. Размеры микропор соизмеримы с размерами молекул, и последние проходят в поры, если обладают избыточным запасом энергии — энергией активации. Связь коэффициента диффузии с энергией активации дается следующим уравнением:

$$D = D_0 \exp(-\Delta G/RT) = D_0 \exp(\Delta S/R) \exp(-\Delta H/RT) \quad (\text{IV.115})$$

где D_0 — коэффициент диффузии в отсутствие энергии активации; ΔG — энергия Гиббса активации; ΔS — энтропия активации; ΔH — энтальпия активации.

Величина $D_0 \exp(\Delta S/R)$ мало зависит от температуры, поэтому экспериментальная графическая зависимость $\ln D - 1/T$ дает возможность по наклону прямой определить энтальпию активации. Чем больше энтальпия активации, тем сильнее диффузия зависит от температуры.

Существенную роль в переносе газов и компонентов растворов через капиллярно-пористое тело может играть поверхностная диффузия. Ее значение особенно велико при возможности адсорбции компонентов на поверхности капилляров. Поверхностной диффузией называют процесс переноса вещества, происходящий в результате движения молекул по поверхности. Она направлена в зону меньших концентраций вещества на поверхности. Концентрация на поверхности больше там, где выше давление газа, поэтому направления диффузии в объеме и на поверхности совпадают. Поверхностная диффузия существенна при заметной адсорбции, при очень сильной адсорбции роль поверхностной диффузии может быть минимальной, так как при этом

концентрации вещества на поверхности выравниваются. Для учета поверхностной диффузии рассматривают суммарный поток, состоящий из потоков объемной и поверхностной диффузии в капилляре:

$$i_x = i_v + i_s = -D_v dc/dx - D_s d\bar{c}/dx \quad (IV.116)$$

где D_v и D_s — коэффициент объемной и поверхностной диффузии, соответственно.

Чтобы математически связать потоки, необходимо знать зависимость поверхностной концентрации от объемной $\bar{c} = f(c)$, т. е. иметь уравнение изотермы или значение $d\bar{c}/dc$. При малых концентрациях адсорбция подчиняется закону Генри, это значит $d\bar{c}/dc = K_\Gamma$ (K_Γ — константа Генри). Так как $d\bar{c} = K_\Gamma dc$, то соотношение (IV.116) примет вид

$$i_x = -D_v dc/dx - D_s K_\Gamma dc/dx$$

или

$$i_x = -(D_v + D_s K_\Gamma) dc/dx = -D_x dc/dx \quad (IV.117)$$

где $D_x = D_v + D_s K_\Gamma$.

При большой константе K_Γ будет преобладать поверхностная диффузия. Для пористого тела уравнение (IV.117) переходит в следующее:

$$i_x = -(D_v \Pi/\delta + D_s K_\Gamma s_{уд}/\delta) dc/dx \quad (IV.118)$$

С увеличением удельной поверхности пористого тела $s_{уд}$ растет роль поверхностной диффузии.

Реальные капиллярно-пористые тела представляют собой дисперсные системы, пронизанные многочисленными капиллярами неправильной формы. Поэтому использовать какую-то одну модель для описания процессов переноса не всегда представляется возможным. Учитывая, что любой механизм переноса предполагает наличие градиента давления или концентрации, часто представляют перенос вещества через пористое тело одним обобщенным уравнением:

$$i = -D_{э\text{кв}} dc/dx \quad (IV.119)$$

где $D_{э\text{кв}}$ — эквивалентный (эффективный) коэффициент диффузии, учитывающий разнообразие механизмов переноса в данной системе,

Эквивалентный (эффективный) коэффициент диффузии $D_{э\text{кв}}$ в отличие от рассмотренных выше в значительной степени зависит от вида капиллярно-пористой структуры тела.

3. Мембранные методы разделения смесей

Мембранные методы разделения смесей основаны на избирательной пропускающей способности пористых тел — свойстве пористых тел пропускать предпочтительнее одни вещества, чем

другие. В соответствии с движущей силой переноса вещества мембранные методы можно разделить на диффузионные, электрические и гидродинамические. Иногда движущие силы переноса вещества совмещают для ускорения переноса или улучшения разделения. К диффузионным методам относят газовую диффузию и диализ. Под действием электрического поля протекает электродиализ. Гидродинамическими методами являются фильтрация, ультрафильтрация и обратный осмос.

В каждом методе применяются соответствующие мембраны. Различия в прохождении веществ через мембраны могут быть связаны как с равновесными, так и с кинетическими свойствами разделяемой системы. По этому признаку мембраны подразделяют на фильтрационные (полупроницаемые) и диффузионные. Первые из них способны разделять вещества в равновесных условиях, размер их пор соизмерим с размерами проникающих частиц или молекул. Диффузионные мембраны обычно применяют для разделения газов методом газовой диффузии. Размер пор у них должен быть таким, чтобы обеспечивать кнудсеновский поток газов через мембраны. Фильтрационные мембраны в свою очередь можно классифицировать на макропористые, переходнопористые и микропористые (подобно адсорбентам). Микропористые мембраны могут быть нейтральными или ионитовыми.

Мембраны готовят из различных материалов: полимерных пленок, пористого стекла, керамики, металлической фольги, ионообменных материалов. Наибольшее применение получили мембраны на основе полимеров: ацетата целлюлозы, поливинилхлорида, полистирола, полиамидов и др. Первые искусственные мембраны были получены в начале шестидесятых годов из ацетата целлюлозы. Жизнедеятельность организма человека и других живых существ поддерживается благодаря поступлению питательных веществ через тонкие стенки кишок — биологические мембраны. Избирательная проницаемость биологических мембран обеспечивает доступ нужных организму веществ в легкие и другие органы.

Применяемые для разделения мембраны должны обладать хорошей селективностью (разделяющей способностью), высокой проницаемостью (удельной производительностью), стойкостью к действию среды, механической прочностью и т. д.

Метод газовой диффузии основан на том, что в кнудсеновском газовом потоке молекулы движутся независимо друг от друга. Отношение потоков разделяемых газов [см. уравнение (IV.112)] характеризует коэффициент разделения:

$$i_1/i_2 = \beta_{12} = \sqrt{M_2/M_1} \quad (IV.120)$$

где M_1 и M_2 — молекулярная масса компонентов газовой смеси.

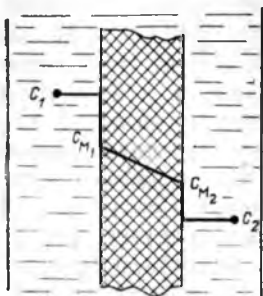


Рис. IV.16. К выводу уравнения для диффузионного потока при диализе

Из соотношения (IV.120) следует, что эффективность разделения газов зависит только от различия их молекулярных масс. Это соотношение является следствием молекулярно-кинетической теории; оно аналогично закономерности, экспериментально установленной в середине XIX века Грэмом, который показал, что скорость прохождения газа через пористую перегородку в вакуум обратно пропорциональна квадратному корню из молекулярной массы.

Легкие молекулы обладают большей скоростью, чем тяжелые молекулы, и чаще сталкиваются с пористой диафрагмой (мембраной), что способствует их предпочтительному прохождению через нее. Чтобы обеспечить режим кнудсеновской диффузии, диаметр отверстий в диафрагме должен быть меньше $1/10$ среднего свободного пробега молекул. Таким образом, метод газовой диффузии основан на различии кинетических свойств разделяемых газов.

Этот метод был впервые применен в 1932 г. для разделения изотопов неона. В настоящее время он широко применяется для разделения изотопов урана 235 и 238 ($\beta_{1/2} = 1,0043$); уран предварительно превращают в газообразный гексафторид урана, сублимирующий при 56°C .

Диализ — метод разделения компонентов раствора, основанный на различной диффузии их через мембрану. Этот метод применяется главным образом для отделения частиц золь, не проходящих через мембрану, от истинно растворенных веществ, хорошо диффундирующих через нее. Диализ проводят как с нейтральной, так и с ионитовой мембраной.

Для вывода уравнения диффузионного потока при диализе с нейтральной мембраной рассмотрим схему, представленную на рис. IV.16. Обозначим концентрации диффундирующего вещества в растворах по обе стороны от мембраны через c_1 и c_2 . Так как возможна адсорбция, то концентрации вещества на мембране с обеих сторон ее соответственно равны c_{m1} и c_{m2} . Будем считать, что адсорбция подчиняется закону Генри, тогда

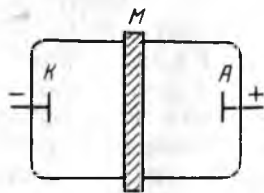


Рис. IV.17. Принципиальная схема электролизатора с одной мембраной

$c_{M1}/c_1 = c_{M2}/c_2 = K_{\Gamma}$. Если пренебречь сопротивлением прилегающих диффузных слоев, то по закону Фика диффузионный поток вещества через мембрану будет равен:

$$i = \frac{D_M(c_{M1} - c_{M2})}{l} = \frac{D_M K_{\Gamma}(c_1 - c_2)}{l} \quad (IV.121)$$

где D_M — коэффициент диффузии в мембране; l — толщина мембраны.

Из уравнения (IV.121) следует, что диффузионный поток через мембрану тем интенсивнее, чем больше коэффициент диффузии в мембране D_M , константа Генри K_{Γ} , разность концентраций по обе стороны мембраны и чем меньше толщина мембраны l . Если с одной стороны мембраны концентрация будет равна нулю ($c_2 = 0$), то поток переносимого вещества будет пропорционален концентрации c_1 .

Ионитовая мембрана специфична к диффузии ионов разного знака заряда. При диффузионном переносе сильного электролита (с катионом и анионом) его распределение между поверхностью мембраны и объемом раствора должно подчиняться уравнению Доннана (IV.58) и (III.154), тогда для одно-одновалентного электролита имеем:

$$c_{M1}(c_e + c_{M1}) = Kc^2_1 \quad (IV.122)$$

где c_e — емкость ионитовой мембраны.

Принимая, что $c_e \gg c_{M1}$, получим:

$$c_{M1}c_e = Kc^2_1 \quad \text{и} \quad c_{M1} = Kc^2_1/c_e \quad (IV.123)$$

С учетом выражения (IV.123) уравнение Фика для потока электролита принимает вид:

$$i = \frac{D_M(c_{M1} - c_{M2})}{l} = \frac{D_M K}{c_e l} (c^2_1 - c^2_2)$$

или

$$i = \frac{D_M K}{l} \frac{\Delta c(c_1 + c_2)}{c_e} \quad (IV.124)$$

В отличие от диффузии в нейтральной мембране при диффузии в ионитовой мембране поток электролита уменьшается с увеличением емкости мембраны. Если концентрация электролита с одной стороны мембраны $c_2 \rightarrow 0$, то получим, что поток электролита во столько раз меньше потока неэлектролита, во сколько раз емкость мембраны больше концентрации электролита с другой стороны мембраны c_1 .

Иначе протекает диффузия отдельных ионов через ионитовую мембрану. Для катионитовой мембраны можно пренебречь диффузией анионов. Чтобы через катионитовую мембрану диффундировали катионы, с одной ее стороны должны находиться катионы одной природы, с другой стороны мембраны — другие ка-

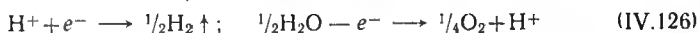
тионы, т. е. должна быть обеспечена ионообменная диффузия (в соответствии с условием электронейтральности). Таким образом, поток одних ионов в одну сторону должен быть равен потоку других ионов в противоположную сторону. Рассуждая так же, как и при рассмотрении диффузии неэлектролитов, и учитывая, что $K_{\Gamma} = c_e K$, получим выражение для потока катионов при условии равенства их концентраций с обеих сторон мембраны:

$$i_+ = \frac{D_{\text{дс}} c_e K}{l} \quad (\text{IV.125})$$

Из уравнения (IV.125) следует, что поток катионов через катионитовую мембрану тем больше, чем больше емкость мембраны c_e и ее сродство (K) к данному иону. Таким образом, ионитовая мембрана препятствует диффузии электролитов, но пропускает соответствующие ионы (противоионы).

Электродиализ — диализ, обусловленный миграцией ионов через мембрану под действием приложенной разности потенциалов (электромиграцией). На рис. IV.17 показана схема электродиализатора, представляющего собой сосуд, разделенный мембраной M , по обе стороны которой находятся электроды; на электроды подается напряжение постоянного электрического поля.

Рассмотрим принцип электродиализа на примере переноса хлорной кислоты HClO_4 через различные мембраны. Если пропустить через водный раствор хлорной кислоты количество электричества, равное числу Фарадея (96 485 Кл/моль), то по закону Фарадея на электродах должно выделиться по 1 экв элементов водорода и кислорода. При электродиализе на катоде протекает процесс восстановления ионов H^+ , а на аноде в результате окисления молекул воды они накапливаются:



Одновременно через раствор осуществляется перенос катионов (к катоду) и анионов (к аноду), количества которых пропорциональны их числам переноса t_+ и t_- — долям электричества, переносимым ионами данного вида $t_i = q_i/q$, где q — количество электричества, переносимого всеми ионами ($t_+ + t_- = 1$).

Если мембрана нейтральная, то числа переноса для раствора HClO_4 равны $t_{\text{H}^+} \approx \frac{4}{5}$ и $t_{\text{ClO}_4^-} \approx \frac{1}{5}$. В соответствии с этим в катодном пространстве в результате восстановления количество ионов H^+ уменьшается на 1 экв H^+ , поступает из анодного пространства $\frac{4}{5}$ экв H^+ и уходит в анодное пространство $\frac{1}{5}$ экв ClO_4^- . В итоге из катодного пространства уйдет $\frac{1}{5}$ экв HClO_4 . В анодном пространстве в результате окисления появится 1 экв H^+ , уйдет в катодное пространство $\frac{4}{5}$ экв H^+ и придет из катодного пространства $\frac{1}{5}$ экв ClO_4^- . В итоге в анодном пространстве появится $\frac{1}{5}$ экв HClO_4 . Таким образом, при электродиализе

с нейтральной мембраной происходит накопление хлорной кислоты в анодном пространстве.

Если в рассмотренном процессе использовать анионообменную мембрану, то переносом электричества катионами водорода можно пренебречь, тогда число переноса для перхлорат-иона будет равно единице, т. е. электричество будет переноситься только этими ионами. В катодном пространстве при тех же условиях в результате восстановления содержание H^+ уменьшится на 1 экв и в анодное пространство перейдет 1 экв ClO_4^- . Одновременно в анодном пространстве появится в результате окисления 1 экв ионов H^+ и придет в него из катодного пространства 1 экв ионов ClO_4^- . Таким образом, концентрирование хлорной кислоты в анодном пространстве с ионитовой мембраной идет в 5 раз быстрее (выход по току), чем с нейтральной мембраной. Если электродиализ проводить с катионитовой мембраной, непроницаемой для анионов, то H^+ -ионы, которые генерируются в анодном пространстве и проходят через мембрану, будут восстанавливаться в катодном пространстве. В итоге концентрирования кислоты происходить не будет.

Электродиализ часто проводят с двумя ионообменными мембранами (катионитовой у катода и анионитовой у анода). В этом случае из среднего отделения электродиализатора, куда вводят раствор электролита, будут уходить как катионы, так и анионы. Этот вариант используется, например, для очистки гидрозолей от примеси электролитов. Электродиализ применяют и при некоторых синтезах. Например, при поступлении в среднее отделение диализатора раствора Na_2SO_4 на катоде будет образовываться $NaOH$, а на аноде H_2SO_4 .

Фильтрация — процесс разделения суспензии с помощью пористой перегородки (мембраны), через которую под давлением проходит жидкая фаза (фильтрат), а частицы суспензии задерживаются (осадок). Перепад давления Δp может создаваться гидростатическим давлением слоя суспензии (до 50 кПа), вакуумом (остаточное давление 50—90 кПа), или давлением сжатого воздуха (не более 300 кПа). Общее дифференциальное уравнение фильтрации подобно уравнению для потока в пористом теле [см. например (IV.101)]:

$$\frac{dV}{s dt} = k \frac{\Delta p}{\eta l} \quad (IV.127)$$

где V — объем фильтрата; s — площадь фильтра (пористой перегородки); t — время фильтрования; η — вязкость жидкости (среды); l — толщина слоя осадка; k — коэффициент проницаемости, учитывающий проницаемость осадка и пористой перегородки.

Величина, обратная коэффициенту проницаемости k , характеризует сопротивление осадка и пористой перегородки.

При стационарном режиме фильтрования ($\Delta p = \text{const}$, $l = \text{const}$ или $\Delta p/l = \text{const}$) объемная скорость накопления фильтра-

та постоянна, а объем фильтрата пропорционален времени фильтрования (IV.127).

При нестационарном фильтровании происходит накопление осадка на фильтре, поэтому скорость фильтрации непрерывно уменьшается со временем. Если концентрация поступающей на фильтрование суспензии c остается постоянной, то масса осадка на фильтре должна быть пропорциональна объему отфильтрованной жидкости $m = cV$. Толщину слоя осадка можно выразить соотношением

$$l = \alpha m = \alpha c V \quad (\text{IV.128})$$

где α — коэффициент рыхлости осадка.

Подставляя значение l из этого уравнения в (IV.127), разделяя переменные и интегрируя, получим:

$$V = \sqrt{2 \frac{ks\Delta p}{\alpha \eta c} \tau} \quad (\text{IV.129})$$

или

$$\lg V = a + 0,5 \lg \tau \quad (\text{IV.130})$$

где a — постоянная, включающая все параметры уравнения (IV.129), кроме времени.

При интегрировании предполагалось, что α — постоянная величина, т. е. структура осадка не изменяется во время фильтрования. Если же структура осадка изменяется, то от времени будет зависеть и величина α . Коэффициент проницаемости, включая и α , зависит от природы суспензии, от ее способности образовывать рыхлые или плотные структуры.

Ультрафильтрация предназначена для концентрирования лиозолей, растворов полимеров и их очистки от низкомолекулярных веществ. От обычного фильтрования она отличается главным образом размером пор мембраны: поры мембраны для ультрафильтрации не должны превышать размеров частиц золя. Поэтому перепады давлений при ультрафильтрации достигают $1 \cdot 10^3$ кПа и выше. Кроме того, этим методом получают более концентрированный лиозоль (суспензию), а не осадок, который образуется при обычном фильтровании. Механизм ультрафильтрации близок к обычному фильтрованию или просеиванию.

Обратный осмос — процесс фильтрования (концентрирования) растворов под давлением. При обратном осмосе применяют микропористые мембраны и для преодоления их сопротивления необходимо давление до 10 МПа и выше. Кроме сопротивления мембраны в процессе разделения преодолевается действие осмотического давления π , направленного в другую сторону (отсюда и название процесса — обратный осмос). Таким образом,

перепад давления при обратном осмосе равен:

$$\Delta p = p_m + \pi \quad (IV.131)$$

где p_m — давление, необходимое для преодоления сопротивления мембраны.

Механизм проницаемости при обратном осмосе значительно сложнее, чем при ультрафильтрации. В порах лиофильной мембраны находится связанная вода (при фильтрации водных растворов), которая уменьшает размеры пор и препятствует прохождению сильно гидратированных ионов. В то же время лиофильность мембраны способствует прохождению молекул воды.

Основными характеристиками ультрафильтрации и обратного осмоса являются проницаемость и селективность мембран. Проницаемость (или удельная производительность) выражается количеством фильтрата V , отнесенным к единице времени τ и единице поверхности s мембраны:

$$G = V/s\tau \quad (IV.132)$$

Селективность определяют (в %) по следующей формуле:

$$\varphi = \frac{c_1 - c_2}{c_1} 100 = \left(1 - \frac{c_2}{c_1}\right) 100 \quad (IV.133)$$

где c_1 и c_2 — концентрация растворенного вещества или дисперсной фазы соответственно в исходной смеси и в фильтрате.

Из формулы (IV.133) следует, что при 100%-ной селективности мембрана пропускает только растворитель. Как правило, увеличение концентрации фильтруемой системы приводит к снижению проницаемости и селективности мембраны. В то же время G и φ увеличиваются с повышением давления, конечно же, до определенного предела. Так как через мембрану преимущественно проходит растворитель, то у ее поверхности значительно увеличивается концентрация растворенных или диспергированных веществ. Это явление называется концентрационной поляризацией. Оно может привести к снижению скорости процесса, к осаждению растворенного вещества и коагуляции дисперсной фазы, к порче мембраны. Основным способом предотвращения концентрационной поляризации — интенсивное перемешивание фильтруемой системы.

V. ОПТИЧЕСКИЕ СВОЙСТВА И МЕТОДЫ ИССЛЕДОВАНИЯ ДИСПЕРСНЫХ СИСТЕМ

A. ОСОБЕННОСТИ ОПТИЧЕСКИХ СВОЙСТВ ДИСПЕРСНЫХ СИСТЕМ И ОПТИЧЕСКИЕ МЕТОДЫ АНАЛИЗА ПОВЕРХНОСТНЫХ СЛОЕВ И ДИСПЕРСНОСТИ

1. Оптическая неоднородность дисперсных систем. Определение состава и структуры поверхностных слоев

Специфика оптических свойств объектов коллоидной химии определяется их основными признаками: гетерогенностью и дисперсностью. Гетерогенность, или наличие межфазной поверхности, обуславливает изменение направления световых, электронных, ионных и других лучей на границе раздела фаз (отражение, преломление) и неодинаковое поглощение (пропускание) этих лучей сопряженными фазами. Дисперсные системы обладают фазовой и соответственно оптической неоднородностью. Лучи, направленные на микрогетерогенные и грубодисперсные системы, падают на поверхность частиц, отражаются и преломляются под разными углами, что обуславливает выход лучей из системы в разных направлениях. Прямому прохождению лучей через дисперсную систему препятствует также их многократные отражения и преломления при переходах от частицы к частице. Очевидно, что даже при отсутствии поглощения интенсивность лучей, выходящих из дисперсной системы, будет меньше первоначальной. Степень снижения интенсивности выходящих из системы лучей в направлении их падения тем выше, чем больше неоднородность и объем системы, выше дисперсность и концентрация дисперсной фазы. Увеличение дисперсности приводит к дифракционному рассеянию лучей (опалесценции).

Большинство указанных явлений подробно рассматриваются в курсе физики. В курсе коллоидной химии более детально излагаются некоторые специфические явления, такие, как рассеяние лучей, двойное лучепреломление и др. В то же время все перечисленные оптические свойства объектов коллоидной химии широко используются для их исследования оптическими методами.

Оптические методы принадлежат к самым распространенным методам исследования состава и структуры веществ и материалов. В коллоидной химии изучают состав и структуру не только (или не столько) отдельных фаз, но и в первую очередь межфазных поверхностных слоев и структуру дисперсных систем: определяют дисперсность системы (площадь поверхности), форму и строение элементов структуры (отдельных частиц), пористость, профиль поверхности, толщину слоев, их состав и при-

роду сил взаимодействующих компонентов при адсорбции и адгезии, структуру слоев и ее дефекты, механические, электрические и другие свойства. Большинство названных параметров и свойств дисперсных систем и поверхностных слоев могут быть определены с помощью оптических методов.

Для исследования состава поверхностных слоев, определения функциональных групп на поверхности, межатомных и межмолекулярных связей широко используются традиционные оптические методы: спектроскопия (инфракрасная, ультрафиолетовая, комбинационного рассеяния), рентгенография, электронография и др. Применение этих методов для исследований дисперсных систем отличается специфическими способами приготовления испытуемых образцов, поскольку информация должна поступать от очень тонких слоев, толщиной порядка нескольких моноатомных или мономолекулярных слоев. Указанные методы исследования достаточно подробно излагаются в курсах физики и физической химии.

Следует отметить, что в последние годы особое развитие получили работы в области исследования твердой поверхности. Это связано как с огромным значением явлений, протекающих в поверхностных слоях, для катализа, коррозии, адгезии, трения и других практически важных процессов, так и с развитием электроники (микроэлектронные устройства, микроминиатюризация).

Потребности производства вызвали разработку и внедрение новых методов исследования: качественного и количественного анализа поверхностных слоев. Развитие получили методы, основанные на зондирующем воздействии на образец потоков фотонов, электронов, ионов, нейтральных частиц, электрического и магнитного полей и др. Все эти излучения (кроме магнитного поля) вызывают эмиссию вторичных частиц: электронов, ионов, фотонов или нейтральных атомов, передающих информацию о поверхности соответствующему детектору. Очевидно, что анализы проводятся в вакууме, поэтому указанные методы применимы только для анализа твердых поверхностей. Большинство из этих методов имеет разрешение по глубине не более 10 нм.

Методы анализа поверхности классифицируют в соответствии с природой зондирующего воздействия и эмиттируемых частиц. Анализ последних позволяет получать информацию о природе молекул и атомов, находящихся на поверхности, их пространственном и энергетическом распределении и количестве, что используется для установления состава, прочности связей и взаимного расположения атомов на поверхности. Существенным недостатком этих методов является их разрушающее действие на образец, который раскаляется в ходе исследования.

Наибольшее распространение получили вторично-ионная масс-спектрометрия (поток ионов вызывает эмиссию ионов),

электронная оже-спектроскопия (поток электронов вызывает эмиссию электронов), полевая ионная микроскопия (ионизация и испарение атомов поверхности под действием электрического поля) и др. Теория и применение этих методов, интерпретация получаемой информации обсуждаются в специальной литературе.

Значительно меньше оптических методов, предназначенных для исследования поверхностных слоев на границе с жидкостью, что в первую очередь связано с невозможностью сохранения жидкого состояния в условиях высокого вакуума. Одним из информативных методов исследования адсорбционных слоев и пленок является, например, метод многократного нарушенного полного внутреннего отражения. Спектры внутреннего отражения позволяют определить величину адсорбции, толщину слоя, его анизотропию и установить закономерности их изменения.

В курсе коллоидной химии принято рассматривать только те оптические методы, которые используются в дисперсионном анализе (анализе дисперсности) для определения размера и формы частиц, удельной поверхности, концентрации дисперсной фазы. К этим методам относятся световая и электронная микроскопия, методы, основанные на рассеянии лучей, двойном лучепреломлении и др.

2. Световая и электронная микроскопия

Визуальный дисперсионный анализ проводится только при исследовании чрезвычайно грубодисперсных систем, как, например, при классификации щебня по размерам. С помощью кронциркуля и других измерительных приспособлений можно измерять размеры частиц, которые составляют не менее 5 мм. В то же время световой микроскоп позволяет исследовать частицы размером не более 0,5 мм. Таким образом, пределы дисперсности, измеряемой визуально и с применением оптических методов, не перекрываются. Для исследования промежуточной области дисперсности (от $\approx 0,5$ до 5,0 мм) приходится обращаться к другим методам. Например, для анализа порошков используют ситовой анализ. Иногда можно применять обычную лупу, дающую увеличение примерно до 20 \times . Из всех оптических методов только световая и электронная микроскопия позволяет исследовать наиболее широкий круг дисперсных систем как по дисперсности, так и по агрегатному состоянию фаз.

Разрешающая способность световой микроскопии определяется уравнением:

$$d = \frac{k\lambda}{n \sin \alpha} \quad (V.1)$$

где d — разрешение микроскопа; λ — длина волны света; n — коэффициент преломления среды, в которой находится линза объектива; α — половина угла

апертуры (угла между крайними лучами светового конуса, попадающего в оптический прибор) при заданном расстоянии между осветителем и объективом; k — постоянная, определяемая условиями освещения.

В соответствии с уравнением (V.1) при исследовании образцов, частицы которых имеют размеры $< 0,5$ мкм, их необходимо освещать лучами с более короткими длинами волн, чем у световых лучей. Вторая возможность увеличения разрешающей способности световых микроскопов — использование оптической системы с большой численной апертурой (произведение $n \sin \alpha$). Чтобы увеличить апертуру, пространство между объективом и объектом заполняют средой с большим коэффициентом преломления (часто применяют кедровое масло). Применение ультрафиолетового света и изменение апертуры позволяют снизить нижний предел разрешающей способности микроскопа до 100 нм и менее.

Принципиальная оптическая схема светового микроскопа представлена на рис. V.1а. Обычный световой микроскоп представляет собой двухступенчатый оптический увеличитель. В нем имеется система линз, называемая объективом 4, которая проектирует увеличенное изображение объекта 3. Промежуточное изображение 5 увеличивается другой системой линз — окуляром 6, через который ведет наблюдение исследователь. Объектив и окуляр размещены в тубусе микроскопа на одной оптической оси. Для устранения нежелательных дифракционных эффектов и обеспечения должной разрешающей способности предназначена система линз конденсора 2, с помощью которой световой поток от лампы 1 концентрируется в плоскости исследуемого объекта.

Конечное изображение 7 фиксируется на фотопластинке 8.

Методы световой микроскопии классифицируют по способам освещения объектов исследования. Освещение в проходящем свете применяется при рассмотрении деталей тонких объек-

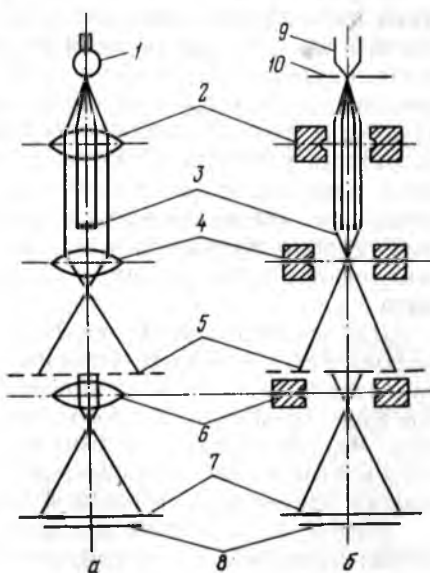


Рис. V.1. Схема хода лучей в световом (а) и электронном (б) микроскопах:

1 — источник света; 2 — конденсорные линзы; 3 — исследуемый объект; 4 — линзы объектива; 5 — промежуточное изображение; 6 — проекционные линзы (окуляр); 7 — конечное изображение; 8 — фотопластинки; 9 и 10 — катод и анод электронной пушки

тов, которые должны быть или окрашенными, или если они не поглощают света, отличаться по показателю преломления от той среды, в которую помещены, хотя бы на 0,1. Для исследования многих объектов лучше применять микроскопию с использованием падающего света (в отраженном свете). Для исследования непрозрачных объектов это единственно возможный метод. Боквое освещение является особенностью ультрамикроскопических методов, основанных на рассеянии света. Рассеяние света — явление, специфичное для ультрамикрорегетерогенных систем; оно рассматривается в последующих разделах.

С помощью световой микроскопии проводят дисперсионный анализ порошков, суспензий, определяют линейные размеры зерен, кристаллов, пор, трещин в твердых материалах (в дисперсных системах «твердое в твердом»).

При микроскопическом исследовании в проходящем свете применяют иммерсионные препараты или тонкие прозрачные шлифы материала, а в отраженном свете — полированные шлифы. Для приготовления иммерсионного препарата пробу порошка или суспензии помещают между предметным и покровным стеклами и под покровное стекло вводят каплю иммерсионной жидкости, которая смачивает порошок. Прозрачный шлиф представляет собой тонкий слой материала (0,015—0,03 мм), который клеивают с помощью пихтового бальзама между предметным и покровным стеклами. Полированные шлифы — это пластинки материала (≈ 2 —20 мм), одна плоскость которых тщательно отполирована.

Определение размеров частиц с помощью микроскопа можно проводить прямым измерением, методом сравнения, методом счета и др. Для проведения прямого измерения обычно пользуются окуляр-микрометром. Он представляет собой круглую стеклянную пластинку, на которой нанесена шкала с делениями. Наиболее точные окуляр-микрометры имеют интервал между штрихами в 50 мкм. При абсолютных измерениях окуляр-микрометр предварительно калибруют относительно применяемых оптических линз и для каждой длины тубуса микроскопа. Измерения удобно проводить и по фотографиям, полученным путем микрофотографирования и фотоувеличения изображения объекта.

Для дисперсионного анализа порошков и суспензий широко используется полуколичественный метод сравнения. На предметное стекло наносят контрольный образец с известным размером частиц, затем на него помещают препарат исследуемой суспензии. Частицы образцов должны находиться в одной оптической плоскости. Анализ дисперсности сводится к определению отношения размеров контрольной и исследуемой частиц.

Метод счета обычно применяется в том случае, если частицы очень малы и точно определить их размеры не представляется

возможным. Метод состоит в подсчете числа частиц n при известной их общей массе m в пробе и плотности вещества частиц ρ . Допускается, что частицы имеют форму сферическую (радиусом r) или кубическую (с размером ребра l). Расчет проводят, исходя из уравнений

$$n = \frac{4}{3}\pi r^3 \rho n \quad \text{или} \quad r = \sqrt[3]{\frac{3m}{4\pi n \rho}}$$

$$n = l^3 \rho n \quad \text{или} \quad l = \sqrt[3]{\frac{m}{n \rho}}$$
(V.2)

При микроскопическом анализе к препарату порошка или суспензии предъявляются следующие требования: 1) он не должен содержать такое большое число частиц, чтобы контуры их изображения накладывались; 2) в препарате должно быть достаточно частиц, чтобы проба была представительной, т. е. в полной мере отражала состав исследуемой системы; 3) частицы должны находиться в одной оптической плоскости; 4) при приготовлении препарата не следует допускать седиментационного разделения системы, в противном случае проба не будет представительной.

Для дисперсионного анализа широко используется электронная микроскопия. Ее теоретические основы во многом сходны с теорией световой микроскопии. Как показывает уравнение (V.1), увеличение разрешающей способности микроскопа можно обеспечить уменьшением длины волны лучей, освещающих образец. Для достижения наибольшей разрешающей способности вместо световых лучей в электронном микроскопе используют поток электронов. Длина волны движущейся частицы по де Бройлю составляет

$$\lambda = h/(mv) \quad (V.3)$$

где h — постоянная Планка; m — масса частицы; v — скорость движения частицы.

Для электронов, движущихся ускоренно под действием разности потенциалов U , длина волны (в нм) определяется соотношением:

$$\lambda \approx 1,23/U^{1/2} \quad (V.4)$$

Так, при разности потенциалов 50 кВ (что обычно применяется на практике) длина волны электронов соответствует $0,54 \cdot 10^{-2}$ нм. Теоретически достижимое оптимальное разрешение электронного микроскопа составляет примерно 0,5—1,0 нм. В практической электронной микроскопии достигают разрешения порядка 5,0—10,0 нм, которое рассматривают как удовлетворительное среднее значение. Обычно увеличение составляет от 5000 до 50 000 диаметров образца, а последующее оптическое

фотоувеличение равно от 5 до 10. Человеческий глаз в среднем может легко различить длину 0,2—0,5 мм, поэтому детали размером порядка 5,0 нм можно рассмотреть на качественной электронной микрофотографии с увеличением примерно 200 000.

Устройство электронного микроскопа (рис. V.16) в основном аналогично устройству обычного светового микроскопа. В электронном микроскопе вместо оптических проекционных линз (окуляра), оптического конденсора, объектива светового микроскопа применяются специальные электростатические или электромагнитные проекционные линзы 6, конденсоры 2 и объективы 4. В качестве источника электронов используется электронная пушка, дающая пучок электронов, ускоряемых электростатическим полем с разностью потенциалов от 30 до 100 кВ.

Поскольку электроны даже при сообщенной им энергии могут пройти в воздухе при нормальном давлении расстояние всего лишь 0,2 мм, в электронном микроскопе поддерживается высокий вакуум (остаточное давление должно быть менее $1 \cdot 10^{-3}$ Па).

Наиболее широкое распространение получила просвечивающая электронная микроскопия. Поток электронов, попадая на образец, частично поглощается им в зависимости от природы, плотности и толщины исследуемого образца, а затем полученное электронное «изображение» проходит две ступени увеличения и проецируется на флюоресцирующем экране либо регистрируется на фотопластинке.

Для получения качественного изображения применяют образцы очень малой толщины, которые наносят на тонкие подложки из аморфного материала. Увеличение толщины образца не только ухудшает качество фотографии, но и может привести к его термодеструкции. Очень часто наблюдают не сами объекты, а пользуются репликами (пленки-отпечатки). Метод реплик является косвенным методом изучения микрорельефа поверхности. В качестве материала для реплик используют формвар, вещества типа коллодия и оксид SiO_2 (SiO), конденсированный в высоком вакууме из паровой фазы. Для усиления контрастности изображения обычно проводят оттенение реплик — напыление на них слоя тяжелых металлов (уран, палладий, золото, хром, никель). Напыление проводят путем возгонки металла при высоком вакууме; на реплику наносят два — три атомных слоя.

При определении формы и размеров частиц (от 5 до 500 нм) получают ряд фотографий, регистрирующих несколько сотен частиц. С помощью измерительного оптического микроскопа по этим фотографиям определяют размеры частиц. Затем строят гистограммы и, используя методы математической статистики, определяют основные параметры распределения частиц по размерам. Разработаны различные автоматические и полуавтоматические приспособления, позволяющие измерять размеры час-

тиц на фотографии и сразу получать информацию о гистограмме на печатающем устройстве. Применение ЭВМ совместно с устройством, определяющим размеры частиц, дает возможность получить сведения непосредственно о типе распределения и его числовых характеристиках.

Существенный недостаток электронной микроскопии состоит в том, что образец нельзя наблюдать в динамических условиях, он должен высохнуть или вообще оставить только отпечаток на реплике. Поэтому по возможности следует применять и электронную, и световую микроскопию, которые дополняют друг друга. Например, рост кристалликов новой фазы можно наблюдать в световой микроскопии, а тонкие детали их поверхности можно исследовать с помощью электронного микроскопа.

В. РАССЕЯНИЕ СВЕТА УЛЬТРАМИКРОГЕТЕРОГЕННЫМИ СИСТЕМАМИ И МЕТОДЫ ИССЛЕДОВАНИЯ, ОСНОВАННЫЕ НА РАССЕЯНИИ СВЕТА

1. Явление рассеяния света

Явление рассеяния света коллоидными системами наблюдал еще Фарадей (1857 г.), исследовавший золи золота. Подробно это явление было описано Тиндалем в 1868 г. В проходящем свете золи не отличаются от истинных растворов, они ведут себя как прозрачные тела. Тиндаль установил, что светорассеяние удобно наблюдать на темном фоне при пропускании пучка лучей через золь сбоку. Особенно четко оно заметно при фокусировании световых лучей внутри коллоидной системы, когда наблюдается светящийся конус (конус Тиндаля). Это явление часто называют эффектом Тиндаля.

В дальнейшем было установлено, что светорассеяние не является особым свойством гетерогенно-дисперсных систем. Оно характерно также для газов, чистых жидкостей и истинных растворов. Рассеяние света в этих системах обусловлено флуктуациями плотности и концентрации — непрерывным возникновением и исчезновением ассоциатов. В совершенно однородной среде свет не должен рассеиваться. В соответствии с принципом Гюйгенса каждую точку среды, до которой дошел фронт волны, можно рассматривать как новый источник колебаний. Вторичные колебания усиливают друг друга в направлении распространения волны и гасятся в других направлениях. Рассматривая таким образом распространение волнового фронта, можно заключить, что в однородной изотропной среде он всегда остается геометрически подобным себе, например, плоская волна будет оставаться плоской. Если же на пути распространения плоской волны появляется локальная неоднородность (с другим показателем преломления), то каждая точка неоднородности станет

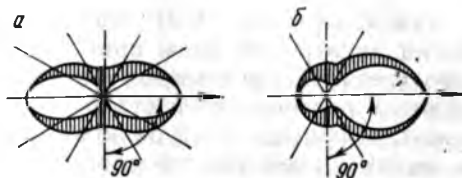
самостоятельным центром колебаний. Возникает фронт волны, направление которого зависит от размера неоднородности. Если размер неоднородности значительно больше длины световой волны, то в основном наблюдается отражение света по соответствующим законам. При размере неоднородности меньшей длины волны колебания рассеиваются по всем направлениям. В этом случае колебания, исходящие от каждой точки неоднородности, не имеют определенных разностей фаз и более или менее усиливают друг друга во всех направлениях. Так возникает рассеяние света. Рассеяние возможно только тогда, если неоднородности находятся на расстояниях друг от друга больших, чем длина волны. Сами же неоднородности должны иметь размеры меньше длины волны.

Теория светорассеяния (опалесценции) для сферических, непоглощающих света частиц была разработана английским физиком Рэлеем. В дисперсной системе в качестве неоднородности выступает частица дисперсной фазы. Под влиянием электромагнитного поля волны падающего света электроны в рассеивающей частице начинают совершать вынужденные колебания, в результате чего происходит излучение света во всех направлениях. Если частица мала по сравнению с длиной световой волны, то совокупность колебаний в ней может быть заменена колебанием одного электрического диполя. Наведенный диполь излучает колебания с частотой, равной частоте волны падающего света. Таким образом, частота рассеянного света совпадает с частотой падающего света. Индуцированный диполь равен произведению поляризуемости частицы α на напряженность электрического поля E ($P = \alpha E$). Эти величины и определяют интенсивность рассеянного света. Поляризуемость частицы зависит от соотношения между показателями преломления дисперсной фазы n и дисперсионной среды n_0 , а также пропорциональна объему частицы v . Интенсивность рассеяния света пропорциональна квадрату поляризуемости частицы и соответственно квадрату объема частицы или шестой степени ее радиуса. Поэтому с ростом размера частиц рассеяние света сильно увеличивается.

Напряженность электрического поля отражает энергию падающего светового потока. В соответствии с теорией электромагнитного поля интенсивность света (плотность потока энергии) пропорциональна квадрату амплитуды волны, излучаемой электрическим диполем. В свою очередь амплитуда волны пропорциональна квадрату частоты колебаний диполя. Таким образом, интенсивность рассеянного света пропорциональна частоте колебаний диполя в четвертой степени или обратно пропорциональна длине волны в четвертой степени λ^4 . Отсюда вытекает, что лучи с меньшей длиной волны сильнее рассеиваются. При рассеянии белого света дисперсной системой с мелкими частицами рассеянный свет оказывается голубым, а проходящий —

Рис. V.2. Диаграммы Ми, иллюстрирующие рассеяние света малой (а) и крупной (б) частицами

Стрелки означают направление потока падающего света



красноватым, так как синие лучи имеют длину волны меньше, чем красные.

Если падающий свет не поляризован, то интенсивность рассеянного света в направлении, составляющем угол θ с направлением потока падающего света, пропорциональна величине $(1 + \cos^2 \theta)$. В плоскости этого направления интенсивность рассеяния света во все стороны одинакова. Зависимость интенсивности рассеянного света от угла рассеяния для естественного света представлена на рис. V.2а в виде векторных диаграмм, предложенных ученым Ми. Рассеянный свет является частично поляризованным. Внутренняя незаштрихованная часть диаграммы Ми представляет собой неполяризованную часть рассеянного света, заштрихованная область — поляризованная часть света. Как видно из диаграммы, рассеянный свет не поляризован в направлении падающего луча и полностью поляризован в направлении, перпендикулярном к нему ($\theta = 90^\circ$).

Согласно теории, развитой Рэлеем, предполагается, что сферические частицы в дисперсной системе находятся настолько далеко друг от друга, что можно пренебречь вторичным рассеянием, и поэтому интенсивность рассеянного света пропорциональна числу частиц в единице объема, или частичной концентрации дисперсной системы ν . Формула Рэля для интенсивности света I_p , рассеянного единицей объема дисперсной системы со сферическими частицами, значительно меньшими длины волны падающего света (не более $0,1\lambda$), на расстоянии R от частиц в направлении, составляющем угол θ с направлением падающих лучей, имеет вид

$$I_p = I_0 \left[F \frac{\nu v^3}{\lambda^4 R^2} (1 + \cos^2 \theta) \right] \quad (V.5)$$

где I_0 — интенсивность падающего света.

Функция от показателей преломления F определяется соотношением

$$F = 24\pi^3 \left(\frac{n_1^2 - n_0^2}{n_1^2 + 2n_0^2} \right)^2 \quad (V.6)$$

Из соотношения (V.6) следует, что рассеяние может отсутствовать и в неоднородной среде, если показатели преломления дисперсной фазы и дисперсионной среды одинаковы.

Закономерность (V.5) перестает выполняться, если размеры частиц дисперсной фазы приближаются к длине волны падающего света. С увеличением размера частиц зависимость интенсивности рассеянного света от длины волны становится менее резкой, например, если размеры частиц несколько больше длины волны, интенсивность рассеянного света обратно пропорциональна квадрату длины волны. Это объясняет тот факт, что при падающем естественном свете рассеянный свет от дисперсных систем с мелкими частицами имеет голубой оттенок, а от систем с крупными частицами — белый.

Закон обратной пропорциональной зависимости интенсивности рассеянного света от четвертой степени длины волны не выполняется для дисперсных систем с частицами, поглощающими свет. Селективно поглощают свет, например, металлические частицы, что обуславливает, кроме того, сложную зависимость цвета прошедшего света от размеров частиц.

С ростом размера частиц изменяются и закономерности поляризации света (рис. V.26). Степень поляризации света, рассеянного крупными частицами, зависит от их размеров и формы. Интенсивность рассеяния света перестает быть симметричной по направлениям лучей. Для крупных сферических частиц она больше в направлении падающего потока по сравнению с обратным направлением (см. рис. V.26).

Как уже отмечалось, рассеяние света наблюдается и в однородных системах — газах и жидкостях вследствие флуктуаций плотности, которые были приняты во внимание М. Смолуховским и Л. И. Мандельштамом. Такое рассеяние обычно называют молекулярным в связи с тем, что флуктуации плотности обусловлены тепловым движением. Молекулярное рассеяние проявляется очень слабо, интенсивность рассеянного света составляет около 10^{-6} — 10^{-7} часть от интенсивности падающего света. Его особенностью является зависимость интенсивности от температуры, с повышением которой флуктуации плотности усиливаются. Молекулярным рассеянием объясняется голубой цвет неба (рассеянный свет) и его красный цвет, когда солнце находится низко над горизонтом, а его лучи проходят большой слой рассеивающей среды (проходящий свет).

Особенно благоприятные условия для возникновения значительных флуктуаций плотности создаются вблизи критического состояния вещества. Появление интенсивного рассеяния света известно под названием критической опалесценции. Резкое возрастание интенсивности молекулярного рассеяния наблюдается в растворах при критической температуре смешения, когда возникают сильные флуктуации концентраций.

К основным методам исследования дисперсных систем, использующим явление рассеяния света, принадлежат ультрамикроскопия, турбидиметрия и нефелометрия.

2. Ультрамикроскопия

Ультрамикроскопия отличается от обычной микроскопии тем, что исследуемый объект, в частности, дисперсная система, освещается сбоку мощным потоком света. Наблюдают рассеянный свет частицами, взвешенными в среде с иным показателем преломления. По существу образуется как бы конус Тиндаля от каждой частицы. Так как интенсивность падающего света значительно выше интенсивности рассеянных лучей, то главным условием возможности наблюдения в микроскопе частиц является отсутствие распространения падающего света в направлении рассеянных лучей. Частицы кажутся светящимися точками на темном фоне, даже если их диаметр намного меньше разрешающей силы объектива микроскопа. Кажущийся диаметр частицы равен сумме ее действительного диаметра и разрешающей силы микроскопа (V.1). Применение ультрамикроскопа позволяет наблюдать движение частиц, подсчитывать их число и определять размер частиц диаметром до 2—3 нм.

Чувствительность ультрамикроскопии очень сильно зависит от интенсивности падающего света (освещенности поверхности частиц) и от длины волны, но возможные интервалы этих параметров ограничены другими факторами, не имеющими отношения к оптике (например, опасностью сильного нагревания и разложения образцов).

Ультрамикроскоп был сконструирован в 1903 г. австрийскими учеными Зидентопфом и Зигмонди, и с этих пор стало возможным исследовать ультрамикрогетерогенные (диаметр частиц меньше 100 нм) системы. Значение этого события для развития коллоидной химии и всей науки в целом огромно. Так, основополагающие в коллоидной химии работы Перрена и Сведберга были выполнены ими с использованием ультрамикроскопии.

Ультрамикроскопия может быть использована для исследования любых дисперсных систем независимо от агрегатного состояния фаз. В этой связи интересно отметить, что внешним поводом для открытия ультрамикроскопии явилось исследование рубиновых стекол, которое проводили Зидентопф и Зигмонди.

Наиболее простым является щелевой ультрамикроскоп, схема которого представлена на рис. V.3. В более совершенных приборах применяются специальные приспособления для освещения объектов исследования. Например, вместо щелевой диафрагмы, которая недостаточно использует источник света и направляет его лучи на объект только с одной стороны (из-за чего искажается форма частицы), широкое применение нашли конденсоры темного поля, устанавливаемые в простом микроскопе для создания бокового освещения.

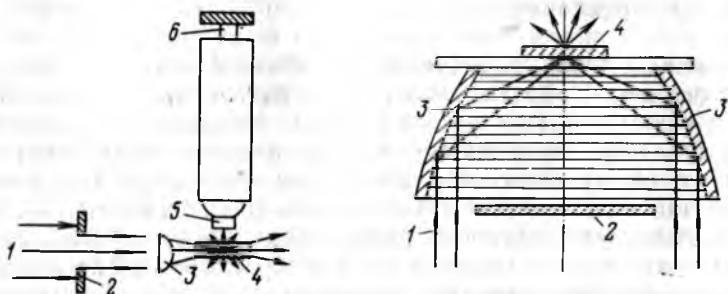


Рис. V.3. Схема хода лучей в щелевом ультрамикроскопе:

1 — световой поток; 2 — щелевая диафрагма; 3 — фокусирующая линза; 4 — кювета с исследуемым золе; 5 — объектив; 6 — окуляр

Рис. V.4. Схема хода лучей в конденсоре темного поля:

1 — световой поток; 2 — центральная диафрагма; 3 — плоско-выпуклые линзы; 4 — кювета с исследуемым золе

Один из вариантов конденсоров темного поля представлен на рис. V.4. Центральная диафрагма 2 препятствует прямому падению света на объект 4. Проходящие боковые лучи 1 отражаются от поверхностей плоско-выпуклых линз 3, выпуклая поверхность которых представляет собой параболоид вращения. Лучи фокусируются на поверхности предметного стекла. При такой конструкции конденсора увеличивается не только интенсивность освещения частиц, но и площадь ее освещенной поверхности, что дает возможность наблюдать форму частиц. Частицы неправильной формы (анизометрические) мерцают, так как при их вращении в процессе теплового движения в глаз наблюдателя поступает разное количество рассеянного света. Это обусловлено тем, что рассеяние света наиболее интенсивно в направлении падающих лучей, совпадающем с длиной вытянутой частицы. Во всех остальных направлениях светорассеяние гораздо слабее. Когда частицы, находящиеся в беспорядочном тепловом движении, случайно располагаются перпендикулярно к падающему лучу, яркость их свечения резко увеличивается, т. е. происходит как бы их вспыхивание. Такая вспышка отчетливо видна при наблюдении поведения достаточно «состарившихся» зольей пятиоксида ванадия, оксида железа и др. Это явление очень хорошо наблюдается в кардиод-конденсоре с азимутной диафрагмой, позволяющей изменять направление падающего луча.

Определив с помощью микроскопа число частиц в пробе, по формулам (V.2) легко рассчитать их размер, предположив сферическую или кубическую форму частиц. Для этого необходимо знать общую массу частиц в пробе и их плотность. При известных массовых s и частичных v концентрациях уравнения (V.2),

можно представить в следующем виде:

$$r = \sqrt[3]{3c/(4\pi\nu\rho)} \quad \text{и} \quad l = \sqrt[3]{c/(\nu\rho)} \quad (\text{V.7})$$

где l — размер ребра кубиков, за которые приняты частицы.

Размер частиц можно рассчитать по измеренному расстоянию x между ними. Если принять частицы за кубики объемом l^3 , а пустоты между частицами за параллелепипеды объемом l^2x , то размер частиц будет равен

$$l = cx/(\rho - c) \quad (\text{V.8})$$

Расстояние между частицами определяют с помощью окуляр-микрометра.

Ранее только опытные исследователи могли получать удовлетворительные результаты при ультрамикроскопических исследованиях, что было связано с большими трудностями определения параметров, входящих в расчетные формулы. Например, достаточно сложная операция — определение объема образца. Не менее сложен и очень утомителен подсчет частиц. Чтобы получить удовлетворительные результаты, исследователям приходилось выполнять сотни и тысячи отдельных определений.

В настоящее время созданы приборы, довольно сложные по конструкции, автоматически выполняющие практически все операции. Одним из таких приборов, предложенным отечественными учеными Б. В. Дерягиным и Г. Я. Власенко, является поточный ультрамикроскоп. Золь протекает через специальную кювету в направлении оси микроскопа при боковом освещении. Проходя освещенную зону, каждая частица золя дает вспышку, которая регистрируется счетчиком. По различной яркости частиц их можно разделить на фракции и построить кривые распределения.

3. Турбидиметрия

Турбидиметрический метод исследования основан на измерении интенсивности света, прошедшего через дисперсную систему. Интенсивность падающего светового потока ослабляется в результате его рассеяния дисперсной системой. Если принять рассеянный свет за фиктивно поглощенный, то можно получить простое соотношение, аналогичное закону Бугера — Ламберта — Бера для поглощения света молекулярными растворами. Ослабление интенсивности света dI пропорционально интенсивности падающего света I , проходящего через слой исследуемой системы толщиной dx :

$$-dI = \tau I dx \quad (\text{V.9})$$

где τ — коэффициент пропорциональности, характеризующий способность системы рассеивать свет, его называют мутностью.

В результате интегрирования в пределах от I_0 до I и соответственно от $x=0$ до l — толщины слоя системы, получим:

$$\ln(I_0/I_n) = \tau l \quad \text{или} \quad I_n = I_0 e^{-\tau l} \quad (\text{V.10})$$

где I_n — интенсивность света, прошедшего через систему.

При выводе предполагалось, что изменение интенсивности света происходит только за счет рассеяния. Поэтому уравнение (V.10) справедливо для систем, которые не поглощают свет, т. е. для так называемых белых золь. Если золи еще и поглощают свет, то к величине τ необходимо прибавить коэффициент поглощения. Как следует из уравнения (V.10), мутность измеряется в единицах длины в минус первой степени. Ее можно рассматривать как величину, обратную расстоянию, на котором интенсивность света снижается в e раз, т. е. до 37% от первоначального значения. Например, для 1%-ного раствора полимеров это расстояние составляет около 10 м, а для чистых жидкостей — около 1 км.

В соответствии с уравнением (V.10) мутность связана с оптической плотностью D соотношением:

$$\ln(I_0/I_n) = \tau l = 2,3 \lg(I_0/I_n) = 2,3D \quad (\text{V.11})$$

Интенсивность прошедшего света можно представить в виде разности

$$I_n = I_0 - I'_p$$

где I'_p — интенсивность света, рассеянного образцом длиной l .

Разделив на I_0 и логарифмируя, получим:

$$-2,3D = \ln[1 - (I'_p/I_0)] \quad (\text{V.12})$$

Принимая во внимание, что $I'_p \ll I_0$, разлагая в ряд логарифм и пренебрегая бесконечно малыми величинами второго порядка, получим:

$$2,3D \approx I'_p/I_0 = I_p l/I_0 = \tau l \quad (\text{V.13})$$

Из сравнения уравнений (V.13) и (V.11) следует, что мутность выражается отношением интенсивностей рассеянного и падающего света, отнесенным к единице длины образца. Это отношение в соответствии с уравнением Рэлея (V.5) равно:

$$\tau = kcv/\lambda^4 = k'v^2/\lambda^4 \quad (\text{V.14})$$

где k — константа, включающая постоянные параметры в уравнении Рэлея. Подставляя полученное выражение мутности в (V.13), получим:

$$D = k'cvl/\lambda^4 = k''v^2l/\lambda^4 \quad (\text{V.15})$$

При постоянных λ и l уравнение (V.15) можно записать в виде

$$D = k''cv = k''v^2 \quad (\text{V.16})$$

где k'' — константа, не зависящая от c и v .

Более строгий вывод дает следующее выражение вместо соотношения (V.15):

$$D = \lg \frac{I_0}{I_n} = k'' \frac{cd^8}{d^4 + \alpha\lambda^4} \quad (\text{V.17})$$

где d — диаметр частиц; α — константа, зависящая от природы золя.

Если принять во внимание, что уравнение Рэлея справедливо при условии $d \leq 0,1\lambda$, то членом d^4 в знаменателе уравнения (V.17) можно пренебречь, тогда оно переходит в (V.15).

Из формулы (V.16) следует, что оптические плотности двух золь с одинаковыми размерами частиц относятся как частичные концентрации сравниваемых дисперсных систем; при одной и той же объемной концентрации систем оптические плотности относятся как объемы частиц или кубы их диаметров (радиусов):

при $v = \text{const}$

$$D_1/D_2 = v_1/v_2 = c_1/c_2 \quad (\text{V.18})$$

и при $c = \text{const}$

$$D_1/D_2 = v_1/v_2 = d^3_1/d^3_2 \quad (\text{V.19})$$

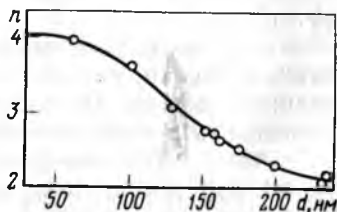
Если дисперсная система содержит частицы, размер которых больше, чем $0,1\lambda$, то помимо увеличения интенсивности рассеяния в направлении падающего света и уменьшения ее в обратном направлении проявляются отклонения от закона Рэлея. Эти отклонения обусловлены другой зависимостью рассеяния света от длины волны и поляризационными явлениями. Они могут быть использованы для оценки размеров частиц. С увеличением размеров частиц интенсивность рассеяния становится обратно пропорциональной длине волны в степени, меньшей, чем четвертая. Поэтому Геллер предложил выразить оптическую плотность и мутность следующими формулами вместо (V.14) и (V.15)

$$D = k\lambda^{-n} \text{ и } \tau = k'\lambda^{-n} \quad (\text{V.20})$$

где k и k' — константы, не зависящие от длины волны.

Зависимости $\lg \tau$ (или $\lg D$) от $\lg \lambda$ в соответствии с уравнениями (V.20) представляют собой прямую, отрицательный тангенс угла наклона которой равен показателю степени n , т. е. 4

Рис. V.5. Зависимость показателя степени при длине волны в уравнении Геллера от диаметра сферических диэлектрических частиц



для рэлеевского рассеяния и меньше четырех для светорассеяния большими частицами. По градуировочному графику (рис. V.5), построенному предварительно, например по результатам электронно-микроскопического исследования, экспериментально определив величину n в соответствии с формулами Геллера, можно найти размер частиц.

Необходимо отметить, что для явления истинного рассеяния показатель степени n не может быть больше четырех, при наличии же истинного поглощения значение n может быть значительно больше.

Преимущество турбидиметрического метода исследования состоит в простоте методики измерений. В качестве турбидиметра — прибора для проведения турбидиметрических измерений можно использовать широко распространенные фотоэлектроколориметры (рис. V.6a), предназначенные для определения оптической плотности окрашенных молекулярных растворов. В основу действия большинства фотоэлектроколориметров положен принцип уравнивания двух сравниваемых световых потоков, проходящих через кюветы с исследуемым и стандартным золями с помощью переменной щелевой диафрагмы.

Точность турбидиметрического метода небольшая, поскольку интенсивность рассеяния (относительно малая величина) определяется по разности двух больших значений интенсивностей падающего и проходящего света. Применение метода ограничивается золями, отличающимися сравнительно высокой мутностью.

4. Нефелометрия

Нефелометрический метод исследования основан на измерении интенсивности света, рассеянного дисперсной системой. Более высокая чувствительность и точность этого метода по сравнению с достигаемой в турбидиметрии позволяют определить не только концентрацию и размер частиц в золях, но и форму частиц, межчастичные взаимодействия и другие свойства дисперсных систем. Эти качества нефелометрии обусловлены непосредственным измерением интенсивности рассеянного света, значения которой малы по сравнению с интенсивностью падающего и проходящего света. В основе нефелометрии лежит уравнение Рэлея (V.5).

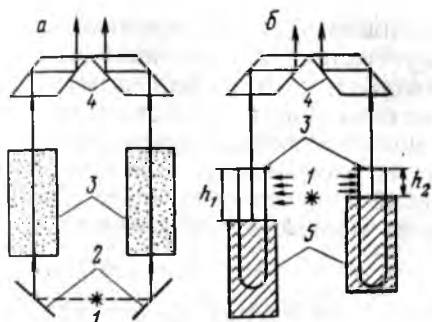
Если необходимо определить только размер частиц и их концентрацию, то достаточно измерить интенсивность света, рассеянного под одним углом, поэтому уравнение Рэлея можно использовать в виде соотношения (V.14), рассмотренного выше:

$$I_p = I_0 k v v^2 / \lambda^4 = I_0 k c v / \lambda^4 \quad \text{или} \quad \tau = k v v^2 / \lambda^4 = k c v / \lambda^4$$

где k — константа, объединяющая все параметры, принимаемые постоянными при измерении, кроме c , v и λ .

Рис. V.6. Принципиальные схемы турбидиметра (а) и нефелометра (б):

1 — источник света; 2 — зеркала; 3 — кюветы с исследуемым золев; 4 — призмы; 5 — подвижные экраны



Из этого соотношения следует, что интенсивность света, рассеянного двумя золями с частицами одинаковой формы и одинаковых размеров, относится между

собой как концентрации частиц определяемого вещества. Если же в сравниваемых золях объемные или массовые концентрации равны, то интенсивности рассеянного света (мутности золей) будут относиться как объемы частиц или кубы их диаметров

при $v = \text{const}$

$$I_{p1}/I_{p2} = \tau_1/\tau_2 = v_1/v_2 \quad (V.21)$$

при $c = \text{const}$

$$I_{p1}/I_{p2} = \tau_1/\tau_2 = v_1/v_2 = d^3_1/d^3_2 \quad (V.22)$$

Таким образом, имея стандартные золи (или градуировочные кривые), легко определить размер частиц и концентрацию исследуемого золя (при постоянной данной длине волны).

Нефелометрия широко применяется для определения молекулярных масс макромолекул. В основе таких измерений лежит соотношение (V.14), приведенное к виду:

$$\tau = \frac{kct}{\lambda^4 \rho} = \frac{kMc}{\lambda^4 N_A \rho} \quad (V.23)$$

где m — масса макромолекулы; M — молекулярная масса полимера; N_A — число Авогадро; ρ — плотность полимера.

Отсюда молекулярную массу для идеальных систем можно определить по уравнению

$$M = \tau / (Hc) \quad (V.24)$$

где $H = k / (N_A \rho)$

Если c принять за массовую концентрацию, то в знаменатель уравнения будет входить плотность в квадрате. Результаты анализа в данном методе могут иметь погрешности, обусловленные взаимодействием между макромолекулами в растворах. Для исключения этих погрешностей при определении молекулярной массы полимеров, мицеллярной массы ПАВ или просто массы частиц осмотически активных золей вместо метода сравнения применяют абсолютный метод Дебая. Интенсивность рассеянного света в этом методе выражают уравнением Эйнштейна, которое получается на основе учета флуктуаций оптической плотности, возникающих при изменении осмотического давления и кон-

центрации. Так как основной причиной изменения интенсивности флуктуации концентраций является изменение осмотического давления, то это дает возможность связать соотношения для рассеяния света и осмотического давления. Используя уравнение осмотического давления до второго вириального коэффициента A_2 , учитывающего взаимодействие частиц с растворителем, Дебай получил следующее соотношение между мутностью раствора полимера, его концентрацией и молекулярной массой:

$$Hc/\tau = 1/M + 2A_2c \quad (V.25)$$

где H — константа Дебая, имеющая тот же физический смысл, что и константа в уравнении (V.24).

Значение константы H в этом уравнении равно

$$H = \frac{32\pi^3 n_0^2 (dn/dc)^2}{3N_A \lambda^4} \quad (V.26)$$

где n и n_0 — показатель преломления раствора и растворителя соответственно.

С помощью прямой, построенной в координатах $Hc/\tau \rightarrow c$ в соответствии с уравнением (V.25), можно определить $1/M$ и A_2 .

Этот метод является абсолютным, не требующим калибровки, так как в константу Дебая H входят либо известные величины λ , N_A , либо измеряемые n и dn/dc . Показатель преломления раствора с достаточной степенью точности можно считать равным показателю преломления растворителя, $n = n_0$. Производная dn/dc должна быть измерена с большой точностью [в уравнение (V.26) входит ее квадрат], что достигается с помощью интерферометра. Метод дисперсионного анализа, основанный на измерении светорассеяния, дает среднее объемное (массовое) значение массы (или размера) частицы.

Этот метод позволяет оценивать также форму и конформации частиц (макромолекул), если их размеры сопоставимы с длиной световой волны. Для этого необходимо измерить значения интенсивности света, рассеянного под разными углами. Основная экспериментальная трудность измерений заключается в очистке исследуемых объектов от пыли, создающей недопустимый фон рассеянного света. Для этой цели обычно используют стеклянные и полимерные фильтры.

Принципиальная схема нефелометра (тиндалиметра) приведена на рис. V.66. Прибор аналогичен фотоэлектроколориметру. Принципиальное отличие состоит в том, что в нефелометре источник света располагается так, чтобы падающий световой поток был направлен под углом к потоку регистрируемого рассеянного света. Для установления абсолютных значений интенсивности света при исследовании формы частиц и межчастичных взаимодействий на дальних расстояниях применяют монохроматический свет (например, излучение ртутной лампы). Кроме

того, в приборе предусмотрена возможность регистрировать интенсивность рассеянного света под разными углами. Прибором для регистрации интенсивности света служит фотоумножитель.

5. Методы, основанные на дифракции рентгеновских лучей и электронов

Явление дифракции лежит в основе рентгенографического и электронографического методов исследования. Рентгеновские лучи имеют ту же природу, что и лучи видимого света. Они отличаются меньшей длиной волн (10^{-3} — 10^{-2} нм). Для рентгенографических исследований обычно применяют лучи с длиной волны от 0,07 до 0,2 нм. Рентгеновские лучи образуются в рентгеновской трубке, в которой электроны, испускаемые катодом и движущиеся с большой скоростью, внезапно тормозятся, попадая на анод. От силы удара электронов об анод, а также от природы вещества анода зависят свойства получающихся рентгеновских лучей.

Рентгеновские методы исследования используются не только для качественного и количественного анализа материалов, определения строения кристаллических решеток, но и выполнения дисперсионного анализа твердых фаз. Методы рентгенографического анализа дисперсности веществ и материалов основаны на использовании явления дифракционного расширения интерференционных максимумов, получающихся при рассеянии рентгеновских лучей частицами ультрамикрорегерогенных систем. В зависимости от структуры просвечиваемых частиц (от степени упорядоченности) различают два типа рассеяния рентгеновских лучей: интерференционное рассеяние и дифракционное рассеяние.

Интерференционное рассеяние объясняется с помощью теории интерференции рентгеновских лучей, рассеянных идеальным кристаллом. Согласно этой теории при попадании рентгеновских лучей с длиной волны λ под углом θ на поверхность кристалла с межплоскостными расстояниями d отражение происходит лишь тогда, если разность хода лучей, отраженных от двух соседних плоскостей кристалла, равна кратному целому числу длинны волны. Это условие выражается формулой дифракции Вульфа — Брэгга

$$n\lambda = 2d \sin \theta \quad (V.27)$$

где n — целое положительное число, называемое порядком отражения.

Известно, что чем больше размеры решетки кристалла при неизменной ее постоянной, тем резче выражены интерференционные максимумы. Подобно этому ограниченность пространственной решетки реального кристалла сказывается на резкости интерференционных максимумов интенсивности рассеянных им рентгеновских лучей. Ввиду того, что длина волны применяемых рентгеновских лучей имеет порядок 0,1 нм, дополнительный эффект дифракционного расширения максимумов начинает заметно проявляться при размерах кристалликов меньше 0,1 мкм, причем в соответствии с формулой Шеррера:

$$D = \frac{C\lambda}{l \cos \theta}$$

т. е. величина дифракционного расширения линии D обратно пропорциональна длине ребра кристаллика l (C — константа). Шеррер впервые экспериментально открыл явление расширения дебаевских линий на кристалликах коллоидного золота. За количественную характеристику ширины линии принимают ширину интерференционных пиков на уровне, соответствующем интенсивности, составляющей половину от максимальной (за вычетом фона). Эту величину называют полушириной линии, или шириной линии по Шерреру.

Методом интерференционного рассеяния определяют концентрацию кри-

сталликов в дисперсных системах и распределение их по размерам. При крупнозернистом строении (>1 мкм) структуры (например, крупнозернистые порошки) на рентгенограмме наблюдаются интерференционные пятна, по размеру которых судят о среднем размере кристалликов, а по их числу определяют концентрацию кристалликов в единице объема. Если кристаллики имеют размеры от 1 до 0,1 мкм, то для определения размера частиц используют явление уменьшения интенсивности отдельных линий на рентгенограмме. Еще меньшие частицы обуславливают слияние интерференционных пятен, поэтому размеры таких частиц определяют по величине расширения линий (V.6). Метод интерференционного рассеяния позволяет оценить также форму кристаллов. Однако этим методом нельзя исследовать системы с частицами аморфной структуры.

Дифракционное рассеяние рентгеновских лучей под малыми углами характерно для ультрамикрорегерогенных систем с частицами аморфной структуры. Природа этого явления аналогична дифракции видимого света малыми экранами и отверстиями, теория которой рассматривалась в начале этого раздела. Отличия состоят не только в размерах частиц и применяемых длин волн, а главное, в условиях, при которых проявляется дифракционное рассеяние. Данный метод применим, если размеры определяемых частиц сравнимы или больше длин рентгеновских лучей. В связи с этим максимум рассеяния приходится на направление, совпадающее с направлением падающих лучей. Размер же области рассеяния, т. е. угол $\theta_{\text{макс}}$, при котором интенсивность рассеянных лучей практически равна нулю, тем меньше, чем больше объем рассеивающей частицы. Эту величину можно оценить по соотношению

$$\theta_{\text{макс}} \approx \lambda/r \quad (\text{V.28})$$

где r — радиус частицы.

Из соотношения (V.28) следует, что дифракционное рассеяние рентгеновских лучей ($\lambda \approx 0,1$ нм) доступно наблюдению, если рассеивающий объем отвечает объему частиц ультрамикрорегерогенных систем. Согласно (V.29) для $r=100$ нм $\theta_{\text{макс}} \approx 3'$ и для $r=10$ нм $\theta_{\text{макс}} \approx 30'$. Логарифм интенсивности рассеянных лучей под малыми углами линейно убывает с увеличением радиуса частиц, угла рассеяния и с уменьшением длины волны рентгеновского излучения согласно соотношению

$$\ln I = K - K'r^2\theta^2/\lambda^2 \quad (\text{V.29})$$

где K и K' — константы.

Преимущество метода малоуглового рассеяния рентгеновских лучей состоит в том, что он применим для исследования обширного класса высокодисперсных систем независимо от структуры их частиц. Определение функции распределения частиц по размерам с помощью данного метода более удобно в экспериментальном и теоретическом отношении, чем по предыдущему методу. Учет влияния различных посторонних факторов в этом методе несравненно проще.

Электроннография основана на дифракции электронов. Так как длины волн электронов находятся в пределах десятых и сотых долей нанометра, то разрешающая способность электроннографического метода достигает тысячных долей нанометра. Таким образом, она существенно дополняет рентгенографический метод исследования.

Электроннография широко используется для определения геометрической структуры молекул, пространственного расположения атомов, валентных углов, межатомных расстояний, электронной плотности между атомами и других структурных параметров. Подобные исследования обычно проводят в газовой фазе вследствие малой проникающей способности электронного пучка в твердом веществе.

Глубина проникновения электронов в твердое вещество не превышает 10 нм, но этого вполне достаточно для исследования строения поверхностных

слоев и очень тонких пленок. С помощью электронографии можно исследовать строение твердых растворов и аморфных фаз, установить фазовый состав и фазовые превращения и т. д.

Электронографические исследования проводят с помощью специальных приборов — электронографов или электронных микроскопов, снабженных приставкой для электронографирования. Образцы готовят так же, как и для электронно-микроскопических исследований, если работают «на просвет»; при работе «на отражение» используют шлифы.

В. ОКРАСКА И ОПТИЧЕСКАЯ АНИЗОТРОПИЯ ДИСПЕРСНЫХ СИСТЕМ

1. Поглощение света и окраска зольей

При обсуждении рассеяния света принималось, что частицы дисперсных систем не поглощают свет. Однако многие коллоидные системы имеют определенную окраску, что указывает на поглощение ими света в соответствующей области спектра. Это значит, что золь кажется окрашенным в цвет, дополнительный поглощенному. Например, поглощая синюю часть (435—480 нм) видимого спектра (400—760 нм), золь оказывается желтым, при поглощении синевато-зеленой части (490—500 нм) он принимает красную окраску. При совместном действии всего видимого спектра на глаз человека возникает восприятие белого цвета, поэтому если лучи всего видимого спектра проходят через прозрачное тело или отражаются от непрозрачного, то прозрачное тело кажется бесцветным, а непрозрачное — белым. Если тело поглощает излучение всего видимого спектра, оно кажется черным.

Золи могут быть бесцветными или же иметь окраску, интенсивность которой изменяется в зависимости от концентрации дисперсной фазы или размера частиц. Например, гидрозоль кремнезема, глинозема, оксида олова бесцветны; они могут только рассеивать свет. Золи сульфида мышьяка имеют желтую окраску различного оттенка, сульфида сурьмы — оранжево-красную, берлинской лазури — синюю.

В проходящем свете золи кажутся гомогенными и очень похожими на истинные растворы. Поэтому поглощение света в них подчиняется закону Бугера — Ламберта — Бера, аналогично поглощению в окрашенных истинных растворах

$$I_n = I_0 e^{-kic} \quad (V.30)$$

где I_n — интенсивность прошедшего через золь света; I_0 — интенсивность падающего света; k — коэффициент поглощения; l_0 — толщина слоя золя; c — концентрация золя.

Коэффициент k учитывает также рассеяние света (мутность системы). Для исследования цветных зольей можно использовать метод, основанный на измерении только рассеяния света, т. е. использовать турбидиметрию. Для этого применяют свето-

фильтры, поглощающие свет в той же области спектра, что и исследуемый золь. Золи подчиняются закону Бугера — Ламберта — Бера при условии, что дисперсность частиц постоянна, а их концентрация достаточно мала (для исключения взаимного влияния частиц).

Золи с металлическими частицами очень сильно поглощают свет, что обусловлено генерацией в частицах электрического тока, большая часть энергии которого превращается в теплоту. Установлено, что для золь металлов характерна селективность поглощения, зависящая от дисперсности. С ростом дисперсности максимум поглощения сдвигается в область коротких волн. Эффект влияния дисперсности связан с изменением как спектра поглощения, так и спектра рассеяния (фиктивного поглощения). Например, золи золота, радиус частиц которых составляет ~ 20 нм, поглощают зеленую часть спектра (~ 530 нм), поэтому они имеют ярко-красную окраску, при радиусе частиц $40\text{--}50$ нм максимум поглощения приходится на желтую часть спектра ($\sim 590\text{--}600$ нм) и такой золь золота кажется синим. Очень высокодисперсный золь золота, поглощая синюю часть спектра ($440\text{--}450$ нм), имеет желтую окраску, как и истинный раствор соли, например хлорида золота AuCl_3 . Кривые световой абсорбции золь серы по мере увеличения дисперсности также постепенно приближаются к кривой абсорбции молекулярных растворов серы. Это подтверждает непрерывность некоторых свойств при переходе от дисперсных систем к истинным растворам.

Как уже отмечалось, с изменением дисперсности золь меняется интенсивность их окраски. Она максимальна при средних размерах частиц ультрамикрорегетерогенных систем и уменьшается как при увеличении, так и при уменьшении дисперсности. Например, наибольшая интенсивность окраски гидрозоль золота соответствует размерам частиц от 20 до 37 нм. Интересно, что золи с металлическими частицами обладают чрезвычайно высокой интенсивностью окраски, превышающей иногда в сотни раз интенсивность окраски некоторых красителей.

Окраска многих минералов и драгоценных камней обусловлена наличием в них высокодисперсных частиц металлов и их оксидов. Например, прозрачным рубиновым стеклам окраску придают коллоидные частицы оксидов золота, железа. Следует отметить, что практически всем краскам и эмалям цвета сообщаются дисперсными пигментами из оксидов и солей металлов (титана, железа, олова, меди и др.).

2. Форма частиц и двойное лучепреломление в потоке

На оптические свойства дисперсных систем существенное влияние оказывает форма частиц. Ранее указывалось, что при рассмотрении дисперсных систем с помощью ультрамикроскопа анизотропия частиц проявляется в их мерцании в лучах падающего на них света.

Совершенно иной характер принимают оптические свойства системы, если каким-либо способом заставить все подобные по форме частицы ориентироваться одинаковым образом. В этом случае появляется возможность определения формы частиц с помощью метода двойного лучепреломления.

Явление двойного лучепреломления впервые было обнаружено в кристаллах. Оно обусловлено анизотропией структуры и, в частности, зависимостью диэлектрической проницаемости ϵ или показателя преломления n ($n = \sqrt{\epsilon}$) от направления в кристалле, и заключается в том, что при прохождении через кристалл световой луч раздваивается. Направление одного из лучей (обыкновенный луч) при выходе из кристалла удовлетворяет обычному закону преломления и лежит в одной плоскости с падающим лучом и нормалью; второй луч (называемый необыкновенным) проходит в кристалле под другим углом. В результате из кристалла выходят два луча, имеющих направления, параллельные первоначальному. Например, при рассматривании точки через кристалл исландского шпата, на котором впервые было обнаружено явление двойного лучепреломления (1670 г.), наблюдается ее раздваивание. Кроме того, обыкновенный и необыкновенный лучи поляризуются во взаимно перпендикулярных плоскостях. Подробное описание двойного лучепреломления в кристаллах можно найти в курсе физики.

Ниже рассмотрено это явление, возникающее при ориентации частиц в дисперсных системах. Причиной ориентации может быть действие электрического, магнитного или акустического полей, а также течение дисперсных систем. В исследованиях дисперсных систем наиболее широко используется явление двойного лучепреломления в потоке (эффект Максвелла). Это явление наблюдается также в жидкостях и растворах, содержащих анизотрические или способные деформироваться молекулы.

Если система находится в покое, то она, как правило, изотропна, поскольку частицы в ней расположены хаотически. Дезориентацию частиц вызывает броуновское движение: частицы движутся не только поступательно, но и непрерывно меняют направление полуосей (вращательная диффузия). При течении системы частица движется поступательно со скоростью движения слоя жидкости, в котором она находится и, кроме того, вращается вокруг своего центра тяжести вследствие того, что она расположена в слоях жидкости, обладающих различными скоростями. Чем полнее гидродинамические силы преодолевают влияние броуновского движения, тем в большей степени достигается ориентация частиц в направлении течения. Эти зависимости позволяют наблюдать явление двойного лучепреломления, соответственно устанавливать изменение степени анизотропности системы и определять форму частиц.

Двойное лучепреломление в потоке может возникать вследствие разных причин. Одной из них может быть оптическая анизотропия частиц дисперсной фазы, в этом случае частицы представляют собой маленькие кристаллики. Двойное лучепреломление может проявляться и в системах с изотропными анизотрическими частицами. В таких системах оно зависит от разности между показателями преломления растворителя и вещества дисперсной фазы. Для растворов полимеров характерно так называемое эластическое двойное лучепреломление. Оно обусловлено тем, что сферическая форма макромолекул, которую они имеют в неподвижном растворе, деформируется при течении в вытянутые эллипсоиды вращения. Сферические клубки макромолекул в спокойном растворе изотропны, так как их звенья расположены беспорядочно. Вытянутые конфигурации обнаруживают анизотропию, так как для них характерна частичная ориентация звеньев макромолекул в направлении растяжения.

Основными параметрами двойного лучепреломления, по которым можно определить форму частиц, являются показатель преломления обыкновенного и необыкновенного лучей n_o и n_e , а также угол χ между направлением колебаний одного из лучей и направлением течения дисперсной системы (рис. V.7) — угол гашения, который характеризует ориентацию частиц.

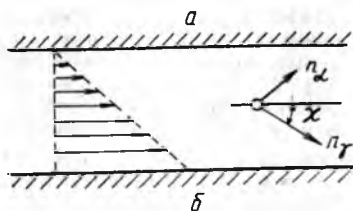


Рис. V.7. Схема определения главных направлений двойного лучепреломления и угла гашения χ при ламинарном течении дисперсной системы между закрепленной (а) и движущейся (б) параллельными стенками.

n_α и n_β — показатель преломления обыкновенного и необыкновенного луча соответственно

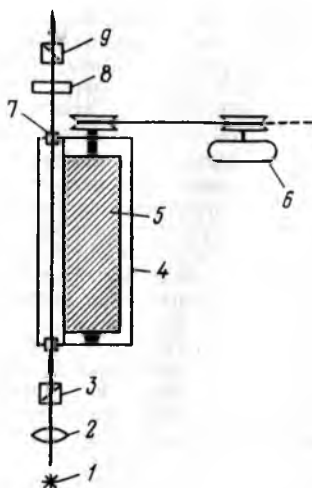


Рис. V.8. Принципиальная схема прибора для определения параметров двойного лучепреломления в потоке:

1 — источник света; 2 — конденсорная линза; 3 — поляризатор; 4 — внешний неподвижный цилиндр; 5 — внутренний подвижный цилиндр; 6 — мотор; 7 — стеклянные окошки; 8 — компенсатор; 9 — анализатор

Для гомогенных жидкостей величина двойного лучепреломления, выражаемая разностью $n_\gamma - n_\alpha$, обычно пропорциональна градиенту скорости течения системы, а угол χ равен 45° и не зависит от градиента скорости. В дисперсных системах двойное лучепреломление может возрастать с увеличением градиента скорости течения медленнее, или быстрее, чем согласно линейной зависимости. Угол гашения χ равен 45° при малых градиентах скоростей течения и уменьшается с увеличением скорости течения, притом тем сильнее, чем длиннее частицы (лучше ориентируются вдоль течения).

Для количественного определения параметров двойного лучепреломления применяется прибор, схема которого представлена на рис. V.8. Жидкую систему помещают в пространство между двумя коаксиальными цилиндрами 4 и 5, один из которых (внешний) неподвижен, а другой (внутренний) вращается с постоянной угловой скоростью. Градиент скорости течения жидкости можно менять в широких пределах, изменяя скорость вращения подвижного цилиндра и подбирая соответствующие радиусы обоих цилиндров.

Луч света, линейно поляризованный поляризатором 3, проходит через слой дисперсной системы параллельно оси вращения. Длина цилиндров определяет длину пути светового потока, проходящего через движущийся в перпендикулярной плоскости слой дисперсной системы, и тем самым величину эффекта двойного лучепреломления. Пройдя слой золя, луч света падает на второе линейно поляризующее приспособление — анализатор 9, например, призму Николя. Анализатор должен быть установлен в таком положении, чтобы направление колебаний пропускаемых им лучей было перпендикулярно направлению колебаний падающего поляризованного света. Если плоскости поляризации обоих поляризующих приспособлений соответствуют направлениям n_γ и n_α , то свет не проходит через анализатор. Таким образом, угол гашения χ измеряют путем взаимного вращения обоих скрещенных поляризующих устройств до положения, при котором освещенность поля зрения минимальна. При неподвижном состоянии дисперсной системы,

находящейся между цилиндрами, поле зрения кажется темным. Двойное лучепреломление, возникающее при вращении внутреннего цилиндра, наблюдают по просветлению поля зрения, которое тем сильнее, чем больше градиент скорости и чем длиннее частицы.

Для измерения величины двойного лучепреломления ($n_\gamma - n_\alpha$) плоскости поляризации обоих поляризующих приспособлений устанавливают под углом 45° к направлениям колебаний n_γ и n_α . В этом случае два поляризованных световых луча, выходящие из золя, имеют взаимно перпендикулярные плоскости колебаний в направлении n_γ и n_α . В результате различных скоростей распространения световых потоков в золе колебания лучей не совпадают по фазе. Разность фаз измеряют, применяя подходящий компенсатор, и по этой разности и по длине пути света в слое золя l вычисляют величину двойного лучепреломления по формуле:

$$n_\gamma - n_\alpha = \frac{\lambda\beta}{180l} \quad (\text{V.31})$$

где λ — длина волны применяемого света; β — угол поворота компенсатора.

Для оценки формы частиц получают зависимость угла гашения от скорости течения дисперсной системы и рассчитывают коэффициент вращательной диффузии θ , характеризующий скорость, с которой ориентация частиц снова становится изотропной. Он подобен коэффициенту поступательной диффузии, его выражение для сферических частиц следует из уравнения (IV.41).

Для вытянутых частиц этот коэффициент связан с отношением длин большой a и малой b их полуосей следующим уравнением

$$\theta = \frac{3k_B T}{16\pi\eta_0 a^3} \left(2 \ln \frac{2a}{b} - 1 \right) \quad (\text{V.32})$$

где η_0 — вязкость растворителя.

Главная полуось вытянутых частиц может быть рассчитана по уравнению (V.32), если отношение осей a/b определено другим методом, например по измерению вязкости. Если известен объем частицы v , то можно воспользоваться соотношением для эллипсоида:

$$v = 4\pi ab^2/3 \quad (\text{V.33})$$

Размеры осей получают при совместном решении уравнений (V.32) и (V.33).

Величина двойного лучепреломления зависит от концентрации дисперсной фазы, которую также можно определить этим методом, используя калибровочные кривые.

VI. АГРЕГАТИВНАЯ УСТОЙЧИВОСТЬ И КОАГУЛЯЦИЯ ДИСПЕРСНЫХ СИСТЕМ

А. МЕХАНИЗМ И КИНЕТИКА САМОПРОИЗВОЛЬНОГО УМЕНЬШЕНИЯ ДИСПЕРСНОСТИ. УСЛОВИЯ ТЕРМОДИНАМИЧЕСКОЙ УСТОЙЧИВОСТИ ДИСПЕРСНЫХ СИСТЕМ

1. Процессы в дисперсных системах, обусловленные агрегативной неустойчивостью. Факторы агрегативной устойчивости

Под устойчивостью дисперсных систем понимают постоянство их свойств во времени и в первую очередь дисперсности, распределения по объему частиц дисперсной фазы и межчастичного взаимодействия. В данном определении имеется в виду устойчивость по отношению к укрупнению или агрегации частиц дисперсной фазы и к их осаждению. Все эти процессы характерны для свободнодисперсных систем, хотя укрупнение частиц в определенных условиях возможно и в связнодисперсных системах.

Проблема устойчивости дисперсных систем является одной из важнейших в коллоидной химии. Она имеет большое значение для протекания многих процессов — природных и осуществляемых в различных промышленных отраслях. Обеспечение устойчивости свободнодисперсных систем необходимо при получении из них различных изделий, покрытий, связующих материалов, лекарственных препаратов, аэрозольных средств и т. д. Ликвидация устойчивости требуется для того, чтобы вызвать структурообразование в материалах, для получения осадков при разделении фаз, очистке промышленных выбросов и др.

По предложению Н. П. Пескова (1920 г.) устойчивость дисперсных систем подразделяют на два вида: устойчивость к осаждению дисперсной фазы и устойчивость к агрегации ее частиц. Первый вид устойчивости, который характеризует способность дисперсной системы сохранять равномерное распределение частиц дисперсной фазы по объему дисперсионной среды, или ее устойчивость к разделению фаз (седиментационная устойчивость), рассмотрен в разд. IV.А, посвященном кинетическим свойствам дисперсных систем. В данном разделе обсуждаются явления и процессы, обусловленные *агрегативной устойчивостью* дисперсных систем.

Прежде всего отметим, что все дисперсные системы в зависимости от механизма процесса их образования по классификации П. А. Ребиндера подразделяют на *лиофильные*, которые по-

лучаются при самопроизвольном диспергировании одной из фаз (самопроизвольное образование гетерогенной свободнодисперсной системы), и *лиофобные*, получающиеся в результате диспергирования и конденсации с пересыщением (принудительное образование гетерогенной свободнодисперсной системы).

Лиофобные системы по определению должны обладать избытком поверхностной энергии, если последняя не скомпенсирована введением стабилизаторов. Поэтому в них самопроизвольно идут процессы укрупнения частиц, т. е. происходит снижение поверхностной энергии за счет уменьшения удельной поверхности. Такие системы называют *агрегативно неустойчивыми*.

Укрупнение частиц может идти двумя путями. Один из них, называемый изотермической перегонкой, заключается в переносе вещества от мелких частиц к крупным, так как химический потенциал последних меньше (эффект Кельвина). В результате мелкие частицы постепенно растворяются (испаряются), а крупные — растут. Второй путь, наиболее характерный и общий для дисперсных систем, представляет собой *коагуляцию* (от лат. свертывание, затверждение), заключающуюся в слипании и слиянии частиц. В общем смысле под коагуляцией понимают потерю агрегативной устойчивости дисперсной системой.

Коагуляция в разбавленных системах приводит к потере седиментационной устойчивости и в конечном итоге к расслоению (разделению) фаз. К процессу коагуляции относят адгезионное взаимодействие частиц дисперсной фазы с макроповерхностями (адагуляция). В более узком смысле коагуляцией называют слипание частиц, процесс слияния частиц получил название *коалесценции*. В концентрированных системах коагуляция может проявляться в образовании объемной структуры, в которой равномерно распределена дисперсионная среда. В соответствии с двумя разными результатами коагуляции различаются и методы наблюдения и фиксирования этого процесса. Укрупнение частиц ведет, например, к увеличению мутности раствора, уменьшению осмотического давления. Структурообразование изменяет реологические свойства системы, например, возрастает вязкость, замедляется ее течение.

Чтобы нагляднее представить основные процессы, которые могут происходить в дисперсных системах, на рис. VI.1 показана схема переходов дисперсных систем в разные состояния. Устойчивая свободнодисперсная система, в которой дисперсная фаза равномерно распределена по всему объему, может образоваться в результате конденсации из истинного раствора. Потеря агрегативной устойчивости приводит к коагуляции, первый этап которой состоит в сближении частиц дисперсной фазы и взаимной их фиксации на небольших расстояниях друг от друга. Между частицами остаются прослойки среды. В результате образуются или флоккулы (*флокуляция* — образование агрегатов из

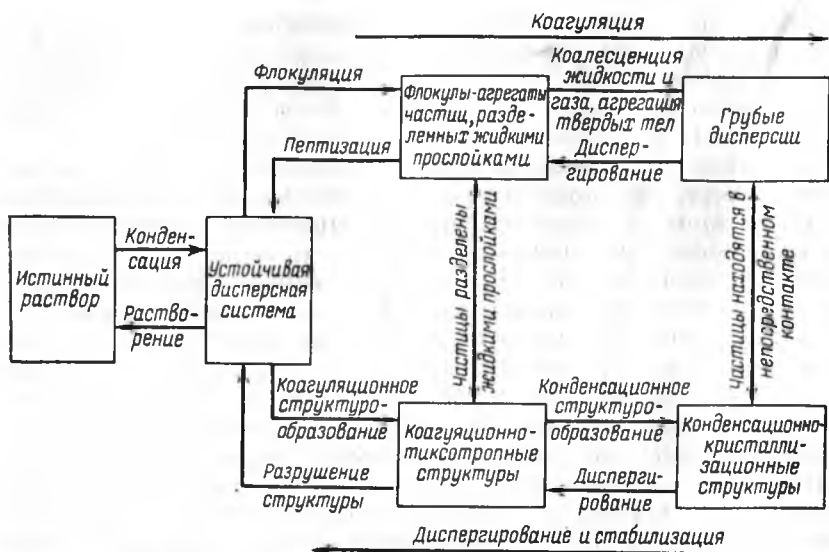


Рис. VI.1. Процессы, протекающие в дисперсных системах

нескольких частиц, разделенных прослойками среды), или коагуляционные структуры, отличающиеся подвижностью частиц относительно друг друга под действием сравнительно небольших нагрузок (места контактов разделены прослойками среды). Обратный процесс образования устойчивой свобододисперсной системы из осадка или геля (структурированной дисперсной системы) называется *пептизацией*.

Более глубокий процесс коагуляции приводит к разрушению прослоек среды и непосредственному контакту частиц. В итоге или образуются жесткие агрегаты из твердых частиц, или происходит полное слияние их в системах с жидкой или газообразной дисперсной фазой (коалесценция). В концентрированных системах образуются жесткие объемные конденсационные структуры твердых тел, которые снова можно превратить в свобододисперсную систему только с помощью диспергирования (принудительного). Таким образом, понятие коагуляции включает в себя несколько процессов, идущих с уменьшением удельной поверхности системы.

Агрегативная устойчивость нестабилизированных лиофобных дисперсных систем носит кинетический характер, и судить о ней можно по скорости процессов, вызываемых избытком поверхностной энергии. При изотермической перегонке агрегативная устойчивость определяется скоростью массопереноса от мелких частиц к крупным. Скорость коагуляции определяет агрегатив-

ную устойчивость дисперсной системы, для которой характерен процесс слипания (слияния) частиц.

Агрегативная устойчивость может носить и термодинамический характер, если дисперсная система не обладает избытком поверхностной энергии. В такой дисперсной системе поверхностная энергия скомпенсирована энтропийной составляющей, благодаря чему система проявляет термодинамическую агрегативную устойчивость и в ней не происходит процесс коагуляции.

Различают термодинамически агрегативно устойчивые системы и системы термодинамически устойчивые к коагуляции. Лиофильные системы термодинамически агрегативно устойчивы, они образуются самопроизвольно и для них процесс коагуляции вообще не характерен. В то же время лиофобные стабилизированные системы термодинамически устойчивы к коагуляции; они могут быть выведены из такого состояния с помощью воздействий, приводящих к избытку поверхностной энергии (нарушение стабилизации). Очевидно, что термодинамически устойчивые к коагуляции системы являются термодинамически неустойчивыми к изотермической перегонке.

В соответствии с вышеизложенной классификацией различают термодинамические и кинетические факторы агрегативной устойчивости дисперсных систем. Так как движущей силой коагуляции является избыточная поверхностная энергия, то основными факторами, обеспечивающими устойчивость дисперсных систем (при сохранении размера поверхности), будут те, которые снижают поверхностное натяжение. Эти факторы относят к термодинамическим. Они уменьшают вероятность эффективных соударений между частицами, создают потенциальные барьеры, замедляющие или даже исключают процесс коагуляции. Чем меньше поверхностное натяжение, тем ближе система к термодинамически устойчивой. Однако это совсем не значит, что в агрегативно неустойчивой системе с уменьшением поверхностного натяжения обязательно снижается скорость коагуляции, так как последняя зависит, кроме того, и от кинетических факторов.

Кинетические факторы, снижающие скорость коагуляции, связаны в основном с гидродинамическими свойствами среды: с замедлением сближения частиц, вытекания и разрушения прослоек среды между ними.

Различают следующие термодинамические и кинетические факторы устойчивости дисперсных систем.

1. *Электростатический фактор* заключается в уменьшении межфазного натяжения вследствие возникновения двойного электрического слоя на поверхности частиц в соответствии с уравнением Липпмана. Появление электрического потенциала на межфазной поверхности обуславливается поверхностной электролитической диссоциацией или адсорбцией электролитов. Ос-

повы электростатической теории устойчивости лиофобных систем излагаются в разд. VI.Б.

2. *Адсорбционно-сольватный фактор* состоит в уменьшении межфазного натяжения при взаимодействии частиц дисперсной фазы со средой (благодаря адсорбции и сольватации) в соответствии с уравнением Дюпре для работы адгезии и адсорбционным уравнением Гиббса.

3. *Энтропийный фактор*, как и первые два относится к термодинамическим. Он дополняет первые два фактора и действует в системах, в которых частицы или их поверхностные слои участвуют в тепловом движении. Сущность его состоит в стремлении дисперсной фазы к равномерному распределению по объему системы (как и распределение растворенного вещества в истинных растворах).

4. *Структурно-механический фактор* является кинетическим. Его действие обусловлено тем, что на поверхности частиц имеются пленки, обладающие упругостью и механической прочностью, разрушение которых требует затраты энергии и времени. В этом смысле сюда можно отнести и первые два фактора, способствующие образованию упругих поверхностных слоев.

5. *Гидродинамический фактор* снижает скорость коагуляции благодаря изменению вязкости среды и плотности дисперсной фазы и дисперсионной среды.

6. *Смешанные факторы* наиболее характерны для реальных систем. Обычно агрегативная устойчивость обеспечивается несколькими факторами одновременно. Особенно высокая устойчивость наблюдается при совокупности действия термодинамических и кинетических факторов, когда наряду со снижением межфазного натяжения проявляются структурно-механические свойства межчастичных прослоек.

Необходимо иметь в виду, что каждому фактору устойчивости соответствует специфический метод его нейтрализации. Например, действие электростатического фактора значительно снижается при введении в систему электролитов, которые вызывают сжатие двойного электрического слоя. Сольватация при адсорбционно-сольватном факторе может быть исключена лиофобизацией частиц дисперсной фазы с помощью адсорбции соответствующих веществ. Действие структурно-механического фактора можно уменьшить с помощью веществ, разжижающих и растворяющих упругие структурированные слои на поверхности частиц.

2. Изотермическая перегонка в дисперсных системах

Изотермическая перегонка может проходить практически во всех дисперсных системах с частицами, размер которых соответствует области действия эффекта Кельвина. В таких системах частицы разных размеров обладают неодинаковыми химически-

ми потенциалами, что создает движущую силу переноса вещества от мелких частиц к более крупным. Этот процесс ведет к постепенному исчезновению мелких частиц, уменьшению средней дисперсности (удельной поверхности) и снижению энергии Гиббса поверхности.

Обычно рассматривают три стадии процесса изотермической перегонки: растворение или испарение мелких частиц, перенос вещества от мелких частиц к крупным и рост крупных частиц. В зависимости от условий каждая из этих стадий может быть лимитирующей, т. е. иметь меньшую скорость и, таким образом, определять скорость всего процесса изотермической перегонки. Первую и третью стадии можно отнести к химическим процессам, которые, как правило, имеют большие энергии активации. Очевидно, что энергии активации этих стадий при прочих равных условиях больше у твердых частиц, чем у жидких. Кинетика процессов, протекающих на поверхности частиц (растворение и рост частиц), обсуждалась при рассмотрении образования новой фазы (см. разд. II.Е). Вторая стадия — перенос вещества — является диффузионной. Как известно, коэффициент диффузии сильно зависит от агрегатного состояния дисперсионной среды, в тысячи и десятки тысяч раз уменьшаясь при переходе от газообразной к жидкой и от жидкой к твердой средам.

Скорость изотермической перегонки часто лимитируется скоростью диффузионного массопереноса в дисперсионной среде, которая следует закону Фика и зависит в данной среде (постоянный коэффициент диффузии) только от градиента концентраций или давлений (разности химических потенциалов). В свою очередь градиент концентраций (давлений) определяется различием размеров частиц, между которыми происходит массоперенос. Рассмотрим эту связь в системе с жидкой дисперсионной средой, в которой частицы разных размеров имеют различную растворимость (для газообразных сред соотношения останутся теми же, только вместо концентрации можно использовать давление). В соответствии с уравнением Кельвина [применительно к растворам его часто называют уравнением Фрейндлиха — Оствальда, см. уравнение (II.192)] растворимость $c(r)$ связана с размером r сферических частиц следующим соотношением:

$$c(r) = c_{\infty} \exp\left(\frac{2\sigma V_m}{RT r}\right) = c_{\infty} \left(1 + \frac{2\sigma V_m}{RT r}\right) \quad (\text{VI.1})$$

где c_{∞} — растворимость макрочастиц; V_m — мольный объем; выражение в скобках появляется после разложения в ряд экспоненты.

Скорость диффузионного массопереноса в соответствии с законом Фика определяется разностью концентраций у поверхности малой (r_1) и большой (r_2) частиц, выражение для которой следует из уравнения (VI.1)

$$\Delta c = c(r_1) - c(r_2) = \frac{2\sigma V_m c_{\infty}}{RT} \left(\frac{1}{r_1} - \frac{1}{r_2}\right) \quad (\text{VI.2})$$

Если r_2 значительно больше r_1 , то разность концентраций будет определяться в основном размером малой частицы, так как r_2 можно принять за постоянную величину, а общий перенос вещества к крупным частицам в полидисперсной системе будет определяться некоторым средним размером частиц $r_{\text{ср}}$:

$$\Delta c = \frac{2\sigma V_{\text{мс}}}{RT r_{\text{ср}}} \quad (\text{VI.3})$$

Из соотношения (VI.3) следует, что перенос вещества (поток, приходящийся на единицу площади в соответствии с законом Фика) зависит как от коэффициента диффузии, входящего в уравнение Фика и составляющего для жидких сред приблизительно 10^{-9} м²/с, так и от размеров частиц, растворимости вещества дисперсной фазы, поверхностного натяжения и температуры.

Существенным фактором является растворимость. Если вещество дисперсной фазы хорошо растворимо в дисперсионной среде, то система обладает малой устойчивостью по отношению к изотермической перегонке. Этим объясняется невозможность получения высокодисперсных систем при большой растворимости дисперсной фазы. Примером могут служить системы вода — галогениды щелочных металлов.

Межфазное натяжение способствует переносу вещества. В термодинамически устойчивых (лиофильных) системах, поверхностное натяжение которых минимально, процесс изотермической перегонки отсутствует. В таких системах должен соблюдаться нормальный закон распределения частиц по размерам.

Сложнее зависимость скорости изотермической перегонки от температуры, которая влияет на растворимость, и на скорость первой и третьей стадии. Чем меньше растворимость, тем больше роль этих стадий в кинетике всего процесса. Растворимость может увеличиваться, а может и уменьшаться с повышением температуры. В то же время повышение температуры всегда приводит к ускорению стадий растворения и роста частиц. Возможно такое положение, что при одной температуре лимитирующей будет первая стадия, а при другой — вторая стадия. Обычно константы скорости химических реакций, к которым можно отнести стадии растворения и роста частиц, увеличиваются с повышением температуры быстрее, чем константа скорости диффузии. Например, при повышении температуры на 10 °С коэффициент диффузии в растворах увеличивается на 30—40%, а константа скорости реакции возрастает \approx в 2—4 раза. Это обусловлено тем, что энергии активации процесса в диффузионной области находятся в пределах 5—20 кДж/моль, а в кинетической области 50—200 кДж/моль. Таким образом, с понижением температуры скорости первой и третьей стадии изотермической перегонки

ки резко уменьшаются по сравнению со скоростью диффузионной стадии, и могут стать лимитирующими скорость протекания всего процесса перегонки.

3. Кинетика коагуляции

Коагуляция протекает в термодинамически неустойчивых (лиофобных) дисперсных системах, и об агрегативной устойчивости таких систем судят по скорости коагуляции. Скорость коагуляции в дисперсных системах может быть самой различной. Некоторые системы коагулируют в течение нескольких секунд после их получения, а другие — устойчивы в течение суток, месяцев, а иногда и лет.

Количественная теория кинетики коагуляции была разработана в трудах М. Смолуховского, Г. Мюллера, Н. А. Фукса и других ученых. Смолуховским была рассмотрена кинетика коагуляции монодисперсных зольей со сферическими частицами, которые сталкиваются между собой в результате броуновского движения. Критическое расстояние, на котором осуществляется взаимодействие между частицами, принято приблизительно равным сумме радиусов частиц, что соответствует непосредственному их контакту. Согласно представлениям Смолуховского при коагуляции происходят взаимодействия только между двумя частицами, так как вероятность одновременного столкновения большого числа частиц очень мала. Таким образом, сталкиваются частицы одиночные, образуя двойные, одиночные с двойными, двойные друг с другом, тройные с одиночными и т. д. Такое представление процесса коагуляции позволяет формально применить к нему теорию бимолекулярных химических реакций.

Чтобы определить число столкновений между частицами, рассматривают диффузионный поток частиц через сферу, окружающую одну частицу, фиксированную в начале координат. Так как последняя тоже находится в движении, то в соответствии с теорией случайных столкновений необходимо принять, что коэффициент диффузии движущейся частицы равен сумме коэффициентов диффузии сталкивающихся n - и m -мерной частиц ($D_{nm} = D_n + D_m$). Это следует из теории броуновского движения, в соответствии с которой относительное смещение двух частиц $\Delta_n - \Delta_m$ с коэффициентом относительной диффузии D_{nm} связано законом Эйнштейна — Смолуховского:

$$D_{nm} = \frac{(\overline{\Delta_n - \Delta_m})^2}{2\tau} = \frac{\overline{\Delta_n^2}}{2\tau} + \frac{2\overline{\Delta_n \Delta_m}}{2\tau} + \frac{\overline{\Delta_m^2}}{2\tau} = D_n + D_m$$

Среднее значение произведения $\Delta_n \Delta_m$ равно нулю, так как при броуновском движении для этих частиц равновероятны движения навстречу и в разные стороны, т. е. $\Delta_n \cdot \Delta_m$ с равной вероятностью может быть отрицательным и положительным.

Стационарный поток n -мерных частиц, средняя концентрация которых в системе равна \bar{v}_n , через сферическую поверхность на разных расстояниях x от центральной m -мерной частицы должен быть постоянным и равным числу столкновений частиц с этой центральной частицей. В соответствии с первым законом Фика поток через сферическую поверхность s выражается уравнением

$$I = D_{nm} s d\bar{v}_n/dx = D_{nm} \cdot 4\pi x^2 d\bar{v}_n/dx \quad (\text{VI.4})$$

Будем считать, что в выбранный за начало отсчета момент времени в единице объема находилось суммарное число \bar{v}_n n -мерных частиц, что соответствует расстоянию между ними $x = \infty$. При столкновении частиц с центральной частицей расстояние $x = R_{nm}$ (сумма радиусов частиц) и в этом месте (начало координат) концентрация частиц снижается до $\bar{v}_n = 0$, так как предполагается, что каждое столкновение приводит к агрегации. Интегрируя уравнение (VI.4) после разделения переменных в пределах от R_{nm} до ∞ и соответственно от 0 до \bar{v}_n , получим:

$$I \int_{R_{nm}}^{\infty} dx/x^2 = 4\pi D_{nm} \int_0^{\bar{v}_n} d\bar{v}_n$$

или

$$I = 4\pi D_{nm} R_{nm} \bar{v}_n \quad (\text{VI.5})$$

Коэффициент диффузии в соответствии с уравнением Эйнштейна (IV.42) обратно пропорционален размеру диффундирующей частицы, поэтому, если сталкивающиеся частицы не очень сильно различаются по объему, можно приближенно считать, что произведение $D_{nm} R_{nm}$ не зависит от размера частиц. Таким образом, выражение перед \bar{v}_n в уравнении (VI.5) является константой.

Уравнение (VI.5) отражает также число столкновений на данной стадии процесса коагуляции, т. е. число частиц, сталкивающихся в единицу времени с одной центральной частицей. Как следует из уравнения (VI.5), число таких столкновений пропорционально общему числу частиц, находящихся в данный момент в единице объема. Число частиц, принятых за фиксированные, можно считать равным также этому числу. Таким образом, общее число столкновений между частицами в системе в единицу времени в данный момент составляет

$$-dv_x/d\tau = 8\pi D R v_x^2 \quad (\text{VI.6})$$

где v_x — суммарная концентрация частиц разных размеров в данный момент. В соотношении (VI.6) принято, что $D_{nm} = 2D$, а $R_{nm} = R$, т. е. приняты средние величины.

Чтобы рассчитать скорость уменьшения числа частиц в результате коагуляции, т. е. скорость коагуляции, необходимо принять, что все столкновения приводят к агрегации. Однако это справедливо только тогда, когда энергия соударений частиц превышает среднюю энергию, необходимую для их слипания ΔE , называемую потенциальным барьером. Эффективность соударений пропорциональна фактору Больцмана. Проводя дальнейшую аналогию с теорией активных столкновений, необходимо учесть стерический множитель P , учитывающий благоприятные пространственные расположения частиц при столкновении, их форму, размеры. Тогда скорость коагуляции в данный момент времени составит:

$$-dv_{\Sigma}/d\tau = 8\pi DRP \exp[-\Delta E/(k_B T)] v_{\Sigma}^2 \quad (\text{VI.7})$$

Сравнение с уравнением для скорости бимолекулярной реакции

$$-dv_{\Sigma}/d\tau = K v_{\Sigma}^2 \quad (\text{VI.8})$$

показывает, что константа скорости коагуляции выражается следующим соотношением:

$$K = 8\pi DRP \exp[-\Delta E/(k_B T)] \quad (\text{VI.9})$$

Общее число частиц в результате коагуляции уменьшается по закону (VI.8). Чтобы определить, каким оно будет через время τ , необходимо провести интегрирование в пределах от $v_{\Sigma} = v_0$ при $\tau = 0$ до v_{Σ} при τ :

$$-\int_{v_0}^{v_{\Sigma}} dv_{\Sigma}/v_{\Sigma}^2 = \int_0^{\tau} k d\tau$$

и

$$v_{\Sigma} = \frac{v_0}{1 + K v_0 \tau} \quad (\text{VI.10})$$

где v_0 — первоначальное число частиц в дисперсной системе.

Константу скорости коагуляции теоретически определить трудно, поэтому Смолуховский ввел понятие *времени (периода) половинной коагуляции* θ — времени коагуляции, в течение которого общая концентрация частиц уменьшается до половины от начальной концентрации первичных (единичных) частиц. Из (VI.10) следует:

$$1 + K v_0 \theta = 2, \quad K v_0 = 1/\theta \quad (\text{VI.11})$$

и

$$v_{\Sigma} = \frac{v_0}{1 + \tau/\theta} \quad (\text{VI.12})$$

Выражение (VI.12) для концентрации частиц через время коагуляции τ в теории Смолуховского широко используется для обработки экспериментальных результатов исследования кинетики коагуляции, особенно удобна для этого его линейная форма

$$1/v_{\Sigma} = 1/v_0 + \tau/(v_0 \theta) \quad (\text{VI.13})$$

Общее число частиц v_{Σ} в единице объема системы представляет собой уменьшающуюся в процессе коагуляции сумму частиц всех порядков:

$$v_{\Sigma} = \sum v_i = v_1 + v_2 + v_3 + \dots = \frac{v_0}{1 + \tau/\theta} \quad (\text{VI.14})$$

Этот ряд является суммой геометрической прогрессии со знаменателем

$$q = \frac{\tau/\theta}{1 + \tau/\theta}, \quad v_{\Sigma} = \frac{v_1}{1 - q} \quad (\text{VI.15})$$

Отсюда легко определить число частиц каждого порядка (m -мерных):

$$v_m = \frac{v_0(\tau/\theta)^{m-1}}{(1 + \tau/\theta)^{m+1}} \quad (\text{VI.16})$$

Если время τ равно времени половинной коагуляции, то $v_{\Sigma} = v_0/2$; $v_1 = v_0/4$; $v_2 = v_0/8$; $v_3 = v_0/16$ и т. д. Таким образом, за время половинной коагуляции общее число частиц уменьшается вдвое, а число единичных, двойных, тройных и т. д. частиц становится равным соответственно $1/4$, $1/8$, $1/16$ и т. д. от исходного числа частиц v_0 . На рис. VI.2 показано изменение числа v_m различных частиц во времени при коагуляции. Общее число частиц v_{Σ} и число первичных частиц v_1 постоянно уменьшаются. В то же время число вторичных, третичных v_2 , v_3 , v_4 и т. д. частиц сначала растет, достигает максимального значения, а затем уменьшается.

Согласно теории кинетики коагуляции различают быструю и медленную коагуляцию. Для такого разделения можно воспользоваться уравнением (VI.9) константы скорости коагуляции. При быстрой коагуляции все столкновения частиц эффективны, т. е. приводят к слипанию частиц. Быстрой коагуляции отвечает условие равенства нулю потенциального барьера $\Delta E = 0$ и равенства единице стерического множителя $P = 1$. Константа скорости быстрой коагуляции в соответствии с уравнением (VI.9) равна

$$K_6 = 8\pi DR \quad (\text{VI.17})$$

Если учесть, что $R = 2r$, $D = k_B T / (6\pi\eta r)$

то

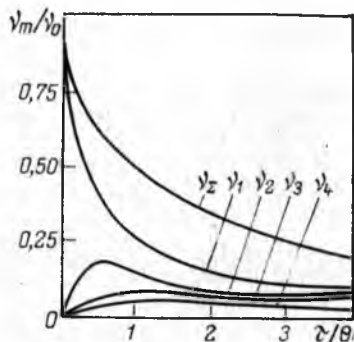
$$K_6 = 8k_B T / 3\eta \quad (\text{VI.18})$$

что составляет $1,07 \cdot 10^{-11}$ см³ на частицу за 1 с в воде или $5,86 \cdot 10^{-10}$ см³ на частицу за 1 с при 20 °С в воздухе.

Время половинной коагуляции с учетом (VI.11) составит

$$\theta_6 = \frac{4\eta}{8k_B T v_0} \quad (\text{VI.19})$$

Рис. VI.2. Изменение числа частиц во времени при коагуляции по Смолуховскому



Из соотношения (VI.18) следует, что константа скорости быстрой коагуляции зависит только от температуры и вязкости среды. Вязкость жидкостей, как правило, уменьшается с повышением температуры, что обуславливает тем самым резкую зависимость константы скорости коагуляции от температуры. У газов с повышением температуры вязкость увеличивается, поэтому зависимость константы скорости коагуляции в системах с газообразной дисперсионной средой от температуры выражена менее заметно. Время половинной коагуляции [см. уравнение (VI.19)], кроме того, уменьшается с ростом концентрации дисперсной системы. Агрегативная устойчивость систем соответственно повышается с увеличением вязкости дисперсионной среды, понижением температуры и концентрации дисперсной фазы.

Необходимо отметить, что теория кинетики быстрой коагуляции Смолуховского была блестяще экспериментально подтверждена Зигмонди, а затем и другими учеными, несмотря на некоторые ее допущения. Теория исходит из того, что золь имеет сферические монодисперсные частицы, хотя на практике это встречается очень редко. Кроме того, предполагается, что монодисперсность приблизительно сохраняется и во время коагуляции.

Теория быстрой коагуляции полидисперсных золь была развита Мюллером, она является продолжением теории Смолуховского. Основной вывод этой теории, подтвержденный экспериментально, заключается в том, что полидисперсные системы коагулируют быстрее, чем монодисперсные. Крупные частицы выступают в роли зародышей коагуляции: в их присутствии мелкие частицы исчезают быстрее, чем в их отсутствие. Теория Мюллера объяснила и некоторое возрастание скорости коагуляции в монодисперсных золях вследствие увеличения их полидисперсности в ходе коагуляции. Мюллером было также показано, что плоские частицы коагулируют с такой же скоростью, что и сферические. Частицы, имеющие форму палочек, должны коагулировать быстрее.

Для медленной коагуляции $\Delta E \neq 0$, $P \neq 1$ (необходимо учитывать эффективность соударений). Исходя из уравнений (VI.9), (VI.17) и (VI.18), константу скорости медленной коагуляции можно выразить так:

$$K_m = K_0 P \exp[-\Delta E/(k_B T)] \quad (\text{VI.20})$$

или

$$K_m = \frac{8k_B T}{3\eta} P \exp[-\Delta E/(k_B T)] \quad (\text{IV.21})$$

Связь эффективности соударений с потенциальным барьером при коагуляции была показана Н. А. Фуксом. Если ΔE значительно больше $k_B T$, то скорость коагуляции приближается к нулю, и система окажется агрегативно устойчивой. В теории, развитой Н. А. Фуксом, используется представление о коэффициенте замедления W , который показывает, во сколько раз константа скорости медленной коагуляции меньше константы скорости быстрой коагуляции. Учитывая соотношение (VI.20), получим:

$$W = \frac{K_6}{K_m} = \frac{1}{P} \exp[\Delta E/(k_B T)] \quad (\text{VI.22})$$

Коэффициент W иногда называют фактором устойчивости или коэффициентом стабильности.

4. Элементы термодинамической теории агрегативной устойчивости дисперсных систем

Лиофильные (термодинамически агрегативно устойчивые) дисперсные системы, как и истинные растворы, могут образовываться самопроизвольно — равновесное состояние системы отвечает минимуму энергии Гиббса. Это означает, что из любого другого состояния система переходит в данное состояние с уменьшением энергии Гиббса, т. е. термодинамически агрегативно устойчивые дисперсные системы — системы равновесные, обратимые. Процесс образования таких систем можно представить термодинамическим соотношением:

$$\Delta G = \Delta H - T\Delta S \quad (\text{VI.23})$$

Изменение энергии Гиббса системы ΔG должно быть меньше нуля, следовательно, можно записать:

$$\Delta H - T\Delta S < 0 \text{ и } \Delta H < T\Delta S \quad (\text{VI.24})$$

Изменение энтальпии ΔH характеризует межфазное взаимодействие, в результате которого уменьшается межфазное натяжение. Так как образующаяся дисперсная система должна оставаться гетерогенной, то межфазное натяжение не может уменьшиться до нуля, иначе получается истинный раствор. Остаточная поверхностная энергия в гетерогенной лиофильной дисперсной системе компенсируется энтропийной составляющей ΔS . Наличие ΔS возможно только у дисперсных систем, частицы которых способны к тепловому (броуновскому) движению. Таким образом, из свободнодисперсных систем термодинамиче-

ски устойчивыми могут быть только ультрамикрорегерогенные системы — золи.

В лиофильных коллоидных системах дисперсное состояние является энергетически более выгодным, чем любое другое состояние при том же соотношении компонентов. Менее энергетически выгодными (с большей общей энергией Гиббса) будут предельные состояния: две сопряженные сплошные фазы или истинный раствор.

Принципиальная возможность существования термодинамически устойчивых гетерогенных дисперсных систем была показана Фольмером, использовавшим для этого уравнение капиллярной конденсации Кельвина. Кроме того, им было установлено, что при малых значениях поверхностного натяжения на границе частица — среда должен соблюдаться нормальный закон распределения частиц по размерам с максимумом, приходящимся на ультрамикрорегерогенную область дисперсности.

Условие термодинамической агрегативной устойчивости дисперсной системы можно записать так:

$$\left(\frac{\partial \Delta G}{\partial s}\right)_{\sigma} \leq 0 \quad \text{и} \quad \left(\frac{\partial \Delta G}{\partial r}\right)_{\sigma} > 0 \quad (\text{VI.25})$$

Это означает, что энергия Гиббса не должна увеличиваться с ростом межфазной поверхности (при постоянном межфазном натяжении) или с уменьшением размеров частиц. Межфазная поверхность может самопроизвольно возрасти, только если поверхностная энергия будет компенсироваться увеличением энтропии системы. Такое явление получило название *самопроизвольного диспергирования*. Самопроизвольное диспергирование — основной метод получения термодинамически устойчивых систем, аналогичный растворению веществ при получении истинных растворов.

Простейшим примером самопроизвольно образующихся термодинамически устойчивых дисперсных гетерогенных систем являются смеси ограниченно растворимых жидкостей, например вода — фенол, при температурах, близких к критическим температурам их абсолютного смешения. По мере приближения к критической температуре фазы становятся близкими по составу, а межфазное натяжение уменьшается. При определенной температуре межфазное натяжение достигает такого малого значения, при котором поверхностная энергия будет скомпенсирована энтропийной составляющей. Самопроизвольно образуется эмульсия, частицы которой под действием теплового движения равномерно распределяются по всему объему системы. При этом распределение частиц по размерам, как было показано Фольмером, должно соответствовать больцмановскому распределению и определяется значением поверхностной энергии.

Наиболее типичными представителями лиофильных коллоидных систем являются растворы коллоидных ПАВ и высокомолекулярных соединений. В растворах коллоидных ПАВ мицеллы образуются вследствие ассоциации дифильных молекул, которая предполагает определенное ориентирование молекул, обеспечивающее лучшую адгезию со средой. В результате средняя энтальпия, приходящаяся на одну молекулу (или моль) в мицеллярном растворе (ассоциативной коллоидной системе), будет меньше, чем в молекулярном растворе. Таким образом, образование ассоциативной лиофильной системы из молекулярного раствора происходит вследствие уменьшения энтальпии, а при образовании дисперсной системы из сплошных фаз путем самопроизвольного диспергирования вносит основной вклад рост энтропийной составляющей, особенно при положительных изменениях энтальпии.

Еще большую роль энтропийная составляющая играет при самопроизвольном диспергировании высокомолекулярных соединений (образовании молекулярных коллоидных систем), в процессе которого возрастает не только рассеивающая энтропия, но и значительно сильнее увеличивается энтропия, связанная с различием размеров и форм частиц дисперсной фазы и молекул дисперсионной среды. Лиофильность таких систем обеспечивается не только или не столько сродством молекул растворителя к дисперсной фазе, а в основном энтропийным фактором.

Термодинамически устойчивые к коагуляции лиофобные дисперсные системы могут быть рассмотрены аналогично лиофильным системам, если представить уже раздробленную и стабилизированную дисперсную фазу. Используя те же соотношения (VI.23) и (VI.24), можно говорить об изменении ΔH и, соответственно, межфазного натяжения под действием стабилизаторов, изменяющих межфазное взаимодействие (например, при их адсорбции). Стабилизаторы могут также значительно увеличить энтропийную составляющую, которая компенсирует оставшуюся поверхностную энергию. Очевидно, что такие системы не могут образоваться самопроизвольно, но могут самопроизвольно пептизировать после коагуляции.

Количественные закономерности, определяющие изменение межфазного натяжения в дисперсной системе, можно представить известными соотношениями для адгезии, адсорбции, поверхностного электрического потенциала. Например, снижение межфазного натяжения на границе частица — среда до необходимых значений обеспечивается достаточной адгезией между ними, что следует из уравнения Дюпре (II.141)

$$\sigma_{2,3} = \sigma_{2,1} + \sigma_{3,1} - W_a$$

Очевидно, что чем сильнее взаимодействие частицы со средой, тем меньше межчастичное взаимодействие. Адгезия обычно

обеспечивается с помощью адсорбции электролитов, поверхностно-активных веществ и высокомолекулярных соединений. Механизм их действия аналогичен. Одна часть молекулы должна как можно прочнее закрепиться в одной фазе, а вторая часть молекулы — в другой фазе. Например, водной средой будут сильнее удерживаться полярные и наиболее гидратирующиеся части молекул, в том числе ионы, а менее полярная дисперсная фаза имеет, как правило, большее сродство к неполярным и менее гидратирующимся частям стабилизирующих молекул (возможно и специфическое взаимодействие). В результате такого ориентирования на частицах могут возникнуть соответствующие заряды, но для термодинамического рассмотрения достаточно фактора уменьшения межфазного натяжения.

Следует напомнить некоторые соотношения, связывающие изменения поверхностного (межфазного) натяжения $\Delta\sigma$ с различными изотермами адсорбции. Так, подставляя в общее соотношение (II.78)

$$-\Delta\sigma = \int \Gamma d\Delta\mu_2$$

зависимости изменения химического потенциала адсорбата $\Delta\mu_2$ и величины адсорбции Γ от концентрации c в соответствии с уравнениями Генри, Фрейндлиха, Ленгмюра получим следующие соотношения в той же последовательности

$$-\Delta\sigma = RTK_{\Gamma}c \quad (\text{VI.26})$$

$$-\Delta\sigma = nRTKc^{1/n} \quad (\text{VI.27})$$

$$-\Delta\sigma = A_{\infty}RT \ln(1 + Kc) \quad (\text{VI.28})$$

где K_{Γ} , K , A_{∞} и n — постоянные величины.

Из этих уравнений следует, что чем больше константы K_{Γ} , K , A_{∞} и выше концентрация адсорбата в дисперсионной среде, тем значительнее изменение межфазного натяжения.

Энтропийный вклад в термодинамическую агрегативную устойчивость можно определить, рассмотрев образование лиофильной системы или самопроизвольную пептизацию лиофобной системы аналогично образованию раствора. В общем случае необходимо учитывать наличие поверхностных слоев, которые могут состоять из противоионов, цепей макромолекул, радикалов ПАВ, принимающих самостоятельное участие в тепловом движении. Наиболее легко поддаются учету двойные электрические слои с их подвижными противоионами. В этом случае мицеллу можно рассматривать как молекулу полиэлектролита и, соответственно, рассчитать энтропию дисперсной системы как энтропию раствора электролита (энтропию смешения):

$$\begin{aligned} S^M &= -N_1 k_B \ln a_1 - N_2 k_B \ln a_x = \\ &= -N_1 k_B \ln a_1 - \nu N_2 k_B \ln 0,001 M_1 a_{m\pm} = \\ &= -N_1 k_B \ln a_1 - \nu N_2 k_B \ln 0,001 M_1 m_{\pm} \gamma_{\pm} \end{aligned} \quad (\text{VI.29})$$

где N_1 — число молекул дисперсионной среды (растворителя); N_2 — число частиц дисперсной фазы (или полиионов); a_1 — активность растворителя; a_x — активность дисперсной фазы (полиэлектролита), соответствующая шкале молярных долей; K — константа Больцмана; $a_{m\pm}$ — средняя ионная активность дисперсной фазы (частиц или макромолекул), соответствующая шкале моляльности; M_1 — молекулярная масса растворителя; m_{\pm} — средняя ионная моляльная концентрация дисперсной фазы (частиц или макромолекул), которая определяется соотношением:

$$m_{\pm}^{\nu} = m_+^{\nu} + m_-^{\nu} = \nu_+^{\nu} + \nu_-^{\nu} m^{\nu}$$

m — моляльная концентрация дисперсной фазы; $\nu = \nu_+ + \nu_-$ — стехиометрический коэффициент диссоциирующей частицы (полиэлектролита), катиона и аниона, соответственно; γ_{\pm} — средний ионный коэффициент активности дисперсной фазы (полиэлектролита); m_+ и m_- — моляльные концентрации положительных и отрицательных ионов, соответственно.

Для достаточно разбавленных систем можно пренебречь первым членом суммы уравнения (VI.29). Кроме того, для ионостабилизированных систем (наличие двойного электрического слоя) численное значение стехиометрического коэффициента (число противоионов), как правило, очень большое и поэтому можно принять $m_{\pm} = \nu m$. При таких приближениях уравнение (VI.29) переходит в более простое соотношение

$$S^M = -\nu N_2 k_B \ln 0,001 M_1 \nu m \gamma_{\pm} \quad (\text{VI.30})$$

Заменив моляльную концентрацию на число частиц n в 1000 г растворителя и число Авогадро, получим

$$S^M = -\nu N_2 k_B \ln \frac{M_1 \nu n \gamma_{\pm}}{1000 N_A} \quad (\text{VI.31})$$

Энергия Гиббса смешения, которую можно рассматривать как меру термодинамической агрегативной устойчивости дисперсных систем, будет равна сумме поверхностной энергии и энтропийной составляющей:

$$\Delta G_N = \pi d^2 \sigma + \nu k_B T \ln \frac{M_1 \nu n \gamma_{\pm}}{1000 N_A} \quad (\text{VI.32})$$

где ΔG_N — энергия Гиббса смешения дисперсной системы, отнесенная к одной частице диаметра d .

Из уравнения (VI.32) следует, что для обеспечения термодинамической устойчивости системы (достижение самопроизвольных диспергирования или пептизации) ΔG_N должно иметь отрицательное значение, что может быть только при полной компенсации поверхностной энергии энтропийной составляющей. Критическое значение межфазного натяжения, выше которого система теряет термодинамическую агрегативную устойчивость, равно ($\Delta G_N = 0$);

$$\sigma_{\text{кр}} = -\frac{\nu k_B T}{\pi d^2} \ln \frac{M_1 \nu n \gamma_{\pm}}{1000 N_A} \quad (\text{VI.33})$$

Это соотношение, учитывающее вклад в энергию Гиббса поверхностных слоев, было получено Ю. Г. Фроловым. При отсутствии двойного электрического слоя ($\nu=1$) соотношение (VI.33) переходит в уравнение Ребиндера — Щукина, полученное ранее для лиофильных систем

$$\sigma_{кр} = \gamma \frac{k_B T}{\delta^2} \quad (\text{VI.34})$$

где δ — средний размер частиц; γ — безразмерный множитель, учитывающий влияние концентрации и формы частиц.

Чтобы использовать уравнение (VI.33) для более конкретного рассмотрения влияния различных факторов на агрегативную устойчивость ионостабилизированных систем, оно было преобразовано автором следующим образом. Стехиометрический коэффициент можно представить с помощью числа способных к диссоциации поверхностных функциональных групп A_0 на единице поверхности, степени их диссоциации α , и заряда противоионов z :

$$\nu = \frac{A_0 \alpha n d^2}{z} + 1 \quad (\text{VI.35})$$

Учитывая, что первый член правой части равенства (VI.35) значительно больше единицы, и подставляя выражение (VI.35) в (VI.33), приходим к следующему критериальному соотношению:

$$\sigma_{кр} = - \frac{A_0 \alpha}{z} k_B T \ln \frac{A_0 \alpha n d^2}{1000 N_A z} M_1 n \gamma_{\pm} \quad (\text{VI.36})$$

Из общих критериальных соотношений (VI.33) и (VI.36) следует, что критическое межфазное натяжение тем выше, чем больше стехиометрический коэффициент диссоциирующей частицы и меньше размер частиц и их концентрация. Диссоциация частиц лиофильных систем (растворов ионогенных коллоидных ПАВ и полиэлектролитов), как следует из уравнения (VI.36), облегчает образование системы. Для стабилизации лиофобных систем в соответствии с этим уравнением необходимо обеспечить достаточную плотность способных к диссоциации групп на поверхности частиц (максимальную адсорбцию электролитов), их диссоциацию (природу среды, значение pH, концентрацию и др.), а также образование двойного электрического слоя предпочтительно с однозарядными противоионами, с которыми частица имеет максимальный стехиометрический коэффициент. В результате такой стабилизации критическое значение межфазного натяжения (которое компенсируется энтропийной составляющей) может достигать десятков и более мДж/м². Все перечисленные зависимости, вытекающие из условия агрегативной

устойчивости (VI.36), хорошо подтверждаются экспериментально.

Таким образом, термодинамическая устойчивость к коагуляции лиофобных систем может быть обеспечена путем формирования поверхностных слоев, способных уменьшить межфазное натяжение и увеличить энтропию до требуемых значений.

Необходимо отметить, что термодинамическую устойчивость дисперсных систем относят к двум состояниям, соответствующим двум минимумам потенциальной энергии взаимодействия частиц. Состояние устойчивости лиофильных систем, как систем симпроизвольно образующихся, отвечает первому глубокому потенциальному минимуму, который характеризует слияние, непосредственный контакт частиц с образованием сплошной структуры тела. Термодинамическая устойчивость к коагуляции лиофобных систем относится к неглубокому потенциальному минимуму, отвечающему коагуляции на дальних расстояниях между частицами при их взаимодействии через прослойки среды. Как уже упоминалось, в таких системах возможна изотермическая перегонка, так как они неустойчивы по отношению к первому минимуму.

В лиофильных и устойчивых лиофобных системах существует равновесие, которое предполагает равенство скоростей двух противоположных процессов — коагуляции и пептизации. Подобно химическому равновесию его можно характеризовать константой равновесия, равной отношению констант скоростей коагуляции и пептизации:

$$K_p = K_k / K_{п} \quad (\text{VI.37})$$

Так как логарифмы констант скоростей рассматриваемых процессов линейно связаны с энергиями активации этих процессов, то указанное равновесие можно характеризовать разностью энергетических уровней коагуляции и пептизации.

Если константа скорости пептизации значительно больше константы скорости коагуляции (энергия активации пептизации значительно меньше, чем при коагуляции), то в системе будут преобладать мелкие первичные частицы. С увеличением константы скорости коагуляции (уменьшением ее потенциального барьера) число двойных, тройных и т. д. частиц в равновесной системе возрастает. Если коагуляция вызвана взаимодействием между частицами через прослойки среды, то энергия притяжения незначительна, и минимум энергии системы характеризуется малым отрицательным значением. Поэтому небольшие изменения в системе (колебания рН, концентрации электролита), вызывающие увеличение силы отталкивания частиц (уменьшение силы их притяжения), приводят к пептизации системы под действием броуновского движения. К системам, способным к подобным превращениям, относится большинство лиозолей

(гидрозолей), стабилизированных различными способами, в том числе с помощью электролитов, ПАВ и высокомолекулярных соединений. В этом отношении интересны гидрозоли оксида кремния, которые при $pH > 7,5$ термодинамически устойчивы к коагуляции. Вместе с тем в них происходит, хотя и очень медленно, процесс изотермической перегонки.

Как уже было показано, лиофильные дисперсные системы образуются самопроизвольно, подобно истинным растворам, а вещества их дисперсной фазы широко применяются для стабилизации лиофобных систем, поэтому в первую очередь рассмотрим образование и свойства лиофильных систем на примере растворов коллоидных поверхностно-активных веществ и высокомолекулярных соединений.

Б. РАСТВОРЫ КОЛЛОИДНЫХ ПОВЕРХНОСТНО-АКТИВНЫХ ВЕЩЕСТВ (АССОЦИАТИВНЫЕ КОЛЛОИДЫ)

1. Классификация и общая характеристика поверхностно-активных веществ

В данном разделе рассматриваются поверхностно-активные вещества дифильного строения, обладающие рядом специфических свойств, которые обусловили их широкое применение в различных промышленных отраслях. Как уже отмечалось, такие поверхностно-активные вещества получили сокращенное название ПАВ.

Наличие гидрофильной и олеофильной частей у молекул ПАВ является характерной отличительной особенностью их строения. По способности к диссоциации в водных растворах поверхностно-активные вещества делят на *ионогенные* и *неионогенные*. В свою очередь ионогенные ПАВ подразделяют на анионные, катионные и амфолитные (амфотерные).

Анионные ПАВ диссоциируют в воде с образованием поверхностно-активного аниона. К ПАВ этого типа, составляющего большую часть мирового производства всех поверхностно-активных веществ, относятся:

а) карбоновые кислоты и их соли (мыла) общей формулы $RCOOM$ (где M — металл), например пальмитат натрия $C_{15}H_{31}COONa$, стеарат натрия $C_{17}H_{35}COONa$, олеат натрия $C_{17}H_{33}COONa$;

б) алкилсульфаты $ROSO_2OM$;

в) алкиларилсульфонаты $RArSO_2OM$;

г) вещества, содержащие другие типы поверхностно-активных анионов, например фосфаты, тиосульфаты.

В качестве ПАВ широкое практическое применение находят соли синтетических жирных кислот фракции C_{10} — C_{17} , заменяющие кислоты растительного и животного происхождения. В за-

в зависимости от назначения и условий применения используют соли жирных кислот с различными катионами, например соли жирных кислот с двух- и трехзарядными катионами применяют в углеводородных средах.

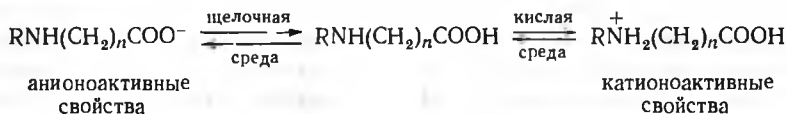
В кислых средах соли карбоновых кислот переходят в слабо-диссоциированные и малорастворимые кислоты, а в присутствии некоторых катионов (кальция, магния) образуют нерастворимые соли, что резко снижает эффективность их действия как ПАВ, особенно ухудшает их моющее действие. Большими преимуществами в этом отношении обладают алкилсульфаты и алкилсульфонаты, которые являются солями сильных кислот и поэтому могут быть использованы в кислых и солевых растворах.

Катионные ПАВ диссоциируют в воде с образованием поверхностно-активного катиона. К катионным ПАВ относятся:

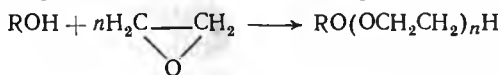
- а) соли первичных, вторичных и третичных алифатических и ароматических аминов;
- б) соли алкилзамещенных аммониевых оснований.

Катионные ПАВ — наиболее токсичные и наименее биологически разлагаемые из всех ПАВ; их часто используют в качестве бактерицидных, фунгицидных, дезинфицирующих веществ, ингибиторов коррозии.

Амфолитные ПАВ содержат две функциональные группы, одна из которых имеет кислый, а другая основной характер, например карбоксильную и аминную группы. В зависимости от pH среды амфолитные ПАВ проявляют анионоактивные или катионоактивные свойства:



Неионогенные ПАВ не диссоциируют в растворах на ионы. Методы их получения основаны на реакции присоединения этиленоксида к спиртам, карбоновым кислотам, аминам, алкилфенолам и другим соединениям. Например, оксиэтилированные алкилспирты марки ОС синтезируют по реакции



Перспективными являются оксиэтилированные жирные кислоты $\text{RCOO}(\text{CH}_2\text{CH}_2\text{O})_n\text{H}$. В молекулах неионогенных ПАВ углеводородный радикал может содержать от 6 до 18 углеродных атомов, а n может изменяться от нескольких единиц, до ста. Как правило, неионогенные ПАВ являются смесью гомологов с различной длиной полиоксиэтиленовой цепи.

Полиоксиэтиленовая цепь определяет гидрофильные свойства неионогенных ПАВ. Изменяя длину полиоксиэтиленовой цепи, легко регулировать их коллоидно-химические свойства. Эти ПАВ применяются в любых средах (кислой и щелочной), а также в присутствии растворимых солей. Полиоксиэтиленовые эфиры алкилфенолов марки ОП обладают хорошими моющими свойствами.

К недостаткам этих ПАВ относится медленное разложение из-за наличия в их составе ароматического радикала и, как следствие, накопления их в объектах окружающей среды. Неионогенные ПАВ с алкильными радикалами способны биологически разлагаться достаточно полно и быстро.

Поведение ПАВ в растворах в значительной степени зависит от природы растворителя — среды. В зависимости от среды одно и то же вещество может вести себя по-разному. Например, иодид тетрапентиламмония $[N(C_5H_{11})_4]I$ в воде и ацетоне диссоциирует на ионы, в хлороформе ассоциирует, а в тетрахлориде углерода образует коллоидный раствор. Обычно свойства ПАВ характеризуют по отношению к воде, и поэтому они зависят в основном от природы и строения ПАВ.

Все дифильные поверхностно-активные вещества относительно поведения их в воде делят на истинно растворимые и коллоидные.

К первой группе относится большой класс растворимых в воде дифильных органических соединений с небольшим углеводородным радикалом, например низшие спирты, фенолы, кислоты и их соли, амины. Вещества этого типа в растворе находятся в молекулярно-дисперсном состоянии вплоть до концентраций, соответствующих их насыщенным растворам и разделению системы на две сплошные фазы. Эти вещества применяются в качестве смачивателей, вспенивателей, гидрофобизаторов при флотации, диспергаторов, облегчающих процессы образования новых поверхностей, и т. д.

Особый интерес представляют коллоидные поверхностно-активные вещества. Именно они в первую очередь понимаются под термином ПАВ. Главной отличительной особенностью этих веществ является способность образовывать термодинамически устойчивые (лиофильные) гетерогенные дисперсные системы (ассоциативные, или мицеллярные, коллоиды). К основным свойствам коллоидных ПАВ, обуславливающим их ценные качества и широкое применение, относятся высокая поверхностная активность; способность к самопроизвольному мицеллообразованию — образованию лиофильных коллоидных растворов при концентрации ПАВ выше некоторого определенного значения, называемого *критической концентрацией мицеллообразования* (ККМ); способность к солюбилизации — резкому увеличению растворимости веществ в растворах коллоидных ПАВ вследст-

вие их «внедрения» внутрь мицеллы; высокая способность стабилизировать различные дисперсные системы.

Высокая поверхностная активность коллоидных ПАВ зависит, главным образом, от длины углеводородного радикала. Увеличение длины радикала на одну группу CH_2 приводит к возрастанию поверхностной активности приблизительно в 3,2 раза (правило Дюкю — Траубе). Это правило соблюдается в основном для истинно растворимых ПАВ. Так как поверхностную активность определяют при бесконечном разбавлении системы, то легко объяснить ее зависимость от длины углеводородного радикала. Чем длиннее радикал, тем сильнее выталкивается молекула ПАВ из водного раствора (уменьшается ее растворимость) и тем больше константа Генри, которая для ПАВ пропорциональна поверхностной активности [см. уравнение (III.123)]. Изменение работы адсорбции $\Delta W_{\text{адс}}$ или энергии Гиббса адсорбции, взятой с обратным знаком $-\Delta G_{\text{адс}}$, можно представить следующим образом

$$\Delta W_{\text{адс}} = -\Delta G_{\text{адс}} = \varphi N_A n \quad (\text{VI.38})$$

где φ — работа адсорбции молекулы ПАВ, отнесенная к одной CH_2 -группе; n — число CH_2 -групп в молекуле ПАВ; N_A — число Авогадро.

Константа Генри связана с работой адсорбции соотношением

$$K_T = A/c = \exp[-\Delta G_{\text{адс}}/(RT)] = \exp[\varphi N_A n/RT] \quad (\text{VI.39})$$

где A — величина адсорбции ПАВ; c — равновесная концентрация ПАВ в объеме раствора.

Соотношение (VI.39) показывает, что константа K_T , а следовательно, и поверхностная активность с увеличением числа CH_2 -групп в молекуле ПАВ возрастают в кратное число раз. Для двух соседних членов гомологического ряда ПАВ при постоянной температуре отношение поверхностных активностей [см. уравнение (VI.39)] составляет:

$$g_{n+1}/g_n = \exp[\varphi N_A/(RT)] = \text{const} \quad (\text{VI.40})$$

Отношение (VI.40) отражает правило Дюкю — Траубе. Оно является постоянной величиной и для водных растворов при 20°C составляет $\approx 3,2$. При температурах, отличных от 20°C , постоянная имеет другие значения. Поверхностная активность пропорциональна также константе, входящей в уравнение Ленгмюра (или уравнение Шишковского), так как $K_T = KA_\infty$ (III.17) и A_∞ — емкость монослоя — постоянна для данного гомологического ряда. Для органических сред правило Дюкю — Траубе обращается: поверхностная активность снижается с увеличением длины углеводородного радикала ПАВ.

При большой длине углеводородных радикалов, когда заметно проявляется взаимодействие между молекулами ПАВ на поверхности, поверхностная активность увеличивается медлен-

нее, чем это следует из правила Дюкло — Траубе. И все же с увеличением длины углеводородного радикала поверхностная активность ПАВ повышается. Так, константа распределения Генри для коллоидных ПАВ может достигать значения 10 000 и более.

Кроме поверхностной активности, непосредственно определяющей адсорбционную способность ПАВ, другой важной количественной характеристикой коллоидных ПАВ является гидрофильно-липофильный баланс (ГЛБ). Соотношение между гидрофильными свойствами полярной группы и липофильными (липос — жир) свойствами углеводородного радикала, зависящими от его размера, характеризуется числами ГЛБ. Числа ГЛБ определяются путем сравнения способности различных ПАВ к мицеллообразованию, стабилизации эмульсий и др.

Наиболее распространенный метод определения чисел ГЛБ — метод Гриффина — основанный на сравнении способности ПАВ образовывать устойчивые эмульсии типа вода — масло или масло — вода. Условно выбраны значения ГЛБ для олеата натрия — 18, триэтаноламина — 12, олеиновой кислоты — 1. Чем выше гидрофильность, тем больше число ГЛБ.

Определение чисел ГЛБ проводят следующим образом. Готовят эмульсии из воды и стандартного масла с эмульгаторами из смесей ПАВ с известными и неизвестными значениями ГЛБ. Эмульсии выдерживают 24 ч, затем определяют наиболее устойчивую эмульсию или фиксируют обращение эмульсии и рассчитывают ГЛБ исследуемого ПАВ, считая это свойство аддитивным, по формуле

$$\text{ГЛБ}_{\text{см}} = \frac{W_A \text{ГЛБ}_A + W_B \text{ГЛБ}_B}{W_A + W_B} \quad (\text{VI.41})$$

где $\text{ГЛБ}_{\text{см}}$ — число ГЛБ смеси ПАВ, обеспечивающее получение устойчивой эмульсии стандартного масла; W_A — количество эмульгатора А с известным ГЛБ_A ; W_B — количество эмульгатора В с неизвестным ГЛБ_B . Имеются и другие эмпирические методы определения чисел ГЛБ. Для вычисления ГЛБ оксигетилированных продуктов пользуются формулой Гриффина:

$$\text{ГЛБ} = (c_{\text{эт}} + c_{\text{сп}}) / 5 \quad (\text{VI.42})$$

где $c_{\text{эт}}$ и $c_{\text{сп}}$ — соответственно содержание этиленоксида и спирта, % (масс.).

Для производных этиленоксида и веществ, в которых гидрофильной группой является этиленоксид, это выражение переходит в следующее:

$$\text{ГЛБ} = c_{\text{эт}} / 5 \quad (\text{VI.43})$$

Работами Девиса установлена количественная зависимость ГЛБ от состава и структуры ПАВ. Каждая структурная единица вносит свой вклад в числа ГЛБ. Числа ГЛБ по Гриффину составляют

для гидрофильных групп:
 $-\text{COOK} - 21,1$; $-\text{COONa} - 19,1$; $-\text{COOH} - 2,4$;
 $-\text{OH} - 1,9$; $=\text{O} - 1,3$

и для гидрофобных групп
 $=\text{CH}-$, $-\text{CH}_2-$, $-\text{CH}_3$, $=\text{C} = -0,475$

На основании этих данных числа ГЛБ можно рассчитать в соответствии с уравнением

$$\text{ГЛБ}_{\text{ПАВ}} = 7 + \sum (\text{ГЛБ})_r - \sum (\text{ГЛБ})_d \quad (\text{VI.44})$$

где Σ (ГЛБ)_г — сумма чисел ГЛБ всех гидрофильных групп; Σ (ГЛБ)_л — сумма чисел ГЛБ липофильных (гидрофобных) групп.

Следует иметь в виду, что в этой формуле не учитывается число CH_2 -групп, составляющих полиоксиэтиленовую цепь.

Физический смысл эмпирических чисел ГЛБ состоит в том, что они определяют отношение работы адсорбции молекул ПАВ на границе раздела из фазы «масло» к работе адсорбции на той же границе из фазы «вода». Таким образом, числа ГЛБ линейно связаны с константой Генри и поверхностной активностью. Именно эти параметры должны быть критериями оценки ПАВ. Однако на практике обычно качество ПАВ оценивают по числам ГЛБ. Так, для получения устойчивых прямых эмульсий (масло в воде) используют ПАВ с числами ГЛБ от 10 до 16 (в зависимости от природы масла), для получения обратных эмульсий (вода в масле) — от 3 до 5; при ГЛБ $7 \div 8$ наблюдается переход эмульсий от прямых к обратным; числа ГЛБ составляют для смачивателей $7 \div 9$, моющих средств 13—15, солюбилизаторов в водных растворах — $15 \div 16$.

В заключение можно отметить, что основной количественной характеристикой ПАВ является поверхностная активность, которая определяет их способность понижать поверхностное натяжение, вызывать эмульгирование, пенообразование, диспергирование и стабилизацию, смачивание и другие явления и процессы.

2. Термодинамика и механизм мицеллообразования

Истинная растворимость ПАВ обусловлена, главным образом, увеличением энтропии при растворении и в меньшей мере энтальпийной составляющей, т. е. взаимодействием с молекулами воды [см. уравнение (VI.23)]. Для ионогенных ПАВ характерна диссоциация в водных растворах, благодаря чему энтропия растворения их значительна. Неионогенные ПАВ не диссоциируют и слабее взаимодействуют с водой, поэтому их растворимость существенно меньше при том же размере радикала. Чаще растворение ПАВ сопровождается поглощением теплоты ($\Delta H > 0$), поэтому их растворимость увеличивается с повышением температуры. Малая растворимость ПАВ проявляется в положительной поверхностной активности, а с ростом концентрации — в значительной ассоциации молекул ПАВ, переходящей в мицеллообразование.

Изотермы поверхностного натяжения коллоидных ПАВ отличаются от изотермы истинно растворимых ПАВ более резким понижением σ с увеличением концентрации и наличием излома на изотерме в области чрезвычайно малых концентраций, отвечающих истинной растворимости ($\approx 10^{-3} \div 10^{-6}$ моль/л), выше которых поверхностное натяжение остается практически по-

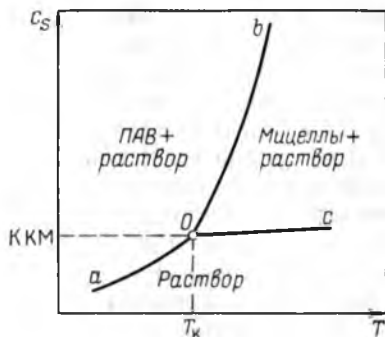
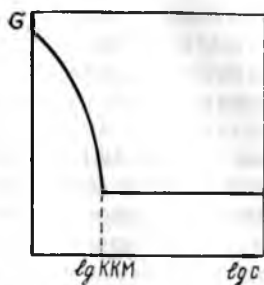


Рис. VI.3. Изотерма поверхностного натяжения коллоидных ПАВ, иллюстрирующая начало мицеллообразования в точке ККМ

Рис. VI.4. Фазовая диаграмма раствора коллоидного ПАВ
 c_s — растворимость ПАВ в воде

стоянным. Концентрация в точке излома соответствует критической концентрации мицеллообразования (ККМ), выше которой в растворе самопроизвольно протекают процессы образования мицелл и истинный раствор переходит в ультрамикроретерогенную систему (золь).

Более резко точка излома выявляется на изотерме, построенной в координатах $\sigma - \lg c$ (для неионогенных ПАВ) или $\sigma - \lg c^v$ (для ионогенных ПАВ) в соответствии с уравнением (II.70) — $d\sigma = GRT d \ln a$ (рис. VI.3). При полном заполнении монослоя ($\Gamma = A_\infty$) постоянному значению σ соответствует постоянное значение химического потенциала ПАВ в растворе, что определяет процесс мицеллообразования как процесс образования новой фазы. Поверхностную активность коллоидных ПАВ можно приближенно оценить через ККМ с помощью соотношений

$$\text{для неионогенных ПАВ } g \approx (\sigma_0 - \sigma_{\text{ККМ}}) / \text{ККМ} \quad (\text{VI.45})$$

$$\text{для ионогенных ПАВ } g_{\pm} \approx (\sigma_0 - \sigma_{\text{ККМ}}) / (\text{ККМ})^v \quad (\text{VI.46})$$

где σ_0 — поверхностное натяжение растворителя (воды).

У коллоидных ПАВ предельные значения $\sigma_0 - \sigma_{\text{ККМ}}$ для границы раздела фаз вода — воздух мало отличаются и составляют около $71,5 \cdot 10^{-3} - 28 \cdot 10^{-3} = 43,5 \cdot 10^{-3}$ Дж/м². Значения ККМ различаются на 2—3 порядка, поэтому можно считать, что поверхностная активность коллоидных ПАВ обратно пропорциональна ККМ. Соотношения (VI.45) и (VI.46) устанавливают связь между поверхностными и объемными свойствами ПАВ.

При концентрациях выше ККМ молекулы ПАВ собираются в мицеллы (ассоциируют) и раствор переходит в мицеллярную

(ассоциативную) коллоидную систему. Растворы коллоидных ПАВ являются классическим примером лиофильных гетерогенных систем — самопроизвольно образующихся равновесных систем с минимумом энергии Гиббса, несмотря на огромную межфазную поверхность.

Под мицеллой ПАВ понимают ассоциат дифильных молекул, лиофильные группы которых обращены к соответствующему растворителю, а лиофобные группы соединяются друг с другом, образуя ядро мицеллы. Число молекул, составляющих мицеллу, называют числом ассоциации, а общую сумму молекулярных масс молекул в мицелле, или произведение массы мицеллы на число Авогадро, — мицеллярной массой. Обратимость лиофильных мицеллярных систем заключается в том, что при разбавлении растворов мицеллы распадаются на молекулы или ионы, и система переходит в истинный раствор.

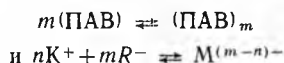
Определенное ориентирование дифильных молекул ПАВ в мицелле обеспечивает минимальное межфазное натяжение на границе мицелла — среда. Соответственно сравнительно небольшая поверхностная энергия может быть скомпенсирована энтропийной составляющей системы.

Многие ПАВ с большими углеводородными радикалами из-за плохой растворимости не образуют мицеллярных растворов. Однако при изменении температуры растворимость ПАВ может увеличиваться и обнаруживается мицеллообразование. Температуру, при которой резко увеличивается растворимость ПАВ вследствие образования мицелл, называют *точкой Крафта* (1896 г.).

Как следует из определения, точка Крафта T_K отвечает ККМ на фазовой диаграмме коллоидного ПАВ (рис. VI.4). Если величина ККМ характеризует нижний предел концентрационной области существования мицеллярных растворов, то T_K — нижний температурный предел. Кривая $a\theta$ на фазовой диаграмме соответствует температурной зависимости истинной растворимости ПАВ, которая медленно растет до точки Крафта. Эта кривая отвечает равновесию между чистым ПАВ (или его гидратом) и истинным раствором ПАВ. Кривая ob показывает зависимость мицеллярной растворимости от температуры (равновесие между чистым ПАВ и его мицеллярным раствором). Участок oc отвечает изменению ККМ от температуры (равновесие между мицеллами и мономерами ПАВ). Таким образом, точка Крафта T_K является тройной точкой на фазовой диаграмме ПАВ — растворитель (вода). В этой точке существует равновесие между тремя фазами: чистое ПАВ — мицеллярный раствор ПАВ — истинный раствор ПАВ. Точка Крафта снижается с уменьшением углеводородного радикала, его разветвлением, при наличии кратных связей, с введением полярных групп, т. е. с увеличением растворимости ПАВ.

Установлено, что мицеллообразованию предшествует ассоциация молекул ПАВ в димеры, тримеры и т. д. Однако для водных растворов ПАВ наличие резких изломов в области ККМ на кривых физико-химическое свойство — концентрация служит достаточным основанием принимать во внимание только два состояния ПАВ в растворе при концентрациях выше ККМ. Это мономерное и мицеллярное состояния ПАВ с определенным числом ассоциации, между которыми существует термодинамическое равновесие. С ростом концентрации ПАВ в растворе концентрация мономера увеличивается незначительно, а количество мицеллярной фазы растет почти пропорционально, начиная с незначительного числа мицелл. Эта закономерность подтверждает справедливость рассмотрения мицеллообразования как процесса возникновения новой фазы. Кроме того, появляется возможность описать мицеллообразование как химическую реакцию ассоциации. Однако нельзя не учитывать того, что термодинамическая активность мицелл (микрофазы) может существенно отличаться от термодинамической активности макрофазы ПАВ.

Процесс мицеллообразования в соответствии с законом действия масс можно выразить для неионогенных и ионогенных ПАВ с помощью уравнений



где K^+ — противоионы; R^- — поверхностно-активный анион; M — мицелла; m — число R в мицелле.

Константы равновесия этих реакций будут равны соответственно

$$K_{\text{неион}} = \frac{a_M}{a^m} = \frac{c_M}{c^m} \cdot \frac{\gamma_M}{\gamma^m} \quad (\text{VI.47})$$

$$K_{\text{ион}} = \frac{a_M}{a^{nK^+} a^{mR^-}} = \frac{c_M}{c^{nK^+} c^{mR^-}} \cdot \frac{\gamma_M}{\gamma^{nK^+} \gamma^{mR^-}} \quad (\text{VI.48})$$

где a , a_{K^+} и a_{R^-} — активности молекулярно растворенного ПАВ, противоионов K^+ и полиионов R^- соответственно; γ и γ_M — коэффициенты активности неионогенного ПАВ соответственно в мономерном и мицеллярном состоянии; γ_{K^+} , γ_{R^-} и γ_M — коэффициенты активности соответственно противоионов, полиионов и мицелл ионогенного ПАВ.

Стандартная энергия Гиббса мицеллообразования, приходящаяся на 1 моль мономера, составит

$$\Delta G^\circ_M = -\frac{RT}{m} \ln K \quad (\text{VI.49})$$

Подставляя вместо константы равновесия мицеллообразования ее значение из (VI.47), принимая коэффициенты активности, равными единице (так как раствор разбавленный), а так-

же учитывая равенство $c = \text{ККМ}$, получим, например, для неионогенных ПАВ:

$$\Delta G^{\circ}_M = - \frac{RT}{m} \ln \frac{a_M}{(\text{ККМ})^m} \quad (\text{VI.50})$$

Таким образом, рассмотрение мицеллообразования с использованием закона действия масс позволяет определить термодинамические функции этого процесса по значению ККМ и активности мицелл в этой области концентраций. Часто активность мицелл принимают равной единице, однако это допущение далеко неправомечно, так как при таком условии не происходило бы растворения ПАВ (равенство активностей мицелл и макрофазы ПАВ), что противоречит эксперименту. Активность мицелл можно определить, например, методом распределения ПАВ между двумя жидкими фазами.

Термодинамическое рассмотрение процесса мицеллообразования позволяет сделать вывод о том, что с увеличением сродства молекул ПАВ к растворителю (их лиофильности) устойчивость мицелл снижается и соответственно увеличивается ККМ: молекулам ПАВ труднее собираться в мицеллу. То же самое наблюдается при повышении степени диссоциации молекул ПАВ и росте заряда мицеллы: увеличивается энергия отталкивания одноименно заряженных лиофобных ионов, образующих мицеллы.

На процесс мицеллообразования в водных растворах существенно влияет структура воды, которая способствует выталкиванию углеводородных радикалов из раствора; одновременно частично разрушается структура раствора. Благодаря дифильному строению молекул ПАВ углеводородные радикалы, взаимодействующие между собой в мицеллах, экранируются гидрофильными группами. Поэтому происходит самопроизвольное мицеллообразование с минимальным поверхностным натяжением на границе раздела мицеллы — вода, сопровождающееся уменьшением энергии Гиббса системы.

Эффектом экранирования объясняется уменьшение энтальпии в процессе мицеллообразования. Взаимодействие отдельных частей молекулы ПАВ в молекулярном растворе с растворителем характеризуется различным по знаку изменением энтальпии: лиофильная часть взаимодействует с выделением теплоты, лиофобная — с поглощением теплоты. Именно поэтому энтальпия растворения ПАВ имеет небольшие положительные или отрицательные значения (чаще всего для водных растворов она положительна). В мицеллярном растворе экранирование лиофобных групп приводит к уменьшению поглощения теплоты, т. е. к снижению энтальпии коллоидной системы по отношению к энтальпии образования истинного раствора. Так как мицеллообразование можно рассматривать как возникновение новой

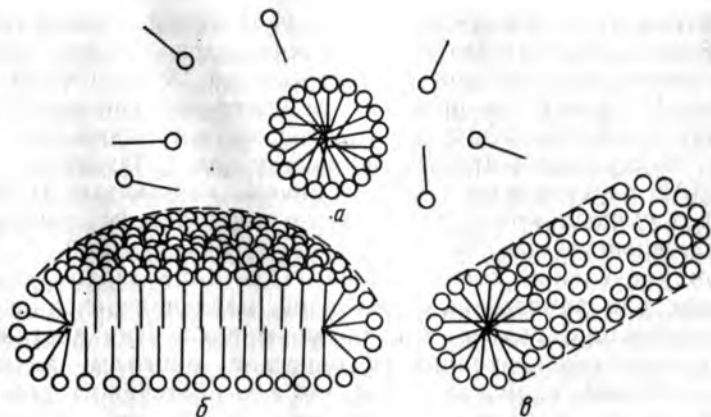


Рис. VI.5. Мицеллы сферические (а), дискообразные (б) и цилиндрические (в)

фазы, то его можно сравнить с расслоением системы, т. е. с процессом ее упорядочения. Для таких процессов характерно уменьшение энтропии. Таким образом, самопроизвольное мицеллообразование по сравнению с образованием молекулярного раствора обусловлено уменьшением энтальпии [см. уравнение (VI.23)].

Если же процесс мицеллообразования рассматривать как самопроизвольное диспергирование, т. е. образование мицеллярного раствора из макрофаз компонентов, то, очевидно, такой процесс будет обеспечиваться энтропийной составляющей как процесс, приводящий систему в то же самое равновесное состояние, но с другой стороны.

При образовании мицелл ПАВ в растворе возможно их формирование и на межфазной поверхности. Мицеллы образуются на поверхности, если работа адсорбции (адгезии) меньше работы ассоциации молекул ПАВ. В противном случае они, выходя на поверхность, разрушаются.

3. Строение мицелл ПАВ. Солюбилизация

При концентрациях ПАВ в водном растворе, несколько превышающих ККМ, согласно представлениям Гартли образуются сферические мицеллы (см. рис. VI.5). Эти мицеллы обычно называют мицеллами Гартли. Внутренняя часть мицелл Гартли состоит из переплетающихся углеводородных радикалов, полярные группы молекул ПАВ обращены в водную фазу. Диаметр таких мицелл равен удвоенной длине молекул ПАВ. Число молекул в мицелле быстро растет в пределах узкого интервала

концентраций, а при дальнейшем увеличении концентрации практически не изменяется, а увеличивается число мицелл. Сферические мицеллы могут содержать от 20 до 100 молекул и более. Например, по результатам измерения светорассеяния, мицелла додецилсульфата натрия состоит в среднем из 73 молекул. Число ассоциации увеличивается при добавлении в раствор ПАВ электролитов. Размер мицелл ионогенных ПАВ постепенно уменьшается с повышением температуры, размер же мицелл неионогенных ПАВ возрастает с температурой.

При увеличении концентрации ПАВ мицеллярная система проходит ряд равновесных состояний, различающихся по числам ассоциации, размерам и форме мицелл. При достижении определенной концентрации сферические мицеллы начинают взаимодействовать между собой, что способствует их деформации. Мицеллы стремятся принять цилиндрическую, дискообразную, палочкообразную, пластинчатую форму (см. рис. VI.5). Существование пластинчатых мицелл доказано Мак-Беном. При концентрациях примерно в 10—50 раз больше ККМ мицеллярная структура многих ПАВ резко изменяется. Молекулы принимают цепочечную ориентацию и вместе с молекулами растворителя способны образовывать жидкокристаллическую структуру. Последней стадией агрегации при дальнейшем удалении воды из системы является образование гелеобразной структуры и твердого кристаллического ПАВ.

В растворах коллоидных ПАВ количество вещества в мицеллярной форме во много раз может превышать его количество в молекулярном состоянии. Так как эти формы находятся в равновесии, то возможно достижение большого содержания ПАВ в растворителях при равновесных условиях, несмотря на их небольшую истинную растворимость (ККМ лежит в пределах 10^{-5} — 10^{-2} моль/л). Этот факт имеет существенное значение для широкого использования ПАВ в различных промышленных областях.

Мицеллы ионогенных ПАВ обычно заряжены, электрический заряд зависит от кислотно-основных свойств функциональной группы ПАВ и от условий среды (рН, наличие электролитов, температуры и др.). Наличие заряда на мицеллах проявляется, например, в их электрофоретической подвижности.

Мицеллообразование в неводных средах, как правило, является результатом действия сил притяжения между полярными группами ПАВ и взаимодействия углеводородных радикалов с молекулами растворителя. Образующиеся мицеллы обращенного вида содержат внутри негидратированные или гидратированные полярные группы, окруженные слоем из углеводородных радикалов. Число ассоциации (от 3 до 40) значительно меньше, чем для водных растворов ПАВ. Как правило, оно растет с увеличением углеводородного радикала до определенного предела.

Вследствие низкой диэлектрической проницаемости неполярных растворителей ионогенные ПАВ в них практически не диссоциируют. Когезионные силы между молекулами ПАВ в мицеллах обусловлены, главным образом, диполь-дипольным взаимодействием между ионными парами и возможными водородными связями. Мицеллообразованию в неводных средах может способствовать наличие воды, связывающей полярные группы. Она оказывается внутри мицеллы. Избыточное количество воды, растворенной в среде, может привести к обращению структуры мицеллы.

Явление растворения веществ в мицеллах ПАВ называется *солюбилизацией*. В водных мицеллярных системах солюбилизируются вещества, нерастворимые в воде, например, бензол, органические красители, жиры. Это обусловлено тем, что ядро мицеллы проявляет свойства неполярной жидкости. В органических мицеллярных растворах, в которых внутренняя часть мицелл состоит из полярных групп, солюбилизируются полярные молекулы воды, причем количество связанной воды может быть значительным. Вещество, солюбилизованное раствором ПАВ, называют *солюбилизатом*, а ПАВ — *солюбилизатором*. Количественно солюбилизацию (солюбилизирующую способность) характеризуют значением мольной солюбилизации S_m — количеством молей солюбилизата, отнесенного к 1 моль мицеллярного ПАВ.

Способ включения молекул солюбилизата в мицеллы в водных растворах зависит от природы вещества. Неполярные углеводороды, внедряясь в мицеллы, располагаются в углеводородных ядрах мицелл. Полярные органические вещества (спирты, амины, кислоты) встраиваются в мицеллу между молекулами ПАВ так, чтобы их полярные группы были обращены к воде, а липофильные части молекул ориентированы параллельно углеводородным радикалам ПАВ. Возможен и третий способ включения солюбилизата в мицеллы, особенно характерный для неионогенных ПАВ. Молекулы солюбилизата, например фенола, не проникают внутрь мицелл, а закрепляются на их поверхности, располагаясь между беспорядочно изогнутыми полиоксиэтиленовыми цепями.

При солюбилизации неполярных углеводородов в ядрах мицелл углеводородные цепи раздвигаются, в результате размер мицелл увеличивается. Способность коллоидных ПАВ солюбилизировать углеводороды возрастает с ростом концентрации ПАВ. Солюбилизация в водных растворах ПАВ обычно увеличивается с повышением гидрофобности ПАВ и гидрофильности солюбилизата.

Солюбилизация — самопроизвольный и обратимый процесс; данной концентрации ПАВ и температуре соответствует вполне определенное насыщение раствора солюбилизатом. В результа-

те солюбилизации получают устойчивые дисперсные системы, подобные самопроизвольно образующимся ультрамикроретерогенным эмульсиям.

Явление солюбилизации находит широкое применение в различных процессах, связанных с применением ПАВ, например, в эмульсионной полимеризации, при изготовлении эмульсионных смазочных жидкостей, получении фармацевтических препаратов, пищевых продуктов. Солюбилизация — важнейший фактор мощного действия ПАВ. Это явление играет большую роль в жизнедеятельности живых организмов, являясь одним из звеньев процесса обмена веществ.

4. Основные факторы, влияющие на критическую концентрацию мицеллообразования.

Методы определения ККМ

Критическая концентрация мицеллообразования — важнейшая характеристика растворов ПАВ. Она зависит прежде всего от строения углеводородного радикала в молекуле ПАВ и характера полярной группы, наличия в растворе электролитов и неэлектролитов, температуры и других факторов.

Длина углеводородного радикала оказывает решающее влияние на процесс мицеллообразования в водных средах. Снижение энергии Гиббса системы в результате мицеллообразования тем больше, чем длиннее углеводородная цепь. Исследования показывают, что образование предмицеллярных ассоциатов наблюдается в поверхностно-активных электролитах с наличием в углеводородной цепи более четырех атомов углерода. Однако в таких соединениях слабо выражено различие между гидрофильной и гидрофобной частями (высокое значение ГЛБ). В связи с этим энергия ассоциирования недостаточна, чтобы удержать молекулы от беспорядочного теплового движения и тем самым создать условия для мицеллообразования. Как правило, способность к мицеллообразованию свойственна молекулам ПАВ с длиной углеводородного радикала более 8—10 атомов углерода.

Уравнение, устанавливающее связь между ККМ и длиной углеводородного радикала, может быть выведено из рассмотрения мицеллообразования как процесса образования новой фазы. При равновесии химические потенциалы ПАВ в растворе μ_p и в мицелле μ_m равны $\mu_p = \mu_m$, и можно записать:

$$\mu_p^\circ + RT \ln KKM = \mu_m^\circ + RT \ln a_m \quad (VI.51)$$

Считая мицеллу фазой чистого ПАВ, можно принять его активность в мицелле равной единице. Тогда получим:

$$RT \ln KKM = \mu_m^\circ - \mu_p^\circ \quad (VI.52)$$

Левая часть уравнения (VI.52) представляет собой энергию переноса вещества из раствора в чистое состояние, т. е. энергию растворения. Известно, что энергия растворения органических соединений в воде уменьшается линейно с увеличением длины углеводородного радикала. Следовательно

$$RT \ln KKM = a - bn \quad (\text{VI.53})$$

где a — постоянная, характеризующая энергию растворения функциональных групп (полярных частей молекул); b — постоянная, характеризующая энергию растворения, приходящуюся на одну группу CH_2 ; n — число групп CH_2 .

Для органической среды имеем:

$$RT \ln KKM = a + bn \quad (\text{VI.54})$$

т. е. при увеличении длины углеводородного радикала повышается растворимость ПАВ и возрастает ККМ. Разветвленность, непредельность и циклизация углеводородного радикала уменьшают склонность к мицеллообразованию и увеличивают ККМ.

Характер полярной группы играет существенную роль при мицеллообразовании в водных и неводных средах. Ее влияние на ККМ отражает параметр a в уравнениях (VI.53) и (VI.54). Роль гидрофильных групп в водных растворах ПАВ заключается в том, чтобы удерживать образующиеся ассоциаты в воде и регулировать их размер. Сферическая форма ионных мицелл устанавливается, если энергия ассоциирования углеводородных цепей достаточно большая и превышает энергию электростатического отталкивания между ионными группами. Гидратация противоионов, окружающих мицеллу, способствует отталкиванию, а менее гидратированные ионы легче адсорбируются на поверхности мицелл. В связи с этим наблюдается уменьшение ККМ и увеличение мицеллярной массы для катионных ПАВ в ряду $\text{Cl}^- < \text{Br}^- < \text{I}^-$ и анионных ПАВ в ряду $\text{Na}^+ < \text{K}^+ < \text{Cs}^+$. Наличие ионных концевых групп обеспечивает хорошую растворимость ПАВ в воде, поэтому для перехода ионогенных молекул в мицеллу требуется значительно больше энергии, чем для образования мицелл из неионогенных молекул. В связи с этим ККМ для ионогенных ПАВ значительно выше, чем для неионогенных, при одинаковой гидрофобности молекулы. Величина \lg ККМ неионогенных ПАВ с полиоксиэтиленовой цепью растет с увеличением длины цепи по линейному закону.

Введение электролитов в водные растворы неионогенных ПАВ слабо влияет на ККМ и размер мицеллы. Для ионогенных ПАВ это влияние существенно. Сравнение свойств ионогенных и неионогенных ПАВ, имеющих одинаковые углеводородные цепи, показывает, что мицеллярная масса ионогенных ПАВ намного меньше, чем для неионогенных, причем с ростом концентрации электролита мицеллярная масса ионогенных ПАВ растет, а неионогенных ПАВ изменяется мало. Влияние электролитов

на ККМ описывается общим уравнением (для ионогенных ПАВ):

$$\ln \text{ККМ} = a' - b'n - k \ln c \quad (\text{VI.55})$$

где a' и b' — постоянные, имеющие тот же физический смысл, что и в уравнении (VI.53); k — константа; c — концентрация индифферентного электролита.

В отсутствие индифферентного электролита $c = \text{ККМ}$, и уравнение (VI.55) переходит в (VI.53); при $n = \text{const}$ получается зависимость ККМ только от концентрации электролита.

Введение неэлектролитов (органических растворителей) в водные растворы ПАВ также приводит к изменению ККМ. При наличии солюбилизации устойчивость мицелл повышается, т. е. уменьшается ККМ. Если молекулы растворителя не входят внутрь мицелл, то они, как правило, увеличивают ККМ или за счет повышения растворяющей способности среды, или в результате уменьшения ее диэлектрической проницаемости и увеличения силы отталкивания между органическими ионами ионогенных ПАВ. В то же время с уменьшением диэлектрической проницаемости растворителя снижается диссоциация ионогенных ПАВ, что увеличивает способность ПАВ к образованию мицелл.

Для регулирования свойств ПАВ применяют их смеси, в которых проявляются синергетические или антагонистические эффекты, т. е. такие смеси могут иметь значительно более высокую или менее высокую мицеллообразующую, солюбилизующую способности и др.

Методы определения ККМ основаны на регистрации резкого изменения физико-химических свойств растворов ПАВ в зависимости от концентрации (например, поверхностного натяжения σ , мутности τ , эквивалентной электропроводности λ , осмотического давления π , показателя преломления n). На кривой зависимости свойство — состав в области ККМ обычно появляется излом (рис. VI.6). Одна из ветвей кривых (при более низких концентрациях) на рис. VI.6 описывает свойства системы в молекулярном состоянии, а другая — в коллоидном. Абсциссу точки излома условно считают соответствующей переходу молекул в мицеллы, т. е. критической концент-

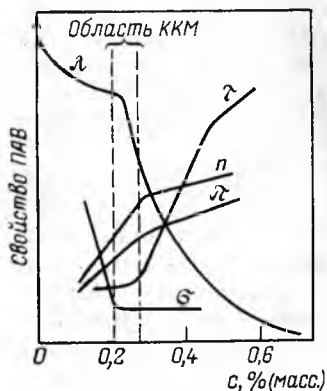


Рис. VI.6. Зависимость мутности τ , эквивалентной электропроводности λ , поверхностного натяжения σ , показателя преломления n раствора додецилсульфата натрия в воде от его концентрации

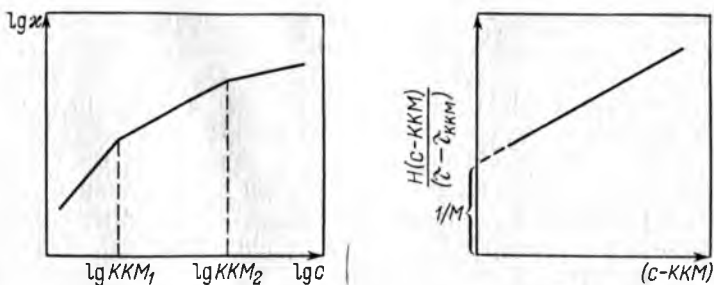


Рис. VI.7. Зависимость удельной электропроводности раствора ионогенного ПАВ от его концентрации

Рис. VI.8. Графическое определение мицеллярной массы ПАВ по мутности раствора

рацией мицеллообразования. Ниже приводится краткое описание некоторых методов определения ККМ.

Кондуктометрический метод применяется для определения ККМ ионогенных ПАВ. Зависимость эквивалентной электропроводности от концентрации ПАВ отличается от аналогичной зависимости для растворов простых электролитов. В области до KKM_1 водные растворы ПАВ обнаруживают отклонение от уравнения Онзагера (линейное уменьшение эквивалентной электропроводности в зависимости от $c^{1/2}$) в той же степени, которая характерна для средних по силе электролитов. Однако уже при малых концентрациях ($\approx 10^{-3}$ моль/л) на кривой концентрационной зависимости эквивалентной электропроводности наблюдается излом. При этих концентрациях начинают формироваться ионные мицеллы, окруженные диффузным слоем противоионов. Подвижность ионов при этом снижается и эквивалентная электропроводность уменьшается с увеличением концентрации резче, чем до критической концентрации мицеллообразования. В точке ККМ наблюдается также уменьшение наклона подобной зависимости для удельной электропроводности.

Изменение удельной электропроводности позволяет определить KKM_2 — концентрацию, при которой происходит перекрывание двойных электрических слоев мицелл при сохранении их сферической формы (рис. VI.7).

Другой метод определения ККМ основан на измерении поверхностного натяжения водных растворов ПАВ, которое резко уменьшается с ростом концентрации (см. рис. VI.6) вплоть до ККМ, а затем остается постоянным. Этот метод применим как для ионогенных, так и для неионогенных ПАВ, однако при наличии примесей точку излома на кривой σ — c установить трудно.

График зависимости показателя преломления от концентрации раствора ПАВ представляет собой ломаную линию из двух отрезков, пересекающихся в точке ККМ. По этой зависимости можно определить ККМ для ПАВ в водных и неводных средах.

Солюбилизация красителей и углеводов в мицеллах позволяет определять ККМ ионогенных и неионогенных ПАВ как в водных, так и неводных растворах. При достижении в растворе ПАВ концентрации, соответствующей ККМ, растворимость углеводов и красителей резко увеличивается. Наиболее удобно применять жирорастворимые красители, интенсивно окрашивающие раствор ПАВ при концентрациях его выше ККМ. Солюбилизацию измеряют методом, основанным на светорассеянии, или спектрофотометрически.

Измерение интенсивности светорассеяния при мицеллообразовании позволяет не только находить ККМ по резкому увеличению наклона концентрационной кривой, но и определять мицеллярную массу и числа ассоциации. Согласно теории светорассеяния в разбавленных коллоидных системах, частицы которых имеют размер меньше $0,1$ длины волны света, выполняется соотношение Дебая:

$$\frac{H(c - \text{ККМ})}{\tau - \tau_{\text{ККМ}}} = \frac{1}{M_M} + 2A(c - \text{ККМ}) \quad (\text{VI.56})$$

где H — оптическая константа Дебая (V.26); c — концентрация раствора ПАВ; τ и $\tau_{\text{ККМ}}$ — мутность раствора и мутность его при ККМ соответственно; M_M — мицеллярная масса; A — второй вириальный коэффициент.

Строят зависимость $H(c - \text{ККМ}) / (\tau - \tau_{\text{ККМ}}) = f(c - \text{ККМ})$ (рис. VI.8), предварительно определив ККМ одним из методов. По отрезку, отсекаемому на оси ординат, рассчитывают мицеллярную массу. Зная молекулярную массу ПАВ, находят число ассоциации m :

$$m = M_M / M \quad (\text{VI.57})$$

Определяемые этим методом значения второго вириального коэффициента A позволяют оценить силу взаимодействия мицелл с растворителем.

5. Применение поверхностно-активных веществ

Поверхностно-активные вещества находят широкое применение в различных отраслях промышленности, а также в быту. С помощью этих веществ можно существенно изменять свойства поверхностных межфазных слоев и тем самым влиять на процессы, происходящие на границе раздела фаз. Введением ПАВ можно вызвать понижение прочности материала при дроблении и резании, увеличить пластичность керамических композиций и бетонных смесей, обеспечить и улучшить адгезию между напол-

нителем и связующим, усилить контактные взаимодействия между волокнами нетканых материалов (бумаги, картона и т. д.). ПАВ применяют для получения смазочных жидкостей, для защиты металлов от коррозии, при нанесении электролитических покрытий, в качестве компонентов лакокрасочных материалов, для увеличения нефтедобычи, для флотации при обогащении руд, для получения пены при тушении пожаров, для ускорения процессов осаждения и фильтрации, в текстильной промышленности для крашения и замасливания волокон и т. д.

Непредельные ПАВ используют в процессах эмульсионной полимеризации в качестве эмульгаторов, обеспечивающих прочные связи ПАВ с частицей и оказывающих влияние на молекулярную массу полимера. На способности к полимеризации ненасыщенных ПАВ основано их применение для микрокапсулирования различных веществ (заклучение мелких частиц жидкого или твердого вещества в тонкую оболочку пленкообразующего материала).

ПАВ являются основой синтетических моющих средств (детергентов), обладающих универсальным действием (удаление загрязнений с различных поверхностей и отбеливающая способность). Именно для этих целей расходуется наибольшая часть выпускаемых ПАВ. Механизм моющего действия включает несколько стадий. ПАВ понижает поверхностное натяжение раствора, что улучшает смачивание загрязненных предметов и проникновение раствора в узкие места, капилляры и т. д. Адсорбция ПАВ на частицах загрязнений и на поверхности обрабатываемого предмета способствует отрыву частиц от предмета и их стабилизации в растворе. Образующаяся пена обеспечивает унос загрязнений (флотация). Очистка от масляных загрязнений достигается за счет солюбилизации, это подтверждается тем, что моющее действие ПАВ проявляется при концентрациях, превышающих ККМ.

Ассортимент ПАВ и их области применения неуклонно растут. В связи с этим большую актуальность приобретают экологические проблемы, обусловленные влиянием ПАВ на окружающую среду и живые организмы.

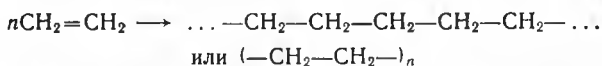
В. РАСТВОРЫ ВЫСОКОМОЛЕКУЛЯРНЫХ СОЕДИНЕНИЙ (МОЛЕКУЛЯРНЫЕ КОЛЛОИДЫ)

1. Общая характеристика высокомолекулярных соединений

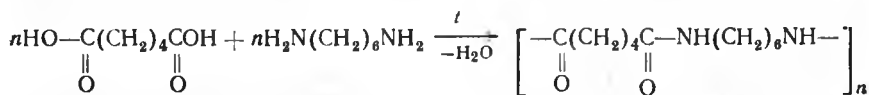
Высокомолекулярными соединениями (ВМС) называют вещества, имеющие относительную молекулярную массу приблизительно от 10 000 до нескольких миллионов. Размеры макромолекул этих соединений в вытянутом состоянии могут достигать 1000 нм и более, т. е. они соизмеримы с размерами частиц

ультрамикрогетерогенных дисперсных систем. ВМС, состоящие из большого числа повторяющихся одинаковых звеньев, называются *полимерами*. Однако часто под полимерами подразумеваются все ВМС. Большой молекулярной массой и гибкостью цепей макромолекул объясняются специфические свойства ВМС и их растворов, такие как способность образовывать волокна и пленки, эластичность, набухаемость. Твердые ВМС чаще имеют аморфную структуру, чем кристаллическую. Температуры их разложения существенно ниже температур кипения, что объясняет невозможность перевода ВМС в газообразное состояние. По этой причине для ВМС характерны только твердое и жидкое состояния.

В качестве исходных веществ для получения полимеров используют ненасыщенные или полифункциональные низкомолекулярные соединения (*мономеры*). Методы синтеза полимеров основаны на реакциях полимеризации и поликонденсации. *Полимеризацией* называется реакция соединения молекул мономера, в результате которой образуются макромолекулы, не отличающиеся по составу от исходного мономера. Эта реакция не сопровождается выделением побочных продуктов. Типичным примером полимеризации является синтез полиэтилена из этилена:



Поликонденсацией называется реакция образования полимера, при которой соединение мономеров сопровождается выделением некоторых простых низкомолекулярных веществ, обычно воды, аммиака и др. Примером может служить получение полиамида (найлона) из адипиновой кислоты и гексаметилендиамина:



Многие полимеры получают из двух (или более) мономеров разного состава. Такой процесс образования полимеров носит название *сополимеризации*. Следует отметить, что свойства сополимеров обычно не являются простой суммой свойств соответствующих полимеров.

Число повторяющихся звеньев в макромолекуле называют степенью полимеризации. Любой реальный синтетический полимер состоит из макромолекул разной степени полимеризации и характеризуется определенной полидисперсностью (полимолекулярностью) и функцией распределения макромолекул по размерам (степеням полимеризации).

Свойства полимера во многом зависят от взаимного расположения звеньев в макромолекуле, т. е. от ее конфигурации.

Конфигурация определяет его способность к кристаллизации, эластические свойства и др.

По строению макромолекулярной цепи полимеры подразделяют на линейные, разветвленные и сшитые (с пространственной сетчатой структурой). Если молекулы мономера бифункциональны, то образуются линейные полимеры, так как при росте макромолекулы бифункциональность остается постоянной. Если функциональность реагирующих молекул мономеров больше двух, то в процессе полимеризации функциональность растущей молекулы увеличивается и образуется полимер с пространственной структурой (сшитые полимеры). При определенных условиях получают разветвленные полимеры (с боковыми ответвлениями от основной цепи), имеющие промежуточные свойства между линейными и сшитыми полимерами.

Линейные полимеры обладают высокоэластическими свойствами, хорошо растворяются. Их применение основано на способности образовывать волокна и, следовательно, нити. Полимеры с пространственной сетчатой структурой, которая формируется в результате поперечного связывания линейных цепей (сшивка), менее эластичны и обладают большей твердостью. Такой полимер полностью утрачивает растворимость и способен лишь набухать с увеличением (иногда во много раз) своего объема.

Макромолекулы в полимере или в его растворе имеют различные конформации. Предельными из них являются вытянутая цепь и глобулярная макромолекула (свернутая в клубок) с плотностью, близкой к плотности полимера. Наиболее вероятное состояние макромолекулы соответствует форме статистического клубка с непрерывно изменяющимися размерами и конформацией (взаимное расположение звеньев макромолекулы изменяется в результате теплового движения). При взаимодействии макромолекул образуются ассоциаты (надмолекулярные структуры) разных размеров и формы.

Многие полимеры в основной цепи или в боковых ответвлениях содержат полярные группы. Полимеры с ионогенными группами называют полиэлектролитами. Они подразделяются на поликислоты, полиоснования и полиамфолиты. Примером пространственно сшитых полиэлектролитов являются ионообменные смолы.

По происхождению высокомолекулярные соединения подразделяют на природные и синтетические. К важнейшим природным полимерам относятся белки и полисахариды. Белки являются основой всех живых организмов, они составляют существенную часть живой клетки и обеспечивают ее жизнедеятельность. Белки входят в состав кожи, мышц, сухожилий, нервов и крови, а также ферментов и гормонов, содержатся во многих растительных и животных продуктах: молоке, яйцах, зернах

пшеницы, бобах и др. К белкам относятся широко применяемые в технике желатина, казеин, яичный альбумин. Из нерастворимых белков наиболее известны шерсть и шелк, отличающиеся волокнистым строением.

По химической природе белки — полиамиды, исходными мономерами для их синтеза служат α -аминокислоты. Они обладают амфотерными свойствами, так как содержат группы COOH и NH_2 .

Полисахариды (полимерные углеводы) представляют собой соединения, состоящие из многих сотен или даже тысяч моносахаридных звеньев. Их состав отвечает общей формуле $(\text{C}_6\text{H}_{10}\text{O}_5)_n$. К наиболее важным полисахаридам относятся целлюлоза и крахмал. Оба эти вещества образуются в растениях из диоксида углерода и воды в результате фотосинтеза. Целлюлоза — основной строительный материал растений, крахмал служит запасным пищевым фондом растений и находится в основном в семенах (кукуруза, картофель, рис, пшеница и др.). Углеводы служат источником питания человека. В организме человека и животных они превращаются в жиры и белки. Целлюлоза в виде хлопка и вискозы применяется для изготовления одежды и бумаги.

Целлюлоза имеет молекулярную массу от 250 000 до 1 000 000 и более, нерастворима в воде, содержит много гидроксильных групп и способна набухать в растворах щелочей. Важнейшие методы переработки целлюлозы основаны на переводе ее в эфиры: нитраты, ацетаты, которые растворимы в ацетоне, хлороформе и других растворителях. Эфиры целлюлозы используют для получения фотопленки и волокна (ацетатный шелк). Крахмал набухает в холодной воде, он содержит 20% растворимой в горячей воде фракции. Из крахмала гидролизом получают декстрин, патоку, глюкозу.

Широкое применение получили синтетические ВМС, и соответственно бурно развиваются методы их синтеза. Приведенные выше примеры реакций полимеризации и поликонденсации показывают, что цепи полимеров могут состоять из атомов углерода (карбоцепные полимеры) и могут содержать в цепи наряду с углеродом атомы кислорода, азота, серы (гетероцепные полимеры).

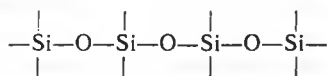
Карбоцепные полимеры часто содержат боковые цепи в виде алкильных радикалов разной длины. Чем больше регулярность строения, тем в большей степени проявляется способность полимера к кристаллизации и соответственно выше прочность волокон. К полимерам регулярного строения относятся полипропилен, поливинилхлорид, поливиниловый спирт. С увеличением степени разветвленности и нарушением регулярности строения цепи увеличиваются эластические свойства полимеров, например полимерных парафинов (полипропилены, полибутены и

т. д.). В качестве боковых групп в углеродной основной цепи могут быть не только углеводородные радикалы, но и многие функциональные группы, придающие полимерам разнообразные свойства. Их вводят с мономером при синтезе полимеров или с помощью реакций замещения в готовые полимеры.

Большинство гетероцепных полимеров получают по реакции поликонденсации. Наиболее известные из них — это полиэфиры, полиамиды, полиуретаны, поликарбонаты. Обычно гетероцепные полимеры имеют регулярные структуры, поэтому хорошо кристаллизуются и дают прочные волокна. Примерами таких полимеров могут служить поликапролактан (капрон, силон), полиэтиленгликольтерефталат (терилен, лавсан), полигексаметилендиаминадипинат (найлон 6,6). Капрон и найлон могут заменять металл при изготовлении деталей машин (шестерни, подшипники). Полиуретаны используются для получения синтетических каучуков.

Из полифункциональных мономеров, создающих пространственную (трехмерную) структуру полимера, обычно сначала получают низкомолекулярные полимеры, способные растворяться и плавиться. Из таких полимеров готовят клеи, лаки и различные изделия. Процесс поликонденсации продолжается в изделии, в результате чего полимер затвердевает. Изделия часто получают из низкомолекулярных порошкообразных смол методами прессования и литья. Наиболее распространенные синтетические смолы — фенолоформальдегидные (бакелиты) и эпоксидные.

Особую группу составляют кремнийорганические и другие элементоорганические полимеры. В кремнийорганических полимерах (полисилоксанах) основная цепь состоит из атомов кремния и кислорода:



Свойства полисилоксанов (температура размягчения, растворимость и др.) зависят от природы боковых радикалов, соединенных с атомами кремния. В качестве мономеров для синтеза полисилоксанов обычно используют соединения типа R_2SiCl_2 , которые при гидролизе образуют соединения $\text{R}_2\text{Si}(\text{OH})_2$, способные к поликонденсации. Получены полимеры, содержащие в основной цепи кроме атомов кремния атомы бора, алюминия, титана, олова, связанные с кремнием через кислород.

Неорганические полимеры имеют неорганические основные цепи и не содержат органических боковых радикалов. Их классифицируют по тем же признакам, что и органические полимеры: по конфигурации — линейные, разветвленные и сшитые; по происхождению — природные и синтетические, по составу ос-

новой цепи — гомо- и гетероцепные. Неорганические гомо- и гетероатомные цепи способны образовывать элементы групп III—VI Периодической системы. Если углеродные цепи имеют чисто ковалентные связи, то элементы слева от группы IV образуют донорно-акцепторные связи $M \leftarrow L$ (за счет вакантных орбиталей атома элемента M), а справа от IV группы — дативные связи $M \rightarrow L$ (за счет неподеленных пар электронов атома M). Такие гетероатомные частично ионные связи обычно прочнее чисто ковалентных. В отличие от органических полимеров неорганические ВМС не имеют длинных цепей и соответственно для них не характерно эластичное состояние.

Кроме углерода, другие элементы не могут образовывать ненасыщенных соединений, поэтому синтез неорганических полимеров осуществляется, главным образом, путем поликонденсации. Некоторую способность образовывать гомоцепные неорганические полимеры проявляют бор, сера, олово. Большинство же элементов образуют гетероцепные полимеры и в основном трехмерной структуры. Наиболее типичными представителями гетероцепных неорганических полимеров являются оксиды, которые можно считать продуктами поликонденсации гидроксидов. К ним относятся оксиды кремния, алюминия, титана, олова, бора, смешанные оксиды типа алюмосиликатов и др.

2. Растворы полимеров как коллоидные системы

Еще основатель коллоидной химии Грэм предположил, что особые свойства коллоидов обусловлены их полимерным строением. Первыми объектами изучения в коллоидной химии были растворы высокомолекулярных соединений: желатины, гуммиарабика, крахмала и др. Хотя в то время не удавалось определить строение коллоидных частиц, принадлежность растворов этих соединений к коллоидным системам не подвергалась сомнению. Считали, что все коллоидные системы термодинамически неустойчивы и соответственно эта особенность распространялась на растворы ВМС. Дальнейшими исследованиями были установлены отличия растворов ВМС от других коллоидных систем. Так, для растворов ВМС характерны большая вязкость, высокая устойчивость, способность к набуханию. Это послужило основанием отнести растворы ВМС, как и растворы коллоидных ПАВ, к лиофильным системам, при этом подразумевалось большое сродство частиц к растворителю.

С развитием работ по синтезу искусственных ВМС появилась необходимость в изучении строения макромолекул и их свойств. Большая молекулярная масса ВМС подтверждалась, главным образом, результатами исследования по диффузии. На том основании, что ПАВ (сравнительно низкомолекулярные

соединения) могут давать в растворе коллоидные частицы значительных размеров, в 20-е годы XX века распространилось представление о макромолекулах как ассоциатах из малых молекул, подобных мицеллам ПАВ.

Предполагалось, что ассоциация обусловлена сильными, но нековалентными связями. Эта теория получила название теории «малых блоков»; ее сторонниками были Поляни, Герцог, Каррер, Гесс.

В те же годы Штаудингером было доказано, что высокомолекулярные соединения являются продуктами полимеризации и поликонденсации мономеров с образованием ковалентных связей. Он ввел понятия степени полимеризации и статистической молекулярной массы. Одновременно разными исследователями было установлено, что сольватация макромолекул почти не отличается от сольватации молекул мономеров. Оказалось, что особенности в поведении полимеров связаны не только с большим размером молекул, но и с гибкостью полимерных цепей, вследствие чего макромолекулы способны принимать большое число конформаций. Учет этих конформаций лежит в основе созданной Марком и Куном (1928 г.) кинетической теории изолированной макромолекулы и разработанной Хаггинсом и Флори статистической термодинамики растворов полимеров. Было доказано, что лиофильность молекулярных коллоидов (растворов полимеров) объясняется не столько взаимодействием с растворителем, сколько энтропийной составляющей, обусловленной многочисленными конформациями макромолекулы, свернутой в клубок.

Несмотря на существовавшие различные представления о строении макромолекул, растворы полимеров всегда рассматривались как коллоидные системы. Однако в 1937 г. их принадлежность к коллоидам была взята под сомнение. В. А. Каргинным с сотр. было установлено, что растворы полимеров являются термодинамически устойчивыми системами. Этот факт явился большим вкладом в науку о полимерах и о коллоидных системах вообще. В то же время, считая термодинамическую устойчивость принципиальной особенностью коллоидных систем, авторы сделали вывод о том, что растворы полимеров являются истинными растворами, а не коллоидными. В связи с этим некоторые ученые даже предлагали выделить физическую химию полимеров вообще из коллоидной химии. Однако уже к тому времени были известны коллоидные системы, обладающие термодинамической устойчивостью, например растворы мыл и других коллоидных ПАВ (мицеллярные растворы). Кроме того, по мере исследования структуры полимеров и их растворов стала проявляться важная роль поверхностных явлений в их свойствах. Это вызвало необходимость обратиться к более четким понятиям гетерогенности и микрофазы.

В растворах полимеров, как и в золях, частицы (макромолекулы) находятся в тепловом движении, поэтому понятие о гетерогенности или гомогенности системы не может являться однозначным при всех условиях. В «хороших» растворителях молекула линейного полимера вытянута, в ней отсутствует однородное ядро, характерное для микрофазы. В «плохих» растворителях макромолекула свернута в компактную глобулу, и ее можно рассматривать как частицу отдельной фазы. Такое свертывание макромолекул аналогично возникновению новых фаз. При формировании глобул происходит определенное ориентирование углеводородных цепей и полярных групп, подобное тому, как это наблюдается при образовании мицелл из молекул ПАВ, т. е. обеспечивается минимальное межфазное натяжение на границе макромолекула — среда. Для растворов дифильных макромолекул характерна и сольubilизация, возможная только в гетерогенно-дисперсных системах.

К тем же выводам приводит и статистическое рассмотрение отдельных макромолекул. Когда макромолекула предельно вытянута, число степеней свободы ее минимально и растворы полимеров ближе к однофазным системам. Если макромолекула принимает глобулярную структуру, возможность проявления гибкости полимерных цепей увеличивается, или резко возрастает число конформаций (число степеней свободы). При таком состоянии молекул растворы полимеров проявляют практически все свойства коллоидных (гетерогенных) систем.

Согласно термодинамическим представлениям для макромолекул характерна такая особенность фазы, как постоянство свойств, например давления пара мономера, при изменении молекулярной массы (количество фазы). В этом отношении, как подчеркивал в дальнейшем В. А. Каргин, «превращение мономера в полимер можно рассматривать как явление, эквивалентное фазовому превращению», или «с точки зрения термодинамики макромолекулы должны рассматриваться как частицы твердой фазы».

Приведенные рассуждения относятся к отдельным макромолекулам, которые могут быть только в очень разбавленных растворах, и они тем более справедливы для частиц, имеющих надмолекулярный характер, т. е. представляющих собой ассоциаты нескольких макромолекул. Именно ассоциаты макромолекул (мицеллы) содержатся в растворах обычных концентраций и составляют структуру полимеров.

Следует еще раз отметить, что коллоидные системы, для которых характерно тепловое движение частиц дисперсной фазы, обладают свойствами как гетерогенных систем, так и истинных растворов. В зависимости от условий и дисперсности они могут проявлять эти свойства в той или иной степени. Таким образом, растворы полимеров, как и лиозоли вообще, относятся

к системам, переходным между истинными гетерогенными системами и истинными растворами.

✓ Особый вид водных коллоидных дисперсий полимеров составляют латексы, представляющие собой стабилизированный золь полимера. Натуральный латекс (млечный сок каучуконосных растений) — это водная дисперсия натурального каучука. Частицы натурального латекса, имеющие размеры от 0,25 до 5 мкм, окружены поверхностным слоем, состоящим из белковых веществ и природных ПАВ, придающих системе агрегативную устойчивость.

Синтетические латексы получают эмульсионной полимеризацией мономера, солюбилизированного в мицеллы коллоидных ПАВ (эмульгаторов), при добавлении инициатора полимеризации. После полимеризации солюбилизата ПАВ остается на поверхности частиц, выполняя роль стабилизатора латекса (золя, образующегося из микроэмульсии).

Из натурального латекса в основном получают натуральный каучук путем коагуляции и соответствующей обработки. Латексы используют и непосредственно, например для получения различных резиновых изделий (губчатых резин, резиновых перчаток, резиновой обуви и др.), в качестве связующих, для обработки бумаги, текстильных материалов.

3. Набухание и растворение высокомолекулярных соединений

Взаимодействие полимеров с растворителем имеет большое значение при переработке полимеров, их применении, в биологических процессах и др. Например, белки и полисахариды в живых организмах и растениях находятся в набухом состоянии. Многие синтетические волокна и пленки получают из растворов полимеров. Растворами полимеров являются лаки и клеи. Определение свойств макромолекул, в том числе молекулярных масс, проводят, как правило, в растворах. Пластификация полимеров, осуществляемая в производстве изделий, основана на набухании полимеров в растворителях — пластификаторах. Вместе с тем для практического применения полимеров важным свойством является устойчивость их в растворителях. Для решения вопросов о возможном набухании, растворении полимера в данном растворителе или об его устойчивости по отношению к этим процессам необходимо знать закономерности взаимодействия полимеров с растворителями.

Взаимодействие полимеров с растворителями обычно начинается с набухания. Процесс набухания состоит в поглощении растворителя веществом, объем и масса которого при этом увеличиваются. Набухание наиболее характерно для высокомолекулярных соединений. В результате набухания их объем и

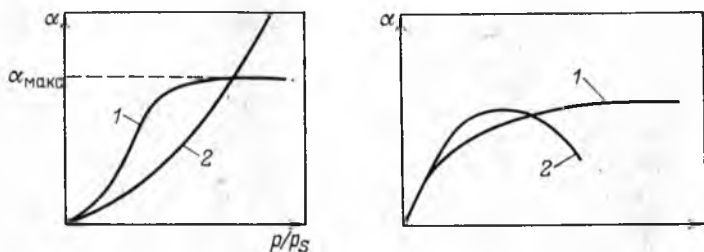


Рис. VI.9. Изотермы ограниченного (1) и неограниченного (2) набухания p и p_s — давление насыщенного пара растворителя соответственно над набухшим полимером и над чистым растворителем

Рис. VI.10. Кинетические кривые ограниченного (1) и неограниченного (2) набухания

масса могут увеличиваться в 10—15 раз. Неорганические материалы, обладающие жесткой структурой, мало способны к набуханию. Они могут удерживать жидкости в порах в основном вследствие адсорбции и капиллярных явлений; при этом их структура, а следовательно, и объем не изменяются.

Масса жидкости, поглощенная единицей массы вещества при данной температуре, называется степенью набухания:

$$\alpha = (m_2 - m_1) / m_1 \quad (\text{VI.58})$$

где m_1 и m_2 — масса вещества до и после набухания соответственно.

Характеристики набухания аналогичны характеристикам сорбции. Основной из них является *изотерма набухания*, которая показывает зависимость степени набухания от термодинамической активности растворителя (от давления его пара) при данной температуре. Типичные изотермы набухания представлены на рис. VI.9. Как видно, с ростом давления пара растворителя степень набухания увеличивается. Изотерма процесса набухания, переходящего в растворение (неограниченное набухание), круто поднимается вверх вплоть до активности растворителя, равной единице ($p = p_s$). Степень набухания может достигать определенного предельного значения и далее с ростом давления пара растворителя не увеличиваться (ограниченное набухание). При ограниченном набухании система переходит в состояние геля (гели ВМС называют студнями).

В состоянии ограниченного набухания система состоит из двух фаз, находящихся в равновесии: насыщенный раствор растворителя в веществе (ВМС), т. е. гель, и насыщенный раствор вещества (ВМС) в растворителе, как правило, небольшой концентрации. Такое двухфазное равновесие аналогично равновесию при ограниченном растворении низкомолекулярных веществ. Неограниченное набухание характерно для линейных полимеров. Сшитые полимеры набухают в растворителях, но не

растворяются. При изменении условий ограниченное набухание может перейти в неограниченное. Например, при повышении температуры такой переход наблюдается при набухании желатин и агара в воде.

Набухание — осмотический процесс, при котором происходит диффузия молекул растворителя в высокомолекулярное вещество. Такой односторонний процесс объясняется тем, что макромолекулы ВМС очень большие и разветвленные, благодаря чему они переплетены между собой и слабо подвержены действию теплового движения. В противоположность молекулам ВМС небольшие молекулы растворителя очень подвижны, они легко проникают в высокомолекулярное соединение, увеличивая его объем.

Различают межструктурное и внутрискруктурное набухание. При межструктурном набухании молекулы растворителя, диффундируя в аморфный полимер, занимают свободное пространство прежде всего между элементами надмолекулярных структур. Если полимер и растворитель близки по природе, молекулы растворителя проникают также внутрь надмолекулярных образований, раздвигая сначала отдельные участки макромолекул, а затем и целиком длинные полимерные цепи (внутрискруктурное набухание). Внутрискруктурное набухание сопровождается значительным увеличением объема полимера. При этом расстояние между макромолекулами увеличивается, связи между ними ослабляются, и если эти связи становятся меньше осмотических сил, то макромолекулы будут диффундировать в растворитель, т. е. набухание перейдет в растворение.

Типичные кинетические кривые набухания, характеризующие зависимость степени набухания от времени при данной активности растворителя (давлении пара), представлены на рис. VI.10. При неограниченном набухании в определенный момент времени растворение приводит к уменьшению массы образца. Кинетические кривые для ограниченного набухания часто представляют аналитически в виде следующего дифференциального уравнения:

$$d\alpha/d\tau = k(\alpha_p - \alpha_\tau) \quad (\text{VI.59})$$

где k — константа скорости набухания; α_p и α_τ — степень набухания при достижении равновесия и ко времени τ соответственно.

В результате интегрирования в пределах от $\alpha=0$ до $\alpha=\alpha_\tau$ получим уравнение кинетики набухания, подобное уравнению для кинетики ленгмюровской адсорбции (III.51):

$$\alpha_\tau = \alpha_p(1 - e^{-k\tau}) \quad (\text{VI.60})$$

Скорость набухания в данный момент времени определяется тангенсом угла наклона касательной к кинетической кривой набухания в соответствующей точке. Она уменьшается с ростом степени набухания.

Важными характеристиками ограниченного набухания являются максимальная степень набухания (предельное набухание) $\alpha_{\text{макс}}$ и время ее достижения $\tau_{\text{макс}}$, определяющие способность полимера поглощать низкомолекулярную жидкость при данной температуре. Чем больше молекулярная масса полимера, тем медленнее происходит процесс набухания.

Набухание всегда сопровождается возникновением давления набухания, которое может достигать очень больших значений (десятков и даже сотен мегапаскалей). Давление набухания эквивалентно внешнему давлению, которое нужно приложить, чтобы остановить процесс увеличения объема набухающего вещества. Оно аналогично осмотическому давлению [см. уравнение (IV.45)]:

$$\pi = - \frac{RT}{\bar{V}_m} \ln a_1 = - \frac{RT}{\bar{V}_m} \ln \frac{p}{p_s} \quad (\text{VI.61})$$

где \bar{V}_m — парциальный мольный объем растворителя; a_1 — активность растворителя; p и p_s — давление насыщенного пара растворителя соответственно над набухшим полимером и чистым растворителем.

Уравнение (VI.61) позволяет по давлению пара растворителя рассчитать давление набухания. Давление набухания сильно понижается с ростом давления пара растворителя или, что то же самое, с ростом степени набухания. С повышением концентрации набухающего вещества в геле (величины, обратной степени набухания) давление набухания увеличивается. Фрейндлих и Поздняк установили следующую эмпирическую зависимость между давлением набухания и концентрацией сухого ВМС в набухшем геле:

$$\pi = kc^n \quad \text{или} \quad \ln \pi = \ln k + n \ln c \quad (\text{VI.62})$$

где k и n — константы, значение которых определяется только природой набухающего вещества и растворителя.

Указанная зависимость соблюдается довольно часто.

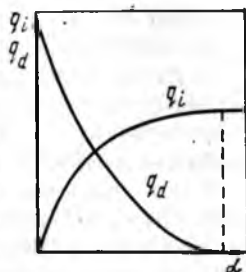
Давление набухания зависит от степени поперечной связанности полимера (степени сшивки), что заметно проявляется лишь при достаточно большой степени набухания. Для полностью набухших ВМС (при предельном набухании) давление набухания почти линейно зависит от степени сшивки.

Смешение полимера с низкомолекулярным растворителем (набухание и растворение) — самопроизвольный процесс и поэтому протекает с уменьшением энергии Гиббса системы (VI.23):

$$dG = dH - TdS < 0$$

Отсюда следует, что процессу смешения благоприятствуют уменьшение энтальпии системы $dH < 0$ и увеличение энтропии $dS > 0$.

Рис. VI.11. Зависимость интегральной q_i и дифференциальной q_d теплот набухания от степени набухания



Важными термодинамическими характеристиками набухания являются дифференциальная работа, интегральная и дифференциальная теплоты набухания. Дифференциальная работа набухания определяется по уравнению

$$e_n = RT \ln (p_s/p) \quad (\text{VI.63})$$

Она уменьшается с ростом степени набухания. Часто процесс набухания сопровождается выделением теплоты. Интегральная и дифференциальная теплоты набухания определяются аналогично соответствующим теплотам в сорбционных процессах. Различие состоит в том, что вместо степени заполнения поверхности при набухании используют степень набухания. Абсолютное значение интегральной теплоты набухания увеличивается с ростом степени набухания. Дифференциальную теплоту набухания получают дифференцированием интегральной теплоты по степени набухания. На рис. VI.11 представлены зависимости интегральной и дифференциальной теплот набухания от степени набухания. Из них следует, что дифференциальная теплота (ее абсолютное значение), как и дифференциальная работа набухания, уменьшается с ростом степени набухания и становится равной нулю при предельном набухании. Следует отметить, что если дифференциальная работа набухания снижается относительно плавно вплоть до предельного набухания, то дифференциальная теплота резко уменьшается уже при малых значениях степени набухания. Характер изменения интегральной теплоты набухания аналогичен изменению теплоты адсорбции. Было установлено, что зависимость интегральной теплоты набухания от степени набухания следует эмпирическому уравнению

$$q_i = a\alpha / (b + \alpha) \quad (\text{VI.64})$$

где a и b — константы, зависящие от природы набухающего вещества и растворителя.

Для дифференциальной теплоты уравнение (VI.64) переходит в следующее соотношение:

$$q_d = dq_i/d\alpha = ab / (b + \alpha)^2 \quad (\text{VI.65})$$

Из соотношения (VI.65) следует, что дифференциальная теплота при $\alpha \rightarrow 0$ имеет максимальное значение, равное

$$q_{\text{макс}} = a/b \quad (\text{VI.66})$$

В качестве примеров приведем для некоторых веществ максимальные дифференциальные теплоты набухания в воде

(в кДж/кг): желатина — 960, казеин — 1150, целлюлоза — 1670, мука — 1840, глина — 1100, гумусовая почва — 2600.

Теплоты набухания по закономерностям изменения мало чем отличаются от тепловых эффектов растворения. Эта аналогия дает основание рассматривать набухание как растворение растворителя в ВМС.

Если при набухании объем вещества увеличивается, то общий объем системы (вещество и растворитель) уменьшается. Уменьшение объема системы при набухании вещества в растворителе называется *контракцией*. Зависимость контракции от степени набухания подобна аналогичной зависимости для интегральной теплоты набухания:

$$\Delta V = a' \alpha / (b' + \alpha) \quad (\text{VI.67})$$

где a' и b' — константы, зависящие от природы набухающего вещества и растворителя.

Контракция объясняется взаимодействием (сольватацией) вещества с растворителем, при котором происходит уплотнение системы. В начальный момент набухания молекулы воды, проникая в ВМС, образуют первичные гидратные слои. Эту гидратную воду часто называют «связанной» водой в отличие от «свободной», которая поглощается после формирования первичных гидратных слоев. В результате при малых степенях набухания наблюдается наибольшее изменение объема системы, как и теплоты набухания. Связь контракции с теплотой набухания подтверждается практически постоянным отношением:

$$\Delta V / q_1 = \text{const} \quad (\text{VI.68})$$

Чтобы определить, чем обусловлено дальнейшее набухание, обратимся к объединенному уравнению первого и второго начал термодинамики, записанному в следующей форме:

$$TdS = dU + pdV \quad (\text{VI.69})$$

При набухании увеличивается давление, относительно которого уравнение (VI.69) принимает вид (при $T = \text{const}$):

$$p = T(dS/dV)_T - (dU/dV)_T \quad (\text{VI.70})$$

Член dU/dV характеризует процесс набухания, происходящий вследствие взаимодействия растворителя с веществом. При этом выделяется теплота (уменьшается внутренняя энергия). Именно таким взаимодействием (сольватацией) определяется первая стадия набухания; на этой стадии энтропия системы почти не изменяется.

Вторая стадия набухания протекает практически без изменения интегральной теплоты набухания (внутренняя энергия остается постоянной) и контракции системы. Эта стадия обычно отличается от первой существенно большим поглощением жидкости. Например, желатина поглощает гидратной («связанной»)

воды около 50% (первая стадия), а общее количество воды она может поглотить до 2000% (от сухой массы). Из уравнения (VI.70) следует, что вторая стадия набухания характеризуется энтропийным эффектом (первый член этого уравнения). Энтропия растет вследствие набухания отдельных макромолекул, ослабления связей между ними и увеличения числа их возможных конформаций.

Очевидно, энтропийной составляющей, главным образом, обусловлен и переход набухания в растворение. Дифференциальная теплота растворения хотя и бывает небольшой, нулевое значение принимает только при бесконечном разбавлении раствора. При этом снижается до нуля и дифференциальная работа растворения. Для характеристики растворов полимеров используют те же термодинамические параметры, что и для растворов низкомолекулярных веществ.

Для растворов ВМС реальная энтропия смешения значительно превышает идеальную. Например, идеальная энтропия смешения 1 г полиизобутилена с относительной молекулярной массой 320 000 в 0,2 г изооктана равна 52,0 Дж/(моль·К); экспериментальное значение составляет 2200 Дж/(моль·К). Такое различие объясняется тем, что при растворении ВМС возрастает возможность движения в растворе звеньев (сегментов) гибких макромолекул.

Так как растворение полимеров обусловлено, главным образом, ростом энтропии, то и устойчивость этих коллоидных систем объясняется в основном энтропийным фактором. Кроме обычной рассеивающей энтропии большая роль в расталкивании макромолекул принадлежит энтропии, обуславливающей упругие свойства их статистических клубков. Клубки макромолекул в данных условиях имеют определенные размеры. При столкновении макромолекул клубки деформируются. Так как при деформации макромолекулы переходят из статистически наиболее вероятного состояния в статистически менее вероятное, то их клубки отталкиваются как упругие тела. Таким образом, силы отталкивания между макромолекулами в растворах полимеров обусловлены изменением энтропии вследствие отклонения статистического распределения звеньев цепи от наиболее вероятного. Подобное энтропийное расталкивание присуще только полимерам.

Описанный процесс «расталкивания» макромолекул проявляется в очень разбавленных системах. При повышении концентрации цепные макромолекулы распрямляются вследствие их взаимодействия, происходит образование ассоциатов. Наименьшая концентрация, при которой молекулы полимера приходят в контакт между собой, названа Штаудингером критической концентрацией. Эта концентрация увеличивается с уменьшением молекулярной массы, ухудшением качества

растворителя (образование более плотных клубков) и повышением температуры. Дальнейший рост концентрации раствора полимера приводит к образованию пространственной сетки в результате взаимного переплетения цепей макромолекул, т. е. к образованию студня.

Таким образом, из линейных полимеров студни могут получаться как в результате набухания, так и при увеличении концентрации полимера в растворителе (т. е. процесс образования студня может протекать с разных сторон).

Рассмотрим факторы, влияющие на набухание и растворение полимеров. Температура и давление влияют на эти процессы в соответствии с принципом Ле Шателье. Если набухание (растворение) сопровождается выделением теплоты, то с повышением температуры степень набухания (растворимость) уменьшается. Однако скорость набухания (растворения) растет в соответствии с увеличением скорости диффузии. Так как объем системы при набухании уменьшается, то с ростом давления степень набухания повышается.

Для хорошего набухания и растворения полимера необходима его близость по природе (или полярности) к растворителю. Если они сильно различаются по этим параметрам, то набухания и растворения не происходит. Например, неполярные полимеры алифатического ряда хорошо смешиваются с неполярными предельными углеводородами (бензином) и не взаимодействуют с сильнополярными жидкостями (вода, спирты). Полярные полимеры (целлюлоза, поливиниловый спирт) не взаимодействуют с углеводородами и хорошо набухают и растворяются в воде. Ароматический полистирол не растворяется в воде, слабо набухает в бензине, но хорошо растворяется в ароматических растворителях (толуол, ксилол, бензол и др.). Полихлоропрен хорошо взаимодействует с дихлорэтаном.

Растворимость и степень набухания в значительной степени зависят от гибкости цепи полимера. Наибольшей гибкостью обладают углеводородные цепи без полярных групп, и в неполярных жидкостях они растворяются практически неограниченно. Гибкость цепей уменьшается при введении в нее полярных групп. Полимеры с большим числом полярных групп могут хорошо набухать в полярных растворителях, но, как правило, слабо растворяются в них. Здесь значительно возрастает роль взаимодействия между полимером и растворителем, так как увеличение жесткости цепей снижает энтропийный фактор при смешении.

С увеличением кристалличности полимера взаимодействие с растворителем уменьшается, что объясняется большим межмолекулярным взаимодействием в полимере. Кристаллические полимеры не растворяются даже в жидкостях, близких по полярности.

Вследствие аддитивности дисперсионного взаимодействия с ростом молекулярной массы полимера увеличивается притяжение между цепями в молекулах и между молекулами. Увеличением затрат энергии на расталкивание макромолекул с возрастанием их молекулярной массы объясняется уменьшение способности к набуханию и растворению в одном и том же растворителе полимеров одного полимергомологического ряда. Например, целлюлоза содержит большое число гидроксильных групп, но в воде не растворяется, а только набухает вследствие очень большой молекулярной массы и жесткости цепей. Различная растворимость полимергомологов используется для разделения их на фракции.

Диссоциация функциональных групп способствует растворению, так как в результате диссоциации рост частиц в системе приводит к еще большему возрастанию энтропии, что характерно для растворения полиэлектролитов. У амфотерных полиэлектролитов (полиамфолитов) степень набухания и растворимость зависят от рН раствора. Наименьшее набухание и растворимость отвечают изоэлектрической точке (значение рН, при котором средний суммарный заряд макромолекул полиамфолита равен нулю). Выше и ниже этой точки степень набухания и растворимость увеличиваются; зарядение макромолекул приводит к расталкиванию одноименно заряженных частиц, что способствует набуханию полимера.

Значительное влияние на набухание полимера оказывает присутствие неорганических электролитов (нейтральных солей). Диффузия молекул растворителя и ионов электролита в набухший полимер аналогична их диффузии через полупроницаемую мембрану. Действие электролитов можно объяснить, исходя из теории мембранного равновесия Доннана (IV.58). Если уменьшение набухания полимеров — неэлектролитов — при добавлении в растворитель неорганических электролитов связано только со снижением активности растворителя («связывание» растворителя), то на набухание полиэлектролитов влияние оказывает еще и противоион (влияние одноименного иона), с повышением концентрации которого увеличивается активность полиэлектролита (его «эффективная» концентрация), происходит как бы его высаливание. Таким образом, неорганические электролиты значительно сильнее снижают степень набухания полиэлектролитов, чем полимеров — неэлектролитов.

4. Уравнение состояния растворов полимеров

Растворы высокомолекулярных соединений — термодинамически устойчивые (лиофильные) коллоидные системы. В соответствии с закономерностями образования лиофильных систем процесс растворения полимеров происходит самопроизвольно

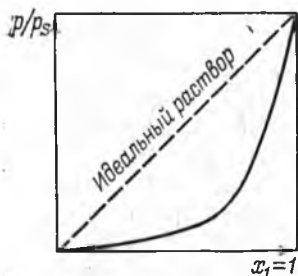


Рис. VI.12. Зависимость давления пара растворителя от его мольной доли в растворе полимера

(самопроизвольное диспергирование). Термодинамическая устойчивость, обратимость лиофильных коллоидов указывают на возможность применения к таким системам правила фаз Гиббса в той же форме, что и для истинных растворов, а значит, и всех термодинамических соотношений.

Экспериментальные исследования показывают, что полимеры растворяются в низкомолекулярных растворителях, как правило, с небольшим тепловым эффектом, но в то же время образуют растворы, для которых характерно сильное отрицательное отклонение от идеальности. На рис. VI.12 показана зависимость давления пара растворителя от его мольной доли в растворе полимера. Так как определение отклонений от идеальности растворов полимеров удобнее проводить по изменению активности растворителя a_1 , то в качестве основного термодинамического уравнения, описывающего состояние раствора полимера, чаще всего принимают выражение для осмотического давления (IV.45) и как следствие — уравнение с вириальными коэффициентами (IV.48), являющееся одним из уравнений состояния растворов полимеров

$$\pi/c = RT(A_1 + A_2c + A_3c^2 + \dots)$$

Здесь необходимо отметить, что для растворов полимеров второй вириальный коэффициент выражают чаще в виде следующей формулы [помимо соотношения (IV.49)]:

$$A_2 = v_0 N_A / (2M_2^2) \quad (\text{VI.71})$$

где v_0 — объем, из которого сегменты одних макромолекул вытесняют сегменты других макромолекул (так называемый эффективный исключенный объем); N_A — число Авогадро; M_2 — молекулярная масса полимера.

Исследования растворов полимеров показали, что характерное для них сильное отрицательное отклонение от идеальности связано с различием в размерах молекул ВМС и растворителя и особенно с гибкостью линейных макромолекул, которые значительно увеличивают энтропию смешения при растворении. Вклад конформаций макромолекул в энтропию смешения был учтен в теории растворов полимеров, в основе которой лежит уравнение Флори и Хаггинса, полученное с помощью статистической термодинамики.

Известно, что из всех возможных состояний системы наиболее вероятны те, которые реализуются наибольшим числом положений молекул в системе. Такое состояние системы отвечает состоянию равномерного рассеяния веществ по всему объему системы, поэтому энтропия при смешении, например двух жидкостей, обязательно увеличивается. Это означает, что термодина-

мическая вероятность состояния однородной смеси выше вероятности состояния разделенных веществ.

Если растворитель и растворенное вещество имеют одинаковые по размеру и форме молекулы, а взаимодействия между ними одинаковы при всех сочетаниях молекул, то смешение будет идеальным. Оно будет совершаться только благодаря росту энтропии:

$$\Delta S_{\text{см}} = -k_B \left(n_1 \ln \frac{n_1}{n_1 + n_2} + n_2 \ln \frac{n_2}{n_1 + n_2} \right) \quad (\text{VI.72})$$

где $\Delta S_{\text{см}}$ — энтропия смешения; k_B — константа Больцмана; n_1 и n_2 — число молекул растворителя и растворенного вещества соответственно.

Как видно из уравнения (VI.72), изменение энтропии зависит только от числа смешиваемых молекул или от их концентрации. Если предположить, что масса растворенного вещества остается той же, а его молекулярная масса увеличивается, например в результате полимеризации, то должно уменьшаться число его молекул, т. е. частичная концентрация. В соответствии с уравнением (VI.72) уменьшение числа частиц в системе должно уменьшать приращение энтропии. Такие рассуждения привели в свое время к ошибочным выводам о том, что растворение ВМС и неидеальность их растворов обусловлены изменением внутренней энергии, хотя очевидно, что простое увеличение размера молекул без изменения их качества не может существенно изменить характер взаимодействия с растворителем.

В дальнейшем методом статистической термодинамики было показано, что энтропия смешения значительно увеличивается, если смешиваются не одинаковые молекулы, а различающиеся по размерам и форме, и особенно если молекулы одного из компонентов обладают гибкостью. В такой системе возрастает число возможных расположений молекул относительно друг друга. Действительно, длинная и гибкая макромолекула может располагаться среди небольших молекул растворителя огромным числом способов в результате теплового движения отдельных звеньев цепи.

Для определения энтропии смешения линейного полимера с низкомолекулярным растворителем необходимо предположить, что размер сегментов макромолекулы (звенья) равен размеру молекулы растворителя. Иногда в качестве сегмента берут мономерную единицу, а за их число z в цепи макромолекулы принимают степень полимеризации. Используя решеточную модель раствора, в которой отдельные узлы решетки заняты молекулами растворителя или сегментами макромолекулы, обладающей гибкостью, рассчитывают число возможных расположений макромолекул. Число частиц, принимающих участие в перестановках, равно $n = n_1 + n_2 z$. После расчета полной статистической вероятности Ω в соответствии с уравнением Больцмана ($S = k_B \ln \Omega$) определяют энтропию смешения:

$$\Delta S_{\text{см}} = -k_B \left(n_1 \ln \frac{n_1}{n_1 + n_2 z} + n_2 \ln \frac{n_2 z}{n_1 + n_2 z} \right) \quad (\text{VI.73})$$

или

$$\Delta S_{\text{см}} = -k_B (n_1 \ln \phi_1 + n_2 \ln \phi_2) \quad (\text{VI.74})$$

где ϕ_1 и ϕ_2 — объемная доля растворителя и растворенного вещества соответственно.

Сопоставляя уравнения (VI.73) и (VI.72), можно заметить некоторую аналогию. В растворе полимера каждый сегмент макромолекулы ведет себя почти как самостоятельная частица. Ограничение числа степеней свободы, обусловленное связыванием сегментов в единую макромолекулу, выражается только в том, что перед логарифмом, относящимся ко второму компоненту (полимеру), стоит число молекул полимера n_2 вместо произведения $n_2 z$.

Чтобы перейти к уравнению, в котором содержание вещества в системе выражено в молях, необходимо правую часть уравнения (VI.74) умножить и разделить на число Авогадро:

$$\Delta S_{см} = -R(N_1 \ln \varphi_1 + N_2 \ln \varphi_2) \quad (VI.75)$$

где N_1 и N_2 — число молей компонентов.

Полученная формула определяет чисто конфигурационную энтропию, т. е. учитывает только перенос положений молекул растворителя и звеньев цепи макромолекул в растворе. Растворы, отвечающие только таким условиям их образования, называются *атермическими* (при смешении не происходит изменения внутренней энергии — тепловой эффект равен нулю). Чтобы данную теорию можно было применить к реальным растворам полимеров, имеющим небольшие отклонения от строго атермических растворов, предложено учитывать изменение внутренней энергии с помощью теории регулярных растворов. В отличие от атермических растворов для регулярных растворов энтропия смешения принимается равной энтропии при идеальном смешении, а неидеальность системы обусловлена только изменением внутренней энергии (межмолекулярным взаимодействием).

В соответствии с теорией регулярных растворов изменение парциальных внутренних энергий для обоих компонентов соответственно равно

$$\Delta \bar{U}_1 = B \bar{V}_1 \varphi_2^2 \quad \text{и} \quad \Delta \bar{U}_2 = B \bar{V}_2 \varphi_1^2 \quad (VI.76)$$

$$B = (\sqrt{\Delta E_1 / \bar{V}_1} - \sqrt{\Delta E_2 / \bar{V}_2})^2 = (\delta_1 - \delta_2)^2$$

где ΔE_1 и ΔE_2 — энергия испарения 1 моль первого и второго компонентов соответственно; δ — параметр растворимости по Гильдебранду; \bar{V}_1 и \bar{V}_2 — парциальные молярные объемы компонентов 1 и 2.

Чтобы получить значения парциальных энтропий смешения компонентов, необходимо продифференцировать уравнение (VI.73) по числу молей (молекулу) этих компонентов:

$$\Delta \bar{S}_1 = \partial \Delta S_{см} / \partial n_1 = -R[\ln(1 - \varphi_2) + (1 - 1/z)\varphi_2] \quad (VI.77)$$

$$\Delta \bar{S}_2 = \partial \Delta S_{см} / \partial n_2 = -R[\ln(1 - \varphi_1) + (z - 1)\varphi_1] \quad (VI.78)$$

Объединяя эти уравнения с соответствующими уравнениями (VI.76), получим:

$$\begin{aligned} \Delta \mu_1 = \Delta \bar{G}_1 = \Delta \bar{H}_1 - T \Delta \bar{S}_1 = RT \ln(1 - \varphi_2) + \\ + RT(1 - 1/z)\varphi_2 + B \bar{V}_1 \varphi_2^2 \end{aligned} \quad (VI.79)$$

$$\begin{aligned} \Delta \mu_2 = \Delta \bar{G}_2 = \Delta \bar{H}_2 - T \Delta \bar{S}_2 = RT \ln(1 - \varphi_1) + \\ + RT(z - 1)\varphi_1 + B \bar{V}_2 \varphi_1^2 \end{aligned} \quad (VI.80)$$

Для растворителя активность и соответственно химический потенциал можно определить экспериментально, например по давлению пара. Тогда выражение (VI.79) целесообразно представить относительно осмотического давления:

$$\begin{aligned} \pi = -\Delta \mu_1 / \bar{V}_1 = - (RT / \bar{V}_1) [\ln(1 - \varphi_2) + \\ + (1 - 1/z)\varphi_2 + \chi_1 \varphi_2^2] \end{aligned} \quad (VI.81)$$

где

$$\chi_1 = B \bar{V}_1 / (RT)$$

Выражение (VI.81) является *уравнением состояния растворов полимеров* — основным соотношением в классической теории Флори — Хаггинса. Поскольку молекула полимера была принята в z раз больше молекулы растворителя, то

$$1/z = \bar{V}_1 / \bar{V}_2 \quad (VI.82)$$

При очень большой величине z значением $1/z$ в уравнении (VI.81) можно пренебречь.

Константа χ_1 характеризует взаимодействие полимера с растворителем; ее называют *константой Хаггинса*. Она определяется с помощью различных экспериментальных методов. Константа Хаггинса непосредственно связана со вторым вириальным коэффициентом A_2 . Чтобы это показать, проведем небольшие преобразования уравнения состояния (VI.81). Разложим в ряд логарифмический член, включая второй член ряда, и учтем соотношение (VI.82). Получим:

$$\begin{aligned} \pi &= -\frac{RT}{\bar{V}_1} \left[-\varphi_2 - \frac{\varphi_2^2}{2} + \varphi_2 - \frac{\bar{V}_1}{\bar{V}_2} \varphi_2 + \chi_1 \varphi_2^2 \right] = \\ &= \frac{RT}{\bar{V}_2} \varphi_2 + \frac{RT}{\bar{V}_1} \left(\frac{1}{2} - \chi_1 \right) \varphi_2^2 \end{aligned} \quad (\text{VI.83})$$

Так как

$$\begin{aligned} \bar{V}_2 &= M_2/\rho_2, \quad \bar{V}_1 = M_1/\rho_1 \text{ и } \varphi_2 = c_2/\rho_2, \text{ то} \\ \frac{\pi}{c_2} &= \frac{RT}{M_2} + \frac{RT\rho_1}{M_1\rho_2^2} \left(\frac{1}{2} - \chi_1 \right) c_2 \end{aligned} \quad (\text{VI.84})$$

где M_1 и M_2 — молекулярная масса растворителя и полимера соответственно; ρ_1 и ρ_2 — плотность растворителя и полимера соответственно.

Сравнивая уравнение (VI.84) с уравнением состояния (IV.48), найдем:

$$A_2 = \frac{\rho_1}{M_1\rho_2^2} \left(\frac{1}{2} - \chi_1 \right) \quad (\text{VI.85})$$

Таким образом, константа Хаггинса и второй вириальный коэффициент являются мерой сродства между компонентами раствора. Чем сильнее взаимодействие (лучше растворитель), тем больше A_2 и тем меньше χ_1 . При идеальном растворении $A_2=0$, $\chi_1=1/2$. Как известно, степень отклонения от идеальности зависит и от температуры. Это отражается на значении параметра χ_1 в (VI.81). Если выражение для χ_1 подставить в соотношение (VI.85), то получим:

$$A_2 = \frac{\rho_1(1-\theta/T)}{2M_1\rho_2^2}, \quad \theta = \frac{2B\bar{V}_1}{R} \quad (\text{VI.86})$$

Параметр θ выражается в единицах температуры и называется характеристической температурой Флори. При $T=\theta$ $A_2=0$, т. е. параметр θ — это такая температура, при которой для реального раствора не наблюдается отклонений от идеальности. Ее можно определить как отношение избыточной энтальпии к избыточной энтропии $\theta = H^E/S^E$, так как при идеальном смешении $G^E = H^E - \theta S^E = 0$. Характеристическую температуру Флори определяют по температурной зависимости второго вириального коэффициента A_2 , экстраполируя ее к значению $A_2=0$.

Из теории Флори — Хаггинса следует, что растворение полимера в хороших растворителях сопровождается существенным уменьшением энергии Гиббса, что обусловлено как выделением теплоты ($\Delta H < 0$), так и ростом энтропии. Для таких систем $A_2 > 0$ и $\chi_1 < 1/2$ (отрицательное отклонение от идеальности). Это означает, что силы отталкивания между макромолекулами в растворе полимера определяются энтропийной составляющей и взаимодействием с растворителем. В плохих растворителях ($A_2 < 0$) происходит поглощение теплоты ($\Delta H > 0$), и силы отталкивания между макромолекулами имеют исключительно энтропийную природу; рост энтропии полностью перекрывает рост энергии Гиббса вследствие межмолекулярного взаимодей-

вия. В этих системах возможно достижение температуры Флори (положительная энтальпия смешения компенсируется избыточной энтропией), ниже которой преобладают силы притяжения между макромолекулами ($A_2 < 0$).

Теория Флори — Хаггинса позволила объяснить большие отклонения от идеальности растворов полимеров. Она удовлетворительно согласуется с экспериментальными данными для растворов, получение которых сопровождается небольшими тепловыми эффектами. Однако ряд экспериментальных фактов еще ждет объяснения, несмотря на постоянное совершенствование теории.

Роль размера частиц дисперсной фазы в обеспечении устойчивости растворов полимеров связывает их с другими коллоидными системами. Можно утверждать, что системы с компактными сферическими частицами дисперсной фазы проявляют отклонения от идеальности хотя и меньшие, чем системы, содержащие линейные макромолекулы, но эти отклонения все равно остаются отрицательными. Таким образом, только различие в размерах частиц дисперсной фазы и молекул дисперсионной среды вносит вклад в энтропийный фактор устойчивости коллоидных систем. Этот вклад возрастает для лиозолей, стабилизированных с помощью ПАВ и особенно высокомолекулярных соединений.

Г. УСТОЙЧИВОСТЬ, СТАБИЛИЗАЦИЯ И КОАГУЛЯЦИЯ ЛИОФОБНЫХ ДИСПЕРСНЫХ СИСТЕМ

1. Расклинивающее давление

Расклинивающее давление возникает при сильном уменьшении толщины пленки (прослойки) в результате перекрывания (взаимодействия) поверхностных слоев (поверхностей разрыва). С расклинивающим давлением связана целая область явлений, включающая устойчивость дисперсных систем и пленок, полимолекулярную адсорбцию, набухание, массоперенос в дисперсных системах и др.

В гетерогенных системах под пленкой понимают тонкую часть системы, находящуюся между двумя межфазными поверхностями. Если пленка имеет толщину h больше двух толщин δ поверхностных слоев ($h > 2\delta$), то для нее обобщенное уравнение первого и второго начал термодинамики отличается от представленных ранее (для системы с одним межфазным слоем) только тем, что в него входят поверхностные энергии ($\sigma_{1,2} + \sigma_{2,3}$) обеих межфазных поверхностей (поверхностных слоев). При уменьшении толщины пленки ограничивающие ее поверхностные слои начинают перекрываться ($h < 2\delta$), вследствие чего возникает давление, обусловленное взаимодействием как сближающихся фаз, так и межфазных слоев — расклинивающее

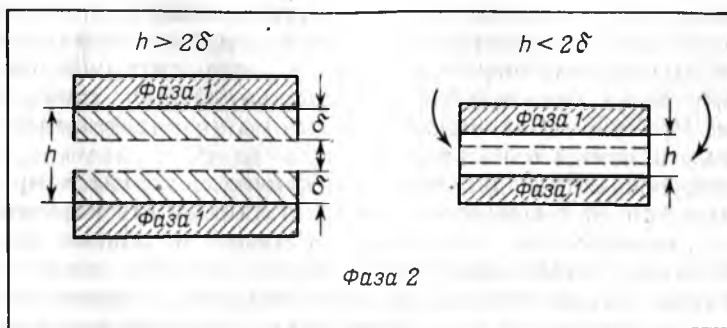


Рис. VI.13. Иллюстрация возникновения расклинивающего давления
Стрелки указывают направление движения жидкости при возникновении расклинивающего давления

давление (рис. VI.13). Таким образом, избыточные термодинамические функции тонкой пленки зависят от ее толщины h . Например, выражение избыточной энергии Гиббса для пленки имеет вид

$$dG = -SdT + (\sigma_{1,2} + \sigma_{2,3})ds + \sum \mu_i dn_i + (\partial G/\partial h)dh \quad (\text{VI.87})$$

где G , S , n_i — суммарные для обеих межфазных поверхностей избыточные величины (энергия Гиббса, энтропия, число молей компонента i).

Последний член уравнения (VI.87) отражает вклад расклинивающего давления в общую энергию системы. Его можно рассматривать как давление, которое надо приложить к пленке, чтобы сохранить ее равновесную толщину. В этом смысле расклинивающее давление, названное так Б. В. Дерягиным (1935 г.), избыточно по сравнению с давлением в той фазе, частью которой является рассматриваемая пленка. С учетом уравнения (VI.87) можно записать выражение для расклинивающего давления в пленке толщиной h :

$$\Pi(h) = p - p_0 = - (1/s) (\partial G/\partial h)_{T, n_i, s} \quad (\text{VI.88})$$

где p — давление в пленке; p_0 — гидростатическое давление в окружающей пленку фазе, частью которой является данная пленка; s — площадь межфазной поверхности.

Таким образом, расклинивающее давление можно рассматривать как разность гидростатических давлений в пленке и в окружающей пленку фазе или как приращение энергии Гиббса на данном расстоянии между поверхностными межфазными слоями (на рис. VI.13 между пластинами), пересчитанное на единицу толщины пленки и отнесенное к единице площади перекрывания поверхностных слоев. Расклинивающее давление — суммарный параметр, учитывающий как силы отталкивания, так и силы притяжения, действующие в пленке. В соответствии с этим расклинивающее давление может быть положительным,

вызывающим утолщение пленки, и отрицательным, утончающим пленку. Положительному расклинивающему давлению соответствует уменьшение энергии Гиббса с ростом толщины пленки, поэтому перед производной в уравнении (VI.88) стоит знак минус. При равенстве положительных и отрицательных сил пленка становится равновесной.

Расклинивающее давление аналогично осмотическому давлению в том отношении, что разность химических потенциалов среды (растворителя) в пленке (растворе) и объеме (чистом растворителе) компенсируется в обоих случаях избыточным давлением. Таким образом, расклинивающее давление по аналогии с осмотическим давлением можно выразить через активность растворителя или давление паров следующим образом:

$$\Pi(h) = -\frac{RT}{\bar{V}} \ln a_1 = -\frac{RT}{\bar{V}} \ln \frac{p}{p_s} \quad (\text{VI.89})$$

где \bar{V} — средний парциальный молярный объем растворителя; p и p_s — давление насыщенного пара растворителя, находящегося в пленке и в объеме соответственно.

Очевидно, расклинивающее давление измеряется в единицах давления. Учитывая соотношение (VI.88) и то, что приращение энергии Гиббса измеряется в Дж/м², расклинивающее давление можно выразить также в Дж/м³, что будет означать избыточную плотность энергии Гиббса пленки относительно плотности энергии Гиббса объемной фазы.

Работу, совершаемую при изменении толщины пленки и приходящуюся на единицу площади поверхности перекрывания поверхностных слоев при условии $h < 2\delta$ выражают через расклинивающее давление соотношением:

$$dW_s = \Pi(h) dh \quad (\text{VI.90})$$

Аналогичным соотношением выражается изменение энергии Гиббса при изменении толщины пленки, отнесенное к единице площади поверхности перекрывания слоев:

$$d\Delta G_s = -\Pi(h) dh \quad (\text{VI.91})$$

Интегральная форма этих соотношений имеет вид:

$$\Delta W_s = -\Delta G_s = \int_{h_1}^{h_2} \Pi(h) dh \quad (\text{VI.92})$$

т. е. ΔW_s и ΔG_s можно определить, зная зависимость расклинивающего давления от толщины пленки.

В соответствии с природой действующих сил рассматривают следующие составляющие расклинивающего давления: молекулярную (действие ван-дер-ваальсовых сил), электростатическую (взаимодействие между перекрывающимися двойными электрическими слоями), структурную (изменение структуры раствори-

теля при перекрытии сольватных слоев поверхностей), адсорбционную (силы, обусловленные неравномерным распределением растворенного вещества в пленке), стерическую (в результате перекрытия адсорбционных слоев ПАВ и полимеров). Каждая составляющая в принципе может быть как положительной, так и отрицательной. Например, электростатическая составляющая расклинивающего давления положительна, если двойные электрические слои по обе стороны пленки имеют потенциалы одинакового знака, и отрицательна — при потенциалах разного знака. Следует отметить, что удовлетворительному расчету поддаются только молекулярная и электростатическая составляющие расклинивающего давления.

2. Электростатическая составляющая расклинивающего давления в теории ДЛФО

Как показано выше, устойчивость дисперсных систем и коагуляция отражают непосредственно взаимодействие частиц дисперсной фазы между собой или с какими-либо макроповерхностями. Это взаимодействие также определяет адгезию частиц к макроповерхностям и структурообразование в дисперсных системах. Поэтому в основе любой теории устойчивости, учитывающей механизм этих взаимодействий, должно лежать соотношение между силами притяжения и отталкивания частиц. Существует единое мнение в отношении природы сил притяжения, которые обусловлены межмолекулярными ван-дер-ваальсовыми силами. Силы же отталкивания между частицами могут иметь разную природу, соответствующую факторам устойчивости. Предложено несколько теорий устойчивости и коагуляции, объясняющих те или иные экспериментальные факты с различных позиций (Дюкло, Фрейндлих, Мюллер, Рабинович, Оствальд и др.). Однако все эти теории односторонние, они не учитывают и не объясняют многие факты.

Широкое признание и распространение получила теория устойчивости и коагуляции, учитывающая электростатическую составляющую расклинивающего давления (отталкивание) и его молекулярную составляющую (притяжение). Эта теория удовлетворительно описывает закономерности поведения типично лиофобных дисперсных систем, для которых можно пренебречь адсорбционно-сольватным фактором устойчивости.

В наиболее общем виде эта теория была разработана советскими учеными Б. В. Дерягиным и Л. Д. Ландау в 1937—1941 гг. и несколько позднее независимо от них голландскими учеными Фервеем и Овербеком; по первым буквам фамилий этих ученых теория названа теорией ДЛФО. Теорию ДЛФО часто называют физической теорией. Если подходить к ее оценке с позиций химии, то будет правомерным отнести ее к кинетической тео-

рии, так как она рассматривает процесс взаимодействия частиц по отдельным стадиям — перекрывание их поверхностных слоев и возникновение расклинивающего давления, используя при этом понятие потенциального барьера, аналогичное энергии активации в химической кинетике.

Чтобы получить представление о сущности этой теории и ее следствиях, рассмотрим простейший вариант взаимодействия крупных частиц, для которых можно не учитывать теплового движения. Взаимодействие крупных частиц можно рассматривать как взаимодействие между двумя плоскими параллельными пластинами, т. е. принять, что линейный размер частиц значительно больше толщины двойного электрического слоя.

Общая энергия взаимодействия между двумя пластинами, приходящаяся на единицу их площади, равна

$$U = U_3 + U_M \quad (\text{VI.93})$$

где U_3 и U_M — энергия электростатического отталкивания и молекулярного притяжения соответственно.

Каждую из этих энергий можно выразить как функцию от расстояния h между пластинами:

$$dU_3 = P_3 dh \quad (\text{VI.94})$$

$$dU_M = P_M dh \quad (\text{VI.95})$$

где P_3 — давление отталкивания, в данном случае электростатическая составляющая расклинивающего давления; P_M — давление притяжения, т. е. молекулярная составляющая расклинивающего давления.

Давление P_M обусловлено обычно стремлением системы к уменьшению поверхностной энергии, его природа связана с вандер-ваальсовыми силами.

В теории ДЛФО (в ее классическом виде) принято, что давление отталкивания обусловлено только электростатическими силами, поэтому

$$dP_3 = \rho d\varphi \quad (\text{VI.96})$$

где ρ — объемная плотность заряда в двойном электрическом слое; φ — электрический потенциал двойного слоя.

Наиболее точное описание распределения объемной плотности заряда в двойном электрическом слое дает теория Штерна. Для упрощения вывода зависимости энергии отталкивания от расстояния предполагают, что при взаимодействии пластин происходит деформация только диффузной части двойного электрического слоя, поэтому можно воспользоваться теорией Гуи — Чепмена. Ограничимся условием, когда потенциал φ имеет малое значение, и его изменение следует приведенному ранее уравнению (II.124):

$$\varphi_x = \varphi_0 e^{-\kappa x}$$

где φ_0 — потенциал диффузной части двойного электрического слоя; κ — величина, обратная толщине диффузной части двойного слоя.

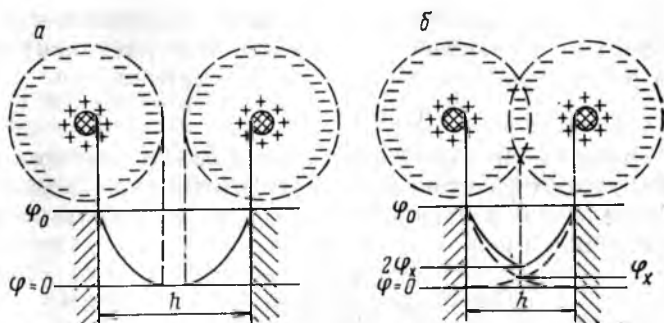


Рис. VI.14. Схема, показывающая изменение электрического потенциала между двумя одноименно заряженными частицами (пластинами) при неперекрытых (а) и перекрытых (б) двойных электрических слоях

Если пластины (частицы) находятся на расстоянии $h=2x$, на котором взаимодействия не происходит (рис. VI.14, а), то двойные электрические слои не перекрываются, и потенциалы в них снижаются практически до нуля ($\varphi=0$). При сближении пластин двойные электрические слои перекрываются, и соотношение (II.124) может быть применено только для описания области, близкой к поверхности пластин (рис. VI.14, б). Принимают, что в середине расстояния между пластинами в результате взаимодействия двойных слоев потенциал становится равным $2\varphi_x$, т. е. распределение потенциала происходит в соответствии со сплошной кривой на рис. VI.14, б.

Таким образом, для определения электростатической составляющей расклинивающего давления интегрирование уравнения (VI.96) необходимо провести в пределах области снижения потенциала при отталкивании пластин, т. е. от $2\varphi_x$ до нуля:

$$\Pi_3 = \int_{2\varphi_x}^0 \rho d\varphi \quad (\text{VI.97})$$

Сопоставляя уравнение Пуассона (II.113) с соотношением Пуассона — Больцмана при малом значении потенциала (II.118)

$$d^2\varphi/dx^2 = -\rho/(\epsilon_0\epsilon), \quad d^2\varphi/dx^2 = \kappa^2\varphi$$

получим, что

$$\rho = -\epsilon_0\epsilon\kappa^2\varphi \quad (\text{VI.98})$$

Подставляя это выражение для ρ в (VI.97), найдем:

$$\Pi_3 = \int_0^{2\varphi_x} \epsilon_0\epsilon\kappa^2\varphi d\varphi = 2\epsilon_0\epsilon\kappa^2\varphi^2_x \quad (\text{VI.99})$$

Учитывая уравнение (II.124) и что $h=2x$, получим зависимость электростатической составляющей расклинивающего давления от расстояния в области низких потенциалов:

$$P_s = 2\varepsilon_0 \varepsilon \kappa^2 \varphi^2 e^{-\kappa h} \quad (\text{VI.100})$$

Если провести подобный вывод для области высоких потенциалов и больших расстояний между пластинами, то уравнение электростатической составляющей расклинивающего давления примет следующий вид:

$$P_s = 64c_0 RT \gamma^2 e^{-\kappa h} \quad (\text{VI.101})$$

$$\gamma = \frac{\exp\{zF\varphi_0/(2RT)\} - 1}{\exp\{zF\varphi_0/(2RT)\} + 1}$$

где

c_0 — концентрация противоионов в растворе; z — заряд противоионов; F — число Фарадея.

Следует отметить, что электростатическая составляющая расклинивающего давления в области малых потенциалов (VI.100) сильно зависит от значения потенциала (пропорционально φ_0^2), с ростом же потенциала эта зависимость становится менее заметной. При больших значениях φ_0 потенциал перестает влиять на расклинивающее давление отталкивания. Это можно объяснить тем, что с ростом потенциала одновременно увеличивается притяжение противоионов двойного электрического слоя к поверхности, эффективный заряд которой поэтому почти не изменяется.

Чтобы получить выражение для энергии электростатического отталкивания пластин, интегрируем уравнение (VI.94) в пределах от h до ∞ после подстановки в него соотношения (VI.100):

$$U_s = \int_h^\infty P_s dh = \int_h^\infty 2\varepsilon_0 \varepsilon \kappa^2 \varphi_0^2 e^{-\kappa h} dh = \frac{2\varepsilon_0 \varepsilon \kappa^2 \varphi_0^2}{-\kappa} \int_h^\infty e^{-\kappa h} d(-\kappa h) \quad (\text{VI.102})$$

Окончательно имеем:

$$U_s(h) = 2\varepsilon_0 \varepsilon \kappa \varphi_0^2 e^{-\kappa h} \quad (\text{VI.103})$$

При больших значениях потенциалов аналогичное интегрирование уравнения (VI.94) после подстановки соотношения (VI.101) приводит к выражению

$$U_s(h) = \frac{64c_0 RT}{\kappa} \gamma^2 e^{-\kappa h} \quad (\text{VI.104})$$

Таким образом, энергия отталкивания частиц, как и электростатическая составляющая расклинивающего давления, возрастает с уменьшением расстояния h между ними по экспоненциальному закону.

3. Энергия притяжения между частицами и общие уравнения теории ДЛФО

Рассмотрим зависимость от расстояния энергии притяжения частиц — молекулярной составляющей расклинивающего давления. Из сил Ван-дер-Ваальса наиболее универсальны и существенны лондоновские силы дисперсионного взаимодействия. Как уже отмечалось, дисперсионное взаимодействие слабо экранируется, поэтому взаимодействие между двумя частицами легко определить суммированием взаимодействий между молекулами или атомами в обеих частицах, например, с помощью интегрирования. Такой приближенный расчет в предположении аддитивности межмолекулярных (межатомных) взаимодействий был проведен де Буром и Гамакером.

Для вывода уравнения энергии молекулярного притяжения между частицами воспользуемся уравнением (III.6) энергии притяжения одной молекулы (атома) к поверхности адсорбента (в данном случае частицы), приведенном в разд. III.A:

$$U_{\text{адс}} = -\pi Cn / (6x^3)$$

где C — константа, зависящая от природы взаимодействующих тел; n — число молекул (атомов) в единице объема частицы.

На рис. VI.15 показаны две взаимодействующие пластины (как принимается в упрощенном варианте теории ДЛФО), отстоящие на расстоянии h одна от другой. Предположим, что одна молекула (атом) A внутри левой пластины притягивается к правой пластине с энергией $U_{\text{адс}}$, рассчитываемой по уравнению (III.6). Расстояние $x = r + h$, где r — расстояние молекулы (атома) левой пластины от ее поверхности. Чтобы получить энергию молекулярного притяжения пластин, необходимо просуммировать энергии притяжения всех молекул (атомов) левой пластины с правой. Приращение энергии молекулярного притяжения, отнесенное к единице площади пластин, пропорционально приращению числа молекул (атомов) в цилиндре с основанием, равным единице площади, т. е. ndr :

$$dU_{\text{м}}(h) = \left[-\frac{\pi n C}{6} \frac{1}{(r+h)^3} \right] ndr \quad (\text{VI.105})$$

После интегрирования получим:

$$U_{\text{м}}(h) = \int_{r=0}^{r=\infty} \left[-\frac{\pi n C}{6} \frac{1}{(r+h)^3} \right] ndr = -\frac{\pi n^2 C}{12h^2} \quad (\text{VI.106})$$

$$U_{\text{м}}(h) = -\frac{A_{12}}{12\pi h^2}, \quad A_{12} = \pi^2 n^2 C \quad (\text{VI.107})$$

Из уравнения (VI.107) видно, что энергия притяжения пластин обратно пропорциональна квадрату расстояния между ни-

ми. Это указывает на то, что энергия притяжения между частицами значительно медленнее уменьшается с расстоянием, чем энергия притяжения между молекулами (атомами), которая обратно пропорциональна расстоянию в шестой степени. Отсюда также следует, что частицы дисперсных систем взаимодействуют на более далеких расстояниях, чем молекулы (атомы).

Величина A_{12} в уравнении (VI.107) называется *константой Гамакера*. Она учитывает природу взаимодействующих тел. Эта константа выражается в единицах энергии и имеет значение порядка 10^{-19} Дж. Вывод уравнения (VI.107) проводился в предположении, что пластины находятся в вакууме. При наличии среды константа A_{12} в уравнении (VI.107) заменяется на величину

$$A^* = A_1 + A_0 - 2A_{01}$$

тогда

$$U_m(h) = -A^*/(12\pi h^2) \quad (\text{VI.108})$$

где A_1 и A_0 — константы Гамакера для дисперсной фазы, состоящей из частиц (1) и дисперсионной среды (0) соответственно; A_{01} — постоянная взаимодействия фазы и среды.

Чем сильнее взаимодействует дисперсная фаза со средой, тем больше A_{01} и тем меньше A^* , это значит, что силы притяжения между частицами уменьшаются.

Имея отдельные выражения для энергии отталкивания и энергии притяжения частиц, простым сложением получим общую энергию взаимодействия между двумя параллельными пластинами (частицами), приходящуюся на единицу площади. Для области малых потенциалов суммарная энергия взаимодействия равна

$$U(h) = 2e_0 \epsilon \kappa \varphi^2 \delta e^{-\kappa h} - \frac{A^*}{12\pi h^2} \quad (\text{VI.109})$$

При больших потенциалах и расстояниях между пластинами эта энергия определяется уравнением

$$U(h) = \frac{64c_0 RT}{\kappa} \gamma^2 e^{-\kappa h} - \frac{A^*}{12\pi h^2} \quad (\text{VI.110})$$

По более сложным уравнениям рассчитывают энергию взаимодействия сферических частиц. Например, одно из приближенных решений общего уравнения для сферических частиц с низким значением электрического потенциала φ_0 при условии,

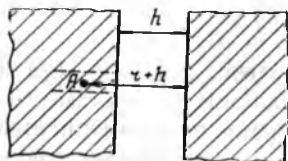


Рис. VI.15. К выводу уравнения для энергии молекулярного притяжения между пластинами

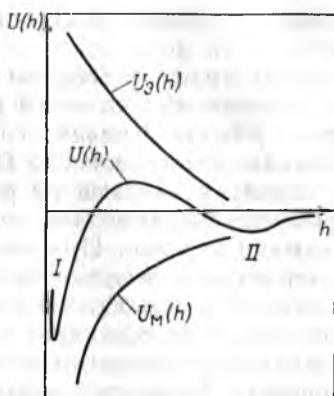


Рис. VI.16. Зависимость энергии электростатического отталкивания U_3 , энергии молекулярного притяжения U_M и суммарной энергии взаимодействия частиц (пластин) от расстояния

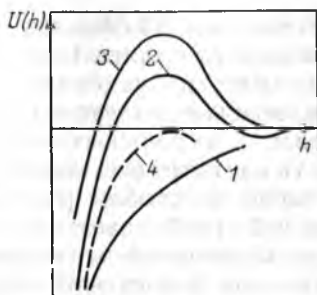


Рис. VI.17. Потенциальные кривые для дисперсных систем с разной степенью агрегативной устойчивости
1--4 — см. текст

что их радиус r значительно больше толщины диффузного слоя $1/\kappa$, приводит к следующей формуле:

$$U(h) = 2\pi\epsilon_0\epsilon r\phi^2\delta \ln [1 + \exp(-\kappa h)] - \frac{A^*r}{12k} \quad (\text{VI.111})$$

В соответствии с теорией ДЛФО соотношения (VI.109) — (VI.111) определяют поведение дисперсных систем. Их устойчивость или скорость коагуляции зависят от знака и значения общей потенциальной энергии взаимодействия частиц. Положительная энергия отталкивания $U_3(h)$ с увеличением расстояния уменьшается по экспоненциальному закону, а отрицательная энергия притяжения $U_M(h)$ обратно пропорциональна квадрату расстояния (рис. VI.16). В результате на малых расстояниях (при $h \rightarrow 0$ $U_3 \rightarrow \text{const}$, $U_M \rightarrow -\infty$) и больших расстояниях (экспонента убывает значительно быстрее, чем степенная функция) между частицами преобладает энергия притяжения, а на средних расстояниях — энергия электростатического отталкивания. Первичный минимум I отвечает непосредственному слипанию частиц, а вторичный минимум II — их притяжению через прослойку среды. Максимум, соответствующий средним расстояниям, характеризует потенциальный барьер, препятствующий слипанию частиц. Силы взаимодействия могут распространяться на расстояния до сотен нанометров, максимальное значение энергии достигает 10^{-2} Дж/м² и более. Увеличению потенциального барьера способствует рост потенциала на поверхности частиц ϕ_δ (VI.109) в области его малых значений. Эксперименты показывают, что уже при $\phi_\delta \approx 20$ мВ возникает потенциальный барьер, обеспечивающий агрегативную устойчивость дис-

персной системы. Потенциальный барьер увеличивается и с уменьшением константы Гамакера A^* .

Различают три наиболее характерных вида потенциальных кривых, отвечающих определенным состояниям агрегативной устойчивости дисперсных систем (рис. VI.17). Кривая 1 на рис. VI.17 соответствует такому состоянию дисперсной системы, при котором на любом расстоянии между частицами энергия притяжения преобладает над энергией отталкивания. Не меняет этого соотношения и тепловое движение частиц. При таком состоянии для дисперсной системы характерна быстрая коагуляция с образованием агрегатов; в системах с жидкой и газообразной дисперсными фазами происходит коалесценция.

Кривая 2 указывает на наличие достаточно высокого потенциального барьера и вторичного минимума. В системе, находящейся в таком состоянии, происходит быстрая флокуляция частиц (перед вторичным минимумом отсутствует потенциальный барьер) на расстояниях, соответствующих вторичному минимуму. Благодаря же наличию высокого потенциального барьера перед первичным минимумом частицы во флюкулах не имеют непосредственного контакта и разделены прослойками среды. Очевидно, что такое состояние отвечает обратимости коагуляции. Пептизация возможна после устранения вторичного минимума или уменьшения его до значения ниже $k_B T$.

Кривая 3 отвечает состоянию системы с высоким потенциальным барьером при отсутствии вторичного минимума или при его глубине, меньшей тепловой энергии ($k_B T$). Вероятность образования агрегатов частиц в таких условиях очень мала, и дисперсные системы обладают большой агрегативной устойчивостью.

В упрощенном варианте теории ДЛФО с параллельными пластинами не учитываются размер частиц и их форма. Соотношения, полученные для энергии взаимодействия сферических частиц, показывают [см. уравнение (VI.111)], что высота ионно-электростатического барьера и соответственно устойчивость к коагуляции повышаются с увеличением размера частиц. Высота потенциального барьера в первом приближении пропорциональна радиусу частиц. Увеличение размеров частицы приводит к возрастанию также глубины вторичного энергетического минимума. Это подтверждается тем, что процессы дальней агрегации особенно распространены в грубодисперсных системах, например в пастах и цементных растворах.

С помощью теории ДЛФО получает подтверждение ортокINETическая коагуляция — прилипание мелких частиц к крупным той же породы. В соответствии с теорией энергия притяжения между крупной частицей (пластиной) и мелкой (сферической) больше, чем между двумя мелкими частицами. Поэтому ортокINETическая коагуляция не подчиняется уравнению Смолухов-

ского для быстрой коагуляции. Теория ДЛФО объясняет ускорение коагуляции в электрическом поле, которое вызывает асимметрию двойного электрического слоя на частицах. На них возникает индуцированный диполь, соответственно появляется дальное действие, и коагуляция ускоряется.

Электростатическая теория устойчивости дисперсных систем применима к тем системам, устойчивость которых обеспечивается только электростатическим фактором. В реальных же дисперсных системах в лучшем случае возможно преобладающее действие того или иного фактора устойчивости. Однако электростатический фактор устойчивости характерен для наиболее распространенных систем с водными средами, создающими условия для диссоциации. Механизм образования электростатического барьера связан с механизмом образования двойного электрического слоя: поверхностная диссоциация вещества частиц, адсорбция электролитов, в том числе ионогенных ПАВ и ВМС, и ориентирование диполей молекул растворителя или растворенных веществ. Так как электростатический барьер определяется, главным образом, электрическим потенциалом и толщиной двойного электрического слоя (VI.103), то, очевидно, он будет возрастать с увеличением поверхностной диссоциации, количества адсорбируемых потенциалопределяющих ионов и прочности их закрепления на поверхности частиц, а также с уменьшением взаимодействия противоионов с поверхностью частиц (увеличение толщины двойного слоя). При наличии на поверхности функциональных групп, обладающих слабыми кислотными свойствами, значение электрического потенциала и соответственно потенциального барьера зависит от рН среды. Электролит — стабилизатор должен иметь один ион с достаточным сродством к веществу частицы (чтобы поверхность могла заряжаться), другой — к растворителю (для обеспечения диссоциации электролита — стабилизатора и достаточной толщины двойного слоя).

Как правило, агрегативная устойчивость дисперсных систем с водной средой повышается по мере увеличения гидратации противоионов в лиотропных рядах ионов: $Cs^+ < Rb^+ < K^+ < Na^+ < Li^+$ и $I^- < Br^- < Cl^-$. Необходимо учитывать, что наличие индифферентных электролитов в дисперсной системе снижает толщину диффузной части двойного слоя $1/\kappa$ на частицах и соответственно электрический потенциал (II.124). Органические стабилизаторы — ионогенные ПАВ и ВМС в водных средах обычно ориентируются органическими радикалами к частице, а ионогенной группой — к воде, что обеспечивает диссоциацию функциональной группы, появление электрического потенциала на поверхности частиц и соответственно агрегативную устойчивость дисперсной системы.

4. Закономерности коагуляции гидрофобных дисперсных систем электролитами

Принято считать, что типичные лиофобные системы агрегативно устойчивы благодаря проявлению электростатического фактора стабилизации и коагулируют при введении в систему сравнительно небольших количеств любых электролитов. Наименьшая концентрация электролита c_m , при которой начинается коагуляция (медленная), называется *порогом коагуляции*. Для осуществления быстрой коагуляции требуется такая концентрация электролита c_b , после увеличения которой скорость коагуляции остается постоянной (когда фактор устойчивости $W=1$, или потенциальный барьер $\Delta E=0$).

Зависимость скорости коагуляции от концентрации электролита показана на рис. VI.18. Из этого рисунка следует, что введение электролита в дисперсную систему снижает потенциальный барьер, который при быстрой коагуляции (максимальной скорости) становится равным нулю. Порог коагуляции существенно зависит от момента его фиксирования, от метода наблюдения за коагуляцией (изменение интенсивности рассеяния света, реологических свойств и др.) и от концентрации золь, поэтому необходимо всегда подробно указывать условия определения этой величины.

В соответствии с теорией ДЛФО введение электролита в дисперсную систему вызывает сжатие двойного электрического слоя на поверхности частиц, вследствие чего они могут подойти друг к другу на расстояния, на которых преобладают силы притяжения. Уменьшение толщины двойного слоя сопровождается обменом противоионов этого слоя на вызывающие коагуляцию ионы электролита. Сжатие двойного электрического слоя происходит как за счет уменьшения электрического потенциала в результате специфической адсорбции ионов введенного электролита на поверхности частиц, так и из-за ограничения диффузии противоионов в раствор в связи с увеличением ионной силы раствора. По преобладанию того или иного механизма процесса коагуляции различают нейтрализационную и концентрационную коагуляцию. Области преимущественного действия механизмов коагуляции можно оценить с помощью теории ДЛФО.

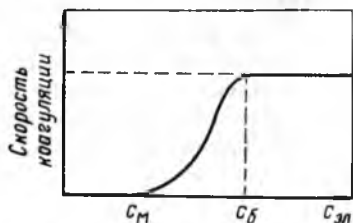


Рис. VI.18. Зависимость скорости коагуляции от концентрации электролита

По теории ДЛФО при концентрации электролита, равной порогу быстрой коагуляции, потенциальная кривая дисперсной системы находится в области отрицательных значений координат, только ее максимум, отвечающий нулевому потенциальному барьеру, лежит на оси абсцисс (см. рис. VI.17, пунктирная кривая 4). Точке касания потенциальной кривой оси абсцисс соответствуют два условия: равенства нулю суммарной энергии взаимодействия частиц и ее производной по расстоянию между частицами:

$$U=0 \text{ и } dU/dh=0$$

Необходимо отметить, что эти условия отвечают некоторому критическому потенциалу двойного электрического слоя, а не изоэлектрической точке, как считали раньше. Для многих золей критический потенциал, остающийся на частицах к моменту коагуляции, находится в пределах 25—40 мВ.

Порогу быстрой коагуляции отвечает следующее соотношение между энергиями отталкивания и притяжения частиц в области малых потенциалов (VI.109):

$$2\epsilon_0\epsilon\kappa_{кр}\psi_0^2\delta e^{-\kappa_{кр}h_{кр}} = \frac{A^*}{12\pi h_{кр}^2} \quad (\text{VI.112})$$

где $h_{кр}$ и $\kappa_{кр}$ отвечают критическим значениям при условии $U=0$ и $dU/dh=0$.

Производная по h равна

$$2\epsilon_0\epsilon\kappa_{кр}\psi_0^2\delta e^{-\kappa_{кр}h_{кр}}(-\kappa_{кр}) = -\frac{2A^*}{12\pi h_{кр}^3} \quad (\text{VI.113})$$

Разделив (VI.112) на (VI.113), получим:

$$h_{кр} = 2/\kappa_{кр} \quad (\text{VI.114})$$

Принимая во внимание, что коагуляция происходит в результате уменьшения потенциала (нейтрализационная) и сжатия диффузной части двойного электрического слоя (концентрационная), можно считать, что при введении электролита изменяются только потенциал диффузного слоя ψ_0 и величина, обратная толщине его $\kappa_{кр}$. Подставляя соотношение (VI.114) в (VI.112), найдем:

$$\psi_0^2/\kappa_{кр} = B = \text{const}$$

или в общем виде

$$\psi_0^2/\kappa_{кр} \leq B \quad (\text{VI.115})$$

Таким образом, при малых потенциалах порог быстрой коагуляции отвечает определенному соотношению между потенциалом и толщиной диффузной части двойного электрического слоя. Значения константы B , характерного для данной системы, можно достигнуть, изменяя тот или другой параметр двойного

слоя с помощью электролитов. Если указанное соотношение больше константы B , то система агрегативно устойчива, если меньше — происходит коагуляция. Условие устойчивости и коагуляции (VI.115) было эмпирически установлено Эйлерсом и Корфом в 1940 г., а затем теоретически обосновано Б. В. Дерягиным.

Чтобы получить зависимость порога быстрой коагуляции c_0 от заряда противоиона z в области малых потенциалов, подставим выражение для $\kappa_{кр}$ (II.119) в соотношение (VI.115). Так как

$$\kappa_{кр}^2 = F^2 z^2 c_0 / (e_0 e RT)$$

то после некоторых преобразований получим:

$$c_0 = \frac{e_0 e RT \varphi_0^4}{B^2 F^2 z^2} = K \frac{\varphi_0^4}{z^2} \quad (\text{VI.116})$$

В области больших потенциалов энергия взаимодействия между частицами практически не зависит от значения потенциала φ_0 (VI.110). Поэтому соотношение, полученное путем преобразований, подобных выполненным выше, показывает, что условие устойчивости и коагуляции определяется толщиной диффузной части слоя и критической концентрацией электролита (порогом быстрой коагуляции):

$$c_0 / \kappa_{кр}^3 = \text{const} \quad (\text{VI.117})$$

Подставляя в соотношение (VI.117) значение величины κ (II.119), получим зависимость порога коагуляции от заряда противоиона z :

$$c_0 z^6 = \text{const} \quad \text{или} \quad c_0 = \text{const} / z^6 \quad (\text{VI.118})$$

Сопоставляя соотношения (VI.116) и (VI.118), можно сделать вывод, что в соответствии с теорией ДЛФО нейтрализационная коагуляция более характерна для систем с частицами, обладающими малым электрическим потенциалом. Особенно сказывается на коагуляции в таких системах специфическая адсорбция ионов добавляемого электролита, имеющих заряд, одинаковый по знаку с зарядом противоионов двойного электрического слоя. Эти ионы, находясь в адсорбционном слое, резко снижают потенциал φ_0 (VI.116) — происходит нейтрализация φ_0 -потенциала уже в адсорбционном слое. Так как при специфической адсорбции ионов возможна перезарядка поверхности частиц, то для нейтрализационной коагуляции характерна область агрегативной неустойчивости между минимальной и максимальной концентрацией электролита. При введении электролита в количестве, превышающем некоторое максимальное значение, дисперсная система может перейти во вторую область устойчивости, в которой частицы будут иметь заряд, противоположный заряду частиц в первой области устойчивости.

Специфичность адсорбции повышается с увеличением заряда адсорбируемого иона, поэтому вклад нейтрализационной коагуляции растет при переходе к электролитам с многовалентными ионами. Действие специфической адсорбции на устойчивость и коагуляцию дисперсных систем можно представить как образование на поверхности частиц менее растворимого или менее диссоциированного соединения. В результате этого уменьшается взаимодействие частиц со средой и как следствие — увеличивается поверхностное натяжение, что приводит к потере агрегативной устойчивости дисперсной системы.

Как было указано выше, концентрационная коагуляция обусловлена сжатием двойного электрического слоя в результате увеличения ионной силы раствора. Этот вид коагуляции осуществляется при добавлении индифферентных электролитов, не способных к специфической адсорбции на поверхности коагулирующих частиц. Хотя при концентрационной коагуляции увеличивается количество противоионов в адсорбционном слое, однако эффект снижения потенциала в нем не является решающим. Преобладающее влияние ионной силы дисперсионной среды характерно для систем с высокозаряженными частицами.

Из соотношений (VI.116) и (VI.118) следует, что коагулирующее действие электролитов сильно зависит от заряда противоионов, и тем сильнее, чем больше потенциал поверхности частиц. Этот вывод полностью совпадает с многочисленными экспериментальными данными, и количественные соотношения удовлетворительно подтверждают эмпирически установленные правила. При малых потенциалах на поверхности частиц порог коагуляции обратно пропорционален квадрату заряда противоиона, вместе с тем он зависит и от потенциала. Это находится в соответствии с указанным выше эмпирическим соотношением Эйлера и Корфа. При высоких потенциалах порог быстрой коагуляции по теории ДЛФО не зависит от потенциала и обратно пропорционален заряду противоиона в шестой степени [см. уравнение (VI.118)], что хорошо обосновывает известное эмпирическое правило Шульце — Гарди. Значения порогов коагуляции, вызываемой электролитами с зарядами противоионов 1, 2 и 3, в соответствии с уравнением (VI.118) относятся как $1 : (1/2)^6 : (1/3)^6 = 1 : 1/64 : 1/729$

По правилу Шульце — Гарди значения порогов коагуляции для тех же противоионов находятся в соотношении

$$1 : 1/20 : 1/500$$

Несколько меньшая экспериментальная зависимость порога коагуляции от заряда иона, чем z^6 , объясняется, по-видимому, увеличением роли специфической адсорбции с ростом заряда

ионов. Таким образом, даже упрощенные варианты теории ДЛФО позволяют приближенно, но качественно правильно описать основные экспериментальные закономерности коагуляции электролитами.

Приближенность соотношений теории ДЛФО заключается еще в том, что в них не учтена природа противоионов с одинаковым зарядом. Например, пороги коагуляции уменьшаются в ряду противоионов — катионов $\text{Li}^+ > \text{Na}^+ > \text{K}^+ > \text{Rb}^+ > \text{Cs}^+$ и противоионов — анионов $\text{Cl}^- > \text{Br}^- > \text{NO}_3^- > \text{I}^-$. Приведенные лиотропные ряды характеризуют сродство ионов к растворителю. Таким образом, чем ионы более лиофобны, тем большим коагулирующим действием они обладают. Этот факт можно объяснить увеличением специфической адсорбции ионов этих рядов. Следует также учитывать вклад в коагулирующее действие противоионов, находящихся в диффузной части двойного электрического слоя. Чем гидрофильнее противоион, тем большее взаимодействие частиц со средой он обеспечивает и тем более устойчива система. Еще большее влияние на устойчивость (или коагуляцию) оказывают органические ионы, которые, обладая большой поверхностной активностью, могут нейтрализовать заряд в адсорбционном слое.

Коагулирующее действие смесей электролитов часто бывает неаддитивным. Иногда для начала коагуляции требуется смеси электролитов в большем количестве, чем одного из них. Такое явление называют антагонистическим действием электролитов. Если же смесь электролитов действует эффективнее одного электролита, то проявляется синергетическое действие электролитов. Очень сильное влияние на устойчивость и коагуляцию дисперсных систем оказывают электролиты, вступающие в химическое взаимодействие с противоионами мицелл или стабилизирующим электролитом.

Рассмотренные выше количественные закономерности коагуляции электролитами относятся в основном к порогу быстрой коагуляции, для которой потенциальный барьер равен нулю или фактор устойчивости (коэффициент стабильности) равен единице. Проведенный Н. А. Фуксом анализ соотношений для медленной коагуляции с учетом только электростатического отталкивания показал, что фактор устойчивости в первом приближении определяется уравнением

$$W \approx \frac{1}{2\chi r} \exp \frac{\Delta E}{k_B T} \quad (\text{VI.119})$$

Сравнение этого уравнения с определением фактора устойчивости (VI.22) показывает, что стерический множитель P в (VI.22) связан с величиной χ , обратной толщине диффузного слоя, и радиусом частиц r соотношением

$$P = 2\chi r \quad (\text{VI.120})$$

Анализ соотношений для медленной коагуляции предсказывает линейную зависимость (в логарифмических координатах) фактора устойчивости W от концентрации электролита c , что подтверждается экспериментально.

Заканчивая рассмотрение теории ДЛФО, следует отметить, что термодинамическая теория агрегативной устойчивости и кинетическая (физическая) теория ДЛФО хорошо согласуются, дополняя одна другую, и подтверждаются опытом.

5. Адсорбционно-сольватный, структурно-механический и энтропийный факторы устойчивости

Как указано выше, согласно термодинамической теории электростатический фактор устойчивости обеспечивает уменьшение поверхностного натяжения вследствие образования двойного электрического слоя на поверхности частиц. При действии адсорбционно-сольватного фактора устойчивости в отсутствие двойного электрического слоя поверхностное натяжение уменьшается в результате сольватации поверхности частиц. В соответствии с уравнением Дюпре для работы адгезии взаимодействие дисперсионной среды с поверхностью частиц приводит к уменьшению межфазного натяжения. Поверхность частиц в системах с адсорбционно-сольватным фактором устойчивости лиофильна по своей природе или лиофилизирована вследствие адсорбции стабилизаторов — неэлектролитов, имеющих сродство к растворителю. В результате взаимодействия частиц со средой на их поверхности формируются сольватные слои. По теории ДЛФО, учитывающей структурную составляющую расклинивающего давления, при сближении частиц сольватные слои перекрываются (по аналогии с перекрыванием двойных электрических слоев при действии электростатического фактора), возрастает осмотическое давление, а следовательно, и давление отталкивания, что снижает стремление системы к коагуляции. Механизм действия сил отталкивания можно представить и как совершение работы для разрушения сольватных слоев и для частичной десорбции молекул из них при сближении частиц.

Системы, в которых действует адсорбционно-сольватный фактор, могут быть агрегативно устойчивы даже при практическом отсутствии электрического потенциала на поверхности частиц. Такие системы значительно менее чувствительны к электролитам. Действие электролитов в этих системах подобно эффекту высаливания ими в растворах неэлектролитов, т.е. сводится только к уменьшению активности растворителя (воды). Особенно большую роль играет адсорбционно-сольватный фактор в системах с неполярными средами, в которых возможности диссоциации и соответственно образования двойного

электрического слоя проявляются слабо. На первый взгляд кажется, что для количественной оценки адсорбционно-сольватного фактора устойчивости можно провести аналогию с теорией ДЛФО. Однако если энергию притяжения в системах с адсорбционно-сольватным фактором устойчивости можно определить, исходя из представлений Гамакера и де Бура, то количественная оценка энергии гидратации, выступающая в роли энергии отталкивания частиц, до сих пор не разработана. Для оценки агрегативной устойчивости в обсуждаемых системах часто используют толщину адсорбционного слоя, равную половине расстояния между частицами, на котором энергия молекулярного притяжения уменьшается до величины $k_B T$.

Примером термодинамически устойчивых систем с адсорбционно-сольватным фактором являются растворы неионогенных ПАВ в ВМС. Ориентирование лиофильных частей молекул к растворителю обеспечивает резкое снижение поверхностного натяжения до значений, меньших критического значения (VI.37). Полярные части молекул обращены в водную среду, а неполярные радикалы — в органическую. Из твердых веществ большой гидрофильностью обладают оксиды многих элементов, например кремния, алюминия, железа. Поверхность частиц оксидов в воде обычно покрыта гидроксильными группами (гидроксильрована), которые сильно взаимодействуют с водой, образуя гидратные слои. Интересно, что для дисперсных систем оксидов факторы устойчивости могут изменяться в зависимости от рН среды. Особенно сильно эта зависимость выражена для зольей диоксида кремния. Например, гидрозоль кремнезема в области рН 7,0—8,0 устойчив, главным образом, благодаря адсорбционно-сольватному фактору. Он не коагулирует при введении электролита даже в больших концентрациях (1 моль/л и более). С увеличением рН гидроксильные группы диссоциируют, фактор устойчивости меняется на электростатический, и золь становится более чувствительным к электролитам.

Для частиц более основных оксидов характерно увеличение положительного заряда на поверхности с ростом кислотности среды, вследствие того что гидроксильные группы переходят с поверхности в раствор и нейтрализуются ионами водорода. Например, золь оксида железа более устойчив в кислой среде, в которой частицы имеют положительный заряд. Менее основные оксиды, такие как кремнезем, приобретают в кислой среде положительный заряд (ниже изоэлектрической точки) в результате адсорбции ионов водорода на гидроксильных группах поверхности.

Для дисперсных систем, частицы которых имеют лиофобную поверхность, образование сольватных слоев не характерно. Чтобы обеспечить их агрегативную устойчивость, применяют

стабилизаторы, способствующие увеличению межфазного взаимодействия. В качестве таких стабилизаторов широко применяют ПАВ и ВМС (имеющие неполярные и полярные части молекул), лиофилизирующие поверхность частиц дисперсной фазы. Молекулы ПАВ и ВМС, адсорбируясь на поверхности частиц, способствуют уменьшению поверхностного натяжения и образованию сольватного или двойного электрического слоя. При стабилизации поверхность частиц приобретает свойства вещества — стабилизатора. Формирование на поверхности частиц пленки из ВМС происходит значительно медленнее, чем из ПАВ. Очевидно, такая стабилизация дисперсных систем требует определенного времени для ориентирования молекул ПАВ и ВМС на межфазных поверхностях.

Стабилизация существенно зависит как от силы закрепления молекул стабилизатора на поверхности частиц дисперсной фазы, так и от степени ее заполнения. Увеличение того и другого параметра повышает устойчивость системы. Избыток стабилизатора может привести к формированию второго слоя молекул стабилизатора, ориентированного противоположным образом, в этом случае устойчивость системы снижается. При слабом закреплении стабилизатора сохраняется большая подвижность его молекул, поэтому при сближении частиц возможна агрегация, если время контакта частиц соизмеримо со временем нахождения молекул стабилизатора на поверхности частиц, причем молекулы ПАВ могут даже способствовать агрегации, переходя на внешнюю поверхность агрегата. Молекулы ВМС, как правило, очень прочно закрепляются на поверхности частиц и при достаточном заполнении поверхности ВМС служат надежными стабилизаторами. При недостаточном количестве введенного стабилизатора устойчивость дисперсной системы может даже снизиться. Отдельные участки одной макромолекулы могут сорбироваться на разных частицах, что способствует их флокуляции.

Особенно сильным стабилизирующим действием обладают ПАВ и ВМС, которые образуют на поверхности частиц двухмерную пленку, обладающую повышенными структурно-механическими свойствами. К таким поверхностно-активным веществам относятся длинноцепочечные ПАВ, большинство высокомолекулярных соединений, особенно полиэлектролиты. Концентрируясь в поверхностном слое частицы, они могут образовать даже гелеобразную пленку. В качестве примера веществ — стабилизаторов, образующих на поверхности частиц гелеобразные пленки, можно привести желатину, казеин и некоторые другие белки, мыла, водорастворимые эфиры целлюлозы, смолы. Одновременное снижение поверхностного натяжения до минимума приводит к тому, что структурно-механический фактор становится универсальным для стабилизации большинства дисперс-

ных систем. При недостаточном снижении межфазного натяжения структурно-механический барьер не предохраняет систему от коагуляции; частицы слипаются через их поверхностные слои.

Действие структурно-механического фактора оценивается с помощью реологических параметров межфазных адсорбционных слоев, которые имеют свойства твердообразного тела. Такие слои обладают механической прочностью, упругими свойствами и при сближении частиц мешают их слипанию или слиянию. Высокие прочностные характеристики поверхностные слои приобретают благодаря переплетению цепей ВМС и длинноцепочечных ПАВ, а иногда и в результате полимеризации и поликонденсации, например при микрокапсулировании. Представление о структурно-механическом факторе стабилизации было введено П. А. Ребиндером. Он показал, что этот фактор имеет кинетический характер. Часто после разрушения пленка самопроизвольно не восстанавливается, так как не находится в равновесии со средой.

Стабилизацию лиофобных дисперсных систем с помощью лиофильных коллоидов (в первую очередь, ВМС) называют защитным действием стабилизаторов — *коллоидной защитой*. Зигмонди предложил количественно оценивать защитное действие стабилизатора в «золотых числах». «Золотым числом» называется максимальная масса стабилизатора (в миллиграммах), которая предотвращает коагуляцию 10 мл золя золота (изменение окраски от красной до синей) при добавлении 1 мл 10%-ного раствора хлорида натрия. Таким образом, чем больше «золотое число», тем слабее защитное действие стабилизатора. Желатина имеет очень малое «золотое число» (0,01), что свидетельствует о ее сильном защитном действии. Несколько больше «золотое число» у гуммиарабика (0,5), еще больше у картофельного крахмала (20). Иногда вместо золя золота за стандарт выбирают золи серебра («серебряное число»), конго рубинового («рубиновое число») и др.

Наряду со структурно-механическим фактором к кинетическим относится и гидродинамический фактор устойчивости. Этот фактор определяется скоростью сближения частиц и вытекания прослоек дисперсионной среды между ними. Часто оба эти фактора объединяют под общим названием структурно-механического. Гидродинамический фактор подробно обсуждается при рассмотрении кинетики коагуляции.

Энтропийный фактор устойчивости характерен для систем, в которых или сами частицы, или их поверхностные слои вовлекаются в тепловое движение среды. Энтропийный вклад поверхностных слоев в агрегативную устойчивость дисперсной системы обеспечивается подвижностью противоионов, углеводородных радикалов ПАВ, звеньев ВМС. Чем больше подвиж-

ных компонентов частицы, тем выше вероятность состояний Ω (хаотичность), которая связана с энтропией законом Больцмана

$$S = k_B \ln \Omega \quad (\text{VI.121})$$

Если золь термодинамически агрегативно устойчив, то именно энтропийный фактор обеспечивает равномерное распределение частиц по объему среды, т. е. наибольшую их хаотичность. В этом заключается понятие об энтропийном отталкивании частиц. Его можно представить как наличие постоянной диффузии частиц из области системы с большой концентрацией в область с меньшей концентрацией, т. е. система постоянно стремится к выравниванию по всему объему концентрации дисперсной фазы.

Энтропийное отталкивание можно объяснить и исходя из непосредственного взаимодействия частиц с поверхностными слоями, в которых подвижные противоионы, длинные и гибкие радикалы ПАВ и ВМС обладают множеством конформаций. Сближение частиц приводит к уменьшению степеней свободы или конформаций, но так как рост энтропии (самопроизвольный процесс) связан с их увеличением, то частицы опять расталкиваются.

Очевидно, что при стабилизации реальных дисперсных систем с помощью электростатического или адсорбционно-сольватного факторов действует и энтропийный фактор агрегативной устойчивости.

Д. СТАБИЛИЗАЦИЯ И КОАГУЛЯЦИЯ ДИСПЕРСНЫХ СИСТЕМ С РАЗЛИЧНЫМ АГРЕГАТНЫМ СОСТОЯНИЕМ ФАЗ

1. Особенности стабилизации и коагуляции дисперсных систем с различным агрегатным состоянием дисперсионных сред

Насколько характерны для дисперсных систем те или иные факторы устойчивости и стабилизации, можно представить, рассмотрев системы в соответствии с агрегатным состоянием их дисперсионных сред.

Наиболее важные и распространенные дисперсные системы — твердые тела, относящиеся к связнодисперсным системам, т. е. к системам с твердой дисперсионной средой. Для твердых тел устойчивость и коагуляция не столь характерны, как для свободнодисперсных систем. Все же в лиофобных твердых дисперсных системах протекают процессы, хотя и очень медленно, сопровождающиеся уменьшением поверхностной энергии, например медленные процессы перекристаллизации, изотермической перегонки (их относят к процессам старения материалов).

Более быстро эти процессы протекают в пористых телах, особенно при наличии жидкой фазы, когда возможна хотя бы небольшая растворимость.

В соответствии со сказанным выше лиофобные твердые дисперсные системы можно рассматривать как кинетически устойчивые системы, имеющие дисперсионную среду с бесконечно большой вязкостью. Вместе с тем их можно представить и как уже скоагулированные системы со сформировавшейся объемной структурой. Такое представление отвечает методам получения большинства твердых материалов, поскольку они обычно образуются из свобододисперсных систем или через стадию образования свобододисперсных систем. Лиофильные твердые дисперсные системы (стабилизированные) отличаются значительной стабильностью свойств во времени.

Наибольшим разнообразием факторов устойчивости и методов коагуляции отличаются дисперсные системы с жидкой дисперсионной средой. Для них характерны как термодинамические, так и кинетические факторы устойчивости, поскольку только в жидких средах возможна диссоциация электролитов, вызывающая образование двойных электрических слоев, сольватация, в результате которой резко снижается межфазное натяжение. В жидких средах можно наблюдать адсорбционное понижение поверхностной энергии до минимальных значений, компенсирующихся энтропийным расталкиванием. В результате этого становится возможным самопроизвольное диспергирование или образование гетерогенных дисперсных систем, устойчивых практически неограниченное время. В жидких средах возможно изменение плотности фаз в широких пределах, благодаря чему значительно легче достигается термодинамическая устойчивость по отношению к седиментации (седиментационно-диффузионное равновесие). Для дисперсных систем с жидкой дисперсионной средой, безусловно, возможно регулирование и кинетических факторов устойчивости к коагуляции и седиментации (изменение вязкости среды).

Системы с газообразной дисперсионной средой (аэрозоли, порошки) неустойчивы по отношению к агрегации и седиментации. Это объясняется тем, что газообразная среда не может взаимодействовать с дисперсной фазой в такой степени, чтобы поверхностная энергия снижалась до необходимых значений. Малая плотность газов ограничивает возможность регулирования также седиментационной устойчивости.

2. Особенности коагуляции суспензий и лиозолой

Рассмотренные в предыдущих разделах факторы и закономерности устойчивости и коагуляции в дисперсных системах относились, главным образом, к лиозолям. В этом разделе обсужда-

ются некоторые особенности коагуляции суспензий и лиозолей, характерные для систем с твердой дисперсной фазой и жидкой дисперсионной средой.

Суспензии и лиозоли различаются размерами частиц, вместе с тем при одной и той же природе фаз поверхностные свойства отдельных частиц практически одинаковы. Различие в размерах частиц существенно сказывается на многих объемных свойствах этих систем. Так, рассеяние света (опалесценция), характерное для золей, с увеличением размера частиц постепенно переходит в отражение света. При одинаковых массовых концентрациях мутность суспензий значительно больше, чем золей.

Электрический потенциал и структура двойных электрических слоев (поверхностные свойства) мало зависят от размеров частиц. Однако увеличение удельной поверхности в дисперсной системе приводит к повышению концентрации противоионов двойного слоя, что, в свою очередь, может влиять на многие свойства системы, в том числе и на свойства этого слоя. Например, суспензионный эффект возрастает не только с увеличением концентрации дисперсной фазы, но и с повышением ее дисперсности (при постоянной массовой концентрации дисперсной фазы), т. е. с увеличением межфазной поверхности в суспензии, в том числе и по высоте столба суспензии при осаждении.

Различие в размерах частиц дисперсной фазы отражается на молекулярно-кинетических свойствах дисперсных систем. Частицы суспензий не участвуют в броуновском движении, они не способны к диффузии и, как следствие, в отличие от лиозолей суспензии седиментационно неустойчивы, в них практически отсутствует осмотическое давление, скорость коагуляции не зависит от теплового столкновения частиц (и не может следовать закономерностям теории кинетики коагуляции Смолуховского), а связана в основном со свойствами поверхностных слоев.

Энтропийный фактор агрегативной устойчивости лиозолей обусловлен тепловым движением как самих частиц, так и их поверхностных слоев, что обеспечивает равномерное распределение частиц по объему дисперсионной среды. У суспензий этот фактор действует только благодаря тепловой подвижности поверхностных слоев, которая может предотвращать слипание частиц (коагуляцию), но обычно недостаточна для обеспечения седиментационной устойчивости. Действия других факторов агрегативной устойчивости в суспензиях и лиозолях имеют много общего.

Агрегативно устойчивые и неустойчивые суспензии и лиозоли проявляют существенные различия при образовании осадков в результате коагуляции. Это прежде всего относится к се-

диментационным объемам (объемы осадков) и структурам осадков. В агрегативно устойчивых системах оседание частиц происходит медленно и формируется очень плотный осадок. Объясняется это тем, что поверхностные слои препятствуют агрегированию частиц; скользя друг по другу, частицы могут перейти в положение с минимальной потенциальной энергией. В агрегативно неустойчивой системе оседание частиц происходит значительно быстрее вследствие образования агрегатов. Однако выделяющийся осадок занимает гораздо больший объем, так как частицы сохраняют то случайное взаимное расположение, в котором они оказались при первом же контакте, силы сцепления между ними соизмеримы с их силой тяжести или больше ее.

Различие седиментационных объемов агрегативно устойчивых и неустойчивых систем наиболее четко проявляется, если частицы имеют средние размеры. Крупные частицы неустойчивых систем благодаря значительной силе тяжести образуют более плотный осадок, а очень мелкие частицы в устойчивых системах и оседают медленно, и осадки (структуры) получаются чрезвычайно подвижными.

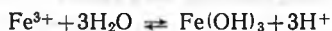
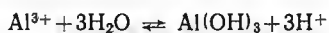
Причиной рыхлости осадков в агрегативно неустойчивых системах является анизометрия образующихся первичных агрегатов или флокул. Исследования показывают, что наиболее вероятны цепочечные и спиральные первоначальные агрегаты, из которых затем получают осадки большого седиментационного объема. Осадки получают при осаждении и фильтрации суспензий в различных производствах. Их свойства обычно регулируют путем изменения рН или добавления поверхностно-активных веществ. Увеличение концентрации дисперсной фазы способствует образованию объемной структуры в агрегативно неустойчивых системах. Этот факт широко используется для предотвращения седиментации, в частности при получении пластичных материалов и изделий из них.

Ярко выраженной особенностью лиозолей является их обратимость — способность к пептизации после коагуляции. Переход коагулята в золь зависит, главным образом, от степени лиофильности золя и от времени, прошедшего с момента коагуляции. Если коагуляция вызвана снижением действия того или иного фактора устойчивости, то для осуществления пептизации, как обратного процесса, требуется восстановление действия этого фактора. Если коагуляция проходила под действием электролитов, то пептизацию можно вызвать промыванием осадка чистым растворителем. Кроме того, можно увеличить заряд на частицах путем изменения рН среды, уменьшить межфазное натяжение с помощью ПАВ и т. д. Пептизация возможна только в том случае, если частицы в коагуляте не находятся в непосредственном контакте, а между ними имеются про-

слойки дисперсионной среды. Необходимо иметь в виду, что с увеличением времени контакта частиц в коагуляте происходит постепенное их срастание, после чего обратимая пептизация невозможна. Срастанию частиц способствует наличие растворимой составляющей (вещества частиц в растворенном состоянии), обеспечивающей перенос вещества в зону контакта.

Одним из вариантов коагуляции является взаимная коагуляция разнородных дисперсных систем — *гетерокоагуляция*. Если поверхности дисперсных фаз смешиваемых систем имеют заряды противоположного знака, то гетерокоагуляция происходит тем полнее, чем полнее произойдет нейтрализация зарядов частиц. При смешении систем с одноименно заряженными частицами, как правило, образуются устойчивые смешанные системы, но возможна и гетерокоагуляция, вызываемая, например, перераспределением стабилизаторов, приводящим к уменьшению степени стабилизации.

Гетерокоагуляция широко используется в процессах водоподготовки и очистки сточных вод. В воду добавляют минеральные коагулянты, например соли алюминия, железа, магния, кальция. Эти соли снижают агрегативную устойчивость системы, и частицы загрязняющих веществ выпадают в осадок. Эффективность очистки воды от коллоидных дисперсий определяется не только снижением электростатического барьера, а главным образом гетерокоагуляцией. Соли алюминия и железа в результате гидролиза образуют малорастворимые в воде гидроксиды, частицы которых приобретают положительный заряд (взаимодействие с ионами водорода):

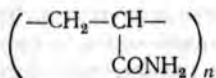


Гидроксиды выделяются преимущественно на частицах примесей, что также способствует укрупнению частиц.

Гетерокоагуляции аналогичен процесс *флокуляции*, заключающийся в образовании рыхлых агрегатов (хлопьев) из частиц (не имеющих непосредственного контакта между собой) в результате собирающего действия высокомолекулярных веществ, называемых флокулянтами. Механизм действия флокулянтов заключается в их адсорбции на нескольких частицах с образованием полимерных мостиков, связывающих частицы между собой. При неоптимальных количествах флокулянта может наблюдаться, наоборот, стабилизация дисперсной системы.

Флокулянты подразделяют на природные и синтетические, неорганические и органические, ионогенные, неионогенные и амфотерные. Из неорганических флокулянтов применяется активная кремниевая кислота. К природным органическим флокулянтам относятся крахмал, карбоксиметилцеллюлоза и др.

Наибольшее применение в качестве флокулянта получил выпускаемый промышленностью полиакриламид



имеющий относительную молекулярную массу около 10^6 и хорошо растворяющийся в воде. В качестве катионных флокулянтов используют четвертичные аммониевые соли на основе полистирола и поливинилтолуола. Флокулянты применяются для осветления растворов, очистки вод от механических примесей. Они ускоряют процессы образования хлопьев и их осаждения, повышают плотность агрегатов и осадков.

К гетерокоагуляции можно отнести и процесс флотации, в котором гидрофобизированные твердые частицы взаимодействуют с капельками масла (масляная флотация) или с пузырьками воздуха (пенная флотация) и всплывают на поверхность.

Осаждение и прилипание (адгезия) дисперсной фазы на макроповерхностях тел, помещенных в дисперсную систему, называется *гетероадагуляцией*. Этот процесс имеет большое значение для получения покрытий, пленок, модифицировании поверхности. Гетероадагуляции способствует наличие противоположных зарядов на поверхностях взаимодействующих тел. Частицы дисперсной фазы могут осаждаться на поверхностях под действием внешнего электрического поля (электрофорез), например, при получении электрофоретических покрытий.

3. Стабилизация и разрушение эмульсий

Агрегативная устойчивость эмульсий может обуславливаться многими факторами устойчивости. Образование этих систем возможно и путем самопроизвольного диспергирования при определенных условиях. Так, эмульсии самопроизвольно образуются в двухкомпонентной гетерогенной системе (без эмульгатора) при температуре смешения, близкой к критической. Как уже отмечалось, гетерогенная система вода — фенол самопроизвольно переходит в термодинамически устойчивую эмульсию при температуре несколько ниже критической ($t_{кр} = 66,4^\circ\text{C}$). В этих условиях межфазное натяжение настолько мало (менее $0,1 \cdot 10^{-3}$ Дж/м²), что оно полностью компенсируется энтропийным фактором. Как известно, таким свойством еще обладают коллоидные ПАВ и растворы ВМС. Сильное понижение поверхностного натяжения и увеличение энтропии при добавлении ПАВ (третьего компонента) в систему позволяет получить термодинамически устойчивые (самопроизвольно образующиеся) эмульсии и в обычных условиях, а не только при критических

температурах смешения. Это свойство эмульсий играет большую роль, например, в мощном действии, резко уменьшающем применение механических средств и ручного труда.

В термодинамически устойчивых и самопроизвольно образующихся эмульсиях частицы имеют очень высокую дисперсность. Большинство же эмульсий являются микрогетерогенными, термодинамическими неустойчивыми системами. При длительном хранении в них происходит слипание, а затем и слияние капель (коалесценция).

Агрегативная устойчивость эмульсий количественно характеризуется скоростью их расслоения, или временем жизни отдельных капель в контакте с другими. Чаще пользуются первой характеристикой. Ее определяют, измеряя высоту (объем) отслоившейся фазы через определенные промежутки времени после получения эмульсии. Без эмульгатора устойчивость эмульсии обычно небольшая. Известны методы стабилизации эмульсий с помощью ПАВ, ВМС, порошков. Так же, как и при стабилизации лиозолей, стабилизация эмульсий с помощью ПАВ обеспечивается вследствие адсорбции и определенной ориентации молекул ПАВ, что вызывает снижение поверхностного натяжения и увеличение энтропии. Ориентирование ПАВ в эмульсиях следует правилу уравнивания полярностей Ребиндера: полярные группы ПАВ обращены к полярной фазе, а неполярные радикалы — к неполярной фазе. В зависимости от типа ПАВ (ионогенные, неионогенные) капельки эмульсии приобретают соответствующий заряд или на их поверхности возникают адсорбционно-соляватные слои.

Эмульгирующая способность ПАВ характеризуется гидрофильно-липофильным балансом (ГЛБ) или гидрофильно-олеофильным соотношением (ГОС). Если ПАВ лучше растворяется в воде, чем в масле, образуется прямая эмульсия м/в, если растворимость его лучше в масле, то получается обратная эмульсия в/м (*правило Банкрофта*). Прямую эмульсию дают эмульгаторы с числом ГЛБ, равным $8 \div 13$, а при числе ГЛБ $3 \div 6$ получают обратные эмульсии. Эффективность эмульгатора тем выше, чем больше средство полярных и неполярных частей его молекул к соответствующим фазам эмульсии. Например, наиболее эффективными эмульгаторами для получения прямых эмульсий углеводов являются натриевые соли жирных кислот (мыла) с числом углеродных атомов $8-10$, а также алкилсульфаты, алкилсульфонаты и др.

Замена эмульгатора может привести к обращению эмульсии. Так, если к эмульсии м/в (например, дисперсная фаза — оливковое масло), стабилизированной натриевым мылом, добавлять раствор хлорида кальция, то эмульгатор переходит в кальциевую форму и эмульсия обращается, т. е. масляная фаза становится дисперсионной средой. Это объясняется тем, что каль-

цное мыло значительно лучше растворимо в масле, чем в воде.

Стабилизация обратных эмульсий с помощью ПАВ не ограничивается факторами, обуславливающими уменьшение поверхностного натяжения. ПАВ, особенно с длинными радикалами, на поверхности капелек эмульсии могут образовать пленки значительной вязкости (структурно-механический фактор), а также обеспечить энтропийное отталкивание благодаря участию радикалов в тепловом движении. Структурно-механический и энтропийный факторы особенно существенны, если для стабилизации применяют поверхностно-активные высокомолекулярные соединения типа полиэлектролитов. Структурно-механический фактор — образование структурированной и предельно сольватированной дисперсионной средой адсорбционной пленки — имеет большое значение для стабилизации концентрированных и высококонцентрированных эмульсий. Тонкие структурированные прослойки между каплями высококонцентрированной эмульсии придают системе ярко выраженные твердообразные свойства.

Стабилизация эмульсий возможна и с помощью высокодисперсных порошков. Механизм их действия аналогичен механизму действия ПАВ. Порошки с достаточно гидрофильной поверхностью (глина, кремнезем и др.) стабилизируют прямые эмульсии. Гидрофобные порошки (сажа, гидрофобизированный аэросил и др.) способны к стабилизации обратных эмульсий. Частицы порошка на поверхности капель эмульсий располагаются так, что большая часть их поверхности находится в дисперсионной среде. Для обеспечения устойчивости эмульсии необходимо плотное покрытие порошком поверхности капли. Очевидно, что, если степень смачивания частиц порошка — стабилизатора средой и дисперсной фазой сильно различается, то весь порошок будет находиться в объеме фазы, которая его хорошо смачивает, и стабилизации не произойдет.

Установлено, что стабилизации микрогетерогенных эмульсий способствует самопроизвольное образование ультрамикроретерогенных эмульсий (микроэмульсий) вокруг частиц. Микроэмульсии (размер частиц 10—100 нм) образуются вследствие турбулентности в приповерхностных слоях частиц основной эмульсии. Слои капелек микроэмульсий выступают в роли структурно-механического барьера, замедляющего коагуляцию основной эмульсии.

Эмульсии широко распространены как в природе, так и в различных промышленных отраслях. Природными эмульсиями являются молоко, сливки, яичный желток, молочный сок каучуконосов и др. К эмульсиям относятся такие продукты питания, как майонез, маргарин, простокваша, сливочное масло, соусы. Многие лекарства готовят в виде эмульсий, причем, как

правило, внутрь принимают эмульсии м/в, а наружные средства представляют собой обратные эмульсии.

В химической промышленности с эмульсиями имеют дело при проведении различных синтезов, эмульсии образуются также в экстракционных аппаратах, при процессах перемешивания. Для получения синтетических латексов используется эмульсионная полимеризация — полимеризация в каплях дисперсной фазы. Эмульсии применяют для получения пористых органических сорбентов, мембран, пленок, покрытий.

В промышленности часто возникает необходимость разрушить эмульсию. Прямые эмульсии, стабилизированные ионогенными эмульгаторами, можно разрушить добавлением электролитов с поливалентными ионами. Такие электролиты вызывают не только сжатие двойного электрического слоя, но и переводят эмульгатор в малорастворимую в воде форму. Эмульгатор можно нейтрализовать другим эмульгатором, способствующим образованию эмульсий обратного типа. Можно добавить вещество более поверхностно-активное, чем эмульгатор, которое само не образует прочных пленок. Например, спирты (пентиловый и другие) вытесняют эмульгаторы, растворяют их пленки и способствуют коалесценции капель эмульсии. Эмульсию можно разрушить повышением температуры, электрическими методами, центрифугированием, фильтрованием через пористые материалы, которые смачиваются дисперсионной средой, но не смачиваются веществом дисперсной фазы, и другими способами.

4. Стабилизация и разрушение пен

Пены могут иметь жидкую и твердую дисперсионные среды. Устойчивость, стабилизация и разрушение имеют важное практическое значение для пен с жидкой дисперсионной средой. Как для всех дисперсных систем с такой средой, для пен характерны термодинамические и кинетические факторы устойчивости. Однако в отличие от эмульсий пены, как и лиозоли, нельзя получить путем самопроизвольного диспергирования, так как на границе с газом поверхностное натяжение не может уменьшиться до необходимого значения. По этой же причине пена не может долго существовать без специального стабилизатора — пенообразователя. Только в разбавленных газовых эмульсиях, особенно высокодисперсных, некоторое время могут находиться пузырьки газа, но при соприкосновении они практически мгновенно коалесцируют.

Устойчивость пены определяется, главным образом, гидродинамическим фактором и соответствующими свойствами системы, например вязкостью жидкой фазы. Стабилизация пен обеспечивается с помощью поверхностно-активных низкомоле-

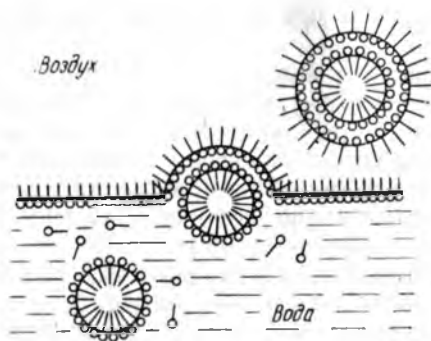


Рис. VI.19. Схема образования пузырька пены, стабилизированной ПАВ

кулярных и высокомолекулярных соединений. Механизм образования пены в полярной жидкости иллюстрирует рис. VI.19. При выходе пузырька из жидкости в его пленке формируются два слоя ориентированных молекул ПАВ. Образую-

щиеся адсорбционные слои на границе газ — жидкость создают условия, при которых со стороны дисперсионной среды возникают двойные электрические или сольватные слои. Эти слои и обуславливают агрегативную устойчивость пен.

Большая роль в стабилизации пен отводится эффекту Марангони. При локальном утончении пленки пены увеличивается поверхностное натяжение. Появление градиента поверхностного натяжения вызывает течение раствора из области низких поверхностных натяжений в места утончения пленки. Происходит как бы «залечивание» ослабленных участков. Такое залечивание можно объяснить и по другому. Утончение пленки пены приводит к росту в ней капиллярного, а затем и расклинивающего давления, что способствует втягиванию жидкости в пленку из утолщений.

С увеличением кратности пены (отношение объема пены к объему жидкости, пошедшей на ее образование) возрастает роль структурно-механического фактора в ее устойчивости. При кратности пены до 10—20 пузырьки ее имеют обычно сферическую форму, так как они разделены достаточно толстыми прослойками жидкости. С ростом кратности пены от нескольких десятков до сотен ее структура переходит в ячеистую, или соотообразную, в которой каждая ячейка представляет собой многогранник. Пузырьки газа в таких пенах разделены тончайшими пленками жидкости, образующими каркас, прочность которого определяется свойствами пенообразователя и его концентрацией.

Разрушение пен связывают, главным образом, с капиллярным давлением, обуславливающим переток жидкости в утолщенные участки, которые находятся под меньшим гидростатическим давлением (жидкость в утолщениях пленки имеет вогнутые мениски), а также с диффузией газа из малого пузырька в более крупный через пленку, разделяющую их. При разрушении пены может преобладать тот или иной процесс в зависимости от природы и состояния пены. В пенах с толсты-

ми жидкими прослойками сначала происходит истечение жидкости, приводящее к утончению пленок, а затем диффузия газа и разрыв пленок. Разрушение пен высокой кратности («сухих») обусловлено в основном диффузией газа и прорывом пленок.

Устойчивость пен оценивается временем «жизни» пузырька пены или определенного ее объема. Установлено, что при использовании ПАВ в качестве пенообразователей с ростом их молекулярной массы стабильность пен увеличивается до определенного предела, а затем при дальнейшем увеличении молекулярной массы снижается. Максимум стабильности пен наблюдается и с увеличением концентрации таких пенообразователей, как истинно растворимые ПАВ (низкомолекулярные). Подобные вещества относят к пенообразователям первого рода. Пены, полученные с применением этих пенообразователей, быстро разрушаются по мере истечения междупленочной жидкости.

Коллоидные ПАВ и белки относят к пенообразователям второго рода. При увеличении их концентрации стабильность пен непрерывно повышается, что объясняется, по-видимому, возрастанием прочности структуры пены. Каркас пены, полученной с применением таких пенообразователей, очень устойчив и может сдерживать истечение междупленочной жидкости. Пенообразующая способность ионогенных ПАВ существенно выше, чем неионогенных ПАВ, что связывают с большей скоростью образования адсорбционных слоев из ионогенных ПАВ.

Пены находят широкое применение. В химической промышленности используют эффективные пенные аппараты, предназначенные для проведения процессов в газожидкостных системах: абсорбции, десорбции, испарения, конденсации, сушки и очистки газов, охлаждения газов и жидкостей и т. д. Высокая скорость протекающих процессов достигается увеличением поверхности контакта взаимодействующих фаз. Пены способствуют очистке поверхностей от различных загрязнений.

Пены применяются для тушения пожаров. Огнегасящее их действие состоит в охлаждении горячих предметов водой, содержащейся в пене, а также в преграждении доступа кислорода к ним. Пена всегда находится наверху и поэтому очень эффективна при тушении горючих жидкостей.

В ряде производств пены мешают нормальному протеканию процессов, поэтому требуется гасить пену или предотвращать ее образование. Например, специальное пеногашение проводят в целлюлозно-бумажной, сахарной и фармацевтической промышленности; пены часто мешают на стадиях фильтрования, центрифугирования, очистке сточных вод. Для предотвращения пенообразования в систему вводят специальные пеногасители, применяют также и нехимические методы пеногашения. Пено-

гаситель препятствует стабилизации пены, поэтому он должен быть более поверхностно-активен, чем пенообразователь, чтобы вытеснить последний или растворить структурированную пленку пены. В качестве пеногасителей используют природные масла и жиры, органические кислоты, спирты, эфиры, некоторые кремнийорганические и фосфорорганические соединения.

Из нехимических методов разрушения пен применяют механические, термические и акустические. Механические методы заключаются в разбивании пены с помощью мешалок, циклонов, дисков. Этот процесс выполняется непосредственно в технологических аппаратах или в специальных пеноразрушителях, куда предварительно выводят пену. Термический метод основан на испарении жидкости, находящейся в пленках пены; в одном из вариантов этого метода на пену действуют острым паром. В акустических методах для разрушения пены используется ультразвук частотой от 1 до 1000 кГц.

Пены с твердой дисперсионной средой — *твердые пены* — нашли широкое распространение в качестве строительных, тепло- и звукоизоляционных материалов. Их получают путем отверждения растворов или расплавов пластмасс (пенопласты), бетона (пенобетон), стекла (пеностекло). При получении газонаполненных материалов (твердых пен) кроме основного компонента, играющего роль дисперсионной среды, в состав полупродукта вводят пенообразователи, которыми обычно служат вещества, легко разлагающиеся с выделением газов: карбонаты, диазоминобензол и др.

5. Устойчивость и разрушение аэрозолей

Системы с газообразной дисперсионной средой, в частности аэрозоли, отличаются крайне низкой агрегативной устойчивостью. Неустойчивость этих систем обусловлена инертностью среды в них. Для аэрозолей не характерны термодинамические факторы устойчивости, так как нельзя создать поверхностный слой на границе с газообразной средой, до минимума понижающий поверхностное натяжение. Эти системы обладают лишь кинетической устойчивостью и поэтому не могут существовать при больших концентрациях дисперсной фазы. Число частиц в 1 см^3 аэрозоля редко может превышать 10^7 , тогда как, например, в 1 см^3 гидрозоля золота может содержаться 10^{16} частиц и более. Частицы в аэрозолях быстро оседают под действием силы тяжести.

Другой особенностью аэрозоля, как уже отмечалось, являются нестабильные и неравновесные электрические свойства их частиц. Если для лиозолей электрическое состояние системы соответствует равновесию между частицей и средой и электрический потенциал на частицах практически одинаков, то

в аэрозолях частицы могут иметь заряды даже разного знака, так как газообразная среда не может быстро обеспечить равновесие.

Благодаря интенсивному броуновскому движению в газовой среде коагуляция в аэрозолях протекает быстрее, чем в лиозолях. Константа коагуляции аэрозолей достигает значительно более высоких значений, поэтому скорость коагуляции сильно возрастает с увеличением концентрации аэрозоля. Если частицы обладают одинаковыми зарядами, это способствует их рассеянию и увеличению агрегативной устойчивости аэрозоля. При наличии же противоположно заряженных частиц коагуляция аэрозоля ускоряется. На скорость коагуляции влияют звуковые колебания и конвекционные потоки, увеличивающие вероятность столкновения частиц. Коагуляции способствует увеличение влажности среды, так как влажные пленки стягивают столкнувшиеся частицы (роль третьей фазы при смачивании).

Аэрозоли находят широкое применение в промышленности, сельском хозяйстве и в быту. Туманы, получаемые механическим диспергированием, применяют для опыления, опрыскивания, увлажнения, создания защитных завес и т. д. Размер частиц в таких туманах составляет не менее 1,0—1,5 мкм, что является основной причиной их быстрого гравитационного осаждения и коагуляции. Наиболее стабильны туманы, получаемые при конденсации пересыщенных паров — метод, который нередко выступает в качестве необходимой стадии технологического процесса получения многих продуктов. Так, устойчивые конденсационные туманы образуются в производстве серной, хлороводородной и фосфорной кислот, в процессах хлорирования, сульфирования, гидрохлорирования, при термическом разложении некоторых солей, гидролизе ряда газов. Вследствие высокой дисперсности и часто сильной агрессивности дисперсных частиц разрушение таких туманов представляет весьма сложный и дорогостоящий процесс.

Аэрозоли в виде дыма и пыли сопутствуют практически каждому производству, потребляющему топливо. Теплоцентрали, доменные печи, коксовые батареи, заводы, производящие черные и цветные металлы, цемент и другие материалы, выделяют огромное количество дыма и пыли, уносимых технологическими и вентиляционными газами. Улавливание пылей и борьба с дымами при современном развитии производства превращается в общественно необходимое мероприятие по охране окружающей среды.

Для разрушения аэрозолей и улавливания дисперсной фазы применяют различные методы. Крупные частицы осаждаются в пылевых камерах. При изменении направления газовых потоков на частицы действует сила инерции: ударяясь о стен-

ки газоходов, они резко теряют скорость и оседают. На этом явлении основано действие инерционных пылеуловителей и циклонов. Широко применяются мокрые уловители — скрубберы. В таких аппаратах частицы смачиваются и оседают на дно. Однако улавливаются в основном крупные частицы (более $3 \div 5$ мкм); для мелких частиц, находящихся в пузырьке газа, вероятность взаимодействия с жидкостью меньше.

Эффективна очистка в электрофильтрах (аппаратах Коттреля), в которых генерируются отрицательно заряженные газовые ионы и электроны на коронирующем электроде (напряжение 70—100 тыс. вольт). Отрицательные ионы, двигаясь к положительному осадительному электроду, отдают частицам аэрозоля свой заряд, которые, заряжаясь, начинают перемещаться в том же направлении. На положительном электроде частицы теряют заряд и осаждаются. Электрофильтры эффективно задерживают частицы размером более 1 мкм.

Широкое распространение получили методы фильтрования аэрозолей. Однако эффективность всех методов уменьшается с увеличением дисперсности аэрозолей, поэтому для разрушения высокодисперсных аэрозолей используют методы предварительной коагуляции. Наиболее широкое распространение в промышленности получил метод улавливания аэрозолей, основанный на конденсации паров жидкости (обычно воды) в среде аэрозоля. Частицы аэрозоля, выступая в качестве центров конденсации, укрупняются и коагулируют вследствие конденсации на них паров воды, что облегчает их улавливание.

VII. СТРУКТУРНО-МЕХАНИЧЕСКИЕ СВОЙСТВА И РЕОЛОГИЧЕСКИЙ МЕТОД ИССЛЕДОВАНИЯ ДИСПЕРСНЫХ СИСТЕМ

A. РЕОЛОГИЯ КАК МЕТОД ИССЛЕДОВАНИЯ СТРУКТУРЫ ДИСПЕРСНЫХ СИСТЕМ

1. Основные понятия и идеальные законы реологии

Под структурой тел обычно понимают пространственное взаимное расположение составных частей тела: атомов, молекул, мелких частиц. Структура разбавленных агрегативно устойчивых дисперсных систем по ряду свойств очень похожа на структуру истинных растворов. Основное отличие состоит в том, что в дисперсных (гетерогенных) системах частицы дисперсной фазы и молекулы дисперсионной среды сильно различаются по размерам. Увеличение концентрации дисперсной фазы при-

водит к взаимодействию ее частиц, подобному ассоциации молекул и ионов в истинных растворах. Изменение свойств дисперсных систем с ростом концентрации происходит постепенно до тех пор, пока не наступит коагуляция частиц. В коллоидной химии понятия структуры и структурообразования принято связывать именно с коагуляцией. В процессе коагуляции происходит образование пространственной структурной сетки из частиц дисперсной фазы, что резко увеличивает прочность системы.

Таким образом, структурообразование в свободнодисперсных системах есть результат потери их агрегативной устойчивости. По мере увеличения прочности структуры свободнодисперсная система переходит в связнодисперсную систему. Появление и характер образующихся структур, как правило, определяют по механическим свойствам систем, к важнейшим из которых относятся вязкость, упругость, пластичность, прочность. Так как эти свойства непосредственно связаны со структурой тел, то их обычно называют структурно-механическими.

Структурно-механические свойства систем исследуют методами реологии — науки о деформациях и течении материальных систем. Реология изучает механические свойства систем по проявлению деформации под действием внешних напряжений. В коллоидной химии методы реологии используют для исследования структуры и описания вязкотекучих свойств дисперсных систем.

Термин *деформация* означает относительное смещение точек системы, при котором не нарушается ее сплошность. Деформацию делят на упругую и остаточную. При упругой деформации структура тела полностью восстанавливается после снятия нагрузки (напряжения); остаточная деформация необратима, изменения в системе остаются и после снятия нагрузки. Остаточная деформация, при которой не происходит разрушения тела, называется пластической.

Среди упругих деформаций различают объемные (растяжение, сжатие), сдвиговые и деформации кручения. Они характеризуются количественно относительными (безразмерными) величинами. Например, при одномерном деформировании растяжение выражается через относительное удлинение:

$$\gamma = \Delta l / l_0 = (l - l_0) / l_0 \quad (\text{VII.1})$$

где l_0 и l — длина тела до и после растяжения соответственно; Δl — абсолютное удлинение.

Деформация сдвига определяется относительным сдвигом (рис. VII.1) под действием напряжения P :

$$\gamma = y/x = \text{tg } \alpha \quad \text{или} \quad \gamma = dy/dx \quad (\text{VII.2})$$

где y — смещение верхнего слоя; x — высота, на протяжении которой происходит смещение.

Как следует из рис. VII.1, относительный сдвиг равен тангенсу угла сдвига α .

Жидкости и газы деформируются при наложении минимальных нагрузок. Под действием разности давлений они текут. Течение является одним из видов деформации, при котором величина деформации непрерывно увеличивается под действием постоянного давления (нагрузки). В отличие от газов жидкости при течении не сжимаются и их плотность остается практически постоянной.

Напряжение, вызывающее деформацию тела, определяется отношением силы к площади, на которую она действует. Действующая сила может быть разложена на две составляющие: нормальную, направленную перпендикулярно к поверхности тела, и тангенциальную (касательную), направленную по касательной к этой поверхности. Соответственно различают два вида напряжений: нормальные и тангенциальные, которым отвечают два основных вида деформации: растяжение (или сжатие) и сдвиг. Остальные виды деформации можно представить с помощью различных комбинаций этих основных видов деформаций. Единицами напряжения являются в СИ Па (паскаль), в системе СГС — дин/см².

Соответствие характера деформации виду напряжения подтверждает *первая аксиома реологии*: при всестороннем равномерном (изотропном) сжатии все материальные системы ведут себя одинаково — как идеальные упругие тела. Это означает, что в таких разных по структуре телах, как металл, смола, вода, кислород (газ), изотропное сжатие вызывает только упругую деформацию, а именно, уменьшаются размеры системы при сохранении ее формы и увеличивается плотность. При снятии нагрузки все параметры тела принимают первоначальные значения. Отсюда следует, что изотропное сжатие не позволяет выявить качественные различия в структуре тел.

Вместе с тем любая материальная система обладает всеми реологическими свойствами (*вторая аксиома реологии*). Основными из них, как уже упоминалось, являются упругость, пластичность, вязкость и прочность. Все эти свойства проявляются при сдвиговой деформации, которая поэтому считается наиболее важной в реологических исследованиях.



Рис. VII.1. Схематическое изображение деформации сдвига

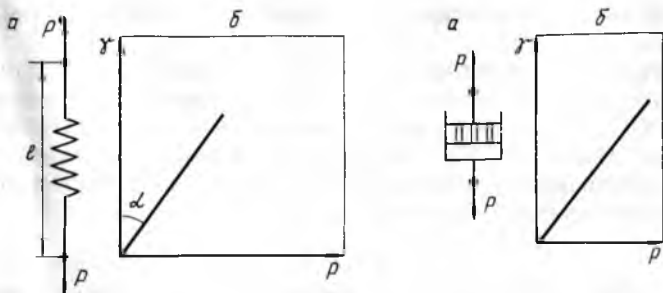


Рис. VII.2. Модель идеального упругого тела Гука (а) и зависимость деформации этого тела от напряжения (б)

Рис. VII.3. Модель идеально вязкой жидкости Ньютона (а) и зависимость скорости деформации этой жидкости от напряжения (б)

Таким образом, характер и величина деформации зависят от свойств материала тела, его формы и способа приложения внешних сил.

В реологии механические свойства материалов представляют в виде реологических моделей, в основе которых лежат три основных идеальных закона, связывающих напряжение с деформацией. Им соответствуют три элементарные модели (элемента) идеализированных материалов, отвечающих основным реологическим характеристикам (упругость, пластичность, вязкость): идеально упругое тело Гука, идеально вязкое тело Ньютона (ньютоновская жидкость) и идеально пластическое тело Сен-Венана — Кулона.

Идеально упругое тело Гука представляют в виде спиральной пружины (рис. VII.2). В соответствии с законом Гука деформация в упругом теле пропорциональна напряжению сдвига P :

$$\gamma = P/E \text{ или } P = E\gamma \quad (\text{VII.3})$$

где E — коэффициент пропорциональности, или модуль Юнга.

Модуль Юнга E является характеристикой материала (его структуры), количественно отражающей его упругие свойства (жесткость). Из уравнения (VII.3) следует, что единицами модуля Юнга являются паскаль (СИ) и дин/см² (СГС), т. е. те же, что и для напряжения, так как величина γ безразмерна. Модуль Юнга можно определить по тангенсу угла наклона α прямой, характеризующей зависимость деформации γ от напряжения (см. рис. VII.2, б). Модуль упругости составляет для молекулярных кристаллов $\sim 10^9$ Па, для ковалентных кристаллов и металлов — 10^{11} Па и более. После снятия нагрузки идеально упругое тело Гука мгновенно переходит в первоначальное состояние (форму). Принято, что для упругих тел этот пе-

реход происходит со скоростью, не меньшей скорости распространения звука в них.

Идеально вязкое тело Ньютона изображают в виде поршня с отверстиями, помещенного в цилиндр с жидкостью (рис. VII.3). Идеально вязкая жидкость течет в соответствии с законом Ньютона. Согласно этому закону напряжение сдвига при ламинарном течении жидкости с вязкостью η пропорционально градиенту ее скорости du/dx :

$$P = \eta du/dx \quad (\text{VII.4})$$

При плоскопараллельном движении двух слоев жидкости происходит сдвиг одного слоя относительно другого. Если скорость движения слоев жидкости обозначить через dy/dt и учесть, что координата x и время t являются независимыми переменными, то с помощью изменения порядка дифференцирования можно получить следующее соотношение:

$$du/dx = d^2y/(dxdt) = d\dot{\gamma}/d\tau = \dot{\gamma} \quad (\text{VII.5})$$

где $\dot{\gamma} = d\gamma/d\tau$ — скорость деформации сдвига.

Таким образом, закон Ньютона можно сформулировать еще следующим образом: напряжение сдвига пропорционально скорости деформации (или скорости деформации пропорциональна напряжению сдвига)

$$P = \eta \dot{\gamma} \quad (\text{VII.6})$$

Реологические свойства идеальных жидкостей однозначно характеризуются вязкостью. Ее определение дается уравнениями (VII.4) и (VII.6). График зависимости $P \rightarrow \dot{\gamma}$ представляет собой прямую, выходящую из начала координат, тангенс угла наклона этой прямой к оси $\dot{\gamma}$ определяет вязкость жидкости, а к оси P — величину, обратную вязкости, называемую *текучестью*. Если вязкость характеризует сопротивление жидкости движению, то текучесть — ее подвижность. Единицы вязкости следуют из уравнения (VII.6). Так как в международной системе единиц напряжение измеряется в паскалях, а скорость деформации в с^{-1} , то единицей вязкости будет паскаль·секунда ($\text{Па} \cdot \text{с}$). В системе СГС за единицу вязкости принят пуаз (П) ($1 \text{ Па} \cdot \text{с} = 10 \text{ П}$). Вязкость воды при $20,5^\circ\text{C}$ равна $0,001 \text{ Па} \cdot \text{с}$ или $0,01 \text{ П}$, т. е. 1 сантипуазу (сП). Вязкость газов примерно в 50 раз меньше, у высоковязких жидкостей значения вязкости могут достигать в тысячу и миллионы раз больше, а у твердых тел она может составлять $10^{15} - 10^{20} \text{ Па} \cdot \text{с}$ и более. Размерность текучести обратна размерности вязкости, следовательно, единицы вязкости обратны единицам текучести. Например, в системе СГС текучесть измеряется в пуазах в минус первой

степени (Π^{-1}). Иногда эта единица называется и обозначается «ре».

Величина деформации жидкости зависит от времени действия напряжения. Так как

$$\dot{\gamma} = P/\eta \text{ или } d\gamma/d\tau = P/\eta$$

то
$$\gamma = \frac{P}{\eta} \tau \quad (\text{VII.7})$$

т. е. деформация при постоянном напряжении P пропорциональна времени действия этого напряжения. Идеальные жидкости способны течь (деформироваться) под действием очень малых внешних нагрузок до тех пор, пока они действуют.

Модель идеально пластического геля Сен-Венана — Кулона является находящееся на плоскости твердое тело, при движении которого трение постоянно и не зависит от нормальной (перпендикулярной поверхности) силы (рис. VII.4). В основе этой модели лежит закон внешнего (сухого) трения, в соответствии с которым деформация отсутствует, если напряжение сдвига меньше некоторой величины P_T , называемой пределом текучести, т. е. при

$$P < P_T \quad \dot{\gamma} = 0 \text{ и } \gamma = 0 \quad (\text{VII.8})$$

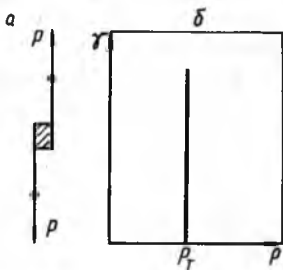
Если напряжение достигнет предела текучести, то развиваемая деформация идеально пластического тела не имеет предела, и течение происходит с любой скоростью, т. е. при

$$P = P_T \quad \dot{\gamma} > 0 \text{ и } \gamma > 0 \quad (\text{VII.9})$$

Эта зависимость показана на рис. VII.4, б. Из нее следует, что к элементу сухого трения (идеально пластическому телу) не может быть приложено напряжение, превышающее P_T . Величина P_T отражает прочность структуры тела. При условии $P = P_T$ структура идеально пластического тела разрушается, после чего сопротивление напряжению полностью отсутствует.

Сравнение идеальных элементов (реологических моделей) показывает, что энергия, затраченная на деформацию упругого тела Гука, возвращается при разгрузке (после прекращения действия напряжения), а при деформации вязкого и пластического тел энергия превращается в теплоту. В соответствии с этим тело Гука принадлежит к консервативным системам, а другие два — к диссипативным (теряющим энергию).

Рис. VII.4. Модель идеально пластического тела Сен-Венана — Кулона (а) и зависимость деформации этого тела от напряжения (б)



2. Моделирование реологических свойств тел

Многообразные реологические свойства реальных тел можно моделировать с помощью различных сочетаний рассмотренных идеальных моделей. Сложные модели состоят из нескольких идеальных моделей (элементов), соединенных между собой последовательно или параллельно. При последовательном соединении элементов полная нагрузка P приходится на каждый элемент, а полная деформация γ или ее скорость $\dot{\gamma}$ складываются из деформаций и скоростей составляющих элементов:

$$P = P_1 = P_2 = \dots = P_n$$

$$\gamma = \gamma_1 + \gamma_2 + \dots + \gamma_n \quad \text{и} \quad \dot{\gamma} = \dot{\gamma}_1 + \dot{\gamma}_2 + \dots + \dot{\gamma}_n \quad (\text{VII.10})$$

При параллельном соединении элементов деформации γ и их скорости $\dot{\gamma}$ одинаковы для всех элементов, а полная нагрузка складывается из нагрузок отдельных элементов:

$$P = P_1 + P_2 + \dots + P_n$$

$$\gamma = \gamma_1 = \gamma_2 = \dots = \gamma_n \quad \text{и} \quad \dot{\gamma} = \dot{\gamma}_1 = \dot{\gamma}_2 = \dots = \dot{\gamma}_n \quad (\text{VII.11})$$

С помощью этих правил сравнительно просто моделировать реологические свойства реальных тел. Для расширения возможности количественной характеристики реологических свойств реальных тел используют несколько составных идеальных моделей. Наиболее важные из этих моделей рассматриваются ниже.

Известно, что нет принципиального различия в реологических свойствах реальных жидкостей и твердых тел. Объясняется это тем, что те и другие представляют собой конденсированное состояние вещества, характеризующееся высокой плотностью упаковки атомов и молекул и малой сжимаемостью. Жидкости и твердые тела имеют практически одинаковую природу сил сцепления, которые зависят только от расстояния между частицами. Еще Максвеллом (более 100 лет назад) было дано представление о механических свойствах тел как о непрерывном ряде переходов между идеальными жидкостью и твердым телом. Механические свойства были смоделированы Максвеллом с помощью последовательного соединения элементов Гука и Ньютона (рис. VII.5). Эта модель получила название модели Максвелла.

В модели Максвелла элементы соединены последовательно, поэтому общая нагрузка передается полностью на элементы Гука и Ньютона:

$$P = P_G = P_N \quad (\text{VII.12})$$

Общая деформация и ее скорость складываются из тех же параметров отдельных элементов:

$$\gamma = \gamma_G + \gamma_N \quad \text{и} \quad d\gamma/d\tau = d\gamma_G/d\tau + d\gamma_N/d\tau \quad (\text{VII.13})$$

Подставляя выражения деформаций из соответствующих законов (VII.3) и (VII.7), получим:

$$\gamma = \frac{P}{E} + \frac{P}{\eta} \tau \quad \text{и} \quad \frac{d\gamma}{d\tau} = \frac{1}{E} \frac{dP}{d\tau} + \frac{P}{\eta} \quad (\text{VII.14})$$

Уравнения (VII.14) являются математическим выражением модели Максвелла. Зависимость деформации от времени представлена на рис. VII.5, б. Наиболее интересна эта модель для мгновенной и фиксированной деформации ($\gamma = \text{const}$ и $\dot{\gamma} = 0$). Такое состояние реализуется при мгновенном растяжении модели с сохранением в дальнейшем постоянной деформации γ . Во время удерживания постоянной деформации возникшее внутреннее напряжение постепенно снижается со временем (релаксирует) вследствие деформирования вязкого элемента. При таких условиях уравнение для скорости деформации принимает вид

$$\frac{1}{E} \frac{dP}{d\tau} + \frac{P}{\eta} = 0 \quad \text{и} \quad \frac{dP}{P} = -\frac{E}{\eta} d\tau \quad (\text{VII.15})$$

Интегрирование в пределах от P_0 при $\tau=0$ до P при τ приводит к соотношению

$$\ln \frac{P}{P_0} = -\frac{E}{\eta} \tau \quad \text{или} \quad P = P_0 e^{-\tau/\lambda} \quad (\text{VII.16})$$

где $\lambda = \eta/E$ — время релаксации напряжения.

Величина λ представляет собой время, в течение которого начальное напряжение P_0 в теле уменьшается в e раз. Чем больше λ , тем медленнее рассасываются (релаксируют) напряжения в системе. Полная релаксация напряжений может произойти при $\tau = \infty$. Явление релаксации, как и процесс диффузии, связано с тепловым движением молекул или частиц дисперсной фазы тела. Зависимость (VII.16) иллюстрирует рис. VII.5, в.

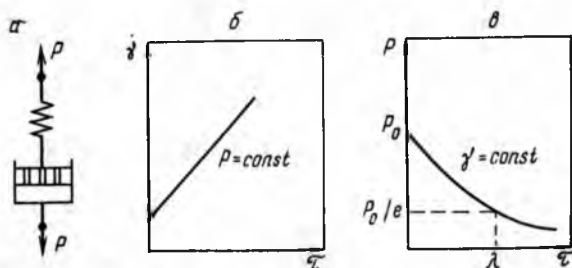


Рис. VII.5. Модель упруго вязкого тела Максвелла (а) и зависимость его деформации (б) и напряжения (при $\gamma = \text{const}$) (в) от времени

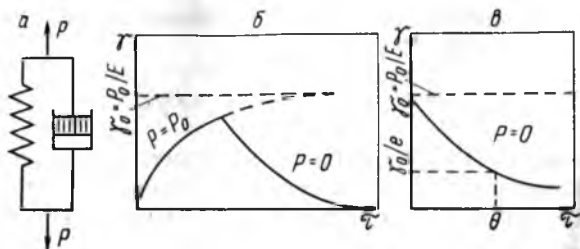


Рис. VII.6. Модель вязкоупругого тела Кельвина — Фойгта (а) и зависимость деформаций при $P=P_0$ (б) и при $P=0$ (в) от времени

Модель Максвелла представляет собой упруговязкую жидкость, которая может течь (релаксировать) под действием любых нагрузок. Для нее характерна необратимость деформаций. Уравнение (VII.16) показывает, что различие между жидкостями и твердыми телами не является резким и носит кинетический (релаксационный) характер. Если, например, время релаксации значительно больше времени действия напряжения, то тело называют твердым. Если же время релаксации мало по сравнению с временем действия напряжения, то тело ведет себя как жидкость — напряжения уменьшаются благодаря ее течению.

Из сказанного следует, что поведение тела определяется временем действия напряжения по отношению к времени релаксации. Покажем это на следующем примере. Если время воздействия нагрузки на типичную жидкость — воду — меньше ее периода релаксации напряжений, то течение произойти не успеет, и она ведет себя как упругое твердое тело. Струя воды ($\eta = 10^{-3}$ Па·с, $E = 10^{10}$ Па, $\lambda = 10^{-13}$ с) раскалывается пулей как хрупкое тело.

Моделью вязкоупругого твердого тела, способного восстанавливать свои свойства после снятия нагрузки (эластичность), является модель Кельвина — Фойгта. Она представляет собой соединенные параллельно элементы Гука и Ньютона (рис. VII.6, а). Для этой модели справедливы соотношения

$$P = E\gamma + \eta \dot{\gamma} \quad \text{или} \quad \frac{d\gamma}{d\tau} + \frac{E}{\eta} \gamma - \frac{P}{\eta} = 0 \quad (\text{VII.17})$$

что и является математическим выражением модели Кельвина — Фойгта.

Деформация γ в таком теле под действием постоянной нагрузки P_0 развивается во времени. Скорость ее снижается, так как на упругий элемент Гука приходится все большее усилие. Когда скорость деформации уменьшится до нуля, деформация достигнет максимального значения. При условии постоянного

напряжения математическая модель тела Кельвина — Фойгта примет вид

$$\frac{d\gamma}{d\tau} + \frac{E}{\eta} \gamma - \frac{P_0}{\eta} = 0 \quad (\text{VII.18})$$

Для решения этого дифференциального уравнения разделим переменные:

$$\frac{d\gamma}{d\tau} = \frac{P_0}{\eta} - \frac{E}{\eta} \gamma; \quad \frac{d\gamma}{(P_0/\eta) - (E/\eta)\gamma} = d\tau$$

и далее $\int_0^\gamma d \ln [(P_0/\eta) - (E/\eta)\gamma] = - (E/\eta) \int_0^\tau d\tau$ (VII.19)

Окончательное решение приводит к следующему уравнению:

$$\gamma = \frac{P_0}{E} \left[1 - \exp\left(-\frac{E}{\eta} \tau\right) \right] \quad \text{или} \quad \gamma = \frac{P_0}{E} [1 - \exp(-\tau/\theta)] \quad (\text{VII.20})$$

где $\theta = \eta/E$ — время релаксации деформации (постоянная нагрузка), характеризующее эластичность тела.

Если снять напряжение после достижения определенной деформации, то система возвращается в исходное состояние также в течение определенного времени. Применительно к такому воздействию уравнение (VII.18) должно быть записано без свободного члена ($P_0 = 0$) и имеет решение, аналогичное (VII.16):

$$\gamma = \dot{\gamma}_0 \exp[-(E/\eta)\tau] = \dot{\gamma}_0 \exp(-\tau/\theta) \quad (\text{VII.21})$$

На рис. VII.6, б, в представлена зависимость деформации γ модели Кельвина — Фойгта от времени при постоянной нагрузке $P = P_0$ и изменение деформации после снятия нагрузки ($P_0 = 0$). При снятии нагрузки тело возвращается в первоначальное состояние. В отличие от упругости (E_1 — модуль быстрой деформации), характеризующей мгновенными деформациями (равновесное состояние достигается со скоростью, близкой к скорости звука в данном теле), эластичность, или упругое последствие, проявляется во времени. Чем больше время релаксации деформации, тем больше эластичность тела. В качестве характеристики эластичности часто используют модуль медленной эластической деформации $E_2 = P/\dot{\gamma}$. Как правило, гуконские деформации твердых тел не превышают 0,1%, эластические деформации могут достигать нескольких сот процентов. Такими свойствами обладают, например, полимеры. Эластические деформации имеют энтропийный характер. Растяжение полимеров приводит к статистически менее вероятному распределению конформаций макромолекул, т. е. к уменьшению энтропии. После снятия нагрузки образец полимера самопроизвольно

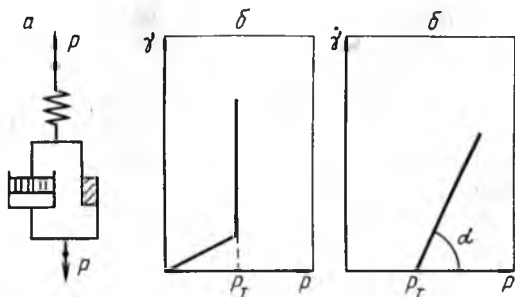


Рис. VII.7. Модель вязкопластического тела Бингама (а) и зависимость деформации (б) и скорости деформации (в) этого тела от напряжения

сокращается, возвращаясь к наиболее вероятному распределению конформаций, т. е. энтропия возрастает.

Примером тела, проявляющего вязкие или упругие свойства в зависимости от напряжения, является **вязкопластическая модель Бингама**. Модель Бингама представляет собой комбинацию из всех трех идеальных элементов: к соединенным параллельно элементам Ньютона и Сен-Венана — Кулона последовательно присоединен элемент Гука (рис. VII.7). В этой модели при малых напряжениях развиваются только упругие деформации, а при достижении $P > P_T$ имеет место пластическая деформация, растущая до бесконечности (течение вязкопластического тела) (см. рис. VII.7, б). Если проанализировать изменение скорости деформации в зависимости от напряжения, то окажется, что модель Бингама можно представить и без упругого элемента, деформация которого не зависит от времени. Иногда эту модель представляют только в виде параллельно соединенных вязкого элемента (модели Ньютона) и элемента сухого трения. Сложение деформаций и учет независимости упругой деформации от времени приводит к математической модели вязкопластического тела — уравнению Бингама:

$$P = P_T + \eta^* \dot{\gamma} \quad (\text{VII.22})$$

где η^* — пластическая вязкость.

Скорость деформации равна нулю при $P < P_T$, и только при $P > P_T$ она возрастает с увеличением напряжения (рис. VII.7, в). При $P_T = 0$ соотношение (VII.22) переходит в закон Ньютона. Напряжение P разбивается как бы на две составляющие: напряжение P_T , необходимое для разрушения структуры, и напряжение $P - P_T$, осуществляющее собственно течение.

По физическому смыслу пластическая вязкость отличается от ньютоновской вязкости η . Графически она определяется котангенсом угла α наклона прямой, которая выходит из точ-

ки $P = P_T$. Соотношение между ньютоновской и пластической вязкостью

$$\eta = (P_T + \eta^* \dot{\gamma}) / \dot{\gamma} = \eta^* + P_T / \dot{\gamma} \quad (\text{VII.23})$$

показывает, что ньютоновская вязкость учитывает все виды сопротивления течению тела, а пластическая вязкость, являясь частью ньютоновской, не учитывает прочности структуры, характеризваемой величиной P_T , но отражает скорость ее разрушения.

В данном разделе рассмотрены наиболее важные составные модели, позволяющие определить некоторые распространенные характеристики свойств тел. Таким же способом можно моделировать реологические свойства практически всех реальных тел, составляя довольно сложные комбинации из трех идеальных элементов.

3. Классификация дисперсных систем по структурно-механическим свойствам

Широкий спектр структурно-механических свойств отражает многообразие природных и синтетических тел, большинство из которых является дисперсными системами со всевозможной комбинацией фаз, различающихся природой и агрегатным состоянием, размером частиц и взаимодействиями между ними. Поэтому структурно-механические свойства дисперсных систем представляются непрерывным и бесконечным рядом не только промежуточных, аддитивно складываемых свойств, но и качественно новых, не присущих отдельным компонентам. Умение управлять процессами, протекающими в дисперсных системах, открывает неограниченные возможности для получения материалов с заданными свойствами.

Благодаря, главным образом, работам П. А. Ребиндера, и его учеников учение о структурообразовании превратилось в теоретические основы синтеза материалов — самостоятельный раздел коллоидной химии, названный физико-химической механикой.

Анализ многообразных свойств структур в дисперсных системах позволил П. А. Ребиндеру разделить их на два основных класса, различающихся по видам взаимодействия частиц дисперсной фазы. Исходя из того, что коагуляция соответствует первичному и вторичному минимуму потенциальной кривой взаимодействия частиц, он предложил различать *конденсационно-кристаллизационные* и *коагуляционные структуры*. Конденсационно-кристаллизационное структурообразование, отвечающее коагуляции в первичном потенциальном минимуме, осуществляется путем непосредственного химического взаимо-

действия между частицами и их срастания с образованием жесткой объемной структуры. Если частицы аморфные, то структуры, образующиеся в дисперсных системах, принято называть конденсационными, если частицы кристаллические, то структуры являются кристаллизационными. При непосредственном срастании частиц механические свойства структур соответствуют свойствам самих частиц. Конденсационно-кристаллизационные структуры типичны для связнодисперсных систем, т. е. систем с твердой дисперсионной средой. Такие структуры придают телам прочность, хрупкость и не восстанавливаются после разрушения.

Под коагуляционными структурами понимают структуры, которые образуются при коагуляции, соответствующей вторичному минимуму потенциальной кривой взаимодействия частиц дисперсной фазы (хотя конденсационно-кристаллизационные структуры также формируются в результате коагуляции). При образовании коагуляционных структур взаимодействие частиц, осуществляемое через прослойки дисперсионной среды, является, как правило, ван-дер-ваальсовым, и поэтому пространственный каркас такой структуры не может отличаться высокой прочностью. Механические свойства коагуляционных структур определяются не столько свойствами частиц, образующих структуру, сколько характером и особенностями межчастичных связей и прослоек среды. Коагуляционные структуры имеют обычно жидкую дисперсионную среду. Для них характерна способность восстанавливать структуру во времени после ее механического разрушения. Это явление получило название *тиксотропии*. Соответственно подобные структуры часто еще называют коагуляционно-тиксотропными.

Самопроизвольное восстановление коагуляционной структуры свидетельствует о том, что она обладает наибольшей механической прочностью при относительном минимуме энергии Гиббса. Такое соответствие отсутствует у конденсационно-кристаллизационных структур, которые образуются обычно в условиях высоких пересыщений и поэтому термодинамически неустойчивы. Их высокая прочность обеспечивается одновременным уменьшением пересыщения и снижением внутренних напряжений.

В практической деятельности люди используют реальные тела с разнообразной структурой. Как правило, материалы и изделия из них являются твердыми телами, имеющими конденсационно-кристаллизационные структуры (металлы, сплавы, керамика, бетон и др.), а сырье и промежуточные продукты чаще всего представляют собой жидкообразные или твердообразные системы с коагуляционной структурой. Последние очень удобны в технологии материалов, поскольку обеспечивают возможность регулирования состава и однородности, а в техно-

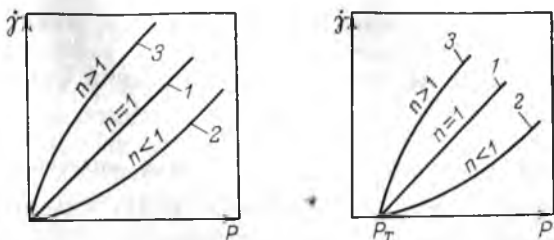


Рис. VII.8. Типичные кривые течения жидкообразных тел:

1 — ньютоновские жидкости; 2 — псевдопластические жидкости; 3 — дилатантные жидкости

Рис. VII.9. Типичные кривые течения твердообразных тел:

1 — бингамовское тело; 2 — псевдопластическое твердообразное тело; 3 — пластическое дилатантное тело

логии изделий — регулирование процессов формования и др. В процессе изготовления материалов и изделий из них, как правило, осуществляется переход от коагуляционных структур к конденсационно-кристаллизационным.

Разнообразие структур в реальных дисперсных системах не позволяет четко разделить их на два указанных вида. Безусловно, существует множество промежуточных состояний систем. И все же предложенная П. А. Ребиндером классификация структур дисперсных систем помогает связать механические свойства тел с их строением.

Имеются классификации тел, основанные на их реологических свойствах. В соответствии с этими свойствами все реальные тела принято делить на *жидкообразные* (предел текучести равен нулю, $P_T = 0$) и *твердообразные* ($P_T > 0$).

Жидкообразные тела классифицируют на *ньютоновские* и *неньютоновские жидкости*. Ньютоновскими жидкостями называют системы, вязкость которых не зависит от напряжения сдвига и является постоянной величиной в соответствии с законом Ньютона. Течение неньютоновских жидкостей не следует закону Ньютона, их вязкость зависит от напряжения сдвига. В свою очередь, они подразделяются на *стационарные*, реологические свойства которых не изменяются со временем, и *нестационарные*, для которых эти характеристики зависят от времени. Среди неньютоновских стационарных жидкостей различают *псевдопластические* и *дилатантные*. Типичные зависимости скорости деформации жидкообразных тел от напряжения (*кривые течения*, или *реологические кривые*) представлены на рис. VII.8.

Экспериментальные исследования показали, что графические зависимости между напряжением сдвига и скоростью деформации, представленные в логарифмических координатах, для стационарных жидкообразных систем часто оказываются линей-

ными и различаются только тангенсом угла наклона прямой. Поэтому общую зависимость напряжения сдвига от скорости деформации можно выразить в виде степенной функции:

$$P = k\dot{\gamma}^n \quad (\text{VII.24})$$

где k и n — постоянные, характеризующие данную жидкообразную систему.

Двухпараметрическое уравнение (VII.24) известно под названием математической модели Оствальда — Вейля. Ньютоновская вязкость η неньютоновской стационарной жидкости определяется уравнением

$$\eta = P/\dot{\gamma} = k\dot{\gamma}^{n-1} \quad (\text{VII.25})$$

Если $n=1$, жидкость является ньютоновской и константа k совпадает со значением ньютоновской вязкости (кривая 1 на рис. VII.8). Таким образом, отклонение n от единицы характеризует степень отклонения свойств жидкости от ньютоновских. Для псевдопластических жидкостей ($n < 1$) характерно снижение ньютоновской вязкости с ростом скорости деформации сдвига (кривая 2 на рис. VII.8). Для дилатантных жидкостей $n > 1$ и ньютоновская вязкость растет с увеличением скорости деформации сдвига (кривая 3 на рис. VII.8).

Разбавленные дисперсные системы с равноосными частицами обычно представляют собой ньютоновские жидкости. К псевдопластическим жидкостям относятся суспензии, содержащие асимметричные частицы, и растворы полимеров, например производные целлюлозы. По мере роста напряжения сдвига частицы суспензии постепенно ориентируются своими большими осями вдоль направления потока. Хаотическое движение частиц меняется на упорядоченное, что ведет к уменьшению вязкости. Дилатантные жидкости в химической технологии встречаются редко, их свойства характерны, например, для некоторых керамических масс. Дилатантное поведение наблюдается у дисперсных систем с большим содержанием твердой фазы. При течении таких дисперсных систем под действием малых нагрузок дисперсионная среда играет роль смазки, уменьшая силу трения и соответственно вязкость. С возрастанием нагрузки плотная упаковка частиц нарушается (разрыхляется), объем системы несколько увеличивается (увеличивается межчастичный объем), что приводит к оттоку жидкости в расширенные участки и недостатку ее для смазки трущихся друг о друга частиц, т. е. вязкость возрастает.

Твердообразные дисперсные системы подразделяют на *бингамовские* и *небингамовские*. Их поведение описывается общим уравнением:

$$P - P_T = k\dot{\gamma}^n \quad (\text{VII.26})$$

При $n=1$ уравнению следует бингамовское тело, $n>1$ — пластическое дилатантное тело и $n<1$ — псевдопластическое твердообразное тело (рис. VII.9).

Необходимо отметить, что твердообразные и жидкообразные тела отличаются не только наличием или отсутствием предела текучести, но и определенным поведением при развитии деформации. Для структурированных жидкостей с ростом нагрузки характерен переход к ньютоновскому течению, отвечающему предельно разрушенной структуре; для твердообразных тел увеличение нагрузки приводит к разрыву сплошности тела и его разрушению. Имеется множество систем, обладающих промежуточными структурно-механическими свойствами.

По реологическим свойствам к бингамовским твердообразным системам очень близки пульпы, шламы, буровые растворы, масляные краски, зубные пасты и т. д. Они отличаются небольшим пределом текучести, а при развитии деформации ведут себя как структурированные жидкости. Такие системы часто относят к неньютоновским жидкостям.

Для типичных твердообразных тел характерен значительный предел текучести. Хрупкое тело разрушается при нагрузке, меньшей предела текучести (предела упругости). В большинстве реальных твердых тел пластические деформации развиваются при всех нагрузках, но часто в области малых нагрузок ими можно пренебречь. В соответствии с этим предел текучести в той или иной степени является условным. Если хрупкое тело подвергнуть всестороннему сжатию при высоких давлениях и предотвратить возможность его разрушения, то при достаточно высоких напряжениях оно может проявлять пластичность, т. е. необратимо деформироваться без потери сплошности.

Таким образом, деление твердых тел на упругие, пластичные и хрупкие также до известной степени условно, так как характер деформации зависит от условий, типа напряжений, продолжительности их действия и других факторов. К хрупким твердообразным телам можно отнести неорганические материалы типа бетонов, керамики на основе различных оксидов и др. Металлы и сплавы обладают пластическими свойствами. Высокоэластическое и вязкотекучее состояния более характерны для органических пластиков.

Для нестационарных систем, реологические свойства которых изменяются со временем, характерны явления тиксотропии и реопексии. Тиксотропия — специфическое свойство коагуляционных структур. Разрушение структуры выражается в разрыве контактов между частицами дисперсной фазы, а ее тиксотропное восстановление — в возобновлении этих контактов вследствие подвижности среды и броуновского движения частиц. Восстановление структуры обычно контролируется по уве-

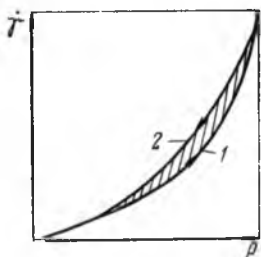


Рис. VII.10. Обнаружение тиксотропии по кривым течения:

1 — равновесная кривая; 2 — неравновесная кривая

личению вязкости системы, поэтому явление тиксотропии можно определить как уменьшение вязкости системы во времени при наложении нагрузки и постепенный рост вязкости после снятия нагрузки. Явление тиксотропии соответствует поведению псевдопластических тел, у них вязкость уменьшается с ростом напряжения сдвига. Чем медленнее восстанавливается структура (вязкость) после снятия нагрузки или чем медленнее она разрушается (уменьшается вязкость) при данном напряжении сдвига, тем сильнее выражено явление тиксотропии.

На рис. VII.10 представлены кривые течения системы, обладающей тиксотропией. Кривая 1 отражает равновесную зависимость, ее получают при увеличении напряжения сдвига. Зависимость, соответствующую кривой 2, получают при снижении нагрузки, когда еще не успело установиться равновесие между прочностью структуры и напряжением сдвига. Расстояние между двумя кривыми по оси напряжений, или площадь петли, характеризуют степень тиксотропности. Если обратимое восстановление структуры происходит очень быстро, то тело можно отнести к стационарным псевдопластическим; иногда говорят, что оно обладает мгновенной тиксотропией.

Более строгий метод количественной оценки тиксотропных свойств основан на эмпирическом уравнении:

$$\eta = A \dot{\gamma}^B \tau^C \quad (\text{VII.27})$$

где A , B и C — константы, B — показатель псевдопластичности; C — показатель тиксотропных свойств.

Увеличение константы B означает, что жидкообразное тело становится более восприимчивым к деформации, а увеличение C показывает, что его свойства становятся в большей степени зависимыми от времени. Для определения констант проводят соответствующие экспериментальные испытания.

Ярко выраженной тиксотропией обладают суспензии бентонитовой глины с концентрацией дисперсной фазы более 10%. В спокойном состоянии эта система представляет собой пластическое твердообразное тело, которое не течет под действием силы тяжести. После встряхивания суспензия настолько разжижается, что может легко вытекать из сосуда. Через определенное время выдерживания суспензии в спокойном состоянии она снова превращается в нетекучую структурированную систему. Явление тиксотропии проявляется в природе при образо-

вании пльвунов, оползней. Его необходимо учитывать при перекатке суспензий, которые могут затвердевать при возможной остановке насосов.

Вместе с тем тиксотропия способствует более эффективному проведению ряда технологических операций. Например, тиксотропия позволяет проводить вибрационную обработку материалов, при которой происходит разрушение структуры, что облегчает процессы перемешивания, обеспечивает плотную упаковку, снятие внутренних напряжений и т. д.

К явлению, противоположному тиксотропии, относится реопексия. *Реопексия* — возрастание прочности структуры (вязкости) со временем при действии напряжения сдвига. Например, после тиксотропного разжижения гидрозоля восстановление структуры может происходить значительно быстрее, если медленно перемешивать систему. Это явление обычно наблюдается в гидрозолях с частицами палочкообразной формы, поэтому существует мнение, что небольшое увеличение течения способствует параллельной ориентации частиц и соответственно ускорению образования структуры.

Б. РЕОЛОГИЧЕСКИЕ СВОЙСТВА ДИСПЕРСНЫХ СИСТЕМ

1. Вязкость жидких агрегативно устойчивых дисперсных систем

Основы теории вязкости разбавленных лиозолей (суспензий) были заложены Эйнштейном. Он исходил из гидродинамических уравнений для систем макроскопических твердых сферических частиц, которые при сдвиге приобретают дополнительное вращательное движение. Возникающее при этом рассеяние энергии является причиной возрастания вязкости. Эйнштейном была установлена связь между вязкостью дисперсной системы η и объемной долей дисперсной фазы φ :

$$\eta = \eta_0(1 + 2,5\varphi) \quad (\text{VII.28})$$

где η_0 — вязкость дисперсионной среды.

При выводе этого уравнения предполагалось, что система несжимаема, отсутствуют скольжение между частицами и жидкостью, турбулентность и взаимодействие между частицами. Неоднократные экспериментальные проверки уравнения Эйнштейна в основном подтвердили его справедливость. Было установлено, что коэффициент при φ зависит от формы частиц, поэтому уравнению Эйнштейна можно придать более общий вид:

$$\eta = \eta_0(1 + \alpha\varphi) \quad (\text{VII.29})$$

где α — коэффициент, зависящий от формы частицы дисперсной фазы.

Для относительной и удельной вязкости дисперсной системы уравнение (VII.29) переходит в следующие соотношения:

$$\eta_{отн} = \eta/\eta_0 = 1 + \alpha\varphi \quad (\text{VII.30})$$

$$\eta_{уд} = (\eta - \eta_0)/\eta_0 = \eta_{отн} - 1 = \alpha\varphi \quad (\text{VII.31})$$

Из теории Эйнштейна следует, что разбавленные и устойчивые дисперсные системы являются ньютоновскими жидкостями, их вязкость линейно связана с объемной долей дисперсной фазы и не зависит от дисперсности.

Коэффициент α для частиц, форма которых отличается от сферической, как правило, больше 2,5. Это объясняют тем, что объем вращения частицы несферической формы превышает объем самой частицы. Кроме того, для такой частицы больше сопротивление ее движению, что должно увеличивать вязкость системы в большей степени, чем это следует из уравнения (VII.28). При значительных отклонениях формы частиц от сферической система может превратиться в неньютоновскую жидкость, вязкость которой зависит от напряжения сдвига (или от скорости течения). Например, частицы в виде вытянутых палочек ориентируются в потоке, поэтому вязкость системы уменьшается с увеличением скорости течения.

Формула Эйнштейна не учитывает наличия у частиц поверхностных слоев, таких как адсорбционные, сольватные и двойные электрические. Увеличение вязкости, обусловленное наличием таких слоев, называют соответственно адсорбционным, сольватным и электровязкостным эффектом. Так как поверхностные слои не изменяют формы частиц, то их влияние можно учесть, увеличив объемную долю дисперсной фазы на объем слоев. Такой подход иногда используют для определения толщины поверхностных слоев. Если объемную долю слоев обозначить через φ_0 , а $\varphi_0/\varphi = K$, то

$$\eta_{уд} = 2,5(1 + K)\varphi \quad (\text{VII.32})$$

Так как объем поверхностных слоев линейно связан с удельной поверхностью дисперсной системы, то вязкость в системе должна расти с увеличением удельной поверхности дисперсной фазы, т. е. с дисперсностью (при постоянной объемной доле дисперсной фазы). «Объемная доля» двойных электрических слоев зависит от электрокинетического потенциала. Электровязкостный эффект можно уменьшить введением в систему электролитов, поскольку они уменьшают толщину двойного электрического слоя.

Теория Эйнштейна была использована Штаудингером для описания вязкости разбавленных растворов полимеров. По Штаудингеру, для растворов, содержащих палочкообразные макромолекулы, должно соблюдаться соотношение:

$$\eta_{уд} = KMc \quad (\text{VII.33})$$

где K — константа, характерная для данного полимергомологического ряда в данном растворителе; M — молекулярная масса полимера; c — массовая концентрация полимера.

По представлениям Штаудингера, чем длиннее молекулярная цепь полимера, тем больший объем вращения она имеет (больше объемная концентрация) и тем больше вязкость раствора (при одной и той же концентрации c). Из уравнения (VII.33) следует, что удельная вязкость, отнесенная к единице концентрации (*приведенная вязкость*), не зависит от концентрации раствора полимера c и пропорциональна его молекулярной массе:

$$\eta_{уд}/c = KM \quad (\text{VII.34})$$

Уравнение (VII.34) используют для определения молекулярной массы полимеров. Константу K определяют независимым методом, например по значению молекулярной массы низкомолекулярных членов полимергомологического ряда, найденной криоскопическим методом. Молекулярную массу определяют по графической зависимости $\eta_{уд}$ от c в соответствии с уравнением (VII.34).

Уравнение Штаудингера справедливо только для растворов полимеров с короткими и жесткими цепями, которые могут сохранять палочкообразную форму. Гибкие длинные молекулярные цепи полимеров обычно свертываются в клубок, что уменьшает сопротивление их движению. Для такого состояния макромолекул константа K изменяется и зависимость вязкости от молекулярной массы оказывается нелинейной. В связи с этим более правильно связывать с молекулярной массой полимера характеристическую вязкость $[\eta]$, так как именно этой величиной оценивается прирост вязкости раствора, вызванный наличием макрочастиц и их вращением:

$$[\eta] = \lim_{c \rightarrow 0} (\eta_{уд}/c) \quad (\text{VII.35})$$

Наиболее широкое распространение для определения молекулярной массы полимеров получило соотношение Марка — Куна — Хаувинка:

$$[\eta] = KM^a \quad (\text{VII.36})$$

где K и a — постоянные для данного гомологического ряда и растворителя.

Постоянная a , отражающая форму и плотность клубка макромолекулы, зависит от природы растворителя и гидродинамического взаимодействия в объеме клубка. Значения ее лежат в пределах от 0,5 до 1,0. В хорошем растворителе макромолекула разворачивается и занимает большой объем, увеличивая вязкость, а в плохом растворителе она свертывается в плотный клубок, и вязкость при той же концентрации оказывается

значительно меньше. Например, для гибких макромолекул каучука в толуоле $a \approx 0,64$, для более жестких молекул целлюлозы и ее производных $a \approx 0,81$, а для молекул нитроцеллюлозы в ацетоне $a \approx 1,0$. Как уже отмечалось, для растворов полимеров часто наблюдается снижение вязкости с увеличением напряжения, что объясняется разворачиванием клубков макромолекул и их взаимной ориентацией в потоке. Чем больше напряжение, тем в большей степени происходит разворачивание макромолекул и их ориентирование и тем меньше вязкость раствора.

Некоторую особенность проявляют растворы полиэлектролитов. Если для растворов незаряженных полимеров приведенная вязкость линейно экстраполируется в характеристическую вязкость при $c=0$, то для водных растворов полиэлектролитов наблюдается постоянный рост приведенной вязкости с уменьшением концентрации. Такая особенность обусловлена увеличением степени диссоциации полиэлектролитов при разбавлении, вызывающей рост заряда макромолекулы и соответственно ее объема (за счет отталкивания заряженных функциональных групп). Для растворов полиэлектролитов вязкость зависит от pH среды. Минимальная вязкость достигается в изоэлектрической точке. Уменьшению отмеченных эффектов способствует введение низкомолекулярных электролитов.

Уравнение Эйнштейна (VII.29) получено в предположении отсутствия взаимодействия между частицами дисперсной фазы, поэтому оно справедливо только для разбавленных растворов. С увеличением концентрации дисперсной фазы взаимодействие частиц возрастает, и его необходимо учитывать. Подобные взаимодействия, вызванные «вынужденным» сближением частиц, характерны для лиофильных или стабилизированных систем при предельных концентрациях дисперсной фазы, когда еще не происходит коагуляция.

В стесненных условиях (при высоких концентрациях) особенно заметна роль стабилизирующих слоев на поверхности частиц дисперсной фазы. Поверхностные слои соседних частиц перекрываются, что приводит к значительному росту сил отталкивания. Наступает момент, когда возникает равновесие между силами отталкивания и притяжения. Дальнейшее увеличение концентрации способствует росту этих сил при сохранении их равенства. Расположение частиц на «дальних» расстояниях фиксируется, что отвечает образованию так называемой периодической коллоидной структуры (ПКС), для которой характерна высокая упорядоченность частиц. При концентрациях, соответствующих образованию периодической структуры, резко возрастает вязкость системы. Если система стабильна за счет наличия электрических слоев, то ее «разжижение» достигается введением небольших количеств электролитов.

Для описания зависимости вязкости от концентрации в умеренно концентрированных агрегативно устойчивых дисперсных системах наиболее широкое распространение получили уравнения, выведенные с использованием теории Эйнштейна в приближении непрерывности фазы. Приращение вязкости $d\eta$ дисперсной системы обусловлено приращением концентрации $d\varphi$ дисперсной фазы:

$$d\eta = \eta \alpha d\varphi$$

После разделения переменных и интегрирования в пределах от нулевой до конечной концентрации получим:

$$\ln(\eta/\eta_0) = \alpha\varphi \quad \text{или} \quad \eta = \eta_0 \exp(\alpha\varphi) \quad (\text{VII.37})$$

Наиболее распространенной формой этого уравнения является соотношение, полученное после разложения в ряд экспоненты:

$$\eta = \eta_0(1 + \alpha\varphi + 1/2\alpha^2\varphi^2 + \dots)$$

или

$$\eta_{уд} = \alpha\varphi + 1/2\alpha^2\varphi^2 + \dots \quad (\text{VII.38})$$

Для систем со сферическими частицами и клубками молекул полимеров с учетом увеличения эффективного объема за счет поверхностных слоев и набухания объемную концентрацию можно выразить следующим образом:

$$\varphi = \frac{v + v_s}{m} c = \frac{4/3\pi(r + \Delta)^3}{4/3\pi r^3 \rho} c = \frac{(r + \Delta)^3}{r^3 \rho} c \quad (\text{VII.39})$$

где v — собственный объем частицы, v_s — приращение объема в результате образования поверхностного слоя или набухания; r — собственный радиус частицы; Δ — приращение радиуса частицы; c — массовая концентрация дисперсной фазы; m — собственная масса частицы.

Подставляя значение φ (VII.39) в соотношение (VII.38), имеем:

$$\frac{\eta_{уд}}{c} = \frac{\alpha(v + v_s)}{m} + \frac{\alpha^2(v + v_s)^2}{2m^2} c + \dots \quad (\text{VII.40})$$

Сравнивая это соотношение с определением характеристической вязкости, получим

$$[\eta] = \alpha(v + v_s)/m \quad (\text{VII.41})$$

и

$$\eta_{уд}/c = [\eta] + K'[\eta]^2 c + \dots \quad (\text{VII.42})$$

Формула (VII.42), называемая формулой Хаггинса, первоначально была предложена для реологического описания поведения растворов полимеров, а затем распространена и на золи. Вискозиметрическая константа Хаггинса K' характеризу-

ет взаимодействие частиц с дисперсионной средой, ее теоретическое значение в соответствии с уравнением (VII.40) равно 0,5. Чем хуже растворитель, тем больше значение K' . Формула Хаггинса удобна для экстраполяции приведенной вязкости к бесконечно малой концентрации. Физический смысл получаемой при этом характеристической вязкости вскрывает соотношение (VII.41). В соответствии с этим соотношением характеристическая вязкость определяется эффективным объемом частицы, приходящимся на единицу ее собственной массы, а также ее формой. Как уже указывалось ранее, для сферических частиц большинство исследователей принимает $\alpha = 2,5$.

Из теории Эйнштейна в приближении непрерывности фазы (суспензии) получено также уравнение, описывающее вязкость суспензий со сферическими частицами до концентраций 0,2—0,3 объемных долей:

$$\eta = \eta_0 / (1 - 2,5\varphi) \quad \bullet \quad (\text{VII.43})$$

Вязкость растворов полимеров до концентрации 10—20% (масс.) удовлетворительно описывается уравнением Мартина:

$$\eta_{уд}/c = [\eta] \exp(K_M[\eta]c) \quad (\text{VII.44})$$

где K_M — постоянная Мартина.

В растворах полимеров межмолекулярное взаимодействие приводит к резкому повышению вязкости. В связи с этим было предложено называть концентрированными растворами полимеров такие, относительная вязкость которых составляет не более 100. В таких растворах содержание полимеров может быть менее 1%.

2. Реологические свойства структурированных жидкообразных систем

Несмотря на большое количество работ и разнообразие подходов в области реологии структурированных дисперсных систем, пока еще нет удовлетворительной количественной теории, связывающей реологические свойства тел с параметрами их структуры. Чтобы представить, хотя бы упрощенно, процесс образования структуры в дисперсных системах, обратимся к особенностям седиментационных объемов, которые различны для агрегативно устойчивых и неустойчивых систем.

В агрегативно устойчивых дисперсных системах после оседания частиц образуется плотный осадок малого седиментационного объема. В агрегативно неустойчивой системе выделяется рыхлый осадок, занимающий большой объем. После декантации получают высококонцентрированные системы с концентрацией дисперсной фазы, отвечающей образованию струк-

туры — пространственного каркаса из частиц дисперсной фазы. Минимальную концентрацию, при которой возникает такая структура, называют *критической концентрацией структурообразования*. Исходя из седиментационного объема и концентрации дисперсной фазы в осадке, различают плотную и свободную упаковку частиц. При плотной упаковке концентрация дисперсной фазы максимальна, свободной упаковке соответствует минимальная концентрация дисперсной фазы, при которой может образоваться структурная сетка. При той и другой упаковке для структуры характерен предел текучести, наличие которого возможно только при контакте частиц друг с другом. Необходимо отметить, что при этом частицы, находящиеся на поверхности, имеют также контакт с воздухом (наличие третьей фазы), в результате чего возникают капиллярные силы, способствующие притяжению частиц (при условии их смачивания).

Возможность образования структуры в микрогетерогенных системах (отсутствие броуновского движения) определяется в основном соотношением между относительной силой тяжести частицы (относительно среды) и силой сцепления ее с соседними частицами:

$$\sum_{i=1}^n P_k > m_{от}g$$

где $m_{от}$ — относительная масса частицы; P_k — сила сцепления в контакте; n — число контактов частицы с соседями; g — ускорение свободного падения.

Из этого критериального соотношения следует, что уменьшение размера или массы частиц и увеличение сил сцепления, которые могут возрастать с ростом дисперсности частиц за счет увеличения площади контактов, приводят к образованию рыхлой пространственной структуры (преобладают силы сцепления), а при увеличении размера частиц и уменьшении сил сцепления в системе будет формироваться плотная структура — осадок малого седиментационного объема (преобладает сила тяжести частиц).

На рис. VII.11 представлены реологические кривые суспензий кварца в смеси тетрахлорэтана и тетрабромэтана, имеющих одинаковую концентрацию дисперсной фазы 12,5% (об.) и разные количества воды, которую вводят для обеспечения коагуляции в системе. Коагулирующее действие воды обусловлено образованием водных слоев вокруг частиц кварца (так как кварц гидрофилен) и коалесценцией этих слоев вместе с частицами. Как видно из рис. VII.11, устойчивая система (при отсутствии воды в системе) проявляет практически ньютоновское течение. С ростом содержания воды и соответственно неустойчивости системы она приобретает пластические свойства.

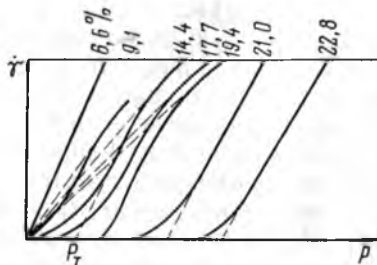
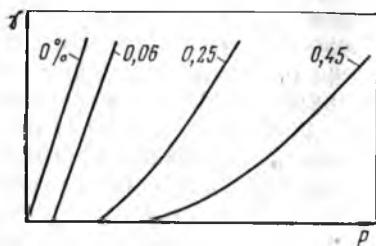


Рис. VII.11. Кривые течения суспензий кварца в смеси тетрахлорэтана и тетрабромэтана с различным содержанием воды

Содержание воды указано на кривых в массовых процентах от массы кварца; концентрация кварца в суспензии составляет 12,5% (об.)

Рис. VII.12. Кривые течения дисперсной системы охра — вода с различным содержанием охры

Содержание охры указано на кривых в объемных процентах от объема системы. Пунктиром показаны экстраполяция ньютоновских и бингамовских участков кривых

ва с увеличивающимся пределом текучести — прочность структуры возрастает.

Объем структуры со свободной упаковкой частиц, как и седиментационный объем, возрастает (снижается критическая концентрация структурообразования) с увеличением дисперсности, анизотрии частиц дисперсной фазы и первичных агрегатов. Соприкасаясь своими концами, частицы и их агрегаты образуют ажурную пространственную сетку. Чем выше дисперсность и сильнее анизотрия частиц и агрегатов, тем при меньшей концентрации появляется предел текучести. Например, в суспензии кизельгура (легкая пористая горная порода), частицы которого имеют вид пленкоподобных неправильных пластинок, предел текучести наблюдается уже при концентрации $\approx 3,0\%$ (об.) Структурой с малой плотностью упаковки (свободная упаковка) обладают суспензии гидроксидов железа и алюминия с пластинчатыми мицеллами и пятиоксида ванадия с игольчатыми мицеллами. Нитевидные молекулы органических полимеров, особенно с полярными группами, придающими жесткость макромолекулам, образуют твердообразные структуры в водной среде при очень малых концентрациях полимера (агар $\approx 0,1\%$, желатина $\approx 0,5\%$).

Из приведенных примеров видно, что структуры со свободной и плотной упаковкой частиц могут существенно различаться концентрацией дисперсной фазы. Концентрационной области между свободной и плотной упаковкой соответствует область пластического течения системы. Поскольку эффективный объем частиц суспензии возрастает за счет поверхностных слоев и пленок, то область пластического течения у них оказывается еще шире. Агрегативно устойчивые системы в отличие от не-

устойчивых систем практически не образуют структуру, отвечающую свободной упаковке, поэтому у них мал концентрационный интервал проявления пластических свойств. Пластические свойства этих систем почти всегда проявляются при концентрациях, близких к плотной упаковке с учетом поверхностных слоев.

Характер течения суспензий при разных концентрациях дисперсной фазы иллюстрирует рис. VII.12. Кривые течения представлены для водной суспензии краски — охры (природный глинистый пигмент желтого цвета, обусловленного содержанием оксидов и гидроксидов железа). Обращают на себя внимание кривые для суспензий с содержанием охры 9,1 и 17,7% (об.), разграничивающие качественно различные состояния системы. При концентрациях меньше 9,1% водные суспензии охры проявляют ньютоновское течение, которое может реализоваться только при практическом отсутствии структуры. При концентрации от 9,1 до 17,7% характер течения системы соответствует течению структурированных жидкообразных тел. Такое течение обычно отвечает концентрациям дисперсной фазы, меньшим критической, при которой характерна свободная упаковка частиц [для данной системы эта концентрация равна 17,7% (об.)]. В указанных пределах (от 9,1 до 17,7%) структура дискретна: система содержит отдельные структурные элементы (агрегаты), не связанные между собой.

Чтобы объяснить реологическое поведение таких систем, используем кинетические представления о структуре, которую можно рассматривать как структурную сетку из подвижных частиц, подверженных броуновскому движению. Для выхода частицы из структурного каркаса ей необходимо преодолеть энергетический барьер. С увеличением напряжения сдвига вероятность разрушения структуры возрастает. Другим важным реологическим параметром структуры является время релаксации, которое характеризует скорость восстановления структуры. При малых временах релаксации структуры успевают восстанавливаться в процессе течения даже при больших напряжениях сдвига.

На примере структурированной жидкообразной водной суспензии охры можно показать, что в этой системе структурные элементы разрушаются и снова восстанавливаются под действием броуновского движения. Линейный участок кривой течения (суспензия концентрации 14,4%) при малых напряжениях отвечает такому состоянию суспензий, когда структурные элементы при течении разрушаются, но время их восстановления меньше времени их разрушения. В этом случае течение фактически происходит при неразрушенной структуре жидкообразного тела. Течение, при котором структура успевает обратно восстановиться, принято называть ползучестью.

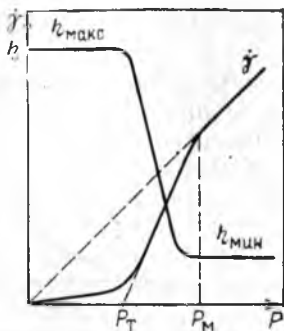
При увеличении напряжения структура разрушается (вязкость уменьшается) и восстановиться не успевает. Уменьшение вязкости отражается подъемом кривой течения и увеличением угла наклона, отвечающего пластической вязкости в уравнении Бингама. Экстраполяция этой части кривой к оси напряжений позволяет получить значение предельного напряжения сдвига P_T (предела текучести в уравнении Бингама), характеризующего усилие, необходимое для разрушения структуры, т. е. прочность структуры. Дальнейшее увеличение напряжения сдвига вызывает полное разрушение структуры: конечный участок кривой течения отвечает течению жидкости согласно Закону Ньютона с наименьшей ньютоновской вязкостью. Экстраполяция этого линейного участка кривой обычно приводит в начало координат. Кривая течения суспензии с концентрацией между 9,1 и 17,7% аналогична кривой псевдопластического течения. Отличие состоит в том, что в данном случае вязкость уменьшается вследствие разрушения коагуляционной структуры, которое происходит во времени (тиксотропия); при псевдопластическом течении вязкость уменьшается в результате мгновенной ориентации анизометрических частиц. Кроме того, кривая псевдопластического течения не имеет участка, отвечающего предельной разрушенной структуре.

Суспензии охры с концентрациями выше 17,7% имеют предел текучести, ниже которого системы не текут. Это означает переход к твердообразным телам. Разрушению структуры в них отвечает линейный участок кривой течения, выходящий из точки, соответствующей пределу текучести, с наклоном, характеризующим пластическую вязкость. До концентрации охры $\approx 21\%$ (об.) кривые течения при больших напряжениях сохраняют линейный участок с наименьшей вязкостью разрушенной структуры, что обычно рассматривают как проявление реологических свойств жидкообразных тел. Системы с подобными характеристиками иногда относят к промежуточным — переходным от типичных жидкообразных к типичным твердообразным телам. При концентрации охры $\approx 21\%$ (об.) и более участок кривых течения, отвечающий предельно разрушенной структуре, уже ни при каких напряжениях не наблюдается. Система в этом случае имеет достаточно прочную типично твердообразную структуру, которая разрушается одновременно с нарушением сплошности тела, когда происходит разрыв системы. Рассмотренные реологические свойства типичны для систем с коагуляционной структурой.

Кривые течения структурированных жидкообразных систем могут быть представлены также в координатах вязкость — напряжение сдвига. На рис. VII.13 показаны типичные кривые течения для таких систем в координатах скорость течения (деформации) — напряжение и ньютоновская вязкость — напряже-

Рис. VII.13. Кривые течения жидкообразных структурированных систем.

P_T — динамическое предельное напряжение сдвига, соответствующее пределу текучести по Бингаму; P_M — минимальное напряжение сдвига, отвечающее полностью разрушенной структуре



ние. Из рисунка видно, что свойства структурированных жидкообразных систем могут быть охарактеризованы тремя величинами вязкости: двумя ньютоновскими η_{\max} для неразрушенной структуры, η_{\min} для предельно разрушенной структуры и пластической вязкостью η^* в промежуточной области, моделируемой уравнением Бингама. Наличие структуры и ее прочность, особенно в жидкообразных системах, можно оценивать не только пределом текучести, но и разностью $\eta_{\max} - \eta_{\min}$. Чем больше эта разность, тем прочнее структура материала. Значения вязкости η_{\max} и η_{\min} могут различаться на несколько порядков. Например, для 10%-ной (масс.) суспензии бентонитовой глины в воде $\eta_{\max} \approx 10^6$ Па·с, а $\eta_{\min} \approx 10^{-2}$ Па·с.

Из сказанного следует, что непрерывный переход от твердообразных тел к жидкообразным может быть осуществлен как с помощью постепенного уменьшения предела текучести (прочности структуры), так и путем уменьшения разности между двумя ньютоновскими вязкостями. В последнем случае переход может быть осуществлен увеличением вязкости до η_{\max} или уменьшением ее до η_{\min} . В пределе это будут жидкости с постоянной вязкостью, из которых высоковязкая жидкость может оказаться упругохрупким телом, если время действия напряжения окажется значительно меньше периода релаксации.

3. Реологические свойства твердообразных систем

Дисперсные системы становятся твердообразными, когда в них начинает проявляться предел текучести и исчезает возможность перехода в состояние предельно разрушенной структуры без разрыва сплошности системы при увеличении напряжений сдвига. Явно выраженным пределом текучести обладают пластичные твердообразные тела.

Твердообразные системы могут иметь коагуляционную или конденсационно-кристаллизационную структуру. Для коагуляционных твердообразных структур характерны относительно небольшие пределы текучести и достаточно широкая область текучести. Очевидно, что с увеличением прочности структуры растет предел текучести, а область текучести сужается. Твердообразные дисперсные системы, имеющие широкую область

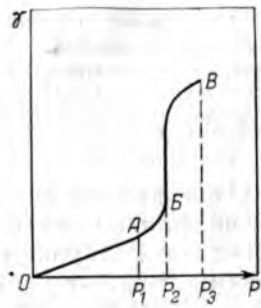
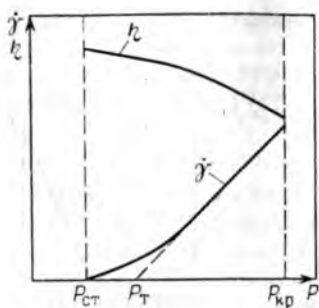


Рис. VII.14. Кривые течения твердообразных дисперсных систем.
 $P_{ст}$ — статическое предельное напряжение сдвига; $P_{кр}$ — напряжение, отвечающее разрушению тела, или предел прочности

Рис. VII.15. Зависимость деформации от напряжения для твердообразных тел

текучести, (т. е. большую разность предельных вязкостей), обладают исключительно важным технологическим свойством — формруемостью. При напряжениях, несколько превышающих предел текучести, они легко принимают любую форму и не обнаруживают течения при напряжениях, меньших предела текучести, например, под действием силы тяжести. Подобные материалы широко используются в керамических и других производствах.

Кривые течения для систем с большой областью текучести строят в тех же координатах, что и кривые течения для жидкообразных дисперсных систем. Типичный вид реологических кривых для таких систем представлен на рис. VII.14. Для достаточно прочных твердообразных тел наибольшая предельная вязкость практически бесконечно велика, она может в миллионы раз превышать вязкость предельно разрушенной структуры. Статическое предельное напряжение сдвига $P_{ст}$ отвечает наиболее резкому снижению вязкости, что означает такое же сильное разрушение структуры. При последующем увеличении нагрузки степень разрушения структуры возрастает, а при $P_{кр}$ разрушается само тело.

После снятия нагрузки (до момента разрушения тела) структура со временем восстанавливается (проявление тиксотропии). Это возможно только в структурированных системах со свободной упаковкой, когда частицы под действием нагрузки могут перемещаться относительно друг друга на расстояния, при которых притяжение между ними значительно уменьшается. Явление тиксотропии не происходит при плотной упаковке частиц. Аналогичные изменения структуры под действием нагрузки наблюдаются и в порошках. При наложении сдвига порошки приобретают больший объем, упаковка

становится более рыхлой и у частиц появляется возможность двигаться относительно друг друга.

Если течение не является типичным свойством твердообразных систем, например для конденсационно-кристаллизационных структур, то реологические зависимости строят по отношению к деформации, а не к ее скорости. Типичная кривая зависимости деформации от напряжения для твердых тел показана на рис. VII.15. Прямолинейный участок кривой OA отвечает пропорциональности деформации напряжению сдвига в соответствии с законом Гука (VII.3). До напряжения P_1 , отвечающего точке A , размер и форма тела восстанавливаются после снятия нагрузки. Важными параметрами такой системы являются модуль упругости (модуль Юнга) и модуль эластической деформации. Считают, что в суспензиях с коагуляционной структурой модуль упругости (или модуль быстрой эластической деформации) характеризует твердую фазу дисперсий, а модуль медленной эластической деформации — пространственную сетку с прослойками дисперсионной среды (возможно скольжение частиц относительно друг друга без разрыва связей). Напряжение P_1 соответствует пределу текучести (пределу упругости). С увеличением напряжения проявляются пластичность, а после его снятия — остаточные деформации. При напряжении P_2 (точка B) начинается течение твердообразной системы. При дальнейшем увеличении напряжения до величины P_3 (точка B), соответствующей пределу прочности, обычно наблюдается некоторое упрочнение тела, затем система разрушается.

Размеры рассмотренных участков реологической кривой могут быть различными в зависимости от природы системы и условий, при которых проводят определение механических свойств (например, температуры). В коагуляционных структурах систем с твердой дисперсной фазой предел упругости растет с увеличением концентрации частиц и межчастичного взаимодействия. В этом же направлении уменьшается область текучести. Для материалов, имеющих кристаллизационную структуру, например для керамики и бетонов, характерны большая (по напряжениям) гуковская область деформаций и практическое отсутствие области текучести — раньше наступает разрушение материала (хрупкость). Поэтому им не свойственны ни ползучесть, ни тиксотропия.

Для полимеров с конденсационной структурой наиболее типичны релаксационные явления, в том числе проявление эластичности, пластичности и текучести. Доля гуковской упругости в них возрастает с ростом содержания кристаллической фазы. Наличие области текучести у полимеров объясняют разрушением первоначальной структуры и определенным ориентированием макромолекул, надмолекулярных образований и кристаллитов. По окончании такой переориентации возможно некото-

рое упрочнение материала, а затем с ростом напряжения материал разрушается. В какой-то степени промежуточными реологическими свойствами между свойствами керамики и полимеров обладают металлы и сплавы. У них меньше области гуксовской упругости (по напряжениям), чем у керамики, и области течения (по деформациям), чем у полимеров, но реологическая кривая имеет тот же вид (см. рис. VII.15).

Непрерывность изменения реологических свойств при переходе от упругохрупких тел к твердообразным пластичным и далее к структурированным и ньютоновским жидкостям можно наблюдать на примере битумов разных марок при повышении температуры. Интенсификация теплового движения в системе с повышением температуры приводит к развитию вязкопластических свойств, а затем и к полному разрушению структуры.

Твердообразные дисперсные системы, сплошная пространственная сетка которых заполнена жидкостью, в коллоидной химии называют *гелями* (от лат. гелу — замерзание). Высушенные гели принято называть ксерогелями (от греч. ксерос — сухой). В отечественной литературе за гелями, образованными из растворов органических высокомолекулярных соединений, установилось название *студней*. В соответствии с этими названиями иногда термин структурообразование заменяют на гелеобразование или студнеобразование (застудневание, желатинирование), особенно если структура образуется в системах с жидкой дисперсионной средой. К гелям можно отнести уголь, торф, древесину, картон, бумагу, слабообожженную керамику, адсорбенты, катализаторы, ткани, кожу, зерно, глину, почвы и др.

Эластическими свойствами отличаются студни с коагуляционной структурой, примером которых являются студни желатины, агара, мучное тесто. Такие студни образуются в растворах линейных и разветвленных ВМС и в не очень хороших растворителях. В хороших растворителях студни обычно не образуются. Студни с коагуляционной структурой могут разрушаться с повышением температуры и переходить в состояние ньютоновской жидкости. Этот процесс называется плавлением студня. Студни конденсационного типа образуются при трехмерной полимеризации в растворе или в результате набухания пространственного полимера. Химические связи между макромолекулами не разрушаются при нагревании, поэтому такие студни не плавятся. Типичным примером студней с конденсационной структурой являются ионообменные смолы, степень набухания которых находится в прямой зависимости от степени сшивки пространственной сетки.

Для гелей характерно старение во времени, которое проявляется в постепенном упрочнении структуры, ее сжатии и высвобождении части жидкости из структурной сетки. Это яв-

ление получило название *синерезиса*. В результате синерезиса гелеобразная система может перейти в сплошное кристаллическое тело. Самопроизвольный переход коагуляционной структуры в конденсационно-кристаллизационную с «выжиманием» жидкости — типичный пример синерезиса.

К структурообразованию относится и такое явление, как денатурация, характерная для белковых соединений. Под денатурацией понимают необратимое осаждение и свертывание белка, при которых нарушаются первоначальная специфическая конфигурация, укладка цепей макромолекул и соответственно их конформация. Например, необратимо осаждается альбумин этанолом, под действием тепловой денатурации происходит образование студня из яичного белка.

В. ЭЛЕМЕНТЫ УПРАВЛЕНИЯ СТРУКТУРНО-МЕХАНИЧЕСКИМИ СВОЙСТВАМИ МАТЕРИАЛОВ

1. Факторы, определяющие прочность структур. Механизм структурообразования

К свободнодисперсным и связнодисперсным системам, обладающим коагуляционной и конденсационно-кристаллизационной структурой, относится большинство различных природных и синтетических материалов, имеющих важное хозяйственное значение. Это металлы, сплавы, керамика, бетоны, пластмассы и др. Знание общих закономерностей образования систем с определенной структурой помогает находить методы управления технологическим процессом получения материалов с заданными свойствами.

Большинство важнейших материалов полученных в обычных условиях, является дисперсными системами. Их структуру составляют мельчайшие частицы (зерна, кристаллы), хаотически сросшиеся между собой. Технология перечисленных материалов, как правило, предусматривает предварительный перевод исходного сырья в жидкообразное состояние, которое позволяет различными методами регулировать структурно-механические и другие свойства продукта. Механические свойства твердых тел непосредственно зависят от свойств структуры, которая определяется как атомным и молекулярным строением отдельных кристаллов и зерен, так и их размерами, взаимным расположением, качеством связей между ними, наличием дефектов, пористости и другими факторами.

Монокристаллическое состояние веществ в природе встречается довольно редко. Разработаны методы получения монокристаллов многих веществ, в частности металлов и оксидов. Их строение характеризуется дальним порядком, заключающимся в строго определенном расположении атомов или моле-

кул по всему монокристаллу. Регулярное строение часто обуславливает наличие в кристаллах плоскостей спайности (между гранями с наименьшей поверхностной энергией), в которых действуют значительно меньшие силы связи. Вдоль этих плоскостей монокристалл имеет наименьшую прочность. Типичным примером таких монокристаллов могут служить слюда, графит, сульфид молибдена.

При поликристаллическом мелкозернистом строении плоскости спайности не совпадают в разных зернах, вследствие чего пределы упругости и прочности поликристаллической структуры значительно выше, чем у монокристаллов упомянутой структуры. Чем больше размер зерен, тем сильнее сказываются особенности монокристаллов. С ростом дисперсности зерен уменьшается вероятность совпадения плоскостей спайности и прочность материала возрастает.

Напряжения, при которых происходит скольжение плоскостей спайности, обычно в сотни раз меньше теоретически ожидаемых из-за наличия дефектов в кристаллической структуре реальных тел. Дефекты неоднородны и хаотически распределены в объеме кристалла или материала и на их поверхности. Они соответствуют областям избыточной энергии Гиббса, и при разрушении твердого тела его можно представить как «заготовку» будущей свободнодисперсной системы — порошка или суспензии. Как уже указывалось ранее, дробление материала приводит к уменьшению дефектов в структуре частиц, так как разрушение происходит по наиболее опасным дефектам. Отсюда следует, что прочность частиц и материала из них возрастает с увеличением степени раздробленности. Этот вывод послужил основанием для крылатой фразы: путь к прочности материалов лежит через их разрушение.

Кроме качества структуры отдельных зерен и хаотичности их расположения прочность структуры P_c определяется числом контактов n между зернами, приходящихся на единицу их поверхности, и прочностью отдельного контакта P_k , т. е. напряжением, необходимым для его разрыва:

$$P_c = P_k n \quad (\text{VII.45})$$

Поверхность контактов пропорциональна числу контактов, а также, как ранее было показано, дисперсности. Таким образом, с повышением дисперсности увеличивается поверхность контактов, что способствует увеличению прочности структуры тел.

Несмотря на важное значение перечисленных факторов в обеспечении прочности структур, основная роль в формировании механических свойств тел все же принадлежит межчастичным взаимодействиям: качеству этого взаимодействия и его силе, определяющей прочность контактов. При отсутствии при-

тяжения между частицами дисперсной фазы (твердыми, жидкими или газообразными) дисперсные системы ведут себя как ньютоновские жидкости. Ван-дер-ваальсовы силы притяжения между частицами обеспечивают подвижную структуру дисперсной системы. Если между частицами образуются химические связи, то пространственная структура становится жесткой и неподвижной. Как показано выше, межчастичное взаимодействие взято за основу классификации структур на конденсационно-кристаллизационные и коагуляционные.

Реологические свойства структуры в материале в большой мере зависят от наличия и качества прослоек среды между частицами, в том числе от присутствия или отсутствия различных активных добавок. «Разжижение» коагуляционной структуры, как это следует из выше рассмотренных ее свойств, может быть обеспечено уменьшением силы сцепления частиц (увеличением агрегативной устойчивости), устранением их анизотричности и изотропным механическим воздействием, например вибрацией (использование явления тиксотропии).

Механические свойства коагуляционных структур определяются, главным образом, свойствами межчастичных прослоек. Через эти прослойки действуют силы притяжения между частицами, зависящие от расстояния между ними и обусловленные ван-дер-ваальсовыми и водородными связями. Прочность коагуляционного контакта можно рассчитать по формуле:

$$P_k = A * r / (12h^2) \quad (\text{VII.46})$$

где r — радиус кривизны частиц в месте их соприкосновения. Остальные обозначения имеют тот же смысл, что и в уравнении (VI.113) из теории агрегативной устойчивости ДЛФО.

Прочность одного контакта составляет $\approx 10^{-6}$ мкН и ниже. Прочность контакта уменьшают силы отталкивания, которые могут иметь разную природу (обусловлены электрическими или упругими сольватными слоями).

Из сказанного выше следует, что прочность коагуляционных структур значительно ниже прочности структур, обусловленных непосредственным сцеплением частиц между собой. Прослойки среды в местах контактов, играющие роль смазочного материала, обеспечивают подвижность отдельных элементов структуры. Материалы с такой структурой обладают высокой пластичностью и способностью к ползучести при небольших напряжениях сдвига. Таким образом, увеличивая или уменьшая толщину прослоек среды в местах контакта частиц или изменяя их гидродинамические свойства с помощью некоторых добавок (модификаторов), можно регулировать в широких пределах механические свойства коагуляционной структуры материала.

Так, лиофильность поверхности частиц можно изменять с помощью поверхностно-активных веществ, в том числе высокомолекулярных. ПАВ и ВМС могут изменять структуру межчастичных прослоек. Лиофильность поверхности частиц возрастает с развитием двойных электрических слоев, их диффузной части, что обеспечивается заменой всех катионов на поверхности частиц однозарядными катионами щелочных металлов. Этот метод широко используется, например, для увеличения текучести глинистых суспензий.

Толщина прослоек уменьшается с увеличением концентрации дисперсной фазы, что, соответственно, приводит к увеличению прочности структуры и одновременно к уменьшению ее пластических свойств. Для сохранения пластичности возрастает необходимость в использовании специальных поверхностно-активных веществ, а иногда и в предварительном модифицировании поверхности частиц дисперсной фазы.

Межфазные слои играют решающую роль в обеспечении механических свойств систем с газообразной и жидкой дисперсными фазами (пены, эмульсии, пористые материалы). В этих системах не может быть непосредственного контакта между частицами. Если такой контакт осуществляется и если дисперсионная среда не является твердой, то происходит немедленно слияние (коалесценция) капель, пузырей. Формирование структур в таких системах, как и стабилизация, обеспечивается наличием межфазных структурированных пленок или слоев, образованных ПАВ, ВМС или другими стабилизаторами. Именно поверхностные слои придают эмульсиям и пенам упругие свойства. В пористых телах структура определяется свойствами твердой дисперсионной среды.

Необходимо отметить некоторую специфику влияния дисперсности на свойства материалов, которые получают из суспензий, имеющих жидкую дисперсионную среду. В суспензиях по мере роста дисперсности увеличивается эффективный объем твердой фазы за счет сольватных (гидратных) слоев и уменьшается расстояние между частицами, благодаря чему возрастает вероятность попадания их в сферу взаимного притяжения. В то же время рост объема сольватных (гидратных) слоев с увеличением дисперсности не способствует получению плотного беспористого материала. Плотность материала возрастает при использовании полидисперсных систем: суспензий, порошков, у которых в промежутках между относительно крупными частицами располагаются мелкие. Получению плотного материала способствует агрегативная устойчивость суспензий.

Конденсационно-кристаллизационные структуры, возникающие при непосредственном контакте частиц дисперсной фазы, как правило, получают из коагуляционных структур при уменьшении толщины межчастичных слоев и их разрыве. Сначала

образуются так называемые точечные (или атомные) контакты между частицами, когда площадь контакта не превышает площади нескольких атомных ячеек. Связь в этих контактах кроме ван-дер-ваальсовых сил обусловлена также химическими силами. Прочность химических связей можно оценить по следующей формуле:

$$P'_k = ne^2/b^2 \quad (\text{VII.47})$$

где n — число связей, приходящихся на один контакт; e — заряд электрона; b — межатомное расстояние.

Атомные контакты переходят в фазовые, при которых химические связи реализуются на площади, в несколько десятков раз превышающей площадь атомных ячеек. На фазовый контакт приходится до 100 и более химических связей.

Как отмечалось выше, различие конденсационных и кристаллизационных структур состоит также в природе связи между частицами. В конденсационных структурах роль «мостиков» играют некристаллические продукты химических реакций, например продукты поликонденсации. Соответственно конденсационные структуры более эластичны, чем кристаллизационные.

Образование конденсационно-кристаллизационных структур может происходить по разным механизмам. Реальные процессы структурообразования протекают по нескольким механизмам одновременно. Точечные, а затем и фазовые контакты возникают при удалении дисперсионной среды или ее связывании, например при образовании гидратов.

Возможен механизм образования фазовых контактов, обусловленный пересыщением или переохлаждением системы. Например, на первоначальной стадии спекания пары спекаемого вещества, насыщенные по отношению к частицам, будут пересыщенными в зоне контакта между частицами (отрицательная кривизна) в соответствии с уравнением Кельвина (II.191). Поэтому они конденсируются в местах контакта, и точечные контакты между частицами будут переходить в фазовые (рис. VII.16). Такой же механизм образования фазовых контактов может быть и в системах с жидкой дисперсионной средой при наличии в ней растворенных веществ. Интересен механизм, называемый «снежным». Когда частицы фазы оплавляются, то вследствие хорошего смачивания жидкость под действием капиллярных сил стремится заполнить поры между частицами и уходит внутрь тела, обеспечивая их связывание. То же самое происходит, когда мы держим в руках комков снега. Широкое распространение для обеспечения контактов между частицами дисперсной фазы получило применение связующих материалов, выступающих в роли дисперсионной среды.

2. Образование структур в некоторых твердых телах

Рассмотрим подробнее механизмы образования и регулирования механических свойств твердых материалов, реализуемые в конкретных методах получения таких материалов, как металлы и сплавы, керамика, бетон, пластические массы.

Металлы и сплавы представляют собой кристаллизационные структуры дисперсных систем, формирующиеся в процессе образования новых фаз в результате переохлаждения и пересыщения расплавов. В твердом состоянии все металлы и сплавы имеют кристаллическое строение. Переход из жидкого расплава в твердое состояние при охлаждении начинается с возникновения зародышей: атомы металла ориентируются определенным образом в пространстве, образуя кристаллическую решетку зародыша. В сплавах компоненты могут сокристаллизоваться, а химические соединения между ними образуют свою кристаллическую решетку. В качестве центров кристаллизации могут выступать не только возникающие зародыши из самого металла, но и мельчайшие шлаковые и неметаллические включения. Рост числа и размеров кристалликов приводит к их срастанию и образованию поликристаллической структуры. Так как процесс кристаллизации развивается одновременно из многих центров, то, естественно, стесненные условия, неравномерность распределения температуры, изменение состава системы при кристаллизации и другие факторы вызывают неравномерный рост кристалликов (зерен) и их хаотическую ориентацию относительно друг друга. В результате получается поликристаллический материал, являющийся комплексом различно ориентированных кристалликов (зерен) с разны-

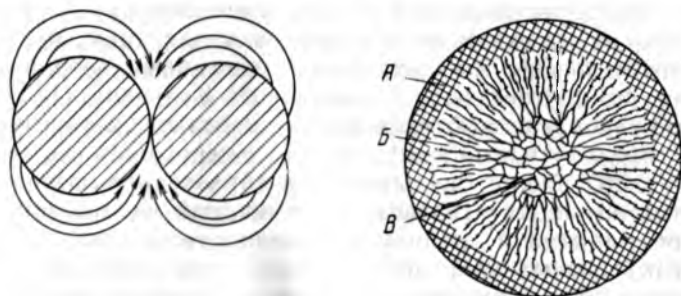


Рис. VII.16. Схема поясняющая образование фазовых контактов между частицами при пересыщениях и переохлаждениях системы.

Стрелками показано направление переноса вещества из зоны положительной кривизны в зону отрицательной кривизны

Рис. VII.17. Строение затвердевшего стального слитка:

A — мелкие равноосные кристаллы; *B* — крупные столбчатые кристаллы (дендриты); *B* — крупные неориентированные кристаллы

ми размерами и формой. Чем выше степень переохлаждения расплава и скорость его охлаждения, тем быстрее происходит образование зародышей и тем более мелкозернистую структуру имеет металл. Мелкозернистая структура отличается более высокой механической прочностью.

Структуру типичного слитка металла (сплава), затвердевшего в изложнице, иллюстрирует рис. VII.17. Наружный слой металла, который соприкасается со стенками изложницы и охлаждается в первую очередь, формируется из большого числа мелких зерен. За ним следует слой вытянутых к центру слитка столбчатых кристалликов. Такая форма кристалликов обусловлена тем, что скорость их роста наибольшая в направлении, противоположном направлению теплового потока. В центральной части слитка обнаруживаются крупные беспорядочно ориентированные кристаллы. В этой части слитка находится основная масса примесей, которые концентрируются при кристаллизации металла, начинающейся с его поверхности.

Специальные механические свойства металлов и сплавов достигаются введением в расплав легирующих добавок. Добавки стабилизируют кристаллическую фазу зерна, образуют твердые растворы с основным компонентом расплава и способствуют образованию новой дисперсной фазы. Появление твердых растворов между зернами структуры может увеличить ее пластические свойства. Упрочняющее действие возникающих дисперсных фаз при введении легирующих добавок можно проиллюстрировать образованием в хромоникелевых сплавах при добавлении титана и алюминия кристалликов Ni_3Ti и Ni_3Al , которые сильно взаимодействуют с твердым раствором сплава. Высокое содержание никеля и хрома в стали обеспечивает получение устойчивой аустенитной кристаллической структуры зерен (γ -фаза), обладающей наибольшей жаропрочностью.

Возникновение фазы из пересыщенных растворов лежит в основе образования конденсационно-кристаллизационных структур при твердении минеральных вяжущих материалов. Исходное сырье в порошкообразном состоянии смешивают с водой до получения тестообразной массы, которая через некоторое время твердеет. При изготовлении бетонов и других строительных материалов вяжущие вещества смешивают с различными минеральными наполнителями (песок, гравий, щебень, шлак), а затем с водой. В результате затвердевания образуется монолитная масса, в которой частицы наполнителя прочно связаны затвердевшим вяжущим веществом. В качестве минеральных вяжущих используют оксиды кальция и магния с примесями кремнезема SiO_2 и глинозема Al_2O_3 , полугидратный гипс $CaSO_4 \cdot \frac{1}{2}H_2O$ (алебастр), двойные соли $CaO \cdot Al_2O_3$, $3CaO \cdot Al_2O_3$, $3CaO \cdot SiO_2$, $2CaO \cdot SiO_2$ и другие, а также различные цементы, представляющие собой смеси мономинеральных

вяжущих веществ. Механизм твердения затворенных вяжущих материалов можно рассмотреть на примере алебаstra. При растворении в воде полугидратного гипса, который всегда находится в избытке в твердой фазе, получается раствор, пересыщенный по отношению к менее растворимому двухгидратному гипсу $\text{CaSO}_4 \cdot 2\text{H}_2\text{O}$. Вследствие пересыщения раствора в нем происходит самопроизвольное образование зародышей — кристалликов двухгидратного гипса. Пересыщение раствора поддерживается постоянным растворением твердого алебаstra. Процесс идет до тех пор, пока весь гипс не перейдет в дигидрат:



Зародыши образуются, как правило, на поверхности частиц наполнителя (гетерогенная конденсация), причем с большей вероятностью в местах контакта между этими частицами (отрицательная кривизна поверхности увеличивает пересыщение). Процесс срастания частиц в кристаллизационную структуру начинает развиваться с появлением контактных зародышей — мостиков между образовавшимися кристалликами двухгидратного гипса или между частицами наполнителя. Рост этих зародышей увеличивает площадь контактов между частицами и тем самым повышает прочность структуры материала.

Большое разнообразие механизмов образования конденсационно-кристаллизационных структур характерно для материалов, процесс получения которых заканчивается спеканием. Процессы спекания лежат в основе технологии керамики, а также порошковой металлургии. Предварительной операцией является формование изделия, включающее составление и получение масс с коагуляционной структурой для изготовления изделий заданной формы и определенного качества.

В технологии керамики более распространены мокрые способы формования, в порошковой металлургии — сухие. В мокром способе материал для формования представляет собой сырую массу (от 15 до 35% воды), обладающую текучестью или пластическими свойствами. При большом количестве влаги суспензию (шликер) заливают в формы из гипса, которая впитывает воду (шликерное литье). После заполнения формы и подсушивания сформованное изделие легко отстает от формы. Для обеспечения большей текучести массы, плотности и прочности изделия поверхность частиц суспензии лиофилизуют, добавляя щелочные электролиты или некоторые органические вещества (понижители вязкости). Если содержание воды не превышает $\approx 25\%$, сырая масса обладает пластичностью и ее формование не представляет трудностей. Эта операция может быть выполнена как вручную, так и с помощью формовочных машин.

Сухие способы применяют для формирования непластичных керамических масс и порошков, имеющих влажность до 15%. Эти способы заключаются в прессовании масс в форме под высоким давлением. Энергия расходуется на уплотнение заготовки в результате деформации частиц и их смещения в поры, а также на преодоление сил трения между частицами и о стенку формы. При повышении давления увеличивается плотность материала и площадь контакта между частицами (примерно пропорционально). Чем больше поверхность контакта, тем прочнее связь между частицами. Для упрочнения заготовки в нее иногда добавляют некоторое количество связующего.

Важнейшая характеристика порошков — насыпная масса, которая связана с объемом свободной упаковки частиц. Чем больше когезионные силы материала порошка, тем сильнее силы сцепления частиц (прочность контакта) и тем хаотичнее они распределены по объему формы, т. е. порошок имеет больший объем свободной упаковки и соответственно меньшую насыпную массу. Если когезия материала порошка мала, то малы и силы сцепления, в результате порошок может уплотниться под действием силы тяжести и объем свободной упаковки частиц оказывается небольшим. Обычно при формировании металлических порошков объем заготовки по отношению к объему свободной упаковки уменьшается в 3—4 раза. Особенно резкое увеличение плотности происходит в начале процесса формирования при небольшом давлении, когда частицы заполняют пустоты заготовки в результате их относительного перемещения. Для достижения плотной упаковки требуется значительное увеличение давления прессования, так как плотность заготовки может возрастать или за счет разрушения частиц порошков из твердых металлов, или вследствие деформации частиц из мягких металлов.

Качество материала заготовки во многом определяется равномерным распределением частиц дисперсной фазы в системе. От этого зависит идентичность во всех частях изделия таких характеристик, как прочность, твердость и др. Неравномерность распределения частиц вызывает появление напряжений в изделии, которые снижают срок службы материала, способствуют неравномерной усадке — искажению размеров, трещинообразованию. Характер распределения частиц дисперсной фазы по объему изделия зависит от его формы и размеров, от свойств и гранулометрического состава суспензии или порошка, от наличия модификаторов и метода формирования. Добавление адсорбирующихся веществ в суспензии и смачивающих жидкостей в порошки способствует скольжению частиц относительно друг друга и тем самым образованию плотной и ненапряженной структуры с равномерным распределением частиц. В агрегативно неустойчивых системах равномерное распределение

частиц достигается, например, с помощью вибрационного формирования. Вибрация разрывает случайные контакты между частицами и обеспечивает постепенное создание более плотной упаковки в суспензиях и порошках. Кроме того, тиксотропные системы с высокой вязкостью и в спокойном состоянии, какими являются бетонные смеси, нельзя перемешать обычными методами. Под действием же вибрации такая структура разрушается, смесь делается текучей, резко уменьшается ее вязкость. При этом частицы могут легко перемещаться по объему смеси, т. е. создаются условия для равномерного распределения частиц и снятия напряжений в структуре.

Процесс спекания в технологии керамики и порошковой металлургии можно определить как самопроизвольный процесс ликвидации дефектов и заполнения пор, протекающий в порошках и пористых телах. Главная движущая сила этого процесса — избыточная поверхностная энергия. Спекание начинается при небольших температурах со стадии протекания химических реакций на поверхностях и границах раздела — твердофазных реакций. На поверхности частиц металлических порошков обычно происходит восстановление оксидных пленок, что обеспечивает непосредственный контакт между частицами металла. С повышением температуры увеличивается давление паров вещества, которые конденсируются в соответствии с уравнением Кельвина в зонах контактов частиц, где имеется отрицательная кривизна поверхности. Скорость переноса вещества в этом случае определяется различными видами диффузии, характерными для пористых тел.

При дальнейшем повышении температуры материал может приобретать пластичность, что приводит к деформированию структуры даже под действием силы тяжести. Эту стадию спекания легко зафиксировать по резкому уменьшению объема тела. Пластическую деформацию можно вызвать и при более низких температурах, применив прессование при высоком давлении, что широко используется в порошковой металлургии. Таким образом, материал спекается тем легче, чем он пластичнее при температуре спекания. Различные материалы по-разному проявляют способность к пластическим деформациям. Например, железо уже при температуре, составляющей $\frac{2}{3}$ от температуры плавления, пластически деформируется под действием силы тяжести; лед даже при температуре плавления проявляет хрупкие свойства. Поэтому, чтобы вызвать пластическую деформацию, нередко при спекании необходимо достигать температур, близких к точке плавления (она может понижаться с ростом дисперсности). Оплавление пористого тела в первую очередь происходит с внешней его поверхности. Так как заготовка, представляющая собой пористое тело, хорошо смачивается собственным расплавом, то последний по мере появ-

ления сразу же проникает внутрь пористого тела под действием капиллярных сил. Этот процесс заканчивается, когда все поры окажутся заполненными.

Характер структурообразования в полимерах зависит от энергии межмолекулярного взаимодействия, а также от гибкости макромолекул. Неполлярные макромолекулы обладают наибольшей гибкостью, и между ними проявляется только дисперсионное взаимодействие. Энергия притяжения, приходящаяся на одну CH_2 -группу, составляет всего ≈ 4 КДж, но суммарная энергия межмолекулярного взаимодействия превышает энергию химической связи. С увеличением молекулярной массы полимера когезионные силы растут (сказывается аддитивность дисперсионного взаимодействия) и соответственно до известного предела повышается его твердость. С повышением температуры увеличивается кинетическая энергия сегментов макромолекул, и при достижении энергии притяжения происходит разрыв ван-дер-ваальсовых связей сначала между отдельными сегментами, а затем по всей цепи макромолекулы. В результате этого появляется способность макромолекул к относительному перемещению. Полимеры с такой структурой текут при повышении температуры, проявляют высокую эластичность, растворяются в соответствующих растворителях.

Описанная структура полимера ведет себя подобно коагуляционной структуре. Сходство в поведении этих структур заключается в том, что для них характерны химические связи внутри частиц и на порядок меньше силы межчастичного взаимодействия. С увеличением полярности макромолекул уменьшается их гибкость, а для межмолекулярных взаимодействий становятся характерными все три типа сил Ван-дер-Ваальса. Наличие таких функциональных групп, как $-\text{OH}$, $-\text{COOH}$, $-\text{NH}_2$, обуславливает возникновение более прочных водородных связей. С ростом межмолекулярного притяжения полимер превращается в более твердое, менее эластичное и даже хрупкое вещество, теряющее плавкость и растворимость. Полимеры с химическими связями между макромолекулами (пространственно сшитые) нерастворимы и неплавки при нагревании. По свойствам они соответствуют конденсационным структурам.

Механические свойства полимеров зависят не только от их химической природы, степени сшивки пространственной сетки, но и от ориентации макромолекул и надмолекулярных структур, пластификации, степени наполнения и др. Ориентирование цепей макромолекул и надмолекулярных структур приводит к анизотропии свойств полимера. Обнаруживается резкое увеличение его прочности в направлении ориентации. Этот факт широко используется в процессах прядения волокон и получения пластмасс. Ориентирование макромолекул способствует кристаллизации и увеличению прочности полимера.

В качестве пластификаторов применяют низкомолекулярные растворители, которые при введении в полимер распределяются между макромолекулами или между надмолекулярными структурами в зависимости от качества растворителя — пластификатора. В результате уменьшается когезия между макромолекулами, образуется подвижная структура, обладающая малой вязкостью и высокой эластичностью.

Наполнители, как правило, увеличивают прочностные показатели композиционных полимеров, а также позволяют уменьшить расход основного полимерного компонента, выступающего в качестве связующего. Эффективность упрочнения полимера зависит от количества и дисперсности частиц наполнителя. Механизм упрочнения заключается в адгезии полимера к частицам наполнителя и образовании уплотненных поверхностных слоев. В качестве наполнителей широкое применение находят древесная мука, бумага, ткани, сажа, стекловолокно, асбест и др. Особое место занимают газонаполненные материалы — пено- и поропласты.

3. Композиционные материалы

Композиционные материалы представляют собой системы, состоящие из двух или более различных твердых фаз. Одна из них является сплошной (дисперсионная среда), называемая матрицей (основой), а другие распределены в ней в виде частиц, волокон, пленок (дисперсная фаза). Дисперсная фаза служит наполнителем или упрочнителем. Если в качестве матрицы выступает полимер, то ее принято называть связующим. Из систем «твердое в твердом» композиционные материалы — наиболее ярко выраженные гетерогенно-дисперсные системы. Их классифицируют по форме дисперсий наполнителя на волокнистые, т. е. упрочненные волокнами или нитевидными кристаллами, дисперсноупрочненные, в которых мелкие частицы содержатся в объеме матрицы, и слоистые, представляющие собой совмещенные пленки, слои разных фаз.

Совмещение свойств материалов используется очень давно. Раньше совмещение сводилось к одновременному использованию двух отдельных материалов, свойства которых дополняют друг друга. Например, деревянные изделия упрочняли с помощью металлических ободов, мраморные колонны армировали железными прутьями. Несколько ближе к композиционным материалам широко используемый железобетон — бетон с арматурой из железных прутьев. Прообразом этих материалов являются применяемые с древнейших времен для постройки жилищ составы из глины, армированной тростником, предохраняющим материал от рассыпания.

В настоящее время разработаны методы совмещения разных компонентов в одном материале, объединяющем свойства исходных компонентов. Чрезвычайно важным открытием явилось обнаружение того факта, что композиционный материал, как правило, не простая комбинация составных компонентов. Оказалось, что он обладает своими собственными, только ему присущими свойствами. Эти свойства можно регулировать путем изменения адгезии между матрицей и наполнителем, варьированием количественного соотношения между компонентами, заменой одного наполнителя другим. Большое значение для достижения заданных свойств композиционных материалов имеют форма и размеры частиц наполнителя. Принципы, заложенные в методах получения композиционных материалов, дают возможность регулировать такие их свойства, как прочность, упругость, эластичность, пластичность, жаропрочность, истираемость, звукопоглощаемость, электропроводность и другие специальные свойства.

В закономерностях изменения свойств композиционных материалов много аналогий с закономерностями структурообразования в суспензиях. Адгезия между наполнителем и матрицей — главное условие для получения композиционного материала. Отсутствие адгезии приводит к тому варианту, который использовался в древние времена: каждый компонент в системе выступает как самостоятельный материал. Адгезия способствует уплотнению матрицы вследствие образования более плотных поверхностных слоев на межфазных границах. Она обеспечивает передачу нагрузок от одной фазы к другой, в результате нагрузка распределяется между обеими фазами.

Прочностные свойства резко возрастают за счет образования пространственной сетки из частиц дисперсной фазы. Чем анизотричнее форма частиц, тем при меньшей их концентрации формируется пространственная структура. Особенно эффективны в этом отношении волокнистые наполнители, широко используемые в качестве армирующего компонента. Основную часть механических нагрузок на материал с таким наполнителем принимает пространственная сетка из наполнителя, матрица передает эти нагрузки от частицы к частице, и если она мягче наполнителя, то служит, кроме того, в качестве амортизатора.

Прочностные, упругие и другие механические свойства пространственной сетки, безусловно, зависят от природы наполнителя, дисперсности и формы его частиц. Например, минеральные наполнители повышают жесткость материала, рост дисперсности волокон приводит к увеличению упругой деформации. Каучукоподобные наполнители придают материалу эластичность, ударную прочность. Большое значение для обеспечения долгосрочной службы композиционных материалов имеет снятие внутренних напряжений, способствующих преждевременно-

му разрушению материала. В бетонах внутренние напряжения понижают с помощью вибрации при твердении или добавлении ПАВ, у металлов это достигается введением специальных модификаторов (обычно поверхностно-активных), в том числе гетерофазных включений.

Особые условия создаются в материале, в котором соотношение между матрицей и наполнителем таково, что вся матрица заключена в поверхностных слоях и отсутствует в «свободном» состоянии. Такой материал обладает ярко выраженной неаддитивностью свойств, большой их специфичностью. Это обусловлено тем, что вещество матрицы, находясь в поверхностном слое под действием сил адгезии в сжатом состоянии, изменяет свои свойства. Кроме того, резко изменяется подвижность частиц наполнителя. Так как частицы находятся на близких расстояниях, то между ними действуют значительные силы притяжения, дополнительно упрочняющие структуру. Все эти факторы способствуют проявлению специфических свойств композиционных материалов.

К композиционным относятся материалы, получаемые методом направленной кристаллизации эвтектических структур. Монокристаллические и поликристаллические нити или частицы внутри материала образуются при твердении расплава с добавлением катализаторов кристаллизации. Таким методом получают металлические, стеклокристаллические материалы (ситаллы), некоторые виды минеральных бетонов и керамики.

Рассмотрим некоторые композиционные материалы на основе различных матриц и наполнителей. Одними из первых были получены композиционные материалы с полимерной матрицей. К ним относятся резина и эбонит. При изготовлении резины наряду с другими компонентами, добавляемыми к каучуку, в качестве наполнителя используют сажу, которая резко повышает прочность резины. Особенно велико ее влияние на синтетические углеводородные каучуки, прочность на растяжение которых возрастает в результате наполнения сажей в 5÷10 раз. Вместо обычной сажи иногда применяют так называемую белую сажу, представляющую собой гидрофобизированный высокодисперсный диоксид кремния.

Если резина обладает эластическими свойствами, то эбонит — твердый материал высокой прочности. Матрица эбонита представляет собой сильно вулканизированный сырой каучук, а в качестве наполнителя применяют сажу, пыль измельченного эбонита, антрацитовую пыль и др.

Волокнистые наполнители для армирования полимеров используют при изготовлении стеклопластиков. Стекловолоконное получают из расплавленного стекла путем продавливания стекломассы через фильеры, при разделении ее струи перегретым паром, сжатым воздухом, под действием центробежных

сил и т. д. В зависимости от назначения получают стеклянное волокно с толщиной нитей от 0,2 до 50 мкм. В стеклопластиках стекловолокно армируют обычно эпоксидными и полиэфирными смолами, с которыми обеспечивается удовлетворительная адгезия. Прочность стеклопластика при значительной его легкости достигает прочности стали. Из стеклопластиков изготавливают трубы, баки, детали для автомобилей, самолетов, контейнеры, вагоны и т. д.

Хорошими технологическими свойствами обладают волокна на основе углерода (уголь, графит). Они имеют высокую прочность при небольшой плотности, могут быть получены очень тонкими. Углеродные волокна дешевы и доступны, ими наполняют матрицы разной природы.

В металлических композиционных материалах в качестве наполнителей используют порошки и волокна различного происхождения. Широкое распространение получили металлические волокна вольфрама, молибдена, нержавеющей стали, волокна из оксидов алюминия и бора, карбида кремния и др. Применяются часто механические методы получения металлических волокон, состоящие в протягивании проволоки или нарезании металлической стружки. Волокна легкоплавких металлов получают из их расплавов методами фонтанирования, распыления сжатым воздухом и др. Разработаны методы получения нитевидных кристаллов («усов»), обладающих прочностью, приближающейся к теоретической, а также поликристаллических нитей, придающих материалам ряд ценных свойств.

Основная сложность в производстве металлических композиционных материалов состоит в том, что необходимо обеспечить равномерное распределение порошка или волокна в объеме матрицы. Примером металлического композиционного материала является спеченный алюминиевый материал САП, представляющий собой алюминий, упрочненный дисперсными частицами оксида алюминия. Исходным продуктом для производства этого материала служит алюминиевая пудра, содержащая от 6 до 22% оксида алюминия в виде чешуек со средним размером до 10—15 мкм и толщиной менее 1 мкм. Для получения материала САП исходную смесь порошков подвергают холодному прессованию, затем спекают при 450—500°C. Этот материал отличается большой удельной прочностью (прочность, отнесенная к плотности) и особенно высокой теплопрочностью. С увеличением содержания частиц оксида алюминия предел прочности и твердость материала растут, а пластичность и удельная теплопроводность снижаются. САП успешно заменяет теплостойкие или нержавеющие стали в авиации, атомной технике, в химической промышленности и др.

Из композиционных материалов на минеральной основе

можно отметить стеклокристаллические материалы — ситаллы. Их получают путем частичной или полной кристаллизации стекла при наличии катализатора кристаллизации. Сырьем для получения ситаллов служат отходы стекольного производства, металлургические шлаки и др. В расплаве шихты при ее охлаждении образуются зародыши кристаллизации (катализатор), на которых затем кристаллизуется сама стекломасса. В зависимости от состава и температурной обработки материал может содержать до 95% кристаллической фазы с размерами кристалликов от 40 до 2000 нм. Ситаллы обладают высокой твердостью, термостойкостью, химической стойкостью. Они легче алюминия и почти в пять раз прочнее обычного стекла.

В заключение еще раз следует отметить, что коллоидно-химическое рассмотрение структуры природных и синтетических тел позволяет выяснить механизм структурообразования, и это, в свою очередь, открывает возможности разработки принципов создания материалов с заданными свойствами.

Научно-технический прогресс в развитии технологии получения, переработки и применения разнообразных материалов тесно связан с дальнейшей разработкой теоретических представлений в области физикохимии дисперсных систем.

СПИСОК РЕКОМЕНДАТЕЛЬНОЙ ЛИТЕРАТУРЫ

1. *Шукин Е. Д., Перцов А. В., Амелина Е. А.* Коллоидная химия. М.: Изд-во МГУ. 1982.
2. *Фридрихсберг Д. А.* Курс коллоидной химии. Л.: Химия. 1984. 368 с.
3. Курс физической химии /Под ред. Я. П. Герасимова, Т. Г. М.: Госхимиздат. 1963.
4. *Адамсон А.* Физическая химия поверхностей. М.: Мир. 1979.
5. *Кройт Г. Р.* Наука о коллоидах. Т. 1. М.: Издательство. 1955.
6. *Ребиндер П. А.* Избранные труды. Т. 1 и 2. М.: Наука. 1978—1979.

ПРИЛОЖЕНИЕ. ОСНОВНЫЕ ФИЗИКО-ХИМИЧЕСКИЕ ВЕЛИЧИНЫ, ИСПОЛЗУЕМЫЕ В КОЛЛОИДНОЙ ХИМИИ

Абсолютная адсорбция, моль/м², моль/кг
Время половинной коагуляции, с
Вязкость, Па·с
Гиббсовская адсорбция, моль/м², моль/кг
Давление, Па
Дисперсность, м⁻¹
Дифференциальная теплота адсорбции, Дж/моль
Дифференциальная теплота смачивания, Дж/моль
Интегральная теплота адсорбции, Дж/м², Дж/кг
Интегральная теплота смачивания, Дж/м²
Константа Гамакера, Дж
Константа седиментации, Сб (1 Сб = 10⁻¹³ с)
Коэффициент диффузии, м²/с
Коэффициент растекания, Дж/м²
Краевой угол, град.
Кривизна поверхности, м⁻¹
Критическая концентрация мицеллообразования, моль/л
Модуль упругости, Н/м²
Напряжение сдвига, Н/м²
Осмотическое давление, Па
Поверхностная активность, Дж·м/моль
Поверхностная энергия, Дж/м²
Поверхностное давление, Дж/м² (Н/м)
Поверхностное натяжение, Дж/м² (Н/м)
Радиус, м
Работа адгезии, Дж/м²
Расклинивающее давление, Па, Дж/м³
Седиментационная устойчивость, обр. Сб (1 обр. Сб = 10¹³ с⁻¹)
Сила, Н
Текучесть, Па⁻¹·с⁻¹
Температура, К
Теплота, Дж
Удельная поверхность, м⁻¹ (м²/м³)
Химический потенциал, Дж/моль
Электрический потенциал, В
Электрокинетический (дзета) потенциал, В
Электроосмотическая подвижность, м²/(с·В)
Электрофоретическая подвижность, м²/(с·В)
Энергия Гиббса, Дж
Энтальпия, Дж
Энтропия, Дж/К

ПРЕДМЕТНЫЙ УКАЗАТЕЛЬ

- Автоадсорбция 39
Адагуляция 315
Адгезионная прочность 80, 82
Адгезия 78 сл., 81 сл., 86
 работа 79, 82
 — связь с краевым углом 85 сл.
Адсорбат 40
Адсорбент 39 сл., 154
 емкость 173
 получение 154 сл.
 удельная поверхность, измерение
 139, 144, 168
Адсорбционный потенциал 53, 161
Адсорбция 39, 40 сл., 43 сл., 148 сл.
 активированная 153
 газов и паров 140, 162 сл., 171 сл.
 гиббсовская 40 сл., 174 сл.
 избирательность 172, 180 сл.
 изобара 43
 изопикна 43 сл.
 изостера 44
 изотерма 43 сл., 142
 — Генри 135
 — логарифмическая 141
 — расчет 49 сл.
 нонообменная 198 сл.
 кривая кинетическая 150
 — потенциальная 161 сл.
 молекулярная 130, 174 сл.
 мономолекулярная 136 сл.
 неактивированная 153
 ПАВ 184 сл.
 полимеров 195—198
 полимолекулярная 141 сл.
 на пористых телах 162 сл., 168 сл.,
 171 сл.
 работа дифференциальная 53
 — интегральная 53
 из растворов 174—177
 — селективность 180 сл.
 скорость 150 сл.
 теория БЭТ 141—145
 — Ленгмюра 137
 — Поляни 160—162
 теплота дифференциальная 54 сл.,
 148
 — интегральная 55 сл.
 физическая 130
 химическая 149
 электролитов 208 сл.
- Адсорбция
 энергетические параметры 52—56,
 145—148
 энергия активации 153
 — характеристическая 170
Азеотропия адсорбционная 176
Алкозоль 17
Амфолиты 199, 203
Аниониты 199, 203
Антонова правило 96
Аэрозоль 15, 17, 220 сл.
 получение 128
 разрушение 405 сл.
 седиментация 230 сл.
 устойчивость 394, 404
 электрические свойства 267—270
- Банкрофта* правило 399
Белки 353 сл.
Броуновское движение 239 сл.
 в аэрозолях 245 сл.
- Вант-Гоффа* уравнение 249
Венцеля — Дерягина уравнение 89
Весы Ленгмюра 193
Время половинной коагуляции 323,
 324 сл.
- Вульфа*
 закон 105 сл.
 постоянная 105
Высокомолекулярные соединения
 351 сл., см. также Полимеры
Вязущие материалы, механизм тверде-
 дения 443 сл.
- Вязкость 410
 дисперсной системы 423 сл.
 ньютоновская 416 сл., 420
 пластическая 416 сл.
 приведенная 425
 растворов полимеров 424 сл., 428
 — полиэлектролитов 426
 характеристическая 425

- Гагена** — Пуазейля уравнение 273
- Газ**
 адсорбция 140, 162 сл., 171 сл.
 диспергирование 118
 Кнудсена 278
 перенос в капиллярах 276 сл.
- Гамакера** константа 380
- Гартли** мицеллы 343
- Гель** 154, 436
- Гельмгольца** слой 68, 74
- Гельмгольца** — Смолуховского уравнение 262
- Генри**
 закон 135 сл., 138
 — отклонение отрицательное 135
 — — положительное 135
 константа 134
- Гетероадагуляция** 398
- Гетерогенность** 11 сл.
- Гетерокоагуляция** 397
- Гиббса**
 правило фаз для дисперсных систем 100 сл.
 уравнение адсорбционное 46 сл.
- Гиббса** — **Гельмгольца** уравнение 34 сл.
- Гиббса** — **Кюри** принцип 105
- Гидрозоль** 17
 получение 129
- Гидрофильно-липофильный** баланс 337
- Гистерезис**
 капиллярно-конденсационный 164 сл.
 смачивания 87
- Гиц** слой 68
- Гиц** — **Чепмена** уравнение 71
- Гица** закон 409
- Давление**
 двухмерного газа 189
 двухмерное 189
 — измерение 193
 набухания 362
 осмотическое 248
 поверхностное 193 сл.
 расклинивающее 372—375
 — молекулярная составляющая 379 сл.
 — электростатическая составляющая 375 сл.
- Дарси** закон 274
- Двойное** лучепреломление 310—313
- Двойной** электрический слой
 емкость 61, 73
 образование 56—59, 76 сл.
 строение 67 сл.
- Денатурация** 437
- Десорбция** 40
 скорость 151 сл., 153
- Деформация** 407 сл.
- Дзета-потенциал** (ζ -потенциал) 257,
 см. также Потенциал электрокинетический
- Диализ** 281, 282—284
- Диспергирование** 115 сл.
 самопроизвольное 372
- Дисперсионная** среда 15
- Дисперсионный** анализ 231 сл., 290
 методы оптические 290 сл., 299 сл.
 — седиментационные 231 сл., 237 сл.
- Дисперсная** фаза 15
- Дисперсность** 12 сл., 100
 анализ, оптические методы 290 сл., 299 сл.
 — седиментационные методы 231 сл., 237 сл.
 влияние на внутреннее давление тел 101—104
 — на растворимость вещества 112 сл.
 — на температуру фазового перехода 114 сл.
 — на термодинамическую реакционную способность веществ 111—113
 — на химическое равновесие 113
 полидисперсных систем, способы расчета 236
- Дисперсные** системы 10 сл.
 агрегативно неустойчивые 315
 вязкость 423 сл.
 классификация 15—17, 417
 лиофильные 314 сл.
 лиофобные 315
 — стабилизация 392
 монодисперсные 23
 оптические методы исследования 288 сл.
 полидисперсные 23
 получение 106 сл., 115—118
 свободнодисперсные 16, 127 сл., 220 сл.
 свойства молекулярно-кинетические 239 сл.
 — оптические 288 сл.
 — реологические 408, 412 сл., 423 сл., 428 сл., 433 сл.
 — структурно-механические 407 сл., 417 сл., 433 сл.

- Дисперсные системы**
 связнодисперсные 16
 стабилизация 391 сл., 393 сл.
 структурированные 428 сл.
 твердообразные 420 сл.
 — течение 434 сл.
 твердые, устойчивость 393 сл.
 удельная поверхность 22 сл.
- Диффузия газовая** 281 сл.
 в пористых телах 277
- Доннана**
 потенциал 209 сл.
 уравнение 251 сл.
- Дорна эффект** 257, 266
- Дубинина — Радужкевича** уравнение 171
- Дым** 220
- Дюкло — Траубе** правило 336
- Дюпре** уравнение 80
- Дюпре — Юнга** уравнение 85
- Жидкость** 105, 412
 дилатантная 419 сл.
 диспергирование 118
 идеально вязкая 410
 неньютоновская 419
 нестационарная 419
 ньютоновская 419
 перенос в капиллярах 276 сл.
 псевдопластическая 419 сл.
 стационарная 419
 течение в пористых телах 271 сл.
- Закон**
 Вульфа 105 сл.
 Генри 135 сл., 138
 — отклонение отрицательное 135
 — — положительное 135
 гипсометрический 254
 Гука 409
 Дарси 274
 Ньютона 410
 Стокса 225, 229, 271 сл.
 Фика 277
 Эйнштейна — Смолуховского 242, 244, 245
 Этвеша 36
 Юнга 83
- Золь 15, 16 сл., 222
 окраска 309 сл.
 поглощение света 309 сл.
 твердый 17
- Изобара адсорбции** 43
Изопикна адсорбции 43
Изостера адсорбции 44
Изотерма
 адсорбции 43 сл.
 — Генри 135
 — при капиллярной конденсации 164
 — Ленгмюра 139
 — логарифмическая 141
 — ПАВ 185, 187
 — полимолекулярной 142
 — из раствора 177—180
 — расчет 49 сл.
 ионного обмена 207 сл.
 набухания 360
 поверхностного натяжения растворов ПАВ 187 сл., 338 сл.
- Изоэлектрическая точка** 58
- Иониты** 199 сл., 201—205
 емкость 201 сл.
 селективность 206 сл.
- Ионный обмен** 130, 204
 равновесие 205 сл.
- Ионы потенциалопределяющие** 57, 67
- Капиллярная пропитка** 275 сл.
Капиллярные явления 106—111
Капилляры 106, 159
 перенос газов и компонентов растворов 276 сл.
 течение жидкостей и газов 271 сл.
- Катализатор**
 получение 154 сл.
 удельная поверхность, измерение 144
- Катиониты** 199, 203
- Кельвина**
 уравнение 112
 эффект 315
- Кена** правило 59
- Керамика**
 регулирование механических свойств 445 сл.
 формирование 444 сл.

- Коагуляция 315 сл., 321 сл.
аэрозоль 405
быстрая 324 сл.
концентрационная 384, 387
лионолей 394 сл.
медленная 324, 325 сл.
нейтрализация 384, 386
ортокинетическая 382
порог 384
скорость 323
суспензий 394 сл.
теория Мюллера 325
— Смолуховского 321
электролитами 384 сл.
- Коалесценция 222, 315, 399
- Когезия 29
- Коллоидная
защита 392
система 16
химия 10 сл., 17 сл.
- Коллоидное состояние 10
- Коллоиды
ассоциативные 335
мицеллярные 335
молекулярные 357
- Композиционные материалы 448—452
- Конденсация 115 сл., 118 сл.
капиллярная 162—168
- Константа
адсорбционного равновесия 137,
148 сл.
— распределения 148
- Вульфа 105
Гамакера 380
Генри 134
ионного обмена 205
седиментации 225
скорости адсорбции 152
Хаггинса 371
- Контракция 364
- Козффициент
аффинности 162
извилистости 159 сл.
ионного обмена 206
поверхностного натяжения темпе-
ратурный 35
разделения 180 сл.
распределения электролита 208 сл.
растекания жидкостей 93
- Краевой угол 82 сл.
натекания 87 сл.
оттекания 87 сл.
- Крафта точка 340
- Крахмал 354
- Кривая
адсорбции потенциальная 161 сл.
кинетическая набухания 360
- Кривая
распределения пор, дифференци-
альная 166
— — интегральная 165
— частица по размерам 235 сл.
реологическая 419
седиментации 233, 234 сл.
течения 419
электрокапиллярная 62 сл.
- Кристаллизация 124 сл., 442
- Критическая концентрация
мицеллообразования 335, 346 сл.
— методы определения 348 сл.
структурообразования 429
- Ксерогель 436
- Лапласа* уравнение 104, 254
- Латексы 359
- Ленгмюра*
адсорбционная теория 137
весы 193
изотерма адсорбции 139
- Леннарда — Джонса* уравнение 131
- Лиозоль 17, 222
коагуляция 394 сл.
- Липпмана* уравнения 60 сл.
- Максвелла* эффект 311
- Марангони* эффект 94 сл.
- Мартина* уравнение 428
- Межфазное натяжение 95 сл., 104
- Мембрана 209, 281, 287
- Металлы
регулирование механических
свойств 443
структура 442 сл.
- Метод
БЭТ 144
избыточных величин Гиббса 32 сл.
низкотемпературной адсорбции
144
«слоя конечной толщины» 32 сл.
фильтрации 273 сл.
- Микроскоп
световой 291
электронный 291, 294
- Микроскопия
световая 290 сл.
электронная 293 сл.
- Микроэмульсия 400
- Мицелла 77
Гартли 343

- Мицелла
поверхностно-активных веществ 340, 343 сл.
- Мицеллообразование 338 сл.
критическая концентрация 335, 346 сл., 348 сл.
- Модуль
эластической деформации 415
Юнга 409
- Молекулярные сита 155, 169
- Монокристалл 437 сл.
- Мономер 352
- Моющее действие ПАВ 351
- Мутность 301 сл.
- Мюллера* теория коагуляции 325
- Набухание 276, 361
ионитов 204
полимеров 359 сл.
теплота 363
- Напряжение 408
- Нернста* уравнение электродного потенциала 61
- Нефелометр 306
- Нефелометрия 304—307
- Никольского* уравнение 206
- Ньютона* закон 410
- Одена* уравнение 235
- Опалесценция 288
критическая 298
- Органозоль 17
- Осмоз обратный 281, 286 сл.
- Осмотическое давление 250
- Отмучивание 237
- Пенוגашение 403 сл.
- Пенообразователи 99, 401, 403
- Пены 15, 17, 223
кратность 402
разрушение 402 сл., 404
стабилизация 401 сл.
твердые 404
- Пептизация
- Перегонка изотермическая 315, 318—321
- Период половинной коагуляции 323
- Пленки 372
адсорбционные 188
газообразные 192
жидкие 192
конденсированные 192
поверхностные 188 сл., 191 сл.
твердые 192
- Поверхностная
активность 50 сл.
— ПАВ 185, 336, 339
энергия 14
— влияние на форму тел 104 сл.
- Поверхностно-активные вещества (ПАВ) 51 сл., 333 сл.
адсорбция из растворов 184 сл.
амфолитные 334
анионные 333 сл.
ионогенные 187 сл., 333
катионные 334
коллоидные 335, 338 сл.
мицеллы 340
мицеллярная масса 340, 350
моющее действие 351
неионогенные 334 сл.
поверхностная активность 185, 336
применение 350 сл.
растворимость 338 сл.
растворы, поверхностное натяжение 184 сл.
- Поверхностное натяжение 13, 25—29
зависимость от температуры 35 сл.
изотермы коллоидных ПАВ 338 сл.
определенные 28 сл., 104
растворов ПАВ 184 сл.
твердых тел, измерение 113
- Поверхностно-инактивные вещества 51 сл.
- Поверхностные явления 10, 14 сл.
- Поверхностный слой 10
оптические методы исследования 288 сл.
параметры геометрические 21 сл.
— термодинамические 32 сл.
толщина 32
формирование 37—39
- Поверхность
гидрофильная 84
гидрофобная 84
кривизна 24, 103
олеофильная 84
олеофобная 84
оптические методы анализа 288 сл.
удельная 12, 22 сл., 144
— пористых тел 15 сл.
энергия внутренняя 34
- Поглощение света золями 309 сл.
- Подвижность
электроосмотическая 262
электрофоретическая 264

- Ползучесть 431
 Поликонденсация 352
 Полимеризация 352
 Полимеры 352, см. также Высокомолекулярные соединения
 адсорбция из растворов 195—198
 молекулярная масса, определение 305 сл., 425
 набухание 359 сл.
 растворение 359 сл.
 растворы 356 сл.
 — вязкость 424 сл., 428
 — уравнение состояния 367 сл.
 регулирование механических свойств 447 сл.
 структурообразование 447
 Полисахариды 354
 Полиэлектродит 353
Поляки теория полимолекулярной адсорбции 160—162
 Понизители твердости 118
 Пористость 157 сл.
 Пористые тела 15, 153 сл., 271
 адсорбционная способность 162 сл.
 классификация 17, 156 сл.
 перенос газов и компонентов растворов 276 сл.
 получение 154 сл.
 проницаемость 274
 удельная поверхность, определение 158
 Порог коагуляции 384
 Порометрия 108
 Порошки 17, 158, 221
 дисперсионный анализ 237 сл., 292 сл.
 металлические, регулирование механических свойств 445 сл.
 — формование 445
 получение 127 сл.
 удельная поверхность, измерение 144
 устойчивость 394
 Поры 159, 164
 капиллярная конденсация 164 сл.
 течение жидкостей и газов 271 сл.
- Потенциал
 — определение 262 сл., 265, 266 сл.
- Правило
 Антонова 96
 Банкрофта 399
 Дюкло — Траубе 336
 Кена 59
 Трутона 30
 уравнивания полярностей 183, 399
 фаз Гиббса для дисперсных систем 100 сл.
 Фаянса — Панета 57
 Шульце — Гарди 387
 Принцип Гиббса — Кюри 105
 Проницаемость 274
 Противоионы 57, 67
 Прочность
 адгезионная 80, 82
 когезионная 29
 на разрыв 29
 структуры материалов 438 сл.
 твердых материалов, адсорбционное понижение 117
Пуассона — Больцмана уравнение 68 сл.
- Пылеулавливатель 406
 Пыль 220
- Работа
 адгезии 79, 82, 85 сл.
 адсорбции дифференциальная 53 сл.
 — интегральная 53
 набухания 363
- Равновесие
 адсорбционное, константа 137, 148 сл.
 диффузионно-седиментационное 253
 ионообменное 205
 мембранное 251
- Радиус эквивалентный 228 сл.
- Рассеяние света
 дисперсными системами 295—298
 молекулярное 298
- Раствор(ы)
 атермические 370
 нулевой 63
 регулярные 370
 Растекание 92—95
- Ребиндера*
 уравнение работы диспергирования 117
 эффeкт 117 сл.

- Регулирование структурно-механических свойств 437 сл.
- Резина как композиционный материал 450
- Реологические модели 409 сл.
 модель вязкопластическая Бингама 416
 — Кельвина — Фойгта 414 сл.
 — Максвелла 412 сл.
- Реология 407 сл.
- Реопексия 421, 423
- Седиментационная устойчивость 255
- Седиментационный анализ 231 сл., 237 сл.
 полидисперсных систем 235
- Седиментация 224, 228 сл.
 константа 225
 монодисперсной системы 232 сл.
 обратная 224
 полидисперсной системы 233 сл.
- Седиментометры 239
- Силикагели 155
- Синерезис 437
- Система(ы)
 гетерогенные твердые 15
 грубодисперсные 16
 дисперсные см. Дисперсные системы
 жидкообразные, реологические свойства 428 сл.
 капиллярные 15
 коллоидные 16
 микрогетерогенные 16
 монодисперсная 23
 полидисперсная 23
 — седиментационный анализ 234 сл.
 свобододисперсные 16, 220
 — получение 127—129
 связнодисперсные 16
 твердообразные, реологические свойства 433 сл.
 ультрамикрогетерогенные 16
 устойчивые агрегативно 317
 — к коагуляции 317
- Ситаллы 452
- Слой
 адсорбционный 67 сл.
 Гельмгольца 68, 74
 Гук 68
 двойной электрический см. Двойной электрический слой
 диффузный 67, 74
- Смачивание 78, 82 сл., 86
 реальных твердых тел 87 сл.
 теплота 89—92
 — дифференциальная 90 сл.
 — интегральная 91
 угол 82 сл.
- Смолуховского теория кинетики коагуляции 321 сл.
- Смоли ионообменные 200
- Солюбилизат 345
- Солюбилизатор 345
- Солюбилизация 335, 345 сл.
- Соотношение Марка — Куна — Хауvinка 425
- Сополимеризация 352
- Состояние
 коллоидное 10
 метастабильное 119
- Стеклопластики 450 сл.
- Степень
 извлечения 181
 набухания 360
 полимеризации 352
 разделения 181
- Стокса закон 225, 229, 271 сл.
- Структура(ы) 406
 коагуляционно-тиксотропные 416
 коагуляционные 417 сл., 439
 конденсационно-кристаллизационные 417 сл., 440 сл., 443 сл.
 металлов и сплавов 442 сл.
 поликристаллические 438
 прочность 438 сл.
- Структурообразование 407, 441 сл.
 критическая концентрация 429
 в полимерах 447
- Студни 360, 436
- Суспензия 15, 17, 221 сл.
 дисперсионный анализ 237 сл., 292 сл.
 коагуляция 394 сл.
 получение 127 сл.
 разделение фильтрацией 285 сл.
 течение 431
- Текучесть 410 сл.
 порошков 221
- Тело(а)
 Бингама 416 сл.
 жидкообразные 419
 идеально вязкое Ньютона 410
 — пластическое Сен-Венана — Кулона 411

- Тело(а)
идеальные упругие 408 сл.
капиллярно-пористые 156, 159
макропористые 17, 156
мезопористые 156
микропористые 17, 157
— адсорбционная способность
168—171
переходнопористые 17, 156 сл.
— адсорбционная способность
162 сл.
пористые см. Пористые тела
твердое 414
— вязкоупругое 414
— регулирование механических
свойств 442 сл.
твердообразные 419, 420 сл.
- Температура
фазового перехода, влияние дис-
персности 114 сл.
характеристическая Флори 371
- Теория
адсорбционная Ленгмюра 137
БЭТ 141—145
Гуи — Чепмена 67, 73 сл.
ДЛФО 375—378
капиллярной конденсации 162—
168
кинетики коагуляции Мюллера
325
— — Смолуховского 321 сл.
объемного заполнения микропор
168—171
Поляни 160—162
термодинамическая агрегативной
устойчивости дисперсных систем
326—333
Флори — Хаггинса 370 сл.
Штерна 67 сл., 74
- Теплота
адсорбции дифференциальная
54 сл., 148
— интегральная 55 сл.
набухания 363
смачивания 80—92
— дифференциальная 90 сл.
— интегральная 91
- Термодинамическая реакционная спо-
собность 111
зависимость от дисперсности 111—
113
- Течение 408
суспензий 431
твердообразных систем 434 сл.
- Тиксотропия 418, 421 сл.
- Тиндаля*
конус 19
эффект 295
- Точка
изоэлектрическая 58
Крафта 340
Трутона правило 30
Туман 220, 405
образование 129
Турбидиметр 304 сл.
Турбидиметрия 301—304
- Угли активные 155 сл., 173
Угол смачивания 82 сл.
Ультрамикроскоп 299 сл., 301, 303,
304 сл.
Ультрамикроскопия 299 сл.
Ультрафильтрация 286
Уравнение
адсорбции мономолекулярной 138
— полимолекулярной 143 сл.
адсорбционное Гиббса 46 сл.
Вант-Гоффа 249
Венцеля — Дерягина 89
Гагена — Пуазейля 273
Гельмгольца — Смолуховского 262
Гиббса — Гельмгольца 34 сл.
Гуи — Чепмена 71
Доннана 251 сл.
доннановского равновесия 209
Дубинина — Радужкевича 171
Дюпре 80
Дюпре — Юнга 85
изотермы адсорбции из растворов
178
— — мономолекулярной Ленгмю-
ра 138
капиллярной конденсации 112
Кельвина (Томсона) 112
Лапласа 104, 254
Леннарда — Джонса 131
Липпмана 60 сл.
Мартина 428
мембранного равновесия 251
мембранного равновесия Доннана
209
Никольского 206
Одена 235
полимолекулярной адсорбции БЭТ
143 сл.
Пуассона — Больцмана 68 сл.
равновесной хроматографии 215
Ребиндера работы диспергирова-
ния 117
состояния идеального двухмерного
газа 189 сл.

Уравнение

- поверхностных пленок 188 сл.
- растворов полимеров 367 сл.
- Фрейндлиха 141
- Шишковского 186
- Штаудингера 424 сл.
- Эйнштейна 423 сл.
- электродного потенциала Нернста 61

- электрокапиллярной кривой 61 сл.
- Устойчивость дисперсных систем 314
- агрегативная 314 сл., 382 сл.
- седиментационная 255
- теория ДЛФО 375—378
- кинетическая 375 сл.
- термодинамическая 326—333
- факторы устойчивости 317 сл., 389 сл.

Фаза

- дисперсная 15
- образование, кинетика 124—127
- термодинамика 118—120

Фактор(ы)

- устойчивости дисперсных систем 317 сл., 389 сл.
- формы частиц 228

Фаянса — Панета правило 57

Физико-химическая механика 417

Фика закон 277

Фильтрация 281, 285 сл.

- электроосмотическая 271

Флокулянты 397 сл.

Флокуляция 315 сл., 397

Флори — Хаггинса теория 370 сл.

Флори характеристическая температура 371

Флотация 97—100, 398

Форма тел равновесная 104 сл.

Формула Хаггинса 427

Фрейндлиха уравнение 141

Хаггинса

- константа 371

- формула 427

Хемосорбция 39, 130, 149 сл.

Хроматограмма 214, 217

Хроматограф газовый 214

Хроматографическое разделение 211 сл.

- количественные характеристики 217 сл.

Целлюлоза 354

Цеолиты 155, 174

Частица

- радиус 232

- эквивалентный 228 сл.

- размер, определение 294 сл., 300 сл.

- средний сдвиг 241 сл.

- фактор формы 228

- форма, определение 294, 306, 311 сл.

- энергия кинетическая 241

- притяжения 379 сл.

Число ГЛБ 337

Шероховатость поверхности, измерение 88 сл.

Шишковского уравнение 186

Штаудингера уравнение 424 сл.

Эбонит как композиционный материал 450

Эйнштейна уравнение 423 сл.

Эйнштейна — Смолуховского закон 242, 244, 245

Эластичность 414 сл.

Электрод мембранный 211

Электроднализ 281, 284 сл.

Электролиты, адсорбция на ионитах 208 сл.

Электрометр капиллярный 63 сл.

Электронोगрафия 308 сл.

Электроосмос 256, 259—263

Электроосмотическая подвижность 262

Электрофильтр 406

Электрофорез 256, 263—265

Электрофоретическая подвижность 264

Электрофоретическое торможение 265

Эмульгаторы 222, 399

Эмульсия 15, 17, 222 сл., 400
агрегативная устойчивость 399
газовая 15, 223
обратная 399
обращение 399
прямая 399
разрушение 401
стабилизация 398 сл.

Энергия
адсорбции характеристическая 170
активации адсорбции 153
Гиббса адсорбции 146
молекулярного притяжения 379 сл.
поверхностная 14, 47
— полная 34 сл.
— удельная внутренняя 32 сл.

Энтальпия адсорбции 145 сл.
Энтропия адсорбции 145 сл.
Этвеша закон 36
Этерозоль 17
Эффект
дисперсионный 130 сл.

Эффект
Дорна 257, 266
индукционный 130 сл.
Кельвина 315
Максвелла 311
Марангони 94 сл.
ориентационный 130 сл.
Ребиндера 117 сл.
суспензионный 78
Тиндаля 295

Эффузия 277

Юнга закон 83

Явления
капиллярные 106—111
поверхностные 10
— классификация 14 сл.
электрокинетические 256 сл.,
270 сл.

Учебник для вузов

ФРОЛОВ Юрий Геннадьевич

**КУРС КОЛЛОИДНОЙ ХИМИИ
ПОВЕРХНОСТНЫЕ ЯВЛЕНИЯ
И ДИСПЕРСНЫЕ СИСТЕМЫ**

Редактор *Л. Н. Николаева*
Художественный редактор *К. К. Федоров*
Технический редактор *С. Ю. Титова*
Корректоры *М. А. Ивлиева, М. В. Черниковская*

ИБ 24512

Сдано в набор 26.05.88. Подписано в печ. 03.11.88. Формат 60×88^{1/16}. Бумага офс. № 1. Гарнитура литературная. Печать офсетная. Усл. печ. л. 28,33. Усл. кр.-отт. 28,33. Уч.-изд. л. 30,82. Тираж 23 700 экз. Заказ № 303. Цена 1 р. 30 к.

Ордена Почета издательство «Химия».
Москва, Стромынка, 21, корп. 2.

Московская типография № 11 Союзполиграфпрома при Государственном комитете СССР по делам издательств, полиграфии и книжной торговли.
113105, Москва, Нагатинская ул., д. 1.